



ΧΡΥΣΟΥΝ ΜΕΤΑΛΛΙΟΝ  
ΑΚΑΔΗΜΙΑΣ ΑΘΗΝΩΝ

ΕΚΠΑΙΔΕΥΤΙΚΟ ΚΕΙΜΕΝΟ  
ΑΚΑΔΗΜΙΩΝ ΕΜΠΟΡΙΚΟΥ ΝΑΥΤΙΚΟΥ

# ΗΛΕΚΤΡΙΚΕΣ ΜΗΧΑΝΕΣ

ΑΡΙΣΤΕΙΔΗ Γ. ΒΛΑΧΟΥ

ΤΟΜΟΣ ΠΡΩΤΟΣ



ΑΘΗΝΑ 2016

ΙΔΡΥΜΑ ΕΥΓΕΝΙΔΟΥ  
ΧΡΥΣΟΥΝ ΜΕΤΑΛΛΙΟΝ ΑΚΑΔΗΜΙΑΣ ΑΘΗΝΩΝ



ΕΚΠΑΙΔΕΥΤΙΚΟ ΚΕΙΜΕΝΟ  
ΑΚΑΔΗΜΙΩΝ ΕΜΠΟΡΙΚΟΥ ΝΑΥΤΙΚΟΥ



Α' ΕΚΔΟΣΗ 2016

ISBN: 978-960-337-126-7

Copyright © 2016 Ιδρυμα Ευγενίδου

Απαγορεύεται η ολική ή μερική ανατύπωση του βιβλίου και των εικόνων με κάθε μέσο καθώς και η διασκευή, η προσαρμογή, η μετατροπή και η κυκλοφορία του. (Άρθρο 3 του ν. 2121/1993).

## ΠΡΟΛΟΓΟΣ ΙΔΡΥΜΑΤΟΣ ΕΥΓΕΝΙΔΟΥ

To 1952 ο *Ευγένιος Ευγενίδης* (1882-1954) δριοε με τη διαθήκη του τη σύσταση του Ιδρύματος Ευγενίδου, του οποίου ως μοναδικό σκοπό έταξε «νὰ συμβάλῃ εἰς τὴν ἐκπαίδευσιν νέων ἑλληνικῆς ὑπηκοότητος ἐν τῷ ἐπιστημονικῷ καὶ τεχνικῷ πεδίῳ». Ο ιδρυτής και χορηγός του Ιδρύματος Ευγενίδου ορθά προέβλεψε ότι αναγκαίο παράγοντα για την πρόοδο της Ελλάδος αποτελεί την άριτα κατάρτιση των Ελλήνων τεχνιτών κατά τα πρότυπα της επαγγελματικής εκπαίδευσης άλλων ευρωπαϊκών χωρών.

Tην 23η Φεβρουαρίου του 1956 εγκρίθηκε η σύσταση του κοινωφελούς Ιδρύματος Ευγενίδου, την διαχείριση του οποίου κατά την ρπή επιθυμία του ιδρυτή του ανέλαβε η αδελφή του *Μαριάνθη Σίμου* (1895-1981). Τότε ξεκίνησε η υλοποίηση του σκοπού του Ιδρύματος και η εκπλήρωση μιας από τις βασικότερες ανάγκες του εθνικού μας βίου από την *Μαριάνθη Σίμου* και τους επιστημονικούς συνεργάτες της.

Το έργο της *Μαριάνθης Σίμου* συνέχισε από το 1981 ο πολύτιμος συνεργάτης και διάδοχος του *Ευγένιον Ευγενίδη*, *Νικόλαος Βερνίκος-Ευγενίδης* (1920-2000). Από το 2000 συνεχιστής του έργου του Ιδρύματος Ευγενίδου έχει αναλάβει ο *Λεωνίδας Δημητριάδης-Ευγενίδης*.

Μία από τις πρώτες δραστηριότητες του Ιδρύματος Ευγενίδου, ενθύς μετά την ίδρυσή του, υπήρξε η συγγραφή και έκδοση κατάλληλων διδακτικών εγχειριδίων για τους μαθητές των τεχνικών σχολών, καθώς διαποτώθηκε ότι αποτελεί πρωταρχική ανάγκη ο εφοδιασμός των μαθητών με σειρές από βιβλία, τα οποία θα έθεταν τη ορθά θεμέλια για την παιδεία τους και θα αποτελούσαν συγχρόνως πολύτιμη βιβλιοθήκη για κάθε τεχνικό. Καρπός αυτής της δραστηριότητας είναι η *Βιβλιοθήκη του Τεχνίτη* (1957-1975), η οποία αριθμεί 32 τίτλους, η *Βιβλιοθήκη του Τεχνικού* (1962-1975), που περιλαμβάνει 50 τίτλους, η *Τεχνική Βιβλιοθήκη* (1969-1980) με 11 τίτλους και η *Βιβλιοθήκη του Τεχνικού Βοηθού Χημικού* (1971-1973) με 3 τίτλους. Επί πλέον, από το 1977 μέχρι σήμερα έχουν εκδοθεί 171 τίτλοι για τους μαθητές των Τεχνικών και Επαγγελματικών Λυκείων και 16 για τους μαθητές των Σχολών Μέσης Τεχνικής και Επαγγελματικής εκπαίδευσης.

Ξεχωριστή σειρά βιβλίων του Ιδρύματος Ευγενίδου αποτελεί η *Βιβλιοθήκη του Ναυτικού* (1967 έως σήμερα), που οποία είναι το αποτέλεσμα της συνεργασίας του Ιδρύματος Ευγενίδου με την Διεύθυνση Εκπαίδευσης Ναυτικών του Υπουργείου Ναυτιλίας. Η συγγραφή και έκδοση των εκπαιδευτικών εγχειριδίων για τους σπουδαστές των ναυτικών σχολών ανετέθη στο Ίδρυμα Ευγενίδου με την υπ' αριθμ. 61288/5031/8.8.1966 απόφαση του Υπουργείου Εμπορικής Ναυτιλίας, οπότε και λειπόργησε η αρμόδια Επιτροπή Εκδόσεων, που οποία είχε συσταθεί ήδη από το 1958. Η συνεργασία Ιδρύματος Ευγενίδου και Υπουργείου Εμπορικής Ναυτιλίας ανανεώθηκε με την υπ. αριθμ. M2111.1/2/99 υπουργική απόφαση όπως τροποποιήθηκε από την M3611.2/05/05/16-12-2005, με την οποία το *YEN* ανέθεσε στο Ίδρυμα Ευγενίδου την συγγραφή διδακτικών εγχειριδίων για τις Ακαδημίες Εμπορικού Ναυτικού.

Στην *Βιβλιοθήκη του Ναυτικού* περιλαμβάνονται συνολικά 118 τίτλοι μέχρι σήμερα: 27 τίτλοι για τις Δημόσιες Σχολές Εμπορικού Ναυτικού (1967-1979), 42 τίτλοι για τις Ανώτατες Δημόσιες Σχολές Εμπορικού Ναυτικού (1981-2001), 34 τίτλοι για τις Ακαδημίες Εμπορικού Ναυτικού, 9 εγχειρίδια κατευθυνόμενης εκπαίδευσης επί πλοίου και 15 μεταφράσεις ναυτικών εγχειριδίων.

Όλα τα βιβλία της *Βιβλιοθήκης του Ναυτικού*, εκτός του όπι έχουν συγγραφεί σύμφωνα με τα αναλυτικά προγράμματα διδασκαλίας των σχολών και ανταποκρίνονται στις ανάγκες των σπουδαστών, είναι γενικότερα χρήσιμα για όλους τους αξιωματικούς του Εμπορικού Ναυτικού, που ασκούν το επάγγελμα ή εξελίσσονται στην ιεραρχία. Επί πλέον οι συγγραφείς και η Επιτροπή Εκδόσεων

καταβάλλουν κάθε προσπάθεια ώστε τα βιβλία να είναι επιστημονικώς άρπα αλλά και προσαρμοσμένα στις ανάγκες και στις δυνατότητες των σπουδαστών.

Την περίοδο 2012-2013 το YNA με το υπ' αριθμ. Μ3616/01/2012/26-09-2012 έγγραφο ανέθεσε στην Επιτροπή Εκδόσεων του Ιδρύματος Ευγενίδου την σύσταση ειδική ομάδας εργασίας εμπειρογνωμόνων για την επικαιροποίηση των αναλυτικών προγραμμάτων σπουδών για τις ΑΕΝ, τα ΚΕΣΕΝ και τα ειδικά σχολεία Πλοιάρχων και Μηχανικών, εφαρμόζοντας τις νέες απαιτήσεις εκπαίδευσης και πιστοποίησης ναυτικών της Διεθνούς Συμβάσεως STCW '78 (Standards of Training, Certification and Watchkeeping for seafarers – Manila amendments 2010). Με βάση τα νέα αναλυτικά προγράμματα για τις ΑΕΝ, τα οποία εφαρμόστηκαν για πρώτη φορά την χρονιά 2013-2014, ξεκίνησε από το 2014 και η επικαιροποίηση των υφισταμένων διδακτικών εγχειριδίων, προκειμένου αυτά να είναι συμβατά με τις νέες διεθνείς απαιτήσεις.

Με την προσφορά των εκδόσεών του στους καθηγητές, στους σπουδαστές των ΑΕΝ και σε όλους τους αξιωματικούς του Εμπορικού Ναυτικού, το Ίδρυμα Ευγενίδου συνεχίζει να συμβάλλει στην τεχνική εκπαίδευση της Ελλάδος, υλοποιώντας επί 60 και πλέον χρόνια το όραμα του ιδρυτή του, αείμνηστον ευεργέτη Ευγενίου Ευγενίδου.

## ΕΠΙΤΡΟΠΗ ΕΚΔΟΣΕΩΝ ΙΔΡΥΜΑΤΟΣ ΕΥΓΕΝΙΔΟΥ

**Εμμανουήλ Δρης**, Ομ. Καθηγητής ΕΜΠ, Πρόεδρος.

**Αχιλλέας Ματσάγγος**, Αντιναύαρχος Λ.Σ. (ε.α.).

**Βενετία Καλλιπολίτου**, Αντιπλοίαρχος Λ.Σ. Δ/ντρια Ναυτ. Εκπαιδ. Υπ. Ναυτιλίας και Νησιωτικής Πολιτικής.

Σύμβουλος επί των εκδόσεων του Ιδρύματος **Κων. Αγγ. Μανάφης**, Ομ. Καθηγ. Φιλοσοφικής Σχολής Πλανητηρίου Αθηνών.

Γραμματέας της Επιτροπής, **Ελευθερία Τελειώνη**.

Ειδικός Επιστημονικός Σύμβουλος του βιβλίου «Ηλεκτρικές Μηχανές Τομός Α» ο κ. **Ιωάννης Προυσαλίδης**, Αναπληρωτής Καθηγητής ΕΜΠ (Σχολή Ναυπηγών, Μηχανολόγων-Μηχανικών).

### Διατελέσαντα μέλη της Επιτροπής

Γ. Κακριδής (1955-1959) Καθηγητής ΕΜΠ, Α. Καλογεράς (1957-1970) Καθηγητής ΕΜΠ, Α. Παπάς (1955-1983) καθηγητής ΕΜΠ, Χ. Καβουνίδης (1955-1984) Μηχ. Ηλ. ΕΜΠ, Μ. Αγγελόπουλος (1970-2003) ομ. καθηγητής ΕΜΠ, Σπ. Γούλιελμος (1958) Αντ/ρχος, Ξ. Ανιωνιάδης (1959-1966) Αντ/ρχος, Δ/ντρια Ναυτ. Εκπαιδ., Π. Γ. Τσακίρης (1967-1969) Πλοιάρχος, Δ/ντρια Ναυτ. Εκπαιδ., Ελλ. Σίδερης (1967-1969) Υποναύαρχος, Π. Φουστέρης (1969-1971) Αντιπλοίαρχος Λ.Σ., Δ/ντρια Ναυτ. Εκπαιδ., Αλ. Μοοχονάς (1971-1972) Αντιπλοίαρχος Λ.Σ., Δ/ντρια Ναυτ. Εκπαιδ., Ι. Χρυσανθακόπουλος (1972-1974) Αντιπλοίαρχος Λ.Σ., Δ/ντρια Ναυτ. Εκπαιδ., Αθαν. Σωτηρόπουλος (1974-1977) Πλοιάρχος Λ.Σ., Δ/ντρια Ναυτ. Εκπαιδ., Γ. Σπαριώτης (1977) Αντιπλοίαρχος Λ.Σ., προσωρινός Δ/ντρια Ναυτ. Εκπαιδ., Θ. Ποντάκης (1977-1979) Πλοιάρχος Λ.Σ., Δ/ντρια Ναυτ. Εκπαιδ., Π. Λυκούδης (1979-1981) Πλοιάρχος Λ. Σ., Δ/ντρια Ναυτ. Εκπαιδ., Αναστ. Δημαράκης (1981-1982) Πλοιάρχος Λ.Σ., Δ/ντρια Ναυτ. Εκπαιδ., Κ. Τοαντίλας (1982-1984) Πλοιάρχος Λ.Σ., Δ/ντρια Ναυτ. Εκπαιδ., Α. Σιανρόπουλος ομ. καθηγητής Πειραιώς (2003-2008) Ε. Τζαβέλας (1984-1986) Πλοιάρχος Λ.Σ., Δ/ντρια Ναυτ. Εκπαιδ., Γ. Γρηγοράκος (1986-1988) Πλοιάρχος Λ.Σ., Δ/ντρια Ναυτ. Εκπαιδ., Α. Μπαρκατούς (1988-1989) Αρχιπλοίαρχος Λ.Σ., Δ/ντρια Ναυτ. Εκπαιδ., Κ. Παπαναστασίου (1989) Αρχιπλοίαρχος Λ.Σ., Δ/ντρια Ναυτ. Εκπαιδ., Γ. Λάμπρου (1989-1992) Πλοιάρχος Λ.Σ., Δ/ντρια Ναυτ. Εκπαιδ., Κ. Κοκορέτος (1992-1993) Πλοιάρχος Λ.Σ., Δ/ντρια Ναυτ. Εκπαιδ., Κ. Μαρκάκης (1993-1994) Πλοιάρχος Λ.Σ., Δ/ντρια Ναυτ. Εκπαιδ., Ι. Ζουμπούλης (1994-1995) Πλοιάρχος Λ.Σ., Φ. Ψαρράς (1995-1996) Πλοιάρχος Λ.Σ., Δ/ντρια Ναυτ. Εκπαιδ., Γ. Καλαρώνης (1996-1998) Πλοιάρχος Λ.Σ., Δ/ντρια Ναυτ. Εκπαιδ., Θ. Ρενιζέπέρης (1998-2000) Αντιπλοίαρχος Λ.Σ., Δ/ντρια Ναυτ. Εκπαιδ., Ι. Σιεφανάκης (2000-2001) Πλοιάρχος Λ.Σ., Δ/ντρια Ναυτ. Εκπαιδ., Κ. Μαρίνος (2001) Πλοιάρχος Λ.Σ., Δ/ντρια Ναυτ. Εκπαιδ., Π. Εξαρχόπουλος (2001-2003) Πλοιάρχος Λ.Σ., Δ/ντρια Ναυτ. Εκπαιδ., Κ. Μητριάκης (2003-2004) Πλοιάρχος Λ.Σ., Δ/ντρια Ναυτ. Εκπαιδ., Ν. Θεοφέλαρος (2003-2004) Αντιπλοίαρχος Λ.Σ., Δ/ντρια Ναυτ. Εκπαιδ., Π. Κουβέλης (2004-2005) Πλοιάρχος Λ.Σ., Δ/ντρια Ναυτ. Εκπαιδ., Δ. Βασιλάκης (2005-2008) Πλοιάρχος Λ.Σ., Δ/ντρια Ναυτ. Εκπαιδ., Π. Πετρόπουλος (2008-2009) Πλοιάρχος Λ.Σ., Δ/ντρια Ναυτ. Εκπαιδ., Α. Ματσάγγος (2009-2011) Πλοιάρχος Λ.Σ., Δ/ντρια Ναυτ. Εκπαιδ., Ι. Σέργης (2011-2012) Αρχιπλοίαρχος Λ.Σ., Δ/ντρια Ναυτ. Εκπαιδ., Ι. Τζαβάρας, (2004-2013) Αντιναύαρχος Λ.Σ. (Ε.Α.), Ι. Τεγόπουλος (1988-2013) ομ. καθηγητής ΕΜΠ, Α. Θεοφανόπουλος (2012-2014) Πλοιάρχος Λ.Σ., Δ/ντρια Ναυτ. Εκπαιδ..

I ΔΡΥΜΑ ΕΥΓΕΝΙΔΟΥ  
ΒΙΒΛΙΟΘΗΚΗ ΤΟΥ ΝΑΥΤΙΚΟΥ

# ΗΛΕΚΤΡΙΚΕΣ ΜΗΧΑΝΕΣ

ΤΟΜΟΣ ΠΡΩΤΟΣ

Δρ. ΒΛΑΧΟΥ Γ. ΑΡΙΣΤΕΙΔΗ

Ηλεκτρολόγου Μηχανικού  
Καθηγητή ΑΕΝ Ασπροπύργου

ΑΘΗΝΑ  
2016



## ΠΡΟΛΟΓΟΣ ΣΥΓΓΡΑΦΕΑ

*To βιβλίο αυτό απενθύνεται στους σπουδαστές Μηχανικούς Γ' εξαμήνου των Ακαδημιών Εμπορικού Ναυτικού (A.E.N).*

*Έχει γραφεί σύμφωνα με τα οριζόμενα αναλυτικά και ωρολόγια προγράμματα σπουδών των A.E.N., όπως περιγράφονται στο ΦΕΚ 2303/16 Σεπεμβρίου 2013, που εκδόθηκε σε εφαρμογή της αναθεωρημένης Δ.Σ. STCW 1978 (2010 τροποποιήσεις Manila).*

*To βιβλίο αυτό θα έχει εκπληρώσει το σύχο του αν οι σπουδαστές κατανοήσουν την αρχή λειπουργίας των πλεκτικών διατάξεων-συσκευών που αναλύονται στα αντίστοιχα κεφάλαια.*

*Αισθάνομαι επιπλακή την ανάγκη να ευχαριστήσω θερμά όλο το προσωπικό του τμήματος εκδόσεων του Ιδρύματος Ευγενίδου για την πλήρη και αποδοτική συνεργασία την οποίαν είχα. Ειδικά θέλω να ευχαριστήσω τον καθηγητή του Ε.Μ.Π. κ. Γιάννη Προνοαλίδην ο οποίος ως κριτής και ειδικός επιστημονικός σύμβουλος αφιέρωσε χρόνο στη μελέτη των αρχικών κειμένων και με εύστοχες παραπρήσεις και υποδείξεις του βοήθησε σημαντικά στη βελτίωση του παρόντος βιβλίου.*

*Θεωρώντας ότι η βελτίωση αυτού του βιβλίου είναι έργο της δημιουργικής και καλόπιστης κριτικής, θα ήθελα να ευχαριστήσω εκ των προτέρων τους αναγνώστες που θα απενθύνουν παραπρήσεις, υποδείξεις ή σχόλια τα οποία θα βοηθήσουν στην κατεύθυνση αυτή.*

Ο συγγραφέας



## **ΠΕΡΙΕΧΟΜΕΝΑ**

### **ΚΕΦΑΛΑΙΟ ΠΡΩΤΟ ΑΡΧΕΣ ΗΛΕΚΤΡΟΜΑΓΝΗΤΙΣΜΟΥ**

1.1 Εισαγωγή.....	1
1.2 Ηλεκτρομαγνητική επαγωγή. Νόμος του Faraday.....	7
1.3 Βασικές αρχές λειτουργίας γραμμικής μηχανής συνεχούς ρεύματος. ....	9
1.4 Μαγνητικά κυκλώματα. ....	16
1.5 Ερωτήσεις.....	21
1.6 Προτεινόμενες ασκήσεις.....	22

### **ΚΕΦΑΛΑΙΟ ΔΕΥΤΕΡΟ ΜΕΤΑΣΧΗΜΑΤΙΣΤΕΣ**

2.1 Εισαγωγή.....	25
2.2 Δομή και χρήσεις των μονοφασικών Μ/Σ. ....	25
2.3 Λειτουργία των μονοφασικών Μ/Σ.....	26
2.4 Πειραματικός προσδιορισμός των παραμέτρων του ισοδύναμου κυκλώματος του πραγματικού μονοφασικού Μ/Σ. ....	36
2.5 Διακύμανση τάσεως ή εκατοστιαία πτώση τάσεως. ....	38
2.6 Απώλειες και απόδοση των πραγματικών Μ/Σ – Γενικά.....	39
2.7 Τριφασικός Μ/Σ. ....	50
2.8 Συνθήκες παραλληλισμού μονοφασικών Μ/Σ.....	61
2.9 Συνθήκες παραλληλισμού. ....	64
2.10 Ειδικές κατηγορίες Μ/Σ. ....	64
2.11 Συντήρηση, βλάβες και επισκευές Μ/Σ.....	67
2.12 Ερωτήσεις.....	71
2.13 Προτεινόμενες ασκήσεις.....	71

### **ΚΕΦΑΛΑΙΟ ΤΡΙΤΟ ΑΝΟΡΘΩΤΕΣ ΙΣΧΥΟΣ**

3.1 Εισαγωγή.....	73
3.2 Ηλεκτρονικά στοιχεία ισχύος. ....	73
3.3 Το πρόβλημα ψύξεως και προστασίας των πλεκτρονικών ισχύος. ....	77
3.4 Σύγκριση των πλεκτρονικών ισχύος. ....	79
3.5 Κυκλώματα ανορθωτικών διατάξεων ισχύος – Εισαγωγή.....	79
3.6 Ερωτήσεις.....	82

### **ΚΕΦΑΛΑΙΟ ΤΕΤΑΡΤΟ ΗΛΕΚΤΡΟΜΗΧΑΝΙΚΗ ΜΕΤΑΤΡΟΠΗ ΕΝΕΡΓΕΙΑΣ**

4.1 Εισαγωγή.....	83
4.2 Στοιχειώδης κινητήρας μαγνητικής αντιστάσεως – Γενικά.....	84
4.3 Μαγνητικό σύστημα με διπλή διέγερση. ....	89

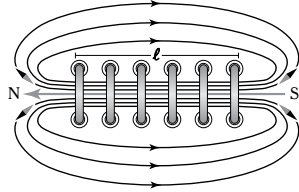
4.4 Ερωτήσεις.....	93
4.5 Προτεινόμενες ασκήσεις.....	94

**ΚΕΦΑΛΑΙΟ ΠΕΜΠΤΟ  
ΗΛΕΚΤΡΙΚΕΣ ΜΗΧΑΝΕΣ ΣΥΝΕΧΟΥΣ ΡΕΥΜΑΤΟΣ**

5.1 Εισαγωγή.....	95
5.2 Δομή των μηχανών ΣΡ. ....	95
5.3 Τυλίγματα μηχανών ΣΡ. ....	97
5.4 Λειτουργία γεννήτριας ΣΡ. ....	100
5.5 Είδη μηχανών (γεννητριών) ΣΡ – Εισαγωγή.....	107
5.6 Προτεινόμενες ασκήσεις.....	124
5.7 Κινητήρες ΣΡ – Εισαγωγή. ....	125
5.8 Είδη κινητήρων ΣΡ – Εισαγωγή. ....	127
5.9 Ρύθμιση ταχύτητας περιστροφής των κινητήρων ΣΡ – Εισαγωγή.....	133
5.10 Κινητήρες ΣΡ με μόνιμους μαγνήτες. ....	139
5.11 Βλάβες, αιτίες και επισκευές των μηχανών ΣΡ.....	140
5.12 Ερωτήσεις – Εργασίες .....	150
5.13 Προτεινόμενες ασκήσεις.....	151

**ΚΕΦΑΛΑΙΟ ΕΚΤΟ  
ΣΥΓΧΡΟΝΕΣ ΓΕΝΝΗΤΡΙΕΣ**

6.1 Εισαγωγή.....	153
6.2 Κατηγορίες συγχρόνων γεννητριών. ....	153
6.3 Συστήματα διεγέρσεως συγχρόνων γεννητριών.....	153
6.4 Αρχή λειτουργίας της στοιχειώδους σύγχρονης γεννήτριας.....	155
6.5 Επαγωγικό τύμπανο σύγχρονης γεννήτριας. ....	157
6.6 Ανάπτυξη τάσεως σε μια σύγχρονη γεννήτρια.....	160
6.7 Αντίδραση τυμπάνου σύγχρονης γεννήτριας .....	165
6.8 Ισοδύναμο κύκλωμα της σύγχρονης γεννήτριας.....	166
6.9 Ισοζύγιο ισχύων και απόδοσην της σύγχρονης γεννήτριας.....	166
6.10 Εσωτερική αναπτυσσόμενη πλεκτρομαγνητική ισχύς και ροπή σε σύγχρονη γεννήτρια.....	167
6.11 Ρύθμιση της πραγματικής και αέργου ισχύος μιας σύγχρονης γεννήτριας.....	168
6.12 Πειραματικός προσδιορισμός των κυκλωματικών στοιχείων του απλοποιημένου ισοδυνάμου, ανά φάση, πλεκτρικού κυκλώματος σύγχρονης γεννήτριας. ....	169
6.13 Ρύθμιση και έλεγχος τάσεως στις σύγχρονες γεννήτριες. Αυτόματος Ρυθμιστής Τάσεως.....	171
6.14 Ψύξη, βλάβες, λίπανση και συντήρηση των συγχρόνων γεννητριών. ....	172
6.15 Ερωτήσεις.....	180
6.16 Προτεινόμενες ασκήσεις.....	181
Πίνακας συμβόλων .....	183
Ευρετήριο .....	184



## ΚΕΦΑΛΑΙΟ ΠΡΩΤΟ ΑΡΧΕΣ ΗΛΕΚΤΡΟΜΑΓΝΗΤΙΣΜΟΥ

### 1.1 Εισαγωγή.

Προκειμένου να κατανοθούν οι αρχές λειτουργίας των πλεκτρικών διατάξεων και συσκευών σε μια πλεκτρική εγκατάσταση πλοίου είναι απαραίτητο να δοθούν οι βασικές αρχές του πλεκτρομαγνητισμού.

Οι έννοιες του μαγνητικού πεδίου, της μαγνητικής ροής, της μαγνητικής διεγέρσεως και των μαγνητικών ιδιοτήτων της ύλης αποκτούν ιδιαίτερο ενδιαφέρον στην κατασκευή και λειτουργία, γενικά, των πλεκτρικών διατάξεων και συσκευών.

#### 1.1.1 Μαγνητικό πεδίο.

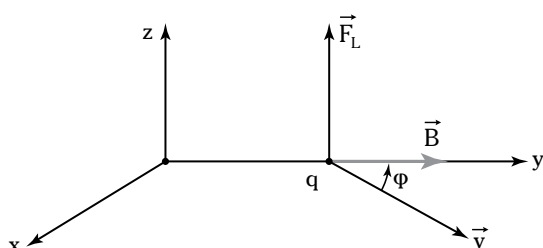
Για το μαγνητικό πεδίο ισχύουν οι ακόλουθοι ορισμοί.

**Ορισμός 1:** *Μαγνητικό πεδίο* είναι η περιοχή του χώρου, σε κάθε σημείο της οποίας ένα φυσικό διανυσματικό μέγεθος, που ονομάζεται **μαγνητική επαγωγή**, λαμβάνει μία ορισμένη τιμή.

**Ορισμός 2:** *Μαγνητικό πεδίο* είναι η περιοχή του χώρου μέσα στην οποία αν τοποθετηθεί ρευματοφόρος αγώγος, μαγνήτης ή κινούμενο πλεκτρικό φορτίο δέχεται την επίδραση δυνάμεων.

#### 1) Μαγνητική επαγωγή.

Έστω κινούμενο πλεκτρικό φορτίο  $q$ , με ταχύτητα  $\vec{v}$  μέσα σ' ένα μαγνητικό πεδίο (σχ. 1.1a). Στο φορτίο ασκείται από το μαγνητικό πεδίο μία δύναμη Laplace,  $\vec{F}_L$ .



Σχ. 1.1a

Δύναμη Laplace σε κινούμενο πλεκτρικό φορτίο.

Πειραματικά, αποδεικνύεται ότι η δύναμη Laplace ( $\vec{F}_L$ ), η οποία ασκείται σε κινούμενο πλεκτρικό φορτίο  $q$ , μέσα σε μαγνητικό πεδίο, με ταχύτητα  $\vec{v}$  είναι:

1) Ανάλογη της ταχύτητας  $\vec{v}$ .

2) Ανάλογη του φορτίου  $q$ .

3) Ανάλογη του ημιόνου της γωνίας  $\phi$ , η οποία σχηματίζεται μεταξύ του διανύσματος της ταχύτητας και της διευθύνσεως του μαγνητικού πεδίου.

Το μέτρο της δυνάμεως Laplace, δίδεται:

$$F_L = Bqv\mu_f \quad (1.1)$$

Η σταθερή αναλογίας,  $B$ , από την οποίας εξαρτάται το μαγνητικό πεδίο ονομάζεται **μαγνητική επαγωγή** ή **πυκνότητα μαγνητικής ροής**. Διανυσματικά, η δύναμη Laplace γράφεται:

$$\vec{F}_L = q[\vec{v} \times \vec{B}] \quad (1.2)$$

Η διεύθυνση της δυνάμεως Laplace είναι κάθετη στο επίπεδο, που ορίζουν τα διανύσματα  $\vec{v}$  και  $\vec{B}$  και η φορά της είναι η ίδια με εκείνη, κατά την οποία προωρεί δεξιόστροφος κοχλίας, αν στρέψουμε το διάνυσμα  $\vec{v}$  κατά την μικρότερη γωνία για να συναντήσουμε το διάνυσμα  $\vec{B}$  (στο σχ. 1.1a κατά τη γωνία  $\phi$ ).

Από τη σχέση 1.1, έχουμε:

$$B = \frac{F_L}{qv\mu_f} \quad (1.3)$$

Η σχέση 1.3, δίδει το μέτρο της μαγνητικής επαγωγής  $B$ . Ένα μαγνητικό πεδίο έχει μαγνητική επαγωγή 1 Tesla (1 T) σ' ένα σημείο του, όταν φορτίο 1 C [ $q=1$  C (Coulomb)] το οποίο περνάει από το σημείο με ταχύτητα 1 m/s, κάθετα στη διεύθυνση του μαγνητικού πεδίου μαγνητικής επαγωγής  $\vec{B}$ , δέχεται δύναμη 1 N:  $1T = \frac{1Ns}{1Cm} = \frac{1N}{Am}$

όπου  $\frac{1C}{1s} = 1A$  (Αμπέρ –Ampere).

## 2) Δύναμη Laplace σε ρευματοφόρο αγωγό.

Έστω ότι ευθύγραμμος αγωγός ενεργού μήκους  $\ell$  τοποθετείται μέσα σε μαγνητικό πεδίο  $\vec{B}$  ενώ διαρρέεται από ρεύμα εντάσεως  $I$  (σχ. 1.1β).

Στον αγωγό ασκείται δύναμη Laplace, το μέτρο της οποίας είναι:

$$F_L = BI\ell\mu\varphi. \quad (1.4)$$

Αν  $\varphi = 0$  ή  $\varphi = 180^\circ$ , τότε στον αγωγό δεν ασκείται καμία δύναμη.

### Απόδειξη της σχέσεως 1.4.

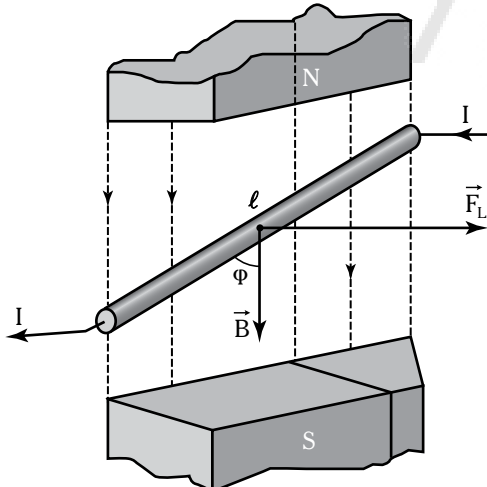
Θεωρούμε  $\Delta\ell_1, \Delta\ell_2, \dots, \Delta\ell_n$  τα στοιχειώδη μήκη του αγωγού μήκους  $\ell$  στα οποία ασκούνται στοιχειώδεις δυνάμεις Laplace  $\Delta\vec{F}_L^{(1)}, \Delta\vec{F}_L^{(2)}, \dots, \Delta\vec{F}_L^{(n)}$  που έχουν το ίδιο μέτρο, διεύθυνσην και φορά. Η συνισταμένη  $\vec{F}_L$  των στοιχειωδών δυνάμεων, η οποία ασκείται στον αγωγό θα έχει μέτρο ίσο με το άθροισμα των μέτρων τους.

$$\begin{aligned} F_L &= \sum_{n=1}^L \Delta F_n = \sum_{n=\Delta\ell_1}^L BI\Delta_n\mu\varphi = \\ &= BI\mu\varphi \cdot \sum_{n=\Delta\ell_1}^L \Delta\ell_n = BI\ell\mu\varphi. \end{aligned}$$

Το μήκος  $\ell$  είναι το ενεργό μήκος του αγωγού (εκείνο το οποίο βρίσκεται μέσα στο μαγνητικό πεδίο).

### 1.1.2 Μαγνητική ροή.

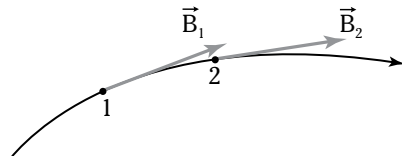
Ένα μαγνητικό πεδίο απεικονίζεται με ένα σύνολο μαγνητικών δυναμικών γραμμών.



Σχ. 1.1β

Ρευματοφόρος αγωγός σε μαγνητικό πεδίο.

**Ορισμός. Δυναμική γραμμή του μαγνητικού πεδίου** ονομάζεται η γραμμή εκείνη, σε κάθε σημείο της οποίας το διάνυσμα της μαγνητικής επαγωγής  $\vec{B}$  εφάπεται σε αυτήν (σχ. 1.1γ).



Σχ. 1.1γ

Μαγνητική δυναμική γραμμή ενός μαγνητικού πεδίου.

Τα χαρακτηριστικά των μαγνητικών γραμμών ενός μαγνητικού πεδίου είναι ότι:

1) Είναι κλειστές.

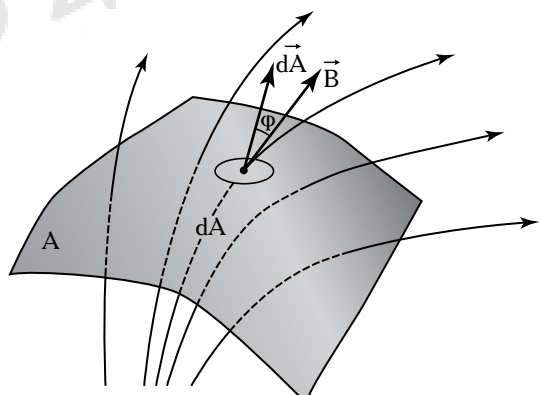
2) Ξεκινούν από τον βόρειο πόλο και καταλήγουν στον νότιο πόλο σε έναν μαγνήτη.

3) Δεν τέμνονται, γιατί σε κάθε σημείο του μαγνητικού πεδίου το διάνυσμα της μαγνητικής επαγωγής έχει μία διεύθυνση, οπότε από κάθε σημείο του πεδίου διέρχεται μία και μόνο μία μαγνητική δυναμική γραμμή.

4) Όταν είναι παράλληλες και ισαπέχουσες, τότε το μαγνητικό πεδίο είναι ομοιόμορφο.

Η μαγνητική ροή  $\Phi$ , ενός μαγνητικού πεδίου, μαγνητικής επαγωγής  $\vec{B}$ , είναι το μονόμετρο φυσικό μέγεθος, το οποίο εκφράζει το πλήθος των μαγνητικών δυναμικών γραμμών, που διέρχονται από μία επιφάνεια, η οποία τοποθετείται στο μαγνητικό πεδίο (σχ. 1.1δ).

Έστω μία επιφάνεια εμβαδού  $A$  σε ένα μαγνητικό πεδίο μαγνητικής επαγωγής  $\vec{B}$  (σχ. 1.1δ). Η στοιχειώδης μαγνητική ροή  $d\Phi$  του διανύσματος  $\vec{B}$ ,



Σχ. 1.1δ

Επιφάνεια εμβαδού  $A$ , π οποία τοποθετείται μέσα σε μαγνητικό πεδίο μαγνητικής επαγωγής  $\vec{B}$ .

η οποία περνάει από κάποιο στοιχειώδες τμήμα εμβαδού  $dA$  της επιφάνειας  $A$ , ισούται με το γινόμενο του μέτρου της μαγνητικής επαγωγής στην περιοχή της στοιχειώδους επιφάνειας, επί το εμβαδόν της, επί το συνημίτονο της γωνίας προσπώσεως των δυναμικών γραμμών στο τμήμα  $dA$ :

$$d\Phi = BdA \sin\varphi \quad \text{ή} \quad d\Phi = \vec{B} \cdot d\vec{A}. \quad (1.5)$$

Η ολική ροή  $\Phi$ , που διέρχεται από την επιφάνεια εμβαδού  $A$ , δίδεται από το ακόλουθο ολοκλήρωμα:

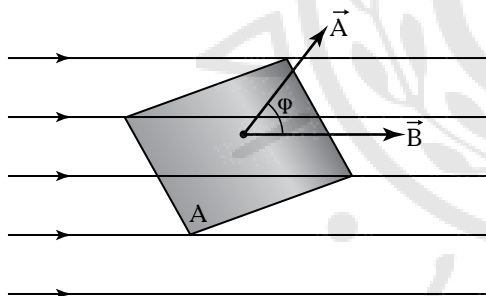
$$\Phi = \int_A B \sin\varphi dA. \quad (1.6)$$

Στην περίπτωση ομογενούς και ομοιόμορφου μαγνητικού πεδίου (σχ. 1.1ε) ισχύει:

$$\Phi = BA \sin\varphi. \quad (1.7)$$

Η μονάδα μετρήσεως της μαγνητικής ροής είναι Weber (Wb). Από τη σχέση 1.7, έχουμε  $1 \text{ Wb} = 1 \text{ Tm}^2$  όπου:  $T$  (Tesla), είναι η μονάδα μετρήσεως της μαγνητικής επαγωγής  $B$  και  $\text{m}^2$  το εμβαδό σε τετραγωνικά μέτρα της επίπεδης επιφάνειας (σχ. 1.1ε).

Αν η επίπεδη επιφάνεια είναι κάθετη στις μαγνητικές δυναμικές γραμμές, τότε  $\sin\varphi = 1$ , οπότε η ροή  $\Phi$  είναι:  $\Phi = BA$ .



**Σχ. 1.1ε**

Ομογενές και ομοιόμορφο μαγνητικό πεδίο και επίπεδη επιφάνεια.

### - Προέλευση του μαγνητικού πεδίου.

Βιομηχανικά αξιοποιήσιμο μαγνητικό πεδίο παράγεται απ' το πλεκτρικό ρεύμα. Η μαγνητική επαγωγή εξαρτάται απ' το ρεύμα (άτιο δημιουργίας του μαγνητικού πεδίου) και από τη φύση του μέσου, εντός του οποίου εγκαθίσταται το πεδίο. Η ιδιότητα αυτού του μέσου ονομάζεται **μαγνητική διαπερατότητα**.

**Ορισμός. Μαγνητική διαπερατότητα** ενός μέσου ονομάζεται η ιδιότητά του να επιρρέαζει το μαγνητικό πεδίο μέσα στο οποίο εγκαθίσταται. Η απόλυτη

μαγνητική διαπερατότητα  $\mu$ , ενός μέσου εκφράζει το μέτρο της «ευκολίας» το οποίο εμφανίζει το μέσο για την εγκατάσταση ενός μαγνητικού πεδίου.

Για μια μεγάλη οικογένεια υλικών μέσων ισχύει  $\mu = \mu_0 \mu_r$ , όπου το  $\mu_r$  ονομάζεται **σχετική μαγνητική διαπερατότητα** του υλικού:

$$\mu_r = \frac{\mu}{\mu_0}. \quad (1.8)$$

Η σχετική μαγνητική διαπερατότητα  $\mu_r$ , είναι καθαρός αριθμός, προσδιορίζεται πειραματικά, και εκφράζει πόσες φορές είναι μεγαλύτερη η απόλυτη μαγνητική διαπερατότητα ενός μέσου σε σχέση με το κενό. Η μαγνητική διαπερατότητα του κενού  $\mu_0$ , είναι παγκόσμια σταθερά ίση με:  $\mu_0 = 4\pi \cdot 10^{-7} \text{ H/m}$ .

### 1.1.3 Μαγνητική διέγερση.

Η μαγνητική επαγωγή  $\vec{B}$ , ενός μαγνητικού πεδίου, σε ένα σημείο του, εξαρτάται από την αιτία δημιουργίας του αλλά και από το μέσο μέσα στο οποίο εγκαθίσταται. Ένα πεδιακό διάνυσμα, που είναι ανεξάρτητο από το μέσο, εντός του οποίου εγκαθίσταται το μαγνητικό πεδίο είναι η μαγνητική διέγερση  $\vec{H}$ .

**Ορισμός. Μαγνητική διέγερση**  $\vec{H}$  σε ένα σημείο του μαγνητικού πεδίου ονομάζεται ένα διάνυσμα  $\vec{H}$  ομόρροπο του διανύσματος της μαγνητικής επαγωγής  $\vec{B}$ , στο αντίστοιχο σημείο, με μέτρο το πλήρικο του μέτρου της μαγνητικής επαγωγής προς την απόλυτη μαγνητική διαπερατότητα του μέσου:

$$H = \frac{B}{\mu} = \frac{B}{\mu_r \mu_0}, \quad (1.9)$$

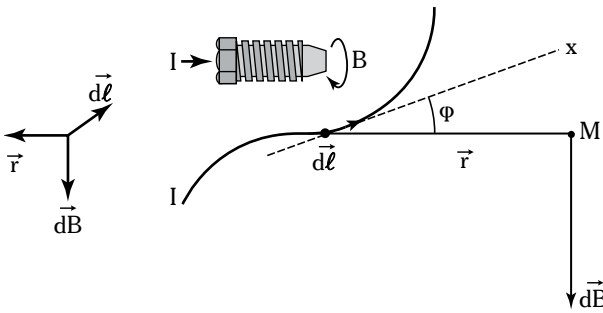
$$\text{είναι: } \mu_0 = 4\pi \cdot 10^{-7} \frac{\text{T} \cdot \text{m}}{\text{A}}.$$

Οι μονάδες μετρήσεως της μαγνητικής διέγέρσεως είναι  $[H] = [A]/[M]$  ( $\text{Αμπέρ}/\text{m}$ ).

### 1) Νόμος των Biot-Savart.

Στην περίπτωση μίας αυθαίρετης κατανομής ρεύματος, ο υπολογισμός του διανύσματος της μαγνητικής επαγωγής  $\vec{B}$ , σε κάθε σημείο γίνεται χρησιμοποιώντας τον Νόμο του Biot-Savart. Οπότε η μαγνητική επαγωγή του μαγνητικού πεδίου σε σημείο ενός μέσου, στο οποίο εγκαθίσταται, υπολογίζεται ως εξής (σχ. 1.1στ):

- 1) Διαιρούμε τον αγωγό σε στοιχειώδη ευθύγραμμα τμήματα,  $d\vec{l}$ .
- 2) Σε κάθε στοιχειώδης ρευματοφόρο τμήμα,



Σχ. 1.1στ

Νόμος των Biot-Savart,

όπου  $r$  η διανυσματική ακτίνα (προσανατολισμένη απόσταση αγωγού-σημείου) και  $\varphi$  η γωνία μεταξύ των διανυσμάτων  $d\ell$  και  $r$ .

$d\ell \times I$ , του αγωγού αντιστοιχίζομε μια στοιχειώδη μαγνητική επαγωγή  $d\vec{B}$ . Το άθροισμα όλων των μαγνητικών επαγωγών  $\sum dB$  για όλα τα στοιχειώδη ρευματοφόρα τμήματα του αγωγού δίδει τη μαγνητική επαγωγή  $\vec{B}$ , την οποία δημιουργεί ο αγωγός.

Ο Νόμος των Biot-Savart συνδέει τα χαρακτηριστικά του στοιχείου ρεύματος ( $d\ell \times I$ ) με τη στοιχειώδη μαγνητική επαγωγή  $d\vec{B}$ . Το διάνυσμα  $d\vec{B}$  έχει τη φορά της εντάσεως του πλεκτρικού ρεύματος στον αγωγό.

Η στοιχειώδης μαγνητική επαγωγή  $d\vec{B}$  στο σημείο  $M(r, \varphi)$  έχει τα ακόλουθα χαρακτηριστικά:

1) Διεύθυνση κάθετη στο επίπεδο ( $d\ell, r$ ) το οποίο ορίζει η διεύθυνση  $d\ell$  και το σημείο  $M$ .

2) Το σύστημα των διανυσμάτων ( $d\vec{B}, d\ell, r$ ) να έχει την φορά των δεικτών του ρολογιού.

Το μέτρο της στοιχειώδους μαγνητικής επαγωγής είναι:

$$dB = \frac{\mu_0}{4\pi} \cdot \frac{Id\ell}{r^2} n\mu\varphi \quad (1.10)$$

όπου  $\frac{\mu_0}{4\pi}$  η μαγνητική σταθερά.

Διανυσματικά, η στοιχειώδης μαγνητική επαγωγή, στο σημείο  $M$ , δίδεται ως εξής:  $d\vec{B} = \frac{\mu_0 I}{4\pi} \cdot \frac{d\ell \times r}{r^3}$  όπου  $r$ , είναι το διάνυσμα θέσεως από το στοιχειώδης ρευματικό στοιχείο προς το σημείο  $M$ . Η πρώτη της συνολικής μαγνητικής επαγωγής προκύπτει από το διανυσματικό ολοκλήρωμα:  $\vec{B} = \int d\vec{B}$ .

Στην περίπτωση κατά την οποία δεν λαμβάνονται υπόψη οι ιδιότητες του μέσου, στο οποίο εγκαθίσταται το μαγνητικό πεδίο, ο Νόμος των Biot-Savart, για τη στοιχειώδη μαγνητική διέγερση (μέτρο) στο σημείο  $M$  (σχ. 1.1στ), του μαγνητικού πεδίου είναι:

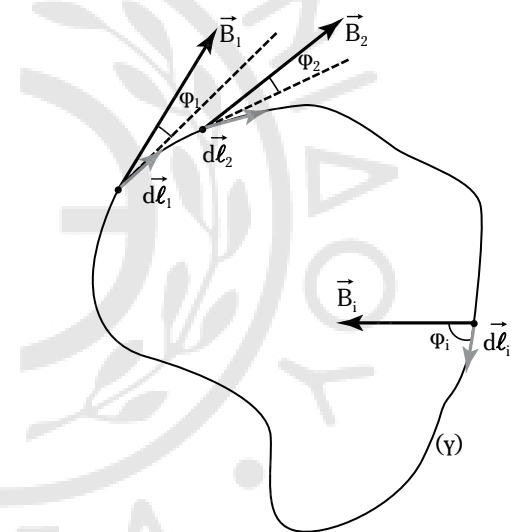
$$dH = \frac{\mu_0}{4\pi} \cdot \frac{Id\ell}{r^2} n\mu\varphi. \quad (1.11)$$

Η πηγή του μαγνητικού πεδίου είναι το στοιχείο ρεύματος  $d\ell \times I$ , όπως ακριβώς είναι το φορτίο  $q$  είναι η πηγή του πλεκτροστατικού πεδίου.

## 2) Νόμος των διαρρεύματος.

Ο **Νόμος των διαρρεύματος** ή **του Ampere** χρησιμοποιείται για την υπολογισμό της μαγνητικής επαγωγής του μαγνητικού πεδίου, όταν η συμμετρία κατανομής του ρεύματος είναι πολύ μεγάλη, ώστε να είναι εύκολος ο υπολογισμός του ολοκληρώματος:  $\oint B \cdot d\ell$ . Ο συμβολισμός  $\oint$  δείχνει ότι η ολοκλήρωση (κυκλοφορία), γίνεται κατά μήκος κλειστής γραμμής.

Έστω λοιπόν μία κλειστή γραμμή ( $\gamma$ ), η οποία τοποθετείται σε μόνιμο μαγνητικό πεδίο, που δημιουργείται από ρευματοφόρους αγωγούς (σχ. 1.1ζ).



Σχ. 1.1ζ

Κλειστή γραμμή ( $\gamma$ ) μέσα σε μόνιμο μαγνητικό πεδίο.

Διαμοιράζομε την κλειστή γραμμή ( $\gamma$ ) σε στοιχειώδη τμήματα ( $d\ell_1, d\ell_2 \dots d\ell_n$ ), έτσι ώστε το διάνυσμα της μαγνητικής επαγωγής  $\vec{B}$ , να θεωρείται σταθερό σε κάθε στοιχειώδης τμήμα. Σχηματίζομε τα ακόλουθα αθροίσματα στην φορά, η οποία συμπίπτει με τη φορά περιστροφής του δεξιόστροφου κοχλία, που στρέφεται στη φορά, διαγραφής της καμπύλης ( $\gamma$ ):

$$\Lambda_B = B_1 d\ell_1 \sin \varphi_1 + B_2 d\ell_2 \sin \varphi_2 + \dots + B_n d\ell_n \sin \varphi_n$$

$$\text{ή } \Lambda_B = \sum_{(\gamma)} B_i d\ell_i \sin \varphi_i = \sum_{(\gamma)} B_i \cdot d\ell_i. \quad (1.12)$$

Το στοιχειώδες τμήμα  $d\vec{l}$  έχει την φορά διαγράφης της κλειστής γραμμής ( $\gamma$ ).

Το άθροισμα  $\Lambda_B$  είναι η κυκλοφορία του  $\vec{B}$  πάνω στην προσανατολισμένη γραμμή ( $\gamma$ ).

Ο Νόμος του διαρρεύματος ή του Ampere συνδέει την κυκλοφορία  $\Lambda_B$  με τις εντάσεις των ρευμάτων, τα οποία δημιουργούν το μαγνητικό πεδίο.

Από μια πιο αυστηρή μαθηματική άποψη ο Νόμος του Ampere για ένα μαγνητικό πεδίο εκφράζει την κυκλοφορία της μαγνητικής επαγωγής  $\vec{B}$  του μαγνητικού πεδίου κατά μήκος της κλειστής γραμμής ( $\gamma$ ), που ισούται με  $\mu_0$  (διαπερατόπτη του κενού) επί το συνολικό ρεύμα, η οποία διαπερνά την επιφάνεια  $A$ , που περικλείεται από την κλειστή γραμμή ( $\gamma$ ):

$$\oint \vec{B} \cdot d\vec{l} = \mu_0 I. \quad (1.13)$$

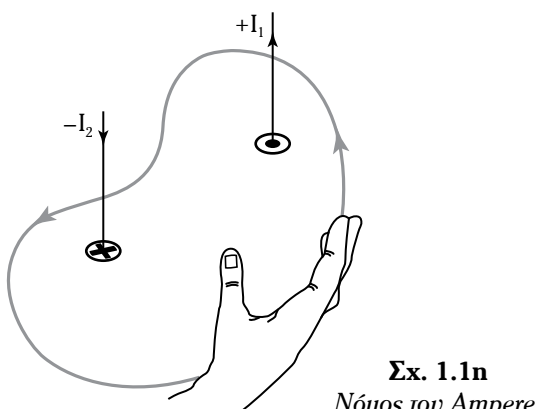
Στην περίπτωση, κατά την οποία δεν λαμβάνομε υπόψη τις ιδιότητες του μέσου, μέσα στο οποίο αναπτύσσεται το μαγνητικό πεδίο, αν στη θέση του διανύσματος της μαγνητικής επαγωγής, θεωρήσουμε το διάνυσμα της μαγνητικής διεγέρσεως  $\vec{H}$ , τότε ισχύει το γινόμενο:  $\vec{H} \cdot d\vec{l} = H_1 \cdot d\vec{l} + H_2 \cdot d\vec{l} + \dots + H_i \cdot d\vec{l}$  (ονομάζεται **μαγνητική τάση**). Εφαρμόζοντας το ολοκλήρωμα της μαγνητικής διεγέρσεως κατά μήκος της κλειστής γραμμής ( $\gamma$ ), (Νόμος του Ampere), έχουμε:

$$\oint H_i \cdot d\vec{l}_i = \sum I_i \quad (1.14)$$

όπου  $I_i$ , είναι το  $i$ -οστό ρεύμα της κλειστής γραμμής ( $\gamma$ ) με  $i = 1, 2, \dots, i$ .

Η κυκλοφορία της μαγνητικής διεγέρσεως του μαγνητικού πεδίου, το οποίο οφείλεται σε ρευματοφόρους αγωγούς κατά μήκος μίας κλειστής καμπύλης, ισούται με το αλγεβρικό άθροισμα των εντάσεων των ρευμάτων του πλεκτρικού ρεύματος, που περικλείει η καμπύλη (σχ. 1.1n).

Το ρεύμα  $I$ , θεωρείται θετικό όταν η φορά του



Σχ. 1.1n  
Νόμος του Ampere.

συμπίπτει με τη φορά με την οποία προχωράει δεξιόστροφος κοχλίας (ή κανόνας του δεξιού χεριού). Διαφορετικά είναι αρνητικό.

Ισχύει, για το σχήμα 1.1n:

$$\oint \vec{H} \cdot d\vec{l} = \sum I_i = I_1 - I_2. \quad (1.15)$$

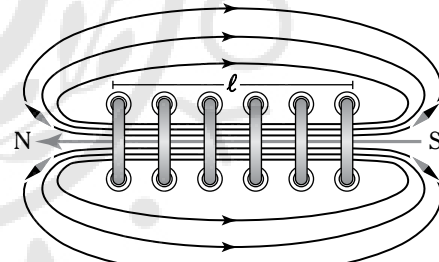
Όσα ρεύματα δεν περικλείονται από την κλειστή γραμμή ( $\gamma$ ) δεν λαμβάνονται υπόψη στο άθροισμα  $\sum I_i$ .

### 3) Μαγνητικό πεδίο σωληνοειδούς πνίου.

Ένα σωληνοειδές πνίο αποτελείται από σταθερό αριθμό ομοαξονικών σπειρών, που έχουν την ίδια ακτίνα, διαρρέονται από το ίδιο ρεύμα, ενώ ο άξονάς του θεωρείται ότι έχει άπειρο μήκος (σχ. 1.1θ).

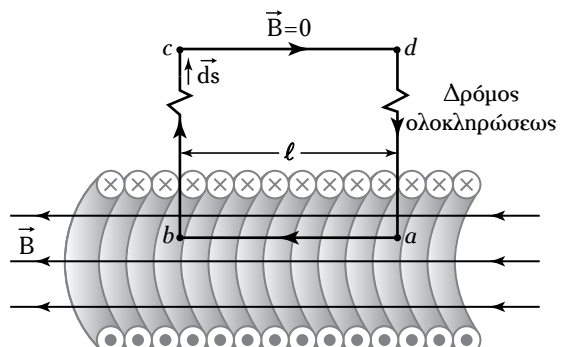
Το μαγνητικό πεδίο στο εσωτερικό του σωληνοειδούς είναι ομοιόμορφο, με τη μαγνητική επαγωγή να είναι παράλληλη στον άξονά του και με φορά εκείνη την οποία δίδει ο αντίκειρας του δεξιού χεριού, όταν το χέρι εφαρμόζει στο σωληνοειδές στη φορά κυκλοφορίας του ρεύματος. Στον εξωτερικό περιβάλλοντα χώρο του πνίου ισούται με μηδέν.

Θεωρούμε ένα σωληνοειδές άπειρου μήκους, το οποίο αποτελείται από η αριθμό σπειρών, ανά μονάδα μήκους (σχ. 1.1i).



Σχ. 1.1θ

Μαγνητικό πεδίο ενθύραμμον σωληνοειδούς πνίου.



Σχ. 1.1i

Σωληνοειδές πνίο άπειρου μήκους.

Υπολογίζομε το μέτρο της μαγνητικής επαγωγής ( $\vec{B}$ ) στο εσωτερικό του σωληνοειδούς επιλέγοντας την κλειστή γραμμή abcd, στην οποία εφαρμόζομε τον Νόμο του Ampere:

$$\oint \vec{B} \cdot d\vec{s} = \int_a^b \vec{B} \cdot d\vec{s} + \int_b^c \vec{B} \cdot d\vec{s} + \int_c^d \vec{B} \cdot d\vec{s} + \int_d^a \vec{B} \cdot d\vec{s}. \quad (1.16)$$

Στο εσωτερικό του σωληνοειδούς η μαγνητική επαγωγή  $\vec{B}$  είναι παράλληλη στη στοιχειώδη μετατόπιση  $d\vec{s}$ , κατά μήκος της κλειστής διαδρομής abcd, οπότε ισχύει:  $\vec{B} \cdot d\vec{s} = B ds$ .

Το μέτρο της μαγνητικής επαγωγής στο εσωτερικό του σωληνοειδούς, στο τμήμα ab, είναι σταθερό

και ισούται με:  $\int_a^b \vec{B} \cdot d\vec{s} = B \ell$ .

Είναι:  $\int_b^c \vec{B} \cdot d\vec{s} = 0$  και  $\int_d^a \vec{B} \cdot d\vec{s} = 0$

γιατί το  $d\vec{s}$  είναι κάθετο στο διάνυσμα  $\vec{B}$ .

Είναι:  $\int_c^d \vec{B} \cdot d\vec{A} = 0$

γιατί θεωρούμε μηδέν την μαγνητική επαγωγή  $\vec{B}$ , η οποία είναι εκτός σωληνοειδούς.

Ο αριθμός των ρευμάτων, που εμπλέκονται με την κλειστή γραμμή abcd είναι ίσος με τον αριθμό των σπειρών  $n_\ell$  ( $n_\ell = n\ell$ ), οι οποίες περιλαμβάνονται στο τμήμα ab μήκους  $\ell$ .

Αυτά τα ρεύματα είναι ίσα και έχουν την ίδια φορά. Από τη σχέση 1.16, προκύπτει ότι:

$$\oint \vec{B} \cdot d\vec{s} = \int_a^b B ds = B \ell \quad \text{και} \quad B \ell = \mu_0 n_\ell I = \mu_0 n \ell I.$$

Τελικά η τιμή της μαγνητικής επαγωγής στο εσωτερικό του σωληνοειδούς είναι:

$$B = \mu_0 I n \quad (1.17)$$

Το μαγνητικό πεδίο στο εσωτερικό του σωληνοειδούς είναι ομοιόμορφο και το μέτρο του εξαρτάται μόνο από το ρεύμα, το οποίο κυκλοφορεί στο σωληνοειδές και από τον αριθμό των σπειρών ανά μονάδα μήκους.

#### 4) Μαγνητικό πεδίο δακτυλιοειδούς πνίου (τορροειδές).

Θεωρούμε ένα δακτυλιοειδές (τορροειδές) πνίο, το οποίο αποτελείται από n σπείρες (σχ. 1.1a).

Ta a και b συμβολίζουν την εσωτερική και την

εξωτερική ακτίνα του δακτυλιοειδούς πνίου, αντίστοιχα, ενώ το r είναι μέση ακτίνα του. Το πνίο διαρρέεται από ρεύμα εντάσεως I.

Δεδομένης της συμμετρίας του πνίου, οι μαγνητικές δυναμικές γραμμές του μαγνητικού πεδίου, το οποίο αναπύσσεται στο τορροειδές, είναι περιφέρειες κύκλου με κέντρο στον άξονά του.

Εφαρμόζοντας τον Νόμο του Ampere στο πνίο, επιλέγοντας σαν δρόμο ολοκληρώσεως την κλειστή μαγνητική γραμμή ℓ ακτίνας r και φορά η οποία συμπίπτει με εκείνη της μαγνητικής επαγωγής  $\vec{B}$  έτσι ώστε τα διανύσματα  $\vec{B}$  και  $d\vec{s}$  να είναι παράλληλα και ομόρροπα, έχουμε:

$$\oint \vec{B} \cdot d\vec{s} = \mu_0 n I = 2\pi r B. \quad (1.18)$$

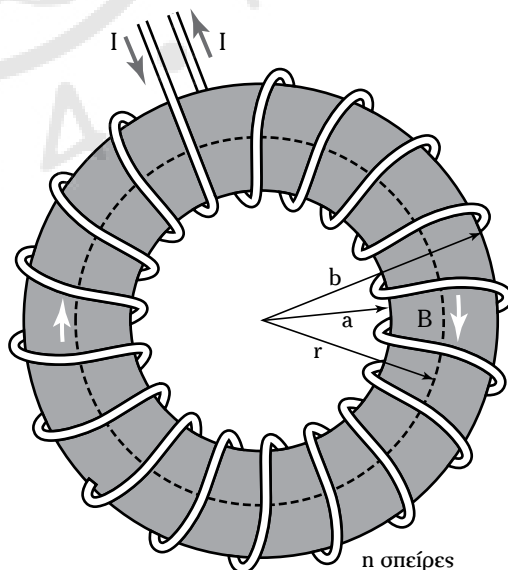
Από τη σχέση 1.18, έχουμε:

$$B = \frac{\mu_0 n I}{2\pi r}. \quad (1.19)$$

Αν στη θέση του διανύσματος της μαγνητικής επαγωγής  $\vec{B}$ , τοποθετήσουμε το διάνυσμα της μαγνητικής διεγέρσεως  $\vec{H}$ , η σχέση 1.18, τροποποιείται ως εξής:  $\oint \vec{H} \cdot d\vec{s} = n I$  ή  $2\pi r H = n I$

και  $H = \frac{n I}{2\pi r} \quad (1.20)$

όπου n ο συνολικός αριθμός σπειρών του τορροειδούς.

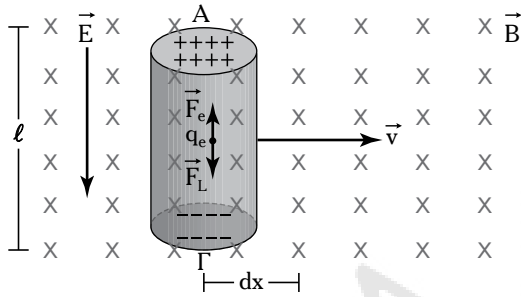


**Σχ. 1.1a**

Δακτυλιοειδές πνίο.

## 1.2 Ηλεκτρομαγνητική επαγωγή. Νόμος του Faraday.

Έστω ότι μεταλλικός κυλινδρικός αγωγός  $\text{ΑΓ}$ , μήκους  $\ell$  κινείται μέσα σε ομογενές μαγνητικό πεδίο, τέμνοντας κάθετα τις μαγνητικές δυναμικές γραμμές του πεδίου, ενώ η διεύθυνση της ταχύτητας του είναι κάθετη στον αγωγό (σχ. 1.2a).



Σχ. 1.2a

Ηλεκτρεγερτική δύναμη (ΗΕΔ) στα άκρα του αγωγού, ο οποίος κινείται σε ομογενές μαγνητικό πεδίο.

Κάθε ελεύθερο πλεκτρόνιο (έστω  $q_e$  το φορτίο του πλεκτρονίου) δέχεται από το μαγνητικό πεδίο μια δύναμη Laplace, με μέτρο:

$$F_L = Bq_e v \quad (1.21)$$

όπου:  $B$  το μέτρο της μαγνητικής επαγωγής του μαγνητικού πεδίου,  $q_e$  το πλεκτρικό φορτίο του πλεκτρονίου και  $v$  το μέτρο της ταχύτητας του αγωγού  $\text{ΑΓ}$  μέσα στο μαγνητικό πεδίο.

Τα ελεύθερα πλεκτρόνια του αγωγού μετακινούνται στο άκρο του  $\Gamma$ . Τελικά, στο άκρο  $A$  συσσωρεύονται θετικά φορτία, ενώ στο άκρο  $\Gamma$  αρνητικά, αντίστοιχα. Οπότε, στα άκρα του αγωγού δημιουργείται μία διαφορά δυναμικού, η οποία ονομάζεται **τάση από επαγωγή** ( $V_{\text{en}}$ ) ή **πλεκτρεγερτική δύναμη** (ΗΕΔ).

$HV_{\text{en}}$  δημιουργεί στο εσωτερικό του αγωγού ένα πλεκτρικό πεδίο εντάσεως:

$$E = \frac{V_{\text{en}}}{\ell} \quad (1.22)$$

με φορά από το άκρο  $A$  στο άκρο  $\Gamma$ , ενώ  $\ell$  είναι το **ενεργό μήκος του αγωγού  $\text{ΑΓ}$** <sup>1</sup>. Σε κάθε φορτίο  $q_e$  του αγωγού ασκείται, συγχρόνως, η δύναμη Laplace, και η δύναμη  $F_e$ , από το πλεκτρικό πεδίο  $E$ , με μέτρο:

$$F_e = Eq_e. \quad (1.23)$$

Η σχέση 1.23 με βάση τη σχέση 1.22 γίνεται:

$$F_e = \frac{V_{\text{en}}}{\ell} q_e \quad (1.24)$$

με φορά αντίθετη της αντίστοιχης του πλεκτρικού πεδίου.

Η μετακίνηση των πλεκτρικών φορτίων  $q_e$  μέσα στον αγωγό σταματά όταν η δύναμη από το πλεκτρικό πεδίο γίνει αντίθετη από τη δύναμη Laplace:

$$F_e + F_L = 0. \quad (1.25)$$

Η σχέση 1.25 με βάση τις σχέσεις 1.21 και τη σχέση 1.24 γίνεται:

$$\frac{V_{\text{en}}}{\ell} q_e + Bq_e v = 0. \quad (1.26)$$

Από τη σχέση 1.26, προκύπτει:

$$V_{\text{en}} = -Bv\ell. \quad (1.27)$$

Από τη σχέση 1.27, προκύπτει ότι στα άκρα ενός αγωγού, ο οποίος κινείται μέσα σε ομογενές μαγνητικό πεδίο, εμφανίζεται **πλεκτρεγερτική δύναμη** (ΗΕΔ) από επαγωγή,  $V_{\text{en}}$ .

Έστω ότι ο αγωγός  $\text{ΑΓ}$  (σχ. 1.2a), μετακινείται κατά  $dx$ . Τότε, η σπηλιαία ταχύτητα του είναι:  $v = \frac{dx}{dt}$ .

$$\text{Η σχέση 1.27 γίνεται: } V_{\text{en}} = -B \frac{dx}{dt} \ell. \quad (1.28)$$

όπου  $dx\ell = dA$  είναι η στοιχειώδης επιφάνεια, την οποία διατρέχει ο αγωγός  $\text{ΑΓ}$ , κατά τη μετακίνησή του. Αν  $dΦ = BdA$  είναι η μεταβολή της μαγνητικής ροής, η οποία προκαλείται από την μετακίνηση του αγωγού, τότε η ΗΕΔ,  $V_{\text{en}}$ , στα άκρα του αγωγού είναι (Νόμος του Faraday):

$$V_{\text{en}} = -\frac{dΦ}{dt}. \quad (1.29)$$

Όταν το κλειστό κύκλωμα είναι ένα πνίγιο με η αριθμό σπειρών, τότε η σχέση 1.29 γίνεται (Νόμος του Faraday):

$$V_{\text{en}} = -n \frac{dΦ}{dt}. \quad (1.30)$$

Το αρνητικό πρόσημο καθορίζει την πολικότητα της ΗΕΔ,  $V_{\text{en}}$ , και δικαιολογείται από τον Κανόνα του Lenz.

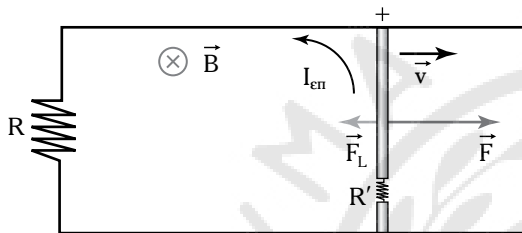
<sup>1</sup> Ενεργό μήκος του αγωγού  $\text{ΑΓ}$  είναι εκείνο το οποίο βρίσκεται μέσα στο μαγνητικό πεδίο.

### 1.2.1 Επαγωγικό ρεύμα – Kanónas tou Lenz.

Αν στη θέση του αγωγού ΑΓ (σχ. 1.2α), θεωρήσουμε ένα κλειστό κύκλωμα (σχ. 1.2β), στο οποίο ένας αγωγός κινείται με ταχύτητα  $\vec{v}$ , μέσα στο μαγνητικό πεδίο, μαγνητικής επαγωγής  $\vec{B}$ , και με διεύθυνση από την αναγνώστη προς τη σελίδα ( $\otimes$ )<sup>2</sup>, τέμνοντας κάθετα τις μαγνητικές δυναμικές γραμμές, τότε στο κύκλωμα επάγεται το ρεύμα με φορά, η οποία δίδεται στο σχήμα 1.2β:

$$I_{en} = \frac{V_{en}}{R_{ol}} \quad (1.31)$$

όπου  $R_{ol} = R + R'$  η συνολική ωμική αντίσταση του κλειστού κυκλώματος.



Σχ. 1.2β

Διάταξη για την απόδειξη του Kanóna tou Lenz.

Το φαινόμενο της επαγωγής είναι η εμφάνιση της τάσεως από επαγωγή  $V_{en}$ , στα άκρα του αγωγού, ενώ στη συνέχεια δημιουργείται το ρεύμα από επαγωγή,  $I_{en}$ .

Η φορά του επαγωγικού ρεύματος στο κλειστό κύκλωμα προκύπτει από τον **Kanóna tou Lenz**:

«Το επαγωγικό ρεύμα, σε κλειστό κύκλωμα, έχει τέτοια φορά, ώστε μέσω του πλεκτρομαγνητικού αποτελέσματός του να αντιθεται στο αίπο, το οποίο το προκαλεί».

Ο Kanónas tou Lenz (εμφάνιση του αρνητικού πρόσημου στις σχέσεις 1.29 και 1.30) στηρίζεται στην Αρχή της Διατηρήσεως της Ηλεκτρικής Ενέργειας.

Πράγματι, όταν ο αγωγός κινείται στο μαγνητικό πεδίο, δέχεται από το μαγνητικό πεδίο δύναμη Laplace αντίρροπη απ' το διάνυσμα της ταχύτητας  $\vec{v}$ , με σταθερό μέτρο:

$$F_L = BI_{en}\ell \quad (1.32)$$

όπου  $\ell$  το μήκος του αγωγού.

Προκειμένου να κινείται ο αγωγός με σταθερή

ταχύτητα, πρέπει να ασκείται σ' αυτόν μία εξωτερική δύναμη  $\bar{F}$ , η οποία εξουδετερώνει τη δύναμη  $\bar{F}_L$ :

$$\bar{F}_L = \bar{F}. \quad (1.33)$$

Όταν ο αγωγός μετακινθεί κατά μήκος  $x$  σε χρονικό διάστημα  $t$ , τότε η δύναμη  $\bar{F}$  παράγει έργο:

$$W = Fx = Fvt. \quad (1.34)$$

Από τις σχέσεις 1.31, 1.32, 1.33, και 1.34 έχουμε:

$$W = \frac{v^2 B^2 \ell^2}{R_{ol}} t. \quad (1.35)$$

Η πλεκτρική ενέργεια, η οποία παράγεται στο κύκλωμα στο ίδιο χρονικό διάστημα  $t$  είναι:

$$W_{nl} = V_{en} I_{en} t. \quad (1.36)$$

Από τις σχέσεις 1.27 (κατ' απόλυτη τιμή), 1.31 και 1.36, έχουμε:

$$W_{nl} = \frac{v^2 B^2 \ell^2}{R_{ol}} t. \quad (1.37)$$

Από τις σχέσεις 1.35 και 1.37, προκύπτει:

$$W = W_{nl}. \quad (1.38)$$

Η πλεκτρική ενέργεια, η οποία παράγεται στο κλειστό κύκλωμα ισούται με το έργο της εξωτερικής δυνάμεως, που απαιτείται ώστε να κινηθεί ο αγωγός με σταθερή ταχύτητα.

Αναλυτικότερα, κατά τη διάρκεια της κινήσεως του αγωγού παράγεται πλεκτρική ενέργεια σε βάρος του μηχανικού έργου της εξωτερικής δυνάμεως. Προκειμένου να κινείται ο αγωγός με σταθερή ταχύτητα, ασκείται σε αυτόν αντίθετη δύναμη, η οποία είναι η  $\bar{F}_L$ . Το έργο της  $\bar{F}_L$  μετατρέπεται σε πλεκτρική ενέργεια. Το  $I_{en}$ , με βάση το οποίο δημιουργείται η  $\bar{F}_L$  θα πρέπει να έχει τέτοια φορά, έτσι ώστε η  $\bar{F}_L$  να αντιστέκεται στην κίνηση του αγωγού, οπότε και στην μεταβολή της μαγνητικής ροής, η οποία προκαλείται από την κίνησή του.

Αν η δύναμη Laplace είχε την φορά κινήσεως του αγωγού, τότε ο αγωγός θα μπορούσε να κινηθεί μόνο με την επίδραση της δυνάμεως Laplace, οπότε θα είχαμε παραγωγή πλεκτρικής ενέργειας από το μπδέν, γεγονός το οποίο είναι αντίθετο με την Αρχή της Διατηρήσεως της Ηλεκτρικής Ενέργειας.

<sup>2</sup> Με το σύμβολο  $\otimes$  συμβολίζουμε τη διεύθυνση του μαγνητικού πεδίου από την αναγνώστη προς τη σελίδα του βιβλίου, ενώ με το σύμβολο  $\odot$  τη διεύθυνση του μαγνητικού πεδίου από τη σελίδα του βιβλίου προς την αναγνώστη.

### 1.2.2 Αυτεπαγωγή.

Σε ένα σωληνοειδές όταν μεταβάλλεται η ένταση του πλεκτρικού ρεύματος, το οποίο διαρρέει το πνίγο, τότε μεταβάλλεται και η μαγνητική ροή που διαπερνά τις σπείρες του, οπότε στα άκρα του δημιουργείται ΗΕΔ από επαγωγή.

Το φαινόμενο κατά το οποίο στα άκρα ενός σωληνοειδούς δημιουργείται ΗΕΔ όταν μεταβάλλεται η ένταση του πλεκτρικού ρεύματος, η οποία το διαπερνά ονομάζεται **αυτεπαγωγή**.

Θεωρούμε ένα σωληνοειδές μήκους  $\ell$ , το οποίο διαρρέεται από ρεύμα εντάσεως  $I$  και έχει η αριθμό σπειρών με εμβαδό  $A$  η κάθε μία. Τοποθετούμε μέσα στο σωληνοειδές υλικό σχετικής μαγνητικής διαπερατότητας  $\mu_r$ .

Η μαγνητική επαγωγή στο εσωτερικό του πνίγο είναι:

$$B = \mu\mu_0 I \frac{n}{\ell}. \quad (1.39)$$

Η μαγνητική ροή, η οποία εμπλέκεται με κάθε σπείρα είναι:

$$\Phi = BA \Rightarrow \Phi = \mu\mu_0 \frac{n}{\ell} AI. \quad (1.40)$$

Αν  $d\Phi$  είναι η μεταβολή της μαγνητικής ροής, σε χρόνο  $dt$ , όταν μεταβάλλεται το ρεύμα κατά  $dI$ , τότε έχουμε:

$$d\Phi = \mu\mu_0 \frac{nA}{\ell} dI. \quad (1.41)$$

Η ΗΕΔ από αυτεπαγωγή, η οποία δημιουργείται στα άκρα του σωληνοειδούς, με βάση το Νόμο του Faraday, γίνεται:

$$E_{aut} = -\mu\mu_0 \frac{n^2}{\ell} A \frac{dI}{dt}. \quad (1.42)$$

Από τη σχέση 1.42 προκύπτει ότι η ΗΕΔ από αυτεπαγωγή είναι ανάλογη με την ταχύτητα μεταβολής της εντάσεως του πλεκτρικού ρεύματος  $dI/dt$ . Ο συντελεστής αναλογίας

$$\mu\mu_0 \frac{n^2}{\ell} A = L \quad (1.43)$$

που εξαρτάται από τα γεωμετρικά χαρακτηριστικά του πνίγο και τη φύση του υλικού, το οποίο τοποθετείται στο εσωτερικό του, ονομάζεται **συντελεστής αυτεπαγωγής του σωληνοειδούς**. Από τις σχέσεις 1.42 και 1.43 έχουμε:

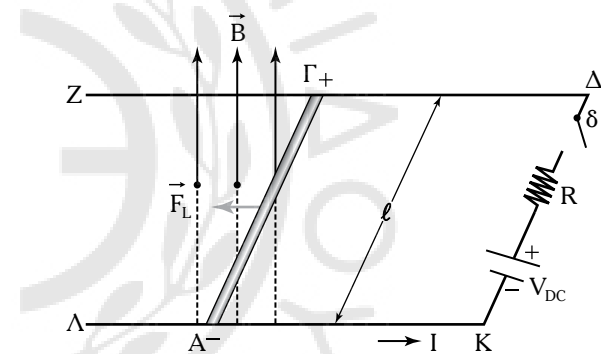
$$E_{aut} = -L \frac{dI}{dt}. \quad (1.44)$$

Η σχέση 1.44 εκφράζει τον **Νόμο της αυτεπαγωγής**.

Το πρόσωπο τις σχέσεις 1.42 και 1.44 καθορίζει την πολικότητα της ΗΕΔ από αυτεπαγωγή. Η μονάδα μετρήσεως του συντελεστή αυτεπαγωγής είναι το Henry και ορίζεται από τη σχέση 1.44: όπου 1 Henry είναι ο συντελεστής αυτεπαγωγής ενός κυκλώματος στο οποίο εμφανίζεται ΗΕΔ από αυτεπαγωγή 1 V, όταν το ρεύμα μεταβάλλεται με ρυθμό 1 A/s.

### 1.3 Βασικές αρχές λειτουργίας γραμμικής μηχανής συνεχούς ρεύματος.

Στο σχήμα 1.3α, δίδεται γραμμική μηχανή συνεχούς ρεύματος (ΣΡ). Αυτή η μηχανή είναι μία θεωρητική συσκευή, η οποία όμως συμπεριφέρεται και λειτουργεί με τις ίδιες αρχές λειτουργίας των πραγματικών μηχανών συνεχούς ρεύματος και αποτελεί σημαντική εισαγωγή για την κατανόηση της λειτουργίας των πραγματικών μηχανών συνεχούς ρεύματος.



**Σχ. 1.3α**

Γραμμική μηχανή συνεχούς ρεύματος.

#### 1.3.1 Διαδικασία εκκίνησης της γραμμικής μηχανής.

Ο αγωγός ΑΓ, μηδενικής ωμικής αντίστασης, μήκους  $\ell$ , κινείται χωρίς τριβές πάνω σε δύο οριζόντιους μεταλλικούς αγωγούς ΔΖ και ΚΛ, οι οποίοι συνδέονται με πηγή συνεχούς ρεύματος τάσεως  $V_{DC}$ . Έστω  $R$  η συνολική ωμική αντίσταση του κυκλώματος ΑΓΚ. Στο κλειστό κύκλωμα προβλέπεται ένας διακόπτης δ αρχικά ανοικτός. Ολόκληρη η διάταξη βρίσκεται μέσα σε ομογενές μαγνητικό πεδίο επαγωγής  $\vec{B}$ .

Η διαδικασία εκκίνησης της γραμμικής μηχανής ακολουθεί τα εξής βήματα που αποτελούν τη διαδικασία, η οποία ακολουθείται κατά την εκκίνηση ενός κινητήρα ΣΡ με παράλληλη διέγερση:

### Βήμα 1.

Όταν κλείσει ο διακόπτης, ο αγωγός  $A\Gamma$ , αρχικά, δεν κινείται, οπότε διαρρέεται από ρεύμα  $I = \frac{V_{DC}}{R}$ .

### Βήμα 2.

Στη συνέχεια, ο αγωγός  $A\Gamma$  διαρρέεται από το ρεύμα  $I$ , βρίσκεται μέσα σε μαγνητικό πεδίο, οπότε δέχεται τη δύναμη Laplace  $\bar{F}_L$ . Η διεύθυνση της δυνάμεως Laplace είναι οριζόντια, γιατί είναι κάθετη στο κατακόρυφο επίπεδο, το οποίο ορίζουν το διάνυσμα  $\vec{B}$  και ο αγωγός  $A\Gamma$  (σχ. 1.3α). Η φορά του ρεύματος  $I$  στον αγωγό  $A\Gamma$  είναι από το  $\Gamma$  στο  $A$ . Γνωρίζοντας την φορά του ρεύματος  $I$  και του διανύσματος  $\vec{B}$ , εφαρμόζομε τον κανόνα του δεξιού χεριού βρίσκομε ότι η φορά της δυνάμεως  $\bar{F}_L$  είναι προς τα αριστερά. Το μέτρο της  $\bar{F}_L$  είναι  $\bar{F}_L = BI\ell$ .

### Βήμα 3.

Ο αγωγός  $A\Gamma$ , στον οποίο επιδρά η δύναμη Laplace  $\bar{F}_L$  επιταχύνεται, «κόβοντας» τις μαγνητικές δυναμικές του μαγνητικού πεδίου, οπότε στα άκρα του αναπτύσσεται η ΗΕΔ  $V_{en}$  με απόλυτη τιμή  $V_{en} = Bv\ell$ , όπου  $v$ , η ταχύτητα του αγωγού.

Στο σχήμα 1.3β δίδεται η κυκλωματική παράσταση της διατάξεως του σχήματος 1.3α.

### Βήμα 4.

Εφαρμόζοντας τον Δεύτερο Κανόνα του Kirchhoff στο κύκλωμα του σχήματος 1.3β, έχουμε:

$$V_{DC} - V_{en} - IR = 0 \quad \text{και} \quad I = \frac{V_{DC} - V_{en}}{R}.$$

Όταν η επαγόμενη τάση  $V_{en}$  αυξάνεται, το ρεύμα  $I$  μειώνεται.

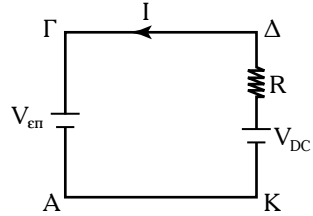
Το μέτρο της δυνάμεως Laplace γίνεται:

$$F_L = \frac{(V_{DC} - Bv\ell)}{R} B\ell.$$

Η φορά της  $\bar{F}_L$  διατηρείται σταθερή, ενώ το μέτρο της ταχύτητας του αγωγού  $A\Gamma$  διαρκώς αυξάνεται, με αποτέλεσμα το μέτρο της  $\bar{F}_L$  να μειώνεται. Σε κάποια χρονική στιγμή το μέτρο της δυνάμεως Laplace μπορεί να ξεπερνεί τον αγωγό, οπότε ο αγωγός κινείται με σταθερή ταχύτητα (οριακή ταχύτητα  $v_{op}$ ), η οποία είναι η μέγιστη τελική:

$$Av F_L = 0, \text{ τότε } V_{DC} - Bv_{op}\ell = 0 \quad \text{και} \quad v_{op} = \frac{V_{DC}}{B\ell}.$$

Όταν ο αγωγός  $A\Gamma$  κινείται με οριακή ταχύτητα τότε:  $F_L = 0$  και  $I = 0$ .



**Σχ. 1.3β**

Κυκλωματική παράσταση της διατάξεως του σχήματος 1.3α.

### 1.3.2 Λειτουργία γραμμικής μηχανής ΣΡ σαν κινητήρας.

Έστω ότι στη γραμμική μηχανή ΣΡ του σχήματος 1.3α (βήμα 2), ασκείται στον αγωγό  $A\Gamma$  μια εξωτερική δύναμη  $F$ , (φορτίο), αντίθετη στην κατεύθυνση της κινήσεως του. Στον αγωγό ασκείται συνισταμένη δύναμη  $\bar{F}_{\Sigma} = \bar{F} - \bar{F}_L$ , με φορά αντίθετη από εκείνη της κινήσεώς του. Το αποτέλεσμα είναι η μείωση της ταχύτητας του αγωγού. Η μείωση της ταχύτητας προκαλεί μείωση της επαγόμενης τάσεως  $V_{en} \downarrow = Bv\ell \downarrow$ . Εφαρμόζοντας τον Δεύτερο Κανόνα του Kirchhoff στο κλειστό κύκλωμα (σχ. 1.3β) έχουμε:

$$I \uparrow = \frac{V_{DC} - V_{en} \downarrow}{R}.$$

Η μείωση της επαγόμενης τάσεως  $V_{en} \downarrow$ , προκαλεί αύξηση του ρεύματος ( $I \uparrow$ ). Στη συνέχεια, η δύναμη Laplace αυξάνεται:  $F_L \uparrow = BI \uparrow \ell$ , μέχρι να φτάσει την εξωτερική δύναμη, οπότε υπάρχει μία νέα κατάσταση ισορροπίας της γραμμικής μηχανής με σταθερή ταχύτητα μικρότερη από την αντίστοιχη αρχική.

Η φορά της δυνάμεως Laplace  $F_L$  είναι ίδια με την κατεύθυνση κινήσεως του αγωγού  $A\Gamma$ .

Αν πολλαπλασιαστούν και τα δύο μέλη της εξισώσεως της δυνάμεως Laplace με την ταχύτητα  $v$ , τότε έχουμε  $vF_L = Bv\ell \uparrow \text{ ή } vF_L = V_{en}I$ . Αυτό σημαίνει ότι μια ποσότητα της πλεκτρικής ισχύος ( $V_{en}I$ ) καταναλώνεται στον αγωγό  $A\Gamma$  παράγοντας μηχανική ισχύ ( $vF_L$ ). Τότε η γραμμική μηχανή λειτουργεί σαν κινητήρας ΣΡ.

Ένας πραγματικός κινητήρας ΣΡ με παράλληλη διέγερση συμπεριφέρεται με τον ίδιο τρόπο όταν αυξάνομε το φορτίο στον άξονά του. Αυτή η αύξηση προκαλεί μείωση της ταχύτητας του, με αποτέλεσμα να μειώνεται η εσωτερική αναπτυσσόμενη τάση, ενώ αυξάνεται το ρεύμα. Η αύξηση του ρεύματος προκαλεί αύξηση της ροπής στον άξονα του κινητήρα μέχρι αυτή να εξισωθεί με την ροπή του φορτίου. Αυτό συμβαίνει σε μια μικρότερη ταχύτητα.

### 1.3.3 Λειτουργία γραμμικής μηχανής ΣΡ σαν γεννήτρια.

Έστω ότι έχομε τη γραμμική μηχανή ΣΡ (σχ. 1.3a). Αν εφαρμοστεί στον αγωγό ΑΓ εξωτερική δύναμη  $\vec{F}$ , στη διεύθυνση της κινήσεώς του, τότε το αποτέλεσμα είναι η επιτάχυνση του αγωγού στη διεύθυνση της κινήσεώς του. Η ταχύτητά του αυξάνεται:  $V_{en} \uparrow = Bv \uparrow \ell$ , οπότε και η επαγόμενη τάση αυξάνεται ( $V_{en} > V_{DC}$ ). Τότε το ρεύμα αλλάζει φορά.

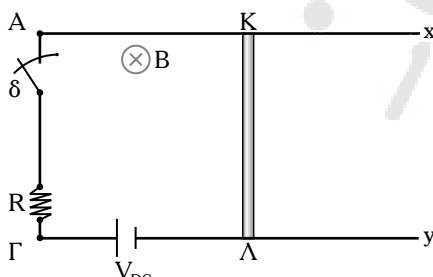
Στον αγωγό ΑΓ εφαρμόζεται δύναμη Laplace αντίθετη στη φορά της κινήσεώς του. Η διαδικασία αυτή συνεχίζεται μέχρι το μέτρο της  $F_L$  να εξισωθεί με το αντίστοιχο της  $F$ .

Η σταθερή ταχύτητα, τώρα, έχει μεγαλύτερη τιμή από την αντίστοιχη της αρχικής. Η πηγή  $V_{DC}$  λειτουργεί σαν αποδέκτης. Σε αυτήν την περίπτωση η μηχανική ισχύς μετατρέπεται σε πλεκτρική. Η γραμμική μηχανή λειτουργεί σαν γεννήτρια.

Τελικά, ανάλογα σε ποια κατεύθυνση εφαρμόζεται η εξωτερική δύναμη η γραμμική μηχανή λειτουργεί είτε σαν γεννήτρια είτε σαν κινητήρας ΣΡ. Από πλεκτρικής απόψεως αν  $V_{en} > V_{DC}$  η μηχανή λειτουργεί σαν γεννήτρια, ενώ όταν  $V_{DC} > V_{en}$  η μηχανή λειτουργεί σαν κινητήρας ΣΡ.

### 1.3.4 Ενεργειακές μεταβολές σε γραμμική μηχανή ΣΡ.

Η μεταφορική κίνηση του αγωγού ΚΛ (σχ. 1.3γ), μέσα σε ομογενές μαγνητικό πεδίο προσομοιώνει τη συμπεριφορά της γραμμικής μηχανής ΣΡ.



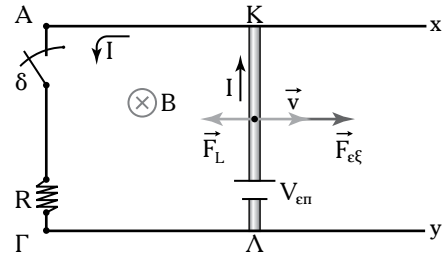
Στοιχειώδης γραμμική μηχανή ΣΡ.

Στοιχειώδης γραμμική μηχανή ΣΡ.

Έχει ιδιαίτερο ενδιαφέρον, όμως, για την καλύτερη κατανόηση της λειτουργίας των μηχανών ΣΡ να αναλύσουμε τις ενεργειακές μεταβολές, οι οποίες συμβαίνουν στις διάφορες περιπτώσεις μεταφορικής κινήσεως του αγωγού ΚΛ μέσα σε ομογενές μαγνητικό πεδίο:

1)  $HV_{en}$  είναι η μοναδική πηγή στο κύκλωμα.

Έστω ότι ο αγωγός ΚΛ, μάζας  $m$ , κινείται χωρίς τριβές πάνω στους αγώγιμους παράλληλους αγωγούς Αχ και Γγ «κόβοντας» κάθετα τις μαγνητικές γραμμές του ομογενούς μαγνητικού πεδίου, επαγωγής  $B$  (σχ. 1.3δ).



Σχ. 1.3δ

Γραμμική μηχανή ΣΡ όταν στο κύκλωμα μια μοναδική πηγή είναι η  $V_{en}$ .

Στον αγωγό ΚΛ εκτός από την εξωτερική δύναμη  $\vec{F}_{ex}$ , ασκείται και η δύναμη Laplace  $\vec{F}_L$ .

Εφαρμόζοντας τον Δεύτερο Νόμο του Νεύτωνα έχομε:

$$\sum F_x = ma \Rightarrow F_{ex} - F_L = m \frac{dv}{dt}$$

$$\text{ή } F_{ex} = F_L + m \frac{dv}{dt} \quad (1.45)$$

όπου  $a$  η επιτάχυνση του αγωγού ΚΛ.

Πολλαπλασιάζοντας τους όρους της σχέσεως 1.45 επί την στοιχειώδη μετατόπιση  $dx$ , του αγωγού ΚΛ έχομε:  $F_{ex} dx = F_L dx + m \frac{dv}{dt} dx$

$$\text{ή } F_{ex} dx = F_L dx + mv dv \quad (1.46)$$

είναι  $\frac{dx}{dt} = v$ , η ταχύτητα του αγωγού ΚΛ.

Η σχέση 1.46 δηλώνει τον ενεργειακό μετασχηματισμό στον αγωγό ΚΛ:

α) Ο όρος  $F_{ex} dx$  είναι το στοιχειώδες μηχανικό έργο  $dW_{ex}$ , το οποίο προσφέρει η εξωτερική δύναμη  $F_{ex}$ , στον αγωγό.

β) Ο όρος  $F_L dx$  είναι η στοιχειώδης πλεκτρική ενέργεια  $dE_{pl}$ , η οποία εμφανίζεται στο κύκλωμα όταν ο αγωγός ΚΛ μετατοπίζεται κατά  $dx$ . Πράγματι είναι:  $F_L dx = (BI\ell)(vdt)$  ή  $F_L dx = (Bv\ell)(Idt)$

$$\text{ή } F_L dx = E_{en} Idt = dE_{pl} \quad (1.47)$$

γ) Ο όρος  $mv dv$  είναι η στοιχειώδης μεταβολή της κινητικής ενέργειας,  $dK_a$ , του αγωγού ΚΛ:

$$\begin{aligned} dK_a &= d\left(\frac{1}{2}mv^2\right) = \frac{1}{2}m(dv^2) \\ &= \frac{1}{2}mv^2dv = \frac{1}{2}m2vdv = mvdv. \quad (1.48) \end{aligned}$$

2) Εστω, τώρα, ότι προστίθεται η πηγή συνεχούς τάσεως,  $V_{DC}$ , στο κύκλωμα της γραμμικής μπχανής ΣΡ.

Όταν στο κύκλωμα της γραμμικής μπχανής ΣΡ (σχ. 1.3δ), υπάρχει και πηγή συνεχούς τάσεως  $V_{DC}$  (σχ. 1.3ε), τότε διακρίνομε τις ακόλουθες υποεριπώσεις:

α)  **$H$  πολικότητα της  $V_{en}$  είναι τέτοια, ώστε να δίδει ομόρροπο ρεύμα με εκείνο της πηγής  $V_{DC}$ .**

Στην υπόπεριπτωση αυτή η  $V_{en}$  λειτουργεί ως γεννήτρια ΣΡ. Αν  $v = \text{σταθερό}$ , τότε  $\sum \vec{F} = 0$  και

$$F_{e\xi} = F_L = BI\ell. \quad (1.49)$$

Από τη σχέση 1.49, προκύπτει ότι το έργο της εξωτερικής δυνάμεως  $F_{e\xi}$  μετατρέπεται σε πλεκτρική ενέργεια στο κύκλωμα, μέσω του έργου της  $F_L$  που δρα στον αγωγό. Πράγματι:

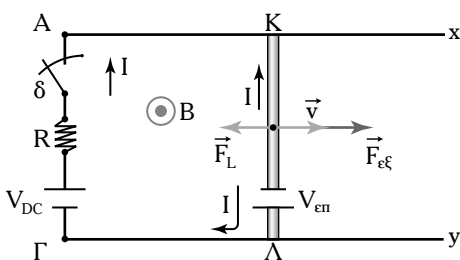
$$F_{e\xi}x = (BI\ell)(vt) = (Bv\ell)(It) = V_{en}It.$$

Αν  $x$  είναι η μετατόπιση του αγωγού ΚΛ, η πλεκτρική ενέργεια  $V_{en}It$  και η αντίστοιχη της  $V_{DC}$ ,  $V_{DC}It$ , μετατρέπονται σε θερμότητα στο κύκλωμα. Πράγματι, ισχύει:

$$V_{DC}It + V_{en}It = (V_{DC} + V_{en})It. \quad (1.50)$$

Εφαρμόζοντας τον Δεύτερο Κανόνα του Kirchoff στο κύκλωμα του σχήματος 1.3ε έχομε:

$$V_{DC} + V_{en} = IR. \quad (1.51)$$



Σχ. 1.3ε

$V_{DC}$  η πηγή συνεχούς τάσεως στο κύκλωμα της γραμμικής μπχανής ΣΡ.

Η εξίσωση 1.50 με βάση την εξίσωση 1.51, γίνεται:

$$V_{DC}It + V_{en}It = I^2Rt. \quad (1.52)$$

Στο σχήμα 1.3ε αν η ταχύτητα του αγωγού ΚΛ δεν είναι σταθερή γιατί  $F_{e\xi} > F_L$ , θα είναι:  $\sum F = ma$ , όπου: a η επιτάχυνση του αγωγού, και  $F_{e\xi} - F_L = m \frac{dv}{dt}$  για στοιχειώδη μετατόπιση, dx, του αγωγού ΚΛ. Οπότε έχομε:

$$F_{e\xi}dx = F_Ldx + mvdv. \quad (1.53)$$

Εδώ ένα μέρος του έργου της  $F_{e\xi}$ , μετατρέπεται σε πλεκτρική ενέργεια στο κύκλωμα μέσω του έργου της  $F_L$  ( $V_{en}It$ ) και το υπόλοιπο αυξάνει την κινητική ενέργεια του αγωγού ΚΛ.

β)  **$H$  πολικότητα της πηγής  $V_{en}$  είναι τέτοια, ώστε να δίδει αντίρροπο ρεύμα από το αντίστοιχο της πηγής  $V_{DC}$ .**

Στην υπόπεριπτωση αυτή διακρίνομε τα εξής:

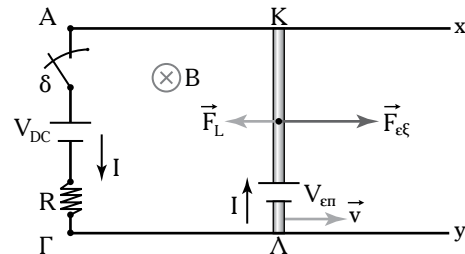
i) Αν  $V_{en} > V_{DC}$ , τότε τη φορά του ρεύματος στο κύκλωμα την επιβάλλει η  $V_{en}$ , η οποία συμπεριφέρεται ως γεννήτρια ΣΡ ενώ η πηγή  $V_{DC}$  είναι **αποδέκτης**<sup>3</sup> (σχ. 1.3στ).

Όταν ο αγωγός μετατοπίζεται κατά dx, τότε το στοιχειώδες μηχανικό έργο της  $F_{e\xi}$  είναι:

$$F_{e\xi}dx = F_{e\xi}vdt. \quad (1.54)$$

Μέρος αυτού του έργου μετατρέπεται σε στοιχειώδη πλεκτρική ενέργεια στο κύκλωμα ( $V_{en}Idt$ ) μέσω του έργου της  $F_L$  και το υπόλοιπο μέρος ( $F_{e\xi} - F_L$ ) vdt αυξάνει την κινητική ενέργεια του αγωγού ΚΛ.

Η στοιχειώδης πλεκτρική ενέργεια του κυκλώματος ( $V_{en}Idt$ ) μετατρέπεται κατά ένα μέρος σε θερμότητα στην αντίσταση R και το υπόλοιπο μέρος  $V_{DC}Idt$  αποδίδεται στην πηγή  $V_{DC}$ , οπότε αυτή συμπεριφέρεται ως αποδέκτης.



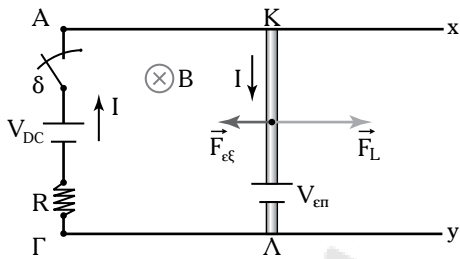
Σχ. 1.3στ

Γραμμική μπχανή ΣΡ όταν  $V_{en} > V_{DC}$ .

<sup>3</sup> Στη θεωρία των πλεκτρικών μπχανών η έννοια του αποδέκτη αντιστοιχεί στον κινητήρα.

ii) Αν  $V_{en} < V_{DC}$ , τότε η  $V_{en}$  λειτουργεί ως αποδέκτης (σχ. 1.3ζ). Η πηγή  $V_{DC}$  δίδει πλεκτρική ενέργεια  $V_{DC}Idt$  στο κύκλωμα, που μετατρέπεται σε θερμότητα στην αντίσταση  $R$ . Το υπόλοιπο μέρος μεταφέρεται στον αγωγό ΚΛ, ο οποίος λειτουργεί ως αποδέκτης,  $V_{en}Idt$ .

iii) Αν  $V_{en} = V_D$  τότε  $I = 0$ , οπότε δεν υπάρχει πλεκτρική ενέργεια ούτε ενεργειακός μεταοχηματισμός.



Σχ. 1.3ζ

Η γραμμική μηχανή ΣΡ λειτουργεί ως αποδέκτης όταν  $V_{en} < V_{DC}$ .

### - Λυμένες ασκήσεις.

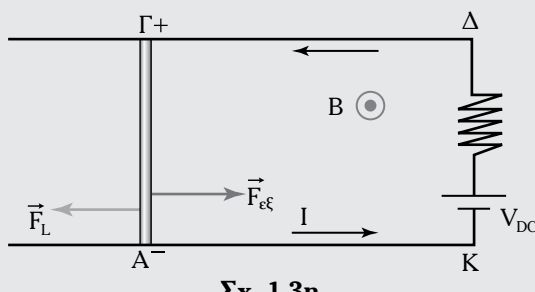
#### Άσκηση 1.

Στη διάταξη του σχήματος 1.3η, ο αγωγός ΑΓ έχει μήκος  $\ell = 0,6 \text{ m}$  και ολισθαίνει πάνω στους οριζόντιους μεταλλικούς αγωγούς ΑΚ και ΓΔ χωρίς τριβές. Η πλεκτρική πηγή έχει τάση  $V_{DC} = 4 \text{ V}$  και το κλειστό κύκλωμα σταθερή ωμική αντίσταση  $R = 2 \Omega$ .

Η διάταξη βρίσκεται μέσα σε μαγνητικό πεδίο, του οποίου η διεύθυνση και η φορά είναι προς τον αναγνώστη (⊕), με μαγνητική επαγωγή  $B = 0,2 \text{ T}$ . Στον αγωγό ασκείται μια εξωτερική δύναμη, η οποία έχει μέτρο  $F_{ex} = 0,06 \text{ N}$  και φορά προς τα δεξιά, οπότε ο αγωγός κινείται προς τα αριστερά.

1) Να ενηγύσετε τη φορά κινήσεως του αγωγού.

2) Ποια είναι η τελική ταχύτητα, που αποκτά ο



Σχ. 1.3η

αγωγός και ποια η τιμή της επαγόμενης τάσεως;

3) Να μελετηθούν οι ενεργειακές μετατροπές, που συμβαίνουν στη διάταξη.

#### Λύση.

1) Όταν ρευματοφόρος αγωγός βρίσκεται μέσα σε μαγνητικό πεδίο, τότε στον αγωγό ασκείται δύναμη Laplace  $\vec{F}_L$ . Η διεύθυνση της  $\vec{F}_L$  είναι οριζόντια, γιατί είναι κάθετη στο κατακόρυφο επίπεδο, που ορίζουν οι γραμμές του μαγνητικού πεδίου και ο αγωγός. Η φορά του πλεκτρικού ρεύματος στον αγωγό είναι από το Γ στο Α. Γνωρίζοντας την φορά του μαγνητικού πεδίου και την αντίστοιχη του ρεύματος βρίσκομε τη φορά της  $\vec{F}_L$ , που είναι προς τα αριστερά.

Το μέτρο της  $\vec{F}_L$  είναι:  $F = BI\ell$ . (1)

Η ένταση του πλεκτρικού ρεύματος την χρονική στιγμή, κατά την οποία αφήνομε να ολισθήσει ο αγωγός είναι:

$$I = \frac{V_{DC}}{R}. \quad (2)$$

Η εξίσωση 1 με βάση την εξίσωση 2 γίνεται:

$$F_L = B \frac{V_{DC}\ell}{R} = \frac{4 \cdot 0,6 \cdot 0,2}{2} = 0,24 \text{ N}.$$

Παρατηρούμε ότι η συνισταμένη,  $\vec{F}_{\omega}$  των δυνάμεων  $\vec{F}_L$  και  $\vec{F}_{ex}$  έχει φορά προς τα αριστερά γιατί  $F_L > F_{ex}$ .

2) Όταν ο αγωγός ΑΓ κινείται «κόβει» τις γραμμές του μαγνητικού πεδίου, οπότε αναπτύσσεται κατά μήκος του μια ΗΕΔ  $V_{en}$ , την οποίας η τιμή είναι:

$$V_{en} = Bv\ell \quad (3)$$

όπου  $v$  η ταχύτητα του αγωγού ΑΓ.

Η κυκλωματική παράσταση της διατάξεως είναι αυτή που παρουσιάζεται στο σχήμα 1.3β.

Κατά τον Δεύτερο Κανόνα του Kirchhoff έχουμε:

$$V_{DC} - V_{en} - IR = 0 \text{ και } I = \frac{V_{DC} - V_{en}}{R} \quad (4)$$

Από την εξίσωση 1, 3 και 4 προκύπτει:

$$F_L = \frac{(V_{en} - Bv\ell)}{R} \quad (5)$$

Η φορά της συνισταμένης  $\vec{F}_{\omega}$  ( $\vec{F}_L, \vec{F}_{ex}$ ) διαπ-

ρείται σταθερή προς τα αριστερά, το μέτρο της ταχύτητας  $\vec{v}$  του αγωγού διαρκώς αυξάνει, ενώ το μέτρο της δυνάμεως  $\vec{F}_L$  μειώνεται.

Σε κάποια χρονική στιγμή γίνεται  $\dot{F}_L = \dot{F}_{\text{el}}$ , οπότε η συνισταμένη  $\dot{F}_{\text{el}}$  μπδενίζεται. Απ' αυτήν τη χρονική στιγμή, στη συνέχεια ο αγωγός κινείται με σταθερή ταχύτητα. Η οριακή (μέγιστη) ταχύτητα του αγωγού υπολογίζεται ως εξής:

$$\text{Είναι: } F_L = F_{\text{el}} \text{ και } \frac{(V_{\text{DC}} - Bv_{\text{op}}\ell)}{R} B\ell = F_{\text{el}}$$

$$\text{ή } v_{\text{op}} = \frac{V_{\text{DC}}B\ell - F_{\text{el}}R}{B^2\ell^2}. \quad (6)$$

$$\text{Είναι: } v_{\text{op}} = \frac{(4 \cdot 0,2 \cdot 0,6) - (0,06 \cdot 2)}{0,2^2 \cdot 0,6^2} = 25 \text{ m/s.}$$

3) Όταν  $F_L = F_{\text{el}}$ , ο αγωγός κινείται με σταθερή ταχύτητα, ενώ η πλεκτρική ισχύς μετατρέπεται σε μηχανική σύμφωνα με την ακόλουθη εξίσωση:

$$V_{\text{en}} = Fv \quad (7)$$

Στην προκειμένη περίπτωση ένα μέρος της πλεκτρικής ισχύος ( $V_{\text{en}} I$ ) μετατρέπεται σε μηχανική ισχύ ( $vF_{\text{el}}$ ). Η αντίστοιχη συσκευή λειτουργεί ως κινητήρας συνεχούς ρεύματος.

Ισχύει για την ισχύ:

$$P_{F_L} = F_L v_{\text{op}} = 0,62 \cdot 25 = 1,5 \text{ W.}$$

**Παρατήρηση:** Αν στον αγωγό ΑΓ εφαρμοστεί εξωτερική δύναμη  $\vec{F}_{\text{ext}}$  στη διεύθυνση της κινήσεως, η ταχύτητα του αυξάνεται. Στη συνέχεια, αυξάνεται η επαγόμενη τάση  $V_{\text{en}}$ , η οποία γίνεται μεγαλύτερη από την  $V_{\text{DC}}$ . Το ρεύμα αλλάζει φορά και η τιμή του δίδεται απ' την ακόλουθη εξίσωση:

$$I = \frac{V_{\text{DC}} - V_{\text{en}}}{R}.$$

Η δύναμη Laplace, η οποία ασκείται στον αγωγό είναι  $F_L = BI\ell$ , και σύμφωνα με τον δεξιόστροφο κοχλία είναι αντίθετη προς την εξωτερική δύναμη.

Σε κάποια χρονική στιγμή ισχύει:  $F_L = F_{\text{el}}$  οπότε η σταθερή ταχύτητα της ράβδου είναι μεγαλύτερη της αρχικής. Η πηγή  $V_{\text{DC}}$  τώρα φορτίζεται.

Η μηχανική ισχύς μετατρέπεται σε πλεκτρική ισχύ, οπότε η διάταξη λειτουργεί ως γεννήτρια.

## Άσκηση 2.

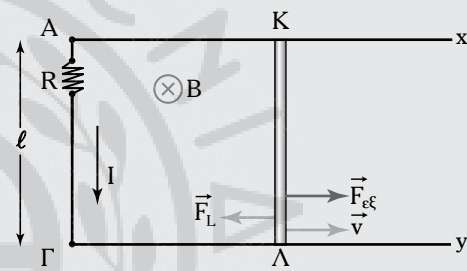
Αγωγός ΚΛ μπδενικής ωμικής αντιστάσεως

και μήκους  $\ell = 0,2 \text{ m}$  κινείται χωρίς τριβές πάνω σε δύο παράλληλους αγωγούς Αχ και Γυ συνολικής αντιστάσεως  $R = 0,06 \Omega$ . Το σύστημα τοποθετείται σε ομογενές μαγνητικό πεδίο  $B = 0,7 \text{ T}$ , κάθετα στο επίπεδο της σελίδας με κατεύθυνση από τον αναγνώστη προς τη σελίδα  $\otimes$ . Να υπολογίσετε:

- 1) Την  $V_{\text{en}}$ .
- 2) Το ρεύμα του κυκλώματος  $I_s$ .
- 3) Το μέτρο της δυνάμεως  $\dot{F}_{\text{el}}$ , που πρέπει να ασκηθεί στον αγωγό ΚΛ για να διατηρεί την ταχύτητά του σταθερή.
- 4) Την μηχανική ισχύ που χρειάζεται για να διατηρηθεί ο αγωγός ΚΛ σε κίνηση.

## Λύση.

Η σχηματική παράσταση του κυκλώματος δίδεται στο σχήμα 1.3θ.



Σχ. 1.3θ

1) Η τάση, η οποία αναπτύσσεται στα άκρα του αγωγού ΚΛ, όταν αυτός κόβει κάθετα τις μαγνητικές γραμμές του μαγνητικού πεδίου επαγωγής  $B$  είναι:

$$V_{\text{en}} = Bv\ell = 0,7 \cdot 2 \cdot 0,2 = 0,28 \text{ V.}$$

2) Το ρεύμα  $I$  στο κύκλωμα είναι:

$$I = \frac{V_{\text{en}}}{R} = \frac{0,28}{0,06} = 4,6 \text{ A.}$$

Η δύναμη Laplace, η οποία αναπτύσσεται αντίθετα με την κατεύθυνση της κινήσεως του αγωγού ΚΛ είναι:  $F_L = BI\ell = 0,7 \cdot 4,6 \cdot 0,2 = 0,64 \text{ N}$ .

3) Ο αγωγός ΚΛ διατηρεί την κίνησή του με σταθερή ταχύτητα αποκλειστικά μόνο όταν ασκηθεί εξωτερική δύναμη  $F_{\text{ext}}$  ίση σε μέτρο και αντίθετης κατευθύνσεως της  $F_L$ .

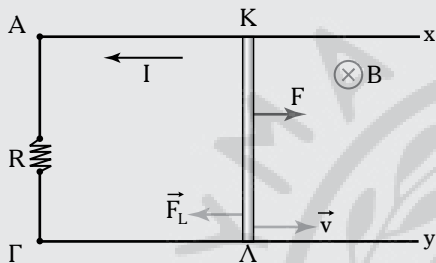
4) Οπότε, η ισχύς της  $F_{\text{ext}}$ , η οποία απαιτείται για να διατηρηθεί η κίνηση του αγωγού ΚΛ, είναι:

$$P_{F_{\text{ext}}} = F_{\text{ext}}v = 0,64 \cdot 2 = 1,28 \text{ W.}$$

### Άσκηση 3.

Αγωγός ΚΛ, μηδενικής ωμικής αντιστάσεως και μήκους  $\ell = 1,2 \text{ cm}$  κινείται χωρίς τριβές πάνω σε δύο παράλληλους αγωγούς Αχ και Γυ συνολικής αντιστάσεως  $R$  (σχ. 1.3i).

Το σύστημα βρίσκεται σε ομογενές μαγνητικό πεδίο κάθετο με κατεύθυνση  $\otimes$  από τον αναγνώστη προς τη σελίδα. Η μαγνητική επαγωγή του πεδίου είναι  $B = 0,7 \text{ T}$ . Στον αγωγό ΚΛ ασκείται δύναμη  $F$  κι αυτός κινείται προς τα δεξιά με σταθερή ταχύτητα  $3,5 \text{ cm/s}$ . Πώσο είναι η τιμή της αντιστάσεως  $R$ , την οποία πρέπει να έχει το κύκλωμα, αν η δύναμη  $F$ , η οποία ασκείται στον αγωγό ΚΛ, παράγει έργο με ρυθμό  $150 \text{ W}$ ;



Σχ. 1.3i

### Λύση.

Στον αγωγό ΚΛ του σχήματος 1.3i αναπτύσσεται, κατά την κίνηση μία τάση εξ επαγωγής:

$$V_{\text{en}} = Bv\ell \quad (1)$$

Το ρεύμα στο κύκλωμα είναι:

$$I = \frac{V_{\text{en}}}{R} \quad (2)$$

Η σχέση 2 με βάση τη σχέση 1 γίνεται:

$$I = \frac{Bv\ell}{R} \quad (3)$$

Στον αγωγό ΚΛ αναπτύσσεται δύναμη Laplace αντίθετης κατευθύνσεως από την κίνησή του:

$$F_L = BIl \quad (4)$$

Η σχέση 4 με βάση τη σχέση 3 γίνεται:

$$F_L = B \frac{Bv\ell}{R} \text{ ή } F_L = \frac{B^2 v \ell^2}{R} \quad (5)$$

Για να διατηρηθεί η κίνηση του αγωγού ΚΛ με σταθερή ταχύτητα, η δύναμη  $F$  πρέπει να είναι ίση και αντίθετη με την  $F_L$ .

Η ισχύς που προσφέρεται στον αγωγό ΚΛ είναι:

$$P = Fv = \frac{B^2 v \ell^2}{R} v = \frac{B^2 v^2 \ell^2}{R} \quad (6)$$

Από τη σχέση 4.6 προκύπτει:

$$R = \frac{B^2 \ell^2}{P} v^2 = \frac{(0,7)^2 \cdot (1,2)^2 \cdot (3,5)^2}{150} = 0,057 \Omega.$$

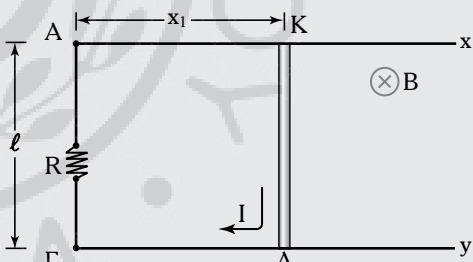
### Άσκηση 4.

Έστω ότι έχομε αγωγό ΚΛ, μηδενικής ωμικής αντιστάσεως και μήκους  $\ell$ , που κινείται χωρίς τριβές πάνω σε δύο παράλληλους αγωγούς Αχ και Γυ συνολικής ωμικής αντιστάσεως  $R$ .

Το σύστημα βρίσκεται σε ομογενές μαγνητικό πεδίο κάθετο με κατεύθυνση από τον αναγνώστη προς τη σελίδα, μαγνητικής επαγωγής  $B$ . Το μαγνητικό πεδίο αυξάνεται με σταθερό ρυθμό  $dB/dt$ . Αρχικά, η τιμή της μαγνητικής επαγωγής του μαγνητικού πεδίου είναι  $B_0$ , ενώ η απόσταση του αγωγού από τα άκρα ΑΓ είναι  $x_1$ . Να υπολογίσετε την επιτάχυνση α του αγωγού ΚΛ.

### Λύση.

Στο σχήμα 1.3ia δίδεται το αντίστοιχο κύκλωμα.



Σχ. 1.3ia

Όταν  $t = 0$ , η μαγνητική ροή του κυκλώματος είναι:

$$\Phi = B_0 x_1 \ell. \quad (1)$$

Το μαγνητικό πεδίο αυξάνεται με σταθερό ρυθμό:

$$\frac{d\Phi}{dt} = x_1 \ell \frac{dB}{dt}. \quad (2)$$

Σύμφωνα με τον Νόμο του Faraday η επαγόμενη τάση στον αγωγό είναι κατά απόλυτη τιμή:

$$V_{\text{en}} = \frac{d\Phi}{dt} = x_1 \ell \frac{dB}{dt}. \quad (3)$$

Το ρεύμα του κυκλώματος είναι:

$$I = \frac{V_{en}}{R} = \frac{x_1 \ell}{R} \frac{dB}{dt}. \quad (4)$$

Στον αγωγό αναπτύσσεται δύναμη Laplace:

$$F_L = BI\ell. \quad (5)$$

Η σχέση 5 με βάση τη σχέση 3 γίνεται:

$$F_L = \left( \frac{x_1 \ell}{R} \frac{dB}{dt} \right) B \ell = \frac{x_1 \ell^2}{R} \frac{dB}{dt} B. \quad (6)$$

Η επιτάχυνση του αγωγού στο χρόνο  $t = 0$  είναι:

$$a = \frac{F_L}{m} = \frac{x_1 \ell^2}{mR} \frac{dB}{dt} B \quad (7)$$

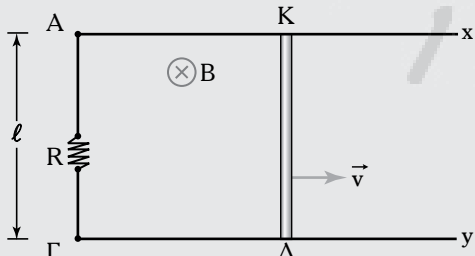
όπου  $m$  η μάζα του αγωγού  $K\Lambda$ .

### Άσκηση 5.

Αγωγός  $K\Lambda$ , μπδενικής ωμικής αντιστάσεως, μήκους  $\ell = 1,3 \text{ m}$  και μάζας  $m = 0,2 \text{ kg}$  κινείται χωρίς τριβές πάνω σε δύο παράλληλους αγωγούς  $Ax$  και  $Gy$  συνολικής ωμικής αντιστάσεως  $R = 8 \Omega$ . Το σύστημα βρίσκεται σε ομογενές μαγνητικό πεδίο κάθετο, με κατεύθυνση από τον αναγνώστη προς την οελίδα. Η μαγνητική επαγγωγή του πεδίου είναι  $0,5 \text{ T}$ . Σε πόσο χρόνο η ταχύτητα του αγωγού θα μειωθεί στη μισή τιμή της αρχικής ταχύτητας  $v_{ap}$ .

### Λύση.

Γραφικά το σύστημα δίδεται στο σχήμα 1.3ιβ.



Σχ. 1.3ιβ

Όταν ο αγωγός κινείται δημιουργεί μια μεταβολή του μαγνητικού πεδίου στο κύκλωμα, οπότε επάγγεται στα άκρα του η τάση:

$$V_{en} = \frac{d\Phi}{dt} = B \frac{dA}{dt} = Bv\ell. \quad (1)$$

Στη συνέχεια, παράγεται ένα ρεύμα στο κύκλωμα:

$$I = \frac{V_{en}}{R}. \quad (2)$$

Η σχέση 2 με βάση τη σχέση 1 γίνεται:

$$I = \frac{V_{en}}{R} = \frac{Bv\ell}{R}. \quad (3)$$

Στον αγωγό  $K\Lambda$  αισκείται μια δύναμη Laplace  $F_L$  αντίθετη στην κίνηση του αγωγού:

$$F_L = BI\ell. \quad (4)$$

Η σχέση 4 με βάση τη σχέση 3 γίνεται:

$$F_L = \frac{Bv\ell}{R} \ell B = \frac{B^2 v \ell^2}{R}. \quad (5)$$

Η εξίσωση κινήσεως του αγωγού  $K\Lambda$  είναι:

$$F = F_L = ma = m \frac{dv}{dt} = -\frac{(\ell B)^2}{R} v. \quad (6)$$

Οπότε:  $v(t) = v_o (\equiv v_{ap}) e^{-\frac{(\ell B)^2}{Rm} t}.$  (7)

Ο χρόνος  $t^*$  για τον οποίο ισχύει:

$$(t^*) = \frac{v_o}{2} \quad (8)$$

προκύπτει από τη σχέση:

$$e^{-\frac{(\ell B)^2}{Rm} t^*} = \frac{1}{2}. \quad (9)$$

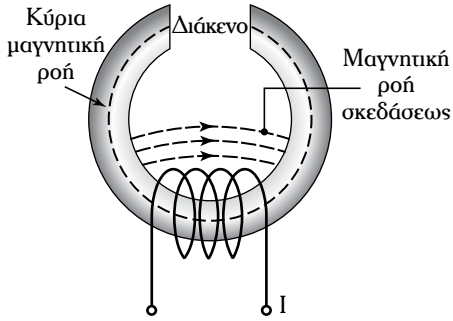
Τελικά:  $t^* = \frac{Rm}{(\ell B)^2} \ln 2 \quad (10)$

Εφαρμογή:  $t^* = \frac{8 \cdot 0,2 \cdot 10^3}{(1,3 \cdot 0,5)^2} \cdot \ln 2 = 1.109,03 \text{ s.}$

### 1.4 Μαγνητικά κυκλώματα.

Οι **μαγνητικά κύκλωμα** ονομάζεται το σύνολο των μαγνητικών υλικών, μέσα από τα οποία περνάει μαγνητική ροή, που δημιουργείται από κατάλληλη **μαγνητεγερτική δύναμη** (ΜΕΔ).

Το πλεκτρικό ρεύμα είναι η απία παραγωγής της μαγνητικής ροής. Το γινόμενο της εντάσεως του ρεύματος ( $I$ ) και του αριθμού των σπειρών ( $n$ ) (σχ. 1.4a), αν δεν ληφθεί υπόψη το φαινόμενο της ροής σκεδάσεως) ονομάζεται **μαγνητεγερτική δύναμη** ( $F$ ) όπου  $F = nI$  και η μονάδα μετρήσεως είναι οι αμπεροστροφές (At).



Σχ. 1.4α

Μαγνητικό κύκλωμα και παρονοία μαγνητικών ροών.

Τα υλικά των μαγνητικών κυκλωμάτων είναι σιδηρομαγνητικά, με οχετική μαγνητική διαπερατότητα πολύ μεγαλύτερη της μονάδας.

Ένα μαγνητικό κύκλωμα μπορεί να περιλαμβάνει εκτός από **σιδηρομαγνητικά υλικά** και **διάκενα** αέρα.

Το μαγνητικό κύκλωμα παρουσιάζει ομοιότητες με το πλεκτρικό κύκλωμα. Πράγματι, η μαγνητική ροή σ' ένα μαγνητικό κύκλωμα αντιστοιχεί στο πλεκτρικό ρεύμα σ' ένα πλεκτρικό κύκλωμα. Η θεμελιώδης διαφορά είναι ότι στο μαγνητικό κύκλωμα λαμβάνεται υπόψη η ροή σκεδάσεως, δηλαδή οι μαγνητικές δυναμικές γραμμές, οι οποίες κατά ένα μέρος περνάνε στο σιδηρομαγνητικό υλικό και κατά το άλλο κλείνουν κύκλωμα στον αέρα (σχ. 1.4α).

Στο σχήμα 1.4β(α) δίδεται ένα απλό μαγνητικό κύκλωμα, ενώ στα σχήματα 1.4β(β) και 1.4β(γ), το πλεκτρικό ισοδύναμο κύκλωμα και το ισοδύναμο μαγνητικό κύκλωμα αντίστοιχα.

Στο σχήμα 1.4β(α) έχομε:

I: Ενταση του πλεκτρικού ρεύματος σε A.

n: Αριθμός σπειρών.

Φ: Μαγνητική ροή σε Wb.

ℓ: Μήκος μέσος μαγνητικής δυναμικής γραμμής<sup>4</sup> σε μέτρα (m).

Η μαγνητική διέγερση H, δίδεται ως εξής:

$$H = \frac{nI}{\ell} \left[ \frac{At}{m} \right]. \quad (1.55)$$

Όπως είναι γνωστό, για τη μαγνητική επαγωγή B του πυρήνα του σιδηρομαγνητικού υλικού και τη μαγνητική διέγερση H, ισχύει:

$$B = \mu H \quad \text{ή} \quad B = \frac{\mu_0 \mu_r n I}{\ell} \left[ \frac{Wb}{m^2} \right] \quad (1.56)$$

όπου  $\mu_0$  η μαγνητική διαπερατότητα του κενού και  $\mu_r$  η οχετική μαγνητική διαπερατότητα του πυρήνα.

Αν A η διατομή του μαγνητικού κυκλώματος [σχ. 1.4β(α)] σε  $m^2$ , τότε έχομε:

$$\Phi = BA = \frac{\mu_0 \mu_r n I A}{\ell} [Wb]$$

$$\text{ή} \quad \Phi = \frac{nI}{\ell} \frac{A}{\mu_0 \mu_r} \quad (1.57)$$

όπου  $nI$ ,  $n$  ΜΕΔ και,

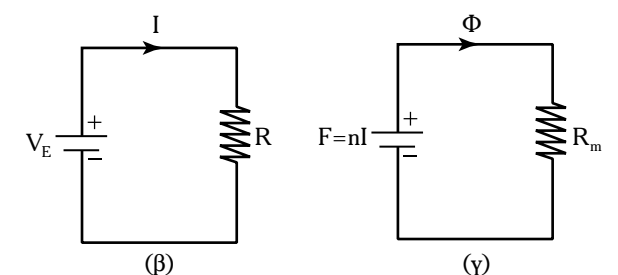
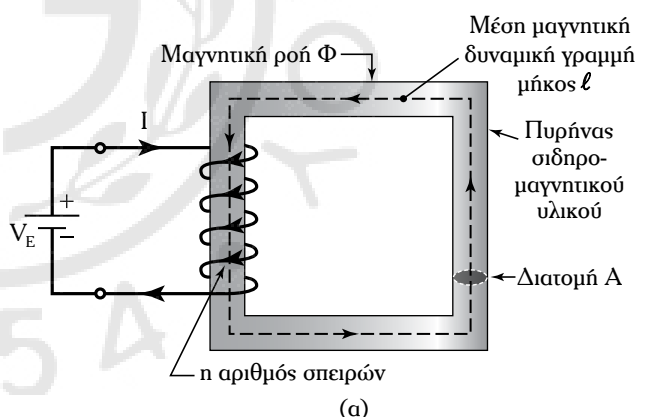
$$R_m = \frac{\ell}{\mu_0 \mu_r A} \quad (1.58)$$

η μαγνητική αντίσταση του κυκλώματος.

Οι **μαγνητική αντίσταση R<sub>m</sub>**, χαρακτηρίζεται η ιδιότητα του κυκλώματος να αντιστέκεται στη δημιουργία μαγνητικού πεδίου. Η μονάδα μετρήσεως είναι [At/Wb].

Οι αναλογίες μεταξύ των μαγνητικών και πλεκτρικών κυκλωμάτων είναι οι εξής:

1) Η τάση στα πλεκτρικά κυκλώματα αντιστοιχεί στη ΜΕΔ στα μαγνητικά κυκλώματα.



Σχ. 1.4β

(α) Απλό μαγνητικό κύκλωμα, (β) πλεκτρικό ισοδύναμο, και (γ) ισοδύναμο μαγνητικό κύκλωμα.

<sup>4</sup> Μέσον μαγνητική δυναμική γραμμή είναι μια αντιπροσωπευτική μαγνητική γραμμή της μαγνητικής ροής Φ.

2) Η ωμική αντίσταση στα πλεκτρικά κυκλώματα αντιστοιχεί στη μαγνητική αντίσταση στα μαγνητικά κυκλώματα.

3) Το πλεκτρικό ρεύμα στα πλεκτρικά κυκλώματα αντιστοιχεί στη μαγνητική ροή στα μαγνητικά κυκλώματα.

Στον πίνακα 1.4 δίδεται, συγκεντρωτικά, η αναλογία μεταξύ πλεκτρικού και μαγνητικού κυκλώματος.

Για μαγνητικό κύκλωμα, το οποίο αποτελείται από σύνολο μαγνητικών υλικών διαφορετικής μαγνητικής αντιστάσεως  $R_m$ , η συνολική ΜΕΔ ή για την παραγωγή μαγνητικής ροής  $\Phi$ , δίδεται από τον Νόμο του Hopkinson ως εξής:

$$nI = \Phi \sum R_m \quad (1.59)$$

όπου:  $nI$  η ΜΕΔ και  $R_m = \frac{\ell}{\mu_0 \mu_r A}$  η μαγνητική αντίσταση του κυκλώματος.

Η μαγνητική αντίσταση,  $R_m$  είναι η ιδιότητα του κυκλώματος να αντιστέκεται στη δημιουργία μαγνητικού πεδίου. Η μονάδα μετρήσεως της είναι [ $At/W_b$ ].

Οι αναλογίες μεταξύ των μαγνητικών και πλεκτρικών κυκλωμάτων δίδονται στον πίνακα 1.4.

Πράγματι, θεωρούμε το μαγνητικό κύκλωμα (οχ. 1.4γ), το οποίο αποτελείται από τέσσερα διαφορετικά μαγνητικά υλικά.

Έστω  $\ell_1$  το μήκος,  $A_1$  η διατομή και  $\mu_1$  η απόλυτη μαγνητική διαπερατότητα του τμήματος AB του μαγνητικού κυκλώματος. Ισχύει:

$$B_1 = \frac{\Phi}{A_1}, \quad B_2 = \frac{\Phi}{A_2}, \quad B_3 = \frac{\Phi}{A_3}, \quad B_4 = \frac{\Phi}{A_4}.$$

Είναν:

$$B_1 = \mu_1 H_1, \quad B_2 = \mu_2 H_2, \quad B_3 = \mu_3 H_3, \quad B_4 = \mu_4 H_4,$$

**Πίνακας 1.4**  
**Αναλογία μεταξύ πλεκτρικού και μαγνητικού κυκλώματος.**

Μαγνητικό κύκλωμα	Ηλεκτρικό κύκλωμα
Όταν σε μαγνητικό κύκλωμα εφαρμόζεται μία ΜΕΔ $F = nI$ παράγεται μαγνητικό πεδίο (μαγνητική διέγερση) $H = F/\ell_\mu$ $(\ell_\mu: \text{μήκος μέσους μαγνητικής δυναμικής γραμμής})$ το οποίο δημιουργεί μια μαγνητική επαγωγή $B = \mu H$ και στο μαγνητικό κύκλωμα εγκαθίσταται μαγνητική ροή $\Phi = R_m A$	Όταν σε μαγνητικό κύκλωμα εφαρμόζεται μία ΗΕΔ $V_E$ παράγεται πλεκτρικό πεδίο $E = V_E/\ell$ το οποίο δημιουργεί μία πυκνότητα ρεύματος $J = E/\rho$ και στο πλεκτρικό κύκλωμα εγκαθίσταται ρεύμα $I = J \cdot A$

οπότε έχομε:

$$H_1 = \frac{\Phi}{\mu_1 A_1}, \quad H_2 = \frac{\Phi}{\mu_2 A_2}, \quad H_3 = \frac{\Phi}{\mu_3 A_3}, \quad H_4 = \frac{\Phi}{\mu_4 A_4}.$$

Πολλαπλασιάζοντας και τα δύο μέλη με τα αντιστοιχα μήκη των αντιστοίχων μερών του μαγνητικού κυκλώματος, έχομε:

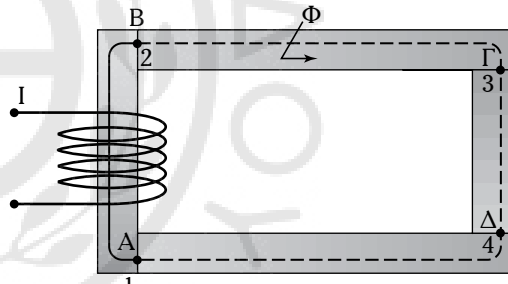
$$\ell_1 H_1 = \frac{\Phi}{\mu_1 A_1} \ell_1, \quad \ell_2 H_2 = \frac{\Phi}{\mu_2 A_2} \ell_2,$$

$$\ell_3 H_3 = \frac{\Phi}{\mu_3 A_3} \ell_3, \quad \ell_4 H_4 = \frac{\Phi}{\mu_4 A_4} \ell_4$$

και, αθροίζοντας κατά μέλη, προκύπτει:

$$H_1 \ell_1 + H_2 \ell_2 + H_3 \ell_3 + H_4 \ell_4 = \\ \left[ \frac{\ell_1}{(\mu_1 A_1)} + \frac{\ell_2}{(\mu_2 A_2)} + \frac{\ell_3}{(\mu_3 A_3)} + \frac{\ell_4}{(\mu_4 A_4)} \right] \Phi.$$

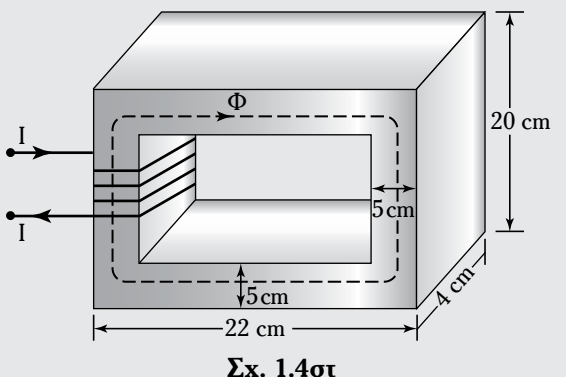
όπου:  $\ell_2$  το μήκος,  $A_2$  η διατομή και  $\mu_2$  η απόλυτη μαγνητική διαπερατότητα του τμήματος BG,  $\ell_3$  το μήκος,  $A_3$  η διατομή και  $\mu_3$  η απόλυτη μαγνητική διαπερατότητα του τμήματος ΓΔ, και  $\ell_4$  το μήκος,  $A_4$  η



**Σχ. 1.4γ**

Μαγνητικό κύκλωμα  
διαφορετικών μαγνητικών υλικών.





Να υπολογίσετε τη μαγνητική αντίσταση και τη μαγνητική ροή, όταν το πνίγιο αποτελείται από 250 σπείρες και διαρρέεται από ρεύμα 1,5 A.

#### Λύση.

Το μήκος της μέσης μαγνητικής διαδρομής είναι:

$$\ell = 17 + 15 + 17 + 15 = 64 \text{ cm} = 0,64 \text{ m}. \quad (1)$$

Το εμβαδόν της εγκάρσιας διατομής του πυρήνα είναι:

$$A = (5 \text{ cm}) \cdot (4 \text{ cm}) = (0,05 \text{ m}) \cdot (0,04 \text{ m}) = 0,002^2 \text{ m} = 2 \text{ mm}^2. \quad (2)$$

Η μαγνητική αντίσταση του πυρήνα είναι:

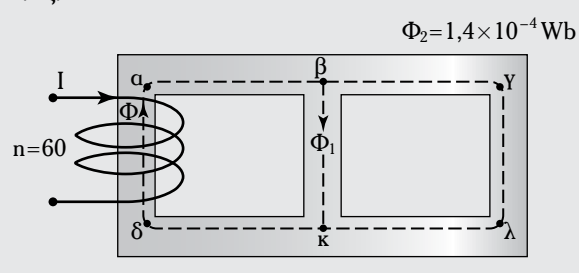
$$R_m = \frac{\ell}{\mu A} = \frac{0,64}{1,450 \cdot (4\pi \times 10^{-7}) \cdot (2 \times 10^{-3})} = 2,92 \times 10^5 \frac{\text{At}}{\text{Wb}}. \quad (3)$$

Η μαγνητική ροή είναι:

$$\Phi = \frac{F}{R_m} = \frac{nI}{R_m} = \frac{250 \cdot 1,5}{2,92 \times 10^5} = 1,28 \text{ mWb}. \quad (4)$$

#### Άσκηση 3.

Δίδεται το μαγνητικό κύκλωμα του σχήματος 1.4ζ.



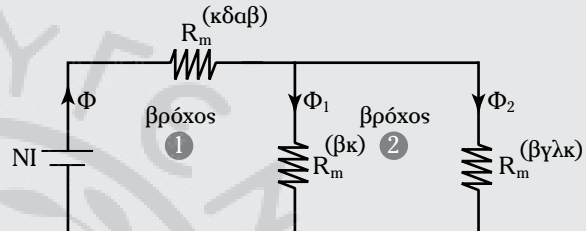
Η σχετική μαγνητική διαπερατότητα των τιμημάτων βγλκ, βκ, και κδαβ είναι:  $\mu_{r2} = 4972$ ,  $\mu_{r1} = 4821$ ,  $\mu_o = 2426$ . Να υπολογίσετε την ένταση του ρεύματος I, έτσι ώστε να εγκατασταθεί μία μαγνητική ροή  $1 \cdot 45 \times 10^{-4}$  Wb.

$$\text{Είναι: } \begin{aligned} \ell_{\beta\gamma\lambda} &= \ell_{\kappa\delta\alpha\beta} = 0,3 \text{ m} \\ \ell_{\beta\kappa} &= 0,07 \text{ cm}. \end{aligned}$$

$$\text{Εμβαδόν εγκάρσιας διατομής: } A = 7 \times 10^{-4} \text{ m}^2.$$

#### Λύση.

Το ανάλογο πλεκτρικό κύκλωμα του μαγνητικού κυκλώματος είναι αυτό του σχήματος 1.4n:



**Σχ. 1.4n**

Για το βρόχο 2, έχουμε:

$$B_2 = \frac{\Phi_2}{A} = \frac{1,4 \times 10^{-4}}{7 \times 10^{-4}} \frac{\text{Wb}}{\text{m}^2} = 0,2 \text{ T}. \quad (1)$$

$$\begin{aligned} \text{Η ΜΕΔ } H_{\beta\gamma\lambda\kappa}, \text{ είναι: } H_{\beta\gamma\lambda\kappa} &= \frac{B_2}{\mu_{\beta\gamma\lambda\kappa}} = \frac{B_2}{\mu_{r2}\mu_o} = \\ &= \frac{0,2 \text{ T}}{4,972 \cdot 4\pi \times 10^{-7} \text{ Hm}^{-1}} = 32 \frac{\text{At}}{\text{m}} \end{aligned} \quad (2)$$

Εφαρμόζομε τον Νόμο του Ampere στον βρόχο 2:

$$H_{\beta\kappa} \ell_{\beta\kappa} - H_{\beta\gamma\lambda\kappa} \ell_{\beta\gamma\lambda\kappa} = 0 \quad (3)$$

$$\text{ή } H_{\beta\kappa} \cdot (0,07 \text{ m}) - \left( 40 \frac{\text{At}}{\text{m}} \right) \cdot (0,3 \text{ m}) = 0$$

$$\text{και } H_{\beta\kappa} = 171 \frac{\text{At}}{\text{m}}.$$

Η μαγνητική επαγωγή στο τμήμα βκ είναι:

$$\begin{aligned} B_1 &= B_{\beta\kappa} = \mu_{\beta\kappa} H_{\beta\kappa} = \mu_{r1}\mu_o H_{\beta\kappa} = \\ &= 4,821 \cdot 4\pi \times 10^{-7} \frac{\text{H}}{\text{m}} \cdot 171 \frac{\text{At}}{\text{m}} = 1,07 \text{ T}. \end{aligned} \quad (4)$$

Η μαγνητική ροή στο τμήμα βκ είναι:

$$\begin{aligned} \Phi_1 &= B_1 A = (1,07 \text{ T}) \cdot (7 \times 10^{-4} \text{ m}^2) = \\ &= 7,49 \times 10^{-4} \text{ m}^2 \text{ Wb}. \end{aligned} \quad (5)$$

Βρόχος 1: Η μαγνητική ροή είναι:

$$\Phi = \Phi_1 + \Phi_2 = (7,49 + 1,4) \times 10^{-4} \text{Wb} = 8,89 \cdot 10^{-4} \text{Wb}. \quad (6)$$

Η αντίστοιχη μαγνητική επαγωγή είναι:

$$B = \frac{\Phi}{A} = \frac{8,89 \times 10^{-4}}{7 \times 10^{-4}} \frac{\text{Wb}}{\text{m}^2} = 1,27 \text{T}. \quad (7)$$

$$\begin{aligned} \text{Η ΜΕΔ: } H_{\kappa\delta\alpha\beta} &= \frac{B}{\mu_{\kappa\delta\alpha\beta}} = \frac{B}{\mu_r \mu_0} = \\ &= \frac{1,27 \text{ T}}{2426 \cdot 4\pi \times 10^{-7} \text{ Hm}^{-1}} = 418 \frac{\text{At}}{\text{m}}. \end{aligned}$$

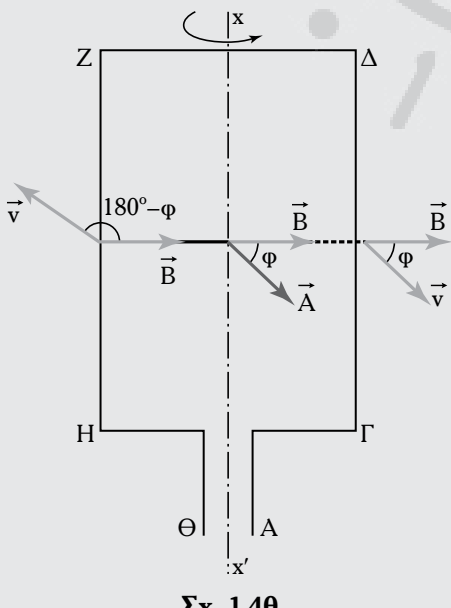
Εφαρμόζοντας τον Νόμο του Ampere στον βρόχο 1, έχουμε:

$$\begin{aligned} nI = H_{\kappa\delta\alpha\beta} I_{\kappa\delta\alpha\beta} + H_{\beta\kappa} I_{\beta\kappa} &= \left( 418 \frac{\text{At}}{\text{m}} \right) \cdot (0,3 \text{ m}) + \\ &+ \left( 171 \frac{\text{At}}{\text{m}} \right) \cdot (0,07 \text{ m}) = 137 \text{ At} \end{aligned} \quad (8)$$

είναι:  $I = 2,28 \text{ A}$ .

#### Άσκηση 4.

Για το περιστρεφόμενο πλαίσιο του σχήματος 1.4θ, να αποδείξετε ότι  $V_{\text{ΕΠ}} = B\omega A\mu\omega t$ , όπου  $B$  η μαγνητική επαγωγή του μαγνητικού πεδίου μέσα στο οποίο περιστρέφεται το πλαίσιο, εμβαδού  $A$  με ταχύτητα  $\omega$  rad/s.



#### Λύση.

Έστω ότι συρμάτινο πλαίσιο ΑΓΔΖΗΘ περιστρέφεται με σταθερή γωνιακή ταχύτητα  $\omega$  rad/s γύρω από τον άξονα  $xx'$ , ο οποίος περνά από τα μέσα των πλευρών  $Z\Delta$  και  $H\Gamma$ .

Το πλαίσιο τοποθετείται σε ομοιόμορφο και ομογενές μαγνητικό πεδίο  $\vec{B}$ , και τη στιγμή  $t = 0$  είναι κάθετο στις μαγνητικές δυναμικές γραμμές.

Στη χρονική στιγμή  $t$  στρέφεται κατά γωνία  $\varphi = \omega t$ .

Στις πλευρές  $Z\Delta$  και  $H\Gamma$  δεν επάγεται τάση, γιατί αυτές στρέφονται σε επίπεδο παράλληλο στις δυναμικές γραμμές. Τάση επάγεται στις πλευρές  $ZH$  και  $\Delta\Gamma$ .

Έχουμε:

$$\text{Πλευρά } \Delta\Gamma: V_{\text{ΕΠ}}^{(\Delta\Gamma)} = Bv(\Delta\Gamma)\eta\mu\omega. \quad (1)$$

$$\text{Πλευρά } ZH: V_{\text{ΕΠ}}^{(ZH)} = Bv(ZH)\eta\mu(180^\circ - \varphi). \quad (2)$$

Είναι:  $\Delta\Gamma = ZH$ , οπότε η σχέση 2 γίνεται:

$$V_{\text{ΕΠ}}^{(ZH)} = Bv(\Delta\Gamma)\eta\mu\omega. \quad (3)$$

Η  $V_{\text{ΕΠ}}^{(\text{ολική})}$  στο πλαίσιο είναι:

$$V_{\text{ΕΠ}}^{(\text{ολική})} = V_{\text{ΕΠ}}^{(\Delta\Gamma)} + V_{\text{ΕΠ}}^{(ZH)} = 2Bv(\Delta\Gamma)\eta\mu\omega t. \quad (4)$$

Για την ταχύτητα  $v$  ισχύει:

$$v = \omega \frac{(Z\Delta)}{2}. \quad (5)$$

Η σχέση 4 με βάση τη σχέση 5, γίνεται:

$$\begin{aligned} V_{\text{ΕΠ}}^{(\text{ολική})} &= 2Bv(\Delta\Gamma)\eta\mu\omega t = \\ &= 2B\omega \frac{(Z\Delta)}{2} (\Delta\Gamma)\eta\mu\omega t = B\omega A\mu\omega t. \end{aligned} \quad (6)$$

Αν το πλαίσιο αποτελείται από η αριθμό σπειρών, τότε η σχέση 6 γίνεται:

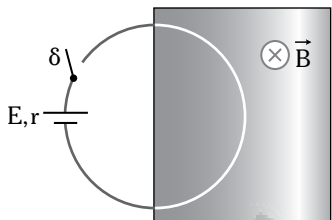
$$V_{\text{ΕΠ}}^{(\text{ολική})} = nB\omega A\mu\omega t.$$

#### 1.5 Ερωτήσεις.

- 1) Ποιος είναι ο ορισμός του μαγνητικού πεδίου;
- 2) Τι είναι οι μαγνητικές δυναμικές γραμμές και γιατί δεν τέμνονται;
- 3) Τι ονομάζομε μαγνητική ροή και ποια είναι η μονάδα μετρήσεως της;
- 4) Ποια είναι η διαφορά μεταξύ μαγνητικής επαγωγής και μαγνητικής διεγέρσεως;

- 5) Τι εκφράζει η μαγνητική διαπερατότητα;  
 6) Τι εκφράζει ο Νόμος των Biot-Savart;  
 7) Να διατυπώσετε και να αναλύσετε τον Νόμο του Διαρρέυματος.

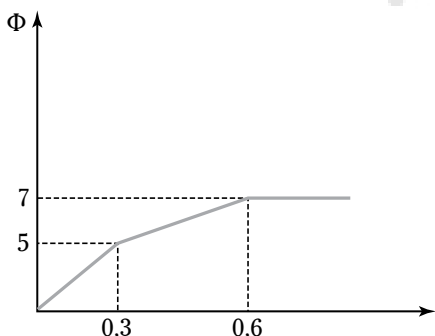
- 8) Τι είναι ένα επαγωγικό φαινόμενο;  
 9) Τι εκφράζει ο Νόμος του Faraday;  
 10) Κυκλικός αγωγός ακτίνας  $R$ , βρίσκεται κατά το ήμιουν κάθετα στις μαγνητικές δυναμικές γραμμές ενός μαγνητικού πεδίου του σχήματος 1.5a.



Σχ. 1.5a

Όταν κλείσουμε το διακόπτη  $\delta$ , ο αγωγός:

- a) Θα μπει στο μαγνητικό πεδίο;  
 b) Θα βγει από το μαγνητικό πεδίο;  
 γ) Θα κινηθεί προς τα πάνω;  
 δ) Θα κινηθεί προς τα κάτω;  
 11) Τι εκφράζει ο Kanónas του Lenz;  
 12) Τι είναι το φαινόμενο αντεπαγωγής.  
 13) Τι είναι το μαγνητικό κύκλωμα;  
 14) Τι εκφράζει η μαγνητική αντίσταση και ποια είναι τις μονάδα μετρήσεώς της;  
 15) Τι είναι η μαγνητεγερική δύναμη (ΜΕΔ) και ποια είναι τις μονάδα μετρήσεώς της;  
 16) Τι εκφράζει ο Νόμος του Hopkinson;  
 17) Η μαγνητική ροή, η οποία διέρχεται μέσα από ένα πλαίσιο μεταβάλλεται, όπως στο διάγραμμα του σχήματος 1.5b.



Σχ. 1.5b

Ποια είναι η μέση ΗΕΔ από επαγωγή:

- α) από 0 μέχρι 0,3 s;  
 β) από 0,3 μέχρι 0,6 s;

## 1.6 Προτεινόμενες ασκήσεις.

### Άσκηση 1.

Σύρμα αγ σταθερής διατομής και ειδικής ωμικής αντιστάσεως λυγίζεται σε δύο σημεία Α και Γ, ώστε τα τμήματα 25 cm Αα και Γγ να είναι παράλληλα. Η απόσταση των σημείων Α και Γ είναι 25 cm. Κάθετα στα τμήματα Αα και Γγ γλιστρά αγωγός ΘΚ, χωρίς τριβές, με σταθερή ταχύτητα 15 m/s. Ο αγωγός ΘΚ έχει την ίδια διατομή με το σύρμα αγ, αλλά τριπλάσια ειδική αντίσταση.

Το σύστημα σύρμα και αγωγός ΘΚ τοποθετείται κάθετα στις δυναμικές γραμμές του ομογενούς μαγνητικού πεδίου μαγνητικής επαγωγής 1,2 T. Να υπολογίσετε τη διαφορά δυναμικού μεταξύ των σημείων Α και Γ και Θ και Κ όταν ο αγωγός ΘΚ απέχει από την πλευρά ΑΓ απόσταση 60 cm.

### Άσκηση 2.

Οι παράλληλοι αγωγοί Αα και Γγ, αμελπτέας ωμικής αντιστάσεως, απέχουν μεταξύ τους απόσταση 1,2 m. Τα άκρα Α και Γ συνδέονται μέσω διακόπτη δ, με πλεκτρική πηγή συνεχούς τάσεως 25 V και εσωτερικής αντιστάσεως 1,5 Ω. Στους αγωγούς Αα, Γγ και κάθετα σε αυτούς γλιστρά, χωρίς τριβές, αγωγός ΘΚ, μήκους 1,2 m ωμικής αντιστάσεως 2,5 Ω.

Όλο το σύστημα τοποθετείται σε κατακόρυφο ομογενές μαγνητικό πεδίο μαγνητικής επαγωγής 1,2 T. Να υπολογίσετε την ένταση του πλεκτρικού ρεύματος όταν κλείσουμε τον διακόπτη δ, και όταν η ταχύτητα του αγωγού ΘΚ είναι 8,5 m/s.

### Άσκηση 3.

Δύο οριζόντιοι και παράλληλοι αγωγοί, αμελπτέας ωμικής αντιστάσεως, ενώνονται στα δύο άκρα τους με πηγή συνεχούς τάσεως 15 V και εσωτερικής ωμικής αντιστάσεως 1,5 Ω.

Αγωγός ΘΚ, μάζας 3,5 kgr και μήκους 1,2 m και ωμικής αντιστάσεως 1,5 Ω γλιστρά, χωρίς τριβές, πάνω στους παράλληλους αγωγούς. Όλο αυτό το σύστημα τοποθετείται μέσα σε κατακόρυφο ομογενές μαγνητικό πεδίο μαγνητικής επαγωγής 1,2 T. Έστω ότι εξασφαλίζομε στον αγωγό ΘΚ σταθερή επιτάχυνση 1,5 m/s<sup>2</sup>.

1) Να κατασκευαστεί η γραφική παράσταση της δυνάμεως Laplace και της δυνάμεως, π οποία ασκείται στον αγωγό ΘΚ σε συνάρτηση με τον χρόνο.

2) Να υπολογιστούν οι ενεργειακές μετατροπές και οι ρυθμοί αναπτύξεως κάθε μορφής ενέργειας

στις χρονικές στιγμές 2,5 s και 6,5 s.

#### Άσκηση 4.

Στα άκρα δύο παραλλήλων αγωγών, αμελπτέας ωμικής αντιστάσεως, Αα και Γγ συνδέεται ωμική αντίσταση  $2,5 \Omega$ . Πάνω στους δύο παραλλήλους αγωγούς γλιστρά xωρίς τριβές, αγωγός ΘΚ μήκους  $1,2 \text{ m}$ , μάζας  $1,2 \text{ kgr}$  και ωμικής αντιστάσεως  $1,2 \Omega$ . Το όλο σύστημα τοποθετείται κάθετα στις μαγνητικές δυναμικές γραμμές ομογενούς μαγνητικού πεδίου  $1,2 \text{ T}$  με φορά προς τον αναγνώστη. Στο κύκλωμα ΑΘΚΓ προβλέπεται διακόπτης δ.

1) Αν ο διακόπτης δ, είναι κλειστός και ο αγωγός ΘΚ κινείται με σταθερή ταχύτητα  $3,1 \text{ m/s}$ , να υπολογίσετε τη διαφορά δυναμικού στα άκρα του αγωγού.

2) Να υπολογίσετε την προσφερόμενη μηχανική ισχύ στον αγωγό ΘΚ.

#### Άσκηση 5.

Έστω δύο παραλλήλοι αγωγοί Αα και Γγ, αμελπτέας ωμικής αντιστάσεως, στα άκρα των οποίων συνδέομε ωμική αντίσταση  $3,5 \Omega$ . Θεωρούμε ότι αγωγός ΘΚ, μάζας  $1,2 \text{ kgr}$ , μήκους  $1,2 \text{ m}$  και αμελπτέας ωμικής αντιστάσεως, γλιστρά πάνω στους αγωγούς Αα και Γγ xωρίς τριβές.

Το όλο σύστημα τοποθετείται σε κατακόρυφο ομογενές μαγνητικό πεδίο, μαγνητικής επαγωγής  $1,5 \text{ T}$  με φορά των μαγνητικών δυναμικών γραμμών προς τη σελίδα. Στον αγωγό ΘΚ δίδομε σταθερή επιτάχυνση  $3,5 \text{ m/s}^2$ . Να υπολογίσετε το ρεύμα στο κύκλωμα ΑΘΚΓ τη χρονική στιγμή  $1,5 \text{ s}$ .

#### Άσκηση 6.

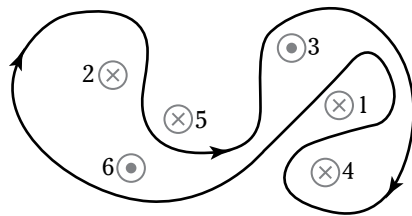
Στα άκρα δύο παραλλήλων αγωγών Αα και Γγ, αμελπτέας ωμικής αντιστάσεως, συνδέεται ωμική αντίσταση  $1,2 \Omega$ . Πάνω στους παραλλήλους αγωγούς κινείται ράβδος ΘΚ, xωρίς τριβές, με ταχύτητα  $12 \text{ m/s}$  όταν επιδρά σε αυτή δύναμη  $4,5 \text{ N}$ .

Το σύστημα τοποθετείται σε ομογενές μαγνητικό πεδίο, μαγνητικής επαγωγής  $1,5 \text{ T}$ . Η φορά των μαγνητικών δυναμικών γραμμών του μαγνητικού πεδίου είναι προς τον αναγνώστη. Να υπολογίσετε:

- 1) Τις δυνάμεις που ασκούνται στον αγωγό ΘΚ.
- 2) Την ισχύ αυτών των δυνάμεων.
- 3) Την ηλεκτρική ισχύ του κυκλώματος ΑΘΚΓ.
- 4) Τη διαφορά δυναμικού στα άκρα των σημείων Θ και K.

#### Άσκηση 7.

Έξι αγωγοί εισέρχονται κάθετα στη σελίδα όπως



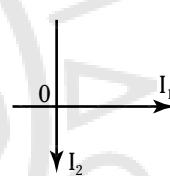
Σχ. 1.6α

παρουσιάζεται στο σχήμα 1.6α.

Κάθε αγωγός διαρρέεται από ρεύμα, στην κατεύθυνση όπως δίδεται στο σχήμα  $I = nI_n$  όπου  $n$  είναι ο αριθμός, που αντιστοιχεί σε κάθε αγωγό. Να υπολογίσετε το ολοκλήρωμα  $\oint \vec{B} \cdot d\vec{l}$  κατά μήκος της κλειστής γραμμής στη διεύθυνση των βελών.

#### Άσκηση 8.

Δύο ευθύγραμμοι αγωγοί, άπειρου μήκους, τοποθετούνται κατά τους άξονες ενός καρτεσιανού συστήματος αξόνων, κατά μήκος του  $+x$  και  $-y$ , όταν διαρρέονται με ρεύμα  $I_1 = 3 \text{ A}$  και  $I_2 = 4 \text{ A}$  αντίστοιχα (σχ. 1.6β).



Σχ. 1.6β

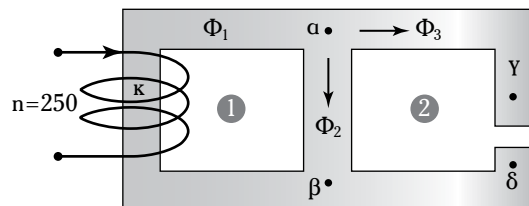
Να υπολογίσετε τη μαγνητική επαγωγή στο σημείο B ( $4 \text{ m}$ ,  $3 \text{ m}$ ).

#### Άσκηση 9.

Για το ακόλουθο μαγνητικό κύκλωμα (σχ. 1.6γ) να υπολογίσετε την ένταση του ρεύματος  $I$ , το οποίο είναι απαραίτητο για την εγκατάσταση στον διάκενο χώρο μιας μαγνητικής ροής  $\Phi_g = 7 \cdot 10^{-3} \text{ Wb}$ . Δεν λαμβάνονται υπόψη οι ροές σκεδάσεως.

Είναι:

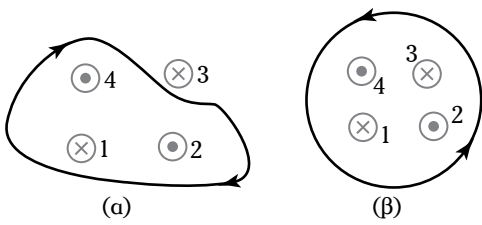
$$A = 1 \cdot 10^{-2} \text{ m}^2, \ell_g = \ell_{\gamma\delta} = 0,24 \cdot 10^{-3} \text{ m}, \Phi_g = \Phi_3, \\ \ell_{\alpha\gamma} = \ell_{\delta\beta} = 0,24 \text{ m}, \ell_{\beta\alpha} = 0,1 \text{ m}, \ell_{\beta\kappa\alpha} = 0,34 \text{ m}.$$



Σχ. 1.6γ

### Άσκηση 10.

Καθένας από τους 8 αγωγούς του σχήματος 1.6δ, διαρρέεται με ρεύμα 2 A. Να υπολογίσετε το ολοκλήρωμα  $\oint \vec{B} \cdot d\vec{l}$  κατά μήκος της κλειστής γραμμής του σχήματος 1.6δ(α) και του σχήματος 1.6δ(β).



**Σχ. 1.6δ**

### Άσκηση 11.

Για μια γραμμική μηχανή με τα ακόλουθα χαρακτηριστικά:

$$B = 0,7 \text{ T} \otimes$$

Συνολική ωμική αντίσταση:  $0,30 \Omega$

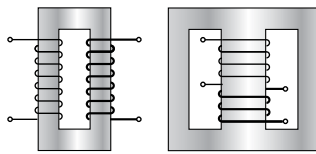
$$l = 0,7 \text{ cm} \quad V_{DC} = 150 \text{ V}$$

Να βρεθεί:

- 1) Αν στον αγωγό, ο οποίος εκτελεί μεταφορική κίνηση εφαρμοστεί δύναμη  $25 \text{ N}$  αντίθετη στη φορά κινήσεώς της, ποια είναι η νέα ταχύτητα του αγωγού;
- 2) Αν μειωθεί η μαγνητική επαγωγή στα  $0,5 \text{ T}$ , πώς θα συμπεριφερθεί ο αγωγός;
- 3) Να μελετηθεί η συμπεριφορά της γραμμικής μηχανής όταν  $V_{DC} = 115 \text{ V}$ .
- 4) Με βάση τις απαντήσεις των (β) και (γ) πώς ελέγχεται η ταχύτητα της γραμμικής μηχανής;

### Άσκηση 12.

Να μελετηθεί η συμπεριφορά ενός τροχού ακτίνας  $1 \text{ m}$  όταν κινείται με ταχύτητα  $v = 8 \text{ m/s}$  μέσα σε οριζόντιο μαγνητικό πεδίο, μαγνητικής επαγωγής  $1,1 \text{ T}$ , όταν η ακτίνα του τροχού σχηματίζει γωνία  $\phi = 35^\circ$  με τη διεύθυνση της μεταφορικής κινήσεως.



## ΚΕΦΑΛΑΙΟ ΔΕΥΤΕΡΟ ΜΕΤΑΣΧΗΜΑΤΙΣΤΕΣ

### 2.1 Εισαγωγή.

Οι **μετασχηματιστές** (M/S) είναι στατές πλεκτρικές μηχανές που αποτελούνται από μαγνητικό κύκλωμα και από δύο ή περισσότερα τυλίγματα μπορεί να είναι μονοφασικού ή τριφασικού τύπου.

Η αρχή λειτουργίας τους βασίζεται στον Νόμο της πλεκτρομαγνητικής επαγωγής. Οι M/S λειτουργούν αποκλειστικά όταν τα πλεκτρικά μεγέθη στους ακροδέκτες εισόδου μεταβάλλονται στο χρόνο, όπως με τον Νόμο του ημιτόνου.

Οι M/S χρησιμοποιούνται για τη μεταφορά πλεκτρικής ενέργειας μεταξύ δύο κυκλωμάτων επαγωγικά συνεζευγμένων. Πρόκειται για πλεκτρικές συσκευές, οι οπίσιες παρουσιάζουν πολύ μεγάλη απόδοση και βρίσκουν εφαρμογή σε βιομηχανικές εγκαταστάσεις, αλλά και στις πλεκτρικές εγκαταστάσεις εμπορικών πλοίων.

### 2.2 Δομή και χρήσεις των μονοφασικών M/S.

Σε αυτήν την ενότητα θα αναφερθούμε στη δομή των βιομηχανικά αξιοποιήσιμων M/S, στα βασικά τους τεχνικά χαρακτηριστικά<sup>1</sup> και στις χρήσεις τους στο βιομηχανικό πεδίο και στον τομέα των πλεκτρικών εγκαταστάσεων.

Προκειμένου να λειτουργήσει ένας M/S απαιτούνται τα ακόλουθα:

1) Εναλλασσόμενη ημιτονοειδής τάση τροφοδοσίας.

2) Ηλεκτρικά κυκλώματα.

3) Εναλλασσόμενη κοινή μαγνητική ροή και

4) κατάλληλο μαγνητικό κύκλωμα, το οποίο συνδέει τα πλεκτρικά κυκλώματα μεταξύ τους.

Στους M/S ισχύος το μαγνητικό κύκλωμα υλοποιείται μέσω ενός σιδηροπυρήνα, για τους εξής λόγους:

1) Διότι το σιδηρομαγνητικό υλικό συγκεντρώνει

το μεγαλύτερο μέρος της μαγνητικής ροής σε μια καθορισμένη διαδρομή και εμπλέκει όλα τα τυλίγματα του M/S.

2) Διότι για την παραγωγή της μαγνητικής ροής απαιτείται μικρό ρεύμα διεγέρσεως.

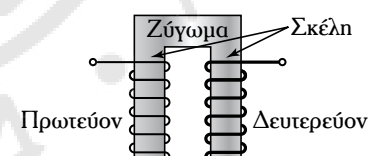
#### 2.2.1 Δομή των μονοφασικών μετασχηματιστών.

Από κατασκευαστικής απόψεως υπάρχουν δύο κατηγορίες μονοφασικών M/S: οι **M/S τύπου πυρήνα** και οι **M/S τύπου μανδύα**.

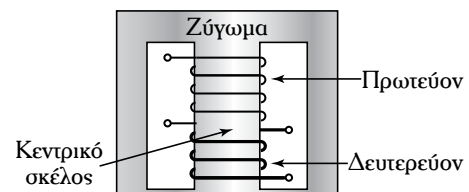
Στην πρώτη κατηγορία [σχ. 2.2a(a)] τα πλεκτρικά κυκλώματα (τυλίγματα), πρωτεύον (εκείνο στο οποίο εφαρμόζεται η εναλλασσόμενη τάση) και δευτερεύον (εκείνο στο οποίο συνδέεται το φορτίο) τοποθετούνται στα δύο σκέλη του μαγνητικού κυκλώματος, το οποίο έχει ορθογώνιο σχήμα.

Τα δύο σκέλη ενώνονται με δύο ζυγάματα, τα οποία κλείνουν το μαγνητικό κύκλωμα.

Στη δεύτερη κατηγορία [σχ. 2.2a(β)] τα δύο τυ-



(a)



(β)

**Sχ. 2.2a**

(a) M/S τύπου πυρήνα και (β) τύπου μανδύα.

<sup>1</sup> Τα τεχνικά χαρακτηριστικά του M/S αναγράφονται σε πινακίδα που φέρει από τον κατασκευαστή του.

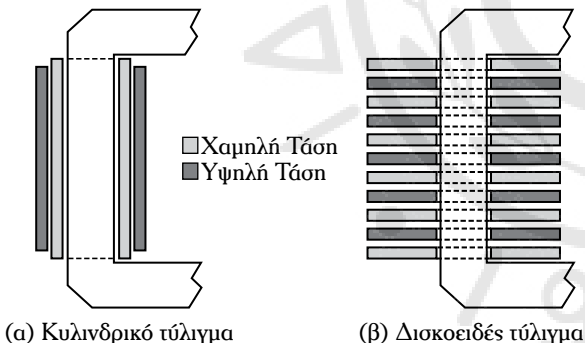
λίγματα, πρωτεύον και δευτερεύον, τοποθετούνται στο μεσαίο σκέλος. Το μαγνητικό κύκλωμα αποτελείται από τρία σκέλη.

Η διατομή του μεσαίου σκέλους είναι διπλάσια της διατομής των δύο άλλων σκελών και ζυγωμάτων. Αυτό συμβαίνει γιατί η μαγνητική ροή του μεσαίου σκέλους πρέπει να διαμερίζεται συμμετρικά στα εξωτερικά **σκέλη** και στα **ζυγώματα**. Γενικά, ο πυρήνας των M/Σ, που χρησιμοποιούνται στις πλεκτρικές εγκαταστάσεις πλοίων, κατασκευάζεται από έλασμα πάχους 0,25 έως 0,50 mm με τη μορφή δέσμης για τη μείωση των απωλειών από δινορρεύματα. Τα ελάσματα κατασκευάζονται από πυριτιούχο χάλυβα και από τη μία πλευρά είναι μονωμένα με μονωτικό χαρτί με επίχρισμα κατάλληλου μονωτικού υλικού (βερνίκια κ.λπ.), ώστε να υπάρχει μόνωση μεταξύ τους.

Τα τυλίγματα των μετασχηματιστών είναι:

1) Τα **κυλινδρικά ή σωληνωτά τυλίγματα** [σχ. 2.2β(α)], στα οποία οι σωλήνες του τυλίγματος της υψηλής τάσεως (YT) περιβάλλουν τους σωλήνες του τυλίγματος χαμπλής τάσεως (XT) και

2) τα **δισκοειδή τυλίγματα** [σχ. 2.2β(β)], στα οποία τόσο το πρωτεύον, όσο και το δευτερεύον τύλιγμα διαιρέται σε περισσότερα πτυνία, που έχουν τη μορφή δίσκων.



**Σχ. 2.2β**

Τυλίγματα μετασχηματιστών χαμπλή τάσεως και υψηλής τάσεως.

## 2.2.2 Ονομαστικά μεγέθη των M/Σ.

Τα βασικά θεμελιώδη ονομαστικά μεγέθη ενός πραγματικού μονοφασικού M/Σ είναι:

1) Η **ονομαστική τάση πρωτεύοντος**, που είναι η μεγαλύτερη δυνατή τάση τροφοδοσίας του μονοφασικού M/Σ.

2) Η **ονομαστική τάση δευτερεύοντος**, που είναι η τάση στους ακροδέκτες του δευτερεύοντος του M/Σ όταν αυτός λειτουργεί χωρίς φορτίο, ενώ τρο-

φοδοτείται με την ονομαστική του τάση.

3) Τα **ονομαστικά ρεύματα πρωτεύοντος** και **δευτερεύοντος**, που είναι τα αναγραφόμενα στην πινακίδα και υπολογίζονται με βάση τις ονομαστικές τιμές της ισχύος και της τάσεως.

4) Η **ονομαστική ικανότητα** ενός M/Σ που είναι η ισχύς στους ακροδέκτες του δευτερεύοντος σε kiloVoltAmperes (kVA).

## 2.2.3 Χρήση των M/Σ.

Ο τρόπος κατασκευής των M/Σ προσδιορίζει το πεδίο εφαρμογής τους. Οι προδιαγραφές κατασκευής τους υπαγορεύονται από την ανάγκη υπάρξεως πλεκτρικών και μαγνητικών χαρακτηριστικών, τα οποία να εγγυώνται την κανονική τους λειτουργία.

Για τους μονοφασικούς M/Σ, μικρής ισχύος, το ζήτημα της θερμάνσεως έχει μικρή σημασία.

Στους M/Σ ισχύος, οι οποίοι χρησιμοποιούνται σε μεγάλες βιομηχανικές μονάδες, η θέρμανση είναι ο κύριος παράγοντας για τον καθορισμό των διαστάσεών τους. Από τους M/Σ ισχύος απαιτούμε **μεγάλη απόδοση, μικρή εκατοσταία πτώση τάσεως** κ.λπ..

Οι τύποι των M/Σ, που χρησιμοποιούνται περισσότερο είναι:

1) Οι **M/Σ ισχύος**, για τη μεταφορά και τη διανομή πλεκτρικής ενέργειας.

2) Οι **αυτομετασχηματιστές** (AM/Σ), για τη μετατροπή τάσεων μέσα σε μικρά όρια, για εκκίνηση κινητήρων εναλασσόμενου ρεύματος (EP) και άλλες εφαρμογές.

3) Οι **M/Σ δοκιμών** και

4) οι **M/Σ με εφαρμογές στις τηλεπικοινωνίες**.

## 2.3 Λειτουργία των μονοφασικών M/Σ.

Σε αυτήν την παράγραφο θα μελετηθεί ο ιδανικός M/Σ, που χρησιμεύει για την εξαγωγή των ιδιοτήτων του, οι οποίες ισχύουν, όμως, και για τον πραγματικό M/Σ. Στη συνέχεια, θα κατασκευάσουμε το πλήρες ισοδύναμο πλεκτρικό κύκλωμα του μονοφασικού M/Σ, όταν αυτός λειτουργεί κανονικά. Από αυτό, κάνοντας κάποιες παραδοχές, θα προκύψουν το απλοποιημένο και το προσεγγιστικό απλοποιημένο ισοδύναμο πλεκτρικό κύκλωμα. Για τον προσδιορισμό των κυκλωματικών στοιχείων των αντιστοιχών ισοδυνάμων κυκλωμάτων, απαιτούνται δοκιμές (πειράματα) στην κατάσταση χωρίς φορτίο και σε ελεγχόμενο βραχυκύκλωμα.

### 2.3.1 Ιδανικός M/Σ.

Ο ιδανικός M/Σ είναι μία υποθετική συσκευή, η οποία χρησιμοποιείται, προσεγγιστικά, για την εξαγωγή των βασικών μαθηματικών σχέσεων, που διέπουν τη λειτουργία των πραγματικών M/Σ. Οι ακόλουθες παραδοχές ορίζουν τον ιδανικό M/Σ:

1) Οι ωμικές αντιστάσεις των τυλιγμάτων θεωρούνται αμελητέες.

2) Οι απώλειες πυρίνα θεωρούνται αμελητέες.

3) Όλη η μαγνητική ροή συγκεντρώνεται στον πυρίνα και στα δύο τυλίγματα. Η μαγνητική διαπερατότητα του πυρίνα θεωρείται άπειρη.

4) Η χωρητικότητα των τυλιγμάτων αμελείται.

Σύμφωνα με τις παραδοχές 1 και 3 ισχύουν οι ακόλουθες εξισώσεις:

$$u_1 = e_1 = n_1 \frac{d\phi}{dt} \quad (2.1)$$

$$u_2 = e_2 = n_2 \frac{d\phi}{dt} \quad (2.2)$$

όπου:  $\phi$  η συνολική, μέγιστη, μαγνητική ροή, η οποία παράγεται από την ταυτόχρονη δράση των ρευμάτων  $i_1$  και  $i_2$  (σχ. 2.3a),  $u_1$  και  $u_2$  οι στιγμιαίες τιμές των τάσεων του πρωτεύοντος και του δευτερεύοντος αντίστοιχα.

Διαιρώντας τις εξισώσεις 2.1 και 2.2 προκύπτει η **1<sup>η</sup> ιδιότητα των M/Σ**, με βάση την οποία οι M/Σ μετασχηματίζουν τάσεις ανάλογα με το λόγο των σπειρών. Ισχύει λοιπόν:

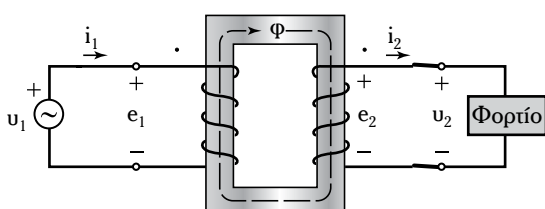
$$\frac{u_1}{u_2} = \frac{e_1}{e_2} = \frac{n_1}{n_2} = K \quad \text{ή}$$

Για ενεργές τιμές των μεγεθών είναι:

$$\frac{V_1}{V_2} = \frac{E_1}{E_2} = \frac{n_1}{n_2} = K \quad (2.3)$$

όπου  $K$  ο **λόγος μετασχηματισμού**:  $\frac{n_1}{n_2} = K$ .

Η αιτία παραγωγής της κύριας μαγνητικής ροής φ., (αυτή η οποία εμπλέκεται με το πρωτεύοντο και το



Σχ. 2.3a

Ιδανικός μονοφασικός M/Σ.

δευτερεύοντος τύλιγμα του M/Σ) είναι η μαγνητεγερτική δύναμη (ΜΕΔ),  $F$ .

Για τον ιδανικό M/Σ η συνολική (ΜΕΔ) είναι:  $F = n_1 i_1 - n_2 i_2$ .

Σύμφωνα με τις παραδοχές 1 και 3 και τις φορές των ρευμάτων, στο κύκλωμα του σχήματος 2.3a, προκύπτει:

$$n_1 i_1 - n_2 i_2 = R_m \phi = 0. \quad (2.4)$$

$$\text{Πράγματι, είναι: } R_m = \frac{1}{\mu} \frac{\ell}{A} \quad (2.5)$$

όπου:  $\mu$  η μαγνητική διαπερατότητα,  $\ell$  το μέσο μήκος του πυρίνα,  $A$  το εμβαδόν διατομής του πυρίνα και  $R_m$  η μαγνητική αντίσταση του μαγνητικού κυκλώματος του M/Σ.

Όταν  $\mu \rightarrow \infty$  (παραδοχή δ), τότε η μαγνητική αντίσταση ισούται με μηδέν.

Από την εξισώση 2.4, προκύπτει η **2<sup>η</sup> ιδιότητα των M/Σ**, με βάση την οποία οι M/Σ μετασχηματίζουν ρεύματα αντιστρόφως ανάλογα του λόγου των σπειρών.

$$\text{Ισχύει λοιπόν: } \frac{i_1}{i_2} = \frac{n_1}{n_2} = \frac{1}{K}. \quad (2.6)$$

Πολλαπλασιάζοντας τις εξισώσεις 2.4 και 2.6 προκύπτει:

$$u_1 i_1 = u_2 i_2. \quad (2.7)$$

Η εξισώση 2.7, εκφράζει ότι η στιγμιαία ισχύς εισόδου ισούται με τη στιγμιαία ισχύ εξόδου του ιδανικού M/Σ.

Για τις ενεργές τιμές των τάσεων και των ρευμάτων ισχύει:

$$V_1 = \frac{n_1}{n_2} V_2, \quad V_2 = \frac{n_2}{n_1} V_1. \quad (2.8)$$

$$I_1 = \frac{n_2}{n_1} I_2, \quad I_2 = \frac{n_1}{n_2} I_1. \quad (2.9)$$

Από τις εξισώσεις 2.8 και 2.9 προκύπτει η **3<sup>η</sup> ιδιότητα των M/Σ**, με βάση την οποία οι M/Σ μετασχηματίζουν σύνθετες αντιστάσεις ανάλογα του τετραγώνου του λόγου των σπειρών.

Ισχύει λοιπόν:

$$\frac{\dot{V}_1}{\dot{I}_1} = \left( \frac{n_1}{n_2} \right)^2 \left( \frac{\dot{V}_2}{\dot{I}_2} \right) = \left( \frac{n_1}{n_2} \right)^2 \dot{Z}_2 \quad (2.10)$$

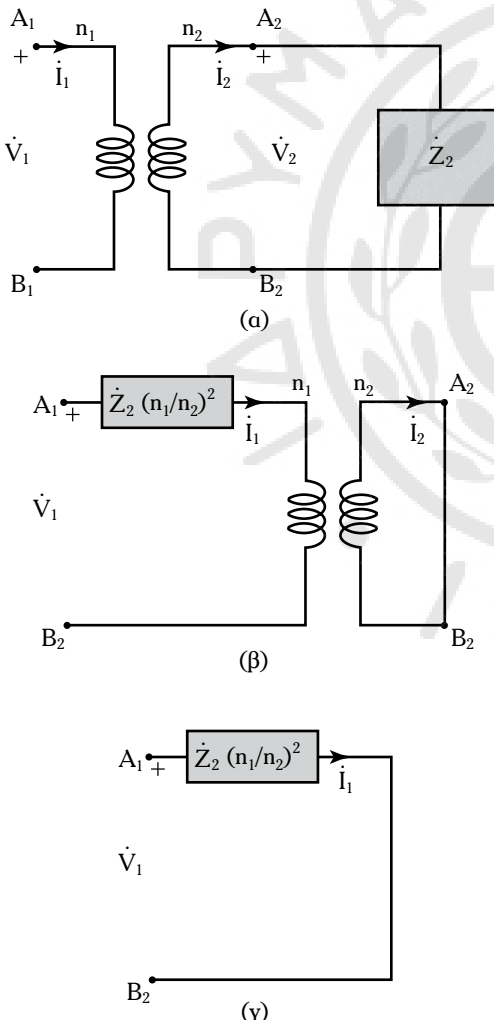
όπου  $\dot{Z}_2$  η σύνθετη αντίσταση του φορτίου, το οποίο συνδέεται στους ακροδέκτες του δευτερεύοντος του ιδανικού M/Σ. Στη σχέση 2.10 τα μεγέθη των τάσε-

ων, των ρευμάτων και της σύνθετης αντιστάσεως του φορτίου δίδονται στη μιγαδική τους μορφή.

Ο μηχανισμός λειτουργίας της 3<sup>ης</sup> ιδιότητας δίδεται στα ακόλουθα ισοδύναμα κυκλώματα του ιδανικού M/Σ (σχ. 2.3β). Τα τρία κυκλώματα, από πλεκτρικής απόψεως, είναι ισοδύναμα όταν θεωρούνται από τους ακροδέκτες  $A_1$  και  $B_2$ . Οι τιμές της τάσεως, εντάσεως και σύνθετης αντιστάσεως του δευτερεύοντος, όταν τις «βλέπουμε» από την πλευρά του πρωτεύοντος, ονομάζονται **ανηγμένες στο πρωτεύοντο**.

### 2.3.2 Λειτουργία πραγματικού M/Σ χωρίς φορτίο.

Η μελέτη της συμπεριφοράς του πραγματικού μονοφασικού M/Σ εξαρτάται από το αν λαμβάνονται υπόψη όλα τα είδη των απωλειών (στην παράγρ. 2.6, γίνεται πλήρης ανάπτυξη των απωλειών σε πραγμα-



**Σχ. 2.3β**

(a), (β), (γ) Ισοδύναμα κυκλώματα για ιδανικό M/Σ ως προς τους ακροδέκτες  $A_1$  και  $B_2$ .

τικό μονοφασικό M/Σ), και το φαινόμενο της ροής σκεδάσεως. Οι βασικότερες απώλειες είναι:

1) Οι **απώλειες χαλκού**  $P_{cu}$ . Είναι απώλειες Joule στις ωμικές αντιστάσεις του M/Σ και είναι ανάλογες με το τετράγωνο του ρεύματος στα τυλίγματά του και

2) Οι **απώλειες πυρήνα**  $P_c$ , που αποτελούνται:

α) Από τις απώλειες από δινορρεύματα. Είναι ανάλογες του τετράγωνου της τάσεως, η οποία εφαρμόζεται στην είσοδο του M/Σ και καταναλώνονται στο μέταλλο του πυρήνα, και

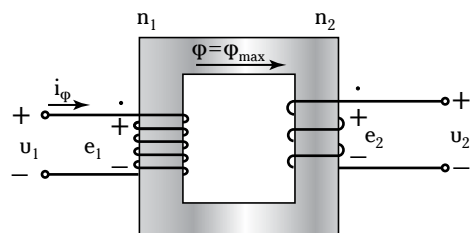
β) από τις απώλειες από μαγνητική υστέρηση, οι οποίες αποτελούν τις απώλειες ενέργειας μέσα στο σιδηρομαγνητικό υλικό κατά τη διαδικασία μαγνητίσεως του.

Αυτές οι απώλειες εμφανίζονται με τη μορφή θερμότητας.

Κατά τη λειτουργία του πραγματικού μονοφασικού M/Σ εμφανίζονται στο πρωτεύον και στο δευτερεύον τύλιγμα οι μαγνητικές ροές σκεδάσεως  $\Phi_{o1}$  και  $\Phi_{o2}$  αντίστοιχα, οι οποίες κατά ένα μέρος αναπτύσσονται στα αντίστοιχα τυλίγματα και κατά το άλλο στον αέρα, ο οποίος τα περιβάλλει. Οι μαγνητικές ροές σκεδάσεως παράγουν αυτεπαγώγες, οι οποίες λαμβάνονται υπόψη στην κατασκευή του ισοδυνάμου κυκλώματος του M/Σ.

Στο σχήμα 2.3γ, δίδεται ένας πραγματικός μονοφασικός M/Σ (δύο τυλίγματων) με ανοικτό το δευτερεύον. Σ' αυτήν την κατάσταση ο M/Σ λειτουργεί χωρίς φορτίο. Θεωρούμε ότι στο πρωτεύον επιβάλλεται μία ημιτονοειδής εναλλασσόμενη τάση, σπιγμαίας, τιμής  $u_1$ . Ο M/Σ απορροφά από το δίκτυο ένα μικρό ρεύμα (ρεύμα διεγέρσεως)  $i_\phi$ , το οποίο είναι 2 έως 2,5% του ονομαστικού ρεύματος του πρωτεύοντος, οπότε το φαινόμενο Joule και το φαινόμενο της ροής σκεδάσεως στο πρωτεύον δεν λαμβάνονται υπόψη.

Η ΜΕΔ  $n_1 i_\phi$  παράγει τη μαγνητική ροή  $\Phi$  (η οποία, στην πράξη, είναι η μέγιστη μαγνητική ροή  $\Phi_m$  σε αυτήν την κατάσταση λειτουργίας του M/Σ), η



**Σχ. 2.3γ**

Μονοφασικός μετασχηματιστής, στη λειτουργία χωρίς φορτίο.

οποία συγκεντρώνεται στον σιδηροπυρήνα του Μ/Σ και εμπλέκει το δευτερεύον τύλιγμά του. Αυτή η μαγνητική ροή ονομάζεται **κύρια, χρήσιμη ή ωφέλιμη** γιατί καθορίζει την ανάπτυξη της ΗΕΔ  $e_2$ , στο δευτερεύον (σχ. 2.3γ). Η κύρια μαγνητική ροή  $\Phi$ , εμπλέκει όλες τις σπείρες  $n_1$  του πρωτεύοντος, οπότε η αντίστοιχη **πεπλεγμένη ροή** είναι:

$$\Psi_1 = n_1 \Phi. \quad (2.11)$$

Η κύρια μαγνητική ροή  $\Phi$ , επάγει στο πρωτεύον τύλιγμα, την τάση  $e_1$ , η οποία είναι:

$$e_1 = \frac{d\Psi_1}{dt} = n_1 \frac{d\Phi}{dt}. \quad (2.12)$$

Οι μονάδες μετρήσεως της  $\Phi$  είναι σε Weber, και της  $e_1$  σε Volt.

Σύμφωνα με τον Νόμο του Lenz η τάση  $e_1$  είναι μία αντι-ΗΕΔ, όπου στο σχήμα 2.3γ αποδίδεται με τα σημεία + και -. Η αντι-ΗΕΔ  $e_1$ , πρέπει να εξισορροπεί την επιβαλλόμενη τάση  $u_1$ , ώστε:

$$u_1 = e_1 \quad (2.13)$$

(όταν δεν λαμβάνεται υπόψη η ωμική αντίσταση και το φαινόμενο της ροής σκεδάσεως του πρωτεύοντος).

Θεωρώντας την τάση  $u_1$  ως ημιτονοειδή, το ρεύμα  $i_\phi$  είναι μικρό. Αν δεν λαμβάνονται υπόψη η ωμική αντίσταση του πρωτεύοντος και το αντίστοιχο φαινόμενο της ροής σκεδάσεως, τότε η αντι-ΗΕΔ  $e_1$ , και η μαγνητική ροή  $\Phi$ , θεωρούνται, πρακτικά, ημιτονοειδή μεγέθη. Πράγματι, αν η μαγνητική ροή  $\Phi$ , είναι ημιτονοειδής:

$$\Phi = \Phi \eta \omega t \quad (2.14)$$

τότε η επαγόμενη αντι-ΗΕΔ είναι:

$$e_1 = n_1 \frac{d\Phi}{dt} = \omega n_1 \Phi_m \text{ συνωτ} \quad (2.15)$$

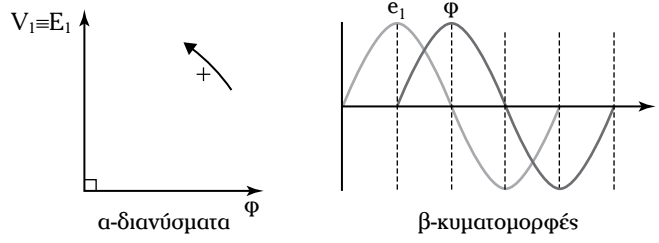
όπου  $\Phi_m$  η μεγίστη τιμή της μαγνητικής ροής και  $\omega = 2\pi f$  η γωνιακή ταχύτητα σε rad/s.

Με βάση την πολικότητα των τάσεων, την οποία υιοθετίσαμε, η αντι-ΗΕΔ  $e_1$  προηγείται της μαγνητικής ροής  $\Phi$  κατά  $90^\circ$  (σχ. 2.3δ).

Η ενεργός τιμή της  $e_1$  είναι:

$$E_1 = \frac{2\pi}{\sqrt{2}} f n_1 \Phi_m = 4,44 f n_1 \Phi_m \quad (2.16)$$

όπου  $f$  η συχνότητα της πηγής, η οποία τροφοδοτεί



**Sx. 2.36**  
Κύρια ροή και επαγόμενη τάση.

τον Μ/Σ σε Hz και  $n_1$ , είναι ο αριθμός σπειρών του πρωτεύοντος τύλιγματος του Μ/Σ.

Από την εξίσωση 2.16, όταν η ωμική αντίσταση  $R_1$ , του τύλιγματος του πρωτεύοντος είναι αμελητέα, έχουμε:

$$\Phi_m = \frac{E_1 \equiv V_1}{4,44 f n_1}. \quad (2.17)$$

Γενικά, η μαγνητική ροή καθορίζεται μόνο από την επιβαλλόμενη τάση, την συχνότητα της τάσεως του δικτύου τροφοδοσίας και τον αριθμό σπειρών του τύλιγματος.

Η εξίσωση 2.17 δεν ισχύει μόνο για τους Μ/Σ, αλλά και για οποιαδήποτε συσκευή, η οποία λειτουργεί με ημιτονοειδή επιβαλλόμενη τάση, όταν η ωμική αντίσταση του πηνίου αμελείται.

Η κύρια μαγνητική ροή επάγει στο δευτερεύον τύλιγμα, με αριθμό σπειρών  $n_2$ , μία τάση ενεργούς τιμής  $E_2$ :

$$E_2 = 4,44 f n_2 \Phi_m. \quad (2.18)$$

Διαιρώντας την 2.16 με την 2.18 προκύπτει:

$$\frac{E_1}{E_2} = \frac{n_1}{n_2} = K. \quad (2.19)$$

Για τον πραγματικό μονοφασικό Μ/Σ, όταν λειτουργεί χωρίς φορτίο και για τις ενεργές τιμές των μεγεθών  $V_1$ ,  $V_2$ ,  $E_1$  και  $E_2$  ισχύει:

$$\frac{V_1}{V_2} = \frac{E_1}{E_2} = \frac{n_1}{n_2} = K. \quad (2.20)$$

Από την εξίσωση 2.20, προκύπτει η  $1^{\text{n}}$  ιδιότητα των πραγματικών Μ/Σ:

**Ο Μ/Σ μετασχηματίζει τάσεις ανάλογα με τον λόγο των σπειρών.**

### 2.3.3 Ρεύμα μαγνητίσεως.

Μια μεταβολή του φορτίου προκαλεί μεταβολή του ρεύματος στο δευτερεύον. Ο Μ/Σ αντιδρά με μεταβολή του ρεύματος του πρωτεύοντος, έτσι ώστε να

διατηρείται σταθερή η διαφορά  $n_1 I_1 - n_2 I_2$ .

Όταν ο Μ/Σ τροφοδοτείται με μία τάση εναλλασσόμενη ημιτονοειδή  $u_1(t)$ , τότε  $e_1(t)$  και  $\phi(t)$  είναι εναλλασσόμενα ημιτονοειδή μεγέθυνσης.

Αν αμελώσουμε τις απώλειες λόγω μαγνητικής υστερήσεως (απώλειες του σιδηροπυρήνα κατά τη διαδικασία μαγνητίσεως του), τότε το ρεύμα, το οποίο είναι υπεύθυνο για τη μαγνήτιση του πυρήνα του Μ/Σ είναι το ρεύμα μαγνητίσεως  $i_m(t)$ .

Ο πυρήνας του Μ/Σ είναι μη γραμμικός, οπότε το ρεύμα μαγνητίσεως δεν είναι εναλλασσόμενο ημιτονοειδές μέγεθος, αλλά είναι παραμορφωμένο.

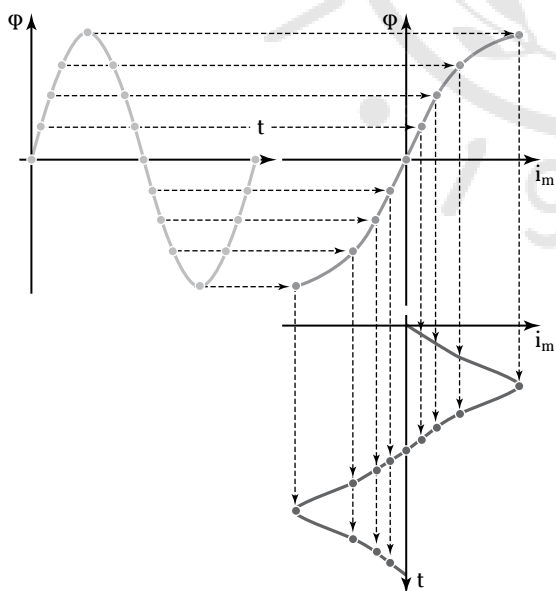
Μπορεί να αποδειχτεί, όταν αμελούνται οι απώλειες μαγνητικής υστερήσεως (σχ. 2.3e), ότι το  $i_m(t)$ :

1) Περιλαμβάνει αρμονικές συνιστώσες, περιπτώς τάξεως ( $3^n$ ,  $5^n$  κ.λπ.) και όπι,

2) ο σημαντικότερος είναι η  $3^n$  αρμονική (σε φάση  $180^\circ$  με τη θεμελιώδη) (σχ. 2.3στ).

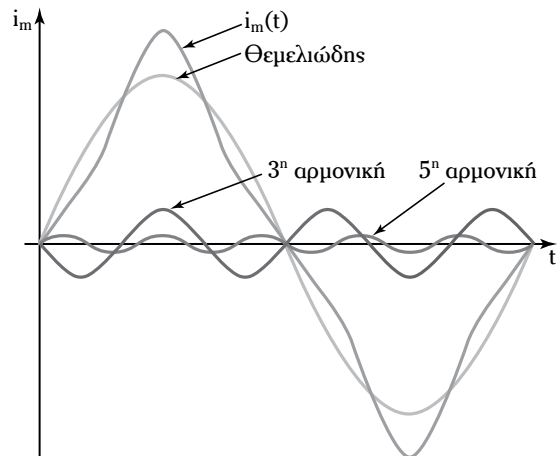
Δεδομένου ότι το ρεύμα μαγνητίσεως είναι μικρό σε σύγκριση με άλλα ρεύματα, σε πρώτη προσέγγιση, θεωρείται ημιτονοειδές, με ενεργό τιμή ίση με την αντίστοιχη του παραμορφωμένου ρεύματος.

Όταν λαμβάνονται υπόψη οι απώλειες μαγνητικής υστερήσεως, το ρεύμα  $i_m(t)$  προσδιορίζεται γραφικά (σχ. 2.3ζ). Σε αυτήν την περίπτωση, στο ρεύμα μαγνητίσεως προστίθεται ένα ρεύμα  $i_h(t)$ , κυκλικής συχνότητας  $\omega$ , το οποίο προκαλείται του ρεύματος  $i_m(t)$  κατά  $90^\circ$  (σχ. 2.3η).



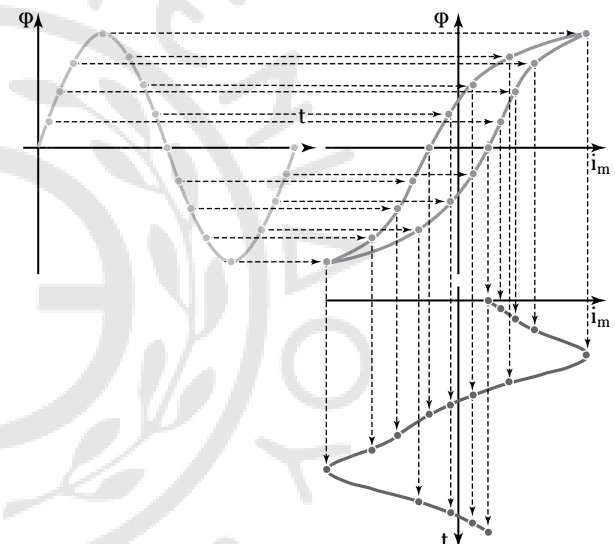
**Σχ. 2.3ε**

Παραμορφωμένο ρεύμα μαγνητίσεως,  $i_m(t)$ , λόγω των μη γραμμικών ιδιοτήτων του πυρήνα και χωρίς να λαμβάνομε υπόψη τις απώλειες μαγνητικής υστερήσεως.



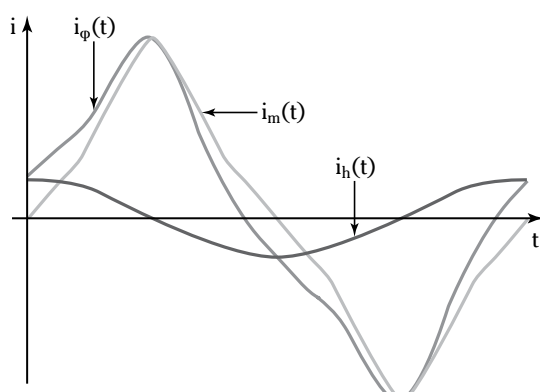
**Σχ. 2.3στ**

Ανάλυση του ρεύματος μαγνητίσεως στη θεμελιώδη,  $3^n$  και  $5^n$  αρμονική συνιστώσα.



**Σχ. 2.3ζ**

Γραφικός προσδιορισμός του ρεύματος διεγέρσεως  $i_m(t)$  όταν λαμβάνονται υπόψη οι απώλειες λόγω μαγνητικής υστερήσεως.



**Σχ. 2.3η**

Το ρεύμα μαγνητίσεως  $i_m(t)$  και το ρεύμα  $i_h(t)$ .

Το ρεύμα  $i_h(t)$  προηγείται κατά  $90^\circ$  της μαγνητικής ροής  $\Phi(t)$ , οπότε είναι σε φάση με την  $e_1(t)$ . Τελικά, η συνεισφορά του ρεύματος  $i_h(t)$  περιλαμβάνεται στο ρεύμα απωλειών πυρήνα  $i_c$ , το οποίο καλύπτει τις απώλειες μαγνητικής υστερόσεως και δινορρευμάτων.

Όταν λαμβάνονται υπόψη οι απώλειες πυρήνα, τότε το ρεύμα, το οποίο απορροφά ο  $M/S$  στη λειτουργία χωρίς φορτίο, είναι το ρεύμα διεγέρσεως  $i_\phi(t)$ .

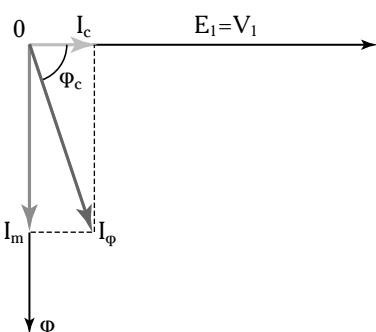
Το ρεύμα διεγέρσεως αναλύεται, διανυσματικά, σε δύο συνιστώσες, μία σε φάση με την αντί-ΗΕΔ- $E_1$  και μία άλλη, π οποία προηγείται της  $E_1$  κατά  $90^\circ$  (σχ. 2.3θ).

Η άεργος συνιστώσα  $I_m$  σε φάση με τη μαγνητική ροή  $\Phi$ , ονομάζεται ρεύμα μαγνητίσεως και είναι υπεύθυνη για την παραγωγή της μαγνητικής ροής του  $M/S$  σ' αυτήν την κατάσταση λειτουργίας. Η συνιστώσα  $I_c$  (σε φάση με την τάση  $V_1$ ) ονομάζεται **ρεύμα απωλειών πυρήνα** και είναι υπεύθυνη για την πραγματική ισχύ, την οποία απορροφά ο  $M/S$  από το δίκτυο και σε αυτήν την κατάσταση λειτουργίας του καλύπτει τις απώλειες πυρήνα.

Οι πλεκτρομαγνητικές συσκευές, οι οποίες απορροφούν το ρεύμα μαγνητίσεως μέσω των μαγνητικών τους κυκλωμάτων, από ένα σύστημα εναλλασσόμενου ρεύματος, λειτουργούν με ισχυρό επαγωγικό συντελεστή ισχύος. Αυτός είναι ο λόγος, για τον οποίο τα περισσότερα βιομηχανικά φορτία λειτουργούν επαγωγικά. Στο σχήμα 2.3θ, η γωνία  $\Phi_c$  ονομάζεται **γωνία απωλειών πυρήνα**. Οι απώλειες πυρήνα δίδονται από την ακόλουθη εξίσωση:

$$P_c = (V_1 \equiv E_1) I_\phi \sin \Phi_c. \quad (2.21)$$

Ενώ ο συντελεστής ισχύος δίδεται:



Σχ. 2.3θ

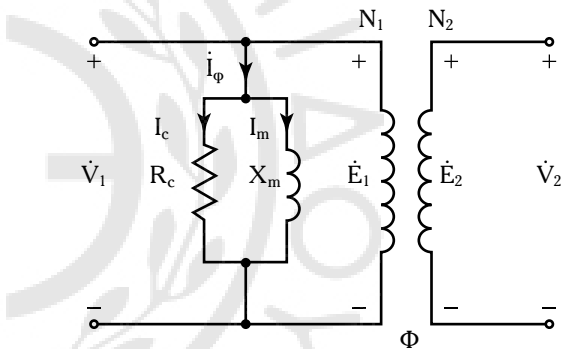
Διανυσματική ανάλυση του ρεύματος διεγέρσεως ενός πραγματικού  $M/S$  στη λειτουργία χωρίς φορτίο, όταν δεν λαμβάνονται υπόψη η  $R_1$  και η ροή σκεδάσεως του πρωτεύοντος.

$$\text{συνφ}_c = \frac{P_c}{V_1 (\equiv E_1) I_\phi}. \quad (2.22)$$

Από το διανυσματικό διάγραμμα του σχήματος 2.3θ, προκύπτει το ισοδύναμο πλεκτρικό κύκλωμα του  $M/S$  στη λειτουργία χωρίς φορτίο, όταν δεν λαμβάνεται υπόψη το φαινόμενο Joule, και το αντίστοιχο φαινόμενο ροής σκεδάσεως του πρωτεύοντος (σχ. 2.3ι). Από το διανυσματικό διάγραμμα του σχήματος 2.3θ προκύπτουν οι ακόλουθες σχέσεις μεταξύ των μεγεθών  $I_\phi$ ,  $I_c$  και  $I_m$ :

$$I_\phi = \sqrt{I_c^2 + I_m^2}, \quad I_c = I_\phi \sin \Phi_c \quad \text{και} \quad I_m = I_\phi \cos \Phi_c.$$

Το κυκλωματικό στοιχείο  $R_c [\Omega]$ , ονομάζεται **αντίσταση απωλειών πυρήνα** και αντιπροσωπεύει τις απώλειες λόγω μαγνητικής υστερόσεως και δινορρευμάτων, ενώ το κυκλωματικό στοιχείο  $X_m [\Omega]$ , ονομάζεται **αντίδραση μαγνητίσεως** και αντιπροσωπεύει την μαγνήτιση του πυρήνα του  $M/S$ .

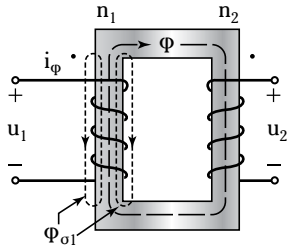


Σχ. 2.3ι

Ισοδύναμο πλεκτρικό κύκλωμα του μονοφασικού  $M/S$  στη λειτουργία χωρίς φορτίο, όταν δεν λαμβάνεται υπόψη η ωμική αντίσταση του πρωτεύοντος και το αντίστοιχο φαινόμενο ροής σκεδάσεως.

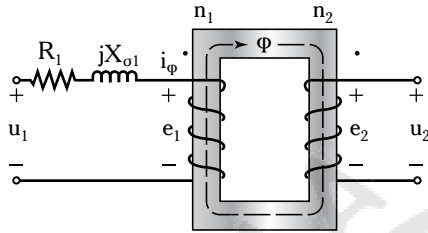
**2.3.4 Ισοδύναμο κύκλωμα του πραγματικού  $M/S$  στη λειτουργία χωρίς φορτίο, λαμβάνοντας υπόψη την ωμική αντίσταση και τη ροή σκεδάσεως, αντίστοιχα, του πρωτεύοντος.**

Όταν ο πραγματικός  $M/S$  λειτουργεί χωρίς φορτίο, εκτός της ωμικής αντίστασης στο πρωτεύοντον τύλιγμα υπάρχει και η αντίδραση σκεδάσεως ( $X_{o1}$ ), π οποία οφείλεται στη ροή σκεδάσεως  $\Phi_{o1}$  (σχ. 2.3ια). Στο σχήμα 2.3ιβ, δίδεται ο ισοδύναμος  $M/S$  όταν λειτουργεί χωρίς φορτίο. Επίσης, δίδονται τα κυκλωματικά στοιχεία: ωμική αντίσταση  $R_1$  και αντίδραση σκεδάσεως  $X_{o1}$  τοποθετημένα στο ισοδύναμο κύκλωμα σε σειρά με τον ιδανικό  $M/S$ .



Σχ. 2.3ια

Μαγνητικά πεδία του πραγματικού μονοφασικού Μ/Σ στη λειτουργία χωρίς φορτίο.



Σχ. 2.3ιβ

Ισοδύναμο κύκλωμα του πραγματικού μονοφασικού Μ/Σ στη λειτουργία χωρίς φορτίο.

$$\text{Είναι: } \Phi_1 = \Phi_{01} + \Phi. \quad (2.23)$$

Η επιβαλλόμενη τάση στο πρωτεύον  $u_1$  είναι:

$$\begin{aligned} u_1 &= R_1 i_\phi + e_1 = R_1 i_\phi + n_1 \frac{d\Phi_1}{dt} = \\ &= R_1 i_\phi + n_1 \frac{d\Phi_{01}}{dt} + n_1 \frac{d\Phi}{dt} \end{aligned} \quad (2.24)$$

Όταν η επιβαλλόμενη τάση είναι ημιτονοειδής, τότε έχουμε:

$$\dot{V}_1 = (R_1 + jX_{o1}) \dot{I}_1 + \dot{E}_1. \quad (2.25)$$

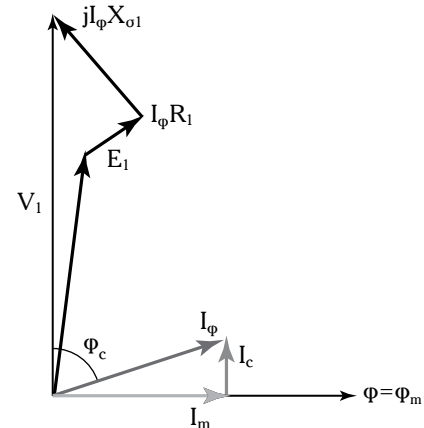
Για την αντίδραση σκεδάσεως του πρωτεύοντος  $X_{o1}$  ισχύει:

$$X_{o1} = L_{o1}\omega \quad (2.26)$$

όπου  $L_{o1}$  η αυτεπαγωγή σκεδάσεως του πρωτεύοντος.

Με βάση την εξίσωση 2.25 κατασκευάζομε το διανυσματικό διάγραμμα του σχήματος 2.3ιγ, το οποίο εκφράζει τη λειτουργία του Μ/Σ όταν στο δευτερεύοντα τύλιγμα δεν έχει συνδεθεί φορτίο.

Το ρεύμα διεγέρσεως  $I_\phi$ , θεωρείται ημιτονοειδές και προκαλεί την κύρια μαγνητική ροή  $\Phi$ . Το  $I_\phi$  αναλύεται σε δύο συνιστώσες, το ρεύμα μαγνητίσεως  $I_m$ , σε φάση με τη μαγνητική ροή και το ρεύμα απωλειών πυρήνα  $I_c$ , σε φάση με την επαγόμενη αντι-ΗΕΔ.



Σχ. 2.3ιγ

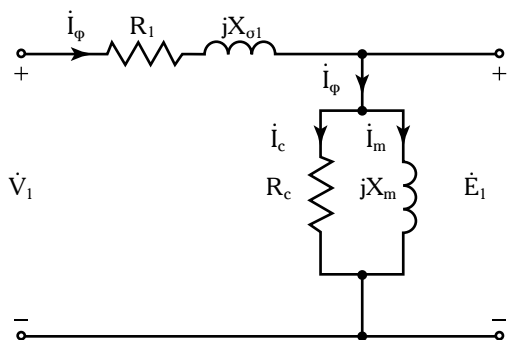
Διανυσματικό διάγραμμα λειτουργίας χωρίς φορτίο του Μ/Σ με  $R_1$  και  $X_{o1}$ .

Η επαγόμενη αντι-ΗΕΔ  $E_1$ , προηγείται της μαγνητικής ροής κατά  $90^\circ$  σύμφωνα με την υιοθετηθείσα σύμβαση φοράς περιστροφής των αντιστοίχων διανυσμάτων (θετική στη φορά των δεικτών του ρολογιού ή κανόνας του κοχλία).

Οι πτώσεις τάσεως στην ωμική αντίσταση και στην αντίδραση σκεδάσεως του Μ/Σ είναι πολύ μικρές. Η διαφορά των μέτρων των διανυσμάτων  $V_1$  και  $E_1$  είναι της τάξεως 0,5%.

Στο σχήμα 2.3ιδ δίδεται το ισοδύναμο πλεκτρικό κύκλωμα του Μ/Σ όταν λειτουργεί χωρίς φορτίο, ενώ λαμβάνομε υπόψη την ωμική αντίσταση και την αντίδραση σκεδάσεως του πρωτεύοντος.

Στο ισοδύναμο κύκλωμα του σχήματος 2.3ιδ, διακρίνεται ο κλάδος διεγέρσεως, ο οποίος αποτελείται από την παράλληλη σύνδεση του κλάδου απωλειών πυρήνα, με ισοδύναμη ωμική αντίσταση και τον κλάδο μαγνητίσεως με ισοδύναμη αντίδραση μαγνητίσεως.



Σχ. 2.3ιδ

Ισοδύναμο κύκλωμα του Μ/Σ στη λειτουργία χωρίς φορτίο.

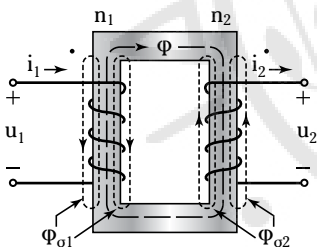
### 2.3.5 Πραγματικός Μ/Σ με φορτίο.

Ο ιδανικός Μ/Σ είναι μία θεωρητική συσκευή, η οποία χρησιμεύει για να κατανοθεί, όσο πιο απλά γίνεται, η λειτουργία των Μ/Σ.

Στο σχήμα 2.3ιε, δίδονται, σχηματικά, οι μαγνητικές ροές, οι οποίες αναπτύσσονται στον πραγματικό μονοφασικό Μ/Σ όταν λειτουργεί με φορτίο. Αυτές είναι:

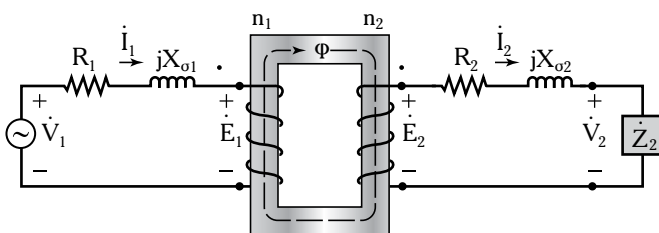
1) Η χρήσιμη μαγνητική ροή  $\Phi$ , η οποία εμπλέκει το πρωτεύοντα και το δευτερεύοντα τύλιγμα.

2) Οι ροές σκεδάσεως του πρωτεύοντος ( $\Phi_{o1}$ ) και του δευτερεύοντος ( $\Phi_{o2}$ ) αντίστοιχα (σχ. 2.3ιε), οι οποίες προκαλούνται γιατί η μαγνητική διαπερατότητα του πυρήνα είναι διαφορετική του μπδενός ( $\mu \neq 0$ ), οπότε υπάρχουν κάποιες μαγνητικές δυναμικές γραμμές, μέρος των οποίων αναπτύσσεται στα τυλίγματα και το υπόλοιπο, μεγαλύτερο μέρος τους κλείνει κύκλωμα στον αέρα. Αυτές οι μαγνητικές δυναμικές γραμμές καθορίζουν τις ροές σκεδάσεως του πρωτεύοντος και του δευτερεύοντος τυλίγματος, οι οποίες δεν δημιουργούν τάσεις αλλά, αντίθετα, προκαλούν άρρηγες επαγωγικές πτώσεις τάσεως, ενώ υπάρχει και η παρουσία μιας άεργης επαγωγικής ισχύος σε κάθε τύλιγμα. Οι ροές σκεδάσεως, εκπροσωπούνται στο ισοδύναμο κύκλωμα (σχ. 2.3ιστ),



Σχ. 2.3ιε

Μαγνητικά πεδία των μονοφασικού Μ/Σ στη λειτουργία με φορτίο.



Σχ. 2.3ιστ

Ισοδύναμος Μ/Σ, που αποτελείται από τον ιδανικό Μ/Σ και τις ουγκεντρωμένες ωμικές αντιστάσεις και αντιδράσεις σκεδάσεως του πρωτεύοντος και δευτερεύοντος αντίστοιχα.

από τις αντιδράσεις σκεδάσεως  $X_{o1}$  και  $X_{o2}$ , οι οποίες θεωρούνται σταθερές όταν η συχνότητα των τάσεων και των ρευμάτων είναι σταθερή.

Στο σχήμα 2.3ιστ δίδεται ο ισοδύναμος Μ/Σ όταν στους ακροδέκτες του δευτερεύοντος συνδέεται ένα φορτίο σύνθετης αντιδράσεως  $Z_2$ .

Για τον πραγματικό Μ/Σ, η συνολική μαγνητική ροή του πρωτεύοντος τυλίγματος είναι:

$$\Phi_1 = \Phi_{o1} + \Phi \quad (2.27)$$

ενώ η συνολική μαγνητική ροή του δευτερεύοντος τυλίγματος είναι:

$$\Phi_2 = -\Phi_{o2} + \Phi \quad (2.28)$$

όπου:  $\Phi_{o1}$ ,  $\Phi_{o2}$  και  $\Phi$  είναι οι μαγνητικές ροές σκεδάσεως πρωτεύοντος, δευτερεύοντος και η ωφέλιμη μαγνητική ροή αντίστοιχα.

Αν θεωρήσουμε τις στιγμιαίες τιμές των τάσεων και των ρευμάτων του πρωτεύοντος και του δευτερεύοντος αντίστοιχα, τότε για το πρωτεύοντον έχουμε:

$$u_1 = R_i_1 + n_1 \frac{d\Phi_{o1}}{dt} + n_1 \frac{d\Phi}{dt}. \quad (2.29)$$

Η οπιγμαία τιμή στους ακροδέκτες του δευτερεύοντος είναι:

$$u_2 = R_2 i_2 + n_2 \frac{d(-\Phi_{o2} + \Phi)}{dt}. \quad (2.30)$$

Όταν η τάση, η οποία επιβάλλεται στο πρωτεύοντον είναι ημιτονοειδής, τότε η μιγαδική διατύπωση της εξισώσεως 2.29 και της εξισώσεως 2.30 είναι αντίστοιχα:

$$\dot{V}_1 = \dot{E}_1 + \dot{I}_1 (R_1 + jX_{o1}) \quad (2.31)$$

$$\dot{V}_2 = \dot{E}_2 - \dot{I}_2 (R_2 + jX_{o2}) \quad (2.32)$$

όπου:  $X_{o1} = L_{o1}\omega$  και  $X_{o2} = L_{o2}\omega$ , οι αντιδράσεις σκεδάσεως και  $L_{o1}$ ,  $L_{o2}$  οι αυτεπαγωγές σκεδάσεως των τυλίγματων του πρωτεύοντος και δευτερεύοντος αντίστοιχα.

Με βάση την ωφέλιμη ροή καθορίζεται η απαιτούμενη ΜΕΔ  $F_\phi$ , διεγέρσεως για την μαγνήτιση του πυρήνα και το ρεύμα διεγέρσεως.

Όταν ο Μ/Σ λειτουργεί με φορτίο, η μαγνήτιση του πυρήνα προκαλείται από την ταυτόχρονη δράση των ΜΕΔ των δύο τυλίγματων του. Οι ΜΕΔ των δύο τυλίγματων μαζί προκαλούν σε κάθε στιγμή την απαιτούμενη ΜΕΔ,  $F_\phi$ .

Ισχύει για τις στιγμιαίες τιμές των ΜΕΔ ( $F_1$ ,  $F_2$ ,  $F_\phi$ ) και των ρευμάτων αντίστοιχα:  $F_1 + F_2 = F_\phi$ :

$$n_1 i_1 - n_2 i_2 = n_1 i_\phi \quad (2.33)$$

όπου  $F_1 = n_1 i_1$ ,  $F_2 = (-n_2 i_2)$  και  $F_\phi = n_1 i_\phi$ .

Η σχέση 2.33 ισχύει και για τις ενεργές τιμές των ρευμάτων.

Πλήρης εικόνα αυτών των ΜΕΔ δίδεται, αν θεωρηθεί ότι το πρωτεύον ρεύμα πρέπει να ικανοποιεί τις παρακάτω απαιτήσεις του μαγνητικού κυκλώματος:

1) Να αντισταθμίζει την απομαγνητίζουσα επίδραση του δευτερεύοντος ρεύματος.

2) Να παράγει την κατάλληλη ΜΕΔ για τη δημιουργία της συνολικής χρήσιμης ροής.

Διαιρώντας τα δύο μέλη της εξισώσεως 2.33 με τον αριθμό σπειρών του πρωτεύοντος  $n_1$  προκύπτει:

$$i_1 - \frac{n_2}{n_1} i_2 = i_\phi \quad \text{ή} \quad i_1 = \frac{n_2}{n_1} i_2 + i_\phi$$

$$\text{ή} \quad i_1 = i'_2 + i_\phi \quad (2.34)$$

$$\text{όπου} \quad i'_2 = \frac{n_2}{n_1} i_2 \quad (2.35)$$

το ρεύμα αντιδράσεως του Μ/Σ.

Το  $i'_2$ , είναι η συνιστώσα του ρεύματος του πρωτεύοντος, το οποίο αντισταθμίζει τη ΜΕΔ του δευτερεύοντος. Για εναλλασσόμενα ημιτονοειδή μεγέθη η εξίσωση 2.34 γράφεται:

$$\dot{i}_1 = \dot{i}_\phi + \dot{i}'_2 \quad (2.36)$$

$$\text{όπου:} \quad \dot{i}'_2 = \frac{n_2}{n_1} \dot{i}_2.$$

Όταν ο Μ/Σ λειτουργεί με φορτίο στον πυρήνα του επενεργεί και η ΜΕΔ του ρεύματος του δευτερεύοντος. Όμως, η ροή του πυρήνα πρέπει να παρα-

μένει πρακτικά αμετάβλητη, γιατί αυτή η ροή πρέπει να επάγει αντί-ΗΕΔ στο πρωτεύον, η οποία διαφέρει απ' την επιβαλλόμενη τάση κατά την πτώση τάσεως στην αντίσταση του πρωτεύοντος.

Όταν ρέει ρεύμα στο δευτερεύον, το πρωτεύον ρεύμα μεταβάλλεται για να αντισταθμίσει την ΜΕΔ του δευτερεύοντος ρεύματος.

### 2.3.6 Ισοδύναμα κυκλώματα του πραγματικού μονοφασικού Μ/Σ με φορτίο και διανυσματικά διαγράμματα.

Όταν ένας πραγματικός Μ/Σ τροφοδοτεί με ισχύ ένα φορτίο, τότε τα πλεκτρομαγνητικά μεγέθη, τα οποία αναπτύσσονται κατά τη λειτουργία του δίδονται στο **πλήρες** ισοδύναμο κύκλωμα του σχήματος 2.3i $\zeta$ . Η τάση  $\dot{V}_2$ , στους ακροδέκτες του δευτερεύοντος διαφέρει από την τάση  $\dot{E}_2$  κατά την πτώση τάσεως στην αντίσταση του δευτερεύοντος  $R_2$  και στην αντίδραση σκεδάσεως του δευτερεύοντος  $X_{o2}$ .

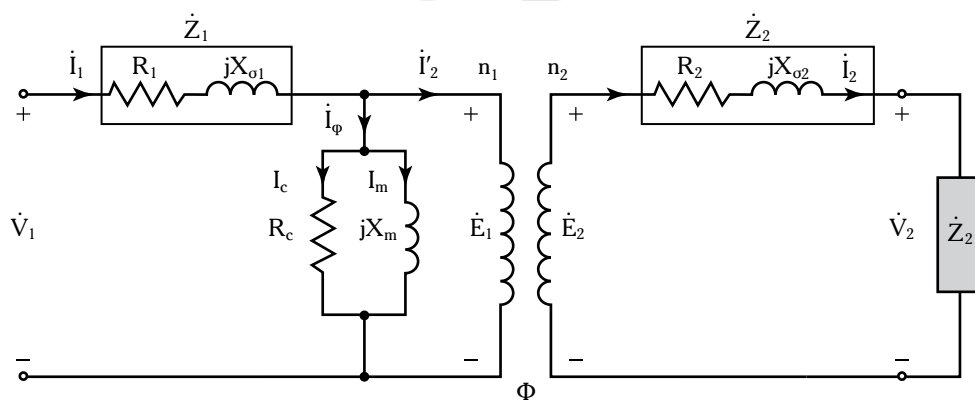
Με αναγωγή όλων των μεγεθών στο πρωτεύον ή στο δευτερεύον, προκύπτουν τα πλεκτρικά ενιαία **απλοποιημένα** ισοδύναμα κυκλώματα του Μ/Σ με τα στοιχεία του δευτερεύοντος ανηγμένα στο πρωτεύον [σχ. 2.3in(a)] και με τα στοιχεία του πρωτεύοντος ανηγμένα στο δευτερεύον [σχ. 2.3in(b)] (βλ. παράγρ. 2.3.1).

Η αναγωγή των μεγεθών του δευτερεύοντος στο πρωτεύον [σχ. 2.3in(a)] γίνεται χρησιμοποιώντας τις ακόλουθες ιδιότητες των Μ/Σ:

1) Ισοδύναμη τάση του δευτερεύοντος:

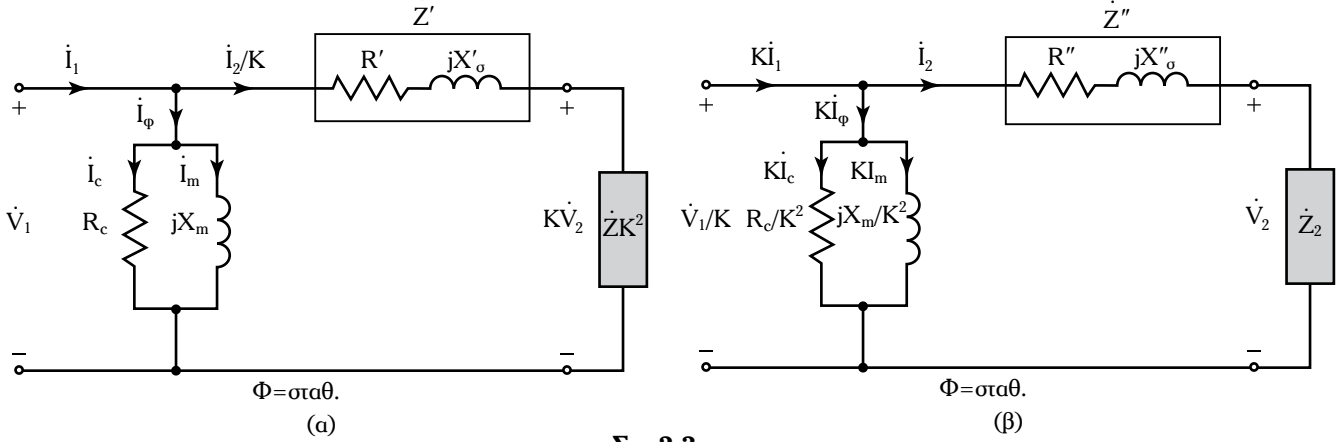
$$\text{Από τη σχέση } \frac{V_1}{V_2} = K, \text{ προκύπτει } V_1 = KV_2.$$

Είναι η τάση  $V_2$  του δευτερεύοντος ανηγμένη στο πρωτεύον.



Σχ. 2.3i $\zeta$

Ισοδύναμο κύκλωμα πραγματικού μονοφασικού Μ/Σ.



Σχ. 2.3in

Ισοδύναμα κυκλώματα μονοφασικού Μ/Σ (a) ανηγμένο στο πρωτεύον και (β) ανηγμένο στο δευτερεύον.

2) Ισοδύναμη ΗΕΔ του δευτερεύοντος:

$$\text{Από τη σχέση: } \frac{E_1}{E_2} = K \text{ έχουμε } E_1 = KE_2.$$

Είναι η ΗΕΔ του δευτερεύοντος ανηγμένη στο πρωτεύον.

3) Ισοδύναμο ρεύμα του δευτερεύοντος. Από τη σχέση:  $\frac{\dot{I}_1}{\dot{I}_2} = \frac{1}{K}$  και  $\dot{I}_1 = \frac{\dot{I}_2}{K}$ : είναι το ρεύμα του δευτερεύοντος ανηγμένο στο πρωτεύον.

4) Ισοδύναμη αντίσταση του δευτερεύοντος.

Πολλαπλασιάζοντας την ωμική αντίσταση  $R_2$  με το τετράγωνο του λόγου μετασχηματισμού ( $K$ ) παίρνουμε την αντίσταση  $K^2R_2$ . Είναι η αντίσταση του δευτερεύοντος ανηγμένη στο πρωτεύον. Η μεταφορά της  $R_2$  στο πρωτεύον πρέπει να τέτοια, ώστε στην νέα θέση στο ισοδύναμο κύκλωμα να καταναλώνει την ίδια ισχύ, την οποία καταναλώνει στη φυσική του θέση. Πράγματι η ισχύς την οποία καταναλώνει η  $R_2$  στην νέα θέση είναι:

$$\left(\frac{I_2}{K}\right)^2 \cdot K^2 R_2 = I_2^2 R_2.$$

5) Ισοδύναμη αντίδραση σκεδάσεως του δευτερεύοντος.

Πολλαπλασιάζοντας την αντίδραση σκεδάσεως με το τετράγωνο του λόγου μετασχηματισμού παίρνουμε την αντίδραση σκεδάσεως του δευτερεύοντος ανηγμένη στο πρωτεύον:  $K^2 X_{o2}$ .

6) Ισοδύναμη σύνθετη αντίσταση του δευτερεύοντος κυκλώματος.

$$\text{Είναι: } K^2 R_2 + jK^2 X_{o2} = K^2 \dot{Z}_2.$$

Χρησιμοποιώντας, με ανάλογο τρόπο τις ιδιότη-

τες των Μ/Σ παίρνουμε τα μεγέθη του πρωτεύοντος ανηγμένα στο δευτερεύον:

$$\frac{\dot{V}_1}{K}, \frac{\dot{E}_1}{K}, K\dot{I}_1, K\dot{I}_m, K\dot{I}_c, \dot{I}_\phi, \frac{R_1}{K^2}, \frac{X_{o1}}{K^2}, \frac{R_c}{K^2}, \frac{X_m}{K^2}$$

τάση του πρωτεύοντος, αντι-ΗΕΔ του πρωτεύοντος, ρεύμα του πρωτεύοντος, ρεύμα απωλειών πυρήνα, ρεύμα διεγέρσεως, ωμική αντίσταση του πρωτεύοντος, αντίδραση σκεδάσεως του πρωτεύοντος, αντίσταση απωλειών πυρήνα και αντίδραση μαγνητίσεως ανηγμένα, αντίστοιχα, στο δευτερεύον.

Αν θεωρήσουμε ότι για το πρωτεύον και το δευτερεύον τύλιγμα του Μ/Σ ισχύει  $\dot{E}_1 = K\dot{E}_2$  (ίδιες διαφορές δυναμικού), τότε υπάρχουν σημεία στο πλήρες ισοδύναμο κύκλωμα (σχ. 2.3iζ), τα οποία έχουν ίδια διαφορά δυναμικού όποτε συνδέονται μεταξύ τους χωρίς τη ροή κάποιου ρεύματος. Οπότε προκύπτει ένα ενιαίο (απλοποιημένο) πλεκτρικό κύκλωμα του Μ/Σ με στοιχεία του δευτερεύοντος ανηγμένα στο πρωτεύον [σχ. 2.3in(a)] και, κατ' ανάλογο τρόπο, το απλοποιημένο ισοδύναμο κύκλωμα του Μ/Σ με στοιχεία του πρωτεύοντος ανηγμένα στο δευτερεύον [σχ. 2.3in(β)].

Για το ισοδύναμο κύκλωμα του σχήματος 2.3in(a), ισχύει:

$$R' = R_1 + K^2 R_2 \text{ και } X'_o = X_{o1} + K^2 X_{o2}. \quad (2.37)$$

που είναι η συνολική ωμική αντίσταση και η συνολική αντίδραση σκεδάσεως από την πλευρά του δικτύου του Μ/Σ.

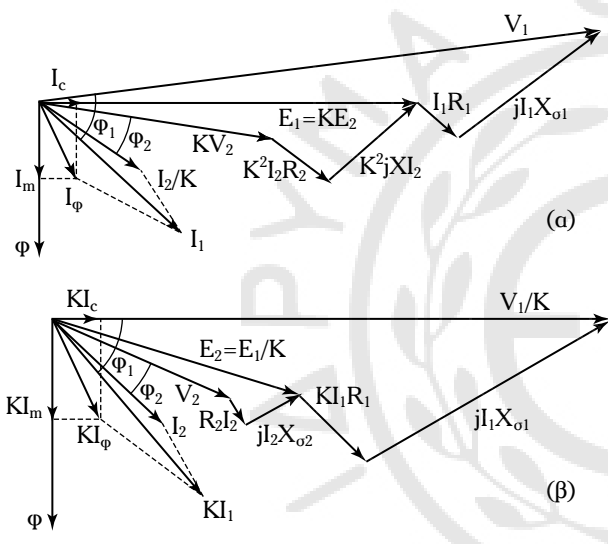
Για το ισοδύναμο κύκλωμα του σχήματος 2.3in(β), ισχύει:

$$R'' = \frac{R_1}{K^2} + R_2 \text{ και } X''_o = X_{o1}/K^2 + X_{o2} \quad (2.38)$$

που είναι η συνολική ωμική αντίσταση και η συνολική αντίδραση σκεδάσεως από την πλευρά του φορτίου.

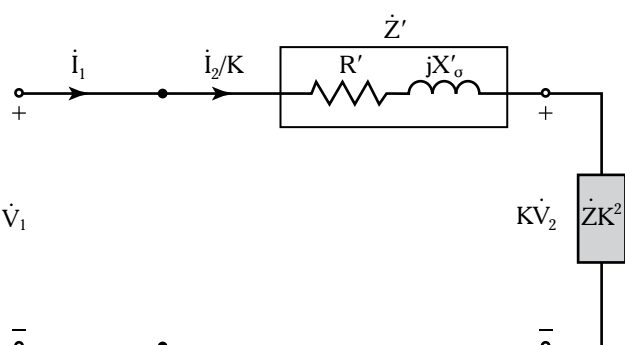
### 2.3.7 Διανυσματικά διαγράμματα του μονοφασικού $M/\Sigma$ .

Για τα ισοδύναμα κυκλώματα του πραγματικού  $M/\Sigma$  [σχ. 2.3ιη(α) και (β)], χαράσσομε τα διανυσματικά διαγράμματα των σχημάτων 2.3ιθ(α) (με στοιχεία του δευτερεύοντος ανηγμένα στο πρωτεύον) και 2.3ιθ(β) (με στοιχεία του πρωτεύοντος ανηγμένα στο δευτερεύον) αντίστοιχα. Όταν δεν λαμβάνομε υπόψη τις απώλειες πυρίνα από το απλοποιημένο ισοδύναμο κύκλωμα του σχήματος 2.3ιη(α) προκύπτει το **προσεγγιστικό απλοποιημένο ισοδύναμο κύκλωμα ανηγμένο στο πρωτεύον** (σχ. 2.3κ).



Σχ. 2.3ιθ

(α) Διανυσματικά διαγράμματα του πραγματικού μονοφασικού  $M/\Sigma$  από την πλευρά των δικτύων και (β) διανυσματικό διάγραμμα του πραγματικού  $M/\Sigma$  από την πλευρά του φορτίου.



Σχ. 2.3κ

Προσεγγιστικό απλοποιημένο ισοδύναμο κύκλωμα ανηγμένο στο πρωτεύον.

Τόσο για το απλοποιημένο ισοδύναμο κύκλωμα του σχήματος 2.3ιε(α), όσο και για το προσεγγιστικό απλοποιημένο ισοδύναμο κύκλωμα του σχήματος 2.3ιη, ισχύει η ακόλουθη εξίσωση τάσεων (Δεύτερος Kirchhoff του Kirchhoff):

$$\dot{V}_1 = KV_2 + \frac{\dot{I}_2}{K} (R' + jX'_0) = KV_2 + \frac{\dot{I}_2}{K} \dot{Z}' \quad (2.39)$$

όπου  $\dot{Z}'$  η συνολική σύνθετη αντίσταση του  $M/\Sigma$  ανηγμένη στο πρωτεύον.

Για το κύκλωμα του σχήματος 2.3ιη(β), η αντίστοιχη εξίσωση τάσεων είναι:

$$\frac{\dot{V}_1}{K} = \dot{V}_2 + \dot{I}_2 (R'' + jX''_0) = \dot{V}_2 + \dot{I}_2 \dot{Z}'' \quad (2.40)$$

όπου  $\dot{Z}''$  η συνολική σύνθετη αντίσταση του  $M/\Sigma$  ανηγμένη στο δευτερεύον.

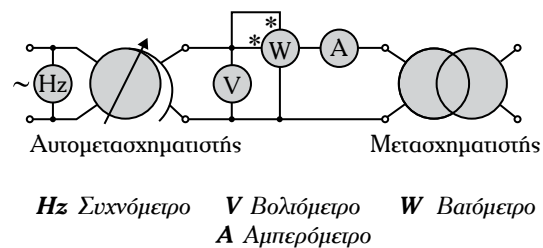
### 2.4 Πειραματικός προσδιορισμός των παραμέτρων του ισοδύναμου κυκλώματος του πραγματικού μονοφασικού $M/\Sigma$ .

Τα κυκλωματικά στοιχεία του πλήρους ισοδύναμου κυκλώματος ενός πραγματικού μονοφασικού  $M/\Sigma$  είναι:  $R_1$ ,  $X_{01}$ ,  $R_2$ ,  $X_{02}$ ,  $R_c$  και  $X_m$ . Ο προσδιορισμός αυτών των στοιχείων γίνεται εκτελώντας δύο δοκιμές (πειράματα) στον  $M/\Sigma$ .

#### 2.4.1 Δοκιμή χωρίς φορτίο.

Η δοκιμή χωρίς φορτίο χρησιμεύει, προκειμένου να προσδιοριστούν τα κυκλωματικά στοιχεία του παράλληλου κλάδου (κλάδος διεγέρσεως) του ισοδυνάμου κυκλώματος του  $M/\Sigma$  ( $R_c$ ,  $X_m$ ) και οι απώλειες πυρίνα ( $P_c$ ). Στο σχήμα 2.4α, δίδεται η πειραματική διάταξη, η οποία χρησιμοποιείται στη δοκιμή χωρίς φορτίο.

Ο  $M/\Sigma$  τροφοδοτείται με την ονομαστική τάση και συχνότητα. Οι απώλειες πυρίνα εξαρτώνται



Σχ. 2.4α

Πειραματική διάταξη για τη δοκιμή χωρίς φορτίο ενός πραγματικού μονοφασικού  $M/\Sigma$ .

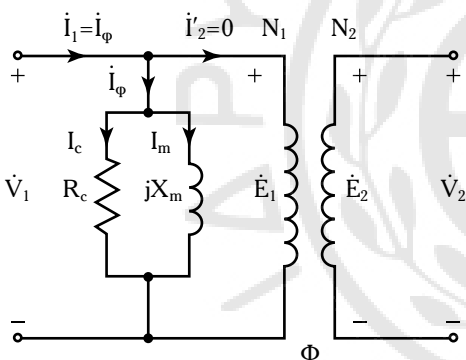
τόσο απ' την τάση τροφοδοσίας, όσο και από τη συχνότητα.

Η τάση τροφοδοσίας του Μ/Σ, στη δοκιμή χωρίς φορτίο, πρέπει να είναι εναλλασσόμενη ημιτονοειδής και ίση με την ονομαστική του τάση.

Η ρύθμιση της τάσεως πρέπει να γίνεται με τέτοιον τρόπο, ώστε να μην παραμορφώνεται η ημιτονοειδής κύμασσα της. Γ' αυτό χρησιμοποιείται ένας αυτομετασχηματιστής (AM/Σ) (σχ. 2.4a), με μεταβλητό λόγο μετασχηματισμού. Δεν χρησιμοποιούνται ροοστάτες γιατί πιθανές παραμορφώσεις του ρεύματος μαγνητίσεως θα προκαλέσουν παραμορφώσεις στις πτώσεις τάσεως των ροοστατών, οπότε και στην τάση τροφοδοσίας του Μ/Σ.

Στη δοκιμή χωρίς φορτίο το αμπερόμετρο (σχ. 2.4a), δίδει τη ρεύμα διεγέρσεως ( $I_\phi$ ), ενώ το βατόμετρο (W) τις απώλειες πυράντα του Μ/Σ.

Όταν δεν λαμβάνεται υπόψη η ωμική αντίσταση του τυλίγματος του πρωτεύοντος, το ισοδύναμο κύκλωμα του Μ/Σ στη λειτουργία χωρίς φορτίο δίδεται στο σχήμα 2.4β.



Σχ. 2.4β

Ισοδύναμο κύκλωμα του πραγματικού Μ/Σ στη δοκιμή χωρίς φορτίο, όταν δεν λαμβάνεται υπόψη η ωμική αντίσταση του πρωτεύοντος.

Ο προσδιορισμός των  $R_c$  και  $X_m$  γίνεται ως εξής:

Από το ισοδύναμο κύκλωμα του σχήματος 2.4β, ισχύει:

$$R_c = \frac{V_1}{I_c} \quad (2.41)$$

και  $X_m = \frac{V_1}{I_m}$ . (2.42)

Από το διανυσματικό διάγραμμα του σχήματος 2.3n, έχουμε:

$$I_c = I_\phi \sin \varphi_c \quad (2.43)$$

$$I_m = I_\phi \eta \mu \Phi_c. \quad (2.44)$$

Ο συντελεστής ισχύος του Μ/Σ στη λειτουργία χωρίς φορτίο (συνφ<sub>c</sub>) υπολογίζεται από την εξίσωση 2.22, οπότε και η γωνία απωλειών πυράντα είναι:

$$\varphi_c = \cos^{-1} \frac{P_c}{V_1 I_\phi}. \quad (2.45)$$

Ο συνδυασμός των εξισώσεων 2.45, 2.44, 2.43 και 2.42, 2.41 δίδει τις τιμές των  $R_c$  και  $X_m$ .

Η πραγματική ισχύς (ένδειξη του βατομέτρου), την οποία απορροφά ο Μ/Σ στη λειτουργία χωρίς φορτίο καλύπτει τις απώλειες πυράντα  $P_c$ .

#### 2.4.2 Δοκιμή βραχυκύκλωσεως.

Η δοκιμή βραχυκύκλωσεως χρησιμεύει για τον προσδιορισμό:

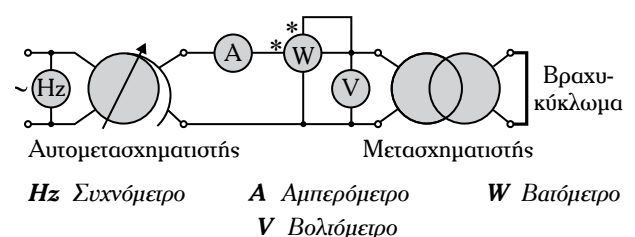
- 1) Των απωλειών χαλκού ( $P_{cu}$ ) των τυλιγμάτων.
- 2) Της τάσεως βραχυκύκλωσεως (και του σχετικού συντελεστή ισχύος), και

3) των κυκλωματικών στοιχείων  $R' = R_1 + K^2 R_2$  και  $X'_o = X_{o1} + K^2 X_{o2}$  του ισοδύναμου κυκλώματος του Μ/Σ, ανηγένενα στο πρωτεύον. Αυτά είναι τα κυκλωματικά στοιχεία του οριζόντιου κλάδου του ισοδύναμου κυκλώματος ενός πραγματικού μονοφασικού Μ/Σ.

Στο σχήμα 2.4γ, δίδεται η πειραματική διάταξη της λειτουργίας του Μ/Σ σε δοκιμαστικό βραχυκύκλωμα.

Στη διάρκεια του πειράματος βραχυκύκλωσεως το δευτερεύον τύλιγμα βραχυκύκλωνται, ενώ στο πρωτεύον εφαρμόζεται τάση μικρής τιμής (τάση βραχυκύκλωσεως  $V_{SC}$ ). Η τάση αυτή ρυθμίζεται, ώστε τα ρεύματα στα τυλίγματα του Μ/Σ να πάρνουν τις ονομαστικές του τιμές.

Διαιρώντας την ένδειξη του βολτομέτρου με την ένδειξη του αμπερομέτρου (σχ. 2.4γ), παίρνουμε τη σύνθετη αντίσταση του Μ/Σ ανηγένεν στο πρωτεύον:



Σχ. 2.4γ

Πειραματική διάταξη του Μ/Σ στη δοκιμή σε βραχυκύκλωμα.

$$\frac{V_{sc}}{I_{sc}} = Z'. \quad (2.46)$$

Διαιρώντας την ένδειξη του βατομέτρου με το τετράγωνο της ενδείξεως του αμπερομέτρου παίρνομε την τιμή της συνολικής αντιστάσεως του μετασχηματιστή ανηγμένη στο πρωτεύον:

$$R' = \frac{P_{sc}(P_{cu})}{I_{sc}^2}. \quad (2.47)$$

Η συνολική αντίδραση σκεδάσεως  $X'_o$  υπολογίζεται από το τρίγωνο των αντιστάσεων (σχ. 2.48).

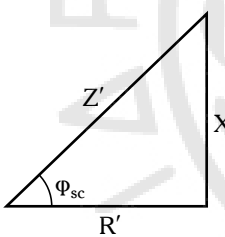
Από το τρίγωνο του σχήματος 2.4δ, προκύπτει:

$$X'_o = \sqrt{(Z')^2 - (R')^2}. \quad (2.48)$$

Η τάση βραχυκυκλώσεως και η ισχύς που οποία απορροφάται απ' τον M/S στην κατάσταση βραχυκυκλώσεως, συνήθως, εκφράζονται επί τοις εκατό (%):

$$V_{sc}\% = \frac{V_{sc}}{V_{lov}} \cdot 100 \quad \text{και} \quad P_{sc}\% = \frac{P_{sc}}{S_{lov}} \cdot 100$$

όπου:  $V_{lov}$  και  $S_{lov}$  π ονομαστική τάση του πρωτεύοντος και π ονομαστική ικανότητα, αντίστοιχα, του M/S.



**Σχ. 2.48**

Τρίγωνο των αντιστάσεων.

## 2.5 Διακύμανση τάσεως ή εκατοσταία πτώση τάσεως.

Η διακύμανση τάσεως (Voltage Regulation – VR) βρίσκεται σαν αριθμητική διαφορά μεταξύ της τάσεως εξόδου  $V_{2x.\phi.}$ , στη λειτουργία χωρίς φορτίο, και της τάσεως εξόδου του M/S στο πλήρες φορτίο  $V_{2n.\phi.}$ .

Η μεταβολή της τάσεως του δευτερεύοντος  $\Delta V_2$  όταν ο M/S «περνάει» από τη λειτουργία χωρίς φορτίο ( $V_{2x.\phi.}$ ) στη λειτουργία με πλήρες φορτίο ( $V_{2n.\phi.}$ ) δίδεται ως εξής:

$$\Delta V_2 = V_{2x.\phi.} - V_{2n.\phi.}. \quad (2.49)$$

Η τάση εισόδου στον M/S και η συχνότητα της πηγής τροφοδοσίας του M/S διατηρούνται σταθερές.

Η  $\Delta V_2$  υπολογίζεται από το διάγραμμα του σχήματος 2.5, το οποίο προκύπτει από το προσεγγιστικό απλοποιημένο ισοδύναμο κύκλωμα του M/S, με κυκλωματικά στοιχεία του πρωτεύοντος ανηγμένα στο δευτερεύοντο.

Από το σχήμα 2.5, έχουμε:

$$\Delta V_2 = V_{2x.\phi.} - V_{2n.\phi.} = \overline{OD} - \overline{OA} = \overline{AD}. \quad (2.50)$$

Όταν η γωνία  $\delta$  είναι πολύ μικρή, τότε το τόξο ΓΔ συμπίπτει με την ημιχορδή ΓΕ, οπότε το τημά ΕΔ αμελείται.

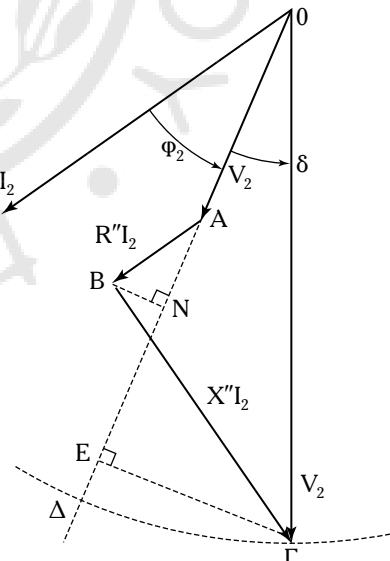
Έχουμε:

$$\begin{aligned} \Delta V_2 &\approx \overline{AE} = \overline{AN} + \overline{NE} \approx \\ &\approx I_2 (R'' \text{συνφ}_2 + X''_o \text{ημφ}_2) [V]. \end{aligned} \quad (2.51)$$

Συνήθως, η σύγκριση μεταξύ των διαφόρων M/S πραγματοποιείται υπολογίζοντας τη διακύμανση τάσεως επί τοις εκατό<sup>2</sup> ως εξής:

$$VR\% = \frac{V_{2x.\phi.} - V_{2n.\phi.}}{V_{2n.\phi.}} \cdot 100. \quad (2.52)$$

Για τους M/S, οι οποίοι είναι σωστά κατασκευασμένοι, η διακύμανση τάσεως πρέπει να είναι μικρότερη του 4%.



**Σχ. 2.5**

Υπολογισμός της  $\Delta V_2$  για ωμικο-επαγωγική φόρτωση του M/S.

<sup>2</sup> Ο τεχνικός όρος διακύμανση τάσεως επί τοις εκατό συναντάται και με τον όρο εκατοσταία πτώση τάσεως επί τοις εκατό.

## 2.6 Απώλειες και απόδοση των πραγματικών Μ/Σ – Γενικά.

Οι απώλειες στους πραγματικούς Μ/Σ είναι οι ακόλουθες:

1) Οι απώλειες πυρήνα  $P_c$ , οι οποίες περιλαμβάνουν τις απώλειες από μαγνητική υστέρηση ( $P_h$ ) και τις απώλειες από δινορρεύματα ( $P_e$ ) και

2) οι απώλειες χαλκού ( $P_{cu}$ ).

Οι απώλειες πυρήνα  $P_c$  δεν εξαρτώνται από το φορτίο αλλά, κυρίως, από την τάση τροφοδοσίας του μετασχηματιστή και γι' αυτό προσδιορίζονται από τη δοκιμή χωρίς φορτίο. Οι συνολικές απώλειες χαλκού, σε έναν πραγματικό μονοφασικό Μ/Σ στη λειτουργία με φορτίο είναι:

$$P_{cu} = R_1 I_1^2 + R_2 I_2^2. \quad (2.53)$$

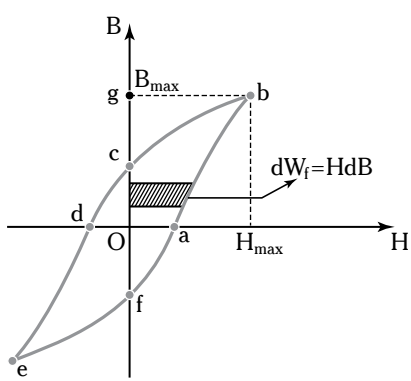
Οι απώλειες χαλκού εξαρτώνται απ' το φορτίο και προσδιορίζονται, πειραματικά, με τη δοκιμή βραχυκυκλώσεως.

### 2.6.1 Απώλειες από μαγνητική υστέρηση.

Έστω ένα **σιδηρομαγνητικό υλικό**, το οποίο τοποθετείται στο εσωτερικό ενός πινίου με η αριθμό σπειρών, στο οποίο κυκλοφορεί εναλλασσόμενο πημιτονοειδές ρεύμα. Όταν μεταβάλλεται η μαγνητική διέγερση  $H$  (ανάλογη του ρεύματος), τότε στο σιδηρομαγνητικό υλικό αναπτύσσεται μαγνητική επαγωγή  $B$ . Η σχέση μεταξύ μαγνητικής διεγέρσεως και μαγνητικής επαγωγής δίδεται, γραφικά, από τον βρόχο υστερήσεως του σχήματος 2.6α.

Όταν μεταβάλλεται η μαγνητική επαγωγή στο σιδηρομαγνητικό υλικό προκαλείται μεταβολή της μαγνητικής ενέργειας.

Όταν η μαγνητική διέγερση  $H$  αυξάνεται από 0 μέχρι μία μέγιστη τιμή, η μαγνητική ενέργεια προ-



Σχ. 2.6α

Απώλειες μαγνητικής υστερήσεως.

σφέρεται από την  $H$ , και αποθηκεύεται στο υλικό.

Η μαγνητική ενέργεια ανά μονάδα όγκου του υλικού είναι:

$$\int_{B_b=B_{\max}}^{B_e} H dB = \text{εμβαδόν επιφάνειας } OfabgO. \quad (2.54)$$

Όταν η μαγνητική διέγερση μειώνεται μέχρι την τιμή 0, το  $dB$  είναι αρνητικό, οπότε η μαγνητική ενέργεια αποδίδεται από το σιδηρομαγνητικό υλικό στο πινίο και παίρνει την τιμή:

$$\int_{B_b=B_{\max}}^{B_e} H dB = \text{εμβαδόν επιφάνειας } cbg. \quad (2.55)$$

Το εμβαδόν του βρόχου υστερήσεως  $abcdfa$ , (αποτέλεσμα των μεταβολών του ζεύγους τιμών  $B-H$ ), ισούται με την ενέργεια, ανά μονάδα όγκου του σιδηρομαγνητικού υλικού, η οποία καταναλώνεται (μετατρέπεται σε θερμότητα) κατά τη διάρκεια μίας κυκλικής μεταβολής του πεδίου. Αυτή η ενέργεια αντιπροσωπεύει τις απώλειες από μαγνητική υστέρηση ( $P_h$ ).

Οι απώλειες από μαγνητική υστέρηση, ανά μονάδα όγκου ( $U$ ) του υλικού στη συνόπτη  $f$  Hz είναι:

$$P_h = w_h U f W \quad (2.56)$$

όπου  $w_h$  το εμβαδόν του βρόχου υστέρησεως.

Οι απώλειες από μαγνητική υστέρηση δίδονται και από τον ακόλουθο εμπειρικό τύπο Steinmetz:

$$P_h = K_h f B_{\max}^{n^*} \frac{W}{m^3} \quad (2.57)$$

όπου:  $K_h$  μια χαρακτηριστική σταθερή του υλικού,  $B_{\max}$  η μέγιστη τιμή της μαγνητικής επαγωγής,  $n^*$  ο εκθέτης του Steinmetz (παίρνει τιμές μεταξύ 1,5 και 2,5) και  $f$  σε Hz.

Χρησιμοποιώντας εμπλουτισμένα με πυρίτιο σιδηρομαγνητικά υλικά μειώνομε το εμβαδόν βρόχου υστερήσεως, οπότε και τις απώλειες από μαγνητική υστέρηση.

### 2.6.2 Απώλειες από δινορρεύματα.

Τα δινορρεύματα οφείλονται στην κυκλοφορία των επαγωγικών ρευμάτων, σε ένα σιδηρομαγνητικό υλικό, και προκαλούνται από τη μεταβαλλόμενη μαγνητική ροή. Στο σχήμα 2.6β, δίδεται ένας σιδηροπυρήνας, στον οποίο η μαγνητική ροή  $\Phi$  μεταβάλλεται στο χρόνο.

Σύμφωνα με τον Νόμο των Faraday-Neuman-Lenz μια μεταβαλλόμενη στο χρόνο μαγνητική ροή δημιουργεί ΗΕΔ, οπότε και ρεύμα το οποίο κυκλοφορεί

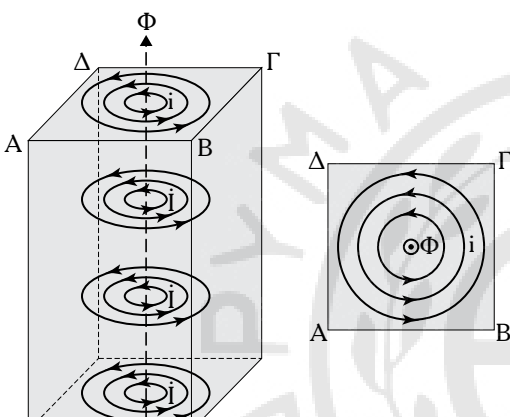
σε επίπεδο κάθετο στην αύξηση της μαγνητικής ροής  $\Phi$  (σχ. 2.6β). Αυτά είναι τα δινορρεύματα ή ρεύματα Foucault, τα οποία προκαλούν θερμικές απώλειες:

$$P_e = K_e f^2 B_{\max}^2 \quad (2.58)$$

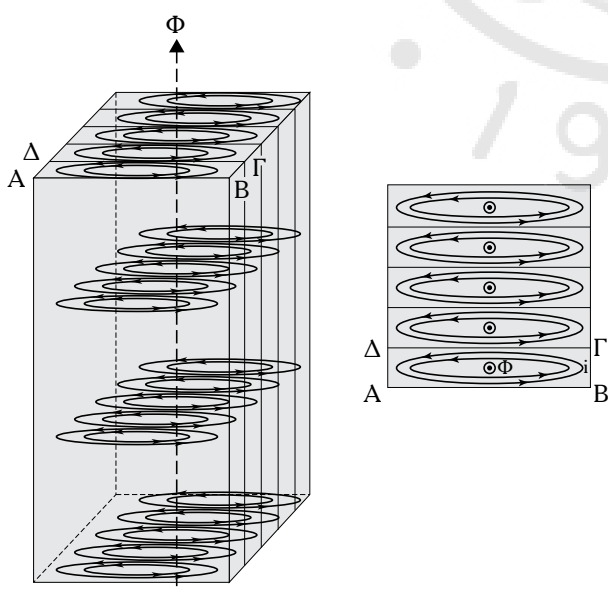
όπου:  $f$  η συχνότητα του διανύσματος  $B$ ,  $K_e$  η σταθερή χαρακτηριστική του υλικού και  $B_{\max}$  η μέγιστη τιμή της μαγνητικής επαγωγής  $B$ .

Οι απώλειες από δινορρεύματα ελαχιστοποιούνται ελασματοποιώντας το σιδηρομαγνητικό υλικό.

Η ελασματοποίηση συνίσταται στη δημιουργία, στο μαγνητικό κύκλωμα του σιδηροπυρήνα, τημάτων (ελάσματα), τα οποία τοποθετούνται παράλληλα στην κατεύθυνση της μαγνητικής ροής (σχ. 2.6γ).



Σχ. 2.6β  
Σιδηροπυρήνας με δινορρεύματα.



Σχ. 2.6γ  
Ελασματοποίηση του σιδηροπυρήνα.

Κάθε έλασμα είναι μονωμένο με κατάλληλο μωνωτικό υλικό. Με αυτόν τον τρόπο η μαγνητική ροή κατανέμεται στα διάφορα ελάσματα, οπότε μειώνεται η επαγόμενη ΗΕΔ σε κάθε έλασμα και αντίστοιχα μειώνονται τα δινορρεύματα, τα οποία υποχρεούνται να κυκλοφορούν σε κυκλώματα μικρής διατομής και μεγάλης αντιστάσεως. Τότε έχουμε συνολική μείωση των απωλειών από δινορρεύματα.

Η σταθερή  $K_e$ , στην εξίσωση 2.58, εξαρτάται από την ειδική αντίσταση  $\rho$  του υλικού και του πάχους  $S$  των ελασμάτων του.

### 2.6.3 Απόδοση του $M/\Sigma$ .

Η απόδοση του  $M/\Sigma$ , σε ποσοτό επί τοις εκατό (%), είναι ο λόγος της ισχύος εξόδου  $P_{out}$  (ισχύος στο φορτίο) προς την ισχύ εισόδου  $P_{in}$  (την ισχύ που παρέχει η πηγή στον  $M/\Sigma$ ):

$$\eta \% = \frac{P_{out}}{P_{in}} \cdot 100 \quad (2.59)$$

$$\text{ή } \eta = \frac{P_{out}}{P_{in}} = \frac{P_{out}}{P_{out} + \sum P_a} = \frac{P_{out}}{P_{out} + P_c + P_{cu}} \quad (2.60)$$

όπου  $\sum P_a$ , είναι οι συνολικές απώλειες ισχύος του  $M/\Sigma$  ( $P_c$  οι απώλειες πυρήνα και  $P_{cu}$ , οι απώλειες χαλκού του  $M/\Sigma$ ).

Οι απώλειες χαλκού στα δύο τυλίγματα είναι:

$$P_{cu} = I_1^2 R_1 + I_2^2 R_2 = R'' I_2^2 \quad (2.61)$$

όπου  $R''$  η συνολική ωμική αντίσταση του  $M/\Sigma$  ανηγμένη στο δευτερεύον και η ισχύς εξόδου είναι:

$$P_{out} = V_2 I_2 \sin \varphi_2 \quad (2.62)$$

όπου  $\sin \varphi_2$  είναι ο συντελεστής ισχύος του φορτίου, οπότε η εξίσωση 2.60 γράφεται:

$$\eta = \frac{V_2 I_2 \sin \varphi_2}{V_2 I_2 \sin \varphi_2 + P_c + I_2^2 R''}. \quad (2.63)$$

Όταν η τάση  $V_2$  και ο συντελεστής ισχύος του φορτίου είναι σταθερά, τότε έχουμε τη μέγιστη απόδοση για:

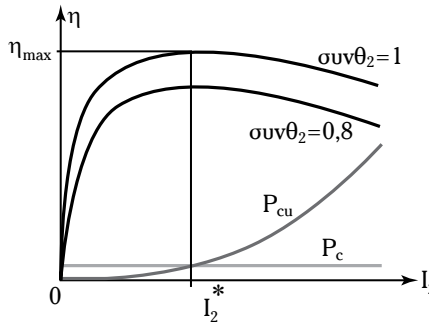
$$\frac{d\eta}{dI_2} = 0. \quad (2.64)$$

Στο σχήμα 2.6δ, δίδεται η μεταβολή της απόδοσης του  $M/\Sigma$  σε συνάρτηση με το ρεύμα φορτίου και τον συντελεστή ισχύος του φορτίου.

Η συνθήκη της μέγιστης απόδοσης είναι:

$$P_c = I_2^2 R'' \quad (2.65)$$

Η απόδοση του Μ/Σ είναι μέγιστη, όταν οι απώλειες του χαλκού είναι ίσες με τις απώλειες πυρήνα.



**Σχ. 2.66**

Καμπύλες της αποδόσεως και των απώλειών ενός Μ/Σ.

### -Λυμένες ασκήσεις.

#### Άσκηση 1.

Μονοφασικός Μ/Σ απορροφά από το δίκτυο ρεύμα 0,75 Α όταν τροφοδοτείται με τάση 200 V, 50 Hz, ενώ το δευτερεύον είναι ανοικτό. Ο Μ/Σ απορροφά ισχύ 64 W. Να υπολογίσετε το ρεύμα απώλειών πυρήνα και το ρεύμα μαγνητίσεως.

#### Λύση.

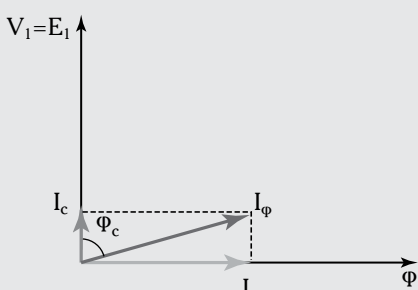
Το διανυσματικό διάγραμμα τάσεων-ρευμάτων του Μ/Σ στη λειτουργία χωρίς φορτίο είναι αυτό του σχήματος 2.6.

Από το διανυσματικό διάγραμμα προκύπτει:

$$I_\phi = \sqrt{I_c^2 + I_m^2}, \quad I_m = I_\phi n \mu \Phi_c, \quad I_c = I_\phi \sigma u v \Phi_c.$$

Η ισχύς, την οποία απορροφά ο Μ/Σ στη λειτουργία χωρίς φορτίο είναι:

$$P_c = E_1 (=V_1) I_\phi \sigma u v \Phi_c \text{ και } 64 = 200 \cdot 0,75 \cdot \sigma u v \Phi_c$$



**Σχ. 2.6ε**

$$\sigma u v \Phi_c = \frac{64}{200 \cdot 0,75} = 0,426.$$

$$\text{Είναι: } \sigma u v^{-1} 0,426 = 64,78^\circ = \Phi_c.$$

Η τιμή του ρεύματος απώλειών πυρήνα είναι:

$$I_c = I_\phi \sigma u v \Phi_c = 0,75 \cdot 0,426 = 0,319 \text{ A.}$$

Η τιμή του ρεύματος μαγνητίσεως είναι:

$$I_m = I_\phi n \mu \Phi_c = 0,75 \cdot 0,904 = 0,678 \text{ A.}$$

#### Άσκηση 2.

Το ρεύμα χωρίς φορτίο ενός Μ/Σ είναι 5 Α με συντελεστή ισχύ 0,27 επαγ., ενώ τροφοδοτείται με 235 V, 50 Hz. Ο αριθμός των σπειρών του πρωτεύοντος είναι 200.

Να υπολογίσετε:

- 1) Την μέγιστη τιμή της μαγνητικής ροής.
- 2) Τις απώλειες πυρήνα.
- 3) Το ρεύμα μαγνητίσεως.

#### Λύση.

Στη λειτουργία χωρίς φορτίο ενός μονοφασικού Μ/Σ ισχύει το διανυσματικό διάγραμμα της ασκήσεως 1, απ' το οποίο προκύπτουν οι σχέσεις μεταξύ του ρεύματος διεγέρσεως, του ρεύματος μαγνητίσεως και του ρεύματος απώλειών πυρήνα. Οπότε ισχύει:

$$I_\phi = \sqrt{I_c^2 + I_m^2}, \quad I_m = I_\phi n \mu \Phi_c, \quad I_c = I_\phi \sigma u v \Phi_c.$$

Ο Μ/Σ στη λειτουργία χωρίς φορτίο απορροφά ισχύ:

$$P_c = V_1 I_\phi \sigma u v \Phi_c.$$

Το ρεύμα διεγέρσεως είναι:  $I_\phi = 5 \text{ A.}$

Ο συντελεστής ισχύς είναι ( $\Sigma I$ ) 0,27 επαγ..

Η τάση πρωτεύοντος είναι  $V_1 = 235 \text{ V.}$

Η συχνότητα είναι  $f = 50 \text{ Hz.}$

Ο αριθμός των σπειρών του πρωτεύοντος είναι  $n_1 = 200.$

1) Μέγιστη ροή:

$$V_1 = E_1 = 4,44 \Phi_m f n_1$$

$$\text{είναι: } \Phi_m = \frac{235}{4,44 \cdot 200 \cdot 50} = 5,29 \text{ mW.}$$

2) Οι απώλειες πυρήνα είναι:

$$P_c = V_1 I_\phi \sin \varphi_c = 235 \cdot 5 \cdot 0,27 = 317,25 \text{ W.}$$

3) Ρεύμα μαγνητίσεως. Για τον υπολογισμό του ρεύματος μαγνητίσεως ( $I_m$ ) πρέπει να γνωρίζομε την τιμή της γωνίας απωλειών πυρήνα ( $\varphi_c$ ). Ο συντελεστής ισχύος ( $\Sigma I$ ) είναι 0,27 επαγ..

Είναι:  $\sin^{-1} 0,27 = 74,33^\circ$ .

Οπότε έχομε:

$$I_m = I_\phi n \mu \varphi_c = 5 \cdot n \mu (74,33^\circ) = 4,81 \text{ A.}$$

### Άσκηση 3.

Το πρωτεύον τύλιγμα ενός πραγματικού μονοφασικού M/S 50 kVA, 2.200/230V, 50 Hz, τροφοδοτείται με τάση 230 V, ενώ στο δευτερεύον δεν συνδέεται φορτίο. Για τον έλεγχο της τάσεως, του ρεύματος και της ισχύος χρησιμοποιήθηκαν ένα βολτόμετρο, ένα αμπερόμετρο και ένα βατόμετρο αντίστοιχα, με τις εξής ενδείξεις:  $V_1 = 230 \text{ V}$ ,  $I_\phi = 6,5 \text{ A}$  και  $P_{\text{oal}} = 187 \text{ W}$ .

Η ωμική αντίσταση του τυλίγματος των 230V είναι  $0,06 \Omega$ .

Να υπολογίσετε:

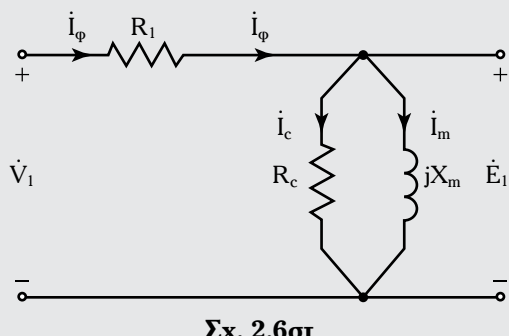
- 1) Τις απώλειες πυρήνα.
- 2) Το ρεύμα μαγνητίσεως.
- 3) Το ρεύμα απωλειών πυρήνα.
- 4) Το ρεύμα διεγέρσεως επί τοις εκατό του ονομαστικού ρεύματος.

### Λύση.

Είναι γνωστό (παράγρ. 2.3.3) ότι τα μεγέθη  $I_\phi$ ,  $I_c$  και  $I_m$  συνδέονται με τις ακόλουθες σχέσεις:

$$I_\phi = \sqrt{I_c^2 + I_m^2}, \quad I_m = I_\phi n \mu \varphi_c, \quad I_c = I_\phi \sin \varphi_c.$$

Από τα δεδομένα προκύπτει το ακόλουθο ισοδύναμο πλεκτρικό κύκλωμα του M/S (σχ. 2.6στ):



Από το κύκλωμα, εφαρμόζοντας τον Δεύτερο

Κανόνα του Kirchhoff, προκύπτει η εξίσωση των τάσεων:

$$\dot{V}_1 = \dot{E}_1 + \dot{I}_\phi R_1.$$

Το μέτρο του ρεύματος διεγέρσεως είναι:

$$|I_\phi| = 6,5 \text{ A.}$$

Η ωμική αντίσταση του πρωτεύοντος είναι:

$$R_1 = 0,06 \Omega.$$

1) Οι απώλειες χαλκού οι οποίες οφείλονται στο ρεύμα διεγέρσεως είναι:  $P_{cu} = 6,5^2 \cdot 0,06 = 2,5 \text{ W}$ . Οι ολικές απώλειες  $P_{\text{oal}} = P_c + P_{cu}$ , οπότε οι απώλειες πυρήνα ( $P_c$ ) = συνολικές απώλειες ( $P_{\text{oal}}$ ) – απώλειες χαλκού ( $P_{cu}$ ) =  $187 - 2,5 = 184,5 \text{ W}$ .

2) Αν  $P_{\text{oal}}$  η ισχύς την οποία απορροφά ο M/S, τότε είναι:

$$P_{\text{oal}} = V_1 I_\phi \sin \varphi_c$$

$$\sin \varphi_c = \frac{P_{\text{oal}}}{V_1 I_\phi} = \frac{187}{230 \cdot 6,5} = 0,125.$$

Η γωνία απωλειών πυρήνα  $\varphi_c$  είναι:

$$\sin^{-1} 0,125 = 7,125^\circ.$$

Είναι:  $n \mu \varphi_c = n \mu (7,125^\circ) = 0,992$ .

Η τιμή του ρεύματος διεγέρσεως είναι:

$$I_m = I_\phi n \mu \varphi_c = 6,5 \cdot 0,992 = 6,4 \text{ A.}$$

3) Η τιμή του ρεύματος απωλειών πυρήνα είναι:

$$I_c = I_\phi \sin \varphi_c = 6,5 \cdot 0,125 = 0,8 \text{ A.}$$

4) Το ρεύμα πλήρους φορτίου ( $I_{n,\phi}$ ) του M/S είναι:  $I_{n,\phi} = \frac{VA}{V} = \frac{50.000}{230} \frac{VA}{V} = 217,4 \text{ A.}$

Το ρεύμα διεγέρσεως επί τοις εκατό του ονομαστικού ρεύματος:  $I_{\phi\%} = \frac{100 \cdot 6,5}{217,4} \cong 3\%$ .

### Άσκηση 4.

Πραγματικός μονοφασικός M/S 50 kVA, 2.300/230V, 60 Hz έχει:

$$R_1 = 4,2 \Omega, X_{o1} = 5,50 \Omega, \\ R_2 = 0,042 \Omega, X_{o2} = 0,55 \Omega.$$

Οι δείκτες 1 και 2 αναφέρονται στο πρωτεύον

και το δευτερεύον κύκλωμα αντίστοιχα.

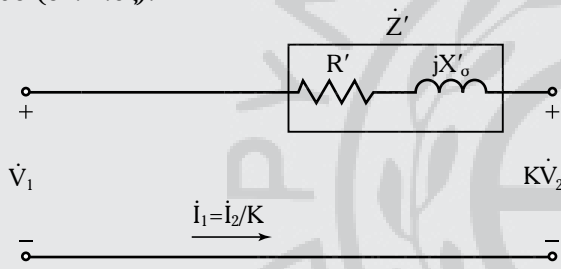
1) Να υπολογίσετε τη συνολική αντίσταση, ανηγμένη στην πλευρά υψηλής τάσεως (YT) και στην πλευρά χαμηλής τάσεως (XT).

2) Θεωρήστε ότι ο Μ/Σ αποδίδει την κανονική του ισχύ σε kVA υπό συντελεστή ισχύος 0,8 επαγ., σε φορτίο συνδεμένο στην πλευρά XT, με τάση 230 V. Να υπολογίσετε την τάση στην πλευρά της YT.

3) Θεωρήστε ότι οι απώλειες πυρήνα είναι 70 W. Να υπολογίσετε την απόδοση του Μ/Σ στην περίπτωση (2).

### Λύση.

Από τα δεδομένα προκύπτει ότι δεν δίδονται κυκλωματικά στοιχεία του παράλληλου κλάδου. Το ισοδύναμο κύκλωμα του Μ/Σ ανηγμένο στην πλευρά της υψηλής τάσεως (YT) είναι το ακόλουθο (σχ. 2.6ζ):

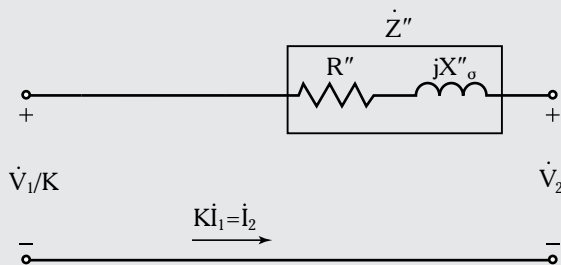


Σχ. 2.6ζ

Εφαρμόζοντας τον Δεύτερο Κανόνα του Kirchhoff, προκύπτει η ακόλουθη εξίσωση των τάσεων:

$$\dot{V}_1 = K\dot{V}_2 + \frac{\dot{I}_2}{K} (R' + jX'_o).$$

Το ισοδύναμο κύκλωμα του Μ/Σ ανηγμένο στην πλευρά της χαμηλής τάσεως (XT) είναι το ακόλουθο (σχ. 2.6η):



Σχ. 2.6η

Η συνολική ωμική αντίσταση και η συνολική αντίδραση σκεδάσεως του Μ/Σ από την πλευρά

της χαμηλής τάσεως (XT), είναι αντίστοιχα:

$$R'' = \frac{R_1}{K^2} + R_2 \quad \text{και} \quad X''_o = \frac{X_{o1}}{K^2} + X_{o2}.$$

Ο λόγος μετασχηματισμού είναι:

$$K = \frac{2.300}{230} = 10.$$

1) **Αντιστάσεις ανηγμένες στο πρωτεύον (YT).**

Σύνθετη αντίσταση ανηγμένη στο πρωτεύον (YT):

$$\dot{Z}' = (R_1 + K^2 R_2) + j(X_{o1} + K^2 X_{o2}).$$

Ωμική αντίσταση του δευτερεύοντος (XT) ανηγμένη στο πρωτεύον (YT):

$$K^2 R_2 = 10^2 \cdot 0,042 = 4,2 \Omega.$$

Αντίδραση σκεδάσεως του δευτερεύοντος (XT) ανηγμένη στο πρωτεύον (YT):

$$K^2 X_{o2} = 10^2 \cdot 0,55 = 55 \Omega.$$

Η σύνθετη αντίσταση  $\dot{Z}$  είναι:

$$\begin{aligned} \dot{Z} &= (4,2 + 4,2) + j(5,50 + 55) \Omega \\ &= 8,4 + j60,5 \Omega. \end{aligned}$$

Η  $\dot{Z}'$  στην πολική μορφή είναι:

$$\dot{Z}' = 61 \angle 82^\circ \Omega.$$

2) **Αντιστάσεις ανηγμένες στο δευτερεύον (XT).**

Σύνθετη αντίσταση ανηγμένη στο δευτερέυον (XT):

$$\dot{Z}'' = \left( \frac{R_1}{K^2} + R_2 \right) + j \left( \frac{X_{o1}}{K^2} + X_{o2} \right).$$

Ωμική αντίσταση του πρωτεύοντος (YT) ανηγμένη στο δευτερέυον (XT):

$$\frac{R_1}{K^2} = \frac{4,2}{100} = 0,042 \Omega.$$

Αντίδραση σκεδάσεως του πρωτεύοντος (YT) ανηγμένη στο δευτερέυον (XT):

$$\frac{X_{o1}}{K^2} = \frac{5,50}{100} = 0,055 \Omega.$$

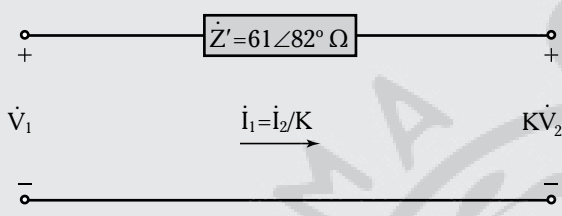
Η σύνθετη αντίσταση  $\dot{Z}''$  είναι:

$$\begin{aligned}\dot{Z}'' &= (0,042 + 0,042) + j(0,055 + 0,55) = \\ &= 0,084 + j0,605 \Omega.\end{aligned}$$

Σε πολική μορφή:  $\dot{Z}'' = 0,61 \angle 82,09^\circ \Omega$ .

2) Για τον υπολογισμό της τάσεως στην πλευρά της YT (πρωτεύοντος του M/Σ) χρησιμοποιούμε το ισοδύναμο πλεκτρικό κύκλωμα με στοιχεία του δευτερεύοντος (XT) ανηγμένα στο πρωτεύοντα (YT).

Εφαρμόζοντας τον Δεύτερο Κανόνα του Kirchhoff στο κύκλωμα, όπως φαίνεται στο σχήμα 2.6θ, προκύπτει:



$$\dot{V}_1 = KV_2 + \frac{\dot{I}_2}{K} \dot{Z}'. \quad (1)$$

Επειδή η τάση του δευτερεύοντος είναι γνωστή από την εκφώνηση του (2) ερωτήματος μας ενδιαφέρει το μέτρο της, το οποίο είναι 230 V. Οπότε:

$$KV_2 = 10 \cdot 230 = 2.300 \text{ V.}$$

Το ονομαστικό ρεύμα του δευτερεύοντος προκύπτει από τη σχέση της φανομένης ισχύος του M/Σ:

$$P_\varphi = V_2 I_2.$$

$$\text{Είναι: } I_2 = \frac{50 \cdot 10^3}{230} = 217,39 \text{ A.}$$

Η γωνία  $\varphi_2$ , η οποία αντιστοιχεί στον συντελεστή ισχύος 0,8 επαγ. είναι:

$$\sigma v^{-1} 0,8 = 36,87^\circ.$$

Επειδή ο συντελεστής ισχύος είναι επαγωγικός, τότε το πρόσημο της  $\varphi_2$  στην εξίσωση τάσεων-ρευμάτων είναι αρνητικό.

$$\text{Το ρεύμα } \frac{\dot{I}_2}{K} \text{ είναι: } \frac{\dot{I}_2}{K} = 21,73 \angle -36,87^\circ \text{ A.}$$

Η εξίσωση 1 γίνεται:

$$\begin{aligned}\dot{V}_1 &= 2.300 \angle 0^\circ + 21,73 \angle -36,86^\circ \cdot 61 \angle 82^\circ = \\ &= 2.300 + 1.325,53 \angle 45,13^\circ \text{ V} = \\ &= 2.300 + 1.325,53 (\cos 45,13 + j \sin 45,13) = \\ &= 2.300 + 935,16 + j939,415 = \\ &= 3.235,16 + j939,415 \approx 3.369 \angle 16,17^\circ \text{ V.}\end{aligned}$$

3) Η απόδοση του M/Σ δίδεται:

$$\eta = \frac{P_{\text{out}}}{P_{\text{in}}}.$$

$$P_{\text{out}} = kVA \sigma v \varphi_2 = 50 \cdot 0,8 = 40 \text{ kW.}$$

Οι απώλειες πυρήνα:

$$P_c = 0,07 \text{ kW.}$$

Οι απώλειες χαλκού:

$$P_{\text{cu}} = I_2^2 R'' = (217,39)^2 \cdot 0,084 = 3,97 \text{ kW.}$$

$$\text{Η ισχύς εισόδου: } P_{\text{in}} = P_{\text{out}} + P_{\text{cu}} + P_c = 44,04 \text{ kW.}$$

$$\text{Η απόδοση: } \eta = \frac{P_{\text{out}}}{P_{\text{in}}} \cdot 100 = \frac{40}{44,04} \cdot 100 = 90,82\%.$$

### Άσκηση 5.

Σε πραγματικό μονοφασικό M/Σ 1.100/220 V, έγιναν οι παρακάτω δοκιμές με τις αντίστοιχες ενδείξεις των οργάνων:

	<b>V</b>	<b>A</b>	<b>W</b>
<b>Δοκιμή χωρίς φορτίο</b>	1.100	0,5	55
<b>Δοκιμή σε βραχυκύκλωμα</b>	10	80	400

Να σχεδιάσετε το ισοδύναμο κύκλωμα του M/Σ με στοιχεία του δευτερεύοντος ανηγμένα στο πρωτεύοντα.

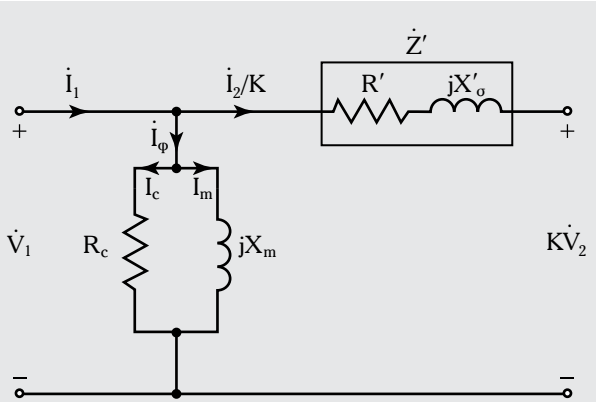
Να υπολογίσετε:

1) Την πτώση τάσεως στον M/Σ, και

2) την απόδοση του M/Σ όταν τροφοδοτεί φορτίο με ρεύμα 100 A και με συντελεστή ισχύος 0,8 επαγ..

### Λύση.

Το ισοδύναμο κύκλωμα του M/Σ, το οποίο αντιστοιχεί στις δοκιμές είναι το ακόλουθο (σχ. 2.6ι).



Σχ. 2.61

Οι τιμές των κυκλωματικών στοιχείων του ισοδύναμου κυκλώματος καθορίζονται από τις δοκιμές χωρίς φορτίο και σε βραχυκύκλωση.

Ειδικότερα:

**1) Δοκιμή χωρίς φορτίο.**

Στη λειτουργία χωρίς φορτίο ισχύει:

$$I_\phi = \sqrt{I_c^2 + I_m^2}, \quad P_c = V_1 I_\phi \sin \varphi_c.$$

Είναι:  $P_{oc} \equiv P_c = V_1 I_\phi \sin \varphi_c$

όπου  $P_{oc}$  η ισχύς που απορροφά ο Μ/Σ στη λειτουργία χωρίς φορτίο

$$\text{και} \quad \sin \varphi_c = \frac{P_c}{V_1 I_\phi} = \frac{55}{1.100 \cdot 0,5} = 0,1.$$

Το ρεύμα απωλειών πυρήνα είναι:

$$I_c = I_\phi \sin \varphi_c = 0,5 \cdot 0,1 = 0,05 \text{ A.}$$

Η γωνία απωλειών πυρήνα  $\varphi_c$ , είναι:

$$\sin^{-1} 0,1 = 84,26^\circ = \varphi_c.$$

Το ρεύμα μαγνητίσεως είναι:

$$I_m = I_\phi n \mu \varphi_c = 0,5 \cdot 0,995 = 0,497 \text{ A.}$$

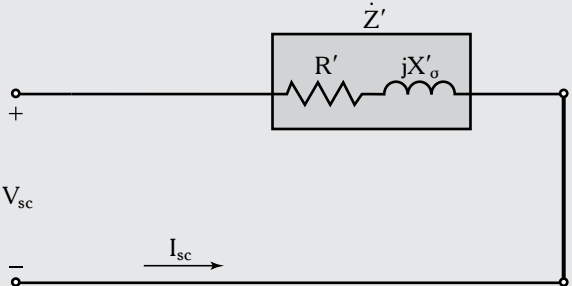
Από το ισοδύναμο κύκλωμα η αντίσταση απωλειών πυρήνα είναι:

$$R_c = \frac{V_1}{I_c} = \frac{1.100}{0,05} = 22 \text{ k}\Omega.$$

Από το ισοδύναμο κύκλωμα η αντίδραση μαγνητίσεως είναι:

$$X_m = \frac{V_1}{I_m} = \frac{1.100}{0,497} = 2,21 \text{ k}\Omega.$$

**2) Δοκιμή σε βραχυκύκλωση.** Το ισοδύναμο κύκλωμα στη δοκιμή σε βραχυκύκλωση είναι το ακόλουθο (σχ. 2.61α):



Σχ. 2.61α

$V_{sc}$ : Τάση ιροφοδοσίας του Μ/Σ στην κατάσταση βραχυκύκλωσης.  $I_{sc}$ : ρεύμα το οποίο κυκλοφορεί στα τελίγματα του Μ/Σ στην κατάσταση βραχυκύκλωσης.

Από το κύκλωμα η τάση βραχυκύκλωσης είναι:

$$V_{sc} = I_{sc} |\dot{Z}'|.$$

Η ισχύς  $P_{sc}$ , την οποία απορροφά ο Μ/Σ στην κατάσταση βραχυκύκλωσης αντιπροσωπεύει τις απώλειες καλοκού του Μ/Σ:

$$P_{sc} = P_{cu} = I_{sc}^2 \cdot R' = 400 \text{ W.}$$

Στη δοκιμή σε βραχυκύκλωση το ρεύμα βραχυκύκλωσης είναι:  $I_{sc} = 80 \text{ A.}$

Η ωμική αντίσταση ανηγμένη στο πρωτεύον είναι:

$$R' = \frac{P_{cu}}{I_{sc}^2} = \frac{400}{80^2} = 0,062 \text{ }\Omega.$$

Η σύνθετη αντίσταση ανηγμένη στο πρωτεύον είναι:

$$Z' = \frac{V_{sc}}{I_{sc}} = \frac{10}{80} = 0,125 \text{ }\Omega.$$

Απ' το τρίγωνο των αντιστάσεων (σχ. 2.48) έχομε:

$$\begin{aligned} X'_o &= \sqrt{(Z')^2 - (R')^2} = \\ &= \sqrt{(0,125)^2 - (0,062)^2} = 0,108 \text{ }\Omega. \end{aligned}$$

Για τον υπολογισμό της πτώσεως τάσεως,  $\Delta V$ , του Μ/Σ απαιτείται ο υπολογισμός των  $R''$  και  $X_o''$ . Η ισοδύναμη ωμική αντίσταση ανηγμένη στο δευτερεύον είναι:

$$R'' = \frac{R'}{K^2} = \frac{0,062}{(1.100 / 220)^2} = 0,00248 \text{ }\Omega.$$

Η ισοδύναμη αντίσταση σκεδάσεως ανηγμένη στο δευτερεύον είναι:

$$X''_o = \frac{X'_o}{K^2} = \frac{0,108}{(1.100 / 220)^2} = 0,00432 \Omega.$$

1) Η πτώση τάσεως στον M/S δίδεται από την ακόλουθη σχέση:

$$\Delta V = I_2 R'' \sin \varphi_2 + I_2 X''_{o2} n \mu \varphi^2 = 0,457 V.$$

Είναι:  $I_2 = 100 A$ ,  $\sin \varphi_2 = 0,8$ ,  $n \mu \varphi_2 = 0,6$ .

2) Η ιοχύς εξόδου είναι:

$$P_{out} = V_2 I_2 \sin \varphi_2 = 220 \cdot 100 \cdot 0,8 = 17,6 kW.$$

Οι απώλειες χαλκού στη δοκιμή σε βραχυκύκλωση είναι  $400 W$  όταν το ρεύμα βραχυκύκλωσεως είναι  $80 A$ . Όταν το ρεύμα φορτίου είναι  $100 A$ , τότε οι **απώλειες χαλκού**<sup>3</sup> δίδονται από τη σχέση:

$$P_{cu} = \text{απώλειες χαλκού (\sigmata 100 A)} = 400 \left( \frac{I_2}{I_{sc}} \right)^2 = 400 \left( \frac{100}{80} \right)^2 = 625 W = 0,625 kW.$$

Οι απώλειες πυρίνα δεν επηρεάζονται απ' τη μεταβολή του ρεύματος φορτίου του M/S. Οι απώλειες πυρίνα είναι εκείνες της δοκιμής χωρίς φορτίο:  $P_c = 55 W = 0,055 kW$ .

Η ιοχύς στην είσοδο του M/S είναι:

$$P_{in} = P_{out} + P_{cu} + P_c = 17,6 + 0,625 + 0,055 = 18,28 kW.$$

Η απόδοση του M/S είναι:

$$\eta = \frac{17,6}{18,28} \cdot 100 = 96,28\%.$$

### Άσκηση 6.

Δίδεται πραγματικός μονοφασικός M/S  $20 kVA$ ,  $2.500/500 V$ , ο οποίος έχει:

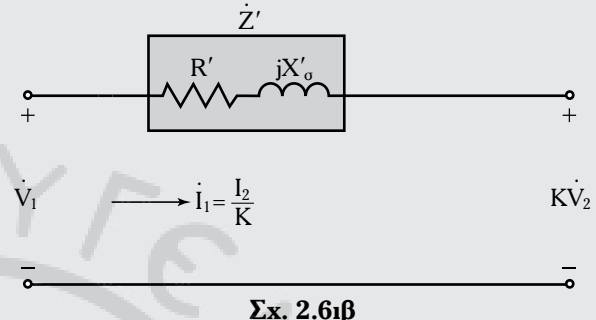
$$R_1 = 5 \Omega, X_{o1} = 8 \Omega, R_2 = 0,20 \Omega, X_{o2} = 0,4 \Omega.$$

Ο M/S παρέχει τα ονομαστικά  $kVA$  και το ονο-

μαστικό ρεύμα σε φορτίο με συντελεστή ιοχύο  $0,8$  επαγ.. Να υπολογίσετε την τάση στο φορτίο, όταν ο M/S τροφοδοτείται με την ονομαστική του τάση.

### Λύση.

Χρησιμοποιούμε το ακόλουθο ισοδύναμο κύκλωμα του M/S του οχήματος 2.6ιβ με στοιχεία του δευτερεύοντος ανηγμένα στο πρωτεύον.



Έχομε:

$$K = \frac{2.500}{500} = 5, \quad R' = R_1 + K^2 R_2 = 5 + 5^2 \cdot 0,20 = 10 \Omega$$

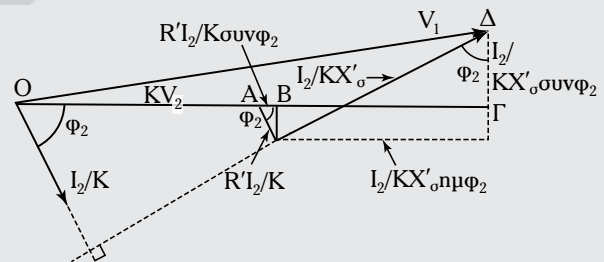
$$X'_o = X_{o1} + K^2 X_{o2} = 8 + 5^2 \cdot 0,4 = 18 \Omega$$

$$\cos^{-1} 0,8 = 36,87^\circ = \varphi_2.$$

Εφαρμόζοντας τον Δεύτερο Κανόνα του Kirchhoff στο κύκλωμα προκύπτει η ακόλουθη εξίσωση τάσεων:

$$\dot{V}_1 = K \dot{V}_2 + \frac{\dot{I}_2}{K} (R' + jX'_o).$$

Σ' αυτήν την εξίσωση τάσεων αντιστοιχεί το ακόλουθο διανυσματικό διάγραμμα (σχ. 2.6ιγ):



<sup>3</sup> Ιοχύει:  $P_{cu}^{(sc)} = I_{sc}^2 \cdot R'' = 400 W$  (1). Οι απώλειες χαλκού  $P_{cu}^{(100)}$  στα  $100 A$  είναι:  $P_{cu}^{(100)} = I_2^2 \cdot R'' = ;$  (2).

Διαιρώντας κατά μέλη τις εξιώσεις 1 και 2 προκύπτει:  $P_{cu}^{(100)} = 625 W$ .

Το ονομαστικό ρεύμα είναι  $I_2 \frac{20.000}{500} = 40 \text{ A}$ .

Από το διάγραμμα έχουμε, εφαρμόζοντας το Πυθαγόρειο Θεώρημα στο τρίγωνο ΟΓΔ:

$$\dot{V}_1^2 = \left( KV_2 + R' \frac{I_2}{K} \sin\varphi_2 + X_o \frac{I_2}{K} \cos\varphi_2 \right)^2 + \left( \frac{I_2}{K} X_o \sin\varphi_2 \right)^2$$

$$\therefore 6.250.000 = 25V_2^2 + 725V_2 + 35.891,2$$

$$\therefore V_2^2 + 29V_2 - 248.564,352 = 0.$$

Λύνοντας την δευτεροβάθμια εξίσωση βρίσκομε:  $V_2 = 484,27 \text{ V}$ .

#### Άσκηση 7.

Δίδεται πραγματικός μονοφασικός Μ/Σ 400/230 V, ο οποίος απορροφά από το δίκτυο 1,5 A με συντελεστή ισχύος 0,3, όταν λειτουργεί χωρίς φορτίο.

Ο Μ/Σ παρέχει ρεύμα 45 A σε φορτίο με συντελεστή ισχύος 0,8 επαγ.. Να υπολογίσετε το ρεύμα, το οποίο απορροφά ο Μ/Σ από το δίκτυο και τον αντίστοιχο συντελεστή ισχύος.

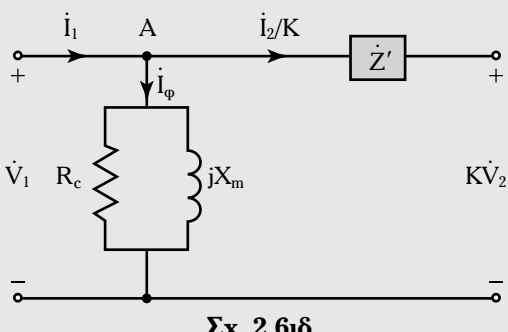
#### Λύση.

Το ισοδύναμο κύκλωμα του Μ/Σ παρουσιάζεται στο οχήμα 2.6ιδ.

$$\text{Έχουμε: } K = \frac{400}{230} = 1,7, \quad I_\varphi = 1,5 \text{ A}$$

$$\sin\varphi_c = 0,3, \quad I_2 = 45 \text{ A}, \quad \sin\varphi_2 = 0,8.$$

Εφαρμόζοντας τον Πρώτο Κανόνα του Kirchhoff, στον κόμβο Α προκύπτει:



$$\dot{I}_1 = \dot{I}_\varphi + \frac{\dot{I}_2}{K} = 1,5 \angle -72,54^\circ + \frac{45}{1,7} \angle -36,87^\circ$$

$$\begin{aligned} \therefore \dot{I}_1 &= 1,5 \angle -72,54^\circ + 26,47 \angle -36,87^\circ = \\ &= 1,5[\cos(-72,54^\circ) + j\sin(-72,54^\circ)] + \\ &\quad + 26,47[\cos(-36,87^\circ) + j\sin(-36,87^\circ)] = \\ &= (0,45 - j1,43) + (21,17 - j15,88) = \\ &= 21,62 - j17,31 \text{ A}. \end{aligned}$$

Στην πολική μορφή το ρεύμα είναι:

$$\dot{I}_1 = 27,96 \angle -38,65^\circ \text{ A.}$$

Ο συντελεστής ισχύος είναι:

$$\cos(-38,65^\circ) = 0,78 \text{ επαγ..}$$

#### Άσκηση 8.

Πραγματικός μονοφασικός Μ/Σ έχει τα ακόλουθα χαρακτηριστικά:

$$100 \text{ kVA}, \quad E_1 = 1.000 \text{ V}, \quad I_1 = 105 \text{ A}, \quad K = 4$$

$$f = 50 \text{ Hz}, \quad V_{sc}\% = 5\%, \quad \sin\varphi_{sc} = 0,40$$

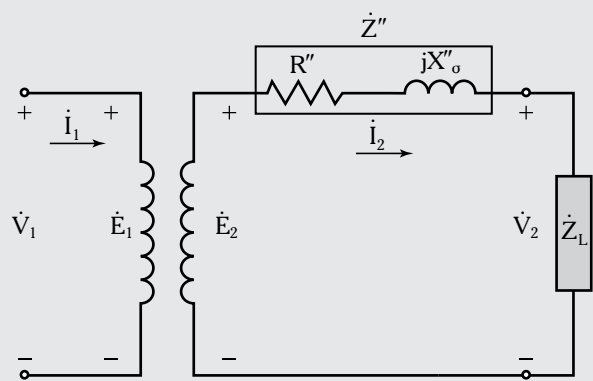
Αμελώντας τον κλάδο διεγέρσεως, να υπολογίσετε την τάση στους ακροδέκτες του δευτερεύοντος, όταν ο Μ/Σ τροφοδοτεί φορτίο  $0,4 + j0,3 \Omega$ .

#### Λύση.

Θεωρούμε το ακόλουθο ισοδύναμο κύκλωμα του πραγματικού μονοφασικού Μ/Σ σύμφωνα με τα δεδομένα (σχ. 2.6ιε).

Ισχύουν οι ιδιότητες των Μ/Σ:

$$\frac{\dot{E}_1}{\dot{E}_2} = K \quad \text{και} \quad \frac{\dot{I}_1}{\dot{I}_2} = \frac{1}{K}$$



Το μέτρο της τάσεως  $\dot{E}_2$  είναι:

$$|\dot{E}_2| = \frac{|\dot{E}_1|}{K} = \frac{1.000}{4} = 250 \text{ V.}$$

Το μέτρο του ρεύματος  $\dot{I}_2$  είναι:

$$|\dot{I}_2| = |\dot{I}_1| K = 4 \cdot 105 = 420 \text{ A.}$$

Η τιμή της τάσεως βραχυκύκλωσεως δίδεται ως εξής:

$$V_{sc} = 5\% \cdot E_2 = 0,05 \cdot 250 = 12,5 \text{ V.}$$

Η συνολική σύνθετη αντίσταση του M/S από την πλευρά του φορτίου (δευτερεύοντος) είναι:

$$\dot{Z}'' = R'' + jX''_o.$$

Από το πείραμα σε βραχυκύκλωση προκύπτει η τιμή της  $|\dot{Z}''|$ :

$$|\dot{Z}''| = \frac{V_{sc}}{|\dot{I}_2|} = \frac{12,5}{420} = 0,0298 \Omega.$$

Χρησιμοποιώντας το τρίγωνο των αντιστάσεων (σχ. 2.46) υπολογίζομε τις τιμές των κυκλωματικών στοιχείων στο  $R''$  και  $X''_o$ . Έχουμε:

$$R'' = Z'' \eta \mu \varphi_{sc} = 0,0298 \cdot 0,40 = 0,0119 \Omega \quad (1)$$

$$X''_o = Z'' \eta \mu \varphi_{sc} = 0,0298 \cdot 0,916 = 0,0273 \Omega. \quad (2)$$

Η τάση  $\dot{V}_2$  με την οποία τροφοδοτείται το φορτίο  $\dot{Z}_L$  είναι:  $\dot{V}_2 = \dot{I}_2 \dot{Z}_L$ , όπου  $\dot{Z}_L$  η σύνθετη αντίσταση του φορτίου στους ακροδέκτες του δευτερεύοντος.

Το ρεύμα, το οποίο απορροφά το φορτίο από το ισοδύναμο κύκλωμα είναι:

$$\dot{I}_2 = \frac{\dot{E}_2}{\dot{Z}'' + \dot{Z}_L} \dot{Z}_L.$$

Από τις εξιώσεις 1 και 2 έχουμε:

$$\dot{Z}'' = 0,00119 + j0,0273 \Omega.$$

Η τάση  $\dot{V}_2$  την οποία απορροφά το φορτίο είναι:

$$\dot{V}_2 = \frac{250}{(0,0119 + j0,0273) + (0,4 + j0,3)} \cdot (0,4 + j0,3) \text{ V}$$

$$\therefore \dot{V}^2 = 157,430 \angle -1,59^\circ \text{ V.}$$

### Άσκηση 9.

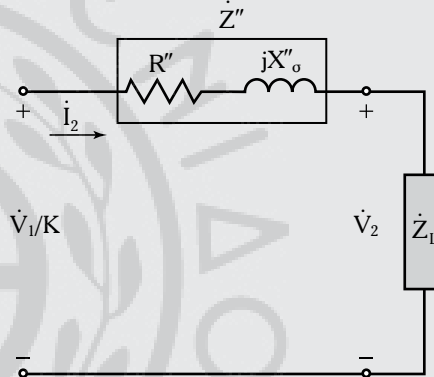
Πραγματικός M/S, 10 kVA, 400/230 V, 50 Hz, τροφοδοτείται από δίκτυο τάσεως 400 V. Ο M/S τροφοδοτεί φορτίο το οποίο απορροφά ρεύμα 30 A, με συντελεστή ισχύος συνφ<sub>L</sub> = 0,8 επαγ.. Από τη δοκιμή σε βραχυκύκλωση του M/S προέκυψε:

$$V_{sc} \% = 6\%, P_{sc} = 3\%.$$

Να υπολογίσετε την τάση στους ακροδέκτες του φορτίου και την πραγματική ισχύ την οποία απορροφά το φορτίο.

### Λύση.

Χρησιμοποιείται απλοποιημένο κύκλωμα του M/S με στοιχεία του πρωτεύοντος ανηγμένο στο δευτερεύον (σχ. 2.6ιστ).



Σχ. 2.6ιστ

### Προσδιορισμός των $R''$ και $X''_o$ .

Το ονομαστικό ρεύμα  $I_{2ov}$ , του δευτερεύοντος είναι:  $I_{2ov} = \frac{10 \cdot 10^3}{230} \cong 43,48 \text{ A}$

όπου  $\dot{Z}_L$ , είναι η σύνθετη αντίσταση του φορτίου, το οποίο συνδέεται στους ακροδέκτες του δευτερεύοντος του M/S.

Στη συνέχεια προσδιορίζομε τα κυκλωματικά στοιχεία  $R''$  και  $X''_o$  για τα ονομαστικά στοιχεία του M/S.

Οι απώλειες χαλκού  $P_{sc}$  είναι:

$$P_{sc} = \frac{3}{100} \cdot 10.000 = 300 \text{ W.}$$

Ισχύει:  $P_{sc} = I_{2ov}^2 R''$  και

$$R'' = \frac{P_{sc}}{I_{2ov}^2} = \frac{300}{(43,48)^2} = 0,159 \Omega.$$

Η τάση βραχυκυκλώσεως είναι:

$$V_{sc} = 6\% \cdot \frac{V_1}{K} = 0,06 \cdot 235,29 = 14,11 \text{ V.}$$

$$\text{Είναι: } Z'' = \frac{V_{sc}}{I_{2ov}} = \frac{14,11}{43} = 0,324 \Omega$$

$$\text{και: } X''_o = \sqrt{(0,324)^2 - (0,159)^2} = 0,282 \Omega.$$

Από το ισοδύναμο κύκλωμα, έχουμε:

$$\dot{V}_2 = \frac{\dot{V}_1}{K} - i_2(R'' + jX''_o)$$

$$\begin{aligned} \dot{V}_2 &= \frac{400}{\frac{400}{230}} - 30 \angle -36,87^\circ \cdot (0,159 + j0,282) = \\ &= 230 - 30 \angle -36,87^\circ \cdot 0,324 \angle 60,58^\circ = \\ &= 230 - 9,72 \angle 23,71^\circ \text{ V} = 226,43 \angle -0,98^\circ \text{ V}. \end{aligned}$$

Η πραγματική ισχύς, την οποία απορροφά το φορτίο είναι:

$$P_L = V_2 I_2 \cos \varphi_L = 226,43 \cdot 30 \cdot 0,8 \approx 5,434 \text{ kW.}$$

### Άσκηση 10.

Η μέγιστη απόδοση σε Μ/Σ 100 kVA, 6.600 / 250 V, 50 Hz, όταν λειτουργεί στο  $\frac{1}{2}$  του πλήρους φορτίου (π.φ.) είναι 98% με συντελεστή ισχύος ίσο με τη μονάδα. Να υπολογίσετε την απόδοση στο πλήρες φορτίο με συντελεστή ισχύος 0,8 επαγ..

#### Λύση.

$$P^* \equiv P_{out, \frac{1}{2}} \text{ πλήρους φορτίου} = \frac{1}{2} \cdot 100 \cdot 1 = 50 \text{ kW}$$

$$\eta_{\frac{1}{2}} \text{ πλήρους φορτίου} = 0,98$$

Ισχύς εισόδου:

$$P_{in}^* = \frac{P^*}{\eta} = \frac{50}{0,98} = 51,02 \text{ kW.}$$

Οι συνολικές απώλειες,  $P_{ol}$  είναι:

$$P_{ol} = P_{in}^* - P^* = 51,02 - 50 = 1,02 \text{ kW.}$$

Στη μέγιστη απόδοση:

$$P_{cu} = P_c = \frac{1,02}{2} = 0,51 \text{ kW.}$$

Στο πλήρες φορτίο και με συντελεστή ισχύος 0,8 επαγ. ισχύει:

$$P_{out} = 100 \cdot 0,8 = 80 \text{ kW.}$$

Οι απώλειες πυρίνα είναι:  $P_c = 0,51 \text{ kW}$  γιατί είναι ανεξάρτητη από την φόρτιση του Μ/Σ. Οι απώλειες χαλκού,  $P_{cu}$ , στο πλήρες φορτίο είναι:

$$P_{cu, \pi, \varphi} = 2^2 \cdot P_{\frac{1}{2}} \text{ πλήρους φορτίου} = 2,04 \text{ kW}$$

$$P_{in} = 80 + 0,51 + 2,04 = 82,55 \text{ kW}$$

και η απόδοση στο πλήρες φορτίο είναι:

$$\eta_{\pi, \varphi} = \frac{80}{82,55} \cdot 100 = 96,91 \text{ %.}$$

### Άσκηση 11.

Πραγματικός μονοφασικός Μ/Σ 25 kVA, 3.300/230 V έχει απώλειες χαλκού και απώλειες πυρίνα στο πλήρες φορτίο 400 W και 350 W αντίστοιχα. Να υπολογίσετε:

1) Την απόδοση του Μ/Σ στο μισό του πλήρους φορτίου και για  $\Sigma I = 0,8$  επαγ..

2) Τα kVA στα οποία ο Μ/Σ έχει την μέγιστη απόδοση.

#### Λύση.

1) Ισχύς εξόδου στο μισό του πλήρους φορτίου και με  $\Sigma I = 0,8$  επαγ.:

$$P_{out}^{\left(\frac{1}{2} \pi \cdot \varphi\right)} = \frac{25}{2} \times 0,8 = 10 \text{ W}$$

$$P_c = 350 \text{ W}$$

$$P_{cu}^{\left(\frac{1}{2} \pi \cdot \varphi\right)} = 400 \left(\frac{1}{2}\right)^2 = 100 \text{ W}$$

$$P_{cu, \pi, \varphi} = 400 \text{ W}$$

$$P_{in}^{\left(\frac{1}{2} \pi \cdot \varphi\right)} = 10 + \frac{350 + 100}{1.000} = 10,45 \text{ kW}$$

$$\eta_{\left(\frac{1}{2} \pi \cdot \varphi\right)} = \frac{10}{10,45} \times 100 = 95,7\%.$$

2) Κατάσταση μέγιστης αποδόσεως:

$$P_{cu}^{(max)} = P_c^{(max)}.$$

Οι απώλειες πυρίνα είναι σταθερές, οπότε:

$$P_c^{(\max)} = 350 \text{ W}.$$

Οι απώλειες χαλκού στη μέγιστη απόδοση είναι:  $P_{cu}^{(\max)} = 350 \text{ W}$ .

Οι απώλειες χαλκού στο πλήρες φορτίο είναι:

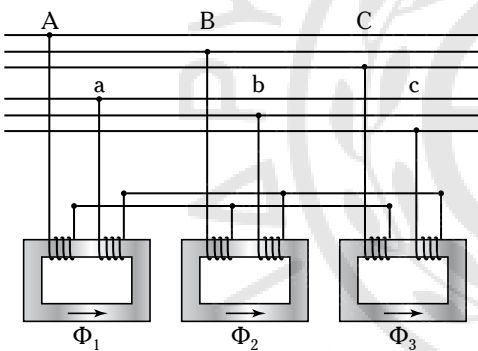
$$P_{cu \text{ πλήρες φορτίο}} = 400 \text{ W}.$$

Τα kVA στη μέγιστη απόδοση είναι:

$$\sqrt{\frac{350}{400}} \cdot 25 = \frac{18,7}{20} \cdot 25 = 23,375 \text{ kVA}.$$

## 2.7 Τριφασικός M/Σ.

Η μεταφορά της πλεκτρικής ενέργειας μεταξύ δύο τριφασικών δικτύων, διαφορετικής τάσεως πραγματοποιείται χρησιμοποιώντας έναν τριφασικό M/Σ ή τρεις μονοφασικούς M/Σ (σχ. 2.7α).



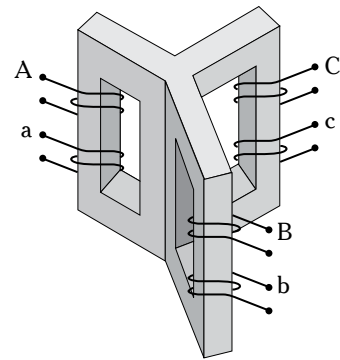
Σχ. 2.7α

Σύστημα τριών μονοφασικών M/Σ.

Η χρήση τριών μονοφασικών M/Σ σε σχέση με τη χρήση ενός τριφασικού M/Σ έχει το πλεονέκτημα ότι εξασφαλίζει τη συνεχή λειτουργία και μεταφορά μεγάλων ποσοτήτων ισχύος, αλλά παρουσιάζει το μειονέκτημα του μεγάλου βάρους του σιδηρομαγνητικού υλικού, το οποίο απαιτείται για τη διαμόρφωση του πυρήνα.

Αντί της συνδέσεως τριών ανεξαρτήτων μονοφασικών M/Σ για την κατασκευή τριφασικού M/Σ χρησιμοποιείται ένα κοινό μαγνητικό κύκλωμα, στο οποίο τοποθετούνται έξι τυλίγματα (σχ. 2.7β).

Αυτός ο τριφασικός M/Σ χρησιμοποιείται, συνήθως, στις πλεκτρικές εγκαταστάσεις πλοίων γιατί έχει μικρότερο βάρος και όγκο και λειτουργεί με, σχετική, μεγαλύτερη απόδοση.



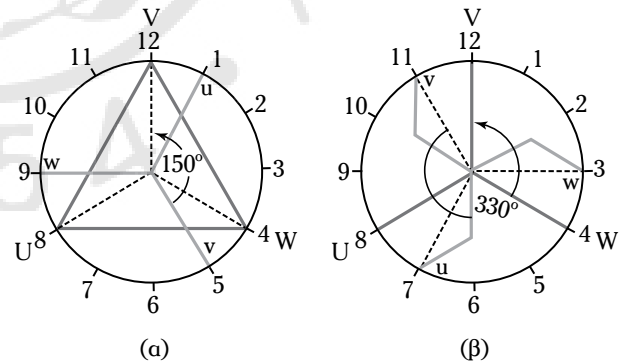
Σχ. 2.7β

Τριφασικός M/Σ ισοδύναμος με το σύστημα τριών ανεξαρτήτων μονοφασικών M/Σ.

**Η συνδεσμολογία των φάσεων υψηλής τάσεως** (YT) των τριφασικών M/Σ χαρακτηρίζεται με κεφαλαία λατινικά γράμματα D και Y (πίν. 2.7) όπου: D η σύνδεση φάσεων σε τρίγωνο και Y η σύνδεση φάσεων σε αστέρα.

**Η συνδεσμολογία των φάσεων χαμπλής τάσεως** (XT) χαρακτηρίζεται με τα μικρά λατινικά γράμματα d, u και z (πίν. 2.7) όπου: d η σύνδεση φάσεων σε τρίγωνο, u η σύνδεση φάσεων σε αστέρα και z η σύνδεση φάσεων σε τεθλασμένο αστέρα (ζικ-ζακ).

Η φασική απόκλιση μεταξύ των φάσεων YT και XT χαρακτηρίζεται με έναν αριθμό, ο οποίος αν πολλαπλασιαστεί επί 30° δίδει τη φασική απόκλιση σε μοίρες (σχ. 2.7γ) και προσδιορίζει τον τύπο της συνδεσμολογίας του τυλίγματος YT και του αντιστοίχου τυλίγματος XT.



Σχ. 2.7γ

(a) Σύνδεση  $D_{y5}$  και (β) σύνδεση  $Y_{zII}$ .

Ομάδα των τριφασικών M/Σ ονομάζεται ο αριθμός, ο οποίος προκύπτει διαιρώντας τη φασική απόκλιση, μεταξύ των φάσεων YT, και των αντιστοίχων της XT, με 30°.

Οι ομάδες που μπορούν να πραγματοποιηθούν είναι 0, 1, 2, ..., 11.

**Πίνακας 2.7**  
**Συνδεσμολογίες των τριφασικών Μ/Σ με τα αντίστοιχα σύμβολα τους.**

Ομάδα	Συνδεσμολογία	Σύμβολα		Συνδέσεις	
		Πρωτεύον τύλιγμα	Δευτερεύον τύλιγμα	Πρωτεύον τύλιγμα	Δευτερεύον τύλιγμα
0	Dd0				
	Yy0				
	Dz0				
5	Dy5				
	Yd5				
	Yz5				
6	Dd6				
	Yy6				
	Dz6				
11	Dy11				
	Yd11				
	Yz11				

Οι διάφορες ομάδες προσδιορίζουν τις ακόλουθες οικογένειες:

Οικογένεια I: ομάδες 1, 5, 9

Οικογένεια II: ομάδες 2, 6, 10

Οικογένεια III: ομάδες 3, 7, 11

Οικογένεια IV: ομάδες 0, 4, 8

Στον πίνακα 2.7 δίδονται οι συνηθισμένες συνδεσμολογίες των τριφασικών Μ/Σ, οι οποίες χρησιμο-

ποιούνται στην πράξη με τους αντίστοιχους συμβολισμούς τους.

### 2.7.1 Τριφασικές συνδέσεις.

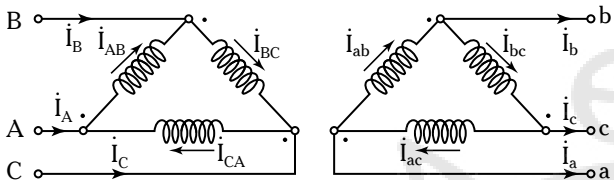
Για το μετασχηματισμό των μεγεθών τάσεων ρευμάτων τριφασικής πηγής απαιτούνται τρεις κατάλληλα συνδεμένοι μονοφασικοί Μ/Σ ή ένας τριφασικός Μ/Σ.

Η επιλογή του τριφασικού Μ/Σ σημαίνει οικονο-

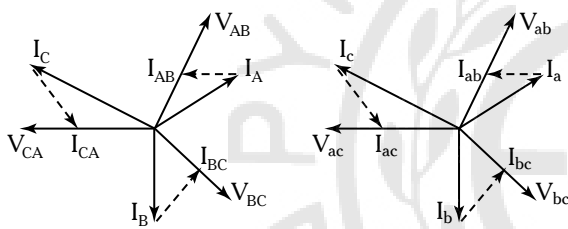
μία λόγω της μειώσεως του βάρους και του όγκου του σιδηρομαγνητικού υλικού του πυρήνα του M/Σ, οπότε προκύπτει και μείωση των αντιστοίχων απωλειών πυρήνα. Χρησιμοποιώντας ένα σύστημα τριών μονοφασικών M/Σ πραγματοποιούνται οι ακόλουθες συνδεσμολογίες:

### 1) Τρίγωνο – Τρίγωνο (D/D).

Στα σχήματα 2.7δ και 2.7ε δίδεται η συνδεσμολογία σε τρίγωνο – τρίγωνο (D/D) και τα αντίστοιχα διαγράμματα τάσεων και ρευμάτων.



**Σχ. 2.7δ**  
Συνδεσμολογία D/D.



**Σχ. 2.7ε**  
Συνδεσμολογία τρίγωνο – τρίγωνο (D/D).

Μεταξύ των ρευμάτων γραμμής (πολικών),  $I_{\Delta}$  και των ρευμάτων που διαφέρουν τα τυλίγματα (φάσεων) ισχύει:  $I_{\Delta} = \sqrt{3}I_{AB} \angle -30^\circ$  A.

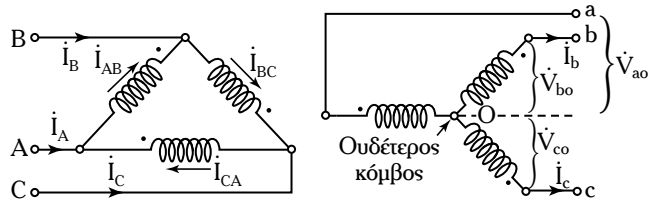
Κάθε τύλιγμα παραλαμβάνει το ένα τρίτο ( $\frac{1}{3}$ ) της συνολικής ισχύος.

Το **πλεονέκτημα**, γενικά, της συνδεσμολογίας σε τρίγωνο είναι ότι αυτή δεν επιτρέπει την δημιουργία αρμονικών στις τάσεις και τις μαγνητικές ροές, στην περίπτωση της ασύμμετρης φορτίσεως, γιατί λόγω του κανόνα των βρόχων πρέπει το άθροισμα των τριών φασικών τάσεων να ισούνται με μηδέν.

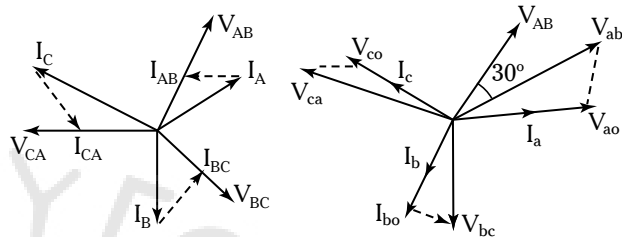
Όταν επισκευάζεται ένας M/Σ D/D, η συνδεσμολογία μπορεί να λειτουργήσει και ως σύστημα δύο M/Σ συνδεδεμένων σε ανοικτό τρίγωνο (V/V), η οποία παρέχει 58% της συνολικής ισχύος της συνδεσμολογίας D/D.

### 2) Τρίγωνο – Αστέρας (D/Y).

Στο σχήμα 2.7στ δίδεται η συνδεσμολογία D/Y. Το πρωτεύον του M/Σ συνδέεται στο ηλεκτρικό δί-



**Σχ. 2.7στ**  
Σύνδεση D/Y.



**Σχ. 2.7ζ**

Διανυσματικά διαγράμματα τάσεων-ρευμάτων των φασικών και πολικών μεγεθών του πρωτεύοντος και του δευτερεύοντος της συνδεσμολογίας D/Y.

κτυ Κατά τρίγωνο. Στο σχήμα 2.7ζ δίδονται τα διανυσματικά διαγράμματα των φασικών και πολικών μεγεθών του πρωτεύοντος και του δευτερεύοντος για ωμική φόρτιση.

Στο διάγραμμα τάσεων-ρευμάτων παρατηρούμε ότι η τάση του δευτερεύοντος καθυστερεί σε σχέση με την τάση του πρωτεύοντος κατά 30°.

#### – Εξισώσεις πρωτεύοντος-δευτερεύοντος.

Τα διανυσματικά διαγράμματα του σχήματος 2.7ζ έχουν χαραχθεί με βάση τις ακόλουθες εξισώσεις, οι οποίες διέπουν την συνδεσμολογία «τρίγωνο-αστέρα», για συμμετρική φόρτιση των φάσεων:

##### 1) Εξισώσεις πρωτεύοντος:

a) Εξίσωση των φασικών τάσεων

$$\dot{V}_{AB} + \dot{V}_{BC} + \dot{V}_{CA} = 0.$$

b) Εξίσωση των πολικών τάσεων: είναι ίδια με εκείνη των φασικών τάσεων, γιατί στη συνδεσμολογία σε τρίγωνο φασικές και πολικές τάσεις συμπίπτουν.

c) Εξίσωση των φασικών ρευμάτων

$$\dot{I}_{AB} + \dot{I}_{BC} + \dot{I}_{CA} = 0.$$

d) Εξίσωση των πολικών ρευμάτων

$$\dot{I}_A + \dot{I}_B + \dot{I}_C = 0.$$

e) Ανάλυση των πολικών ρευμάτων

$$\dot{I}_A = \dot{I}_{AB} - \dot{I}_{CA}, \quad \dot{I}_B = \dot{I}_{BC} - \dot{I}_{AB}, \quad \dot{I}_C = \dot{I}_{CA} - \dot{I}_{BC}.$$

2) ***Εξισώσεις δευτερεύοντος.***

α) Εξίσωση των φασικών τάσεων:

$$\dot{V}_{ao} + \dot{V}_{bo} + \dot{V}_{co} = 0.$$

β) Εξίσωση των πολικών τάσεων:

$$\dot{V}_{ab} + \dot{V}_{bc} + \dot{V}_{ca} = 0.$$

γ) Ανάλυση των πολικών τάσεων:

$$\dot{V}_{ab} = \dot{V}_{ao} - \dot{V}_{bo}, \quad \dot{V}_{bc} = \dot{V}_{bo} - \dot{V}_{co}, \quad \dot{V}_{ca} = \dot{V}_{co} - \dot{V}_{ao}.$$

δ) Εξίσωση των φασικών ρευμάτων:

$$\dot{I}_a + \dot{I}_b + \dot{I}_c = 0.$$

ε) Εξίσωση των πολικών ρευμάτων: είναι ίδια με την εξίσωση των φασικών ρευμάτων, γιατί στη συνδεσμολογία σε αστέρα τα φασικά και πολικά ρεύματα συμπίπουν.

3) ***Λόγος μετασχηματισμού K'***, των πολικών μεγεθών.

Στη συνδεσμολογία «τρίγωνο-αστέρα» ο λόγος μετασχηματισμού  $K'$  των πολικών μεγεθών είναι:

$$K' = \frac{V_{IL}}{V_{2L}} = \frac{V_{IP}}{\sqrt{3}V_{2P}} = \frac{K}{\sqrt{3}}$$

Ο λόγος μετασχηματισμού  $K'$  είναι μειωμένος κατά  $\sqrt{3}$ .

4) ***Πλεονεκτήματα*** της συνδεσμολογίας «τρίγωνο-αστέρα». Αυτά είναι:

α) Κατάργηση του ουδέτερου αγωγού στο πρωτεύον. Είναι γνωστό ότι στη συνδεσμολογία σε τρίγωνο δεν χρησιμοποιείται ουδέτερος αγωγός. Οπότε είναι πιο οικονομικός.

β) Μικρότερη διατομή των αγωγών του πρωτεύοντος. Το πρωτεύον είναι συνδεμένο σε τρίγωνο. Οπότε σε κάθε φάση διέρχεται το φασικό ρεύμα, το οποίο είναι κατά  $\sqrt{3}$  μικρότερο του πολικού ( $I_P = \frac{I_L}{\sqrt{3}}$ ). Η διατομή των αγωγών του πρωτεύοντος είναι μειωμένη κατά  $\sqrt{3}$ , οπότε έχουμε οικονομία χαλκού του πρωτεύοντος.

γ) Διάθεση δύο τάσεων στο δευτερέυον. Το δευτερέυον είναι συνδεμένο σε αστέρα. Στον αστέρα έχουμε δύο τάσεις: Η τάση μεταξύ του ακροδέκτη της μίας φάσεως και του ουδέτερου κόμβου είναι η φασική τάση. Η τάση μεταξύ των ακροδεκτών των φάσεων είναι η πολική τάση. Η σχέση μεταξύ της πολικής και της φασικής τάσεως είναι:  $V_L = \sqrt{3} V_P$ , οπου:  $V_L$  η πολική τάση και  $V_P$  η φασική τάση.

δ) Κανονική λειτουργία στην ασύμμετρη φόρ-

τιση. Η φόρτιση του πρωτεύοντος ακολουθεί πιστά την φόρτιση του δευτερεύοντος. Αν στο δευτερεύον η φόρτιση των τριών φάσεων είναι  $(-I_2, 0, 0)$ , στο πρωτεύον έχουμε  $(-I_1, 0, 0)$ . Αυτό συμβαίνει διότι το ρεύμα κάθε φάσεως του πρωτεύοντος κλείνει κύκλωμα προς την πηγή τάσεως μέσω των αγωγών μεταφοράς πλεκτρικής ενέργειας (σχ. 2.7n). Στην περίπτωση ασύμμετρης φορτίσεως των φάσεων του δευτερεύοντος, οι επαγόμενες τάσεις στις τρεις φάσεις του δευτερεύοντος δεν μεταβάλλονται.

ε) Δεν υπάρχουν ρεύματα τρίτης αρμονικής. Αναφερόμενοι στο σχήμα 2.7στ για τα ρεύματα τρίτης αρμονικής στους κόμβους A, B και C έχουμε:

$$\text{κόμβος } A: i_A^{(3)} = I_{AB}^{(3)} \eta \mu 3 \omega t - I_{CA}^{(3)} \eta \mu 3 (\omega t + 240^\circ)$$

$$\text{είναι όμως: } I_{AB}^{(3)} = I_{CA}^{(3)} = I_3 \text{ η μέγιστη τιμή του ρεύματος τρίτης αρμονικής, οπότε είναι:}$$

$$i_A^{(3)} = I_3 \eta \mu 3 \omega t - I_3 \eta \mu 3 (\omega t + 240^\circ) = 0$$

$$\text{κόμβος } B: i_B^{(3)} = I_{BC}^{(3)} \eta \mu 3 (\omega t + 120^\circ) - I_{AB}^{(3)} \eta \mu 3 \omega t$$

$$\text{είναι όμως: } I_{BC}^{(3)} = I_{AB}^{(3)} = I_3, \text{ οπότε έχουμε:}$$

$$i_B^{(3)} = I_3 \eta \mu 3 (\omega t + 120^\circ) - I_3 \eta \mu 3 \omega t = 0$$

$$\text{κόμβος } C: i_C^{(3)} = I_{CA}^{(3)} \eta \mu 3 (\omega t + 240^\circ) - I_{BC}^{(3)} \eta \mu 3 (\omega t + 120^\circ)$$

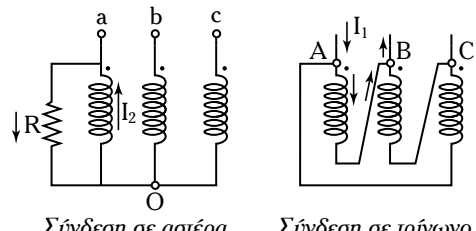
$$\text{είναι όμως: } I_{CA}^{(3)} = I_{BC}^{(3)} = I_3, \text{ οπότε:}$$

$$i_C^{(3)} = I_3 \eta \mu 3 (\omega t + 120^\circ) - I_3 \eta \mu 3 (\omega t + 240^\circ) = 0.$$

Τελικά, στο πρωτεύον δεν υπάρχει ρεύμα τρίτης αρμονικής.

5) ***Μειονεκτήματα*** της συνδεσμολογίας D/Y. Αυτά είναι:

α) Αύξηση του αριθμού σπειρών του πρωτεύοντος. Το πρωτεύον είναι συνδεμένο σε τρίγωνο, οπότε φασική και πολική τάση συμπίπουν. Ο αριθμός σπειρών του πρωτεύοντος θα είναι αυξημένος κατά τον συντελεστή  $\sqrt{3}$ . Αν η φασική τάση του δικτύου υπολογίζεται για 230 V, τα τυλίγματα του



Σχ. 2.7n  
Συνδεσμολογία D/Y σε ασύμμετρη φόρτιση  $(-I_2, 0, 0)$ .

πρωτεύοντος πρέπει να υπολογιστούν για τάση ίση με  $\sqrt{3} \cdot 230 \approx 400$  V. Ανάλογα θα είναι αυξημένες οι μονώσεις του πρωτεύοντος.

β) Αύξηση της διατομής των αγωγών του δευτερεύοντος. Το δευτερεύον είναι συνδεμένο σε αστέρα: το φασικό ρεύμα συμπίπτει με το πολικό ρεύμα ( $I_p \equiv I_L$ ). Οπότε, οι διατομές των αγωγών του δευτερεύοντος θα είναι αυξημένες κατά  $\sqrt{3}$ .

γ) Παρουσία του ουδέτερου αγωγού στο δευτερεύον. Οι φάσεις του δευτερεύοντος είναι συνδεμένες σε αστέρα. Οπότε είναι απαραίτητη η παρουσία του ουδέτερου αγωγού. Έτσι οι αγωγοί του δευτερεύοντος αυξάνονται σε τέσσερεις.

### 3) Αστέρας-Αστέρας (Y/Y).

Στο σχήμα 2.7θ δίδεται η συνδεσμολογία αστέρα-αστέρα (Y/Y). Η συνδεσμολογία αυτή λειτουργεί, κανονικά, σε ασύμμετρη φόρτιση και χρησιμοποιείται σε εφαρμογές στο πεδίο υψηλής τάσεως.

### 4) Αστέρας-Τρίγωνο (Y/D).

Στο σχήμα 2.7ι, δίδεται η συνδεσμολογία αστέρα-τρίγωνο. Η συνδεσμολογία αυτή λειτουργεί, κανονικά, σε ασύμμετρη φόρτιση και χρησιμοποιείται σε εφαρμογές στο πεδίο υψηλής τάσεως.

### 5) Αστέρας-Τεθλασμένος Αστέρας (Y/Z).

Στο σχήμα 2.7ια, δίδεται η συνδεσμολογία αστέρα-τεθλασμένου αστέρα.

Στην συνδεσμολογία αυτή κάθε φάση στο δευτερεύον αποτελείται από δύο τυλίγματα και κάθε γραμμή του φορτίου τροφοδοτείται από τα τυλίγματα δύο φάσεων. Η συνδεσμολογία αυτή προσφέρει αρκετά πλεονεκτήματα όπως:

1) Ομαλή λειτουργία σε ασύμμετρη φόρτιση.

2) Δυνατότητα εξυπηρετήσεως των **μεικτών δικτύων**<sup>4</sup>, αλλά είναι σχετικά ακριβή στην κατασκευή.

### 2.7.2 Χρήση των μετασχηματιστών στις πλεκτρικές εγκαταστάσεις πλοίων.

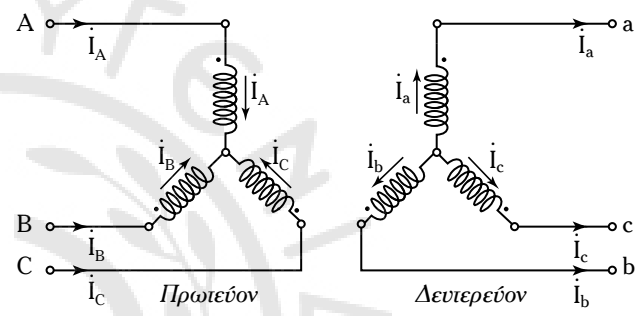
Η παραγωγή της πλεκτρικής ενέργειας στα εμπορικά πλοία γίνεται μέσω τριφασικών γεννητριών με τάσεις 380/220 V, 50 Hz (ευρωπαϊκού τύπου) ή 440,450/110, 127 V, 60 Hz (αμερικανικού τύπου).

Υπάρχουν συσκευές όμως, οι οποίες λειτουργούν σε διαφορετική τάση από αυτή που παράγεται από τις γεννήτριες πλοίων. Όταν είναι ανάγκη να τροφοδοτη-

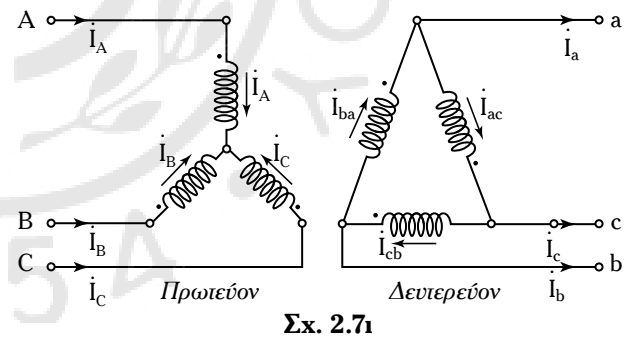
θούν με τάση μικρότερη από την τάση εξόδου των γεννητριών χρησιμοποιούνται M/S υποβιβαστές τάσεως.

Όταν τα πλεκτρικά δίκτυα πλοίων περιλαμβάνουν μονοφασικά φορτία, η τροφοδοσία τους επιτυγχάνεται μέσω των M/S. Αυτά συνδέονται μεταξύ των δύο φάσεων του δευτερεύοντος των M/S. Αν επιλέγει η κατάλληλη συνδεσμολογία των τυλίγμάτων ενός M/S (όπως αναφερθήκαμε στις συνδεσμολογίες των τριφασικών M/S), τότε ελαχιστοποιούνται τα προβλήματα που δημιουργούν οι μονοφασικές συσκευές στο δίκτυο, όπως η ασυμμετρία φορτίσεως μεταξύ των τριών φάσεων.

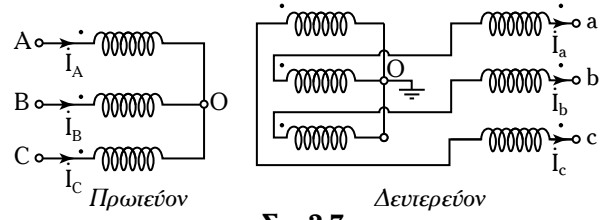
Οι τριφασικοί M/S υποβιβασμού τάσεως χρησιμοποιούνται για την τροφοδοσία του συστήματος



Σχ. 2.7θ  
Συνδεσμολογία Y/Y.



Σχ. 2.7ι  
Συνδεσμολογία Y/D.



Σχ. 2.7ια  
Συνδεσμολογία αστέρας-τεθλασμένος αστέρας (Y/Z).

<sup>4</sup> Μεικτά δίκτυα είναι τα δίκτυα κινήσεως και φωτισμού.

φωτισμού, το οποίο αποτελεί μία μονοφασική διάταξη χαμπλότερης τάσεως από εκείνη της παραγωγής. Οι τριφασικοί M/Σ 440/220 V οι οποίοι προορίζονται για το σύστημα φωτισμού, συνήθως αποτελούνται από τρεις μονοφασικούς, ξεχωριστούς M/Σ, οι οποίοι συνδέονται για να σχηματίσουν μία διάταξη 3-φασεων. Αυτό επιτρέπει την εύκολη αντικατάσταση ενός μονοφασικού M/Σ αν εμφανιστεί κάποιο σφάλμα. Μία εναλλακτική λύση είναι να χρησιμοποιηθεί ένας 3-φασικός M/Σ με τα τυλίγματά του τοποθετημένα σε έναν κοινό μαγνητικό πυρήνα. Αυτός ο τύπος M/Σ πρέπει να απομονώθει εντελώς στην περίπτωση ενός σφάλματος σε μία μόνο φάση.

Όταν ένα πλοίο έχει **δίκτυα υψηλής τάσεως**<sup>5</sup>, τότε οι γεννήτριες πλοίων παράγουν τάσεις επιπέδου 3,3 kV, 6,6 kV ή και 11 kV.

Σε αυτές τις περιπτώσεις είναι απαραίτητη η παρουσία των τριφασικών M/Σ για την τροφοδότηση φορτίων, τα οποία λειτουργούν με χαμπλότερη τάση από εκείνη της παραγωγής.

Στις πλεκτικές εγκαταστάσεις πλοίων, οι οποίες διαθέτουν δίκτυα υψηλής τάσεως η παρουσία των M/Σ είναι ευεργετική, γιατί λόγω της σύνθετης αντιστάσεως τους περιορίζεται η τιμή των ρευμάτων βραχυκύκλωσεως σε δόλη την εγκατάσταση.

Συνήθως στις πλεκτικές εγκαταστάσεις πλοίων, όπου χρησιμοποιούνται τριφασικοί M/Σ, η συνδεσμολογία των τυλίγματων τους είναι: D/Y ή D/D.

Σημειώνομε ότι για διαφορετικούς λόγους, όπως περιορισμοί βάρους και όγκου ή και για κρίσιμα φορτία, τα οποία απαιτούν τροφοδότηση απευθείας από τις γεννήτριες πλοίων, δεν συνηθίζεται η παράλληλη λειτουργία των M/Σ.

Οι νυογνόμωνες δίνουν οδηγίες, με βάση τις οποίες οι M/Σ πρέπει να καλύπτουν συγκεκριμένες διατάξεις. Αυτές αναφέρονται στον χώρο όπου θα εγκατασταθούν, στον επαρκή εξαερισμό τους, στην αποφυγή βραχυκύκλωμάτων τους και στην απαίτηση της διπλής τους παρουσίας για λόγους ασφαλείας. Στη συγκεκριμένη διάταξη πρέπει να αποφευχθεί η παράλληλη λειτουργία τους.

Οι M/Σ οι οποίοι χρησιμοποιούνται στους χώρους ενδιαιτήσεως πρέπει να είναι ξηρού τύπου με φυσική ψύξη. Οι M/Σ, οι οποίοι χρησιμοποιούνται για την εκκίνηση μεγάλης ισχύος κινητήρων θα πρέπει να είναι διπλού τυλίγματος, με δύο ξεχωριστά τυλίγματα στο δευτερεύον.

<sup>5</sup> Δίκτυα υψηλής τάσεως σε εμπορικά πλοία θεωρούνται αυτά, στα οποία το επίπεδο της τάσεως είναι μεγαλύτερο των 1.000 V.

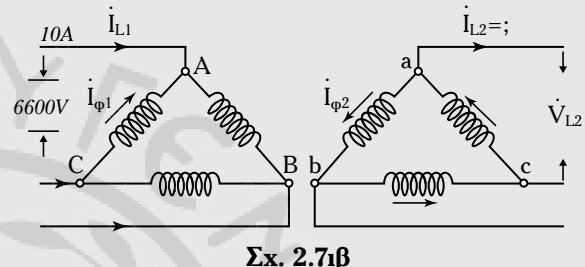
### - Λυμένες ασκήσεις.

#### Άσκηση 1.

Τριφασικός M/Σ, υποβιβαστής τάσεως, συνδέεται σε δίκτυο τάσεως 6,6 kV και απορροφά ρεύμα 10 A. Να υπολογίσετε την πολική τάση στο δευτερεύον, τα ρεύματα γραμμών στο δευτερεύον, για τις συνδεσμολογίες: (1) D/D, (2) Y/D και (3) D/Y. Ο λόγος σπειρών είναι 12.

#### Λύση.

1) Συνδεσμολογία D/D (σχ. 2.7iβ).



Ισχύει ότι η φασική τάση ισούται με την πολική τάση στη σύνδεση σε τρίγωνο.

Φασική τάση πρωτεύοντος:

$$V_{1P} = V_{IL} = 6.600 \text{ V.}$$

Πολική τάση δευτερεύοντος:

$$V_{2P} = V_{2L} = V_{1P} \frac{V_2}{K} = \frac{6.600}{12} = 550 \text{ V.}$$

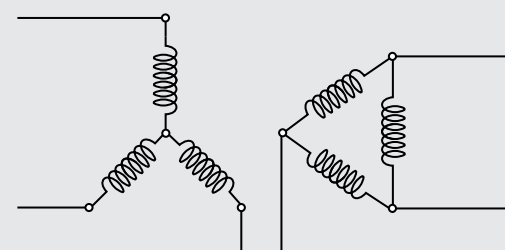
Φασικό ρεύμα πρωτεύοντος:

$$I_{1P} = \frac{I_{IL}}{\sqrt{3}} = \frac{10}{\sqrt{3}} = 5,733 \text{ A.}$$

Πολικό ρεύμα δευτερεύοντος:

$$I_{2L} = \sqrt{3} \cdot I_{2P} = \frac{\sqrt{3} \cdot I_{1P} \cdot n_1}{n_2} = \sqrt{3} \cdot 5,733 \cdot 12 = 120 \text{ A.}$$

2) Συνδεσμολογία Y/D (σχ. 2.7iγ).



Σχ. 2.7iγ

Φασική τάση πρωτεύοντος:

$$V_{1P} = \frac{V_{1L}}{\sqrt{3}} = \frac{6.600}{\sqrt{3}} \text{ V.}$$

Πολική τάση δευτερεύοντος:

$$V_{2L} = V_{2P} = V_{1P} \cdot \frac{n_2}{n_1} = \frac{6.000}{\sqrt{3}} \cdot \frac{1}{12} = 317,5.$$

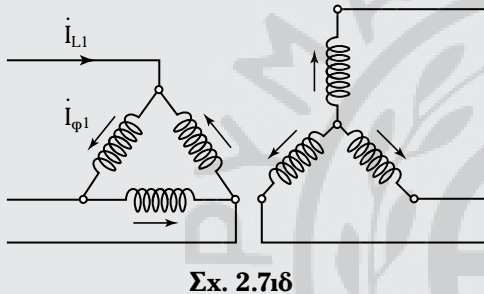
Φασικό ρεύμα πρωτεύοντος:

$$I_{1P} = I_{1L} = 10 \text{ A.}$$

Πολικό ρεύμα δευτερεύοντος:

$$I_{2L} = \sqrt{3} I_{2P} = \sqrt{3} \cdot I_{1P} \cdot \frac{n_1}{n_2} = \sqrt{3} \cdot 10 \cdot 12 = 208 \text{ A.}$$

γ) Συνδεσμολογία D/Y (οχ. 2.7ιδ).



Φασική τάση πρωτεύοντος:

$$V_{1P} = V_{1L} = 6.600 \text{ V.}$$

Πολική τάση δευτερεύοντος:

$$V_{2L} = \sqrt{3} V_{2P} = \sqrt{3} \cdot \frac{n_2}{n_1} = \sqrt{3} \cdot 6.600 \cdot \frac{1}{12} = 952,6 \text{ V.}$$

Φασικό ρεύμα πρωτεύοντος:

$$I_{1P} = \frac{I_{1L}}{\sqrt{3}} = \frac{10}{\sqrt{3}} \text{ A}$$

Πολικό ρεύμα δευτερεύοντος:

$$I_{2L} = I_{2P} = I_{1P} \cdot \frac{n_1}{n_2} = \frac{10}{\sqrt{3}} \cdot 12 = 69,3 \text{ A.}$$

## Άσκηση 2.

Τριφασικός M/Σ έχει τα τυλίγματα του πρωτεύοντος συνδεμένα σε τρίγωνο, ενώ τα τυλίγματα του δευτερεύοντος σε αστέρα. Η πολική τάση του πρωτεύοντος είναι 22.000 V, ενώ του δευτερεύοντος είναι 400 V.

Στον M/Σ συνδέομε ένα ισορροπημένο σύστημα φορτίων με συντελεστή ισχύος 0,8 επαγγ.. Το πο-

λικό ρεύμα στο πρωτεύοντος είναι 5 A. Να υπολογίσετε το ρεύμα στο κάθε τύλιγμα του πρωτεύοντος και του δευτερεύοντος. Να βρείτε τα kW που παρέχει στο φορτίο ο M/Σ.

## Λύση.

Πρωτεύοντον συνδεμένο σε D.

$$V_{1p} = V_{1L} = 22.000 \text{ V.}$$

Δευτερεύοντον σε Y.

$$V_{2p} = \frac{V_{2L}}{\sqrt{3}} = \frac{400}{\sqrt{3}} = 231 \text{ A.}$$

Λόγος μετασχηματισμού.

$$K = \frac{V_{2p}}{V_{1p}} = \frac{231}{22.000} = \frac{21}{2.000}.$$

Στο πρωτεύοντον.

$$I_{1p} = 5 \text{ A.}$$

Φασικό ρεύμα στο πρωτεύοντον:

$$I_{1p} = \frac{I_{1L}}{\sqrt{3}} = \frac{5}{\sqrt{3}} = 2,887 \text{ A.}$$

Στο δευτερεύοντον.

$$I_{2p} = \frac{I_{1L}}{K} = \frac{2,887}{21/2.000} = 275 \text{ A.}$$

Είναι:  $I_{2p} = I_{2L} = 275 \text{ A.}$

Η ισχύς στην έξοδο του M/Σ:

$$P_{out} = \sqrt{3} V_L I_L \sin \varphi_L, \quad V_L = 400 \text{ V}, \quad I_p = 275 \text{ A},$$

$$\sin \varphi_L = 0,8, \quad P_{out} = \sqrt{3} \cdot 400 \cdot 275 \cdot 0,8 = 15.242 \text{ W.}$$

## Άσκηση 3.

Τριφασικός M/Σ 100 kVA, 50 Hz, 3.300 / 400 V έχει τα τυλίγματα υψηλής τάσεως συνδεμένα σε τρίγωνο, ενώ τα τυλίγματα χαμηλής τάσεως είναι συνδεμένα σε αστέρα. Η ωμική αντίσταση ανά φάση των τυλιγμάτων υψηλής τάσεως είναι  $3,6 \Omega$ , ενώ των τυλιγμάτων χαμηλής τάσεως  $0,02 \Omega$ . Να υπολογίσετε τις απώλειες πυρήνα στην κανονική τάση όταν η απόδοση πλήρους φορτίου είναι 95,8% με συντελεστή ισχύος 0,8 επαγγ..

## Λύση.

Η  $P_{out}$  στο πλήρες φορτίο είναι:

$$P_{\text{out}} = (\text{kVA}) \cdot \Sigma I = 100 \cdot 0,8 = 80 \text{ kW}.$$

Η απόδοση είναι:  $\eta = 0,958$ .

$$\text{Η ισχύς εισόδου είναι: } P_{\text{in}} = \frac{P_{\text{out}}}{\eta} = \frac{80}{0,958} = 83,5.$$

$$\text{Ισχύει: } P_{\text{in}} = P_{\text{out}} + P_{\ell}$$

όπου  $P_{\ell}$  οι συνολικές απώλειες.

$$\text{Είναι: } P_{\ell} = P_{\text{in}} - P_{\text{out}} = 83,5 - 80 = 3,5 \text{ kW}.$$

Λόγος μετασχηματισμού:

$$\frac{V_{(\text{Y.T.})P}}{V_{(\text{X.T.})P}} = \frac{3.300}{400} = \frac{33\sqrt{3}}{4}.$$

Η ισοδύναμη σύνθετη αντίσταση ανηγμένη στην πλευρά XT.

$$\begin{aligned} R'' &= R_{(\text{X.T.})} + \frac{R_{(\text{X.T.})}}{K^2} = \\ &= 0,02 + 3,5 \cdot \frac{4^2}{(33\sqrt{3})^2} = 0,037 \Omega. \end{aligned}$$

Το ρεύμα της φάσεως στην πλευρά της XT είναι:

$$\begin{aligned} I_{(\text{X.T.})P} &= \frac{\text{ονομαστικό (kVA)} \cdot 1.000}{3 \cdot V_{(\text{X.T.})P}} = \\ &= \frac{100 \cdot 1.000}{3 \cdot \frac{400}{\sqrt{3}}} = 144,1 \text{ A} \end{aligned}$$

Συνολικές απώλειες χαλκού:

$$3(I_{\text{X.T.}})^2 \cdot R'' = 3 \cdot (144,1)^2 \cdot 0,037 = 2,3 \text{ kW}.$$

$$\text{Απώλειες πυρήνα} = \text{Συνολικές απώλειες} - \text{απώλειες χαλκού} = 3,5 - 2,3 = 1,2 \text{ kW}.$$

#### Άσκηση 4.

Τριφασικός M/Σ 120 kVA, 6.000 / 400 V, 50 Hz, Y/Y έχει απώλειες πυρήνα 1.600 W. Απαιτείται η μέγιστη απόδοση στα  $\frac{3}{4}$  του πλήρους φορτίου. Να υπολογίσετε την απόδοση του M/Σ:

1) Στο πλήρες φορτίο υπό συντελεστή ισχύος 0,8 και

2) να υπολογίσετε τη μέγιστη απόδοση για συντελεστή ισχύος ίσο με τη μονάδα.

**Λύση.**

$$\text{Απώλειες πυρήνα} = 1.600 \text{ W}.$$

Απώλειες χαλκού στα  $\frac{3}{4}$  του πλήρους φορτίου = απώλειες πυρήνα.

$$\text{Απώλειες πυρήνα} = 1,8 \text{ kW}.$$

Απώλειες χαλκού στο πλήρες φορτίο:

$$1.800 \cdot \left( \frac{4}{3} \right)^2 = 3,200 \text{ W} = 3,2 \text{ kW}.$$

$$1) P_{(\text{out})x.\varphi.} = 120 \cdot 0,8 = 96 \text{ kW}$$

$$P_{(\text{in})x.\varphi.} = 96 + 1,8 + (3,2) = 101 \text{ kW}$$

$$\eta = \frac{96}{101} \cdot 100 = 95\%.$$

$$2) P_{(\text{out})\frac{3}{4}x.\varphi.} = 120 \cdot \frac{3}{4} \cdot 1 = 90 \text{ kW}$$

$$P_{\text{in}} = 90 + 1,8 + 1,8 = 93,6 \text{ kW}$$

$$\eta = \frac{90}{93,6} \cdot 100 = 96,15\%.$$

#### Άσκηση 5.

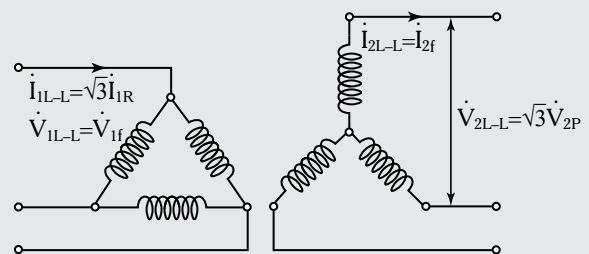
Τριφασικός M/Σ, 500 kVA, 50 Hz έχει λόγο πολικών τάσεων 30/11 kV. Η σύνδεση των τυλιγμάτων είναι D/Y. Η ανά φάση αντίσταση στην πλευρά YT είναι 35 Ω, ενώ στην πλευρά XT είναι 0,876 Ω αντίστοιχα. Οι απώλειες πυρήνα είναι 3.050 W.

Να υπολογίσετε την απόδοση στο πλήρες φορτίο και στο  $\frac{1}{2}$  του πλήρους φορτίου για:

- 1) Συντελεστή ισχύος ίσο με τη μονάδα, και
- 2) για συντελεστή ισχύος 0,8.

**Λύση.**

Η συνδεσμολογία είναι D/Y (σχ. 2.7ie).



Σχ. 2.7ie

$$\text{Ισχύει: } \frac{V_{1LL}}{V_{2LL}} = \frac{V_{1P}}{\sqrt{3}V_{2P}} = \frac{n_1}{\sqrt{3}n_2} = \frac{K}{\sqrt{3}}$$

$$\text{και } \frac{I_{ILL}}{I_{2LL}} = \frac{\sqrt{3}I_{IP}}{I_{2P}} = \frac{\sqrt{3}n_2}{n_1} = \frac{\sqrt{3}}{K}.$$

Ο λόγος μετασχηματισμού είναι:

$$K = \frac{\sqrt{3}V_{ILL}}{V_{2LL}} = \frac{\sqrt{3} \cdot 33.000}{11.000} = 3\sqrt{3}.$$

Η συνολική ωμική αντίσταση ανηγμένη στο δευτερεύον είναι:

$$\begin{aligned} R''/\text{φάση} &= R_2 + \frac{R_1}{K^2} = \\ &= 0,876 + \frac{35}{(3\sqrt{3})^2} = 2,172 \Omega. \end{aligned}$$

Το ρεύμα στο δευτερεύον ανά φάση είναι:

$$I_{2l} = \frac{50.000}{\sqrt{3} \cdot 11.000} = \frac{550}{11\sqrt{3}} A.$$

### Συνθήκες πλήρους φορτίου.

$$\begin{aligned} \text{Συνολικές απώλειες χαλκού στο πλήρες \\ φορτίο} &= 3 \cdot \left( \frac{500}{11\sqrt{3}} \right)^2 \cdot 2,172 = 4.490 W. \end{aligned}$$

$$\text{Απώλειες πυρήνα} = 3.050 W.$$

$$\begin{aligned} \text{Συνολικές απώλειες στο πλήρες φορτίο} &= \\ &= 4.490 + 3.050 = 7.540 W. \end{aligned}$$

$$\text{Ισχύς εξόδου με } (\Sigma I = 1) = 500 kW.$$

$$\eta_{n.\phi.} = \frac{500.000}{507.540} = 0,9851 \text{ ή } 98,51\%.$$

$$\begin{aligned} \text{Ισχύς εξόδου με } \Sigma I 0,8 \text{ επαγ.} &= \\ &= (500 kVA) \cdot 0,8 = 400 kW \end{aligned}$$

$$\eta_{n.\phi.} = \frac{400.000}{407.540} = 0,981 \text{ ή } 98,1\%.$$

Συνθήκες  $\frac{1}{2}$  του πλήρους φορτίου:

Ισχύς εξόδου με Συντελεστή Ισχύος ( $\Sigma I$ ) ίσο με την μονάδα = 250 kW.

$$P_{cu} = \left( \frac{1}{2} \right)^2 \cdot 4.490 = 1.122 W$$

Συνολικές απώλειες:

$$P_c = 3.050 + 1.122 = 4.172 W$$

$$\eta_{\frac{1}{2}n.\phi.} = \frac{250.000}{254.172} = 0,9835 \text{ ή } 98,35\%.$$

Ισχύς εξόδου με  $\Sigma I = 0,8$  επαγ. στο  $\frac{1}{2}$  του πλήρους φορτίου = 200 kW

$$\eta_{\frac{1}{2}n.\phi.} = \frac{200.000}{204.172} = 0,98 \text{ ή } 98\%.$$

### Άσκηση 6.

Τριφασικός M/S 100 kVA, 50 Hz, 3.300 / 400 V, D/Y έχει:

$$R_{(Y.T.)} = 3,5 \Omega/\text{φάση}, R_{(X.T.)} = 0,02 \Omega/\text{φάση}.$$

Να υπολογίσετε τις απώλειες πυρήνα του M/S στην ονομαστική τάση αν η απόδοση στις συνθήκες πλήρους φορτίου είναι 95,8% με συντελεστή ισχύος 0,8 επαγ..

### Λύση.

Ισχύς εξόδου στο πλήρες φορτίο:

$$P_{out} = 100 \cdot 0,8 = 80 kW, P_{in} = \frac{80}{0,958} = 83,5 kW$$

$$P_c = P_{in} - P_{out} = 83,5 - 80 = 3,5 kW.$$

Ο λόγος μετασχηματισμού:

$$\begin{aligned} K &= \frac{\text{τάση στο πρωτεύον/φάση}}{\text{τάση στο δευτερεύον/φάση}} = \\ &= \frac{3.300}{400/\sqrt{3}} = \frac{3.300 \cdot \sqrt{3}}{400} \end{aligned}$$

$$\text{και } K = \frac{33\sqrt{3}}{4}.$$

Είναι:

$$R'' = R_2 + \frac{R_1}{K^2} = 0,02 + \frac{3,5}{\left( \frac{33\sqrt{3}}{4} \right)^2} = 0,037 \Omega.$$

Το ρεύμα πλήρους φορτίου στο δευτερεύον είναι:

$$I_2 = \frac{100.000}{\sqrt{3} \cdot 400} = 144,1 A$$

$$P_c = 3I_2^2 R'' = 3(144,1)^2 \cdot 0,037 = 2,305 W.$$

$$\text{Είναι: } P_{in} = P_{out} + P_L = P_{out} + P_c + P_{cu}$$

$$\text{και: } P_c = 1.195 W.$$

### Άσκηση 7.

Ένα τριφασικό ισορροπημένο φορτίο 150 kVA, 1.000 V με συντελεστή ισχύος 0,866 επαγ., τροφοδοτείται με τάση 2.000 V, από σύστημα τριών μονοφασικών M/S (θεωρούνται ιδανικοί), οι οποίοι συνδέονται σε:

- 1) D/D,
- 2) V/V.

Να υπολογίσετε το ρεύμα σε κάθε τύλιγμα.

#### Λύση.

- 1) Σύνδεση D/D.

$$\sqrt{3}V_{LL}I_{LL} \text{συνφ} = 150.000 \text{ W}$$

$$\sqrt{3} \cdot 1.000 \cdot I_{LL} \cdot 0,866 = 150.000 \text{ W}$$

$$I_{LL} = 100 \text{ A.}$$

Λόγος μετασχηματισμού:

$$\frac{2.000}{1.000} = 2, \quad I_{IP} = \frac{57,7}{2} = 28,85 \text{ A.}$$

- 2) Σύνδεση V/V.

Στην περίπτωση αυτή ισχύει:  $I_{2LL} = I_{2P}$  οπότε:

$$\sqrt{3} \cdot 1.000 \cdot I_{2LL} \cdot 0,866 = 150.000 \text{ W}$$

$$\text{και} \quad I_{2LL} = 100 \text{ A,} \quad I_{IL} = 100 \cdot \frac{1}{2} = 50 \text{ A.}$$

### Άσκηση 8.

Τριφασικός M/S 1.000 kVA με λόγο μετασχηματισμού  $\frac{50.000}{10.000}$ , Y/D έχει τάση βραχυκυκλώματος 8% της κανονικής υπό συντελεστή ισχύος 0,45.

Το ρεύμα χωρίς φορτίο του M/S είναι 10% του κανονικού υπό συντελεστή ισχύος 0,12. Να υπολογίσετε την πτώση τάσεως και το βαθμό αποδόσεως του M/S στο πλήρες φορτίο και με συντελεστή ισχύος 1.

#### Λύση.

Αναφερόμαστε στο ανά φάση κύκλωμα του M/S.

Ο λόγος μετασχηματισμού ανά φάση είναι:

$$\frac{V_{IL}}{V_{2P}} = \frac{50.000}{\sqrt{3} \cdot 10.000} = 2,89$$

Το ρεύμα  $I_{2P}$  ανά φάση είναι:

$$I_{2L} = \frac{(\text{kVA})}{3V_{2L} \text{συνφ}_2} = \frac{100.000}{\sqrt{3} \cdot 10.000 \cdot 1} = 33,4 \text{ A.}$$

Η τάση βραχυκυκλώσεως ανηγμένη στο δευτερεύον είναι:  $V_{sc_2} = 0,08 \cdot 10.000 = 800 \text{ V.}$

Η συνολική σύνθετη αντίσταση ανηγμένη στο δευτερεύον είναι:

$$Z_{sc} = \frac{800}{33,4} = 24 \Omega .$$

$$\text{Είναι: } R_{sc} = Z_{sc} \text{συνφ}_{sc} = 24 \cdot 0,45 = 10,8 \Omega$$

$$X_{osc} = Z_{sc} n \mu \Phi_{sc} = 24 \cdot 0,89 = 21,36 \Omega.$$

Όταν  $\text{συνφ}_2 = 1$  τότε:

$$\begin{aligned} \Delta V\% &= 100 \frac{I_2}{V_2} (R_{sc} \text{συνφ}_2 + X_{osc} n \mu \Phi_2) + \\ &+ 50 \left( \frac{I_2}{V_2} \right)^2 (X_{osc} \text{συνφ}_2 - R_{sc} n \mu \Phi_2)^2 \\ &= 100 \frac{33,4}{10.000} \cdot 10,8 + 50 \cdot \left( \frac{33,4}{10.000} \right)^2 \cdot (21,36)^2 = 3,85\% \end{aligned}$$

Τότε η τάση στο δευτερεύον είναι (σχ. 2.48):

$$\begin{aligned} V_2 &= E_2 - \Delta V\% \cdot E_2 = \\ &= 10.000 - 0,0385 \cdot 10.000 = 9.615 \text{ V.} \end{aligned}$$

Για το ρεύμα χωρίς φορτίο έχομε:

$$I_\phi = 0,1 \cdot I_{IP} = 0,1 \cdot \frac{I_{2P}}{2,89} = 0,1 \cdot \frac{33,4}{2,89} = 1,156 \text{ A.}$$

Οι απώλειες πυρήνα είναι:

$$\begin{aligned} P_C &= \sqrt{3}V_{LL}I_\phi \text{συνφ}_C = \\ &= 1,73 \cdot 50.000 \cdot 1,156 \cdot 0,12 = 12.000 \text{ W.} \end{aligned}$$

Οι απώλειες χαλκού:

$$P_{CU} = 3R_{SC}I_{2P}^2 = 3 \cdot 10,8 \cdot (33,4)^2 = 36.144 \text{ W.}$$

Ο βαθμός αποδόσεως για  $\text{συνφ}_2 = 1$  είναι:

$$\begin{aligned} \eta &= \frac{3V_{2P}I_{2L} \text{συνφ}_2}{3V_{2P}I_{2P} \text{συνφ}_2 + P_C + P_{CU}} = \\ &= \frac{3 \cdot 10.000 \cdot 33,4 \cdot 1}{3 \cdot 10.000 \cdot 33,4 + 12.000 + 36.144} = 0,954. \end{aligned}$$

### Άσκηση 9.

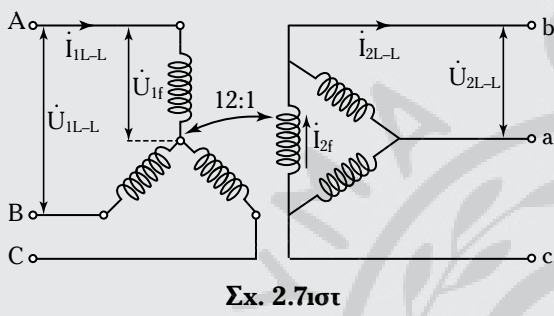
Ένας τριφασικός Μ/Σ αποτελείται από τρεις μονοφασικούς Μ/Σ, οι οποίοι χρονιμοποιούνται για τον υποβιβασμό της τάσεως 6.600 V. Αν το πρωτεύον ρεύμα γραμμής είναι 10 A, να υπολογίσετε: (1)  $V_{2LL}$ , (2)  $I_{2L-L}$  και (3)  $(kVA)_{out}$ .

Στις συνδεσμολογίες (1) Y/D και (2) D/Y.

Δίδεται ότι ο λόγος μετασχηματισμού είναι 12. Αμελούνται οι απώλειες.

#### Λύση.

1) Συνδεσμολογία Y/D (σχ. 2.7ιστ).



$$\text{Είναι: } V_{1L} = \frac{6.600}{\sqrt{3}}$$

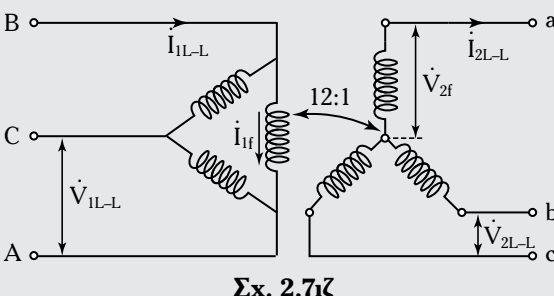
$$V_{2LL} = V_{2P} = \frac{6.600}{\sqrt{3} \cdot 12} = 317,55 \text{ V}$$

$$I_{2P} = 10 \cdot 12 = 120 \text{ A}$$

$$I_{2LL} = 120 \cdot \sqrt{3} = 207,8 \text{ A}$$

$$(kVA)_{out} = \sqrt{3} \cdot \frac{6.600}{\sqrt{3} \cdot 12} \cdot 120 \cdot \sqrt{3} \cdot \frac{1}{1.000} = \\ = 66\sqrt{3} = 114,3$$

2) Συνδεσμολογία D/Y (σχ. 2.7ιζ).



$$I_{2P} = \frac{10}{\sqrt{3}} \text{ A}, \quad I_{2LL} = \frac{12 \cdot 10}{\sqrt{3}} = 62,28 \text{ A},$$

$$V_{2P} = \frac{6.600}{12} \text{ V}, \quad V_{2LL} = \frac{6.600 \cdot \sqrt{3}}{12} = 925,6 \text{ V}$$

$$3) (kVA)_{out} = \sqrt{3} \cdot \frac{6.600 \cdot \sqrt{3}}{12} \cdot \frac{110}{\sqrt{3}} \cdot \frac{1}{1.000} = 114,3$$

### Άσκηση 10.

Τα τεχνικά χαρακτηριστικά ενός τριφασικού Μ/Σ είναι τα εξής:  $S_{ov} = 600 \text{ kVA}$ ,  $V_{1ov} = 10 \text{ kV}$ ,  $V_{2ov} = 400 \text{ kV}$ ,  $f = 50 \text{ Hz}$ ,  $V_{sc} \% = 4,8\%$ ,  $P_c \% = 0,48\%$ ,  $P_{sc} \% = 1,28\%$ .

Να υπολογίσετε:

1) Την πτώση τάσεως στο δευτερεύον όταν ο Μ/Σ περνάει από τη λειτουργία χωρίς φορτίο στο 75% του πλήρους φορτίου.

2) Την απόδοση του Μ/Σ όταν λειτουργεί στο 75% του πλήρους φορτίου και το ρεύμα στο δευτερεύον, το οποίο αντιστοιχεί στη μέγιστη απόδοση του Μ/Σ.

#### Λύση.

1) Το ονομαστικό ρεύμα στο δευτερεύον του Μ/Σ είναι:

$$I_{2ov} = \frac{S_{ov}}{\sqrt{3}V_{2ov}} = \frac{600 \cdot 10^3}{400} = 866 \text{ A.}$$

Στη λειτουργία του 75% του πλήρους φορτίου, το ρεύμα στο δευτερεύον είναι:

$$I_2 = 0,75 \cdot 866 = 650 \text{ A.}$$

Υπολογισμός των μεγεθών:  $V_{2sc}$ ,  $Z_{2sc}$ ,  $R_{2sc}$  και  $X_{o2sc}$

$$V_{2sc} = \frac{1}{\sqrt{3}} \cdot \frac{V_{sc} \% \cdot V_{2ov}}{100} = \frac{4,8 \cdot 400}{\sqrt{3} \cdot 100} = 11,1 \text{ V}$$

$$Z_{2sc} = \frac{V_{sc}}{I_{2ov}} = \frac{11,1}{866} = 12,8 \cdot 10^{-3} \Omega$$

$$R_{2sc} = \frac{P_{sc} \% \cdot S_{2ov}}{3 \cdot 100 \cdot I_{2ov}^2} = \frac{1,28 \cdot 600 \cdot 10^3}{3 \cdot 100 \cdot 866^2} = 3,4 \cdot 10^{-3} \Omega$$

$$X_{o2sc} = \sqrt{(Z_{2sc})^2 - (R_{2sc})^2} = \\ = \sqrt{(12,8 \cdot 10)^2 - (3,4 \cdot 10^{-3})^2} = 12,3 \cdot 10^{-3} \Omega.$$

Η πτώση τάσεως υπολογίζεται ως εξής:

$$|\Delta V| = \sqrt{3} I_2 (R_{2sc} \sigma v \varphi + X_{o2sc} \eta \mu \varphi) = 13,4 \text{ V.}$$

2) Η ισχύς την οποία απορροφούν οι καταναλώσεις είναι:

$$P_2 = \sqrt{3} V_2 I_2 \sin \varphi = \sqrt{3} \cdot (400 - 13,4) \cdot 650 \cdot 0,6 = 261,1 \text{ kW}$$

Οι απώλειες πυρήνα είναι:

$$P_c = \frac{P_c \% \cdot S_{ov}}{100} = \frac{0,48 \cdot 600}{100} = 2,88 \text{ kW.}$$

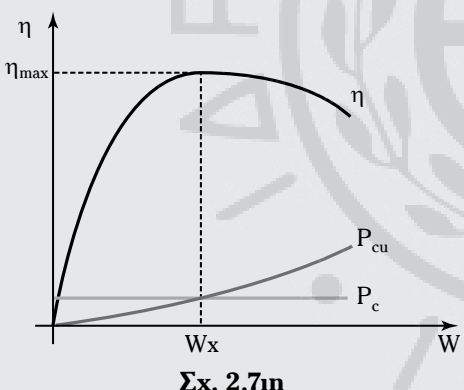
Οι απώλειες χαλκού είναι:

$$P_{cu} = 3 I_2^2 R_{2sc} = 3 \cdot 650^2 \cdot 3,4 \cdot 10^{-3} = 4,3 \text{ kW.}$$

Η απόδοση του M/S στο 75% του πλήρους φορτίου είναι:

$$\begin{aligned} \eta \% &= \frac{P_2}{P_2 + P_c + P_{cu}} \cdot 100 = \\ &= \frac{261,1}{261,1 + 2,88 + 4,3} \cdot 100 = 97,3\%. \end{aligned}$$

Μέγιστη απόδοση έχουμε όταν οι απώλειες πυρήνα εξισώνονται με τις απώλειες χαλκού. Η μέγιστη απόδοση του M/S απεικονίζεται στο σχήμα 2.7in:



Σχ. 2.7in

Έχομε:

$$I_{2x} = W_x I_{2ov} = \sqrt{\frac{P_c \%}{P_{sc} \%}} \cdot I_{2ov} = \sqrt{\frac{0,48}{1,28}} \cdot 866 = 530 \text{ A.}$$

## 2.8 Συνθήκες παραλληλού μονοφασικών M/S.

Η παράλληλη σύνδεση, γενικά, των M/S είναι αναγκαία για δύο, κυρίως, λόγους:

- 1) Για την κάλυψη της αυξήσεως του φορτίου σε υπάρχουσα εγκατάσταση, και
- 2) για την απόκτηση εφεδρείας σε μια εγκατάσταση

σε περίπτωση, κατά την οποία υπάρχει ευπαθές φορτίο για το οποίο δεν επιτρέπονται διακοπές πλεκτροδοτήσεως (αύξηση της αξιοποιησίας του συστήματος).

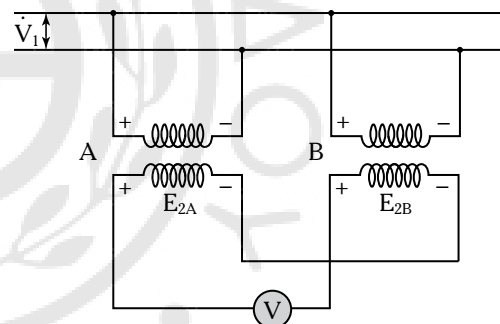
Για την παράλληλη λειτουργία των μονοφασικών M/S πρέπει να ικανοποιούνται οι εξής συνθήκες:

- 1) Οι στιγμιαίες πολικότητες των ακροδεκτών των δευτερευόντων, τα οποία πρόκειται να συνδεθούν πρέπει να είναι ίδιες.

Η περίπτωση αυτή είναι παρόμοια με εκείνη της παράλληλης συνδέσεως πλεκτρικών στοιχείων, όταν συνδέεται ο θετικός πόλος ενός στοιχείου με τον αντίστοιχο θετικό πόλο του επόμενου στοιχείου και του αρνητικού πόλου του πρώτου στοιχείου με τον αρνητικό πόλο του δεύτερου στοιχείου.

Στην αντίθετη περίπτωση οι δύο πλεκτρικές πηγές βραχυκυκλώνονται. Στην περίπτωση των M/S θα κυκλοφορήσουν ισχυρά ρεύματα βραχυκυκλώσεως στο πρωτεύον και το δευτερεύον, με αποτέλεσμα την καταστροφή των τυλιγμάτων.

Η ταυτότητα της πολικότητας των δύο, παράλληλα, συνδεμένων M/S ελέγχεται με την πειραματική διάταξη του σχήματος 2.8a.



Σχ. 2.8a

Πειραματική διάταξη για τον έλεγχο της ταυτότητας της στιγμιαίας πολικότητας των δευτερευόντων.

Συνδέονται τυχαία δύο ακροδέκτες των δευτερευόντων τυλιγμάτων των δύο M/S, μέσω ενός βολτομέτρου. Αν η ένδειξη του βολτομέτρου είναι μηδενική, τότε η σύνδεση των ακροδεκτών έγινε κανονικά. Στη συνέχεια αφαιρείται και συνδέονται μεταξύ τους και οι υπόλοιποι δύο ακροδέκτες.

2) Οι ονομαστικές τάσεις των πρωτεύοντων τυλιγμάτων πρέπει να είναι μεταξύ τους ίσες. Επίσης, οι M/S θα πρέπει να έχουν τον ίδιο λόγο μετασχηματισμού, έτοις ώστε να ικανοποιείται και η συνθήκη της ισότητας των τάσεων μεταξύ των δευτερευόντων.

3) Οι επί τοις εκατό σύνθετες αντιστάσεις των M/S πρέπει να είναι ίσες.

4) Ο λόγος των ωμικών αντιστάσεων προς τις αντίστοιχες αντιδράσεις σκεδάσεως πρέπει να είναι ο ίδιος για τους  $M/\Sigma$ , οι οποίοι πρόκειται να λειτουργήσουν παράλληλα.

Το κύριο πρόβλημα, που σχετίζεται με την παράλληλη λειτουργία των  $M/\Sigma$ , είναι ο καθορισμός του τρόπου με τον οποίο διαμοιράζονται το φορτίο μεταξύ τους.

Ο τρόπος με βάσην τον οποίο γίνεται ο διαμοιρασμός του φορτίου μεταξύ των A και B  $M/\Sigma$  οι οποίοι λειτουργούν παράλληλα δίδεται από την ακόλουθη εξίσωση:

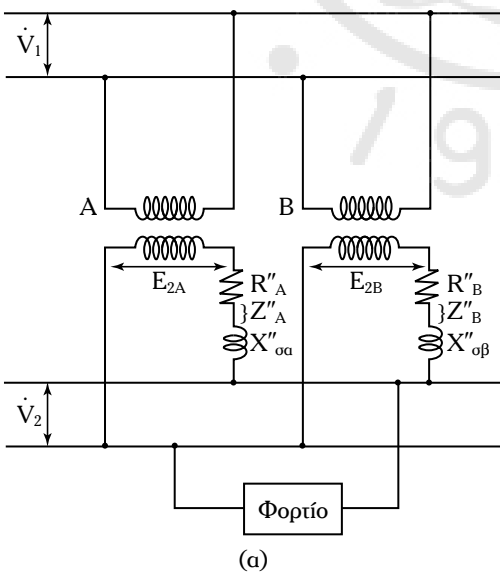
$$(kVA)_A = \frac{\left( \frac{kVA}{\%IZ} \right)_A}{\left( \frac{kVA}{\%IZ} \right)_A + \left( \frac{kVA}{\%IZ} \right)_B} \cdot (kVA)_{\text{ol}}.$$

Ομοίως:

$$(kVA)_B = \frac{\left( \frac{kVA}{\%IZ} \right)_B}{\left( \frac{kVA}{\%IZ} \right)_A + \left( \frac{kVA}{\%IZ} \right)_B} \cdot (kVA)_{\text{ol}}.$$

όπου:  $(kVA)_A = kVA$  του  $M/\Sigma$  A.

$(kVA)_B = kVA$  του  $M/\Sigma$  B.



(a)

$(kVA)_{\text{ol}} =$  είναι τα συνολικά kVA του συνδεδεμένου φορτίου.

### 2.8.1 Διαμοιρασμός φορτίου μεταξύ δύο μονοφασικών $M/\Sigma$ όταν οι τάσεις, χωρίς φορτίο, στα δευτερεύοντα τυλίγματα των $M/\Sigma$ είναι ίσες.

Στο σχήμα 2.8β(a) δίδονται δύο μονοφασικοί μετασχηματιστές συνδεδεμένοι παράλληλα, που τροφοδοτούν το ίδιο φορτίο, ενώ στο σχήμα 2.8β(b) δίδεται το ισοδύναμο κύκλωμα των  $M/\Sigma$  με κυκλωματικά στοιχεία ανηγμένα στο δευτερεύοντα.

Από το κύκλωμα (β) προκύπτει:

$$\dot{E}_2 = \dot{V}_2 + \dot{I}_A \dot{Z}_A'' \quad (2.66)$$

$$\dot{E}_2 = \dot{V}_2 + \dot{I}_B \dot{Z}_B'' \quad (2.67)$$

Και

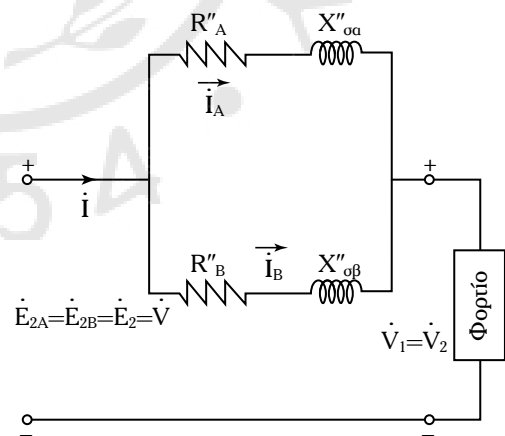
$$\dot{I}_A \dot{Z}_A'' = \dot{I}_B \dot{Z}_B'' \quad (2.68)$$

ή

$$\frac{\dot{I}_A}{\dot{I}_B} = \frac{\dot{Z}_B''}{\dot{Z}_A''}. \quad (2.69)$$

Η εξίσωση 2.69 γίνεται:

$$\frac{\dot{I}_A}{\dot{I}_A + \dot{I}_B} = \frac{\dot{Z}_B''}{\dot{Z}_A'' + \dot{Z}_B''}. \quad (2.70)$$



(b)

### Σχ. 2.8β

(a) Παράλληλη σύνδεση των  $M/\Sigma$  και (b) ισοδύναμο κύκλωμα με κυκλωματικά στοιχεία ανηγμένα στα δευτερεύοντα τυλίγματα των  $M/\Sigma$ .

Η συνολική σύνθετη αντίσταση είναι:

$$Z'' = \frac{\dot{Z}_A'' \cdot \dot{Z}_B''}{\dot{Z}_A'' + \dot{Z}_B''}. \quad (2.71)$$

Το ρεύμα, το οποίο απορροφά το φορτίο είναι:

$$\dot{I}_A + \dot{I}_B = I = \frac{\dot{V}}{Z''} = \frac{\dot{V}}{\frac{\dot{Z}_A'' \cdot \dot{Z}_B''}{\dot{Z}_A'' + \dot{Z}_B''}} \quad (2.72)$$

$$\dot{V} = \frac{\dot{Z}_A'' \cdot \dot{Z}_B''}{\dot{Z}_A'' + \dot{Z}_B''} \cdot \dot{I} \quad (2.73)$$

Όταν:  $\dot{E}_{2A} = \dot{E}_{2B} = \dot{E}_2 = \dot{V}$ .

Ισχύει:  $\dot{I}_A \dot{Z}_A'' = \dot{I}_B \dot{Z}_B'' = \dot{V}$  και  $\dot{I}_A Z''_A = \frac{\dot{Z}_A'' \cdot \dot{Z}_B''}{\dot{Z}_A'' + \dot{Z}_B''} \cdot \dot{I}$

και:  $\dot{I}_A = \frac{\dot{Z}_A''}{\dot{Z}_A'' + \dot{Z}_B''} \cdot \dot{I} \quad (2.74)$

$$\dot{I}_B = \frac{\dot{Z}_B''}{\dot{Z}_A'' + \dot{Z}_B''} \cdot \dot{I}. \quad (2.75)$$

Πολλαπλασιάζοντας και τα δύο μέλη των εξισώσεων 2.74 και 2.75 με την τάση  $\dot{V}$  προκύπτει:

$$\dot{I}_1 \dot{V} = \frac{\dot{Z}_B''}{\dot{Z}_A'' + \dot{Z}_B''} \cdot \dot{I} \cdot \dot{V}$$

ή  $(kVA)_A = \frac{\dot{Z}_A''}{\dot{Z}_A'' + \dot{Z}_B''} \cdot (kVA)_{o\lambda} \quad (2.76)$

και:  $(kVA)_B = \frac{\dot{Z}_B''}{\dot{Z}_A'' + \dot{Z}_B''} \cdot (kVA)_{o\lambda}. \quad (2.77)$

Διαιρώντας κατά μέλη τις εξισώσεις 2.76 και 2.77 προκύπτει:

$$\frac{(kVA)_A}{(kVA)_B} = \frac{\dot{Z}_B''}{\dot{Z}_A''}. \quad (2.78)$$

Το φορτίο σε (kVA) διαιρούται αντιστρόφως ανάλογα προς τις σύνθετες αντιστάσεις των M/S.

Η εξίσωση 2.76 γράφεται:

$$(kVA)_A = \frac{1}{\frac{\dot{Z}_A''}{\dot{Z}_A'' + 1}} \cdot (kVA)_{o\lambda} \quad (2.79)$$

απ' την οποία προκύπτει ότι ο διαιροφασμός του φορτίου εξαρτάται από το λόγο των συνθέτων αντιστάσεων των M/S.

### 2.8.2 Διαιροφασμός φορτίου μεταξύ δύο μονοφασικών M/S όταν οι τάσεις, χωρίς φορτίο, στα δευτερόλεπτα των M/S είναι άνισες.

Στο σχήμα 2.8γ δίδεται η συνδεσμολογία δύο μονοφασικών M/S σε παράλληλη λειτουργία, όταν οι τάσεις χωρίς φορτίο είναι άνισες. Σε αυτήν την περίπτωση οι M/S έχουν διαφορετικό λόγο μετασχηματισμού.

Θεωρήστε ότι  $\dot{V}_1$  είναι η τάση τροφοδοσίας στο πρωτεύον του M/S, και  $K_A, K_B$  οι λόγοι μετασχηματισμού των M/S A και B αντίστοιχα.

Αν  $\dot{E}_{2A}$  και  $\dot{E}_{2B}$  οι ΗΕΔ των δευτερευόντων τηλιγράτων, τότε ισχύει:

$$\dot{E}_{2A} = \frac{\dot{V}_1}{K_A} = \dot{V}_2 + \dot{I}_A \dot{Z}'' \quad (2.80)$$

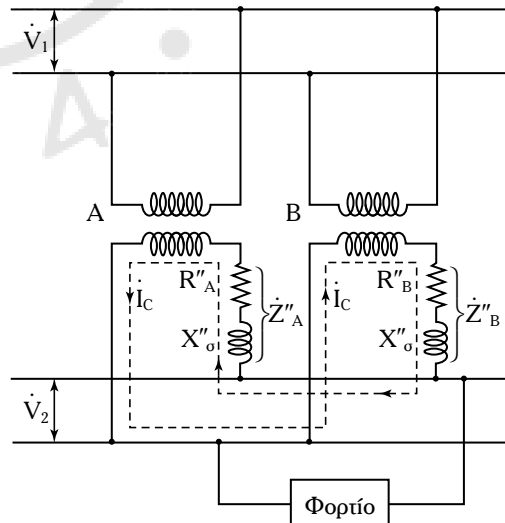
και  $\dot{E}_{2B} = \frac{\dot{V}_1}{K_B} = \dot{V}_2 + \dot{I}_B \dot{Z}''_B \quad (2.81)$

και  $\dot{V}_2 = \dot{I}_A \dot{Z}_L = (\dot{I}_A + \dot{I}_B) \cdot \dot{Z}_L \quad (2.82)$

όπου  $\dot{Z}_L$  η σύνθετη αντίσταση του φορτίου:

$$\dot{E}_{2A} = \dot{I}_A Z''_A = (\dot{I}_A + \dot{I}_B) \cdot \dot{Z}_L \quad (2.83)$$

$$\dot{E}_{2B} = \dot{I}_B Z''_B = (\dot{I}_A + \dot{I}_B) \cdot \dot{Z}_L \quad (2.84)$$



**Σχ. 2.8γ**

Παράλληλη λειτουργία δύο μονοφασικών M/S με διαφορετικό λόγο μετασχηματισμού.

αφαιρώντας κατά μέλη τις εξισώσεις 2.83 και 2.84 προκύπτει:

$$\dot{E}_{2A} - \dot{E}_{2B} = \dot{I}_A Z_A'' - \dot{I}_B Z_B''$$

$$\text{ή} \quad \dot{I}_A = \frac{(\dot{E}_{2A} - \dot{E}_{2B}) + \dot{I}_B Z_B''}{Z_A''}. \quad (2.85)$$

Η εξισωση 2.84 με βάση την εξισωση 2.85 γίνεται:

$$\dot{E}_{2B} = \dot{I}_B Z_B'' + \frac{(\dot{E}_{2A} - \dot{E}_{2B}) + \dot{I}_B Z_B''}{Z_A''} \cdot Z_L + \dot{I}_B Z_L \quad (2.86)$$

$$\text{ή} \quad \dot{I}_B \left( Z_B'' + Z_L + \frac{Z_B''}{Z_A''} \cdot Z_L \right) = \frac{\dot{E}_{2B} Z_A'' - (\dot{E}_{2A} - \dot{E}_{2B}) \cdot Z_L}{Z_A''}$$

$$\dot{I}_B = \frac{\dot{E}_{2B} Z_A'' - (\dot{E}_{2A} - \dot{E}_{2B}) \cdot Z_L}{Z_A'' \cdot Z_B'' + Z_L (Z_A'' + Z_B'')}. \quad (2.87)$$

Με τον ίδιο τρόπο είναι:

$$\dot{I}_A = \frac{\dot{E}_{2A} Z_B'' - (\dot{E}_{2A} Z_B'') \cdot Z_L}{Z_A'' \cdot Z_B'' + Z_L (Z_A'' + Z_B'')}. \quad (2.88)$$

Το ρεύμα που κυκλοφορεί στα δευτερεύοντα τυλίγματα, λόγω διαφορετικού λόγου μετασχηματισμού είναι:

$$\dot{I}_C = \frac{\dot{E}_{2A} - \dot{E}_{2B}}{Z_A'' + Z_B''}. \quad (2.89)$$

## 2.9 Συνθήκες παραλληλισμού.

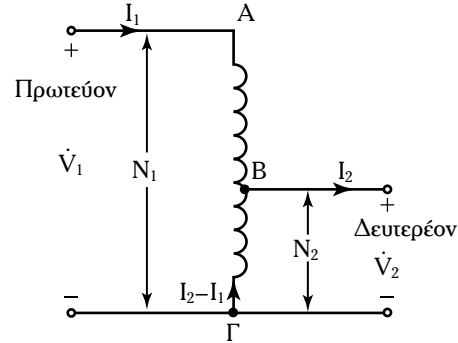
Οι τριφασικοί Μ/Σ για να λειτουργήσουν παράλληλα πρέπει να ικανοποιούνται οι εξής συνθήκες:

- 1) Να έχουν τις ίδιες τάσεις πρωτεύοντος και δευτερεύοντος τυλίγματος αντίστοιχα.
- 2) Να ανήκουν στην ίδια ομάδα συνδέσεως.
- 3) Να έχουν τις ίδιες τάσεις βραχυκυκλώσεως.
- 4) Ο λόγος των ονομαστικών ισχύων να μην είναι μεγαλύτερος του 1:3.

## 2.10 Ειδικές κατηγορίες Μ/Σ.

### 2.10.1 Αυτομετασχηματιστής.

Ο **αυτομετασχηματιστής** (ΑΜ/Σ) είναι ένας Μ/Σ, ο οποίος αποτελείται από ένα μόνο τύλιγμα και ένα μέρος του είναι κοινό στο πρωτεύον και στο δευτερεύον (σχ. 2.10α). Ο ΑΜ/Σ χρησιμοποιείται για μικρές τιμές του λόγου μετασχηματισμού ( $n_1 \approx n_2$ ) γιατί στην περίπτωση σφάλματος μπορεί στην πλευ-



**Σχ. 2.10α**  
Αυτομετασχηματιστής υποβιβασμού τάσεως.

ρά της καμπλής τάσεως να εφαρμόζεται η τάση του τυλίγματος υψηλής τάσεως. Ένας ΑΜ/Σ μπορεί να χρησιμοποιείται είτε ως υποβιβαστής τάσεως είτε ως ανυψωτής τάσεως αντίστοιχα.

Αν αμελήσουμε τις ωμικές πτώσεις τάσεως και το φαινόμενο της ροής σκεδάσεως στο τύλιγμα, τότε όταν η διάταξη του σχήματος 2.10α χρησιμοποιείται σαν Μ/Σ δύο τυλιγμάτων, ο λόγος μετασχηματισμού είναι:

$$K = \frac{n_1 - n_2}{n_2} = \frac{E_{AB}}{E_{BG}} = \frac{n_1}{n_2} - 1. \quad (2.90)$$

Όταν η διάταξη του σχήματος 2.10α, χρησιμοποιείται ως ΑΜ/Σ τότε ο λόγος μετασχηματισμού είναι:

$$K' = \frac{E_{AB} + E_{BG}}{E_{BG}} = \frac{E_{AG}}{E_{BG}} = \frac{n_1}{n_2}. \quad (2.91)$$

Από τις εξισώσεις 2.90 και 2.91, έχουμε:

$$K' = 1 + K. \quad (2.92)$$

Από την εξισωση 2.92, προκύπτει ότι ο λόγος μετασχηματισμού των δύο τυλιγμάτων είναι μεγαλύτερος στη συνδεσμολογία του ΑΜ/Σ.

### 1) Πλεονέκτημα φαινόμενης ισχύος στους ΑΜ/Σ.

Από τα τυλίγματα του ΑΜ/Σ δεν διέρχεται όλη η ισχύ, η οποία μεταφέρεται απ' τη μια πλευρά στην άλλη. Τα τυλίγματα του Μ/Σ όταν επανασυνδέθουν με τη συνδεσμολογία του ΑΜ/Σ, αυξάνεται η ονομαστική ικανότητα (φαινομένη ισχύ) της συσκευής.

Όταν ο ΑΜ/Σ (σχ. 2.10α), χρησιμοποιείται σαν Μ/Σ δύο τυλιγμάτων, η φαινομένη ισχύ είναι:

$$S_{M/S} = (V_1 - V_2) I_1 = (I_2 - I_1) V_2. \quad (2.93)$$

Για τον ΑΜ/Σ έχουμε:  $S_{AM/S} = V_1 I_1 = V_2 I_2$ .  $(2.94)$

$$\text{Άλλα είναι: } \frac{V_1 - V_2}{V_2} = K = \frac{I_2 - I_1}{I_1}$$

η οποία δίδει  $V_1 - V_2 = KV_2$ , και  $I_1 = \frac{1}{1+K} I_2$ .

Η εξίσωση 2.93, γίνεται:

$$S_{M/\Sigma} = \frac{K}{K+1} V_2 I_2 = \frac{K}{K+1} S_{AM/\Sigma} \quad (2.95)$$

$$\text{ή } S_{AM/\Sigma} = \left( \frac{1}{K} + 1 \right) S_{M/\Sigma} = \frac{n_1}{n_1 - n_2} S_{M/\Sigma}. \quad (2.96)$$

$$\text{Τελικά, είναι: } S_{AM/\Sigma} > S_{M/\Sigma}. \quad (2.97)$$

Από την εξίσωση 2.97, η φαινομένη ισχύς του AM/S είναι μεγαλύτερη από τη φαινομένη ισχύ του M/S δύο τυλιγμάτων.

## 2) Οικονομία χαλκού και σιδήρου στους AM/S.

Στους αγωγούς των τυλιγμάτων θεωρούμε σταθερή την πυκνότητα ρεύματος. Σ' αυτήν την περίπτωση η διατομή των αγωγών και το υλικό, που χρησιμοποιείται για την κατασκευή των τυλιγμάτων είναι ανάλογα του ρεύματος, που ρέει στους αγωγούς των τυλιγμάτων. Το βάρος του υλικού, που χρησιμοποιείται για την κατασκευή των τυλιγμάτων ενός AM/S και ενός M/S, για την ίδια φαινομένη ισχύ, είναι:

$$\begin{aligned} \frac{G_{AM/\Sigma}}{G_{M/\Sigma}} &= \frac{I_1(n_1 - n_2) + (I_2 - I_1)n_2}{I_1n_1 + I_2n_2} = \\ &= 1 - \frac{2I_1n_2}{2I_1n_1} = 1 - \frac{n_2}{n_1} = 1 - \frac{V_2}{V_1}. \end{aligned} \quad (2.98)$$

Ισχύει:  $I_1n_1 = I_2n_2$ .

όπου G το βάρος του υλικού. με το οποίο κατασκευάζονται τα τυλίγματα. Από την εξίσωση 2.98, έχουμε:

$$G_{M/\Sigma} - G_{AM/\Sigma} = \frac{1}{K'} G_{M/\Sigma}. \quad (2.99)$$

Αν  $\frac{1}{K'} = 0,1$ , τότε έχουμε 10% μείωση βάρους του χαλκού (υλικό των τυλιγμάτων), ενώ όταν  $\frac{1}{K'} = 0,9$ , τότε η αντίστοιχη μείωση του βάρους του υλικού είναι 90%.

Ο AM/S υπολογίζεται για μικρότερη ισχύ από την αντίστοιχη, την οποία προσφέρει στο φορτίο, οπότε και ο σιδηροπυρήνας θα είναι μικροτέρων διαστάσεων και βάρους (οικονομία σιδήρου).

Τελικά, τα **πλεονεκτήματα** των AM/S είναι:

1) Πλεονέκτημα φαινομένης ισχύος.

2) Οικονομία χαλκού.

3) Οικονομία σιδήρου.

4) Μικρές πτώσεις τάσεως. Λόγω του μικρότερου μήκους του χάλκινου αγωγού, του μοναδικού τυλίγματος, και της μικρότερης τιμής του ρεύματος του, οι ωμικές αντιστάσεις, οι αντιδράσεις σκεδάσεως και αντίστοιχα οι πτώσεις τάσεως είναι μειωμένες και

5) ο μεγαλύτερος βαθμός αποδόσεως. Επειδόν το βάρος του χαλκού και του σιδήρου και του αντίστοιχου ρεύματος είναι μειωμένο, οι αντίστοιχες απώλειες χαλκού και πυρήνα, είναι μειωμένες, οπότε ο βαθμός αποδόσεως είναι μεγάλος.

Τα **μειονεκτήματα** των AM/S είναι ότι:

1) Δεν υπάρχει γαλβανική απομόνωση του πρωτεύοντος από το το δευτερεύον και

2) δημιουργείται κίνδυνος πλεκτροπληξίας.

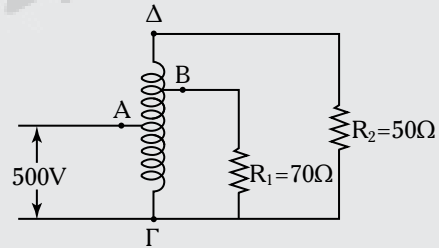
Ο AM/S χρησιμοποιείται, κυρίως, ως υποβιβαστής τάσεως για την εκκίνηση μεγάλων ασυγχρόνων κινητήρων και στη σύνδεση δύο τριφασικών συστημάτων διαφορετικών τάσεων, π.χ. 150/400 kV.

### - Λυμένες ασκήσεις.

#### Άσκηση 1.

Δίδεται ο ακόλουθος AM/S (σχ. 2.10β) ο οποίος τροφοδοτεί φορτία  $R_1 = 70\Omega$  και  $R_2 = 50\Omega$ . Έστω  $n_{A\Gamma} = 110$ ,  $n_{\Delta\Gamma} = 250$ ,  $n_{AB} = 60$  και  $n_{B\Delta} = 60$  ο αριθμός σπειρών των τημάτων AΓ, ΔΓ, AB και BΔ του τυλίγματος του AM/S, για τον οποίο αμελούμε τις απώλειες χαλκού και πυρήνα.

Να υπολογίσετε τα ρεύματα στους διάφορους κλάδους του κυκλώματος του AM/S.



**Σχ. 2.10β**

Είναι 500 V, η τάση τροφοδοσίας του AM/S.

#### Λύση.

Είναι:  $V_{A\Gamma} = 500 \text{ V}$ ,  $n_{A\Gamma} = 110$ .

Τάση ανά σπείρα  $500/110 = 4,54 \text{ V}$ .

Τάση στα άκρα του φορτίου  $50\Omega = N_{\Delta\Gamma} \cdot$  τάση ανά σπείρα  $= 250 \cdot 4,54 = 1.135\text{ V}$ .

Το ρεύμα στην αντίσταση των  $50\Omega$  είναι:

$$1.135 / 50 = 22,7\text{ A.}$$

Τάση στα άκρα της αντιστάσεως των  $70\Omega = N_{B\Gamma} \cdot$  τάση ανά σπείρα  $= 170 \cdot 4,54 = 771,8\text{ V}$ .

Ρεύμα στην αντίσταση  $R_i$ :  $771,8 / 70 = 11\text{ A.}$

Τα συνολικά kVA στην έξοδο του AM/Σ είναι:

$$(771,8 \cdot 11 + 1.135 \cdot 22,7) \approx 34\text{ kVA.}$$

Δεν λαμβάνομε υπόψη τις απώλειες χαλκού και πυρήνα στον AM/Σ, οπότε:

$$(kVA)_{in} = (kVA)_{out} = 34\text{ kVA.}$$

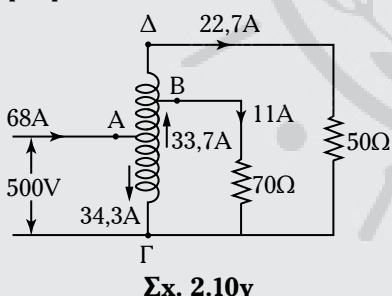
Το ρεύμα το οποίο παρέχει η πηγή τροφοδοσίας στον AM/Σ είναι:  $34.000 / 500 = 68\text{ A.}$

Το ρεύμα  $I_{B\Delta}$  στο τμήμα του τυλίγματος BΔ είναι:  $22,7\text{ A.}$

Το ρεύμα στο τμήμα του τυλίγματος AB είναι  $22,7 + 11 = 33,7\text{ A.}$

Το ρεύμα στο τμήμα του τυλίγματος AG είναι  $68 - 33,7 = 34,3\text{ A.}$

Στο σχήμα 2.10γ δίδονται οι φορές των αντιστοίχων ρευμάτων.



Σχ. 2.10γ

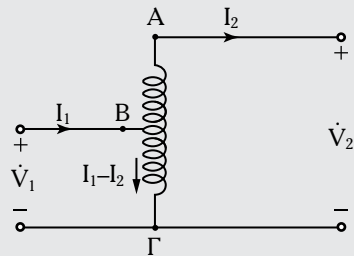
## Άσκηση 2.

Δίδεται ο ακόλουθος πραγματικός μονοφασικός M/Σ  $2.000 / 200\text{ V}, 20\text{ kVA}$  (σχ. 2.10δ), του οποίου οι απώλειες πυρήνα, όταν τροφοδοτείται με τάση  $2.000\text{ V}$  είναι  $120\text{ W}$ , ενώ οι απώλειες χαλκού στο πλήρες φορτίο είναι  $300\text{ W}$ . Ο M/Σ συνδέεται σαν AM/Σ ανυψωτής τάσεως. Στο τμήμα AB του τυλίγματος αντιστοιχεί τάση  $200\text{ V}$ , ενώ στο τμήμα BΓ τάση  $2.000\text{ V}$ . Να υπολογίσετε:

1) Την τάση στην πλευρά της χαμπλής τάσεως (XT) και στην πλευρά της υψηλής τάσεως (YT).

2) Τα kVA του AM/Σ και

3) την απόδοση στο πλήρες φορτίο με  $\Sigma I_2 = 0,8$  επαγ.. Η απόδοση του M/Σ δύο τυλιγμάτων είναι  $97,44\%$ .



Σχ. 2.10δ

## Λύση.

1) Είναι:  $V_1(\text{X.T.}) = 2.000\text{ V}$

$$V_2(\text{Y.T.}) = 2.000 + 200 = 2.200\text{ V.}$$

$$2) I_2 = \frac{20 \cdot 1.000}{200} = 100\text{ A}$$

$$I_1 - I_2 = 10\text{ A}, I_1 = 110\text{ A}$$

$$\text{kVA} = \frac{2.200 \cdot 100}{1.000} = 220 = \frac{2.200 \cdot 110}{1.000} = 220.$$

Όταν ο M/Σ των  $20\text{ kVA}$  δύο τυλιγμάτων συνδέεται ως AM/Σ, η φαινομένη ισχύς γίνεται  $220\text{ kVA}$ .

3) Οι συνολικές απώλειες είναι:  $120 + 300 = 420\text{ W}$ .

Η ισχύς εξόδου στο πλήρες φορτίο του AM/Σ είναι:  $2.200 \cdot 100 \cdot 0,8 = 176\text{ W}$ .

$$\text{Η απόδοση είναι: } n = 1 - \frac{420}{176 \cdot 420} = 99,76\%.$$

Η απόδοση του M/Σ δύο τυλιγμάτων είναι  $97,44\%$ . Όταν συνδέεται ως AM/Σ η απόδοση γίνεται  $99,76\%$ .

## 2.10.2 M/Σ μετρήσεων.

Οι M/Σ μετρήσεων είναι οι ακόλουθοι:

### 1) Ο M/Σ τάσεως.

Η σύνδεση ενός βολτομέτρου για μέτρηση μιας πυρήνα υψηλής τάσεως παρουσιάζει τις εξής δυσχέρειες:

1) Υψηλές τιμές αντιστάσεων σε σειρά με το βολτόμετρο.

2) Μεγάλες απορροφώμενες ισχύες.

3) Κινδύνους πλεκτροπληξίας για τον χρήστη.

Συμφέρει να μειωθεί η τιμή της τάσεως, η οποία πρέπει να μετρηθεί μέσω ενός M/S συγκεκριμένου και σταθερού λόγου μετασχηματισμού. Ένας τέτοιος M/S ονομάζεται **M/S τάσεως** [σχ. 2.10ε(α)].

Για να είναι ανεξάρτητος ο λόγος μετασχηματισμού από τις πτώσεις τάσεως στα τυλίγματα, πρέπει να ισχύουν τα ακόλουθα:

1) Ο M/S τάσεως να λειτουργεί, σχεδόν, στις συνθήκες χωρίς φορτίο. Οπότε, μεταξύ της τάσεως  $V_2$  (βολτομέτρου) και της τάσεως  $V_1$  (την οποία επιθυμούμε να μετρήσουμε) να ισχύει:

$$V_1 = \frac{n_1}{n_2} V_2.$$

2) Να περιοριστούν οι πτώσεις τάσεως στα τυλίγματα. Σ' αυτήν την περίπτωση, το τεχνικό ενδιαφέρον συγκεντρώνεται στις σύνθετες αντιστάσεις και στα ρεύματα, τα οποία κυκλοφορούν σ' αυτές:

α) Προκειμένου να μειωθούν οι τιμές των συνθέτων αντιστάσεων του πρωτεύοντος και του δευτερεύοντος, η μαγνητική σύνδεση των τυλιγμάτων κατασκευάζεται έτσι, ώστε να μειώνεται, σημαντικά, το φαινόμενο της ροής σκεδάσεως. Τα τυλίγματα κατασκευάζονται με μικρές αντιστάσεις.

β) Προκειμένου να μειωθούν οι πτώσεις τάσεως, στη σύνθετη αντίσταση σκεδάσεως του πρωτεύοντος, ο πυρήνας του M/S (ο M/S πρέπει να περιλαμβάνει και το ρεύμα μαγνητίσεως), ελασματοποιείται σε πολύ λεπτά ελάσματα, μεγάλης μαγνητικής διαπερατότητας, οπότε μειώνεται η μαγνητική του αντίσταση.

Η χαρακτηριστική καμπύλη μαγνητίσεως του M/S τάσεως πρέπει να είναι γραμμική στο σημείο λειτουρ-

γίας του, ώστε να αποκλείονται φαινόμενα μαγνητικού κορεσμού, τα οποία εισάγουν τη μη γραμμικότητα στη σχέση μεταξύ της τάσεως του πρωτεύοντος και του δευτερεύοντος τυλίγματος. Η μέγιστη τιμή της μαγνητικής επαγωγής πρέπει να είναι μειωμένη. Η σωστή επιλογή του μονωτικού υλικού των σπειρών των τυλιγμάτων του M/S παίζει σημαντικό ρόλο.

## 2) O M/S ρεύματος.

Ο M/S ρεύματος επιτρέπει τη μέτρηση μεγάλων τιμών ρεύματος. Το πρωτεύον τύλιγμα του M/S [σχ. 2.10ε(β)] συνδέεται σε σειρά με την πλεκτρική γραμμή, το ρεύμα της οποίας επιθυμούμε να μετρήσουμε.

Προκειμένου να υπάρχει γραμμικότητα μεταξύ πρωτεύοντος και δευτερεύοντος ρεύματος, ο M/S πρέπει να λειτουργεί στις συνθήκες βραχυκυκλώσεως. Σε αυτές τις συνθήκες ισχύει:  $I_1 = \frac{n_2}{n_1} I_2$ .

Για τη σωστή λειτουργία του M/S ρεύματος, πρέπει το ρεύμα κενής λειτουργίας (δύθροισμα του ρεύματος μαγνητίσεως και του ρεύματος απωλειών πυρήνα) να μην λαμβάνεται υπόψη. Για να διατηρηθεί ο σε πολύ χαμηλές τιμές το ρεύμα μαγνητίσεως πρέπει να μειωθεί η μαγνητική ροή και η μαγνητική αντίσταση του πυρήνα. Οι M/S ρεύματος λειτουργούν με χαμηλές τιμές μαγνητικών ροών, οπότε πρέπει οι τιμές της σύνθετης αντιστάσεως του δευτερεύοντος να είναι χαμηλές.

Για τη μείωση των τιμών της σύνθετης αντιστάσεως του δευτερεύοντος ισχύουν τα εξής:

1) Τα τυλίγματα του δευτερεύοντος κατασκευάζονται με υλικά χαμηλής αντιστάσεως.

2) Οι σπείρες του δευτερεύοντος τοποθετούνται κατά τέτοιον τρόπο στον τοροειδή πυρήνα, ώστε να αποκλείονται οι ροές σκεδάσεως.

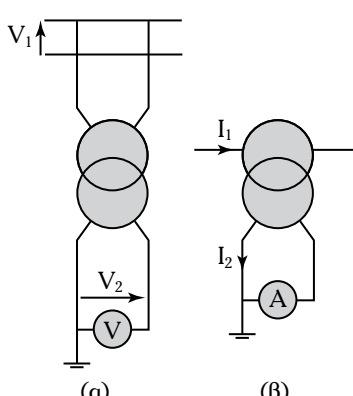
3) Το μέσο μήκος του μαγνητικού κυκλώματος του πυρήνα πρέπει να είναι το μικρότερο δυνατό. Αυτό συμβάλλει στην μικρή τιμή της μαγνητικής αντιστάσεως του πυρήνα.

## 2.11 Συντήρηση, βλάβες και εποκευές M/S.

Στους M/S κάθε μίνια πρέπει να πραγματοποιούνται οι ακόλουθοι έλεγχοι:

1) Έλεγχος ελαίου, στην περίπτωση του M/S ελαίου. Κάθε τέσσερεις μίνες πρέπει να ελέγχεται η διπλεκτρική αντοχή του ελαίου (μόνο για M/S ελαίου).

2) Έλεγχος θερμοκρασίας, η οποία αναπτύσσεται κατά τη λειτουργία του και καταγραφή της.



Σχ. 2.10ε

(a) M/S τάσεως, (b) M/S ρεύματος.

**Πίνακας 2.11**  
**Βλάβες, πιθανές αιτίες και απαιτούμενες επισκευές Μ/Σ.**

a/a	Βλάβη	Πιθανή αιτία	Απαιτούμενη επισκευή
1.	Ο Μ/Σ υπερθερμαίνεται.	α) Υπερφόρτιση. β) Βραχυκύκλωμα στα τυλίγματα. γ) Βραχυκύκλωμα στα ελάσματα του πυρήνα. δ) Ο χώρος τοποθετήσεως του Μ/Σ δεν αερίζεται σωστά.	α) Να μειωθεί το φορτίο ή να τοποθετηθεί μεγαλύτερος Μ/Σ. β) Να αντικατασταθούν τα βραχυκύκλωμένα τυλίγματα. γ) Να επισκευαστούν τα ελάσματα. δ) Να ληφθούν μέτρα για τον σωστό αερισμό του χώρου.
2.	Ο αυτόματος διακόπτης ανοίγει ή τίκονται οι ασφάλειες.	α) Βραχυκύκλωμα μεταξύ αγωγών φάσεων ή προς τη γη. β) Διάσπαση μονώσεως των ακροδεκτών ή βλάβη στη μόνωση του ζυγίσματος.	α) Να βρεθεί το βραχυκύκλωμα και να επισκευαστεί. β) Να γίνει έλεγχος με <b>Μέγκερ</b> <sup>6</sup> . Να αντικατασταθούν οι ακροδέκτες και να γίνει επισκευή του τυλίγματος.

3) Έλεγχος του συστήματος ενδεικτικών λυχνίων, το οποίο σχετίζεται με την κανονική λειτουργία του.

4) Οπικός έλεγχος των συνδέσεων των καλωδίων με το δίκτυο.

Στον πίνακα 2.11 δίδονται οι βλάβες με τις πιθανές αιτίες και τις αντίστοιχες απαιτούμενες επισκευές στους Μ/Σ.

### -Λυμένες ασκήσεις.

#### Άσκηση 1.

Δύο Μ/Σ, ο ένας 50 kVA, 2.400/240V έχει σύνθετη αντίσταση 4% και ο άλλος 75 kVA, 2.400/240V έχει σύνθετη αντίσταση 6%, συνδέονται παράλληλα και τροφοδοτούν ένα φορτίο 125 kVA. Να βρείτε πώς διαμοιράζεται το φορτίο μεταξύ των Μ/Σ.

#### Λύση.

Είναι:

$$(kVA)_A = \frac{\frac{50}{4}}{\frac{50}{4} + \frac{75}{6}} \cdot 125 = 62,5 \text{ kVA}$$

και  $(kVA)_B = \frac{\frac{75}{6}}{\frac{50}{4} + \frac{75}{6}} \cdot 125 = 62,5 \text{ kVA.}$

Ο Μ/Σ των 50 kVA υπερφορτίζει σε οχέση με τον Μ/Σ των 75 kVA.

#### Άσκηση 2.

Δύο μονοφασικοί Μ/Σ με τον ίδιο λόγο μετασχηματισμού έχουν σύνθετες αντιστάσεις ανηγμένες στο δευτερεύον τύλιγμα  $(0,5 + j3) \Omega$  και  $(0,6 + j10) \Omega$  αντίστοιχα.

Να βρείτε το φορτίο που αναλαμβάνει κάθε Μ/Σ, όταν και οι δύο τροφοδοτούν φορτίο 100 kW υπό συντελεστή ισχύος 0,8 επαγγ..

#### Λύση.

Έστω Α και Β είναι οι Μ/Σ που λειτουργούν παράλληλα και τροφοδοτούν το φορτίο των 100 kW.

$$Z''_A = (0,5 + j3) = 3,04 \angle 80,6^\circ \Omega$$

$$\text{Είναι: } Z''_B = (0,6 + j10) = 10,02 \angle 86,6^\circ \Omega$$

$$Z''_A + Z''_B = 1,1 + j13 = 13,05 \angle 85,2^\circ \Omega.$$

<sup>6</sup> Το Μέγκερ είναι όργανο μετρήσεως των αντιστάσεων μονώσεως των τυλιγμάτων του Μ/Σ.

Τα kVA του φορτίου είναι:

$$(kVA)_L = \frac{100}{0,8} = 125$$

$$(kVA)_{\text{o}_\lambda} = (kVA)_L = 125 \angle -36,9^\circ$$

$$(kVA)_A = (kVA)_{\text{o}_\lambda} = \frac{Z''_B}{Z''_A + Z''_B} = \\ = \frac{125 \angle -36,9^\circ \cdot 3,04 \angle 80,06^\circ}{13,5 \angle 85,2^\circ} = 29,1 \angle 41,5^\circ$$

$$\text{ή} \quad 96 \cdot \cos 35,5^\circ = 78,2 \text{ kW}$$

$$(kVA)_B = (kVA)_{\text{o}_\lambda} = \frac{Z''_A}{Z''_A + Z''_B} = \\ = \frac{125 \angle -36,9^\circ \cdot 3,04 \angle 80,06^\circ}{13,5 \angle 85,2^\circ} = 29,1 \angle 41,5^\circ$$

$$\text{ή} \quad 29,1 \cdot \cos 41,5^\circ = 21,8 \text{ kW.}$$

**Παρατήρηση:** Ο M/Σ A υπερφορτώνεται.

### Άσκηση 3.

Δύο M/Σ των 800 kVA συνδέονται παράλληλα. Οι ίδιες M/Σ έχουν ωμική αντίσταση σκεδάσεως 1% και 4% αντίστοιχα, ενώ οι άλλοι έχουν ωμική αντίσταση 1,5% και 6% αντίστοιχα. Να υπολογίσετε το φορτίο, που αναλαμβάνει κάθε M/Σ με τον αντίστοιχο συντελεστή ισχύος, όταν τροφοδοτούν φορτίο 100 kVA υπό συντελεστή ισχύος 0,8 επαγγελματικής.

### Λύση.

$$\text{Είναι: } \cos^{-1} 0,8 = -36,87^\circ$$

$$(kVA)_{\text{o}_\lambda} = 100 \angle -36,87^\circ$$

$$Z''_A = (1+j4) = 4,12 \angle 76^\circ$$

$$Z''_B = (1,5+j6) = 6,18 \angle 76^\circ$$

$$Z''_A + Z''_B = (2,5+j10) = 10,3 \angle 76^\circ$$

Το φορτίο που αναλαμβάνει ο M/Σ A είναι:

$$(kVA)_B = (kVA)_{\text{o}_\lambda} \cdot \frac{Z''_B}{Z''_A + Z''_B} = 100 \angle -36,87^\circ \cdot \\ \cdot \frac{6,18 \angle 76^\circ}{10,3 \angle 76^\circ} = 60 \angle -36,87^\circ \text{ kVA}$$

$$\text{ή} \quad = 48 \text{ kW, } (\Sigma I = 0,8 \text{ επαγγ.})$$

Το φορτίο που αναλαμβάνει ο M/Σ B είναι:

$$(kVA)_B = (kVA)_{\text{o}_\lambda} \cdot \frac{Z''_A}{Z''_A + Z''_B} = 100 \angle -36,87^\circ \cdot \\ \cdot \frac{4,12 \angle 76^\circ}{10,3 \angle 76^\circ} = 40 \angle -36,87^\circ \text{ kVA}$$

$$\text{ή} \quad = 32 \text{ kW } (\Sigma I = 0,8 \text{ επαγγ.}).$$

### Άσκηση 4.

Δύο M/Σ 6.600/250 Ω έχουν τα παρακάτω χαρακτηριστικά βραχυκυκλώσεως:

	<b>V</b>	<b>A</b>	<b>W</b>
<b>M/Σ A</b>	200	30	1.200
<b>M/Σ B</b>	120	20	1.500

Οι παραπάνω τιμές μετρήθηκαν από την πλευρά υψηλής τάσεως, ενώ η πλευρά χαμηλής τάσεως είναι βραχυκυκλωμένη.

Να υπολογίσετε προσεγγιστικά το ρεύμα και το συντελεστή ισχύος για κάθε M/Σ όταν λειτουργούν παράλληλα και τροφοδοτούν φορτίο 300 kW υπό συντελεστή ισχύος 0,8 επαγγελματικής.

### Λύση.

Ισοδύναμη αντίσταση του M/Σ A:

$$R_A = \frac{1.200}{30^2} = 1,333 \Omega.$$

Ισοδύναμη σύνθετη αντίσταση του M/Σ:

$$|Z'_A| = \frac{200}{30} = 6,667 \Omega.$$

Ισοδύναμη αντίδραση σκεδάσεως του M/Σ A:

$$X_{oA} = \sqrt{6,667^2 - 1,333^2} = 6,53 \Omega.$$

Ισοδύναμη σύνθετη αντίσταση του M/Σ A:

$$\dot{Z}_A = (1,333 + j6,53) = 6,667 \angle 78,7^\circ \Omega.$$

Ισοδύναμη αντίσταση του M/Σ B:

$$R_B = \frac{1.500}{20^2} = 3,75 \Omega.$$

Ισοδύναμη σύνθετη αντίσταση του Μ/Σ Β:

$$|Z''_B| = \frac{120}{20} = 6 \Omega.$$

Ισοδύναμη αντίδραση σκεδάσεως του Μ/Σ Β:

$$X_{oB} = \sqrt{6^2 + 3,75^2} = 4,684 \Omega.$$

$$\text{Είναι: } Z''_B = (3,75 + j4,684) = 6 \angle 51,3^\circ \Omega.$$

Είναι:

$$\begin{aligned} Z''_A + Z''_B &= (1,3333 + j6,53) + (3,75 + j4,684) = \\ &= (5,083 + j11,219) = 12,3 \angle 65,6^\circ \Omega. \end{aligned}$$

Συνολικό φορτίο:

$$(kVA)_{o\lambda} = \frac{300}{0,8} \angle -36,89^\circ = 375 \angle -36,89^\circ.$$

Συνολικό ρεύμα φορτίου:

$$I_{o\lambda} = \frac{kVA}{V_1} = \frac{375 \cdot 1.000}{6.600} = 56,82 \angle -36,89^\circ A.$$

Ο Μ/Σ Α παρέχει ρεύμα:

$$\begin{aligned} I_B &= I_{o\lambda} \cdot \frac{Z''_A}{Z''_A + Z''_B} = \\ &= \frac{56,82 \angle -36,89^\circ \cdot 6,66 \angle 78,7^\circ}{12,3 \angle 65,6^\circ} = \\ &= 30,8 \angle -23,8^\circ A. \end{aligned}$$

Ο συντελεστής ισχύος του Μ/Σ Β είναι:

$$\sigma v(-23,8^\circ) = 0,915 \text{ επαγ..}$$

### Άσκηση 5.

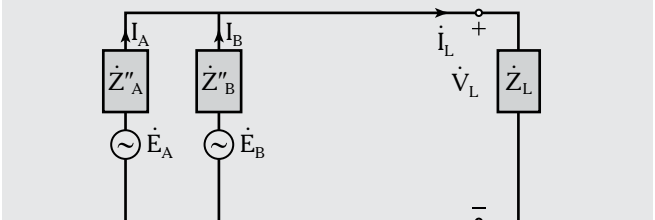
Δύο Μ/Σ (Α και Β) συνδέονται παράλληλα και τροφοδοτούν φορτίο  $(2 + j1,5) \Omega$  (οχ. 2.11). Οι σύνθετες αντιστάσεις των Μ/Σ ανημένες στο δευτερεύον είναι  $Z''_A = (0,15 + j0,5) \Omega$  και  $Z''_B = (0,1 + j0,6) \Omega$  αντίστοιχα. Οι τάσεις χωρίς φορτίο των Μ/Σ είναι  $\dot{E}_A = 207 \angle 0^\circ V$  και  $\dot{E}_B = 205 \angle 0^\circ V$  αντίστοιχα.

Να υπολογίσετε την ισχύ εξόδου και τον συντελεστή ισχύος κάθε Μ/Σ.

**Λύση.**

$$\dot{I}_L = \dot{I}_A + \dot{I}_B$$

$$\dot{V}_L = \dot{I}_L \cdot \dot{Z}_L = (2 + j1,5) \cdot (\dot{I}_A + \dot{I}_B)$$



**Οχ. 2.11**

$$\begin{aligned} (a) \quad \dot{E}_A &= \dot{V}_L + \dot{I}_A \dot{Z}_A \Rightarrow \\ &\Rightarrow (207 + j0) = (2 + j1,5) \end{aligned}$$

$$(I_A + I_B) + (0,1 + j0,6) I_B$$

$$\text{ή } (2,16 + j2)\dot{I}_A + (2 + j1,6)\dot{I}_B = 207 + j0 \quad (1)$$

$$(b) \quad \dot{E}_B = \dot{V}_L + \dot{I}_B \cdot \dot{Z}_B$$

$$\text{ή } (205 + j0) = (2 + j1,5)(\dot{I}_A + \dot{I}_B) + \\ + (0,1 + j0,6)\dot{I}_B$$

$$\text{ή } (2 + j1,5)\dot{I}_A + (2,1 + j2,1)\dot{I}_B = 205 + j0 \quad (2)$$

Λύνοντας ως προς  $\dot{I}_A$ ,  $\dot{I}_B$  τις εξισώσεις (1) και (2) προκύπτει:

$$\begin{aligned} \dot{I}_A &= \frac{(2,1 + j2,1)(207 + j0) - (2 + j1,5)(205 + j0)}{(2,15 + j2,0)(2,1 + j2,1) - (2 + j1,5)(2 + j1,5)} = \\ &= \frac{24,7 + j127,2}{-1,435 + j2,715} = \frac{129,7 \angle 79^\circ}{3,07 \angle 117,9^\circ} = \\ &= 42,26 \angle -38,9^\circ A = (32,89 - j26,55) A \end{aligned}$$

Και:

$$\begin{aligned} \dot{I}_B &= \frac{(207 + j0)(2 + j1,5) - (205 + j0)(2,15 + j2,0)}{(2 + j1,5)(2 + j1,5) - (2,1 + j2,1)(2,15 + j2,0)} = \\ &= \frac{26,75 + j99,5}{-1,435 + j2,715} = \frac{103 \angle 75^\circ}{3,07 \angle 117,9^\circ} = \\ &= 33,56 \angle -42,9^\circ = (24,58 - j22,89) A \end{aligned}$$

Η τάση φορτίου:

$$\begin{aligned} \dot{V}_L &= (\dot{I}_A + \dot{I}_B) \dot{Z}_L = \\ &= (32,69 + j26,55 + 24,58 - j22,89)(2 + j1,5) = \\ &= (57,47 + j49,39)(2 + j1,5) = \\ &= 189 - j12,58 = 189 \angle -3,9^\circ V \end{aligned}$$

$$\begin{aligned} (\Sigma I)_A &= 3,9^\circ - (-38,9^\circ) = 35^\circ \Rightarrow \\ &\Rightarrow \sigma v 35^\circ = 0,819 \text{ επαγ.} \end{aligned}$$

$$(\Sigma I)_B = -3,9^\circ - (-42,9) = 39^\circ \Rightarrow \\ \Rightarrow \sin 39^\circ = 0,777 \text{ (επαγ.)}$$

$$(P_{out})_A = \frac{V_L \cdot I_L \cdot \cos \varphi_A}{1.000} \text{ kW} = \\ = \frac{189,4 \cdot 42,26 \cdot 0,819}{1.000} = 6,55 \text{ kW}$$

$$(P_{out})_B = \frac{189,4 \cdot 33 \cdot 56 \cdot 0,777}{1.000} = 4,94 \text{ kW.}$$

## 2.12 Ερωτήσεις.

- 1) Γιατί είναι χρήσιμος ο M/Σ στα συστήματα ισχύος;
- 2) Σε ποιες κατηγορίες κατατάσσονται οι M/Σ ανάλογα με την κατασκευή του πυρήνα τους;
- 3) Ποια είναι τα τεχνικά χαρακτηριστικά των M/Σ;
- 4) Ποια είναι η αρχή λειτουργίας του M/Σ;
- 5) Γιατί η χρήσιμη μαγνητική ροή ενός M/Σ είναι ανεξάρτητη απ' το ρεύμα φορτίου;
- 6) Με ποιον τρόπο το ρεύμα του πρωτεύοντος αυτορρυθμίζεται διαν το ρεύμα στο δευτερεύοντο ενός M/Σ αυξάνεται;
- 7) Ποιες είναι οι ιδιότητες των ιδανικών M/Σ και η φυσική τους σημασία;
- 8) Ποιες είναι οι απώλειες σε έναν πραγματικό μονοφασικό M/Σ, πού οφείλονται και πώς ελαχιστοποιούνται;
- 9) Γιατί οι απώλειες πυρήνα ενός M/Σ, πρακτικά, είναι ανεξάρτητες του ρεύματος φορτίου;
- 10) Πόσα μαγνητικά πεδία αναπίνονται στη λειτουργία με φορτίο του πραγματικού μονοφασικού M/Σ και ποιος είναι ο ρόλος τους;
- 11) Ποιες είναι οι εξισώσεις λειτουργίας ενός πραγματικού μονοφασικού M/Σ και η φυσική του σημασία;
- 12) Σχεδιάστε και εξηγήστε τα ισοδύναμα πλεκτηρικά κυκλώματα ενός πραγματικού μονοφασικού M/Σ.
- 13) Για ποιον λόγο γίνονται τα πειράματα (δοκιμές) χωρίς φορτίο και σε βραχυκύλωση σε έναν M/Σ;
- 14) Πότε ένας πραγματικός μονοφασικός M/Σ έχει τη μέγιστη απόδοση;
- 15) Τι συμπεράσματα προκύπτουν από τη διακύμανση τάσεως των M/Σ;
- 16) Ποιες είναι οι βασικές συνδεσμολογίες των τριφασικών M/Σ και ποια είναι τα αντίστοιχα πλεονεκτήματα και μειονεκτήματα τους;

17) Πώς λειτουργεί ένας AM/Σ;

18) Πώς λειτουργεί ένας M/Σ τάσεως;

19) Πώς λειτουργεί ένας M/Σ ρεύματος;

20) Με ποιες προϋποθέσεις ένας M/Σ ονομαστικής συχνότητας 60 Hz μπορεί να λειτουργήσει στα 50 Hz;

## 2.13 Προτεινόμενες ασκήσεις.

### Άσκηση 1.

Ιδανικός μονοφασικός M/Σ, 50 kVA, 400/2.000 V, τροφοδοτεί φορτίο των 40 kVA με τάση 2.000 V και υπό συντελεστή ισχύος 0,8 επαγ..

Να υπολογίσετε:

1) Τη σύνθετη αντίσταση φορτίου.

2) Τη σύνθετη αντίσταση φορτίου ανηγμένη στο πρωτεύοντα τύλιγμα.

### Άσκηση 2.

Το φορτίο που συνδέεται στο δευτερεύοντα ενός ιδανικού M/Σ είναι 10 kVA και η σύνθετη αντίσταση του είναι:  $\hat{Z}_L = 2\angle -32^\circ \Omega$ . Η σύνθετη αντίσταση του φορτίου ανηγμένη στο πρωτεύοντα είναι  $\hat{Z}'_L = 32\angle 32^\circ \Omega$ .

Να υπολογίσετε τον λόγο σπειρών και το ρεύμα του πρωτεύοντος και του δευτερεύοντος τυλίγματος.

### Άσκηση 3.

Ιδανικός μονοφασικός M/Σ με λόγο σπειρών 10:1 τροφοδοτεί με τάση 39,8 kV, ενώ η ονομαστική του ικανότητα είναι 1.000 kVA με συντελεστή ισχύος 0,8 επαγ..

Να υπολογίσετε τη σύνθετη αντίσταση του φορτίου συνδεμένου στο δευτερεύοντα.

### Άσκηση 4.

Μονοφασικός M/Σ λειτουργεί χωρίς φορτίο. Τροφοδοτείται με τάση 230 V, 50 Hz και απορροφά ρεύμα 5 A υπό συντελεστή ισχύος 0,3 επαγ..

Ο αριθμός των σπειρών του πρωτεύοντος τυλίγματος είναι 200.

Να υπολογίσετε:

1) Τη μέγιστη μαγνητική ροή στον πυρήνα M/Σ.

2) Τις απώλειες πυρήνα.

3) Το ρεύμα μαγνητίσεως.

### Άσκηση 5.

Ο αριθμός σπειρών ενός μονοφασικού M/Σ είναι 180 και 90 του δευτερεύοντος και του πρωτεύοντος αντίστοιχα. Η ωμική αντίσταση του πρωτεύοντος είναι 0,067 Ω, ενώ του δευτερεύοντος είναι 0,233 Ω.

Να υπολογίσετε:

1) Την ωμική αντίσταση ανηγμένη στο πρωτεύον τύλιγμα.

2) Την ωμική αντίσταση ανηγμένη στο δευτερεύον τύλιγμα.

3) Την συνολική σύνθετη αντίσταση ανηγμένη στο πρωτεύον.

3) Την συνολική σύνθετη αντίσταση ανηγμένη στο δευτερεύον.

#### Άσκηση 6.

Πραγματικός μονοφασικός Μ/Σ 10 kVA, 2.000/440 V, 50 Hz έχει:

$$R_1 = 5,5 \Omega \quad X_{o1} = 12 \Omega$$

$$R_2 = 0,2 \Omega \quad X_{o2} = 0,45 \Omega$$

Ο δείκτης 1 αναφέρεται στο πρωτεύον, ενώ ο δείκτης 2 στο δευτερεύον.

Να υπολογίσετε την τάση στο δευτερεύον όταν ο

Μ/Σ λειτουργεί στο πλήρες φορτίο και υπό συντελεστή ισχύος 0,8 επαγ. ενώ τροφοδοτείται με τάση 2.000 V.

#### Άσκηση 7.

Μονοφασικός Μ/Σ 25 kVA 2.200/600 V, 60 Hz χρησιμοποιείται σαν υποβιβαστής τάσεως και έχει:

$$R_{(Y.T.)} = 1,40 \Omega$$

$$R_{(X.T.)} = 0,11 \Omega$$

$$X_{o(Y.T.)} = 3,20 \Omega$$

$$X_{o(X.T.)} = 0,25 \Omega$$

$$X_{n(Y.T.)} = 5.011 \Omega$$

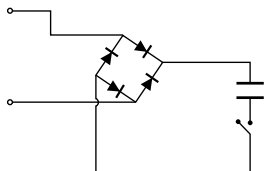
$$R_{c(Y.T.)} = 18.649 \Omega$$

Να σχεδιάσετε το ισοδύναμο κύκλωμα και να υπολογίσετε:

1) Την τάση που πρέπει να τροφοδοτεί ο Μ/Σ για να διατεθούν στην έξοδο τα 25 kVA με τάση 600 V υπό συντελεστή ισχύος 0,8 επαγ..

2) Το ρεύμα αντιδράσεως.

3) Το ρεύμα διεγέρσεως.



## ΚΕΦΑΛΑΙΟ ΤΡΙΤΟ ΑΝΟΡΘΩΤΕΣ ΙΣΧΥΟΣ

### 3.1 Εισαγωγή.

Τα τελευταία χρόνια η ανάπτυξη των **πλεκτρονικών ισχύος** έλυσε πρακτικά, οποιοδήποτε πρόβλημα ρυθμίσεως ισχύος. Κατέσποε δυνατά την εκκίνηση κινητήρων συνεχούς ρεύματος (SP) όταν η πηγή τροφοδοσίας είναι εναλλασσόμενη ρεύματος (EP), ενώ εξασφάλισε τη λειτουργία των κινητήρων EP όταν η πηγή τροφοδοσίας τους είναι συνεχούς τάσεως. Επίσης μετατρέπεται εναλλασσόμενη τάση, δεδομένης συχνότητας, σε εναλλασσόμενη τάση διαφορετικής συχνότητας. Σε αυτό το κεφάλαιο, τα πλεκτρονικά ισχύος χρησιμοποιούνται για να λάβομε συνεχή τάση από εναλλασσόμενη (ανορθωτές ισχύος).

Το μειωμένο κόστος, αλλά και η μεγάλη αξιοποστία των πλεκτρονικών ισχύος έχουν ως αποτέλεσμα την καθολική εφαρμογή τους σε πλεκτρονικές μονάδες ελέγχου των κινητήρων SP και EP.

### 3.2 Ηλεκτρονικά στοιχεία ισχύος.

Στην πράξη, ο πλεκτρονικός τρόπος ελέγχου των κινητήρων, αλλά και της διελεύσεως μεγάλων ρευμάτων (δηλ. ρευμάτων πολλών Ampere), απαιτεί τη χρήση ειδικών ημιαγωγήμων στοιχείων. Αυτά τα στοιχεία είναι: η **Δίοδος** (Diode), το **Θυρίστορ** ή **Ελεγχόμενος Ανορθωτής Πυριτίου** (Silicon-Controlled Rectifier–SCR), οι **Αμφίδρομες Δίοδοι Σκανδαλισμού** (Diode for Alternating Current–DIAC), οι **Αμφίδρομες Τρίοδοι** (Triode for Alternating Current–TRIAC), το **Τρανζίστορ Εγκαρσίου Πεδίου** (Metal Oxide Semiconductor Field Effect Transistor–MOSFET), το **GTO θυρίστορ** (Gate Turn-Off thyristor) και το **Διπολικό Τρανζίστορ Απομονωμένης Πύλης** (Insulated Gate Bipolar Transistor–IGBT).

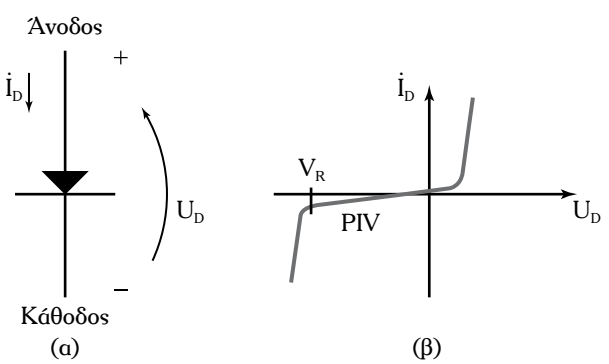
#### 3.2.1 Η δίοδος (σχ. 3.2a).

Η δίοδος αποτελείται από δύο ημιαγωγήμα στοιχεία p-n ή n-p και άγει μόνο κατά τη μία κατεύθυνση.

Όταν η δίοδος είναι πολωμένη ορθά διαρρέεται από ρεύμα. Προκειμένου η δίοδος ισχύει να άγει μεγαλύτερες ποσότητες ρεύματος, πρέπει η επιφάνεια επαφής p-n να είναι μεγάλη. Η ισχύς που καταναλώνει η δίοδος όταν είναι πολωμένη ορθά ισούται με την πτώση τάσεως στα άκρα της επί το ρεύμα διελεύσεως. Αυτή η ισχύς πρέπει να ελέγχεται γιατί αυξάνει τη θερμοκρασία της διόδου και προκαλεί υπερθέρμανση.

Όταν η δίοδος είναι πολωμένη ανάστροφα, το ρεύμα δεν ισούται με το μπδέν, αλλά είναι πολύ μικρό σε σχέση με το αντίστοιχο της ορθής πολώσεως, ώστε πρακτικά να θεωρείται μπδενικό. Αν η ανάστροφη τάση πολώσεως είναι αρκετά μεγάλη, τότε η δίοδος καταρρέει και επιτρέπει τη διέλευση του ρεύματος στην ανάστροφη κατεύθυνση. Η **Μέγιστη Τιμή της Ανάστροφης Τάσεως** (Peak Inverse Voltage–PIV) πρέπει να είναι μεγάλη, ώστε να μην άγει στην ανάστροφη κατεύθυνση.

Ο χρόνος μεταβάσεως της διόδου από τη μια κατάσταση λειτουργίας στην άλλη έχει ιδιαίτερο ενδιαφέρον στα πλεκτρονικά ισχύος. Η μετάβαση από την κατάσταση αποκοπής στην κατάσταση αγωγής γίνεται γρήγορα, ενώ δεν συμβαίνει το ίδιο κατά την αντίστροφη μετάβαση. Αυτό συμβαίνει διότι στην ορθή πόλωση η ποσότητα ρεύματος είναι μεγάλη,



**Σχ. 3.2α**

- (α) Το πλεκτρονικό σύμβολο της διόδου, και  
(β) η χαρακτηριστική τάσεως-ρεύματος της διόδου.

οπότε αποθηκεύονται φορτία γύρω από την επαφή, τα οποία πρέπει πρώτα να απομακρυνθούν όταν αλλάζει η πολικότητα, πριν μπδενιστεί το ρεύμα.

### 3.2.2 Το θυρίστορ ή ελεγχόμενος ανορθωτής πυριτίου.

Το θυρίστορ (SCR) (σχ. 3.2β) είναι στοιχείο ισχύος, το οποίο αποτελείται από τέσσερα ημιαγώγιμα στρώματα τύπου p και n διαδοχικά.

#### 1) Ρεύμα πύλης μπδενικό.

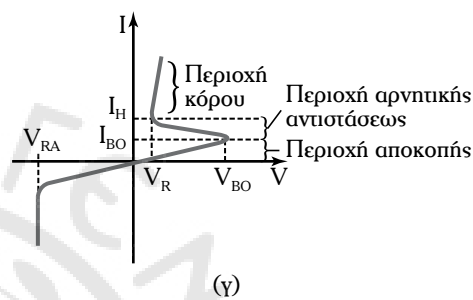
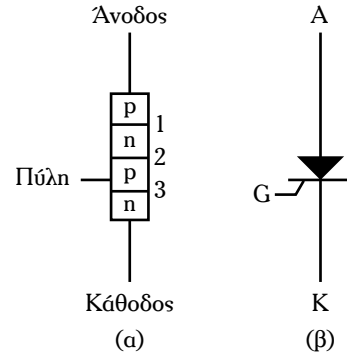
Όταν η άνοδος είναι θετική ως προς την κάθοδο οι επαφές 1 και 3 είναι ορθά πολωμένες, ενώ η επαφή 2 είναι ανάστροφα πολωμένη. Σε αυτήν την κατάσταση το θυρίστορ προβάλλει μεγάλη αντίσταση (την τάξεως των  $100\text{ M}\Omega$ ). Για μικρές τιμές της τάσεως  $V$  μεταξύ ανόδου και καθόδου το ρεύμα  $I$ , του θυρίστορ, έχει μικρές τιμές, οπότε λειτουργεί στην κατάσταση αποκοπής. Όταν η τάση  $V$  ξεπεράσει την κρίσιμη τιμή  $V_{BO}$  (Break-Over Voltage), το ρεύμα λαμβάνει μεγάλες τιμές, οι οποίες οφείλονται στην κατάρρευση της επαφής 2 και το θυρίστορ λειτουργεί στην περιοχή κόρου. Οι τιμές των τάσεων  $V_{BO}$  κυμαίνονται μεταξύ μερικών δεκάδων και μερικών εκατοντάδων Volt. Οι τιμές του ρεύματος  $I_{BO}$  είναι την τάξεως των μερικών εκατοντάδων mA. Όταν η τάση  $V$  λάβει τιμές πέρα από μίας κρίσιμης τιμής  $V_H$  (Holding Voltage), η οποία ονομάζεται **τάση συγκρατήσεως** ή όταν το ρεύμα  $I$  λάβει τιμές μικρότερες του ρεύματος συγκρατήσεως  $I_H$ , τότε το θυρίστορ επανέρχεται στην κατάσταση αποκοπής.

Στο σχήμα 3.2β(γ), δίδονται τα κρίσιμα μεγέθη τάσεων-ρευμάτων, όπως και οι χαρακτηριστικές περιοχές: αποκοπής, αρνητικής αντιστάσεως και κόρου όταν το θυρίστορ είναι πολωμένο ορθά και το ρεύμα πύλης μπδενικό. Το μέγεθος  $V_{RA}$  (Reverse Avalanche Breakdown Voltage) αντιστοιχεί στη μέγιστη ανάστροφη τάση, η οποία οδηγεί στην κατάρρευση του θυρίστορ.

#### 2) Ρεύμα πύλης διαφορετικό του μπδενός.

Στο σχήμα 3.2γ, δίδεται το σμήνος χαρακτηριστικών τάσεων-ρευμάτων ενός θυρίστορ για διαφορετικές τιμές του ρεύματος πύλης  $I_G$ .

Όταν οι τιμές του ρεύματος πύλης  $I_G$ , αυξάνουν, τότε μειώνεται η τιμή της τάσεως  $V_{BO}$  και αντίστροφα. Με το ρεύμα πύλης ελέγχεται ο χρόνος εναύσεως του θυρίστορ, γι' αυτό το πλεκτρονικό στοιχείο ονομάζεται **ελεγχόμενος ανορθωτής πυριτίου SCR**.



Σχ. 3.2β

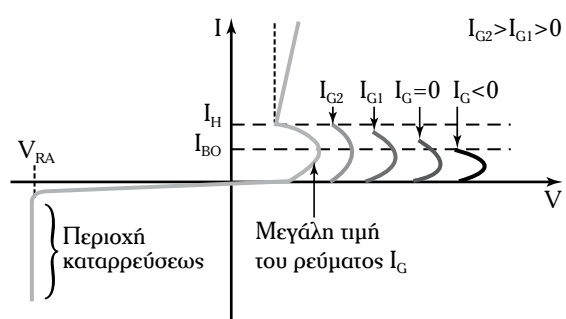
(a) Συγκρότηση του θυρίστορ, (β) το πλεκτρονικό σύμβολό του και (γ) χαρακτηριστική τάσεως-ρεύματος της διόδου πεσσάρων στρωμάτων (SCR).

Η τάση  $V_H$  και το ρεύμα  $I_H$  δεν εξαρτώνται από το ρεύμα πύλης. Όταν το ρεύμα πύλης είναι πολύ μεγάλο, τότε το θυρίστορ συμπεριφέρεται σαν μια απλή δίοδος p-n.

Διακοπή της αγωγιμότητας του θυρίστορ πραγματοποιείται με τους ακόλουθους τρόπους:

1) Όταν η τάση  $V$  μεταξύ ανόδου και καθόδου ή το ρεύμα  $I$  λαμβάνουν τιμές μικρότερες από τις τιμές των  $V_H$  και  $I_H$  αντίστοιχα.

2) Όταν διοχετεύεται ένα ανάστροφο ρεύμα πύλης ίσο κατά πλάτος με το ρεύμα  $I$  αγωγιμότητας.



Σχ. 3.2γ

Σμήνος χαρακτηριστικών τάσεων-ρευμάτων ενός θυρίστορ για διαφορετικά ρεύματα πύλης.

### 3.2.3 Αμφίδρομη δίοδος σκανδαλισμού (DIAC).

Το πλεκτρονικό σύμβολο του DIAC δίδεται στο σχήμα 3.2δ(α). Αυτό είναι παρόμοιο με το πλεκτρονικό σύμβολο του TRIAC [σχ. 3.2ε(α)] εκτός του ότι δεν απαιτείται ο αγωγός συνδέσεως της πύλης (G).

Η χαρακτηριστική καμπύλη τάσεως-ρεύματος ( $V-I$ ) για ένα τυπικό DIAC δίδεται στο σχήμα 3.2δ(β). Η καμπύλη δείχνει τη σχέση μεταξύ ρεύματος που ρέει διά μέσου της συσκευής, σε οποιαδήποτε κατεύθυνση ( $+I$  και  $-I$ ) και της αντίστοιχης τάσεως της συσκευής, σε οποιαδήποτε κατεύθυνση ( $+V$  και  $-V$ ). Το σχήμα 3.2δ(β) δείχνει επίσης ότι το ρεύμα που κυκλοφορεί μέσα στο DIAC, παραμένει σε καμπλή τιμή, μέχρι που η τάση της συσκευής αυξηθεί σε ένα σημείο, όπου το DIAC διασπάται σε οποιαδήποτε κατεύθυνση. Οι τάσεις αυτές που απαιτούνται για την διάσπαση του DIAC, γενικά αναφέρονται σαν τάσεις διασπάσεως και συμβολίζονται ως  $+V_{BO}$  και  $-V_{BO}$  (αυτές οι τιμές είναι συνήθως μεταξύ 28 και 36 V). Όταν επιτευχθούν αυτές οι τιμές  $+V_{BO}$  και  $-V_{BO}$ , το ρεύμα μέσα στο DIAC αυξάνεται απότομα, αλλά η τάση στα άκρα του μειώνεται.

### 3.2.4 Αμφίδρομη τρίοδος σκανδαλισμού (TRIAC).

Το TRIAC [σχ. 3.2ε(α)] αποτελείται από δύο ελεγχόμενους ανορθωτές πυριτίου συνδεδεμένους παράλληλα μεταξύ τους, οι οποίοι έχουν κοινή πύλη.

Όταν η αγωγιμότητα έχει φορά από τον ακροδέκτη  $A_1$  προς τον ακροδέκτη  $A_2$  τότε ο  $A_1$  είναι η άνοδος και ο  $A_2$  η κάθοδος. Το αντίστροφο συμβαίνει όταν η αγωγιμότητα έχει φορά από τον ακροδέκτη  $A_2$  προς τον ακροδέκτη  $A_1$ . Ο έλεγχος του TRIAC μπορεί να πραγματοποιηθεί με θετικούς ή αρνητικούς παλμούς. Όμως η φορά της αγωγιμότητας εξαρτάται, αποκλειστικά, από τη σχετική πολικότητα των ακροδεκτών  $A_1$  και  $A_2$ , και όχι από την πολικότητα των παλμών.

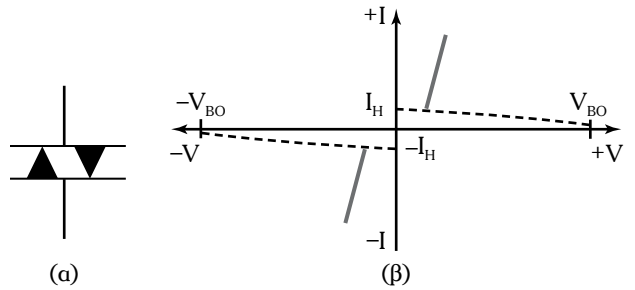
Από το σχήμα 3.2ε(β) προκύπτει ότι η τάση  $V_{BO}$  ρυθμίζεται απ' το μέγεθος του ρεύματος της πύλης  $I_G$ .

### 3.2.5 Το τρανζίστορ ισχύος.

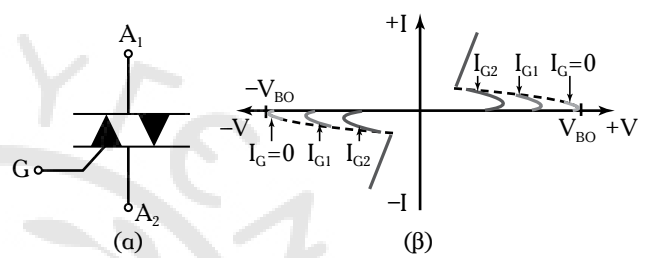
Στα πλεκτρονικά ισχύος χρησιμοποιούνται τρία είδη τρανζίστορ: Το **διπολικό τρανζίστορ ισχύος** [σχ. 3.2στ(α)], το **MOSFET**, και το **IGBT**.

Στο σχήμα 3.2ζ, δίδεται η χαρακτηριστική έξοδου και η ευθεία φορτίου του τρανζίστορ ισχύος. Τα μεγέθη  $I_C$ ,  $V_{CC}$ ,  $V_{CE}$  και  $R_C$  συνδέονται με την ακόλουθη σχέση:

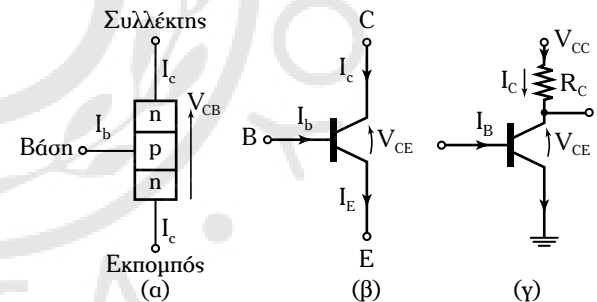
$$I_C = \frac{V_{CC} - V_{CE}}{R_C} \quad (3.1)$$



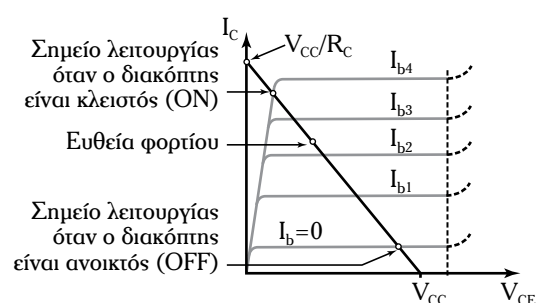
**Σχ. 3.2δ**  
(a) Το πλεκτρονικό σύμβολο του DIAC και  
(b) οι χαρακτηριστικές τάσεως-ρευμάτων του DIAC.



**Σχ. 3.2ε**  
(a) Το πλεκτρονικό σύμβολο του TRIAC και  
(β) οι χαρακτηριστικές τάσεως-ρεύματος του TRIAC,  
με τη συμβολή του ρεύματος πύλης  $I_G$ .



**Σχ. 3.2στ**  
(a) Δομή, (b) κυκλωματικό σύμβολο,  
(c) σύνδεση με ωμικό φορτίο ενός τρανζίστορ ισχύος.



**Σχ. 3.2ζ**  
Χαρακτηριστική εξόδου ενός τρανζίστορ ισχύος.

Όταν το ρεύμα  $I_b$  αυξάνεται από την τιμή 0 μέχρι την τιμή, η οποία οδηγεί το τρανζίστορ στην περιοχή κόρου, τότε το ρεύμα συλλέκτη αυξάνεται και η τάση V<sub>CE</sub> μειώνεται. Η κατανάλωση ισχύος στο τρανζίστορ στην διάρκεια μεταβάσεως από την αποκοπή (OFF) στον κόρο (ON) ισούται με το γινόμενο του ρεύματος συλλέκτη  $I_c$  και της τάσεως V<sub>CE</sub> και μεταβάλλεται όπως παρουσιάζεται στο σχήμα 3.2n.

Στις εφαρμογές των πλεκτρονικών ισχύος το τρανζίστορ ισχύος χρησιμοποιείται σαν διακόπτη στην κατάσταση αποκοπής (διακόπτης ανοικτός, OFF) όταν  $I_b = 0$  ή στην περιοχή κόρου (κατάσταση ON). Κατά την μετάβαση από μία κατάσταση στην άλλη το τρανζίστορ καταναλώνει ισχύ που εξαρτάται από τον τρόπο μεταβολής του ρεύματος βάσεως  $I_b$ . Όσο πιο γρήγορα γίνεται αυτή η μετάβαση τόσο πιο μικρή είναι η ισχύς που καταναλώνεται στο τρανζίστορ στην αντίστοιχη μετάβαση.

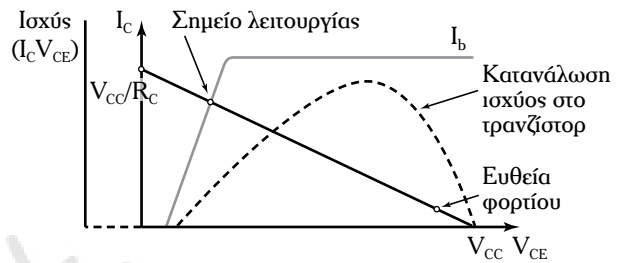
Το τρανζίστορ ισχύος λειτουργεί ως ταχύτερος διακόπτης από το θυρίστορ. Όμως, κατά τη διάρκεια της αγωγής του το ρεύμα βάσεως πρέπει να έχει μεγάλη τιμή. Σε αντίθεση με το θυρίστορ, η μετάβαση από την κατάσταση αγωγής στην κατάσταση αποκοπής πραγματοποιείται με μπδενισμό του ρεύματος βάσεως. Τέλος, αντίθετα προς το θυρίστορ, στο τρανζίστορ ισχύος δεν υπάρχει δυνατότητα αναστροφής της εφαρμοζόμενης τάσεως V, διότι επέρχεται κατάρρευση της επαφής εκπομπού-βάσεως.

Το **MOSFET ισχύος** [σχ. 3.20(β)] ελέγχεται από τάση, η οποία εφαρμόζεται μεταξύ πύλης και πηγής, σε αντίθεση με το τρανζίστορ ισχύος, το οποίο ελέγχεται από το ρεύμα βάσεως. Από άποψη ισχύος, το MOSFET ισχύος έχει μικρότερες δυνατότητες από το τρανζίστορ ισχύος και το θυρίστορ. Είναι, όμως ταχύτερο ως διακόπτης, ενώ απαιτείται ελάχιστη ισχύ στο κύκλωμα πύλης για τη δράση του αυτή.

Το **διπολικό τρανζίστορ απομονωμένης πύλης** (IGBT) (σχ. 3.21) είναι ένας συνδυασμός τρανζίστορ MOSFET και τρανζίστορ ισχύος. Η είσοδος του IGBT συμπεριφέρεται σαν MOSFET, ενώ η έξοδος συμπεριφέρεται σαν τρανζίστορ ισχύος. Η τάση η οποία εφαρμόζεται μεταξύ πύλης-εκπομπού ελέγχει το ρεύμα ενός MOSFET, το οποίο αποτελεί το ρεύμα βάσεως του τρανζίστορ ισχύος. Η διακοπική λειτουργία του IGBT επιτυγχάνεται με θετικούς και αρνητικούς παλμούς που εφαρμόζονται στην πύλη του.

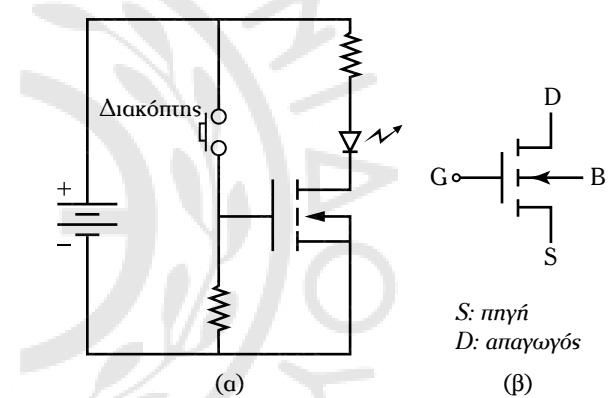
Οι χρόνοι μεταβάσεως από την κατάσταση αποκοπής στην κατάσταση αγωγής είναι μικρότεροι από τους αντίστοιχους του τρανζίστορ ισχύος, όπως συμ-

βαίνει και στην περίπτωση του MOSFET ισχύος, αλλά κατά τη μετάβαση από την κατάσταση αγωγής στην κατάσταση αποκοπής είναι ίδιοι περίπου με αυτούς του διπολικού τρανζίστορ. Οι δυνατότητες του IGBT από πλευράς ισχύος είναι ίδιες με αυτές του διπολικού τρανζίστορ ισχύος.



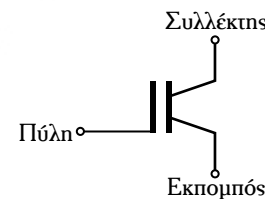
**Σχ. 3.2n**

Μεταβολή της ισχύος που οποία καταναλώνεται στο τρανζίστορ όταν η τάση V<sub>CE</sub> μεταβάλλεται για σταθερό φορτίο.



**Σχ. 3.2θ**

(a) MOSFET ισχύος και (β) το πλεκτρονικό σύμβολο του.

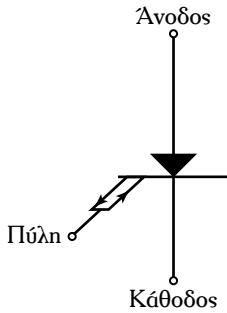


**Σχ. 3.2ι**

Το πλεκτρονικό σύμβολο του IGBT.

### 3.2.6 Το GTO θυρίστορ.

Το GTO (σχ. 3.21a) αποτελεί μια βελτίωση του θυρίστορ (SCR), που έχει τη δυνατότητα να μεταβεί στην κατάσταση αποκοπής με ρεύμα, το οποίο απομακρύνεται από την πύλη (εφαρμογή αρνητικού παλμού στην πύλη) ακόμα και αν το ρεύμα ανόδου είναι μεγαλύτερο του ρεύματος I<sub>H</sub>.



**Σχ. 3.2ια**  
Το πλεκτρονικό σύμβολο  
του GTO.

Τα δύο παράλληλα και αντίθετα βέλη στο πλεκτρόδιο της πύλης εκφράζουν τη διπλή αποστολή της πύλης. Όταν το ρεύμα πύλης είναι μπδενικό και εφαρμόζεται θετική τάση στην άνοδο ως προς την κάθοδο το GTO δεν άγει λόγω της ανάστροφα πολωμένης κεντρικής επαφής n-p. Με την κάθοδο θετική ως προς την άνοδο η επαφή της ανόδου καταρρέει, οπότε δεν υπάρχει δυνατότητα αποκοπής του GTO με ανάστροφη πόλωση, όπως συμβαίνει στην περίπτωση του SCR. Το μέγεθος του ρεύματος πύλης, που απαιτείται για την έναυσην ενός GTO είναι μεγαλύτερο από το αντίστοιχο ενός SCR. Όταν ένα GTO είναι μεγάλης ισχύος, το απαιτούμενο ρεύμα πύλης είναι της τάξεως των  $10\text{ A}$  ή και μεγαλύτερο. Για να οδηγηθεί στην κατάσταση αποκοπής ένα GTO απαιτείται ρεύμα πύλης, το μέγεθος του οποίου είναι από το  $\frac{1}{5}$  μέχρι και το  $\frac{1}{3}$  του ρεύματος ανόδου, πολύ μεγαλύτερο από εκείνο που απαιτείται για να μεταβεί από την κατάσταση αποκοπής στην κατάσταση αγωγής.

### 3.3 Το πρόβλημα ψύξεως και προστασίας των πλεκτρονικών ισχύος.

Οι υψηλές τιμές ισχύος, που διακινούνται μέσω των ημιαγωγών ισχύος, συνοδεύονται από απώλειες μέρους της διακινούμενης ισχύος στα στοιχεία αυτά. Αναπόφευκτα οι απώλειες αυτές αντιστοιχούν σε καταναλώσεις ισχύος των στοιχείων, που αυξάνουν την θερμοκρασία τους. Οι **βασικές αιτίες των απώλειών** αυτών είναι:

1) Κατά τη χρονική διάρκεια, όπου το στοιχείο είναι αγώγιμο, η απώλεια ισχύος εξαρτάται από το ρεύμα αγωγής και την πτώση τάσεως στο στοιχείο, η οποία, έστω και μικρή, συνδυάζεται με την υψηλή τιμή του ρεύματος αγωγής.

2) Κατά την αποκοπή υπάρχει διαρροή κάποιου ρεύματος, το οποίο όμως συνδυάζεται με την υψηλή τάση που επιβάλλεται στο στοιχείο.

3) Απώλειες της διακοπικής λειτουργίας κατά τη διάρκεια μεταβάσεως από τη μία κατάσταση στην

άλλη, δηλαδή από την αποκοπή στην αγωγή και αντίστροφα. Οι απώλειες αυτές αυξάνουν με τη συχνότητα της διακοπικής λειτουργίας και πιθανόν να είναι οπμαντικές.

Κατά τη διάρκεια της αγωγής, η καταναλισκόμενη ενέργεια στο στοιχείο δίδεται από το γινόμενο της πτώσεως τάσεως επί το ρεύμα σε αυτό και επί το χρόνο αγωγής. Πολλαπλασιάζοντας με τη συχνότητα επαναλήψεως της αγωγής προκύπτει η ισχύς, η οποία απορροφάται από το στοιχείο λόγω της αγωγής. Το γινόμενο της τάσεως επί το ρεύμα σε κάθε χρονική σπιγμή δίδει τη σπιγμαία τιμή της καταναλισκόμενης ισχύος στο στοιχείο, η οποία μεταβάλλεται με το χρόνο. Ολοκληρώνοντας ως προς το χρόνο βρίσκεται η καταναλισκόμενη ενέργεια, η οποία μετατρέπεται σε θερμότητα σε κάθε μετάβαση. Αθροίζοντας τις δύο τιμές αυτής της ενέργειας, μίας κατά τη μετάβαση από αποκοπή σε αγωγή και μίας από αγωγή σε αποκοπή, και πολλαπλασιάζοντας το άθροισμα επί τη συχνότητα της διακοπικής λειτουργίας, υπολογίζομε την ισχύ καταναλώσεως στο στοιχείο λόγω της διακοπικής λειτουργίας.

Η συνολικά καταναλισκόμενη ισχύς στο στοιχείο θα είναι το άθροισμα της ισχύος καταναλώσεως κατά την αγωγή και της ισχύος καταναλώσεως λόγω της διακοπικής λειτουργίας. Εξυπακούεται, ότι αυτές οι καταναλώσεις ενέργειας είναι προσθετικές, δηλαδή είναι όλες παρούσες κατά τη λειτουργία του στοιχείου και επομένως προστίθενται μεταξύ τους. Η καταναλισκόμενη αυτή ενέργεια μέσα στο στοιχείο μετατρέπεται σε θερμότητα, η οποία αυξάνει τη θερμοκρασία του στοιχείου. Ασφαλής λειτουργία του στοιχείου θα υπάρξει αν η παραγόμενη θερμότητα απάγεται στο περιβάλλον, οπότε η θερμοκρασία του στοιχείου θα παραμένει σταθερή. Αν όμως αυτό δεν συμβεί και παράγεται περισσότερη θερμότητα στο στοιχείο απ' αυτήν, που απάγεται, θα προκύψει συνεχής αύξηση της θερμοκρασίας, με αποτέλεσμα την υπολειτουργία και ίσως την τελική καταστροφή του. Το φαινόμενο αυτό αποτελεί την ονομαζόμενη **θερμική απόκλιση** του στοιχείου και μπορούμε να τη μελετήσουμε αναφερόμενοι συγκεκριμένα σε ένα στοιχείο ισχύος. Επιλέγομε για το σκοπό αυτό το τρανζίστορ ισχύος. Σχεδόν όλη η καταναλισκόμενη ισχύ στο τρανζίστορ ισχύος κατά τη διακοπική λειτουργία του αναφέρεται στην επαφή συλλέκτη-βάσεως. Αυτή η ισχύς  $P_d$  όταν μετατρέπεται σε θερμότητα αυξάνει τη θερμοκρασία της επαφής  $T_j$  πάνω από τη θερμοκρασία του περιβάλλοντος  $T_A$ . Μεταξύ των μεγεθών αυτών

ισχύει η ακόλουθη σχέση:

$$T_j = T_A + R_{th} P_d \quad (3.2)$$

όπου οι  $T_j$  και  $T_A$  εκφράζονται σε °C και

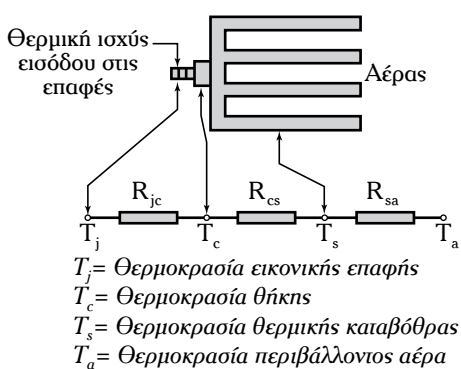
$$R_{th} = \frac{\partial T_j}{\partial P_d} \cong \frac{\Delta T_j}{\Delta P_d} \quad (3.3)$$

όπου  $R_{th}$  είναι η **θερμική αντίσταση** του τρανζιστορ από την επαφή συλλέκτη προς το περιβάλλον μετρούμενη σε °C/W. Η θερμική αντίσταση είναι μέτρο της δυσκολίας απαγωγής της καταναλισκόμενης ισχύος συλλέκτη προς το περιβάλλον. Στις εφαρμογές ισχύος το **περιβλήμα** (η θήκη) του τρανζιστορ ισχύος στερεώνεται σε **θερμική καταβόθρα**, δηλαδή πάνω σε μέταλλο, το οποίο είναι κατάλληλα διαμορφωμένο, ώστε να παρουσιάζει μεγάλη επιφάνεια επαφής με τον αέρα (σχ. 3.3α).

Μ' αυτόν τον τρόπο διευκολύνεται η απαγωγή της θερμότητας από την επαφή του συλλέκτη προς το περιβάλλον, με συνέπεια την ελάττωση της θερμικής αντιστάσεως  $R_{th}$ . Στην περίπτωση αυτή η θερμική αντίσταση  $R_{th}$  ισούται προς το άθροισμα της θερμικής αντιστάσεως μεταξύ επαφής συλλέκτη και περιβλήματος του τρανζιστορ  $R_{jc}$ , της θερμικής αντιστάσεως μεταξύ περιβλήματος τρανζιστορ και θερικής καταβόθρας  $R_{cs}$  και της θερμικής αντιστάσεως μεταξύ καταβόθρας και περιβάλλοντος  $R_{sa}$ . Δηλαδή:

$$R_{th} = R_{jc} + R_{cs} + R_{sa}. \quad (3.4)$$

Η αύξηση της θερμοκρασίας  $T_j$ , εάν δεν ελέγχεται μπορεί να αποβεί καταστρεπτική για το τρανζιστορ. Η σχέση 3.2, ισχύει και για τα λοιπά στοιχεία ισχύος, με την παραδοχή ότι η επαφή στην οποία καταναλίσκεται η ισχύς είναι μάλλον εικονική, αφού σε στοιχείο πολλαπλού στρώματος (π.χ. θυρίστορ)



**Σχ. 3.3α**

Ροή θερμότητας και κατανομή της θερμοκρασίας.

δεν είναι δυνατόν να ορισθεί σε ποια ακριβώς επαφή καταναλίσκεται η ισχύς. Από τη θερμότητα που προκύπτει από την καταναλισκόμενη ισχύ στο στοιχείο, ένα μέρος συγκρατείται σ' αυτό και αυξάνει τη θερμοκρασία του και το υπόλοιπο μεταβιβάζεται στη θερμική καταβόθρα. Αν θ είναι η θερμοκρασία στην επαφή πάνω από τη θερμοκρασία περιβάλλοντος, που τη χρονική στιγμή t είναι μηδέν αποδεικνύεται, ότι η αύξηση της θερμοκρασίας μετά από χρόνο t θα είναι:

$$\theta = \theta_{max} \left(1 - e^{-\frac{t}{\tau}}\right) \quad (3.5)$$

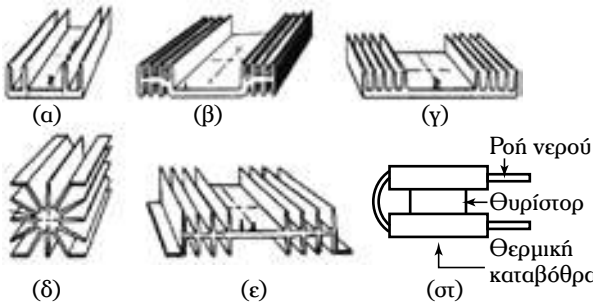
όπου  $\theta_{max}$  η τελική σταθερή τιμή της αυξήσεως της θερμοκρασίας της επαφής και τη λεγόμενη **θερμική σταθερά χρόνου**, η οποία εξαρτάται από τη θερμοχωρητικότητα του στοιχείου σε joules αποθηκευόμενης ενέργειας ανά °C αυξήσεως της θερμοκρασίας και από την καταναλισκόμενη ισχύ ανά °C αυξήσεως της θερμοκρασίας. Η σχέση 3.5, είναι χρήσιμη για κανονική λειτουργία των στοιχείων ισχύος, στην περίπτωση όμως που υπάρχει υπερφόρτωση για μικρό χρόνο χρειάζεται προσοχή, γιατί ο χρόνος ασφαλούς λειτουργίας θα είναι μικρότερος. Για τέτοιες περιπτώσεις υπερφορτώσεως οι κατασκευαστές παρέχουν τη λεγόμενη **μεταβατική θερμική εμπέδηση**  $Z_{th}$ , που πρέπει να χρησιμοποιείται για τον υπολογισμό της αυξήσεως της θερμοκρασίας. Η  $Z_{th}$  ορίζεται ως εξής:

$$Z_{th} = \frac{\text{διαφορά θερμοκρασίας (αύξηση)}{\text{κατανάλωση ισχύος στο στοιχείο}} \quad (3.6)$$

στο δεδομένο χρόνο

Η μεταβατική θερμική εμπέδηση χρησιμοποιείται για εφαρμογές, όπου εμφανίζεται κατ' επανάληψη υψηλή κατανάλωση ισχύος επαναληπτικά.

Η **θερμική καταβόθρα** (σχ. 3.3β), που αναφέρθηκε παραπάνω για τη διευκόλυνση της απαγωγής θερμότητας από το τρανζιστορ στο περιβάλλον, είναι απαραίτητη για την προστασία των ημιαγωγών ισχύος από υπερθέρμανση κατά τη λειτουργία τους. Το στοιχείο προσαρμόζεται κατάλληλα πάνω σε μεταλλική επιφάνεια, κατάλληλα διαμορφωμένη, ώστε αφενός να παρουσιάζει όσο το δυνατόν μεγαλύτερη επιφάνεια και αφετέρου να διευκολύνεται η κυκλοφορία του αέρα μέσα και γύρω απ' αυτόν. Η προσαρμογή του στοιχείου ισχύος στην θερμική καταβόθρα πραγματοποιείται κατά τρόπο τέτοιο, ώστε να υπάρχει



Σχ. 3.3β

Διάφοροι τύποι θερμικής καταβόθρας.

πλεκτρική μόνωση μεταξύ της εξωτερικής μεταλλικής επιφάνειας του στοιχείου και της θερμικής καταβόθρας. Απ' την άλλη πλευρά όμως η θερμική καταβόθρα  $R_{cs}$  μεταξύ αυτών των μεταλλικών επιφανειών πρέπει να είναι όσο το δυνατόν μικρότερη.

Ος μονωτικό υλικό συνήθως χρησιμοποιείται λεπτό φύλλο μίκας. Σε περιπτώσεις που απαιτείται καλύτερη ψύξη, η κυκλοφορία του αέρα επιταχύνεται με ανεμιστήρα. Τέλος, για ακόμη πιο ικανοποιητικά αποτελέσματα, η θερμική καταβόθρα ψύχεται με την κυκλοφορία ύδατος μέσα από σωλήνες που αποτελούν μέρος της [σχ. 3.3β(στ)].

### 3.4 Σύγκριση των πλεκτρονικών ισχύων.

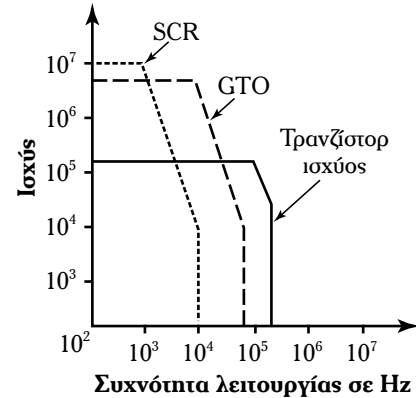
Μέσω του διαγράμματος που παρουσιάζεται στο σχήμα 3.4 γίνεται σύγκριση των SCR, των GTO και των τρανζίστορ ισχύων με κριτήριο τη διαχειρίζομενη ισχύ και την ταχύτητα αποκρίσεως.

Τα SCR διαχειρίζονται μεγαλύτερα ποσά ισχύος ως προς τα GTO και τα τρανζίστορ ισχύων. Τα GTO διαχειρίζονται ποσότητες ισχύος περίπου ίσες με τα SCR, αλλά είναι πολύ ταχύτερα των SCR. Τα τρανζίστορ ισχύων διαχειρίζονται λιγότερες ποσότητες ισχύος από τα SCR και GTO αλλά η ταχύτητα τους είναι δεκαπλάσια από την αντίστοιχη των SCR και GTO.

### 3.5 Κυκλώματα ανορθωτικών διατάξεων ισχύος – Εισαγωγή.

Ο σκοπός των διατάξεων αυτών είναι η μεταφορά ενέργειας από ένα σύστημα εναλλασσόμενου ρεύματος σε ένα σύστημα συνεχούς. Τελικά, τα συστήματα ανορθωτικών είναι μετατροπέις πλεκτρικού ρεύματος. Ανάλογα με τον τρόπο μεταβιβάσεως του ρεύματος φορτίου από έναν κλάδο σε έναν άλλον, οι μετατροπέις διακρίνονται:

1) Στους μετατροπέις χωρίς μετάβαση στους



Σχ. 3.4

Διάγραμμα συγκρίσεως της ισχύος και της ταχύτητας αποκρίσεως SCR, των GTO και των τρανζίστορ ισχύων.

οποίους το ρεύμα δεν αλλάζει κλάδο και η μεταβίβαση ισχύος στο φορτίο γίνεται μέσω διακοπών, οι οποίους μπορεί να είναι μηχανικοί ή πλεκτρονικοί.

2) Στους μετατροπέις με φυσική μετάβαση στους οποίους χρησιμοποιούνται, σε συνδυασμό, θυρίστορ και δίοδοι. Η σβέση του στοιχείου που άγει, είναι αποτέλεσμα της δράσεως της εναλλασσόμενης τάσεως που έπειται της εναύσεως του επόμενου στοιχείου στη διάταξη. Σ' αυτήν την περίπτωση δεν απαιτείται εξωτερικό κύκλωμα για τη σβέση του στοιχείου που άγει.

3) Μία από τις εφαρμογές των μετατροπέων είναι η ανόρθωση του εναλλασσόμενου ρεύματος και η τροφοδότηση κάποιου φορτίου. Όταν χρησιμοποιούνται πλεκτρονικά ισχύος, το τροφοδοτούμενο φορτίο είναι, συνήθως, συνδυασμός ωμικής αντιστάσεως  $R$ , και επαγωγής  $L$ . Σε αυτήν την περίπτωση το ρεύμα στο φορτίο δεν μπορείται όταν η εναλλασσόμενη τάση γίνεται μηδέν, αλλά διατηρείται και πέραν της μισής περιόδου. Πολλά κυκλώματα ανορθωτικών, κυρίως μισού-κύματος περιλαμβάνουν μια δίοδο παράλληλη στο ωμικο-επαγωγικό φορτίο, η οποία ονομάζεται δίοδος ελεύθερης ροής.

Ο σκοπός αυτής της διόδου είναι να καταναλώνει την αποθηκευμένη ενέργεια στην επαγωγή  $L$ , στα διαστήματα κατά τα οποία τα θυρίστορ δεν άγουν. Στην περίπτωση, κατά την οποία τα πλεκτρονικά ισχύος είναι MOSFET ισχύος, IGBT και GTO θυρίστορ η σβέση τους μπορεί να πραγματοποιείται με έλεγχο της τάσεως ή του ρεύματος στη βάση ή την πύλη τους. Προκειμένου να επιτευχθεί η ελεγχόμενη σβέση απαιτούνται εξωτερικά κυκλώματα. Σε αυτήν την περίπτωση οι μετατροπέις είναι με εξαναγκασμένη μετάβαση.

### 3.5.1 Μονοφασική σύνδεση για πμιανόρθωση.

Στο σχήμα 3.5α παρουσιάζεται κύκλωμα ελεγχόμενης πμιανόρθωσης, το οποίο περιλαμβάνει θυρίστορ και δίοδο ελεύθερης ροής. Στο σχήμα 3.5β παρουσιάζονται οι κυματομορφές τάσεων και ρευμάτων για διάφορες σπιγμές εναύσεως του θυρίστορ με το παλμικό ρεύμα  $i_g$ .

Όταν η γωνία εναύσεως  $\alpha = \omega t$  είναι μικρή, το ρεύμα  $i_L$  και η τάση  $U_L$  στο φορτίο λαμβάνουν μεγάλες τιμές. Όταν η τάση  $U_s$  γίνεται αρνητική και το ρεύμα  $i_L$  δεν μπορεί να περιλαμβάνει επαγωγή, ο δίοδος ελεύθερης ροής άγει ρεύμα, του οποίου η τιμή ελαττώνεται εκθετικά με το χρόνο, γιατί το φορτίο περιλαμβάνει επαγωγή. Οπότε η τάση  $U_L$  δεν γίνεται αρνητική γιατί ο δίοδος ελεύθερης ροής, ορθά πολωμένη έχει σχεδόν μηδενική τάση στους ακροδέκτες της. Από την κυματομορφή της τάσεως  $U_L$ , η συνεχής συνιστώσα της είναι:

$$V_{dc} = \frac{V_m}{\pi} (1 + \text{συνα}) \quad (3.7)$$

όπου  $V_m$  η μέγιστη τιμή της κυματομορφής της τάσεως.

### 3.5.2 Μονοφασικό κύκλωμα γέφυρας για πλήρη ανόρθωση (σχ. 3.5γ).

Τα θυρίστορα ανά δύο,  $T_1, T_3$  και  $T_2, T_4$  πρέπει να έρχονται σε αγωγή συγχρόνως. Τα  $T_1, T_3$  κατά τη μία ημιπερίοδο και τα  $T_2, T_4$  κατά την άλλη. Η ένωση πραγματοποιείται με τη χρήση μετασχηματιστή παλμών. Η τιμή της συνεχούς τάσεως στο φορτίο (σχ. 3.5δ) είναι:

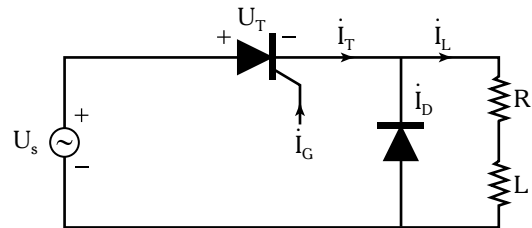
$$V_{dc} = \frac{2V_m}{\pi} \text{συνα}. \quad (3.8)$$

Η εξίσωση 3.8 δεν ισχύει, όταν το ρεύμα φορτίου δεν είναι συνεχόμενο.

### 3.5.3 Μονοφασικός ανορθωτής γέφυρας με διπλή ανόρθωση και πυκνωτή στην έξοδο (σχ. 3.5ε).

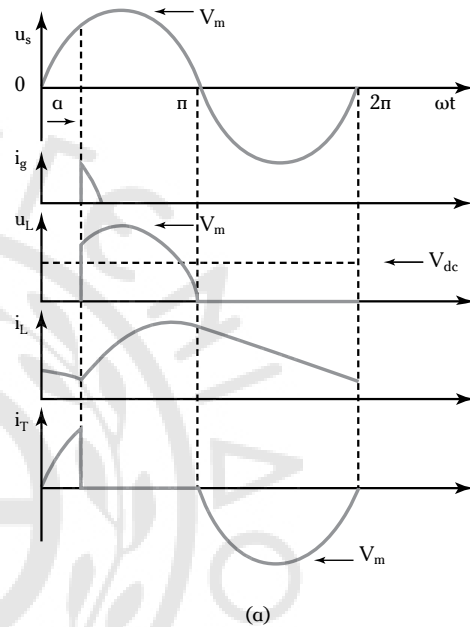
Έστω  $V_m$  η τάση στα άκρα του δευτερεύοντος του M/S. Κατά την θετική ημιπερίοδο στα άκρα του δευτερεύοντος AB, άγουν οι δίοδοι  $D_1$  και  $D_2$  και το ρεύμα έχει την φορά των βελών.

Στην αρνητική ημιπερίοδο της τάσεως του δευτερεύοντος του M/S άγουν οι δίοδοι  $D_3$  και  $D_4$  και η φορά του ρεύματος διδεται από εκείνη των διακομμένων βελών.

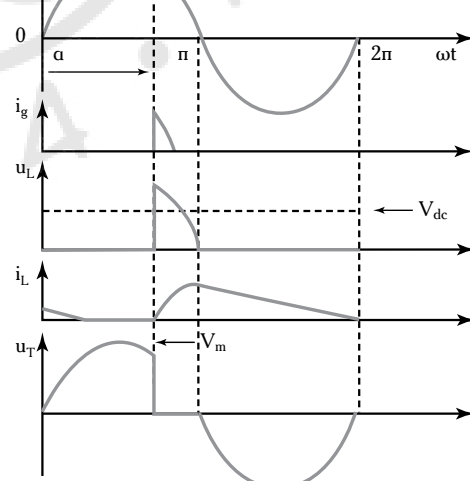


**Sx. 3.5α**

Κύκλωμα ελεγχόμενης πμιανόρθωσης.



(a)



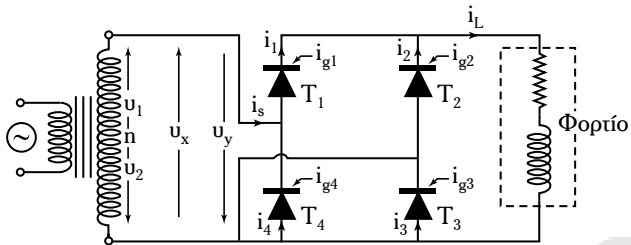
(b)

**Sx. 3.5β**

(a) και (b) Κυματομορφές τάσεων και ρευμάτων για διάφορες σπιγμές εναύσεως του θυρίστορ.

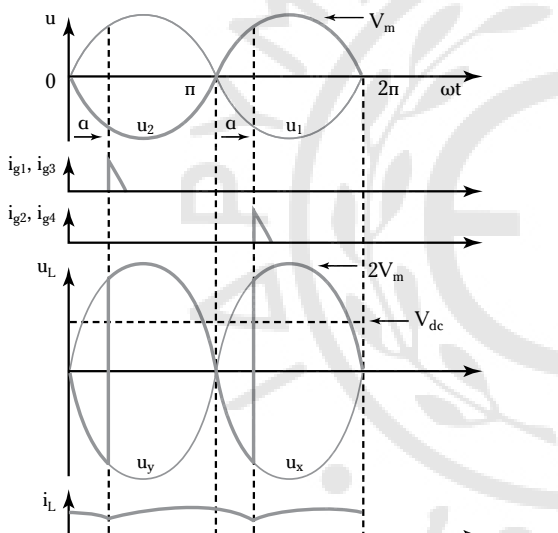
Αποδεικνύεται ότι η συνεχής τάση στα άκρα της γέφυρας διόδων είναι διπλάσια από εκείνη, την οποία λαμβάνουμε όταν έχουμε απλή ανόρθωση. Θεωρούμε ότι στην έξοδο της γέφυρας συνδέεται πυκνωτής χωρητικότητας  $C$  (σχ. 3.5τ).

Η μέση τιμή της ανορθωμένης τάσεως  $V_{av}$ , όταν ο



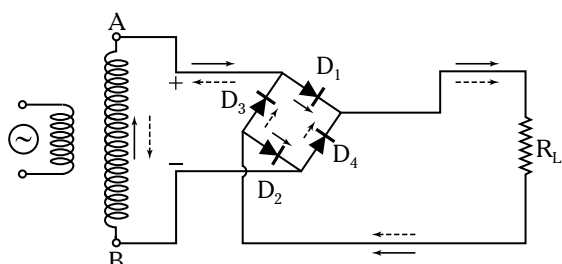
Σχ. 3.5γ

Μονοφασικό κύκλωμα γέφυρας με θυρίστορ πλήρους ανορθώσεως.



Σχ. 3.5δ

Κυματομορφές τάσεων-ρευμάτων σε μονοφασικό κύκλωμα γέφυρας πλήρους ανορθώσεως, όταν το φορτίο είναι ωμικο-επαγγελματικό.



Σχ. 3.5ε

Κύκλωμα διπλής ανορθώσεως με γέφυρα.

διακόπτης δ είναι ανοικτός είναι:

$$V_{av} = 0,9 \cdot V_{ev} = 0,9 \cdot 10 = 9 \text{ V}$$

όπου  $V_{ev}$  είναι η ενεργός τιμή της τάσεως τροφοδοσίας της γέφυρας.

Όταν ο διακόπτης δ κλείσει, ο πυκνωτής φορτίζεται και η τιμή κορυφής ( $V_p$ ) της κυματομορφής της τάσεως είναι:

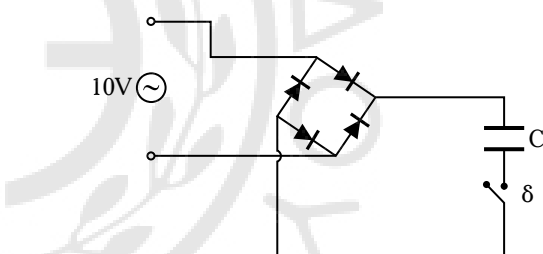
$$V_p = 1,414 \cdot V_{ev} = 1,414 \cdot 10 = 14,14 \text{ V.}$$

Όταν στην έξοδο της γέφυρας συνδεθεί φορτίο, τότε η  $V_p$  θα έχει μικρότερη τιμή.

### 3.5.4 Τριφασικό κύκλωμα ανορθωτή γέφυρας πλήρους ανορθώσεως.

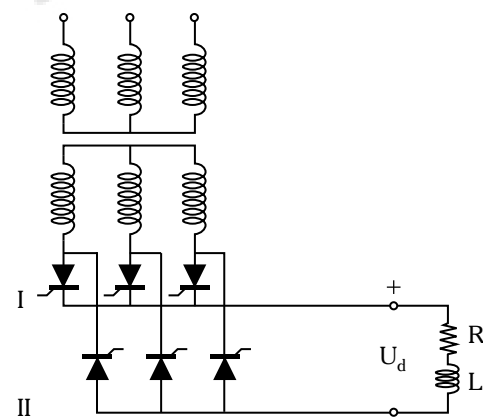
Στο σχήμα 3.5ζ παρουσιάζεται το κύκλωμα γέφυρας για την μετατροπή της τριφασικής τάσεως σε συνεχή. Η κυκλωματική αυτή διάταξη, αποτελείται από έξι θυρίστορ, τα οποία διακρίνονται σε δύο ομάδες (I και II).

Η ομάδα I αποτελεί τη **θετική ομάδα** ανορθώσεως γιατί τα θυρίστορά άγουν στη θετική πριπερίοδο,



Σχ. 3.5ζ

Γέφυρα με διπλή ανόρθωση και πυκνωτή κατά μήκος της έξοδου.



Σχ. 3.5η

Τριφασικό κύκλωμα ανορθωτή πλήρους ανορθώσεως.

ενώ η **ομάδα II** αποτελεί την **αρνητική ομάδα** γιατί τα θυρίστορά άγουν στην αρνητική προπερίοδο των τάσεων εισόδου. Κάθε θυρίστορά άγει για  $120^\circ$ . Η γωνία εναύσεως καθορίζεται από την γωνία  $\omega t = 30^\circ$ . Η ανόρθωση αυτή είναι έξι παλμών, γιατί η τάση εξόδου αποτελείται από έξι παλμούς. Αν η γωνία εναύσεως είναι μηδενική τότε η κυκλωματική διάταξη λειτουργεί ως κλασική τριφασική γέφυρα ανορθώσεως.

Όταν το δίκτυο και η γέφυρα δεν τροφοδοτούν το φορτίο, τότε για να μην υπερθερμαθούν τα θυρίστορα τοποθετούμε παράλληλα με το φορτίο μια δίοδο ελεύθερης ροής, με πολικότητα όπως εκείνη των θυρίστορων της ομάδας II.

### 3.5.5 Τριφασική σύνδεση γέφυρας για πιανόρθωση στο δευτερεύον των τριφασικού μετασχηματιστή, σύνδεση τυλιγμάτων σε αστέρα.

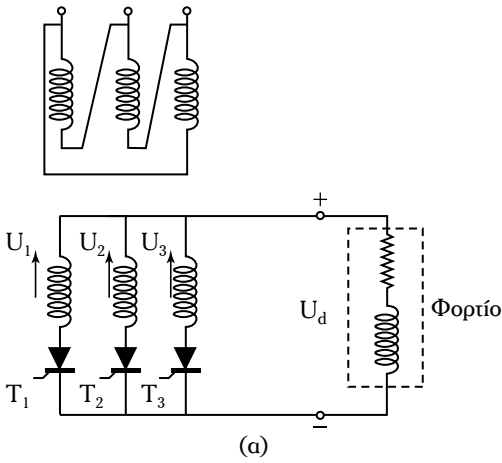
Οι συνδεσμολογίες της ελεγχόμενης τριφασικής ανορθώσεως εφαρμόζονται στον έλεγχο κινητήρων ΣΡ, σε διάταξη φορτίσεως συσσωρευτών και σε πλεκτρικά δίκτυα μεταφοράς ΣΡ.

Στο σχήμα 3.5n(a) παρουσιάζεται η διάταξη τριφασικής συνδέσεως γέφυρας για πιανόρθωση όταν τα τυλίγματα του δευτερεύοντος, του μετασχηματιστή συνδέονται σε αστέρα, ενώ στο σχήμα 3.5n(β) οι κυματομορφές των τριών τάσεων  $u_1$ ,  $u_2$  και  $u_3$ .

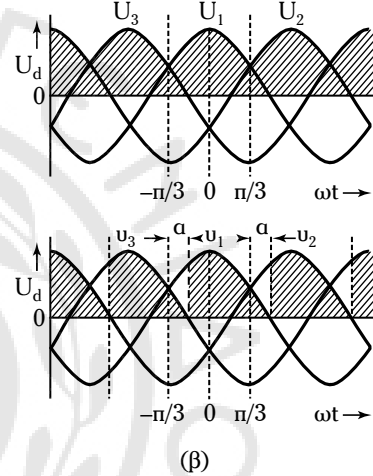
Το μειονέκτημα αυτής της διατάξεως είναι ότι τα ρεύματα εισόδου περιλαμβάνουν συνεχή συνιστώσα, η οποία μπορεί να δημιουργήσει μαγνητικό κορεσμό του σιδηροπυρήνα του μετασχηματιστή. Το μειονέκτημα αυτό εξαλείφεται αν τα τυλίγματα του δευτερεύοντος του μετασχηματιστή είναι συνδεσμολογίας ζικ-ζακ.

### 3.6 Ερωτήσεις.

- 1) Ποιος είναι ο ρόλος των πλεκτρονικών ισχύος;
- 2) Ποια είναι η βασική αρχή λειπουργίας της δίοδου;
- 3) Τι είναι το θυρίστορ, πώς λειπουργεί και ποια η χρήση του;
- 4) Τι είναι το DIAC; Ποια η αρχή λειπουργίας του;
- 5) Σχεδιάστε τη χαρακτηριστική ρεύματος-τάσεως ενός TRIAC και εξηγήστε τη λειπουργία του.
- 6) Τι είναι το τρανζίστορ ισχύος και ποιο το πεδίο εφαρμογής του;



(a)



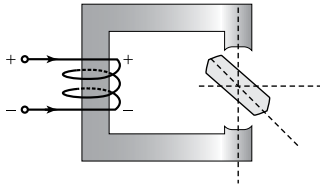
(b)

(β)

- 7) Τι είναι το MOSFET και πώς λειπουργεί;  
 8) Πώς φύχονται και πώς προστατεύονται τα πλεκτρονικά ισχύος;  
 9) Ποια συμπεράσματα βγάζει από τη σύγκριση των πλεκτρονικών ισχύος;

- 10) Σε ποιες κατηγορίες κατατάσσονται οι μετατροπείς ανάλογα με τον τρόπο μεταβιβάσεως του ρεύματος από έναν κλάδο στον άλλο μίας συνδεσμολογίας τους;

- 11) Τι είναι η δίοδος ελεύθερης ροής;  
 12) Σχεδιάστε ένα μονοφασικό κύκλωμα γέφυρας θυρίστορ πλήρους ανορθώσεως. Περιγράψτε τη λειπουργία της.



## ΚΕΦΑΛΑΙΟ ΤΕΤΑΡΤΟ ΗΛΕΚΤΡΟΜΗΧΑΝΙΚΗ ΜΕΤΑΤΡΟΠΗ ΕΝΕΡΓΕΙΑΣ

### 4.1 Εισαγωγή.

Είναι γνωστό ότι η πλεκτρική ενέργεια, που είναι βιομηχανικά αξιοποίησιμη, δεν είναι διαθέσιμη στη φύση γι' αυτό είναι απαραίτητο να παραχθεί. Η γεννήτρια είναι διάταξη, η οποία μετατρέπει την μηχανική ενέργεια σε πλεκτρική. Το αντίστροφο συμβαίνει στους κινητήρες.

Η πλεκτρομηχανική μετατροπή ενέργειας υλοποιείται με τη μεταφορά ενέργειας μεταξύ πλεκτρικών και μηχανικών συστημάτων, μέσω του πλεκτρικού ή του μαγνητικού πεδίου.

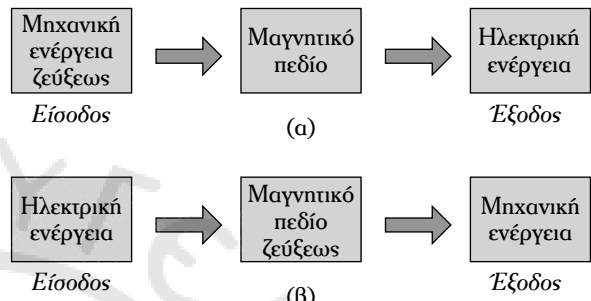
Το μαγνητικό πεδίο έχει μεγάλη πρακτική αξία για τις περισσότερες συσκευές. Η δυνατότητα αποθήκευσης της ενέργειας στο μαγνητικό πεδίο είναι μεγαλύτερη σε σχέση με την αντίστοιχη στο πλεκτρικό.

Η πλεκτρομηχανική μετατροπή ενέργειας βασίζεται στην Αρχή της Διατηρόσεως της Ενέργειας. Η ενέργεια δεν δημιουργείται, δεν καταστρέφεται, αλλά μετασχηματίζεται από τη μία μορφή σε άλλη.

Στο σχήμα 4.1α δίδονται, σχηματικά, πλεκτρομηχανικά συστήματα μετατροπής ενέργειας, τα οποία μετατρέπουν μηχανική ενέργεια σε πλεκτρική ενέργεια και αντίστροφα.

Η διαδικασία της πλεκτρομηχανικής μετατροπής ενέργειας περιλαμβάνει τέσσερεις μορφές ενέργειας.

Στο σχήμα 4.1β παρουσιάζονται οι ενεργειακοί



**Σχ. 4.1α**

Σχηματική παράσταση διαδικασιών πλεκτρομηχανικής μετατροπής ενέργειας: (a) γεννήτρια και (b) κινητήρας.

μετατροπέis, οι οποίοι περιλαμβάνουν τις διαδικασίες πλεκτρομηχανικής μετατροπής ενέργειας.

Οι απώλειες ενέργειας εντοπίζονται στο χαλκό (απώλειες Joule), στη διαδικασία μαγνητίσεως (απώλειες λόγω μαγνητικής υστερόσεως), στις τριβές και στον ανεμισμό κ.λπ..

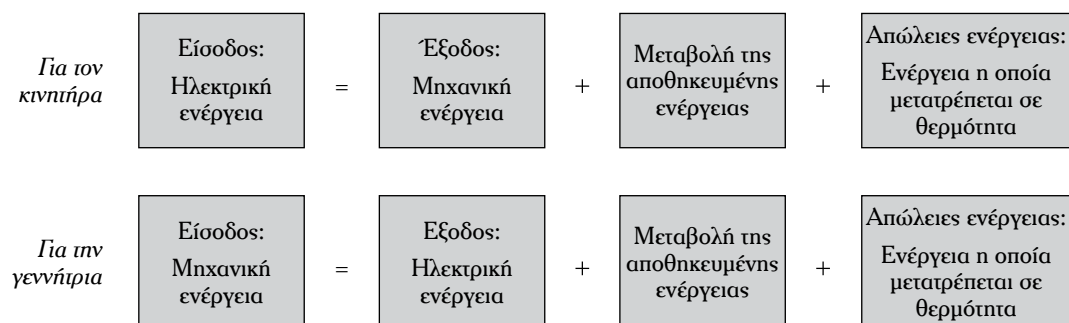
Η εξίσωση του ισολογισμού ενέργειας με τη διαφορική μορφή των όρων είναι:

$$dW_e = dW_m + dW_f + dW_{loss}$$

και

$$dW_m = dW_e + dW_f + dW_{loss} \quad (4.1)$$

όπου:  $dW_e$  η στοιχειώδης πλεκτρική ενέργεια,  $dW_m$  η στοιχειώδης μηχανική ενέργεια,  $dW_{loss}$  η στοιχειώδης απώλεια ενέργειας και  $dW_f$  η στοιχειώδης ενέρ-



**Σχ. 4.1β**

Ενεργειακοί μετατροπέis, οι οποίοι περιλαμβάνουν τις διαδικασίες πλεκτρομηχανικής μετατροπής ενέργειας.

γεια, που αποθηκεύεται στο μαγνητικό πεδίο.

Η ανάλυση της συμπεριφοράς των πλεκτρομηχανικών συσκευών μετατροπής ενέργειας πραγματοποιείται χρησιμοποιώντας την εξίσωση ισολογισμού ενέργειας. Αυτή είναι η ενεργειακή μέθοδος αναλύσεως, που βασίζεται στην Αρχή Διατηρήσεως της Ενέργειας.

## 4.2 Στοιχειώδης κινητήρας μαγνητικής αντιστάσεως – Γενικά.

Στο σχήμα 4.2α παρουσιάζεται η δομή ενός απλού γραμμικού συστήματος κινητήρα μαγνητικής αντιστάσεως, στο οποίο διακρίνονται τα εξής βασικά στοιχεία των συστημάτων πλεκτρομηχανικής μετατροπής ενέργειας: Το **σταθερό μέρος (στάτης)**, το **περιστρεφόμενο μέρος (δρομέας)** τα **τυλίγματα**, σκοπός των οποίων είναι η δημιουργία της κατάλληλης μαγνητικής ροής και το **διάκενο** μεταξύ του στάτη και του δρομέα.

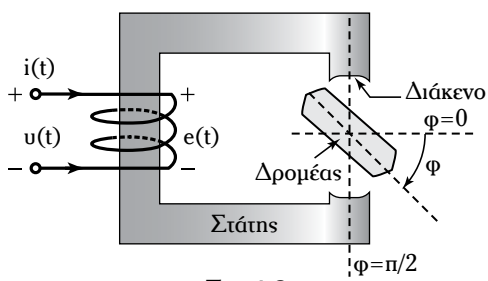
Στο σχήμα 4.2α, ο κινητήρας μαγνητικής αντιστάσεως περιλαμβάνει ένα τύλιγμα, το οποίο τοποθετείται στον στάτη, και έναν δρομέα διαμορφωμένο κατάλληλα, ώστε η μαγνητική αντίσταση του μαγνητικού κυκλώματος να εξαρτάται από τη γωνιακή του θέση.

Η μαγνητική ροή δημιουργεί μια πλεκτρομαγνητική ροπή, που οποία τείνει να ευθυγραμμίσει τον δρομέα στη θέση  $\Phi = \frac{\pi}{2}$ . Στην ανάλυση που ακολουθεί, εξετάζεται με ποσοτικούς και ποιοτικούς όρους η σχέση της πλεκτρομαγνητικής ροπής με τα πλεκτρομαγνητικά μεγέθη: μαγνητική ροή και ρεύμα.

### 4.2.1 Βασικές εξισώσεις για τον κινητήρα μαγνητικής αντιστάσεως.

Από πλεκτρικής απόψεως η βασική εξίσωση, η οποία περιγράφει την ισορροπία τάσεων του συστήματος στο σχήμα 4.2α, είναι η ακόλουθη:

$$u(t) = i(t)R + e(t) \quad (4.2)$$



Σχ. 4.2α

Στοιχειώδης κινητήρας μαγνητικής αντιστάσεως.

όπου:  $u(t)$  η τάση τροφοδοσίας σε Volt του τυλίγματος του στάτη,  $i(t)$  το ρεύμα σε Ampere του τυλίγματος του στάτη,  $R$  η ωμική αντίσταση σε  $\Omega$  του τυλίγματος του στάτη και  $e(t)$  η επαγόμενη τάση σε Volt στο τύλιγμα του στάτη.

Με βάση τον Νόμο του Faraday η επαγόμενη τάση  $e(t)$  δίδεται:

$$e(t) = \frac{d\Psi}{dt} \quad (4.3)$$

όπου  $\Psi$  η πεπλεγμένη μαγνητική ροή με το τύλιγμα του στάτη σε Weber.

### – Ποιοτική σχέση πεπλεγμένης ροής και ρεύματος.

Με βάση τον Νόμο του Hopkinson των μαγνητικών κυκλωμάτων, ισχύει ότι:

$$ni = R_m \Phi \quad \text{και} \quad n^2 i = R_m \Psi \quad (4.4)$$

όπου  $R_m$ , η μαγνητική αντίσταση του μαγνητικού κυκλώματος.

$$\text{Ισχύει: } R_m = \frac{1}{\mu} \frac{\ell}{A} \quad (4.5)$$

όπου:  $\ell$  το μήκος της μέσης μαγνητικής δυναμικής γραμμής,  $A$  το εμβαδόν της διατομής του μαγνητικού κυκλώματος και  $\mu$  η μαγνητική διαπερατότητα του μέσου, στο οποίο αναπτύσσεται η μαγνητική ροή.

Για το σύστημα που παρουσιάζεται στο σχήμα 4.2α, η μαγνητική αντίσταση του μαγνητικού κυκλώματος εξαρτάται απ' τη θέση του δρομέα.

Όταν μεταβάλλεται η γωνία  $\phi$ , μεταβάλλεται το μήκος της διαδρομής στο διάκενο, το οποίο έχει μία μαγνητική διαπερατότητα μικρή και σταθερή, ως προς το μήκος της διαδρομής στο σιδηρομαγνητικό υλικό, που έχει μεγάλη μαγνητική διαπερατότητα (η οποία μεταβάλλεται λόγω του φαινόμενου του μαγνητικού κόρου).

Αν η θέση του δρομέα είναι  $\phi = 0$ , το διάκενο είναι μεγάλο, οπότε η μαγνητική ροή (ανάλογα και το ρεύμα) έχει μικρή τιμή, αλλά μεταβάλλεται γραμμικά με το ρεύμα. Αν η θέση του δρομέα είναι  $\phi = \frac{\pi}{2}$ , το διάκενο είναι μικρό, οπότε η μαγνητική ροή είναι μεγαλύτερη, αλλά παρουσιάζεται το φαινόμενο του μαγνητικού κόρου για μεγάλες τιμές ρεύματος.

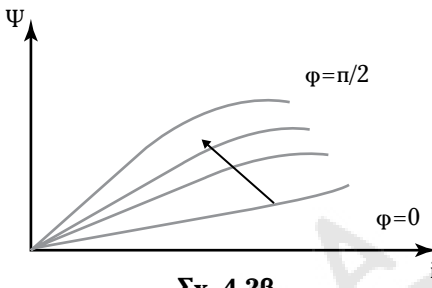
Στο σχήμα 4.2β, δίδονται οι χαρακτηριστικές καμπύλες της πεπλεγμένης μαγνητικής ροής και του ρεύματος οι οποίες περιλαμβάνονται μεταξύ των ορι-

ακόν θέσεων  $\Phi \left( 0, \frac{\pi}{2} \right)$  του συστήματος.

Το σύνολο των χαρακτηριστικών αυτών καμπυλών και της εξισώσεως των τάσεων, αποτελεί το πρότυπο του στοιχειώδους κινητήρα μαγνητικής αντιστάσεως:

$$u(t) = i(t)R + \frac{d\Psi}{dt} \quad (4.6)$$

$$\Psi = \Psi(i, \Phi). \quad (4.7)$$



Σχ. 4.2β

Χαρακτηριστικές καμπύλες της πεπλεγμένης ροής και του ρεύματος σε έναν στοιχειώδη κινητήρα μαγνητικής αντιστάσεως.

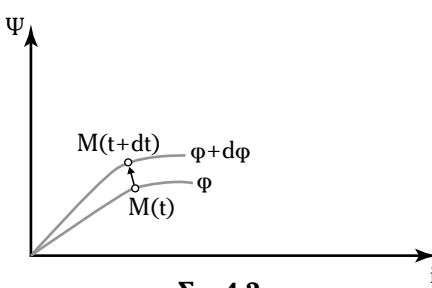
#### 4.2.2 Ενεργειακό ισοζύγιο.

Θεωρούμε το πλεκτρομαγνητικό σύστημα του σχήματος 4.2γ στη διάρκεια λειτουργίας ενός στοιχειώδους χρόνου  $dt$ , στο οποίο συμβαίνει μια στοιχειώδης μετατόπιση του δρομέα  $d\varphi$ . Το ρεύμα, η πεπλεγμένη ροή και η θέση του δρομέα καθορίζουν το σημείο λειτουργίας  $M$  στο επίπεδο  $\Psi - i$ .

Αν πολλαπλασιάσουμε και τα δύο μέλη της εξισώσεως 4.6 με  $idt$ , προκύπτει το ενεργειακό ισοζύγιο του συστήματος:

$$uidt = Ri^2 dt + d\Psi i. \quad (4.8)$$

Το πρώτο μέλος της εξισώσεως 4.8 ( $dW_e = uidt$ ) εκφράζει την πλεκτρική ενέργεια, την οποία προσφέρει το δίκτυο στο σύστημα στο χρόνο  $dt$ .



Σχ. 4.2γ

Μετατόπιση σημείου λειτουργίας στις μαγνητικές χαρακτηριστικές του κινητήρα μαγνητικής αντιστάσεως.

Το πρώτο μέλος του δεύτερου μέρους της εξισώσεως 4.8, εκφράζει τις απώλειες Joule ( $dW_J$ ).

$$\text{Ισχύει: } dW_e = id\Psi = dW_f + dW_m. \quad (4.9)$$

Η εξισώση 4.9, εκφράζει την πλεκτρική ενέργεια, μέρος της οποίας αποθηκεύεται στο μαγνητικό πεδίο  $dW_f$ , και το υπόλοιπο μετατρέπεται σε μηχανική ενέργεια  $dW_m$ , η οποία αποδίδεται στον άξονα του συστήματος.

Για τον στοιχειώδη κινητήρα μαγνητικής αντιστάσεως (σχ. 4.2α), η μηχανική ενέργεια ισούται με το μηχανικό έργο της ροπής  $T$ , η οποία ασκείται στην κατεύθυνση της μετατοπίσεως  $d\varphi$  του δρομέα:

$$dW_m = Td\varphi. \quad (4.10)$$

#### 4.2.3 Αποθηκευμένη ενέργεια. Συνενέργεια.

Για τον υπολογισμό της αποθηκευμένης ενέργειας στο μαγνητικό πεδίο του κινητήρα του σχήματος 4.2α, θεωρούμε σταθερό τον δρομέα στη θέση  $\varphi = 0$ . Σε αυτήν την περίπτωση η πλεκτρική ενέργεια του δικτύου, μετασχηματίζεται σε μαγνητική ενέργεια, η οποία αποθηκεύεται στο μαγνητικό πεδίο. Δεν υπάρχει μηχανική ενέργεια γιατί ο δρομέας, όταν  $\varphi = 0$ , δεν περιστρέφεται. Με βάση την ακόλουθη σχέση διατυπώνομε το ισοζύγιο ενέργειας στο διάστημα  $[0, t]$ :

$$dW_e = id\Psi = dW_f. \quad (4.11)$$

Ηλεκτρική ενέργεια του δικτύου:

$$W_e = \int_0^t uidt. \quad (4.12)$$

Ηλεκτρική ενέργεια, η οποία καταναλώνεται στην αντίσταση  $R$ :

$$W_J = \int_0^t Ri^2 dt. \quad (4.13)$$

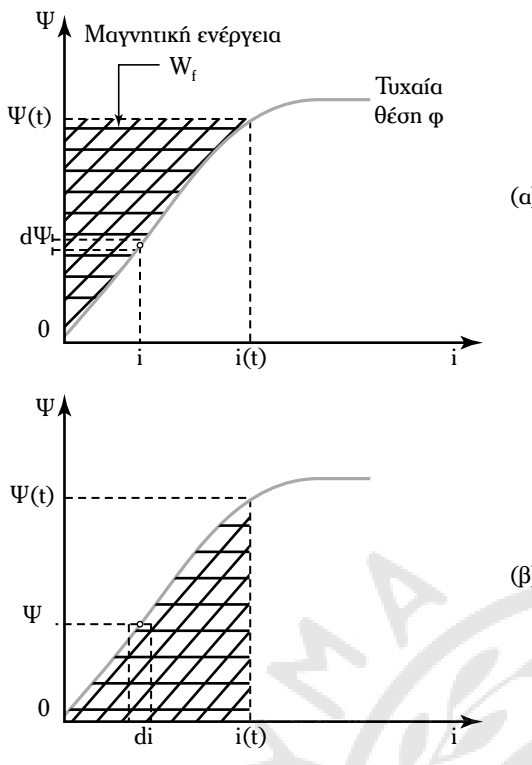
Ενέργεια, που αποθηκεύεται στο μαγνητικό πεδίο:

$$W = W_e - W_J = W_f = \int_0^\Psi id\Psi. \quad (4.14)$$

Η γραμμοσκιασμένη περιοχή στο σχήμα 4.2δ(α), εκφράζει τη μαγνητική ενέργεια.

Η συνενέργεια (γραμμοσκιασμένη περιοχή), ορίζεται στο σχήμα 4.2δ(β), ως εξής:

$$W_c = \int_0^i \Psi di. \quad (4.15)$$



Σχ. 4.28

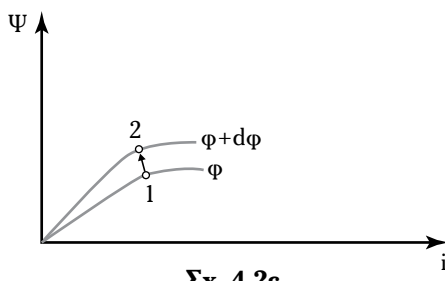
(a) Μαγνητική ενέργεια και  
(β) οριομός της συνενέργειας στο επίπεδο  $\Psi - i$ .

Η ενέργεια και η συνενέργεια συνδέονται μεταξύ τους με την ακόλουθη εξίσωση:

$$W_f + W_c = \Psi i. \quad (4.16)$$

#### 4.2.4 Ηλεκτρομαγνητική ροή.

Το πλεκτρομαγνητικό σύστημα του σχήματος 4.2α, στο χρονικό διάστημα  $dt$  μετατοπίζει το σημείο λειτουργίας του όταν μεταβάλλεται το ρεύμα, η μαγνητική ροή και η θέση του δρομέα (μετατόπιση από το σημείο 1 στο σημείο 2) (σχ. 4.2ε).



Μεταβολή των σημείων λειτουργίας των στοιχειώδους κινητήρα μαγνητικής αντιστάσεως, όταν μεταβάλλεται η μαγνητική ροή σε συνάρτηση με το ρεύμα.

Για τον υπολογισμό της μηχανικής ενέργειας (οπότε και της πλεκτρομαγνητικής ροής  $T$ ) του πλεκτρομηχανικού συστήματος θεωρούμε τα ακόλουθα δύο είδη μετατοπίσεως του σημείου λειτουργίας του:

#### 1) Μετατόπιση των σημείων λειτουργίας όταν η ροή διατηρείται σταθερή.

Όταν η μετατόπιση πραγματοποιείται με σταθερή ροή ( $d\Psi = 0$ ) η παρεχόμενη στο σύστημα πλεκτρική ενέργεια ισούται με μηδέν ( $dW_e = id\Psi = 0$ ). Από το ισοζύγιο ενέργειας προκύπτει:

$$dW_e = 0 = dW_m + dW_f. \quad (4.17)$$

Με σταθερή μαγνητική ροή, η μηχανική ενέργεια (κωρίς να λαμβάνεται υπόψη το αρνητικό πρόσημο) ισούται με τη μεταβολή της αποθηκευμένης ενέργειας:

$$dW_m = Td\phi = -dW_f \mid \Psi = \text{σταθ..} \quad (4.18)$$

Η μαγνητική ενέργεια είναι συνάρτηση περισσότερων μεταβλητών (θέση δρομέα, ρεύμα και μαγνητική ροή). Η ροή γράφεται ως εξής:

$$T = -\frac{dW_f}{d\phi} \mid \Psi = \text{σταθ..} \quad (4.19)$$

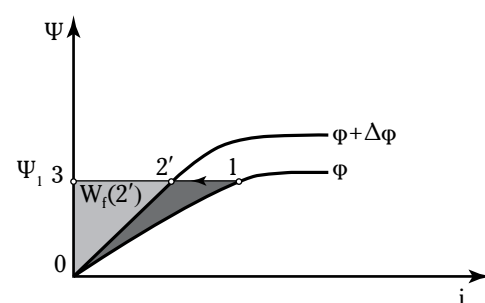
Με βάση την εξίσωση 4.19, υπολογίζομε την πλεκτρομαγνητική ροή όταν  $W_f = W_f(\Psi, \phi)$ .

Στο σχήμα 4.2στ, δίδεται η μετατόπιση του σημείου λειτουργίας, του συστήματος, από τη θέση 1 στη θέση 2' και ο υπολογισμός της αντίστοιχης μεταβολής της μαγνητικής ενέργειας  $\Delta W_f$  ( $\Psi_1$  είναι η σταθερή τιμή της ροής).

Στην περίπτωση αυτή ισχύει:

1) Μαγνητική ενέργεια στο σημείο 1:

$$W_f^{(1)} = \int_0^{\Psi_1} id\Psi \mid \phi = \text{εμβαδόν (0130)}. \quad (4.20)$$



Σχ. 4.2στ  
Μετατόπιση των σημείων λειτουργίας με σταθερή ροή.

2) Μαγνητική ενέργεια στο σημείο 2':

$$W_f^{(2')} = \int_0^{\Psi_1} id\Psi \quad \left| \begin{array}{l} \Phi + \Delta\Phi = \text{εμβαδόν (02'30)} \\ \end{array} \right. \quad (4.21)$$

3) Μεταβολή της μαγνητικής ενέργειας:

$$\Delta W = W_f^{(2')} - W_f^{(1)} = -\text{εμβαδόν (012'0)} \quad (4.22)$$

### 2) Μετατόπιση του σημείου λειτουργίας όταν το ρεύμα διατηρείται σταθερό.

Σ' αυτήν την περίπτωση  $dW_e = id\Psi \neq 0$ . Η μεταβολή της μαγνητικής ενέργειας δίδεται από την εξίσωση:

$$dW_m = dW_e - dW_f \quad (4.23)$$

Από το σχήμα 4.2ζ, προκύπτουν οι εξής ενέργειες:

1) Παρεχόμενη πλεκτρική ενέργεια:

$$\Delta W = \int_{\Psi_1}^{\Psi_2} id\Psi = i(\Psi_2 - \Psi_1) = \text{εμβαδόν (12''43)} \quad (4.24)$$

$$i = \text{σταθ.}$$

2) Μαγνητική ενέργεια στο σημείο 1:

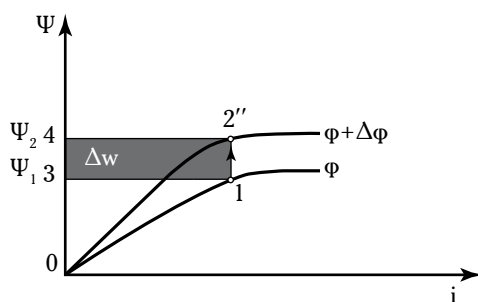
$$W_f^{(1)} = \int_0^{\Psi_1} id\Psi = \text{καμπύλη } (\Phi) = \text{εμβαδόν (0130)} \quad (4.25)$$

3) Μαγνητική ενέργεια στο σημείο 2'':

$$W_f^{(2'')} = \int_0^{\Psi_2} id\Psi = \text{καμπύλη } (\Phi + \Delta\Phi) = \text{εμβαδόν (02''40)} \quad (4.26)$$

4) Μεταβολή της μαγνητικής ενέργειας:

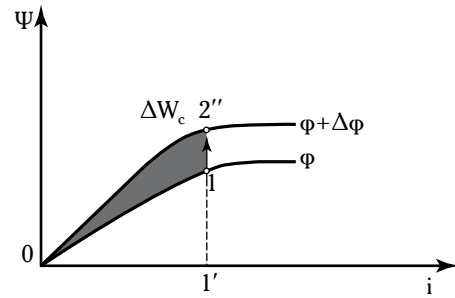
$$\Delta W_f = W_f^{(2'')} - W_f^{(1)} = \text{εμβ. (2''432)} - \text{εμβ. (012')} \quad (4.27)$$



Σχ. 4.2ζ

Μετατόπιση του σημείου λειτουργίας με σταθερό ρεύμα.

Αντικαθιστώντας τις εξισώσεις 4.24 και 4.27 στην εξίσωση 4.23, διαμορφώνεται η γραφική παράσταση του σχήματος 4.2n:



Σχ. 4.2n

Μεταβολή της μαγνητικής συνενέργειας.

Από το σχήμα 4.2θ έχουμε:

$$\begin{aligned} dW_m &= \text{εμβαδόν (12''43)} - \\ &- \text{εμβαδόν (2''432')} + \text{εμβαδόν (012'0)} = \\ &= \text{εμβαδόν (012'0)} = \Delta W_c. \end{aligned}$$

Αν η μετατόπιση του σημείου λειτουργίας γίνεται με σταθερό ρεύμα, η μηχανική ενέργεια ισούται με την μεταβολή της συνενέργειας:

$$dW_m = Td\Phi = dW_c \mid i = \text{σταθ.} \quad (4.28)$$

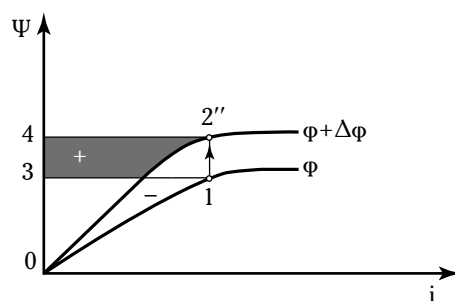
όποτε η ροπή T είναι:

$$T = \frac{dW_c}{d\Phi} \quad \text{για } i = \text{σταθ..} \quad (4.29)$$

Με βάση την εξίσωση 4.29, υπολογίζομε την πλεκτρική ροπή χρησιμοποιώντας τη συνενέργεια  $W_c = W_c(i, \Phi)$ .

### 4.2.5 Γραφικά συστήματα.

Στο σχήμα 4.2ι, δίδεται η γραφική σχέση μαγνητικής ροής-ρεύματος για κάθε θέση του δρομέα, του στοιχειώδους κινητήρα μαγνητικής αντιστάσεως. Σε



Σχ. 4.2θ

Μεταβολή της μαγνητικής ενέργειας.

αυτήν την περίπτωση ενέργεια και συνενέργεια συμπίπτουν (σχ. 4.2i):

$$W_f \equiv W_c \quad (4.30)$$

$$\text{Από την εξίσωση: } W_c \equiv W'_f = \int_0^i \Psi di$$

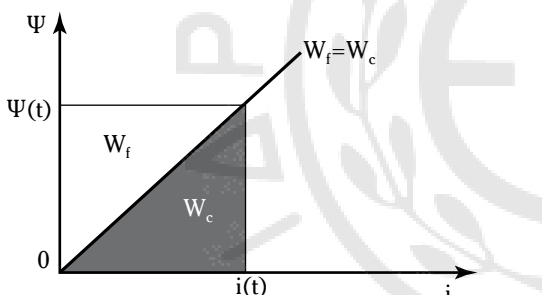
$$\text{προκύπτει: } W_f = W'_f (= W_c) = \frac{1}{2} \Psi i. \quad (4.31)$$

Η πλεκτρομαγνητική ροπή εκφράζεται σε συνάρτηση, μόνο της μαγνητικής ενέργειας:

$$T = \frac{\partial W_f}{\partial \Phi} \quad \left| \begin{array}{l} i = \text{σταθ.} \\ \Psi = \text{σταθ.} \end{array} \right. \quad (4.32)$$

$$T = -\frac{\partial W_f}{\partial \Phi} \quad \left| \begin{array}{l} \Psi = \text{σταθ..} \\ i = \text{σταθ.} \end{array} \right. \quad (4.33)$$

Συνήθως, χρησιμοποιείται η εξίσωση 4.32, για τον υπολογισμό της πλεκτρομαγνητικής ροπής, γιατί τα ρεύματα είναι μετρήσιμα οπότε λαμβάνονται ως ανεξάρτητες μεταβλητές, ενώ η μαγνητική ροή υπολογίζεται απ' αυτά.



**Σχ. 4.2i**

Ενέργεια και συνενέργεια στα γραμμικά συστήματα.

#### - Υπολογισμός της πλεκτρομαγνητικής ροπής του κινητήρα μαγνητικής αντιστάσεως.

Στο σχήμα 4.2ia(a), δίδεται ο στοιχειώδης κινητήρας μαγνητικής αντιστάσεως. Θεωρούμε το πλεκτρομηχανικό σύστημα γραμμικό, υποθέτοντας ότι το ρεύμα λαμβάνει τέτοιες τιμές, ώστε να μην εμφανίζεται το φαινόμενο του **μαγνητικού κόρου**. Οπότε οι χαρακτηριστικές  $\Psi - i$  είναι γραμμικές [σχ. 4.2ia(β)]. Η σχέση μεταξύ πεπλεγμένης ροής και ρεύματος δίδεται ως εξής:

$$\Psi = L(\phi) i \quad (4.34)$$

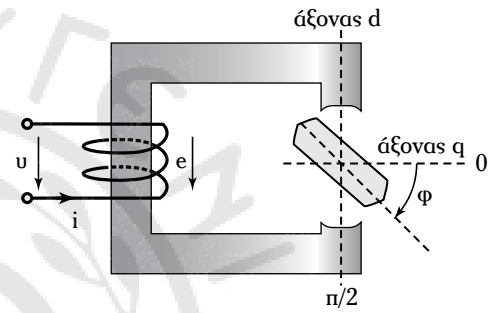
όπου  $L(\phi)$  η αυτεπαγωγή, η οποία εκφράζει την κλίση των διαφόρων μαγνητικών χαρακτηριστικών σε

συνάρτηση με την γωνιακή θέση του δρομέα.

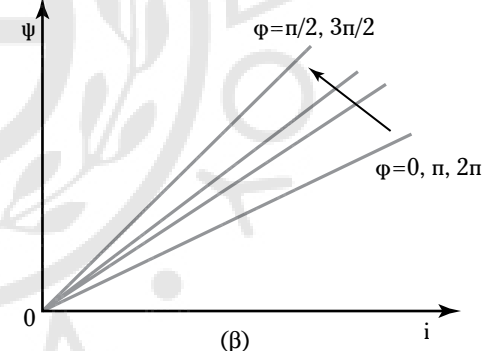
Η αυτεπαγωγή στη θέση του άξονα  $d$  είναι μεγαλύτερη από εκείνη, που αντιστοιχεί στη θέση του άξονα  $q$ . Αν  $L_d$  και  $L_q$  είναι οι τιμές της αυτεπαγωγής στους άξονες  $d$  και  $q$  αντίστοιχα, για ημιπονοειδή μεταβολή σε συνάρτηση με την γωνία  $\phi$  λαμβάνομε τη γραφική παράσταση (σχ. 4.2iβ) με περίοδο  $\pi$ :

$$L(\phi) = L_o - \hat{L} \sin(2\phi). \quad (4.35)$$

$$\text{Με: } L_0 = \frac{(L_d - L_q)}{2} \quad \hat{L} = \frac{(L_d - L_q)}{2}. \quad (4.36)$$

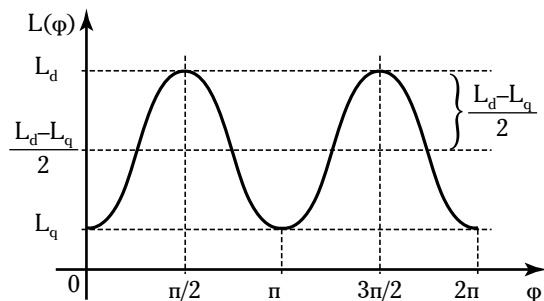


(a)



**Σχ. 4.2ia**

Μαγνητικές χαρακτηριστικές του γραμμικού πλεκτρομηχανικού συστήματος.



**Σχ. 4.2iβ**

Μεταβολή της αυτεπαγωγής με την θέση του δρομέα.

Για τον υπολογισμό της πλεκτρομαγνητικής ροπής για γραμμικά συστήματα χρησιμοποιείται η εξίσωση 4.32.

Πρώτα, όμως, πρέπει να βρούμε μία σχέση για την ενέργεια, η οποία αποθηκεύεται στο μαγνητικό πεδίο  $W_f$ . Αντικαθιστώντας την εξίσωση 4.34, στην εξίσωση 4.31, προκύπτει:

$$W_f = \frac{1}{2} L(\phi) i^2. \quad (4.37)$$

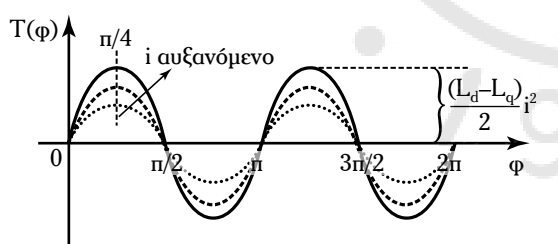
Η εξίσωση 4.37, εκφράζει την αποθηκευμένη μαγνητική ενέργεια σε γραμμικά συστήματα. Αντικαθιστώντας στην εξίσωση 4.32 την εξίσωση 4.37 και παραγωγίζοντας ως προς τη θέση (με ρεύμα σταθερό) τη συνάρτηση  $W_f(i, \phi)$ , έχουμε:

$$T = \frac{1}{2} \frac{dL(\phi)}{d\phi} i^2. \quad (4.38)$$

Η εξίσωση 4.38, εκφράζει την πλεκτρομαγνητική ροπή του κινητήρα μαγνητικής αντιστάσεως (σχ. 4.21γ). Αντικαθιστώντας την εξίσωση 4.35 στην εξίσωση 4.38 και παραγωγίζοντας ως προς φ λαμβάνομε τη ροπή σε συνάρτηση των παραμέτρων  $L_d$  και  $L_q$  (σχ. 4.21β):

$$T = i^2 \frac{(L_d - L_q)}{2} n \mu(2\phi). \quad (4.39)$$

Για κυλινδρικό δρομέα ( $L_d = L_q$ ) η ροπή είναι μηδενική.

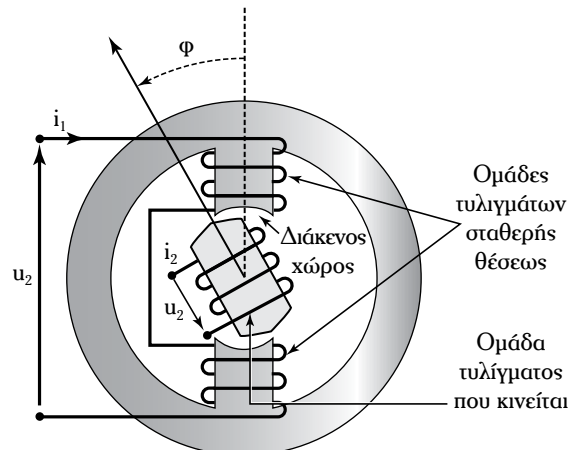


Σχ. 4.21γ

Χαρακτηριστική ροπής-θέσεως του δρομέα των γραμμικού πλεκτρομαγνητικού συστήματος.

### 4.3 Μαγνητικό σύστημα με διπλή διέγερση.

Τα περισσότερα συστήματα πλεκτρομαγνητικής μετατροπής ενέργειας διαθέτουν περισσότερα τυλίγματα. Στα συστήματα διπλής διέγέρσεως (σχ. 4.3α) μια ομάδα τυλίγμάτων τοποθετείται στον στάτη και μια άλλη ομάδα στον δρομέα. Όταν μια ομάδα τυ-



Σχ. 4.3α  
Μαγνητικό σύστημα με διπλή διέγερση.

λιγμάτων κινείται ως προς τα τυλίγματα της άλλης ομάδας προκαλείται μεταβολή της ενέργειας του συνολικού μαγνητικού πεδίου στον διάκενο χώρο του συστήματος (σχ. 4.3α), οπότε αναπτύσσονται μηχανικές δυνάμεις. Η λειτουργία των στρεφομένων μηχανών βασίζεται σε αυτήν την αρχή μετατροπής ενέργειας.

#### 1) Ηλεκτρικές εξισώσεις του μαγνητικού συστήματος διπλής διέγέρσεως.

Οι πλεκτρικές εξισώσεις των δυο τυλίγμάτων είναι:

1) Η πλεκτρική εξίσωση του στάτη:

$$u_1 = R i_1 + \frac{d\Psi_1}{dt}. \quad (4.40)$$

2) και η πλεκτρική εξίσωση του δρομέα:

$$u_2 = R i_2 + \frac{d\Psi_2}{dt} \quad (4.41)$$

όπου  $\Psi_1$  και  $\Psi_2$  οι συνολικές πεπλεγμένες μαγνητικές ροές του στάτη και του δρομέα αντίστοιχα. Λαμβάνοντας υπόψη τη γραμμικότητα, έχουμε:

$$\Psi_1 = \Psi_{11} + \Psi_{12} = L_1(\phi) i_1 + M_{12}(\phi) i_2 \quad (4.42)$$

$$\Psi_2 = \Psi_{21} + \Psi_{22} = M_{21}(\phi) i_1 + L_2(\phi) i_2 \quad (4.43)$$

$$\text{όπου: } \Psi_{11} = L_1(\phi) i_1 \text{ και } \Psi_{21} = M_{21}(\phi) i_1 \quad (4.44)$$

οι κοινές μαγνητικές ροές του στάτη και του δρομέα, ενώ  $M_{12}$  και  $M_{21}$  οι συντελεστές αλληλεπαγωγής.

Οι πλεκτρικές εξισώσεις 4.40, 4.41 και οι εξισώσεις των πεπλεγμένων ροών 4.42, 4.43 γράφονται

ως ακολούθως:

$$\begin{bmatrix} v_1 \\ v_2 \end{bmatrix} = \begin{bmatrix} R_1 & 0 \\ 0 & R_2 \end{bmatrix} \cdot \begin{bmatrix} i_1 \\ i_2 \end{bmatrix} + \frac{d}{dt} \begin{bmatrix} \Psi_1 \\ \Psi_2 \end{bmatrix} \rightarrow \\ \rightarrow v = Ri + \frac{d\Psi}{dt} \quad (4.45)$$

$$\begin{bmatrix} \Psi_1 \\ \Psi_2 \end{bmatrix} = \begin{bmatrix} L_1(\phi) & M_{12}(\phi) \\ M_{21}(\phi) & L_2(\phi) \end{bmatrix} \cdot \begin{bmatrix} i_1 \\ i_2 \end{bmatrix} \rightarrow \\ \rightarrow \Psi = L(\phi)i \quad (4.46)$$

όπου:  $v = \begin{bmatrix} v_1 \\ v_2 \end{bmatrix}$ ,  $i = \begin{bmatrix} i_1 \\ i_2 \end{bmatrix}$ ,  $\Psi = \begin{bmatrix} \Psi_1 \\ \Psi_2 \end{bmatrix}$  (4.47)

είναι τα διανύσματα των τάσεων, των ρευμάτων και των πεπλεγμένων ροών, και

$$R = \begin{bmatrix} R_1 & 0 \\ 0 & R_2 \end{bmatrix}, \quad L(\phi) = \begin{bmatrix} L_1(\phi) & M_{12}(\phi) \\ M_{21}(\phi) & L_2(\phi) \end{bmatrix} \quad (4.48)$$

είναι η μήτρα των ωμικών αντιστάσεων και η αντίστοιχη των αλληλεπαγωγών και αυτεπαγωγών.

## 2) Μαγνητική ενέργεια.

Για τον υπολογισμό της πλεκτρομαγνητικής ροπής είναι απαραίτητος ο υπολογισμός της συνολικής μαγνητικής ενέργειας, η οποία αποθηκεύεται στο σύστημα του σχήματος 4.3α και οφείλεται στη λειτουργία των συνολικών τυλίγματων. Γενικά, για ένα σύστημα πλεκτρομαγνητικής μετατροπής ενέργειας, το οποίο περιλαμβάνει πολλαπλά τυλίγματα η συνολική μαγνητική ενέργεια γράφεται ως εξής:

$$W_f = \sum_{k=1}^N W_{fk} \quad (4.49)$$

όπου  $W_{fk}$  είναι η αποθηκευμένη μαγνητική ενέργεια στο τύλιγμα, για την οποία ισχύει:

$$W_{fk} + W_{ck} = i_k \Psi_k. \quad (4.50)$$

Λαμβάνοντας το άθροισμα της εξισώσεως 4.49, για όλα τα τυλίγματα και αθροίζοντας την εξισώση 4.50, για όλα τα τυλίγματα έχουμε:

$$\sum_{k=1}^N (W_{fk} + W_{ck}) = \sum_{k=1}^N i_k \Psi_k = \\ = i_1 \Psi_1 + i_2 \Psi_2 + \dots + i_n \Psi_n = i^T \Psi \quad (4.51)$$

όπου:  $i^T = [i_1 i_2 \dots i_N]$ ,  $\Psi = \begin{bmatrix} \Psi_1 \\ \Psi_2 \\ \vdots \\ \Psi_N \end{bmatrix}$ . (4.52)

Στην περίπτωση των γραμμικών συστημάτων έχουμε:

$$W_{fk} = W_{ck} \quad (4.53)$$

$$\Psi = L(\phi)i. \quad (4.54)$$

Για πολλαπλά τυλίγματα έχουμε:

$$\sum_{k=1}^N (W_{fk} + W_{ck}) = \sum_{k=1}^N 2W_{fk} = \\ = 2W_f = i^T L(\phi)i. \quad (4.55)$$

Η μαγνητική ενέργεια είναι:

$$W_f = \frac{1}{2} i^T L(\phi)i. \quad (4.56)$$

## 3) Ηλεκτρομαγνητική ροπή.

Υπολογίζομε την πλεκτρομαγνητική ροπή  $T$  ως εξής:

$$T = \frac{\partial W_f}{\partial \phi} (i = \text{σταθ.}) \quad (4.57)$$

η οποία ισχύει με την υπόθεση της γραμμικότητας.

Αντικαθιστώντας την εξισώση 4.56, στην εξισώση 4.57, έχουμε:

$$T = \frac{\partial W_f}{\partial \phi} (i = \text{σταθ.}) = \frac{1}{2} i^T \frac{dL(\phi)}{d\phi} i. \quad (4.58)$$

Στην περίπτωση ενός μαγνητικού συστήματος με διπλή διέγερση (ένα πνύο στον στάτη και το άλλο στον δρομέα), (λαμβάνεται  $M_{12}=M_{21}=M$ ) ισχύει:

$$T = \frac{1}{2} [i_1 i_2] \frac{d}{d\phi} \left( \begin{bmatrix} L_1(\phi) & M(\phi) \\ M(\phi) & L_2(\phi) \end{bmatrix} \right) \begin{bmatrix} i_1 \\ i_2 \end{bmatrix} \quad (4.59)$$

ή  $T = \frac{1}{2} i_1^2 \frac{dL_1(\phi)}{d\phi} + i_1 i_2 \frac{dM(\phi)}{d\phi} + \frac{1}{2} i_2^2 \frac{dL_2(\phi)}{d\phi}$ . (4.60)

Ανάλογα με τον τύπο του πλεκτρομαγνητικού συστήματος (γεωμετρία, ιδιαίτερα κατασκευαστικά χα-

ρακτηριστικά) η μήτρα των  $L(\phi)$  θα είναι διαφορετική και θα έχουμε διαφορετικές συνιστώσες ροπών. Γενικά θα έχουμε:

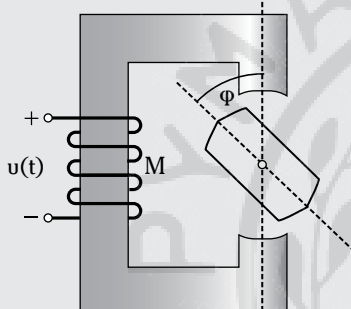
1) Ροπές μαγνητικής αντιστάσεως ( $1^{\text{os}}$  και  $3^{\text{os}}$  όρος της εξισώσεως 4.60), ανάλογες του τετραγώνου του ρεύματος στην περίπτωση ενός μόνο πινίου.

2) Ροπές, οι οποίες οφείλονται στην αλλολεπίδραση των ρευμάτων ( $2^{\text{os}}$  όρος της εξισώσεως 4.60) του στάτη και του δρομέα.

### - Λυμένες ασκήσεις.

#### Άσκηση 1.

Δίδεται σύστημα πλεκτρομηχανικής μετατροπής ενέργειας με απλή διέγερση (σχ. 4.3β).



Σχ. 4.3β

$$1) \text{ Να αποδείξετε ότι: } P_m = \frac{1}{2} i^2 \frac{dL}{dt}$$

όπου:  $P_m$  η μηχανική ισχύς και  $L$  η αυτεπαγωγή του τυλίγματος διεγέρσεως.

2) Να αποδείξετε τις σχέσεις της ροπής και της μηχανικής ισχύος όταν η αυτεπαγωγή μεταβάλλεται με ημιτονοειδή νόμο.

#### Λύση.

Η διάταξη του σχήματος από πλεκτρικής απόψεως είναι ένα κύκλωμα σειράς με μεταβλητή αυτεπαγωγή και ωμική αντίσταση, οπότε ισχύει:

$$u = R_i + \frac{d}{dt}(Li) = R_i + L \frac{di}{dt} + i \frac{dL}{dt}. \quad (1)$$

Πολλαπλασιάζοντας και τα δύο μέλη της εξισώσεως 1 με την ένταση του ρεύματος  $i$ , έχουμε:

$$W = ui = R_i^2 + iL \frac{di}{dt} + i^2 \frac{dL}{dt}. \quad (2)$$

Η σπιγμαία ισχύς την οποία απορροφά το μαγνητικό πεδίο είναι:

$$P_m = \frac{dW}{dt} = \frac{d}{dt} \left( \frac{1}{2} Li^2 \right) = Li \frac{di}{dt} + \frac{1}{2} i^2 \frac{dL}{dt}. \quad (3)$$

Συγκρίνοντας την εξισώση 3 με την εξισώση π οποία δίδει το ενεργειακό ισοζύγιο του πλεκτρικού κυκλώματος  $R$ ,  $L(t)$ , η πλεκτρική ισχύς εισόδου του συστήματος κατανέμεται ως εξής:

1) Απώλειες στην ωμική αντίσταση  $R \cdot P_j = Ri^2$ .

2) Ισχύς π οποία συνδέεται με το μαγνητικό πεδίο:  $P_\mu = Li \frac{di}{dt} + \frac{1}{2} \frac{dL}{dt}$ .

3) Μηχανική ισχύς:  $P_m = \frac{1}{2} i^2 \frac{dL}{dt}$ .

Όταν η αυτεπαγωγή μεταβάλλεται με ημιτονοειδή νόμο έχουμε:

$$P_m = \frac{1}{2} i^2 \frac{dL}{dt} \frac{dt}{d\phi} = \frac{1}{2} i^2 \frac{dL}{d\phi} \Omega$$

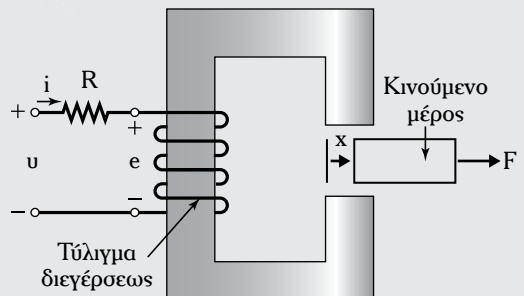
$$\text{και} \quad T = \frac{P_m}{\Omega} = \frac{1}{2} i^2 \frac{dL}{d\phi}.$$

όπου  $\Omega$  η γωνιακή ταχύτητα περιστροφής σε rad/s και η ταχύτητα περιστροφής του περιστρεφόμενου μέρους.

#### Άσκηση 2.

Για το μαγνητικό σύστημα με απλή διέγερση του σχήματος 4.3γ να αποδείξετε ότι η δύναμη π οποία ασκείται στο κινούμενο μέρος είναι:

$$F = \frac{1}{2} i^2 \frac{dL(x)}{dx}$$



Σχ. 4.3γ

#### Λύση.

Έστω  $R$  η ωμική αντίσταση του τυλίγματος διε-

γέρσεως. Ο πυρήνας του τυλίγματος και του κινητού μέρους είναι από σιδηρομαγνητικό υλικό.

Σε μια χρονική στιγμή  $dt$  το σύστημα τροφοδοτείται με τάση  $i$ . Το τύλιγμα διαρρέεται με το ρεύμα  $i$ . Το  $x$  προσδιορίζει τη θέση του κινητού μέρους, ενώ ασκείται η δύναμη  $F$  στη θετική διεύθυνση του άξονα  $x$ .

Στο χρονικό διάστημα  $dt$  η δύναμη  $F$  επιδρά στο κινούμενο μέρος του παραπάνω σχήματος και το μετατοπίζει σε απόσταση  $dx$ . Το μηχανικό έργο της δυνάμεως  $F$  στο χρονικό διάστημα  $dt$  είναι:

$$dW_m = F dx. \quad (1)$$

Η αποθηκευμένη στο μαγνητικό πεδίο ενέργεια είναι:

$$W_f(\Psi, x) = \int_0^{\Psi} i(\Psi, x) d\Psi. \quad (2)$$

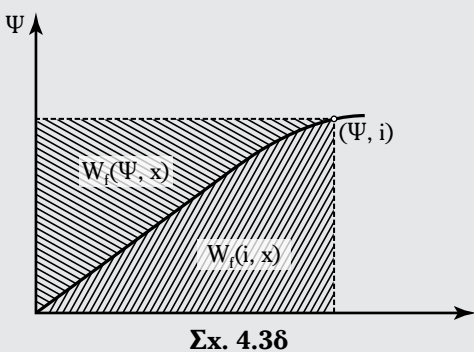
Για ένα γραμμικό μαγνητικό σύστημα (με σταθερή μαγνητική διαπερατότητα ή γραμμική μηχανική χαρακτηριστική έτσι, ώστε η αυτεπαγώγη του τυλίγματος να είναι ανεξάρτητη του ρεύματος  $i$ ), ισχύει:

$$W_f(\Psi, x) = \frac{1}{2} \frac{\Psi^2}{L(x)}. \quad (3)$$

Η μηχανική δύναμη είναι:

$$F = -\frac{\partial W_f(\Psi, x)}{\partial x} = \frac{1}{2} \left[ \frac{\Psi}{L(x)} \right]^2 \frac{dL(x)}{dx} = \frac{1}{2} i^2 \frac{dL(x)}{dx}. \quad (4)$$

Στο σχήμα 4.3δ δίδεται η καμπύλη μαγνητίσεως, όπου οι γραμμοσκιασμένες περιοχές, εκφράζουν την ενέργεια  $W_f(\Psi, x)$  και την συνενέργεια  $W_f(i, x)$ .



Ισχύει:  $W'_f(i, x) = i\Psi - W_f(\Psi, x) \quad (5)$

$$\begin{aligned} \text{οπότε: } dW'_f(i, x) &= \Psi di + id\Psi - dW_f(\Psi, x) = \\ &= \Psi di + F dx = \\ &= \frac{\partial W_f(i, x)}{\partial i} di + \frac{\partial W_f(i, x)}{\partial x} dx. \end{aligned} \quad (6)$$

$$\text{Ισχύει: } \Psi = \frac{\partial W_f(i, x)}{\partial x} \quad (7)$$

$$F = \frac{\partial W_f(i, x)}{\partial x}. \quad (8)$$

Από το προηγούμενο σχήμα, το εμβαδόν της γραμμοσκιασμένης περιοχής το οποίο αντιστοιχεί στη συνενέργεια υπολογίζεται ως εξής:

$$W'_f(i, x) = \int_0^i \Psi(i, x) dx. \quad (9)$$

Για γραμμικό μαγνητικό σύστημα ισχύει:

$$W'_f(i, x) = \frac{1}{2} i^2 L(x). \quad (10)$$

Η δύναμη  $F$  υπολογίζεται με την ακόλουθη εξισώση:

$$F = \frac{\partial W'_f(i, x)}{\partial x} = \frac{1}{2} i^2 \frac{dL(x)}{dx}. \quad (11)$$

### Άσκηση 3.

Δίδεται γραμμικό σύστημα πλεκτρομηχανικής μετατροπής ενέργειας [σχ. 4.3ε(α)].

Να υπολογίσετε τη δύναμη, η οποία ασκείται στο κινούμενο μέρος του συστήματος.

### Λύση.

Θεωρούμε άπειρη τη μαγνητική διαπερατότητα του πυρήνα και του κινούμενου μέρους του συστήματος, όπως φαίνεται στο σχήμα 4.3ε(β). Το σύστημα θεωρείται γραμμικό.

Από το ισοδύναμο κύκλωμα, όπως φαίνεται στο σχήμα 4.3ε(γ), υπολογίζομε την αυτεπαγώγη του τυλίγματος διεγέρσεως:

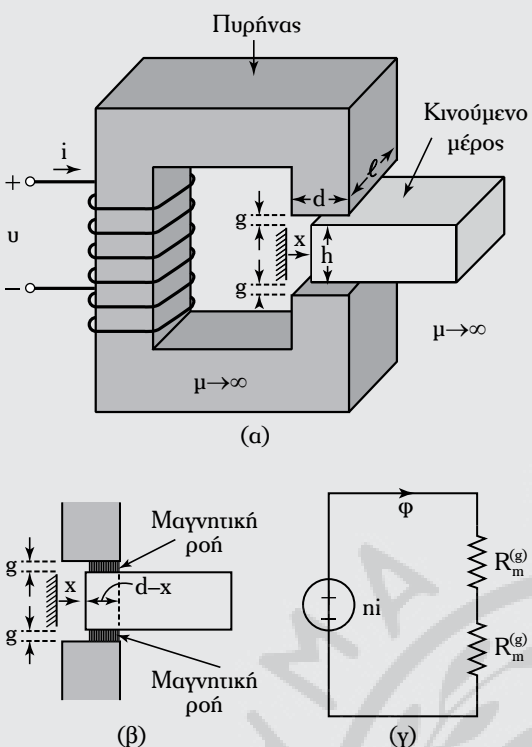
$$L(x) = \frac{n^2}{2R_m^{(g)}} = \frac{\mu_0 n^2 \ell (d-x)}{2g}. \quad (1)$$

όπου  $n$  ο αριθμός σπειρών.

Η δύναμη, η οποία ασκείται στο κινούμενο μέρος είναι:

$$F = \frac{1}{2} i^2 \frac{L(x)}{dx} = -\frac{\mu_0 \ell}{4g} (ni)^2. \quad (2)$$

Το αρνητικό πρόσημο δηλώνει ότι δύναμη



Σχ. 4.3ε

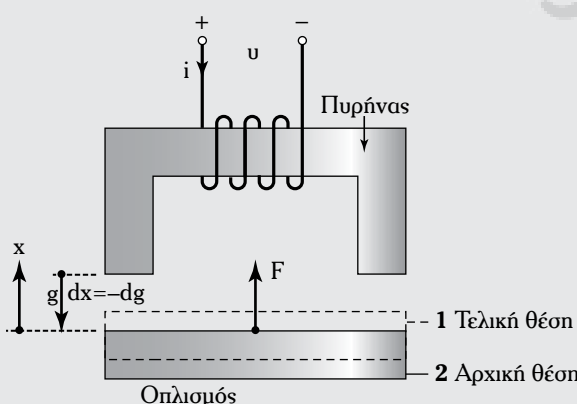
ασκείται στην κατεύθυνση μειώσεως της μαγνητικής αντιστάσεως του διάκενου.

#### Άσκηση 4.

Δίδεται πλεκτρομηχανικό σύστημα απλής διεγέρσεως, όπως φαίνεται στο σχήμα 4.3στ.

Η σχέση μεταξύ  $\Psi$  και  $i$  δίδεται από την ακόλουθη εξίσωση:

$$\Psi = \frac{0,2i^2}{g} \text{ με } 0 < i < 5 \text{ A} \text{ και } 0,02 < g < 0,09 \text{ m.}$$



Σχ. 4.3στ

Αν  $i = 2,5 \text{ A}$ , να υπολογίσετε τη δύναμη  $F$ , η οποία ασκείται στον οπλισμό του συστήματος του σχήματος 4.3στ, όταν  $g = 0,05 \text{ m}$ .

#### Λύση.

$$\text{Ισχύει: } W_c = \int_0^i \Psi di = \int_0^i \frac{0,2i^3}{g} di = \frac{0,2}{0,05} \cdot \frac{i^3}{3}. \quad (1)$$

Είναι:

$$F = \frac{\partial W_c(i, g)}{\partial g} = \frac{\partial}{\partial g} \left( \frac{0,2}{g} \cdot \frac{1}{3} \cdot i^3 \right) = -\frac{0,2}{g^2} \cdot \frac{i^3}{3}. \quad (2)$$

Για  $g = 0,05 \text{ m}$  και  $i = 2,5 \text{ A}$  η εξίσωση 2 γίνεται:

$$F = \frac{0,2}{(0,05)^2} \cdot \frac{1}{3} \cdot (2,5)^3 = -417 \text{ N.}$$

Το αρνητικό πρόσημο δηλώνει ότι η δύναμη  $F$  δρα προς την κατεύθυνση μειώσεως του μήκους του διάκενου.

#### 4.4 Ερωτήσεις.

- 1) Να περιγράφετε τη δομή του κινητήρα μαγνητικής αντιστάσεως.
- 2) Να γράφετε και να εξηγήσετε τις εξισώσεις του πλεκτικού κυκλώματος του κινητήρα μαγνητικής αντιστάσεως.
- 3) Να γράφετε και να εξηγήσετε τη χαρακτηριστική μαγνητίσεως του κινητήρα μαγνητικής αντιστάσεως.
- 4) Να γράφετε και να εξηγήσετε το ενεργειακό ισοζύγιο του κινητήρα μαγνητικής αντιστάσεως.
- 5) Να ορίσετε την ενέργεια και τη συνενέργεια και τις σχέσεις, οι οποίες τις συνδέουν.
- 6) Να αποδείξετε την εξίσωση της πλεκτρομαγνητικής ροπής για μεταόπιση με σταθερή ροή.
- 7) Να αποδείξετε την εξίσωση της πλεκτρομαγνητικής ροπής με σταθερό ρεύμα.
- 8) Τι εννοούμε όταν αναφερόμαστε στο γραμμικό κινητήρα μαγνητικής αντιστάσεως;
- 9) Να σχεδιάσετε και να εξηγήσετε την χαρακτηριστική μαγνητίσεως του γραμμικού κινητήρα μαγνητικής αντιστάσεως.
- 10) Να γράφετε και να εξηγήσετε τις εξισώσεις των πλεκτικών κυκλωμάτων σε κινητήρα μαγνητικής αντιστάσεως με πολλαπλά τιλάγματα.

#### 4.5 Προτεινόμενες ασκήσεις.

##### Άσκηση 1.

Για ηλεκτρομηχανικό σύστημα, το οποίο διεγείρεται από πυγή τάσεως, όπου η πεπλεγμένη ροή και το ρεύμα συνδέονται με την ακόλουθη σχέση:

$$i = \lambda^3 + 5\lambda^2 + 4\lambda(1 - 2x)^2 \text{ όπου } x < \frac{1}{2}$$

Να υπολογίσετε την δύναμη  $F$ , η οποία ασκείται στο κινούμενο μέρος του συστήματος ως συνάρτηση του  $\lambda$  και  $x$ .

##### Άσκηση 2.

Για ένα σύστημα διπλής διεγέρσεως έχομε:

$$L_{11} = (3 + \sin 2\theta) 10^{-3} \text{ H},$$

$$M_{12} = 0,14 \text{ sin} \theta \text{ H},$$

$$L_{22} = (18 + 4\sin 2\theta) \text{ H}.$$

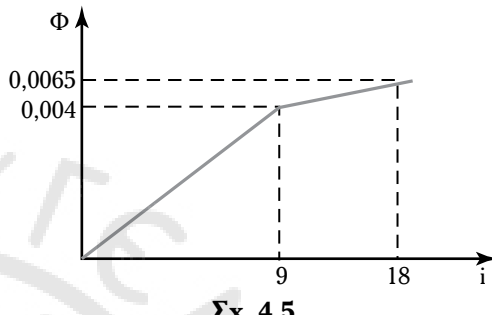
Να υπολογίσετε την αναπτυσσόμενη ροπή αν

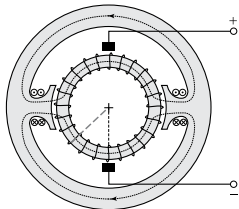
$$i_1 = 0,8 \text{ A} \text{ και } i_2 = 0,01 \text{ A}.$$

##### Άσκηση 3.

Σε ένα μαγνητικό κύκλωμα, η μαγνητική ροή αυξάνεται με μια γραμμική σχέση με το ρεύμα  $i$  του ππνίου, όπως φαίνεται στο σχήμα 4.5, στο οποίο πινίο τοποθετείται σίδηρος.

Να υπολογίσετε την αποθηκευμένη ενέργεια στις δύο περιοχές του σχήματος σε συνάρτηση με το ρεύμα του πινίου.





## ΚΕΦΑΛΑΙΟ ΠΕΜΠΤΟ ΗΛΕΚΤΡΙΚΕΣ ΜΗΧΑΝΕΣ ΣΥΝΕΧΟΥΣ ΡΕΥΜΑΤΟΣ

### 5.1 Εισαγωγή.

Οι **μηχανές συνεχούς ρεύματος** (ΣΡ) βρήκαν μεγάλο πεδίο εφαρμογής στη βιομηχανία, στην περίοδο μεταξύ 1870 και 1900. Ξεπεράστηκαν στις επόμενες χρονικές περιόδους με την ανάπτυξη της διανομής του εναλλασσόμενου ρεύματος, για να βρουν, πεδία εφαρμογής στις αρχές της δεκαετίας του '60 με την εισαγωγή των συστημάτων ανορθώσεως, τα οποία επιτρέπουν την μετατροπή εναλλασσόμενου ρεύματος σε συνεχές (C.A. – C.C.), με οικονομία και ασφάλεια.

Γεννήτριες ΣΡ χρησιμοποιούνται σε κάποιους σταθμούς παραγωγής για την τροφοδότηση της διεγέρσεως των συγχρόνων γεννητριών. Και σ' αυτές τις χρήσεις η τάση είναι οι γεννήτριες ΣΡ να αντικαθίστανται από γεννήτριες ΕΡ απευθείας συνδεμένες με συστήματα ανορθώσεως.

Οι κινητήρες ΣΡ βρίσκουν μεγάλα πεδία επαγγελματικών εφαρμογών λόγω της δυνατότητας ρυθμίσεως της ροπής και της ταχύτητας με χαρακτηριστικές, οι οποίες δεν υπάρχουν στις μηχανές εναλλασσόμενου ρεύματος.

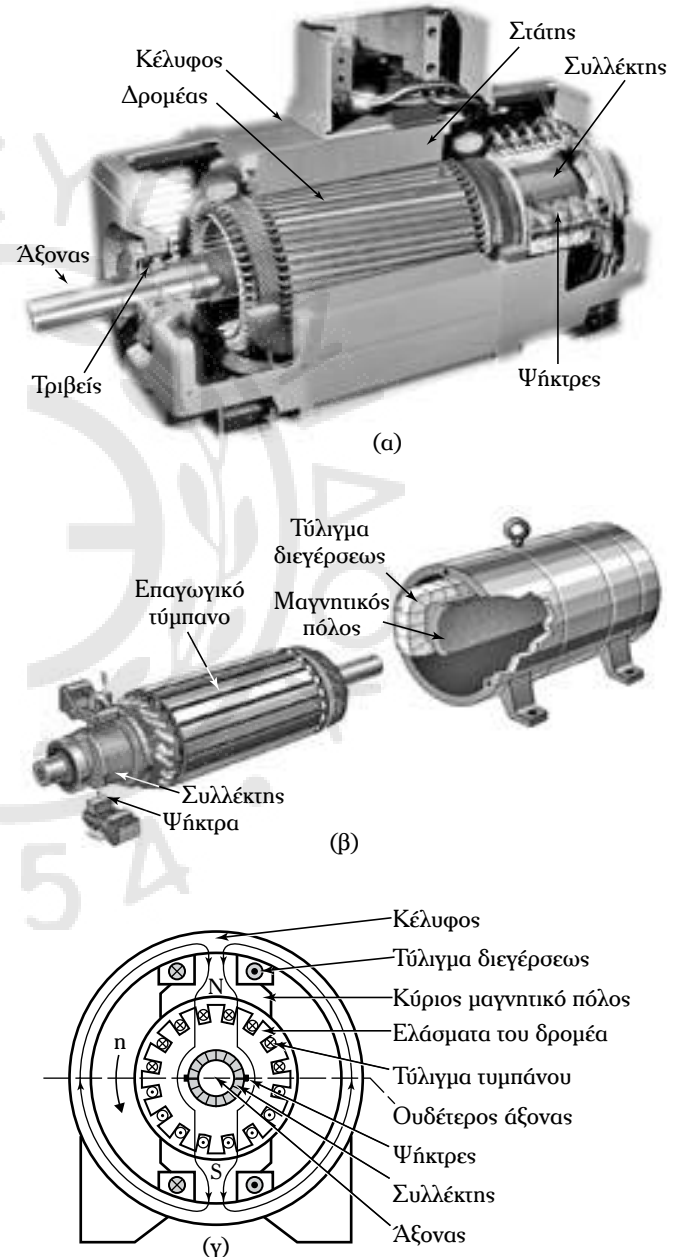
Σήμερα, κατασκευάζονται κινητήρες ΣΡ με ισχύ μεταξύ μερικών W και μερικών MW, με τάσεις μέχρι μερικά kV και ταχύτητα περιστροφής μεταξύ μερικών **Στροφών Ανά Λεπτό** (ΣΑΛ) και από 3.000 έως 4.000 ΣΑΛ.

### 5.2 Δομή των μηχανών ΣΡ.

Στο σχήμα 5.2α παρουσιάζεται μία μηχανή ΣΡ, τα κύρια μέρη της οποίας είναι ο στάτης, ο δρομέας, ο συλλέκτης και οι ψήκτρες. Αναλυτικότερα:

#### 1) Στάτης.

Στον στάτη, που είναι το ακίνητο μέρος των μηχανών ΣΡ, τοποθετούνται οι κύριοι μαγνητικοί πόλοι, οι οποίοι είναι προεξέχοντες πόλοι (προεξέχουν από την επιφάνεια του στάτη).



**Σχ. 5.2α**

Εγκάρσια τομή μηχανής ΣΡ.

(a) Δομή μηχανής ΣΡ, (β) στάτης και δρομέας της και (γ) τομή διπολικής μηχανής ΣΡ.

Κάθε μαγνητικός πόλος αποτελείται από:

1) Τον **πυρήνα** [σχ. 5.2β(α)], ο οποίος κατασκευάζεται από πολλά λεπτά, ειδικά σιδερένια ελάσματα. Στον πυρήνα τοποθετείται το τύλιγμα διεγέρσεως το οποίο διαρρέεται από συνεχές ρεύμα, κατάλληλης φοράς, έτσι ώστε να παράγεται η διαδοχική μαγνητική πολικότητα: Βόρειος (N) και Νότιος (S) πόλος. Η ελασματοποίηση του σιδηρομαγνητικού υλικού του πυρήνα πραγματοποιείται για να ελαχιστοποιούνται οι απώλειες από δινορρεύματα, τις οποίες προκαλούν και οι πλεκτρονικές διατάξεις ελέγχου που παρέχουν τάσεις με υψηλές αρμονικές.

2) Το **πέλμα** [σχ. 5.2β(β)], το οποίο είναι υπεύθυνο για την κατανομή του μαγνητικού πεδίου στον διάκενο χώρο της μηχανής. Ανάλογα με τον αριθμό των μαγνητικών πόλων, τους οποίους διαθέτει μια μηχανή ονομάζεται **διπολική, τετραπολική, εξαπολική** κ.λπ.. Οι πλεκτρικές μηχανές έχουν πάντοτε άριθμο μαγνητικών πόλων.

Στα πέλματα εμφανίζονται δινορρεύματα λόγω των αυλακώσεων του δρομέα [σχ. 5.2γ(β)]. Το διάκενο μεταξύ πέλματος και δρομέα δεν είναι σταθερό, αλλά παρουσιάζει μικρές κυματώσεις, οπότε η μαγνητική επαγωγή ακολουθεί τον ρυθμό αυτών των κυματώσεων.

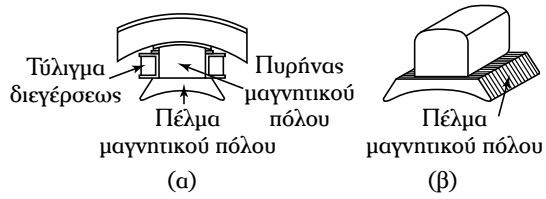
Η μεταβολή αυτής της μαγνητικής επαγωγής προκαλεί τάσεις από επαγωγή και συνεπώς δινορρεύματα στα πέλματα των μαγνητικών πόλων. Για να εμποδίσουμε την δημιουργία αυτών, κατασκευάζομε τα πέλματα από λεπτά ελάσματα μονωμένα μεταξύ τους [σχ. 5.2β(β)].

## 2) Δρομέας.

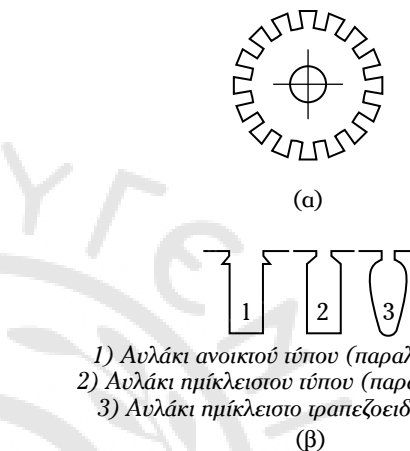
Ο δρομέας, δηλαδή το περιστρεφόμενο μέρος της μηχανής SP, είναι κυλινδρικού τύπου και κατασκευάζεται από πολλά λεπτά μαγνητικά ελάσματα [σχ. 5.2δ(β)]. Οι οδοντώσεις του δρομέα, οι οποίες έχουν τα ελάσματα στην περιφέρειά τους [σχ. 5.2γ(α)], σχηματίζουν τα αυλάκια του πυρήνα [σχ. 5.2γ(β) και σχ. 5.2δ(β)] μέσα στα οποία τοποθετούνται τα τυλίγματα του δρομέα.

## 3) Συλλέκτης.

Ο συλλέκτης κατασκευάζεται από πολλά χάλκινα ελάσματα, τους **τομείς** [σχ. 5.2δ(α)], οι οποίοι μονώνται μεταξύ τους με μονωτικό υλικό τύπου μίκας. Οι τομείς στερεώνονται ανάμεσα σε δυο σιδερένιους δακτύλιους, ώστε να σχηματίζουν την κυλινδρική επιφάνεια. Ο συλλέκτης τοποθετείται στο περιστρεφόμενο μέρος της μηχανής SP [σχ. 5.2δ(β)].

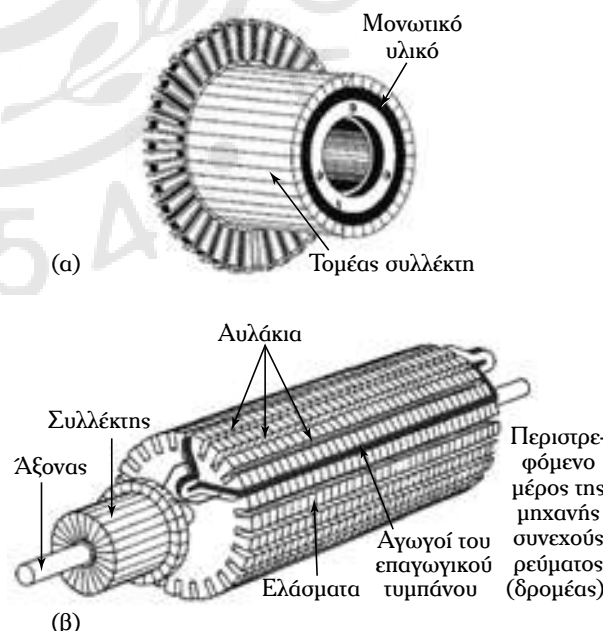


**Σχ. 5.2β**  
(a) Μαγνητικός πόλος του στάτη, και  
(β) πέλμα του κύριου μαγνητικού πόλου.



- 1) Αυλάκι ανοικτού τύπου (παραλληλόγραμο)
- 2) Αυλάκι πικλειστού τύπου (παραλληλόγραμο)
- 3) Αυλάκι πικλειστού τραπεζοειδούς μορφής

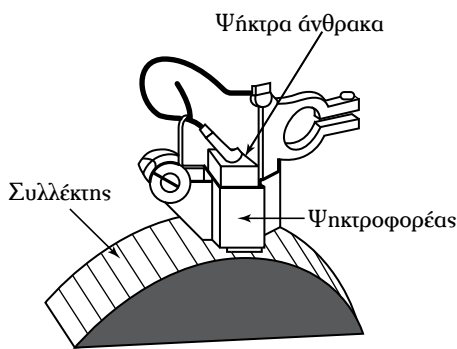
**Σχ. 5.2γ**  
(a) Έλασμα του σιδηρομαγνητικού υλικού του δρομέα και  
(β) διάφοροι τύποι αυλακιών των μηχανών SP.



**Σχ. 5.2δ**  
(a) Συλλέκτης μιας μηχανής SP και (β) θέση του συλλέκτη στο περιστρεφόμενο μέρος (δρομέας) της μηχανής SP.

#### 4) Ψήκτρες.

Οι ψήκτρες (σχ. 5.2ε), κατασκευάζονται από άνθρακα ή μεταλλικό γραφίτη ή από μείγμα άνθρακα και γραφίτη.

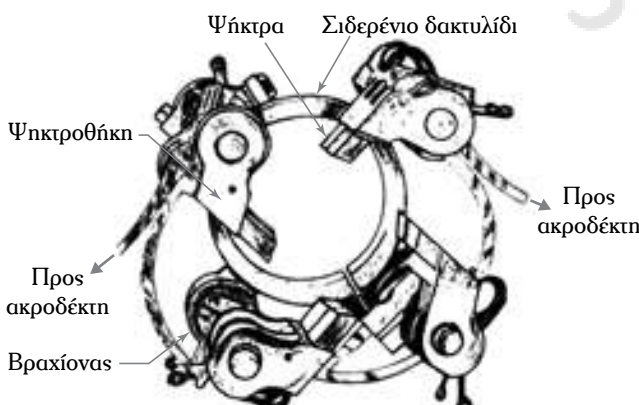


**Σχ. 5.2ε**  
Ψήκτρα μηχανής ΣΡ.

Έχουν μεγάλη αιγαγιμότητα και συνδέουν το επαγγελματικό τύμπανο μ' ένα εξωτερικό κύκλωμα. Οι ψήκτρες τοποθετούνται στις ψηκτροθήκες του ψηκτροφορέα (σχ. 5.2στ), ο οποίος στερεώνεται στο ακίνητο μέρος της μηχανής προς την πλευρά του συλλέκτη. Στους βραχίονες στερεώνονται οι ψηκτροθήκες, μέσα στα οποία τοποθετούνται οι ψήκτρες.

Η επιλογή της πιέσεως μεταξύ των επιφανειών ψήκτρας και συλλέκτη πρέπει να είναι κατάλληλη, γιατί αν η πίεση των ψηκτρών στον συλλέκτη είναι πολύ υψηλή, τότε τα δύο μέρη φθείρονται πολύ.

Αν η πίεση μεταξύ τους είναι πολύ μικρή, τότε μεταξύ των ψηκτρών και της επιφάνειας του συλλέκτη δημιουργείται κενό, με αποτέλεσμα να εμφανίζονται σπινθήρες.



**Σχ. 5.2στ**  
Ψηκτροφορέας.

#### 5.3 Τυλίγματα μηχανών ΣΡ.

##### 5.3.1 Δομικά χαρακτηριστικά των τυλιγμάτων τυμπάνου.

Τα τυλίγματα επαγγελματικού τυμπάνου είναι το σημαντικότερο μέρος των μηχανών ΣΡ γιατί μέσα σε αυτά αναπτύσσονται οι τάσεις και μέσω αυτών οδηγείται το κύριο ρεύμα της πλεκτρικής μηχανής.

Το επαγγελματικό τύμπανο, στις μηχανές ΣΡ, τοποθετείται στον δρομέα, ο οποίος αποτελείται από δισκοειδή ελάσματα σιδηρομαγνητικού υλικού. Η περιφέρεια κάθε δίσκου διαμορφώνεται με οδοντώσεις. Όταν τα δισκοειδή ελάσματα [σχ. 5.2γ(α)] συγκροτούν τον πυρήνα του δρομέα σχηματίζονται τα αυλάκια, μέσα στα οποία τοποθετούνται τα τυλίγματα του επαγγελματικού τυμπάνου.

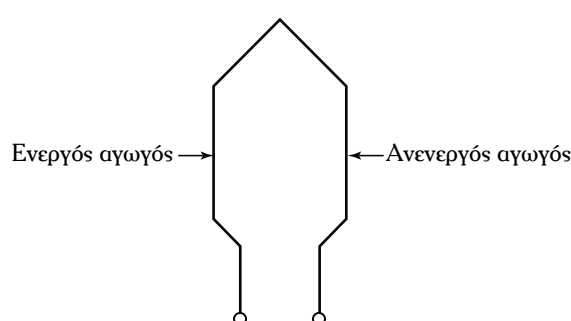
Το τύλιγμα τυμπάνου, συνήθως, αποτελείται από δύο στρώσεις αιγαγών, σε κάθε αυλάκι: η πρώτη στρώση τοποθετείται κοντά στο διάκενο και η δεύτερη στο εσωτερικό μέρος του αυλακιού.

Τα βασικά χαρακτηριστικά των τυλιγμάτων τυμπάνων είναι:

1) Ο **αιγαγός**, δηλαδή το στοιχειώδες μέρος του τυλιγμάτος, όπου το ενεργό τμήμα τοποθετείται στο εσωτερικό του αυλακιού, ενώ το υπόλοιπο είναι ο συνδετήριος αιγαγός ο οποίος τοποθετείται στα μέτωπα των επιφανειών του δρομέα.

2) Η **σπείρα** (πλαίσιο), δηλαδή το μέρος του τυλιγμάτος το οποίο αποτελείται από δύο (ενεργούς) αιγαγούς συνδεμένους σε σειρά, τότε έχουμε την ομάδα τυλιγμάτος (σχ. 5.3α).

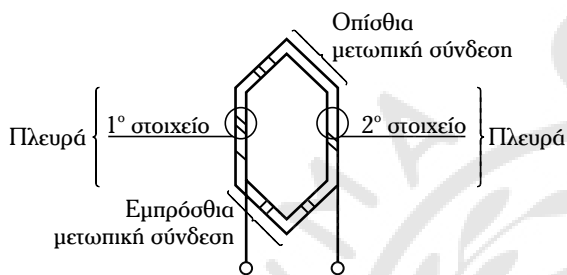
3) Η **ομάδα τυλιγμάτος**: Όταν το πλαίσιο αποτελείται από πολλούς αιγαγούς συνδεμένους σε σειρά, τότε έχουμε την ομάδα τυλιγμάτος (σχ. 5.3β). Οι πλευρές της ομάδας ονομάζονται **στοιχεία**. Η σύνδεση των στοιχείων μεταξύ τους, προς την πλευρά του συλλέκτη ονομάζεται **εμπρόσθια μετωπική σύνδεση**, ενώ η αντίθετη ονομάζεται **οπίσθια με-**



**Σχ. 5.3α**  
Σπείρα (πλαίσιο).

**τωπική σύνδεση** (σχ. 5.3β). Οι ομάδες διαμορφώνονται έτσι, ώστε η απόσταση μεταξύ των δύο στοιχείων τους να είναι ίση περίπου με την απόσταση των αξόνων δύο γειτονικών πόλων, η οποία ονομάζεται **πολικό βήμα** ( $\tau_p$ ).

4) Τα **στοιχεία**, δηλαδή οι πλευρές της ομάδας. Τα άκρα των ομάδων καταλήγουν σε διαφορετικούς τομείς του συλλέκτη. Κάθε στοιχείο μιας ομάδας βρίσκεται υπό την επίδραση μαγνητικών πεδίων, τα οποία προέρχονται από ετερώνυμους μαγνητικούς πόλους. Δύο διαδοχικοί κύριοι μαγνητικοί πόλοι βρίσκονται σε απόσταση 180 πλεκτρικών μοιρών.



Σχ. 5.3β  
Ομάδα τυλίγματος.

### 5.3.2 Είδη τυλιγμάτων.

Στις πλεκτρικές μηχανές ΣΡ διακρίνομε δυο είδη τυλιγμάτων επαγωγικού τυμπάνου, τα **βροχοτυλίγματα** ή παράλληλα τυλίγματα και τα **κυματοτυλίγματα** ή τυλίγματα σειράς.

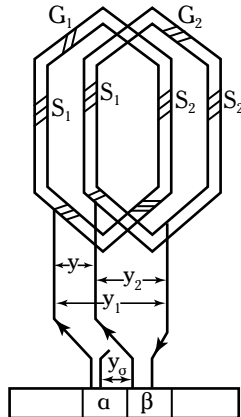
Στα βροχοτυλίγματα τα άκρα μιας ομάδας καταλήγουν σε γειτονικούς τομείς του συλλέκτη, ενώ στα κυματοτυλίγματα τα άκρα μιας ομάδας καταλήγουν σε απομακρυσμένους τομείς του συλλέκτη, οι οποίοι απέχουν περίπου ένα πλήρες (διπλό)<sup>1</sup> πολικό βήμα.

#### 1) Βροχοτυλίγματα.

Στα βροχοτυλίγματα δημιουργούνται τόσοι παράλληλοι κλάδοι στοιχείων ομάδων, όσος είναι ο αριθμός των μαγνητικών πόλων. Με αυτά τα τυλίγματα παράγονται μεγάλες εντάσεις ρευμάτων στο εξωτερικό πλεκτρικό κύκλωμα, το οποίο συνδέεται στη μηχανή ΣΡ.

Στο σχήμα 5.3γ παρουσιάζεται ένα τυπικό βροχοτύλιγμα.

Τα άκρα των ομάδων  $G_1$  και  $G_2$  καταλήγουν σε γειτονικούς τομείς.



Σχ. 5.3γ  
Τυπικό βροχοτύλιγμα ΣΡ.

Κάθε στοιχείο των ομάδων αποτελείται από περισσότερους του ενός αγωγούς. Έστω  $z$  ο αριθμός των αγωγών κάθε στοιχείου.

Τα στοιχεία των ομάδων τοποθετούνται στα αυλάκια  $K$  (αριθμός αυλακών), τα οποία διαμορφώνονται από τις οδοντώσεις των ελασμάτων του δρομέα. Τα στοιχεία  $S_1$  και  $S_2$  μιας ομάδας βρίσκονται κάτω από την επίδραση ετερωνύμων πόλων. Τα στοιχεία κατανέμονται σε στρώσεις (σχ. 5.3δ).

Η άνω στρώση αριθμείται με περιπτούς αριθμούς, ενώ η κάτω στρώση με άρτιους αριθμούς.



Σχ. 5.3δ  
Κατανομή σε στρώσεις των στοιχείων των ομάδων.

#### - Βήματα βροχοτυλίγματος.

Οι αποστάσεις μεταξύ των στοιχείων ενός τυλίγματος μετρώνται, συνήθως, σε αριθμό οδοντώσεων ή αυλακών (διαστάματα στοιχείων) των βροχοτυλίγματων.

Στην περίπτωση των βροχοτυλίγματων διακρίνομε τα ακόλουθα βήματα (σχ. 5.3γ):

1) Το πρώτο μερικό βήμα ( $y_1$ ), που είναι η απόσταση των στοιχείων της ίδιας ομάδας.

2) Το δεύτερο μερικό βήμα ( $y_2$ ), που είναι η απόσταση του πρώτου στοιχείου μιας ομάδας και του δεύτερου στοιχείου της προηγούμενης ομάδας.

<sup>1</sup> Δύο συνεχόμενα απλά πολικά βήματα αποτελούν ένα πλήρες ή διπλό πολικό βήμα.

3) Το βήμα τυλίγματος ( $y$ ) που είναι η απόσταση των πρώτων στοιχείων δύο διαδοχικών ομάδων. Είναι άρτιος αριθμός και ισχύει η σχέση:

$$y = y_1 - y_2 \quad (5.1)$$

4) Το βήμα συλλέκτη ( $y_o$ ) είναι ο αριθμός των τομέων που παρεμβάλλεται μεταξύ των άκρων των δύο στοιχείων της ομάδας.

Η απόσταση μεταξύ των κέντρων δύο κυρίων διαδοχικών μαγνητικών πόλων ονομάζεται **πολικό βήμα**.

Αν  $D$  η διάμετρος του δρομέα, το πολικό βήμα σε κάποιο τμήμα της περιφέρειας του επαγωγικού τυμπάνου είναι:

$$\tau_p = \frac{\pi D}{2P}. \quad (5.2)$$

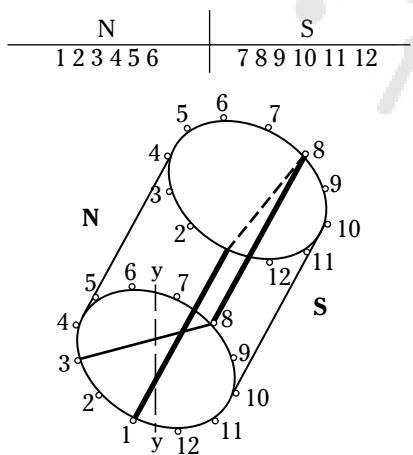
Όταν το πολικό βήμα εκφράζεται σε αριθμό στοιχείων τότε, έχουμε:

$$\tau_p = \frac{S}{2P} \quad (5.3)$$

όπου:  $S$  ο συνολικός αριθμός στοιχείων του τυλίγματος και  $P$  τα ζεύγη των κύριων μαγνητικών πόλων της μπχανής.

#### - Σχεδιασμός ενός απλού βροχοτυλίγματος.

Θεωρούμε 12 αγωγούς, οι οποίοι κατανέμονται στην περιφέρεια ενός κυλινδρικού δρομέα, μιας μπχανής  $\Sigma P$ , τοποθετημένου, αρχικά, συμμετρικά ως προς το επίπεδο  $y-y$  (σχ. 5.3ε).



**Σχ. 5.3ε**

Τοποθέτηση 12 αγωγών σε κυλινδρικό δρομέα μιας μπχανής  $\Sigma P$  και αριθμηση αγωγών τοποθετημένων κάτω από τον Βόρειο (N) και Νότιο (S) πόλο αντίστοιχα.

Οι αγωγοί αριθμούνται από το 1 έως και το 12.

Έξι (6) αγωγοί τοποθετούνται κάτω από την επίδραση του Βόρειου πόλου (N) και έξι (6) αγωγοί τοποθετούνται κάτω από την επίδραση του Νότιου πόλου (S).

Συνδέομε έναν αγωγό, ο οποίος αριθμείται με περιπτό αριθμό και βρίσκεται κάτω από την επίδραση του Βόρειου πόλου με έναν αγωγό ο οποίος αριθμείται με άρτιο αριθμό και βρίσκεται κάτω από την επίδραση του Νότιου πόλου (σχ. 5.3ε), δηλαδή συνδέομε τον αγωγό 1 με τον αγωγό 8.

Συνεχίζομε, με τον ίδιο τρόπο, να συνδέομε τους «περιπτούς» αγωγούς με τους αντίστοιχους «άρτιους» (σχ. 5.3στ).



**Σχ. 5.3στ**

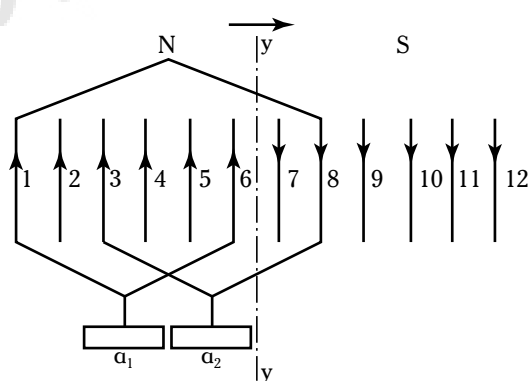
Σύνδεση περιπών με άρτιους αγωγούς.

Όταν ολοκληρωθεί η συνδεσμολογία των αγωγών προκύπτει η κατασκευή ενός απλού βροχοτυλίγματος, όπου κάθε εμπρόσθια μετωπική σύνδεση συνδέεται σε έναν τομέα του συλλέκτη.

Στο σχήμα 5.3ζ, παρουσιάζεται το ανάπτυγμα του απλού βροχοτυλίγματος στο επίπεδο.

Στο σχήμα αυτό ο τομέας  $a_1$  συνδέεται με τον αγωγό 1, ο οποίος βρίσκεται κάτω από την επίδραση του Βόρειου πόλου. Στη συνέχεια, ο αγωγός 1 συνδέεται με τον αγωγό 8, ο οποίος βρίσκεται κάτω από την επίδραση του Νότιου πόλου κ.λπ..

Στο σχήμα 5.3η δίδεται, τελικά, η ολοκληρωμένη κατασκευή του απλού βροχοτυλίγματος, το οποίο αποτελείται από 12 αγωγούς.



**Σχ. 5.3ζ**

Ανάπτυξη στο επίπεδο ενός απλού βροχοτυλίγματος, το οποίο αποτελείται από δώδεκα αγωγούς.

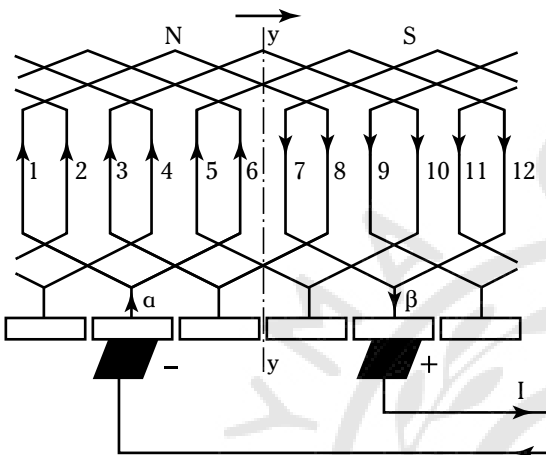
Οι ψήκτρες στο σχήμα 5.3n, διαιρούν τους αγωγούς σε δύο παράλληλους κλάδους.

Γενικά, για τα απλά βροχοτυλίγματα ισχύει ότι:

1) Ο αριθμός των τομέων του συλλέκτη είναι ίσος με τον αριθμό των ομάδων του τυλίγματος.

2) Ο αριθμός των ψηκτρών είναι ίσος με τον αριθμό των μαγνητικών πόλων.

Τα βροχοτυλίγματα χρησιμοποιούνται στις μηχανές ΣΡ μεγάλης εντάσεως ρεύματος και μικρής τάσεως.

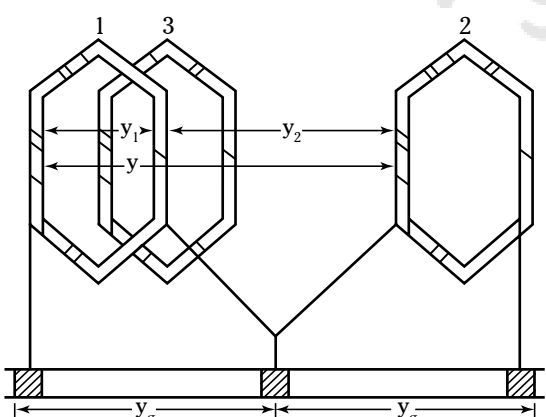


Σχ. 5.3n

Ολοκληρωμένη κατασκευή ενός απλού βροχοτυλίγματος δώδεκα αγωγών.

## 2) Κυματοτυλίγματα.

Στα κυματοτυλίγματα (τυλίγματα σειράς) οι παράλληλοι κλάδοι είναι πάντοτε δύο, ανεξάρτητα από τον αριθμό μαγνητικών πόλων της μηχανής (σχ. 5.3θ). Τα κυματοτυλίγματα παρέχουν στο εξωτερικό κύκλωμα της μηχανής μικρές τιμές εντάσεως ρεύματος.



Σχ. 5.3θ

Ομάδες από κυματοτυλίγματα.

Σε κάθε τομέα ενώνεται το τέλος μίας ομάδας με την αρχή της επόμενης, οπότε ο αριθμός των τομέων (T), είναι ίδιος με τον αριθμό των ομάδων του τυλίγματος και το  $\frac{1}{2}$  του αριθμού των στοιχείων του τυλίγματος:

$$T = G = \frac{S}{2} \quad (5.4)$$

όπου: G ο αριθμός ομάδων του τυλίγματος και S ο αριθμός των στοιχείων του τυλίγματος.

Τα στοιχεία μιας ομάδας βρίσκονται υπό την επίδραση ετερωνύμων πόλων.

Στα κυματοτυλίγματα ο αριθμός των ψηκτρών αρκεί να ισούται με τον αριθμό των παραλλήλων κλάδων. Όμως, συνθίζεται στην πράξη ο αριθμός των ψηκτρών των κυματοτυλιγμάτων να ισούται με τον αριθμό των μαγνητικών πόλων. Αυτό γίνεται για να επιτυχάνεται μείωση της ροής του ρεύματος που διαρρέει κάθε ψήκτρα.

## - Βήματα κυματοτυλιγμάτων.

Τα βήματα σε ένα κυματοτυλίγμα είναι τα ακόλουθα:

1) Το πρώτο μερικό βήμα ( $y_1$ ) είναι η απόσταση των στοιχείων της ίδιας ομάδας, ανά αριθμό στοιχείων. Είναι περιπτώσ αριθμός και ισούται με το πολικό βήμα ( $\tau_p$ ) της μηχανής.

2) Το δεύτερο μερικό βήμα ( $y_2$ ) είναι η απόσταση του πρώτου στοιχείου μίας ομάδας και του δεύτερου στοιχείου της προηγούμενης ομάδας.

3) Το βήμα κυματοτυλίγματος ( $y$ ) είναι η απόσταση, ανά αριθμό στοιχείων, μεταξύ του πρώτου στοιχείου δύο διαδοχικών συνδεδεμένων ομάδων. Το βήμα του κυματοτυλίγματος  $y$ , είναι άρτιος αριθμός και ίσος, περίπου, μ' ένα διπλό πολικό βήμα  $2\tau_p$ .

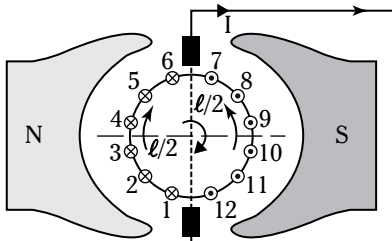
## 5.4 Λειπουργία γεννήτριας ΣΡ.

Στο σχήμα 5.4a, παρουσιάζεται η τομή στοιχείων γεννήτριας ΣΡ με επαγωγικό τύμπανο, το οποίο αποτελείται από 12 αγωγούς.

Ο ουδέτερος άξονας είναι ο νοντός άξονας συμμετρίας μεταξύ των κύριων μαγνητικών πόλων (N, S), ο οποίος χωρίζει το κύκλωμα του επαγωγικού τυμπάνου σε δύο παράλληλους κλάδους.

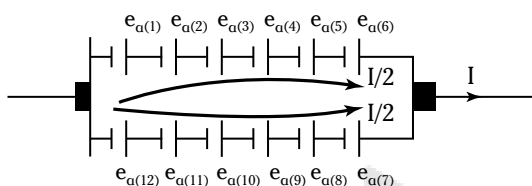
Όταν ο δρομέας περιστρέφεται σε κάθε αγωγό του επαγωγικού τυμπάνου επάγεται πλεκτρεγερτική δύναμη (ΗΕΔ,  $e_d$ ). Στο σχήμα 5.4β, παρουσιάζεται η πλεκτρική συμπεριφορά του επαγωγικού τυμπάνου.

Οι ψήκτρες τοποθετούνται κατά μήκος του ουδέ-



Σχ. 5.4α

Τομή στοιχειώδους γεννήτριας ΣΡ με επαγωγικό τυμπάνο 12 αγωγών.



Σχ. 5.4β

Σχηματική παράσταση της πλεκτικής συμπεριφοράς του επαγωγικού τυμπάνου 12 αγωγών.

τερου άξονα, οπότε απάγεται το μεγαλύτερο δυνατό ρεύμα.

#### 5.4.1 Ανάπτυξη τάσεως σε μια γεννήτρια ΣΡ.

Στην παρούσα παράγραφο περιγράφονται δύο τρόποι αναπτύξεως τάσεως σε μία γεννήτρια ΣΡ.

1) **A' τρόπος:** Όταν η γεννήτρια ΣΡ του σχήματος 5.4α, λειτουργεί χωρίς φορτίο, ενώ ο δρομέας περιστρέφεται, σε κάθε αγωγό του επαγωγικού τυμπάνου ενεργού μήκους  $\ell$ , επάγεται μια ΗΕΔ η οποία είναι:

$$e = Bv\ell \quad (5.5)$$

όπου:  $B$  η μαγνητική επαγωγή (πυκνότητα μαγνητικής ροής) των μαγνητικών πόλων του στάτονται και  $v$  η περιφερειακή ταχύτητα των αγωγών του επαγωγικού τυμπάνου, που δίδεται από την ακόλουθη εξίσωση:

$$v = \omega \frac{D}{2} \quad (5.6)$$

όπου:  $\omega$  η γωνιακή ταχύτητα του δρομέα και  $D$  η διάμετρος του δρομέα.

Έστω  $N$  ο συνολικός αριθμός των ενεργών αγωγών του επαγωγικού τυμπάνου. Άν  $2a$  είναι ο αριθμός των παραλλήλων κλάδων, τότε  $\frac{N}{2a}$  είναι ο

αριθμός των ενεργών αγωγών, οι οποίοι είναι συνδεμένοι σε σειρά. Η τάση τυμπάνου  $E_a$ , δίδεται από τη σχέση:

$$E_a = \omega \frac{D}{2} B \frac{N}{2a} \ell \quad (5.7)$$

όπου  $\ell$  το αξονικό μήκος του δρομέα.

Η μαγνητική ροή  $\Phi$  ανά πόλο δίδεται απ' τη σχέση:

$$\Phi = \frac{\pi D \ell}{2P} B \quad (5.8)$$

όπου  $2P$  ο αριθμός των μαγνητικών πόλων.

Η τάση του τυμπάνου είναι:

$$E_a = \left( \frac{2PN}{2a2\pi} \right) \Phi \omega. \quad (5.9)$$

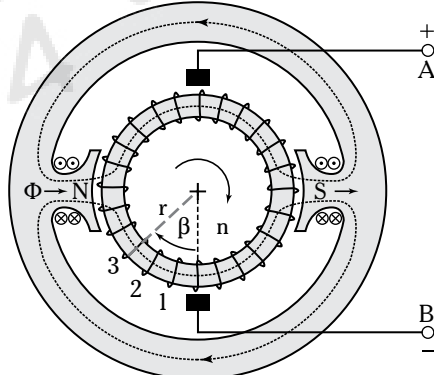
$$Av \quad K = \frac{2PN}{2a2\pi} \quad (5.10)$$

$$και \quad \omega = 2\pi \frac{n}{60} \quad (5.11)$$

$$τότε ισχύει: \quad E_a = K \Phi n \quad (5.12)$$

όπου  $n$  ο αριθμός των στροφών της γεννήτριας σε ΣΑΛ.

2) **B' τρόπος:** Στο σχήμα 5.4γ, παρουσιάζεται μια στοιχειώδης γεννήτρια ΣΡ, της οποίας το περιστρεφόμενο μέρος είναι ο **δρομέας του Pacinotti**<sup>2</sup>.



Σχ. 5.4γ  
Στοιχειώδης γεννήτρια ΣΡ.

<sup>2</sup> Πρόκειται για πρότυπο (μοντέλο) δρομέα απλό, που χρησιμεύει για την κατανόηση της λειτουργίας των μηχανών ΣΡ. Πρόκειται για ένα τοροειδές μαγνητικό υλικό, στο οποίο τοποθετείται ένα πινίο N σπειρών έτσι ώστε να αποτελεί ένα κλειστό τύλιγμα.

Η επαγόμενη ΗΕΔ σε μια σπείρα (όταν  $\Phi \neq 0$ ,  $n \neq 0$ ) είναι:

$$e = \left| \frac{d\Phi}{dt} \right| \quad (5.13)$$

όπου  $\Phi = \Phi(\beta)$ .

$$\text{Ισχύει: } e = \left| \frac{d\Phi}{dt} \right| = \frac{d\Phi}{d\beta} \frac{d\beta}{dt} = Br^l \omega = Bv^l \quad (5.14)$$

όπου:  $r$  είναι η εξωτερική ακτίνα του δρομέα,  $l$  το αξονικό μήκος και  $v$  η περιφερειακή ταχύτητα του Pacinotti.

Η συνολική ΗΕΔ στους ακροδέκτες της μηχανής ισούται με το άθροισμα των επί μέρους επαγομένων ΗΕΔ στις σπείρες του κυκλώματος του επαγωγικού τυμπάνου. Άρα ισχύει:

$$E_a = e_1 + e_2 + e_3 + \dots + e_n$$

$$E_a = \frac{e_1 \Delta t + e_2 \Delta t + e_3 \Delta t + \dots + e_n \Delta t}{\Delta t} = \frac{\Phi}{\Delta t} \quad (5.15)$$

όπου  $\Delta t$  ο αναγκαίος χρόνος ο οποίος απαιτείται, ώστε ο περιστρεφόμενος δρομέας να διατρέξει δύο διαδοχικές σπείρες.

Στην περίπτωση μιας διπολικής γεννήτριας ισχύει:

$$\Delta t = \frac{60}{Nn}$$

όπου  $N$  ο αριθμός των σπειρών του κυκλώματος του επαγωγικού τυμπάνου και  $n$  ο αριθμός στροφών του δρομέα.

Όταν πρόκειται για γεννήτριες με βροχειδές κύκλωμα επαγωγικού τυμπάνου, με 2a παράλληλους κλάδους και 2p μαγνητικούς πόλους, τότε ισχύει:

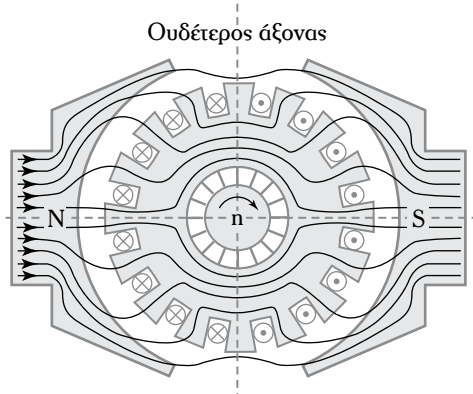
$$E_a = \frac{2P}{2a} \frac{n}{60} \Phi \quad \text{ή} \quad E_a = K \Phi n \quad (5.16)$$

όπου  $K$  η κατασκευαστική σταθερά της γεννήτριας.

#### 5.4.2 Αντίδραση τυμπάνου.

Όταν μια μηχανή ΣΡ λειτουργεί χωρίς φορτίο, στον διάκενο χώρο της υπάρχει μόνο το μαγνητικό πεδίο, το οποίο δημιουργείται από τους κύριους μαγνητικούς πόλους του στάτη. Στο σχήμα 5.4δ παρουσιάζεται η κατανομή της μαγνητικής ροής του μαγνητικού πεδίου των κυρίων μαγνητικών πόλων στη λειτουργία χωρίς φορτίο.

Όταν η μηχανή λειτουργεί με φορτίο, τότε το επαγωγικό τύμπανο διαρρέεται από ρεύμα, οπότε δη-



**Σχ. 5.4δ**

Κατανομή της μαγνητικής ροής του μαγνητικού πεδίου των κύριων μαγνητικών πόλων του στάτη στη λειτουργία χωρίς φορτίο.

μιουργείται το μαγνητικό πεδίο του δρομέα ( $N'-S'$ ) κάθετα στο μαγνητικό πεδίο του στάτη (σχ. 5.4ε).

Η υπέρθεση των δύο μαγνητικών πεδίων προκαλεί το φαινόμενο αντιδράσεως τυμπάνου. Το φαινόμενο αυτό συνίσταται στην δημιουργία ενός συνολικού παραμορφωμένου μαγνητικού πεδίου, το οποίο προκαλεί μετατόπιση του ουδέτερου άξονα (νέος ουδέτερος άξονας) (σχ. 5.4στ) στην φορά περιστροφής του δρομέα για γεννήτριες και σε αντίθετη φορά για κινητήρες.

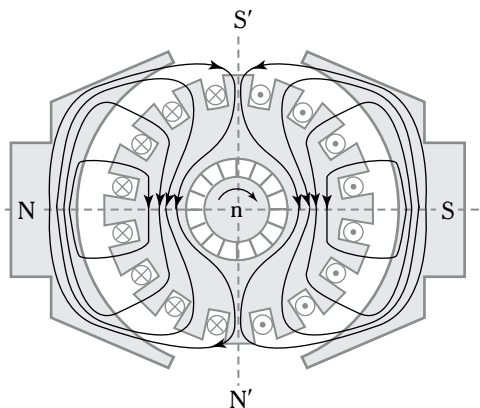
Το φαινόμενο αντιδράσεως τυμπάνου προκαλεί τα ακόλουθα προβλήματα σε μια μηχανή ΣΡ.

- 1) Μετατόπιζει τον ουδέτερο άξονα (σχ. 5.4στ).
- 2) Μειώνει το συνολικό μαγνητικό πεδίο.
- 3) Δημιουργεί μηχανικά προβλήματα.
- 4) Παραμορφώνει το μαγνητικό πεδίο των κύριων πόλων (βλ. σχ. 5.4ε και 5.4στ).

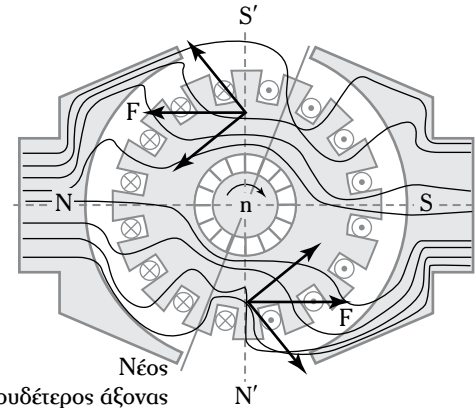
#### 1) Μετατόπιση των ουδέτερων άξονα.

Στον ουδέτερο άξονα των μηχανών ΣΡ η επαγόμενη τάση στο επαγωγικό τύμπανο μπορεί να διαφορετική θέση από εκείνη στη λειτουργία της μηχανής χωρίς φορτίο. Στο σχήμα 5.4ζ(α) δίδεται η γραφική παράσταση της μαγνητικής ροής  $\Phi_t$ , των κυρίων πόλων μιας στοιχειώδους διπολικής μηχανής ΣΡ στη λειτουργία χωρίς φορτίο.

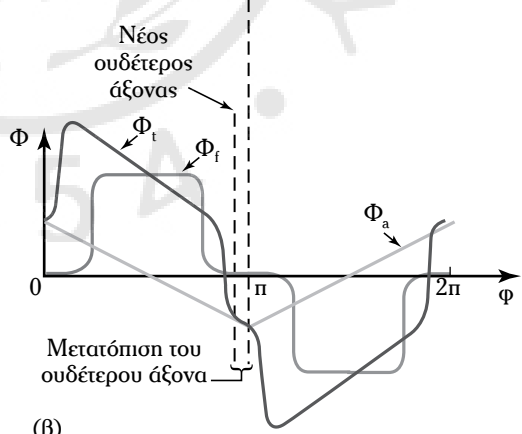
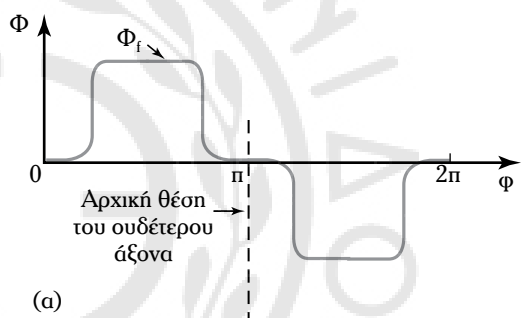
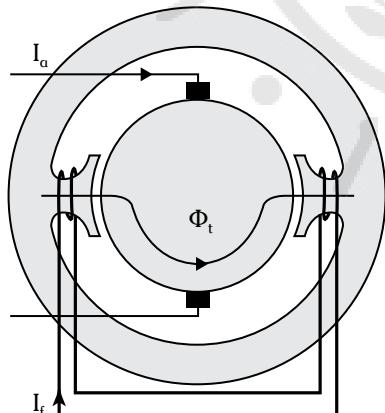
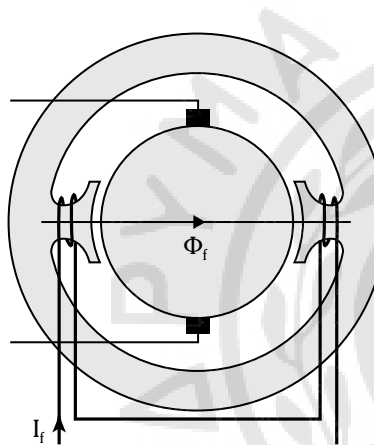
Στο σχήμα 5.4ζ(β) η συνολική μαγνητική ροή  $\Phi_t$  μπορεί να διαφορετική θέση από εκείνη στη λειτουργία της μηχανής χωρίς φορτίο. Ο ουδέτερος άξονας έχει μετατοπιστεί σε σχέση με την αρχική του θέση. Ο ουδέτερος άξονας μετατόπιζεται προς την φορά περιστροφής στις γεννήτριες ΣΡ και αντίθετα στη φορά περιστροφής στους κινητήρες ΣΡ.



**Σχ. 5.4ε**  
Κατανομή του μαγνητικού  
πεδίου του δρομέα.



**Σχ. 5.4στ**  
Συνολικό μαγνητικό πεδίο μπχανής ΣΡ  
στις λειπουργία με φορτίο.



$\Phi_f$ : μαγνητική ροή των κύριων μαγνητικών πόλων του στάτη.

$\Phi_a$ : μαγνητική ροή του δρομέα.

$\Phi$ : συνολική μαγνητική ροή στον διάκενο χώρο της μπχανής.

### Σχ. 5.4ζ

- (a) Γραφική παράσταση της μαγνητικής ροής  $\Phi_f$  στη λειπουργία χωρίς φορτίο και  
(β) γραφική παράσταση των μαγνητικών ροών στη λειπουργία με φορτίο.

Η μετατόπιση του ουδέτερου άξονα είναι μεγαλύτερη όσο μεγαλύτερο είναι το ρεύμα τυμπάνου.

Οι μαγνητικές ροές  $\Phi_f$ ,  $\Phi_a$  (που είναι η μαγνητική ροή του δρομέα) και  $\Phi_t$  παράγουν το μαγνητικό πεδίο  $B_f$ , των κύριων μαγνητικών πόλων, το οποίο κατανέμεται στον διάκενο χώρο της μυχανής κατά τη λειτουργία της χωρίς φορτίο, το μαγνητικό πεδίο του δρομέα  $B_a$ , και το συνολικό μαγνητικό πεδίο  $B_t$ , το οποίο κατανέμεται στον διάκενο χώρο της μυχανής, όταν αυτή λειτουργεί με φορτίο.

Το αποτέλεσμα της μετατόπισης της ουδέτερης γραμμής είναι η εμφάνιση σπινθηρισμών στον συλλέκτη, οι οποίοι προκαλούν βλάβες τόσο στον συλλέκτη όσο και στις ψήκτρες.

## 2) Μείωση του συνολικού μαγνητικού πεδίου.

Το δεύτερο πρόβλημα, το οποίο προκαλεί το φαινόμενο αντιδράσεως τυμπάνου είναι η μείωση της συνολικής μαγνητικής ροής σε σχέση με τη μαγνητική ροή, η οποία παράγεται απ' τους κύριους μαγνητικούς πόλους του στάτη. Η συνολική μαγνητική ροή εξασθενίζει στην είσοδο των κύριων μαγνητικών πόλων και ενισχύεται στην έξοδό τους. Αυτό συμβαίνει διότι η μυχανή λειτουργεί κοντά στον μαγνητικό κορεσμό. Η μείωση της συνολικής μαγνητικής ροής προκαλεί στις γεννήτριες ΣΡ μείωση της παραγόμενης τάσεως και στους κινητήρες ΣΡ αύξηση της ταχύτητας περιστροφής τους.

Τα αποτελέσματα του φαινομένου αντιδράσεως τυμπάνου θα μπορούσαν να αντιμετωπιστούν με την μετακίνηση των ψηκτρών στη θέση του ουδέτερου άξονα. Η θέση του ουδέτερου άξονα εξαρτάται από το φορτίο. Κάθε φορά που αλλάζει η θέση του ουδέτερου άξονα πρέπει να μετακινούνται οι ψηκτρες. Η μετακίνηση των ψηκτρών δεν είναι πρακτικά εύκολη και επί πλέον δεν λύνει το πρόβλημα της μειώσεως της συνολικής μαγνητικής ροής.

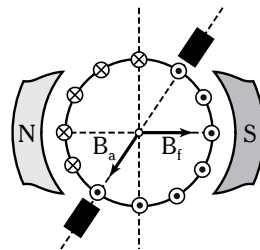
Πράγματι αν τοποθετηθούν οι ψηκτρες στην νέα θέση του ουδέτερου άξονα, η μείωση του συνολικού μαγνητικού πεδίου επιδεινώνεται. Αυτό συμβαίνει διότι:

1) Το μαγνητικό πεδίο του δρομέα αποκτά μια συνιστώσα, η οποία αντιθέται στο μαγνητικό πεδίο των κύριων μαγνητικών πόλων (σχ. 5.4n).

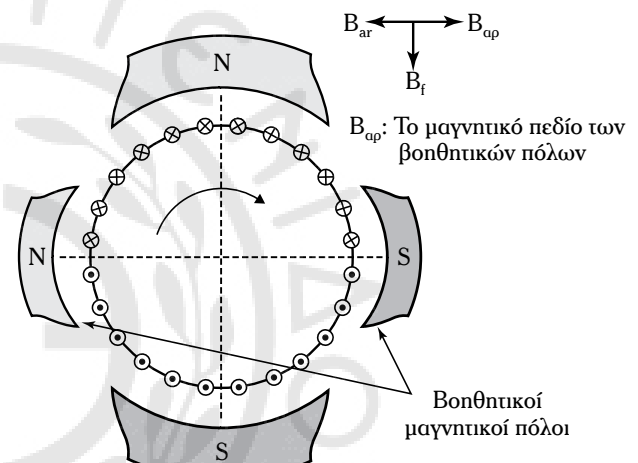
2) Μεταβάλλεται η κατανομή του ρεύματος τυμπάνου, οπότε προκαλείται έντονη συγκέντρωση μαγνητικής ροής στα κορεσμένα μέρη των πελμάτων των μαγνητικών πόλων.

Προκειμένου να αντιμετωπιστούν τα αποτελέσμα-

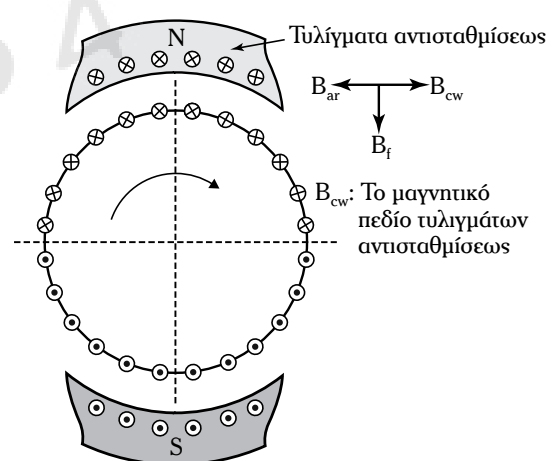
τα αντιδράσεως τυμπάνου χρησιμοποιούνται στις μηχανές ΣΡ οι βοηθητικοί μαγνητικοί πόλοι (σχ. 5.4θ) και τα τυλίγματα αντισταθμίσεως (σχ. 5.4ι).



**Σχ. 5.4n**  
Μαγνητικό πεδίο δρομέα.



**Σχ. 5.4θ**  
Βοηθητικοί μαγνητικοί πόλοι.



**Σχ. 5.4ι**  
Τυλίγματα αντισταθμίσεως.

### 3) Μηχανικά προβλήματα.

Τα δύο μαγνητικά πεδία, του στάτη και του δρομέα, αναπτύσσουν δυνάμεις (σχ. 5.4ια), οι οποίες ανθίστανται στην περιστροφή του δρομέα, οπότε δημιουργείται η ανθιστάμενη ροπή ( $T_{av}$ ) της μηχανής.

#### 5.4.3 Μεταγωγή.

**Μεταγωγή** ονομάζομε το φαινόμενο της αναστροφής της φοράς του ρεύματος τυμπάνου σε ένα πνίγιο (ή ομάδα) μόλις αυτό περάσει μπροστά από μία ψήκτρα. Το ρεύμα μιας ψήκτρας περνάει προπομένως από έναν τομέα, ο οποίος είναι συνδεμένος με ένα πνίγιο (ή ομάδα) του τυλίγματος και περιστρέφεται. Η κυκλοφορία του ρεύματος μέσω αυτού του τομέα διαρκεί τόσο χρόνο, όσο έρχεται σε επαφή με την ψήκτρα. Χαρακτηριστικό της αναστροφής είναι ότι κατά το χρονικό διάστημα που συμβαίνει αυτή, βραχυκυκλώνεται το πνίγιο από μία ή περισσότερες ψήκτρες.

Για να κατανοήσουμε το φαινόμενο της μεταγωγής παρακολουθούμε στο σχήμα 5.4ιβ το πνίγιο (ή ομάδα) αβγ, το οποίο κινείται μαζί με τον συλλέκτη μπροστά από τις ψήκτρες με ταχύτητα  $v$ .

Στη χρονική στιγμή  $t = 0$ , το ρεύμα  $I_a$  που διέρχεται μέσα από την ψήκτρα και τον τομέα 1, προέρχεται μισό από το υπό μεταγωγή πνίγιο αβγ και μισό από το διαδοχικό πνίγιο γδε [σχ. 5.4ιβ(α)]. Στη δεύτερη φάση η ψήκτρα εφάπτεται στους δύο τομείς 1 και 2 [σχ. 5.4ιβ(β)].

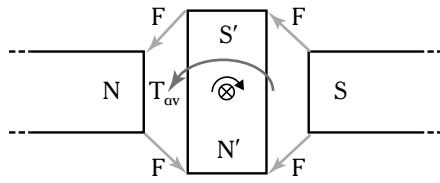
Μετά από χρόνο  $t = t_c$  η ψήκτρα εφάπτεται μόνο στον τομέα 2 [σχ. 5.4ιβ(γ)], ενώ το ρεύμα έχει αλλάξει φορά στο πνίγιο αβγ, και στον τομέα 1 δεν ρέει ρεύμα, παρά μόνο στον τομέα 2.

Γενικά, όταν ένας αγωγός του επαγωγικού τυμπάνου, ο οποίος συνδέεται με τον αντίστοιχο τομέα του συλλέκτη, δεν εφάπτεται με την αντίστοιχη ψήκτρα, το ρεύμα, το οποίο διαρρέει αντιστρέφεται απ' την τημί  $\frac{1}{2}$  στην τημί  $-\frac{1}{2}$  (σχ. 5.4ιγ).

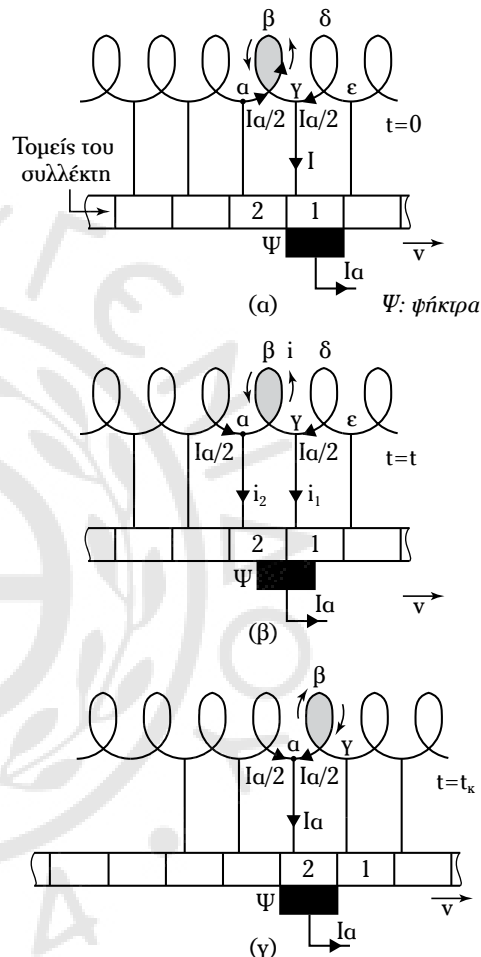
**Χρόνο μεταγωγής**  $t_c$ , ονομάζομε το χρόνο που απαιτείται, ώστε ο τομέας του συλλέκτη να μετατοπιστεί πλήρως από την ψήκτρα. Αν  $v$  είναι η περιφερειακή ταχύτητα των τομέων του συλλέκτη και  $\ell$  το αντίστοιχο μήκος τους, τότε ο χρόνος μεταγωγής  $t_c$  είναι:

$$t_c = \frac{\ell}{v}. \quad (5.17)$$

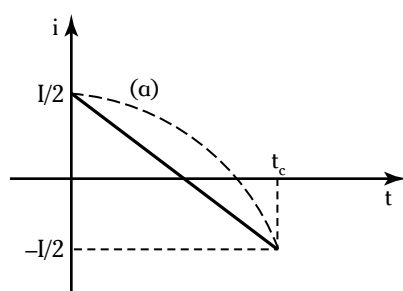
Στη διάρκεια του χρόνου μεταγωγής οι αγωγοί του επαγωγικού τυμπάνου μετατοπίζονται από τον ουδέτερο άξονα, ενώ η ψήκτρα [σχ. 5.4ιβ(β)] βραχυκυκλώνει δύο τομείς.



Σχ. 5.4ια  
Εμφάνιση ανθιστάμενης ροπής ( $T_{av}$ ) στον δρομέα.



Σχ. 5.4ιβ  
Μεταγωγή σε μία σπείρα του επαγωγικού τυμπάνου.



Σχ. 5.4ιγ  
Ιδανική περίπτωση μεταγωγής.

Η επιφάνεια επαφής της ψίνκτρας και του τομέα του συλλέκτη, ο οποίος μετατοπίζεται, στη φορά περιστροφής του δρομέα, μειώνεται ως εξής:

$$A_c(t) = A \left( \frac{1-t}{t_c} \right) \quad (5.18)$$

όπου  $A$  η επιφάνεια του αντίστοιχου τομέα συλλέκτη.

Όταν ολόκληρη η επιφάνεια του τομέα, του συλλέκτη, είναι σε πλήρη επαφή με την αντίστοιχη ψίνκτρα, τότε η πυκνότητα του ρεύματος  $J$ , στον τομέα είναι:

$$J = \frac{I}{A}. \quad (5.19)$$

Στη διάρκεια του χρόνου μεταγωγής  $t_c$ , οι αγωγοί, οι οποίοι συνδέουν το πνίγιο με τους τομείς του συλλέκτη [σχ. 5.4iβ(β)], διαρρέονται αντίστοιχα από τα ρεύματα:

$$i_1(t) = \frac{I_a}{2} + i(t) \quad \text{και} \quad i_2(t) = \frac{I_a}{2} + i(t) \quad (5.20)$$

όπου  $i(t)$  το ρεύμα του πνίγιου αβγ.

Ιδανική περίπτωση είναι εκείνη κατά την οποία η πυκνότητα του ρεύματος στο ποσοστό του τομέα, ο οποίος μετατοπίζεται, διατηρείται σταθερή.

Σε αυτήν την περίπτωση ισχύει:

$$J = \frac{I}{A} = \frac{\left( \frac{I}{2} + i(t) \right)}{A} \left( 1 - \frac{t}{t_c} \right). \quad (5.21)$$

Από την εξίσωση προκύπτει η μεταβολή του ρεύματος στην ιδανική περίπτωση μεταγωγής.

Γενικά, η ιδανική περίπτωση μεταγωγής θεωρείται εκείνη, στην οποία λαμβάνονται υπόψη:

1) Η μηδενική ωμική αντίσταση των αγωγών του επαγωγικού τυμπάνου.

2) Οι μηδενικές οι πλεκτρεγερτικές δυνάμεις, οι οποίες αναπτύσσονται στους βραχυκυκλωμένους αγωγούς.

3) Η σταθερή αντίσταση επαφής μεταξύ ψίνκτρας και συλλέκτη. Στην ιδανική μεταγωγή ισχύει:

$$i = \frac{I}{2} - I \frac{t}{t_c}. \quad (5.22)$$

Η εξίσωση 5.22, είναι η εξίσωση μιας ευθείας (σχ. 5.4iγ).

Στην πράξη, κατά τη διάρκεια της μεταγωγής εμφανίζονται επαγωγικά φαινόμενα, τα οποία μπορούν να προκαλέσουν βλάβες στα κυκλώματα του τυμπάνου.

Στη διάρκεια μεταγωγής εμφανίζονται δύο τύποι ΗΕΔ, οι οποίες επιβραδύνουν την αλλαγή φοράς του ρεύματος i.

Η πρώτη ΗΕΔ ( $e_1$ ) οφείλεται στην αυτεπαγωγή της σπείρας, στην οποία πρόκειται να γίνει η μεταγωγή του ρεύματος. Η  $e_1$  ορίζεται από τον Νόμο του Faraday, και αντιτίθεται στη μεταβολή της μαγνητικής ροής που παράγεται από το ρεύμα i:

$$e_1 = \left| -L \frac{di}{dt} \right| \quad (5.23)$$

όπου  $e_1$  η τάση από αυτεπαγωγή.

Η δεύτερη ΗΕΔ ( $e_2$ ), οφείλεται στην παρουσία του ακτινικού μαγνητικού πεδίου στην περιοχή όπου πραγματοποιείται η μεταγωγή του ρεύματος i. Αυτό το μαγνητικό πεδίο δημιουργείται από το φαινόμενο αντιδράσεως τυμπάνου και προκαλεί, κατά την περιστροφή του δρομέα μια ΗΕΔ στους αγωγούς, στους οποίους πραγματοποιείται η αλλαγή φοράς του ρεύματος. Τελικά ισχύει:

$$e_2 = K^1 B_{ar} n \quad (5.24)$$

όπου: n η ταχύτητα περιστροφής του δρομέα σε στροφές ανά λεπτό,  $K^1$  μια σταθερά, που εξαρτάται από το συνολικό μήκος των αγωγών –όπου πραγματοποιείται η αλλαγή του ρεύματος– και από την ακτίνα του δρομέα και  $B_{ar}$  το μαγνητικό πεδίο αντιδράσεως τυμπάνου που προκαλείται από το φαινόμενο αντιδράσεως τυμπάνου στην περιοχή των αγωγών στους οποίους αλλάζει η φορά του ρεύματος.

Στην πράξη, κατά τη διάρκεια της μεταγωγής ισχύουν τα εξής:

1) Αναπτύσσονται οι ΗΕΔ  $e_1$  και  $e_2$ , οι οποίες επιβραδύνουν την αντιστροφή του ρεύματος στους αγωγούς του επαγωγικού τυμπάνου.

2) Η αντίσταση των αγωγών του επαγωγικού τυμπάνου δεν είναι μηδενική.

3) Η αντίσταση επαφής (τομέα-ψίνκτρας) μειώνεται όταν αυξάνεται η πυκνότητα του ρεύματος στην επαφή.

Οι ΗΕΔ  $e_1$  και  $e_2$  επιβραδύνουν την αντιστροφή του ρεύματος στους αγωγούς, οι οποίοι μέσω των τομέων έρχονται σε επαφή με την αντίστοιχη ψίνκτρα. Αυτή η επιβράδυνση προκαλεί συσσώρευση ρεύματος στην επιφάνεια επαφής τομέα-συλλέκτη, με αποτέλεσμα να αναπτύσσονται σπινθηρισμοί, οι οποίοι αυξάνονται όταν αυξάνεται η τιμή του ρεύματος i, που παρέχει η γεννήτρια ΣΡ.

Η μεταβολή του ρεύματος i, στην διάρκεια μετα-

γωγής δίδεται ποιοτικά από την καμπύλη (a) που παρουσιάζεται στο σχήμα 5.4γ.

Αν τροποποιήσομε κατάλληλα τη μεταβολή του μαγνητικού πεδίου του επαγωγικού τυμπάνου ομαλοποιούμε τη μεταγωγή, διατηρώντας τις ψίνκτρες στον ουδέτερο άξονα. Γ' αυτό χρησιμοποιούνται οι βοηθητικοί πόλοι και τα τυλίγματα αντισταθμίσεως.

## 5.5 Είδη μηχανών (γεννητριών) ΣΡ – Εισαγωγή.

Ανάλογα με τον τρόπο με τον οποίο είναι συνδεμένο το τύλιγμα διεγέρσεως με το επαγωγικό τύμπανο, οι μηχανές ΣΡ διακρίνονται σε τέσσερα είδη:

- 1) Με ανεξάρτητη ή ξένη διέγερση.
- 2) Με παράλληλη διέγερση.
- 3) Με διέγερση σειράς.
- 4) Με σύνθετη διέγερση.

Εκτός από τις μηχανές ξένης διεγέρσεως, οι υπόλοιπες είναι αυτοδιεγειρόμενες μηχανές, γιατί το ρεύμα διεγέρσεως προέρχεται από το ρεύμα αυτών των μηχανών.

Στη συνέχεια θα μελετήσουμε τα είδη των γεννητριών ΣΡ. Μεγάλη σημασία έχουν οι χαρακτηριστικές καμπύλες των γεννητριών ΣΡ, μέσω των οποίων μελετάται η συμπεριφορά τους σε διάφορες καταστάσεις λειτουργίας τους.

### 5.5.1 Χαρακτηριστικές καμπύλες γεννητριών ΣΡ.

Η μελέτη των γεννητριών ΣΡ, πραγματοποιείται με την βοήθεια των εξής βασικών, χαρακτηριστικών καμπυλών:

1) **Στατική χαρακτηριστική:** Περιγράφει τη μεταβολή της τάσεως τυμπάνου  $E_a$ , σε συνάρτηση με το ρεύμα διεγέρσεως  $I_f$ , όταν το ρεύμα φορτίου  $I_L$  ισούται με μηδέν (λειτουργία χωρίς φορτίο) και η ταχύτητα περιοτροφής της μηχανής είναι σταθερή.

$$E_a = f(I_f) \left\{ \begin{array}{l} I_L=0 \\ n=\text{σταθ.} \end{array} \right. \quad (5.25)$$

2) **Χαρακτηριστική φορτίου:** Δίδει την τερματική τάση  $V_t$ , (τάση ακροδεκτών της γεννητριάς όταν λειτουργεί με φορτίο), σε συνάρτηση με το ρεύμα διεγέρσεως  $I_f$ . Στη χαρακτηριστική αυτή το ρεύμα τυμπάνου  $I_a$  και οι στροφές  $n$  είναι σταθερές.

$$V_t = f(I_f) \left\{ \begin{array}{l} n=\text{σταθ.} \\ I_a=\text{σταθ.} \end{array} \right. \quad (5.26)$$

3) **Εξωτερική χαρακτηριστική:** Δίδει τη μεταβολή της τερματικής τάσης  $V_t$ , σε συνάρτηση με το

ρεύμα φορτίου  $I_L$ , όταν το ρεύμα διεγέρσεως  $I_f$  και οι στροφές  $n$ , είναι σταθερές:

$$V_t = f(I_L) \rightarrow I_f = \text{σταθ.}, n = \text{σταθ.} \quad (5.27)$$

### 5.5.2 Γεννήτρια ΣΡ ξένης ή ανεξάρτητης διεγέρσεως.

Σε αυτήν τη γεννήτρια το τύλιγμα διεγέρσεως τροφοδοτείται με τάση, η οποία παρέχεται ανεξάρτητα από την πηγή.

Στο σχήμα 5.5α, παρουσιάζεται το ισοδύναμο πλεκτρικό κύκλωμα μιας γεννητριας με ανεξάρτητη διέγερση. Το τύλιγμα διεγέρσεως  $F_1 - F_2$ , τροφοδοτείται από μία πηγή συνεχούς τάσεως  $V_{D.C.}$ .  $I_f$  είναι το ρεύμα διεγέρσεως, το οποίο κυκλοφορεί στο κύκλωμα διεγέρσεως της γεννητριας. Σε σειρά με το τύλιγμα διεγέρσεως τοποθετούμε μια μεταβλητή ωμική αντίσταση  $R_r$ . Θεωρούμε  $R_f$  τη συνολική ωμική αντίσταση του κυκλώματος διεγέρσεως. Με  $E_a$  και  $R_a$  συμβολίζομε την τάση τυμπάνου και την αντίσταση τυμπάνου, αντίστοιχα της γεννητριας. Στους ακροδέκτες της γεννητριας συνδέομε ωμικό φορτίο  $R_L$ , το οποίο τροφοδοτείται με την τερματική της τάση  $V_t$ . Το ρεύμα τυμπάνου  $I_a$  ισούται με το ρεύμα φορτίου  $I_L$ , με το οποίο τροφοδοτείται το φορτίο  $R_L$ .

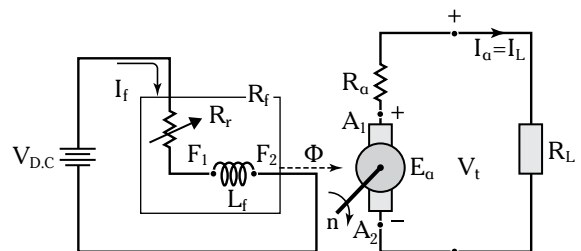
Η μελέτη της γεννητριας με ανεξάρτητη διέγερση πραγματοποιείται με βάση τις ακόλουθες εξισώσεις:

$$E_a = KΦn \quad (5.28)$$

$$I_L = I_a \quad (5.29)$$

$$V_t = E_a - I_a R_a \quad (5.30)$$

$$I_f = \frac{V_{D.C.}}{R_f}. \quad (5.31)$$



**Σχ. 5.5α**

Ισοδύναμο πλεκτρικό κύκλωμα μιας γεννητριας ΣΡ με ανεξάρτητη διέγερση.

Η συμπεριφορά των γεννητριών αναλύεται κάνοντας χρήση των ακολούθων καμπύλων:

1) **Στατική χαρακτηριστική.** Για την χάραξη της στατικής χαρακτηριστικής, απαιτείται η συνδεσμολογία που παρουσιάζεται στο σχήμα 5.5β.

Αν ο αριθμός στροφών  $n$  της γεννήτριας είναι σταθερός μεταβάλλοντας τη θέση του δρομέα  $\delta$  της μεταβλητής αντιστάσεως  $R_f$  στο κύκλωμα διεγέρσεως, προκύπτουν διάφορες τιμές του  $I_f$  και αντίστοιχες τιμές της  $E_a$  στους ακροδέκτες της μηχανής. Σ' αυτήν την περίπτωση κατασκευάζεται πίνακας τιμών, σύμφωνα με τις οποίες κατασκευάζεται η στατική χαρακτηριστική ① της γεννήτριας για  $n = \text{σταθ.}$  (σχ. 5.5γ).

Μεταβάλλοντας τον αριθμό στροφών  $n$ , λαμβάνομε ομήνος στατικών χαρακτηριστικών της γεννήτριας.

Από το σχήμα 5.5γ προκύπτει ότι το τμήμα αβ της καμπύλης ① δεν είναι γραμμικό. Αυτό συμβαίνει διότι η ΜΕΔ του διακένου είναι το άθροισμα της σταθερής ΜΕΔ της παραμένουσας μαγνητίσεως και της μεταβλητής ΜΕΔ  $N_f I_f$ .

Το τμήμα βγ είναι γραμμικό διότι η επίδραση της παραμένουσας μαγνητίσεως είναι μικρή ως προς εκείνη της ΜΕΔ  $N_f I_f$ , ώστε να θεωρείται αμελητέα. Στο τμήμα γδ η επίδραση της ΜΕΔ  $N_f I_f$ , μειώνεται διότι η μηχανή λειτουργεί στην περιοχή του μαγνητικού κόρου.

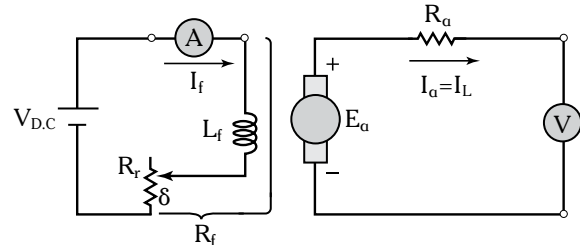
2) **Χαρακτηριστική φορτίου.** Αν στους ακροδέκτες της γεννήτριας που δίδεται στο σχήμα 5.5α, συνδεθεί φορτίο  $R_L$ , τότε η τερματική τάση  $V_t$ , δεν θα είναι ίση με την ΗΕΔ  $E_a$  της γεννήτριας. Η τάση  $V_t$  παρουσιάζεται μειωμένη λόγω του φαινομένου της αντιδράσεως τυμπάνου και των διαφόρων πτώσεων τάσεως στα διάφορα σημεία, από τα οποία περνάει το ρεύμα τυμπάνου.

Στο σχήμα 5.5δ, παρουσιάζεται η χαρακτηριστική φορτίου (καμπύλη 3) μίας γεννήτριας με ξένη διέγερση.

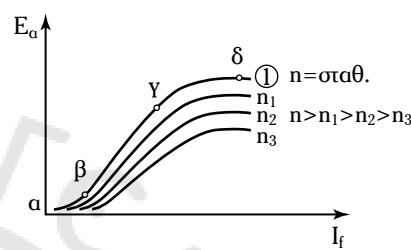
Η καμπύλη 1 είναι στατική χαρακτηριστική. Η καμπύλη 2 προκύπτει αν προστεθούν στην χαρακτηριστική φορτίου οι ηλεκτρικές πτώσεις τάσεως στα διάφορα μέρη της γεννήτριας, οι οποίες εκφράζονται από το τμήμα AB της χαρακτηριστικής του σχήματος 5.5δ. Το τμήμα BG εκφράζει τις πτώσεις τάσεως λόγω του φαινομένου της αντιδράσεως τυμπάνου.

Προκειμένου να έχουμε την ίδια τάση, όταν η γεννήτρια λειτουργεί χωρίς φορτίο και με φορτίο, θα πρέπει να αυξηθεί το ρεύμα  $I_f$  από την τιμή OH (χωρίς φορτίο) στην τιμή OZ (με φορτίο).

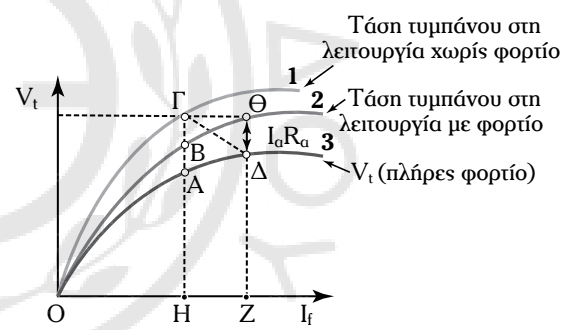
3) **Εξωτερική χαρακτηριστική.** Στο σχήμα 5.5ε, παρουσιάζεται η εξωτερική χαρακτηριστική



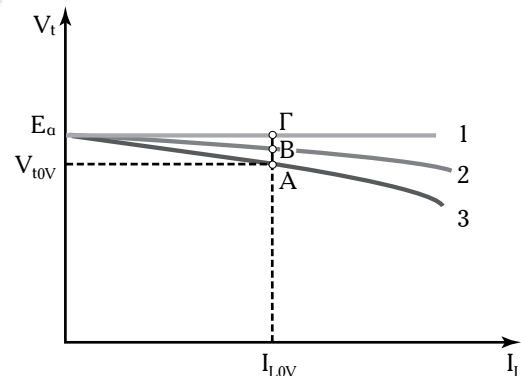
**Σχ. 5.5β**  
Συνδεσμολογία μιας γεννήτριας με ξένη διέργεση για τη χάραξη της στατικής χαρακτηριστικής.



**Σχ. 5.5γ**  
Στατική χαρακτηριστική γεννήτριας με ξένη διέγερση. Συμπλός χαρακτηριστικών για διαφορετικό αριθμό στροφών.



**Σχ. 5.5δ**  
Γραφική παράσταση της  $V_t = f(I_f)$  με  $I_a$  και  $n = \text{σταθερά}$  (καμπύλη 3).



**Σχ. 5.5ε**  
Γραφική παράσταση της  $V_t = f(I_L)$ , όταν  $I_f$  και η διαπρούνται σταθερά.

(καμπύλη 3) μίας γεννήτριας ΣΡ με ξένη διέγερση.

Από το σχήμα 5.5ε, προκύπτει ότι όσο το ρεύμα  $I_L$  αυξάνεται, τόσο αυξάνονται οι πτώσεις τάσεως και η επίδραση του φαινομένου της αντίδρασης τυμπάνου.

Το τμήμα ΓΒ εκφράζει τις πτώσεις τάσεως λόγω του φαινομένου της αντίδρασης τυμπάνου.

Το τμήμα ΑΒ εκφράζει τις πτώσεις τάσεως στο πλεκτρικό κύκλωμα τυμπάνου.

Η γεννήτρια ΣΡ με ξένη διέγερση χαρακτηρίζεται από μεγάλη σταθερότητα τάσεως, επειδή η διέγερση μπορεί να διατηρηθεί εντελώς σταθερή με την βούθεια της πηγής  $V_{DC}$  και της  $R_f$ . Αν βραχυκυκλωθούν οι ακροδέκτες της γεννήτριας, το ρεύμα τυμπάνου αποκτά πολύ μεγάλη τιμή, επειδή η τάση τυμπάνου  $E_a$  παραμένει μεγάλη και η αντίσταση τυμπάνου είναι πολύ μικρή.

Η γεννήτρια αυτή είναι ιδιαίτερα κατάλληλη για τη λειτουργία σε δίκτυο σταθερής τάσεως.

### 5.5.3 Γεννήτρια ΣΡ με παράλληλη διέγερση.

Σ' αυτήν τη γεννήτρια το τύλιγμα διεγέρσεως συνδέεται παράλληλα με το επαγωγικό τύμπανο. Στο σχήμα 5.5στ παρουσιάζεται το ισοδύναμο πλεκτρικό κύκλωμα μίας γεννήτριας ΣΡ με παράλληλη διέγερση.

$R_f$  είναι η συνολική ωμική αντίσταση του τυλίγματος διεγέρσεως, που συνδέεται παράλληλα στο επαγωγικό τύμπανο της γεννήτριας.

Η μελέτη των γεννητηριών ΣΡ με παράλληλη διέγερση πραγματοποιείται με τις παρακάτω εξισώσεις:

$$E_a = KΦn \quad (5.32)$$

$$I_a = I_L + I_f \quad (5.33)$$

$$V_t = E_a - I_a R_a \quad (5.34)$$

$$I_f = \frac{V_t (\equiv E_a)}{R_f}. \quad (5.35)$$

Οι γεννήτριες ΣΡ με παράλληλη διέγερση είναι αυτοδιεγειρόμενες μπχανές. Ο **μπχανισμός αυτοδιεγέρσεως** λειτουργεί ως εξής:

Υποθέτομε ότι η γεννήτρια ΣΡ με παράλληλη διέγερση περιστρέφεται με τον ονομαστικό αριθμό στροφών και στους ακροδέκτες της δεν είναι συνδεμένο φορτίο (λειτουργία χωρίς φορτίο). Το ρεύμα  $I_a = I_f$  είναι πολύ μικρό. Τότε έχουμε:

$$V_t = E_a = f(I_f). \quad (5.36)$$

Σε σειρά με το τύλιγμα διεγέρσεως συνδέεται μια μεταβλητή αντίσταση  $R_f$ . Οπότε η  $R_f$  (σχ. 5.5στ) εκπροσωπεί τη συνολική ωμική αντίσταση του τυλίγματος διεγέρσεως.

Λόγω του **παραμένοντος μαγνητισμού** υπάρχει μαγνητική ροή και όταν το ρεύμα διεγέρσεως ισούται με μηδέν:

$$\Phi(I_f = 0) = \Phi_0 = \Phi_{\text{ΠΑΡ.ΜΑΓΝ.}} \quad (5.37)$$

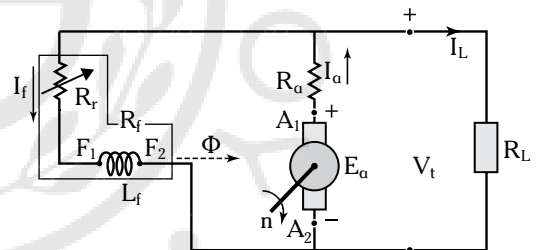
Όταν η γεννήτρια περιστρέφεται με τον ονομαστικό αριθμό στροφών εμφανίζεται, αρχικά, η τάση τυμπάνου  $E_{ao} = E_{aA}$  (σημείο Α στο σχ. 5.5ζ).

$$\text{Είναι: } E_{aA} = E_{ao} = K\Phi_0 n. \quad (5.38)$$

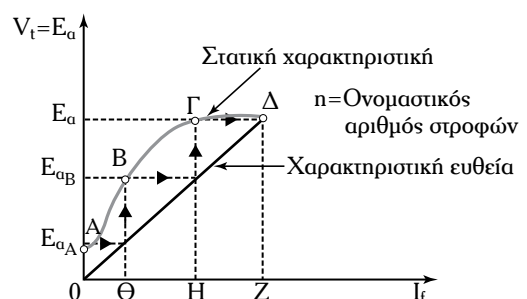
Τότε στο κύκλωμα του σχήματος 5.5στ ρέει ρεύμα:

$$I_{ao} = I_{fo} = \frac{E_{aA} \equiv E_{ao}}{R_a + R_f}. \quad (5.39)$$

Η εξίσωση 5.39 αντιστοιχεί στην χαρακτηριστική ευθεία του κυκλώματος του σχήματος 5.5ζ. Αυτό το ρεύμα αντιστοιχεί στο τμήμα ΟΘ.



**Σχ. 5.5στ**  
Ισοδύναμο κύκλωμα μίας γεννήτριας ΣΡ  
με παράλληλη διέγερση.



**Σχ. 5.5ζ**  
Μπχανισμός αυτοδιεγέρσεως μίας γεννήτριας ΣΡ  
με παράλληλη διέγερση.

Στο ρεύμα  $I_f = O\Theta$  αντιστοιχεί μια νέα μαγνητική ροή:

$$\Phi(I_f = O\Theta) > \Phi_0. \quad (5.40)$$

Αρκεί το ρεύμα διεγέρσεως  $I_f$ , να έχει στο τύλιγμα διεγέρσεως, τέτοια διεύθυνση, ώστε να ενισχύεται το μαγνητικό πεδίο του παραμένοντος μαγνητισμού. Στην αντίθετη περίπτωση ο παραμένων μαγνητισμός εξουδετερώνεται και η γεννήτρια δεν δίδει τάση.

Στο ρεύμα διεγέρσεως  $I_f = O\Theta$  αντιστοιχεί η τάση  $E_{ab}$ :

$$E_{ab} = K\Phi n(I_f = O\Theta) \quad (5.41)$$

το σημείο B στην στατική χαρακτηριστική στο σχήμα 5.5ζ.

Η διαδικασία αυξήσεως του ρεύματος διεγέρσεως  $I_f$  και της τάσεως  $E_a$  συνεχίζεται μέχρι το σημείο  $\Delta$ , το οποίο είναι η τομή της στατικής χαρακτηριστικής και της χαρακτηριστικής ευθείας  $V_t = E_a = I_f R_f$ . Το σημείο  $\Delta$  είναι σημείο σταθερής ισορροπίας (κανονική λειτουργία της γεννήτριας) και ονομάζεται **σημείο λειτουργίας της γεννήτριας**. Το σημείο  $\Delta$  δίδει την τάση της γεννήτριας όταν αυτή λειτουργεί χωρίς φορτίο. Η θέση του σημείου λειτουργίας εξαρτάται από την κλίση της χαρακτηριστικής ευθείας  $n$  από την τιμή της  $R_f$ .

Όταν η συνολική αντίσταση  $R_f$  αυξάνεται, τότε ελαττώνεται η παραγόμενη τάση.

Για μια μεγάλη τιμή της  $R_f$  η χαρακτηριστική ευθεία συμπίπτει με το ευθύγραμμο τμήμα της στατικής χαρακτηριστικής. Τότε το σημείο λειτουργίας θα πλησιάσει το σημείο A της καμπύλης του σχήματος 5.5η, το οποίο αντιστοιχεί στην ΗΕΔ  $E_{aa}$  του παραμένοντος μαγνητισμού.

Η τιμή αυτή της αντιστάσεως  $R_f$  ονομάζεται **κρίσιμη τιμή** ( $R_{fer}$ ). Όταν  $R_f > R_{fer}$ , η γεννήτρια ξένει τον παραμένοντα μαγνητισμό.

### - Κρίσιμη ταχύτητα $n_{cr}$ , της γεννήτριας ΣΡ με παράλληλη διέγερση.

Έστω ότι η τιμή της αντιστάσεως του τυλίγματος διεγέρσεως  $R_f$ , η οποία περνάει από το σημείο  $\Delta$  της χαρακτηριστικής χωρίς φορτίο του σχήματος 5.5θ παραμένει αμετάβλητη. Όταν ο αριθμός στροφών της γεννήτριας μειώνεται διαδοχικά, κάποια σημείο το γραφικό τμήμα της στατικής χαρακτηριστικής θα συμπέσει με την χαρακτηριστική ευθεία  $R_f$ . Ο αντίστοιχος αριθμός στροφών ονομάζεται **κρίσιμος αριθμός στροφών** ( $n_{cr}$ ),  $n_{cr} \equiv n_2$  (σχ. 5.5θ). Για  $n < n_{cr}$  η γεννήτρια ξένει τον παραμένοντα μαγνητισμό.

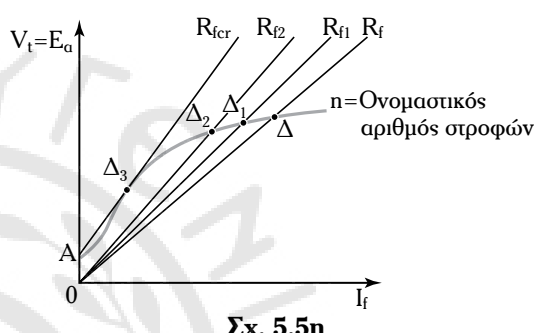
### - Χαρακτηριστική φορτίου.

Η χαρακτηριστική φορτίου μιας γεννήτριας με παράλληλη διέγερση είναι ίδια με τη χαρακτηριστική φορτίου της γεννήτριας με ξένη διέγερση.

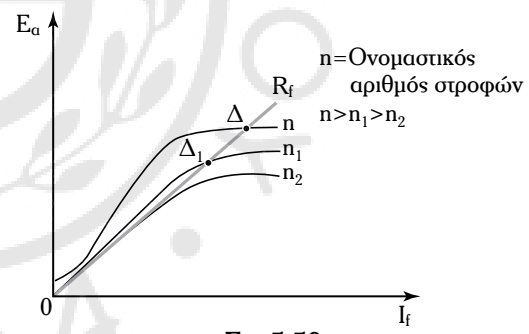
### - Εξωτερική χαρακτηριστική.

Για την χάραξη της εξωτερικής χαρακτηριστικής χρησιμοποιείται η συνδεσμολογία του σχήματος 5.5ι. Θεωρούμε ότι ισχύει  $R_f = \text{σταθ.}$  και  $n = \text{σταθ.}$

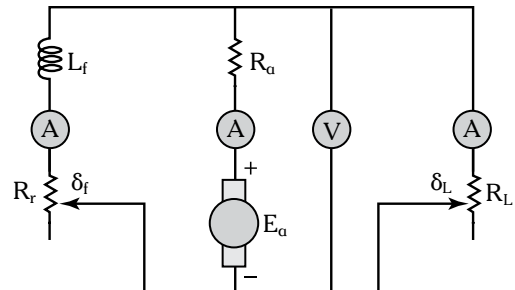
Το ρεύμα φορτίου μεταβάλλεται ανάλογα με τη θέση  $\delta_L$  του δρομέα του μεταβλητού φορτίου  $R_L$ . Στο



Σημήνος των χαρακτηριστικών ευθείων.  
Κρίσιμη αντίσταση  $R_{fer}$



Κρίσιμος αριθμός στροφών.



Σχ. 5.5ι

Συνδεσμολογία για την χάραξη της εξωτερικής χαρακτηριστικής μιας γεννήτριας παράλληλης διεγέρσεως.

σχήμα 5.5ια δίδεται η εξωτερική χαρακτηριστική (καμπύλη ①) της γεννήτριας.

Το τμήμα  $E_aZ$  της εξωτερικής χαρακτηριστικής ① δεν διαφέρει από το αντίστοιχο της γεννήτριας  $\Sigma P$  με ανεξάρτητη διέγερση. Όμως η κλίση της είναι μεγαλύτερη διότι η τερματική τάση μειώνεται όταν το ρεύμα φορτίου αυξάνεται, οπότε εκτός από την παρουσία του φαινομένου αντιδράσεως τυμπάνου (τμήμα  $\Delta\Gamma$ , εκφράζει την πτώση τάσεως για το φαινόμενο αντιδράσεως τυμπάνου), την πτώση τάσεως στην αντίσταση τυμπάνου  $R_a$  (τμήμα  $B\Gamma$  στη χαρακτηριστική του), προστίθεται και η μείωση του ρεύματος διέγέρσεως (τμήμα  $AB$  στη χαρακτηριστική του), με αποτέλεσμα να προκαλείται μια πλέον μείωση της μαγνητικής ροής  $\Phi$ . Αυτό το φαινόμενο αυξάνεται με την αύξηση του ρεύματος φορτίου μέχρι να λάβει την τιμή  $I_{Lmax}$ . Όταν το ρεύμα φορτίου λάβει μεγαλύτερη τιμή από την  $I_{Lmax}$ , τότε η τερματική τάση δεν αυξάνεται, αλλά μειώνεται δραματικά, οπότε η γεννήτρια χάνει τον παραμένοντα μαγνητισμό της. Αυτό συμβαίνει γιατί το ρεύμα διέγέρσεως λαμβάνει μικρές τιμές κι αυτό διότι μειώθηκε η τερματική τάση. Το σημείο  $Z$ , εκφράζει το όριο ευσταθούς λειτουργίας της γεννήτριας. Όταν η τερματική τάση μπορείται, η γεννήτρια βρίσκεται στην κατάσταση βραχυκυκλώσεως. Το ρεύμα βραχυκυκλώσεως  $I_{SC}$ , είναι μικρότερο απ' το αντίστοιχο της γεννήτριας με ανεξάρτητη διέγερση και αποτελεί πλεονέκτημα της γεννήτριας  $\Sigma P$  με παράλληλη διέγερση.

#### 5.5.4 Γεννήτρια $\Sigma P$ με διέγερση σειράς.

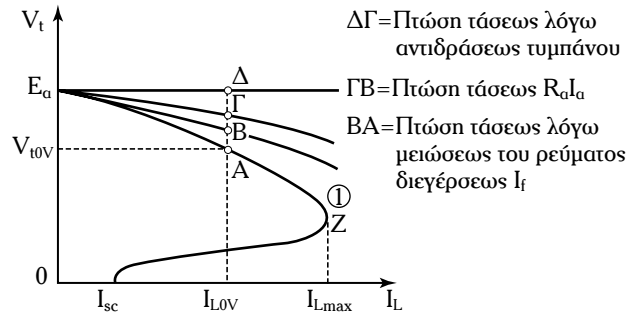
Σ' αυτήν τη γεννήτρια το τύλιγμα διέγέρσεως συνδέεται σε σειρά με το τύλιγμα του επαγωγικού τυμπάνου. Στο σχήμα 5.5ιβ παρουσιάζεται το ισοδύναμο πλεκτρικό κύκλωμα μίας γεννήτριας  $\Sigma P$  με διέγερση σειράς.  $R_s$  είναι η συνολική ωμική αντίσταση του κλάδου διέγέρσεως, η οποία περιλαμβάνει την μεταβλητή ωμική αντίσταση  $R_r$  και την αντίσταση του τυλίγματος διέγέρσεως, το οποίο αποτελείται από λίγες σπείρες μεγάλης διατομής.

Οι εξισώσεις με βάση τις οποίες πραγματοποιεύται η μελέτη των γεννητριών  $\Sigma P$  με διέγερση σειράς είναι οι εξής:

$$E_a = KΦn \quad (5.42)$$

$$I_a = I_s = I_L \quad (5.43)$$

$$V_t = E_a - I_a (R_a + R_s). \quad (5.44)$$



**Σχ. 5.5ια**

Εξωτερική χαρακτηριστική μίας γεννήτριας με παράλληλη διέγερση.

#### - Στατική χαρακτηριστική.

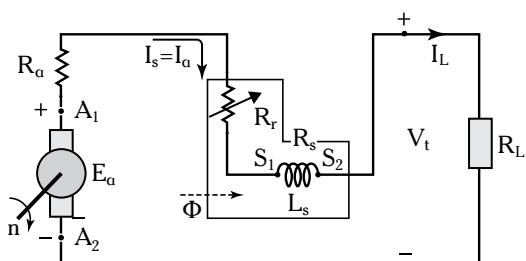
Προκειμένου να χαραχθεί η στατική χαρακτηριστική, η γεννήτρια πρέπει να λειτουργεί χωρίς φορτίο. Από το σχήμα 5.5ιβ προκύπτει ότι όταν η μηχανή λειτουργεί χωρίς φορτίο ισχύει:  $I_a = I_s = I_L = 0$ .

Στη λειτουργία χωρίς φορτίο δεν υπάρχει ρεύμα διέγέρσεως, οπότε η τάση στους ακροδέκτες της μηχανής είναι πολύ μικρή ( $V_t = E_{a0}$ ), και προέρχεται από τη μεταβολή της μαγνητικής ροής της παραμενουσας μαγνητίσεως. Τελικά, στατική χαρακτηριστική δεν υφίσταται, γιατί η γεννήτρια σειράς δεν λειτουργεί εν κενώ.

#### - Εξωτερική χαρακτηριστική.

Όταν στους ακροδέκτες της γεννήτριας συνδεθεί ένα φορτίο  $R_L$ , τότε διαρρέεται με ρεύμα  $I_L$ , ενώ το τύλιγμα σειράς διαρρέεται με ρεύμα  $I_s$ . Η ΜΕΔ  $N_s I_s$  δημιουργεί μεγαλύτερη μαγνητική ροή, με αποτέλεσμα να προκύψει μια μεγαλύτερη τάση  $E_a > E_{a0}$ .

Αν οι μαγνητικοί πόλοι έχουν παραμένουσα μαγνητισμού και συνδεθεί το φορτίο  $R_L$  στους ακροδέκτες της γεννήτριας, η τάση  $V_t$  θα αυξηθεί από μόνη της και ταυτόχρονα θα αυξηθούν τα ρεύματα  $I_a$  και  $I_s$ .



**Σχ. 5.5ιβ**

Ισοδύναμο κύκλωμα μίας γεννήτριας  $\Sigma P$  με διέγερση σειράς.

Στην γεννήτρια σειράς υπάρχουν οι ακόλουθες πτώσεις τάσεως:

$I_a R_a$ : στα τυλίγματα τυμπάνου,

$I_s R_s$ : στα τυλίγματα σειράς,

και οι πτώσεις τάσεως, οι οποίες οφείλονται στο φαινόμενο της αντιδράσεως τυμπάνου.

Η τάση  $V_t$  είναι αποτέλεσμα των ακολούθων δύο αντιθέτων επιδράσεων:

1) Εκείνων που μειώνουν την τάση και το ρεύμα  $I_L$  (πτώσεις τάσεως σε όλα τα μέρη της μπχανής και αντίδραση τυμπάνου) και

2) εκείνων που αυξάνουν την τάση και το ρεύμα και προκαλούν την αυτοδιέγερση της μπχανής.

Από το σχήμα 5.5ιγ έχουμε δύο περιοχές λειπουργίας μιας γεννήτριας σειράς. Η περιοχή (α) ονομάζεται **περιοχή αυξανόμενης τάσεως**. Αν η ταχύτητα περιστροφής της γεννήτριας είναι σταθερή, τότε υπάρχει μια μέγιστη κρίσιμη τάση  $E_{Amax}$ . Πέρα από την τάση αυτή η γεννήτρια δεν παράγει μεγαλύτερη τάση (περιοχή β). Η τάση αυτή αντιστοιχεί σε ένα ρεύμα φορτίου  $I_{Lmax}$ .

Από εδώ και πέρα κάθε αύξηση ρεύματος  $I_L$ , προκαλείται με μείωση της αντιστάσεως φορτίου  $R_L$ , οπότε εμφανίζεται ραγδαία πτώση τάσεως στο φορτίο  $R_L$ . Η περιοχή (β) ονομάζεται **περιοχή σταθερού ρεύματος**. Οι γεννήτριες ΣΡ διεγέρσεως σειράς, λόγω της μεγάλης μεταβολής της τερματικής τάσεως  $V_t$  με το ρεύμα φορτίου χρησιμοποιούνται σε ειδικές εφαρμογές, όπως οι πλεκτροσυγκολλήσεις.

### 5.5.5 Γεννήτρια ΣΡ σύνθετης διεγέρσεως.

Όταν το κύκλωμα διεγέρσεως είναι αποτέλεσμα συνδυασμού του κυκλώματος παράλληλης διεγέρσεως και του κυκλώματος διεγέρσεως σειράς, τότε η γεννήτρια ονομάζεται **γεννήτρια με σύνθετη διεγέρση**. Το ισοδύναμο κύκλωμα της γεννήτριας με σύνθετη διεγέρση μπορεί να λάβει τις ακόλουθες δύο μορφές: το **κύκλωμα μακρινής διακλαδώσεως** [σχ. 5.5ιδ(α)] και το **κύκλωμα βραχείας διακλαδώσεως** [σχ. 5.5ιδ(β)].

Οι εξισώσεις για το κύκλωμα μακρινής διακλαδώσεως είναι:

$$E_a = KΦn \quad (5.45)$$

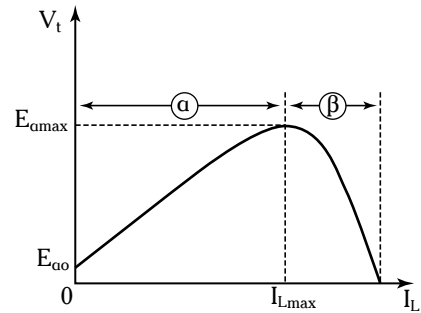
$$I_a = I_f + I_L = I_s + I_d. \quad (5.46)$$

Για το κύκλωμα βραχείας διακλαδώσεως ισχύει:

$$I_a = I_f + I_L \quad (5.47)$$

και

$$I_L = I_s + I_d. \quad (5.48)$$



**Σχ. 5.5ιγ**  
Εξωτερική χαρακτηριστική μιας γεννήτριας.

Η εξισωση τάσεως και στις δύο διακλαδώσεις ισχύει:

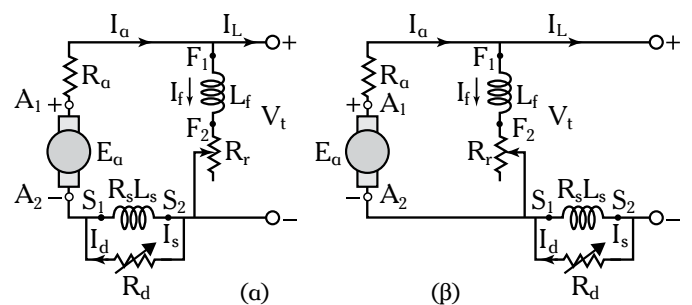
$$V_t = E_a - (I_s R_s + I_a R_a). \quad (5.49)$$

Η ΜΕΔ, η οποία παράγει την ΗΕΔ  $E_a$  είναι το άθροισμα της ΜΕΔ του τυλίγματος σειράς  $N_s I_s$  και της ΜΕΔ του παράλληλου τυλίγματος  $N_f I_f$ . Στην περίπτωση κατά την οποία ισχύει  $N_f I_f + N_s I_s$ , η σύνθετη διέγερση ονομάζεται **αθροιστική ή ολοκληρωτική**.

Στην περίπτωση κατά την οποία ισχύει  $N_f I_f - N_s I_s$ , η σύνθετη διέγερση ονομάζεται **αφαιρετική ή διαφορική**.

### 5.5.6 Γεννήτρια με αθροιστική ή ολοκληρωτική σύνθετη διεγέρση.

Στις γεννήτριες αθροιστικής σύνθετης διεγέρσεως υπάρχουν δύο τυλίγματα διεγέρσεως, το ένα συνδέεται σε σειρά και το άλλο παράλληλα στο επαγγελματικό τύμπανο. Η φορά συνδέσεως των δύο τυλιγμάτων είναι τέτοια, ώστε οι ΜΕΔ  $N_s I_s$  και  $N_f I_f$  να προστίθενται. Στο σχήμα 5.5ιδ(α), το τύλιγμα σειράς διαρρέεται από το ρεύμα τυμπάνου (γεννήτρια μακρινής διακλαδώσεως), ενώ στο σχήμα 5.5ιδ(β),



**Σχ. 5.5ιδ**  
Ισοδύναμο κύκλωμα μιας γεννήτριας σύνθετης διεγέρσεως (α) μακρινής διακλαδώσεως και (β) βραχείας διακλαδώσεως.

το τύλιγμα σειράς διαρρέεται από το ρεύμα φορτίου  $I_L$  (γεννήτρια βραχεία διακλαδώσεως). Η διαφορά αυτών των γεννητριών δεν είναι μεγάλη γιατί το ρεύμα διεγέρσεως είναι πολύ μικρό απ' ό,τι το ρεύμα τυμπάνου.

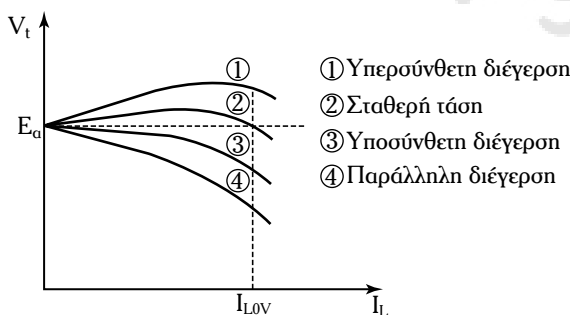
### - Εξωτερική χαρακτηριστική.

Η εξωτερική χαρακτηριστική της γεννήτριας αθροιστικής σύνθετης διεγέρσεως (σχ. 5.5ie), εξαρτάται από την επίδραση του τυλίγματος σειράς. Αν βραχυκύκλωθεί η αντίσταση  $R_d$ , τότε η εξωτερική χαρακτηριστική της γεννήτριας είναι αντίστοιχη της γεννήτριας με παράλληλη διέγερση (καμπύλη ④). Όταν η τιμή της αντίστασεως  $R_d$  είναι μικρή, το τύλιγμα σειράς διαρρέεται από μικρής τιμής ρεύμα φορτίου. Όταν το ρεύμα φορτίου έχει μικρή τιμή, προκαλείται αύξηση της ΜΕΔ  $N_{I_s}$  της συνολικής μαγνητικής ροής, της τάσεως τυμπάνου και της τερματικής τάσεως.

Όταν το ρεύμα φορτίου παρουσιάζει μικρή αύξηση, λαμβάνουμε την καμπύλη ③, στην οποία η μείωση της τερματικής τάσεως σε συνάρτηση με το ρεύμα φορτίου, είναι μικρότερη συγκριτικά με την παράλληλη διέγερση. Η καμπύλη ③ αντιστοιχεί στη λειτουργία της γεννήτριας με υποσύνθετη διέγερση (εξασθένιση του συνολικού μαγνητικού πεδίου της γεννήτριας).

Για μια συγκεκριμένη τιμή της  $R_d$  η εξωτερική χαρακτηριστική δίδεται από την καμπύλη ②, η οποία ονομάζεται **καμπύλη σταθερής τάσεως**. Σε αυτήν την περίπτωση η τερματική τάση ισούται με την τάση τυμπάνου.

Αυξάνοντας, στη συνέχεια, την τιμή της  $R_d$ , ενισχύεται ο ρόλος του τυλίγματος σειράς στο συνολικό



**Σχ. 5.5ie**

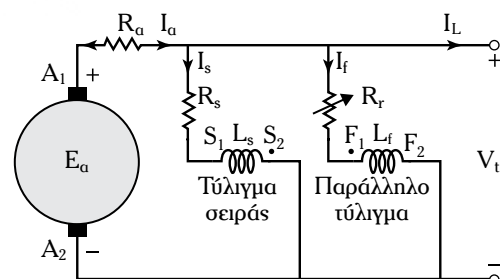
Εξωτερική χαρακτηριστική της γεννήτριας αθροιστικής σύνθετης διεγέρσεως.

μαγνητικό πεδίο της μπχανής. Οπότε, η τερματική τάση, για το **ονομαστικό ρεύμα φορτίου**<sup>3</sup>, αυξάνεται σε σχέση με την τάση χωρίς φορτίο (καμπύλη ①). Η γεννήτρια λειτουργεί με υπερσύνθετη διέγερση (αύξηση του συνολικού μαγνητικού πεδίου της γεννήτριας).

Τελικά, με τις ρυθμιστικές αντιστάσεις  $R_r$  και  $R_d$  μπορούμε να ρυθμίζομε την τερματική τάση της γεννήτριας.

### 5.5.7 Γεννήτριες ΣΡ αφαιρετικής ή διαφορικής σύνθετης διεγέρσεως.

Στις γεννήτριες ΣΡ διαφορικής σύνθετης διεγέρσεως οι ΜΕΔ  $N_{I_s}$  και  $N_f$  αφαιρούνται. Αυτό συμβαίνει γιατί ισχύει η σύμβαση της τελείας, δηλαδή όταν δοθεί η φορά των ρευμάτων σε δύο πνήμα, τότε με βάση τις τελείες καθορίζεται και η φορά των παραγομένων ΜΕΔ (οπότε και των παραγομένων ροών). Άν τα βέλη δείχνουν ότι τα ρεύματα εισέρχονται ή εξέρχονται από τα άκρα των τελειών, τότε οι ΜΕΔ στα πνήμα αντίστοιχα, ενεργούν με την ίδια φορά. Αντιστρόφως, αν σε ένα πνήμα εισέρχεται το ρεύμα στην τελεία και στο άλλο πνήμα εξέρχεται, τότε οι ΜΕΔ ενεργούν σε αντίθετη φορά. Στο σχήμα 5.5ιστ, δίδεται το ισοδύναμο κύκλωμα της γεννήτριας διαφορικής σύνθετης διεγέρσεως. Το ρεύμα τυμπάνου έχει φορά προς το άκρο της αυτεπαγωγής του τυλίγματος, το οποίο θα σημειώνεται με τελεία (.), ενώ το ρεύμα διεγέρσεως  $I_f$ , στο παράλληλο τύλιγμα έχει φορά προς την τελεία στο άκρο της αντίστοιχης παράλληλης αυτεπαγωγής. Με  $R_f$  συμβολίζομε τη συνολική ωμή αντίσταση του τυλίγματος παράλληλης διεγέρσεως, το οποίο περιλαμβάνει και τη μεταβλητή αντίσταση  $R_r$ .



**Σχ. 5.5ιστ**

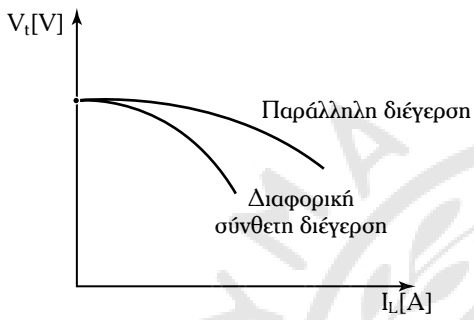
Ισοδύναμο κύκλωμα γεννήτριας ΣΡ διαφορικής σύνθετης διεγέρσεως.

<sup>3</sup> Ονομαστικό ρεύμα φορτίου ονομάζεται το μεγαλύτερο δυνατό ρεύμα, το οποίο παρέχει η γεννήτρια στην κανονική της λειτουργία.

### - Εξωτερική χαρακτηριστική.

Στο σχήμα 5.5ιζ, παρουσιάζεται η εξωτερική χαρακτηριστική μιας γεννήτριας διαφορικής σύνθετης διεγέρσεως.

Όταν αυξάνεται το ρεύμα τυμπάνου, τότε αυξάνεται η πτώση τάσεως  $I_a(R_a + R_s)$ , οπότε μειώνεται η τερματική τάση. Μια αύξηση του ρεύματος τυμπάνου προκαλεί επίσης αύξηση της ΜΕΔ του τυλίγματος σειράς, η οποία στη συνέχεια μειώνει τη συνολική ΜΕΔ της γεννήτριας, με αποτέλεσμα να μειώνεται η συνολική μαγνητική ροή της γεννήτριας  $E_a = KΦ \downarrow n$ , με ταυτόχρονη μείωση της τερματικής τάσης της μηχανής.



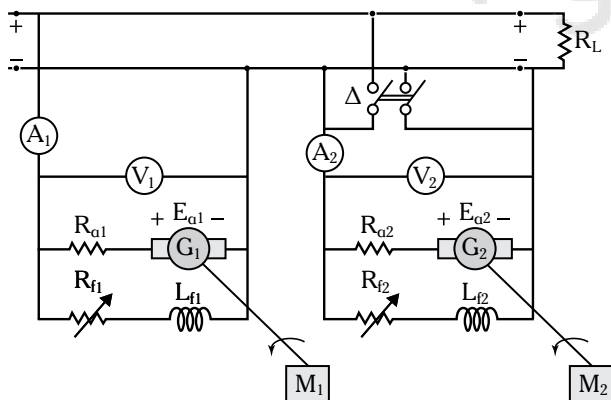
Σχ. 5.5ιζ

Εξωτερική χαρακτηριστική γεννήτριας διαφορικής σύνθετης διεγέρσεως.

### 5.5.8 Παράλληλη λειτουργία γεννητριών ΣΡ.

Δύο γεννήτριες ΣΡ συνδέονται παράλληλα όταν τροφοδοτούν το ίδιο φορτίο (ή το ίδιο δίκτυο) με την ίδια τάση. Συνδέονται παράλληλα γεννήτριες, οι οποίες λειτουργούν με σταθερή τάση (γεννήτριες με ανεξάρτητη διέγερση, παράλληλη διέγερση, σύνθετη διέγερση).

Στο σχήμα 5.5ιη, παρουσιάζεται η γεννήτρια  $G_1$



Σχ. 5.5ιη

Παράλληλη λειτουργία γεννητριών ΣΡ με παράλληλη διέγερση.

συνδεμένη στο δίκτυο, η οποία τροφοδοτεί φορτίο, ενώ υπάρχει ανάγκη να συνδεθεί παράλληλα η γεννήτρια  $G_2$ . Οι κινητήριες μηχανές είναι οι  $M_1$  και  $M_2$ . Οι γεννήτριες ΣΡ είναι παράλληλης διεγέρσεως.

Για τον παραλληλισμό των γεννητριών ΣΡ απαιτείται να έχουν την ίδια πολικότητα, την ίδια τάση και την ίδια εξωτερική χαρακτηριστική.

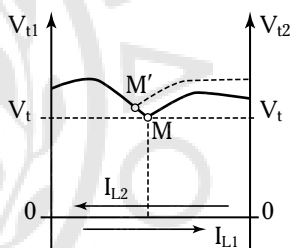
Η πρώτη συνθήκη ελέγχεται κατά την εγκατάσταση των γεννητριών και στην περίπτωση κατά την οποία οι γεννήτριες παραλληλίζονται για πρώτη φορά. Για την ικανοποίηση της δεύτερης συνθήκης πραγματοποιούνται οι ακόλουθοι καρισμοί:

1) Τίθεται σε λειτουργία η κινητήρια μηχανή  $M_2$ .

2) Όταν η γεννήτρια αποκτήσει τον ονομαστικό αριθμό στροφών μειώνομε την  $R_{f2}$ , ώστε η τάση της γεννήτριας  $G_2$  να ισούται με την τάση της γεννήτριας  $G_1$ , που είναι ήδη συνδεμένη στο δίκτυο.

3) Κάτω από αυτές τις συνθήκες κλείνομε τον διακόπτη  $\Delta$ .

Οι γεννήτριες έχουν τις ίδιες εξωτερικές χαρακτηριστικές (σχ. 5.5ιθ).



Σχ. 5.5ιθ

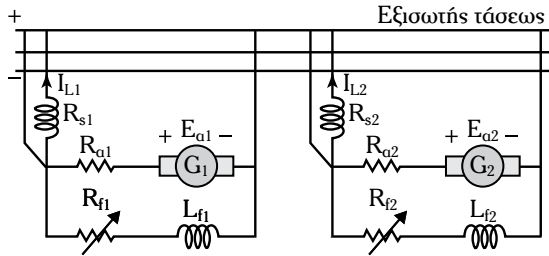
Εξωτερικές χαρακτηριστικές γεννητριών, οι οποίες λειτουργούν παράλληλα και αντίστοιχο σημείο λειτουργίας τους.

Η τάση  $V_t$  των δύο γεννητριών πρέπει να είναι ίδια, οπότε  $M$ , είναι το σημείο λειτουργίας των μηχανών, το οποίο προκύπτει από την τομή των εξωτερικών χαρακτηριστικών τους.

Αν μειωθεί η  $R_{f2}$ , τότε αυξάνεται το ρεύμα διεγέρσεως της γεννήτριας  $G_2$  και τότε  $M'$  είναι το νέο σημείο λειτουργίας. Η γεννήτρια  $G_2$  παρέχει περισσότερο ρεύμα, ενώ η γεννήτρια  $G_1$  λιγότερο, με αποτέλεσμα να επιταχύνεται αντιδρώντας με σταθεροποιητικό τρόπο σ' αυτήν τη διαταραχή.

Στην περίπτωση του παραλληλισμού των γεννητριών ΣΡ με σύνθετη διέγερση (σχ. 5.5κ), ισχύουν οι συνθήκες παραλληλισμού ΣΡ με την εξής παρατίρηση:

Λόγω της παρουσίας του τυλίγματος σειράς ενδεχομένως, όταν μειωθούν οι στροφές μιας από τις

**Σχ. 5.5κ**

Παράλληλη λειτουργία γεννητριών ΣΡ με σύνθετη διέγερση.

κινητήριες μηχανές να προκληθούν σοβαρές ανωμαλίες στο σύστημα. Στην περίπτωση αυτή η γεννητρία ή οποία λειτουργεί κανονικά δίδει ρεύμα στην άλλη γεννητρία, με μειωμένες στροφές.

Αυτή μπορεί αφενός να λειτουργήσει σαν κινητήρας, αφετέρου να αλλάξει πολικότητα. Προκειμένου να εξουδετερωθεί ο κίνδυνος αυτός στον **πίνακα ζεύξεως και ελέγχου<sup>4</sup>** των δύο γεννητριών χρησιμοποιείται εκτός από τους δύο κύριους ζυγούς και ένας τρίτος, ο οποίος ονομάζεται **εξισωτής τάσεως**.

Με την τοποθέτηση του εξισωτή τάσεως οι διαφορές των ρευμάτων, οι οποίες προκύπτουν στην περίπτωση της μειώσεως των στροφών ή από αιτία άλλων ανωμαλιών εξισώνονται χωρίς να επηρεάζεται το μαγνητικό πεδίο των γεννητριών.

### 5.5.9 Απώλειες ισχύος γεννητριών ΣΡ.

Στις γεννητριές ΣΡ συναντάμε τις ακόλουθες απώλειες:

#### 1) Μαγνητικές απώλειες.

Οι μαγνητικές απώλειες είναι οι απώλειες πυρήνα ( $P_p$ ) οι οποίες αποτελούνται από:

1) Τις **απώλειες μαγνητικής υστερήσεως** ( $P_h$ ) που οφείλονται στις διαδοχικές μεταβολές μαγνητίσεως του δρομέα και δίδονται ως εξής:

$$P_h = K_p n \Phi^2 \quad (5.50)$$

όπου:  $K_p$  μια σταθερή παράμετρος και  $n$ , η ταχύτητα περιστροφής σε στροφές ανά λεπτό και

2) τις **απώλειες δινορρευμάτων** ( $P_e$ ) ή απώλειες Foucault που οφείλονται στα δινορρεύματα τα οποία δημιουργούνται στον πυρήνα του δρομέα λόγω της μεταβαλλόμενης μαγνητικής ροής. Οι απώλειες δινορρευμάτων δίδονται ως εξής:

$$P_e = K_e n^2 \Phi^2 \quad (5.51)$$

όπου  $K_e$  μια σταθερή παράμετρος.

Οι απώλειες δινορρευμάτων για σταθερή ταχύτητα περιστροφής  $n$  και σταθερή μαγνητική ροή  $\Phi$  είναι σταθερές.

Οι απώλειες πυρήνα για σταθερή ταχύτητα περιστροφής και σταθερή διέγερση είναι σταθερές, ανεξάρτητες από το φορτίο της μηχανής και εντοπίζονται αποκλειστικά στον δρομέα.

#### 2) Ηλεκτρικές απώλειες.

Ηλεκτρικές απώλειες ονομάζονται οι απώλειες χαλκού ( $P_cuf$ ), οι οποίες είναι: **σταθερές** και **μεταβλητές** με το φορτίο.

1) Οι **σταθερές απώλειες χαλκού**  $P_{cuf}$ , είναι απώλειες, που εντοπίζονται στα τυλίγματα διεγέρσεως στη γεννητρία συνεχούς ρεύματος με παράλληλη διέγερση:

$$P_{cuf} = R_f I_f^2 \quad (5.52)$$

Η πιονιά των απωλειών  $P_{cuf}$  διατηρείται σταθερή, τόσο στη λειτουργία χωρίς φορτίο, όσο και στη λειτουργία με φορτίο μηχανής.

2) Στις **μεταβλητές με το φορτίο απώλειες χαλκού**, ανήκουν οι απώλειες οι οποίες εμφανίζονται στην αντίσταση τυμπάνου ( $R_o$ ) και στο τύλιγμα διεγέρσεως ( $R_s$ ) της γεννητρίας ΣΡ με διέγερση σειράς.

Στην αντίσταση ( $R_o$ ) ενσωματώνονται η αντίσταση των αγωγών του επαγωγικού τυμπάνου, η αντίσταση των τυλιγμάτων των βοηθητικών πόλων, η αντίσταση των τυλιγμάτων αντισταθμίσεως, η αντίσταση των ψυκτρών και η αντίσταση επαφής μεταξύ των ψυκτρών και των τομέων του συλλέκτη.

Οι συνολικές απώλειες χαλκού στο επαγωγικό τύμπανο της μηχανής δίδονται ως εξής:

$$P_{cuu} = R_o I_a^2 \quad (5.53)$$

και μεταβάλλονται με το τετράγωνο του φορτίου.

Οι απώλειες χαλκού  $P_{cuu}$  στο τύλιγμα διεγέρσεως σειράς μιας γεννητρίας ΣΡ με διέγερση σειράς είναι:

$$P_{cus} = I_s^2 R_s \quad (5.54)$$

#### 3) Μηχανικές απώλειες.

Μηχανικές απώλειες ονομάζονται και απώλειες

<sup>4</sup> Πίνακας ζεύξεως και ελέγχου ονομάζεται ο πλεκτρικός πίνακας συνδέσεως των δύο γεννητριών.

λόγω τριβών και ανεμισμού  $P_c$ . Οφείλονται στις τριβές των κινουμένων μερών και στην ισχύ, η οποία απαιτείται για την κίνηση των ανεμιστήρων ψύξεως.

Οι απώλειες λόγω τριβών και ανεμισμού είναι σταθερές με το φορτίο της μηχανής.

Οι συνολικές απώλειες ( $\Sigma P_a$ ) μίας γεννήτριας ΣΡ αποτελούν το 6,5–7% της ισχύος εισόδου της γεννήτριας.

### **– Κατανομή της πραγματικής ισχύος στις γεννήτριες ΣΡ.**

Έστω  $P_{in}$  η ισχύς εισόδου των γεννητριών ΣΡ, η οποία προσφέρεται απ' την κινητήρια μηχανή.

$P_{out}$  είναι η ισχύς εξόδου των γεννητριών ΣΡ, η οποία ονομάζεται και **ωφέλιμη ισχύς**.

Για την κατανομή της πραγματικής ισχύος απαιτείται να είναι γνωστός ο τύπος της μηχανής και οι αντίστοιχες εξισώσεις λειτουργίας της.

Έστω ότι έχουμε μια γεννήτρια ΣΡ με παράλληλη διέγερση. Η εξίσωση των τάσεων είναι:

$$E_a = V_t + R_a I_a. \quad (5.55)$$

Πολλαπλασιάζομε και τα δύο μέλη της εξισώσεως με το ρεύμα τυμπάνου  $I_a$ , οπότε έχουμε:

$$I_a E_a = I_a V_t + R_a I_a^2. \quad (5.56)$$

Η εξίσωση δίδει την **κατανομή της εσωτερικής πλεκτρικής ισχύος** ( $P_{em}$ )<sup>5</sup> ή της ισχύος η οποία μετατρέπεται σε πλεκτρομαγνητική:

$$P_{em} = E_a I_a. \quad (5.57)$$

Η ισχύς  $P_{em}$  μεταφέρεται πλεκτρομαγνητικά από την κινητήρια μηχανή στην γεννήτρια ΣΡ και αποτελεί το μεγαλύτερο μέρος της ισχύος εισόδου  $P_{in}$ . Η ισχύς, η οποία καταναλώνεται απ' τις μηχανικές τριβές και τον ανεμιστήρα, όπως και οι απώλειες πυρήνα, δεν μεταφέρεται.

Στο σχήμα 5.5κα δίδεται το διάγραμμα ροής ισχύος μίας γεννήτριας ΣΡ, όπου:  $T_{af}$  η ροπή στον άξονα της γεννήτριας, ω η γωνιακή ταχύτητα σε rad/s του άξονα της γεννήτριας ΣΡ,  $T_{em}$  η πλεκτρομαγνητική ροπή σε N·m και η είναι η ταχύτητα περιστροφής σε ΣΑΛ, της γεννήτριας ΣΡ.

Ο βαθμός αποδόσεως η, μίας γεννήτριας ΣΡ δίδεται ως εξής:

$$\eta = \left( \frac{P_{out}}{P_{in}} \right) 100 \quad (5.58)$$

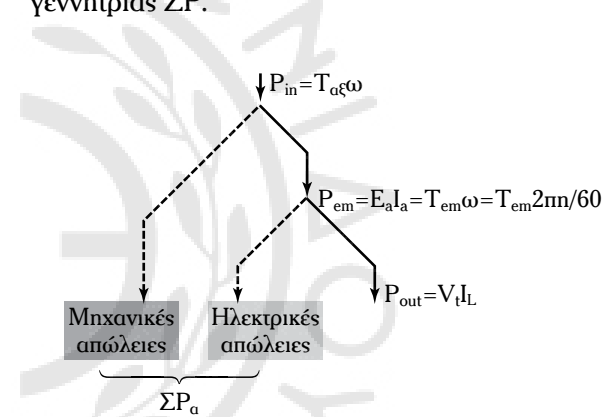
$$\text{ή} \quad \eta = \left( \frac{P_{out}}{(P_{in} + \Sigma P_a)} \right) 100. \quad (5.59)$$

Ο βαθμός αποδόσεως των γεννητριών ΣΡ είναι της τάξεως των 90 έως 94%.

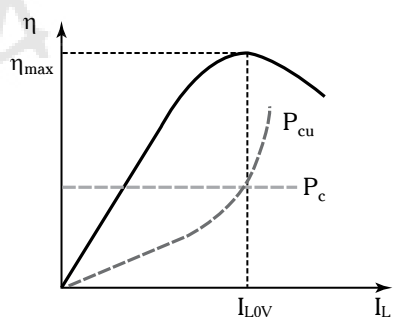
Ο βαθμός αποδόσεως των γεννητριών ΣΡ μεταβάλλεται ανάλογα με το φορτίο (σχ. 5.5κβ).

Σε μικρά φορτία αυξάνεται απότομα ο βαθμός αποδόσεως της μηχανής με την αύξηση του φορτίου.

Όταν οι απώλειες πυρήνα εξισώνονται με τις μεταβλητές απώλειες, τότε η μηχανή έχει τη μέγιστη απόδοση. Αυτό γίνεται για ονομαστική φόρτωση της γεννήτριας ΣΡ.



**Σχ. 5.5κα**  
Διάγραμμα ροής ισχύος γεννητριών ΣΡ.



**Σχ. 5.5κβ**  
Απόδοση γεννήτριας ΣΡ.

<sup>5</sup> Κατανομή της εσωτερικής πλεκτρικής ισχύος ( $P_{em}$ ) ονομάζεται η ισχύς η οποία εκφράζει τη μετατροπή της μηχανικής ισχύος σε πλεκτρική.

### - Λυμένες ασκήσεις.

#### Άσκηση 1.

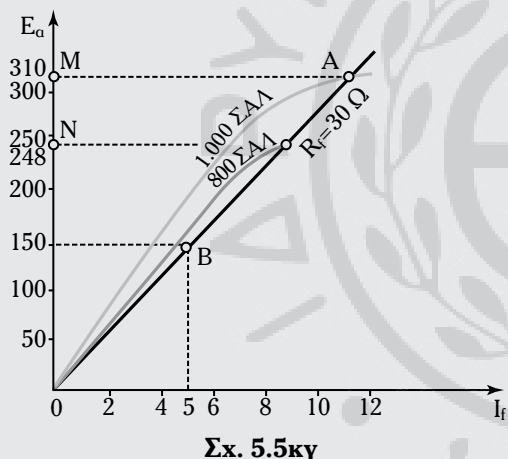
Δίδεται ο πίνακας τιμών της συναρτήσεως  $E_a = f(I_f)$  της χαρακτηριστικής χωρίς φορτίο μιας γεννήτριας συνεχούς ρεύματος με παράλληλη διέγερση στις 1.000 ΣΑΛ:

$E_a[V]$	52,5	107,5	155	196,5	256,5	275	278,5
$I_f[A]$	1	2	3	4	5	6	7

Να υπολογίσετε την τάση χωρίς φορτίο  $E_a$ , εάν η γεννήτρια περιστρέφεται με 800 ΣΑΛ και η αντίσταση του τυλίγματος διεγέρσεως είναι  $30 \Omega$ .

#### Λύση.

Στο σχήμα 5.5κγ δίδεται η στατική χαρακτηριστική της γεννήτριας  $\Sigma P$  με παράλληλη διέγερση στις 1.000 ΣΑΛ.



Σχ. 5.5κγ

Η τάση χωρίς φορτίο  $E_a$ , όταν οι στροφές της μπχανίς είναι 1.000 ΣΑΛ προσδιορίζεται ως εξής:

Είναι γνωστό, ότι η χαρακτηριστική ευθεία περνάει από την αρχή των αξόνων του σχήματος. Για  $I_f = 5 A$  είναι  $E_a = R_f I_f = 30 \cdot 5 = 150 V$ , οπότε προσδιορίζεται το σημείο B στο σχήμα. Προεκτείνοντας την ευθεία, η οποία περνάει από τα σημεία O (0, 0) και B (5, 150) προσδιορίζεται το σημείο λειτουργίας A, της γεννήτριας. Είναι το σημείο τομής της χαρακτηριστικής ευθείας με την χαρακτηριστική χωρίς φορτίο στις 1.000 ΣΑΛ. Η τάση χωρίς φορτίο είναι  $E_a = 310 V$ .

Για να υπολογιστεί η τάση χωρίς φορτίο στις 800 ΣΑΛ εργαζόμαστε ως εξής:

Είναι:

$$E_a^{(1)} = K \Phi n_1 \quad (1)$$

και

$$E_a^{(2)} = K \Phi n_2 \quad (2)$$

Διαιρώντας τις εξισώσεις 1 και 2 κατά μέλη προκύπτει:

$$\frac{E_a^{(1)}}{E_a^{(2)}} = \frac{n_1}{n_2}$$

αν  $E_a^{(2)} = X$ , τότε έχουμε  $310/X = 1.000/800$ . Είναι  $X = 248 V$ . Η τιμή αντιστοιχεί στο σημείο N του σχήματος 5.5κγ.

#### Άσκηση 2.

Τα δεδομένα της στατικής χαρακτηριστικής μιας γεννήτριας  $\Sigma P$  με παράλληλη διέγερση, όταν περιστρέφεται στις 1.500 ΣΑΛ, δίδονται στον ακόλουθο πίνακα:

$I_f[A]$	0	0,4	0,8	1,2	1,6	2	2,4	2,8	3
$E_a[V]$	6	60	120	172,5	202,5	221	231	237	240,03

Να υπολογίσετε:

1) Την τάση χωρίς φορτίο της γεννήτριας  $\Sigma P$ , όταν η τιμή της αντιστάσεως του τυλίγματος διεγέρσεως είναι  $100 \Omega$ .

2) Την τιμή της κρίσιμης αντιστάσεως του τυλίγματος διεγέρσεως,  $R_{fcr}$ , στην ταχύτητα περιστροφής των 150 ΣΑΛ.

3) Να χαράξετε τη στατική χαρακτηριστική της γεννήτριας  $\Sigma P$ , όταν αυτή περιστρέφεται με 1.200 ΣΑΛ. Να υπολογίσετε την τάση χωρίς φορτίο της γεννήτριας  $\Sigma P$ , όταν η τιμή της ταχύτητας διεγέρσεως είναι  $100 \Omega$ .

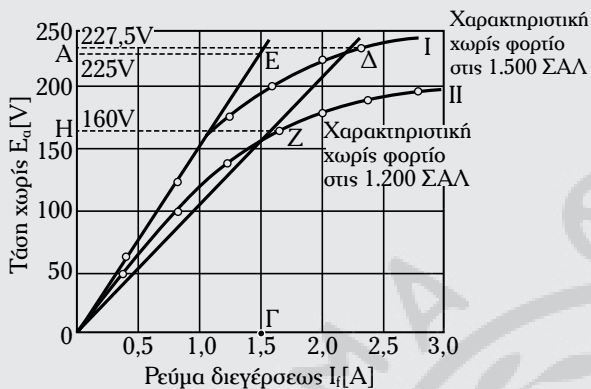
#### Λύση.

1) Από τα δεδομένα του πίνακα ( $I_f$ ,  $E_a$ ) κατασκευάζομε την στατική χαρακτηριστική της γεννήτριας  $\Sigma P$ , όταν περιστρέφεται με 1.500 ΣΑΛ. (σχ. 5.5κδ). Χαράσσομε τη χαρακτηριστική ευθεία (σχέση  $R_f = \frac{E_a}{I_f}$ ) συνδέοντας τα σημεία (0, 0) και (1 A, 100 V). Το σημείο τομής της στατικής χαρακτηριστικής και της χαρακτηριστικής ευθείας (σημείο Δ) αντιστοιχεί στην τάση χωρίς φορτίο 227,5 V.

2) Χαράσσομε την εφαπτομένη ΟΓ στη στατική χαρακτηριστική, η οποία διέρχεται από την αρχή των αξόνων (0, 0). Η κρίσιμη τιμή της αντιστάσεως του τυλίγματος αντιστοιχεί στην κλίση

$$\text{της εφαπτομένης } \text{ΟΓ} = \frac{225}{1,5} = 150 \Omega.$$

3) Η τάση χωρίς φορτίο της γεννήτριας ΣΡ στις 1.200 ΣΑΛ είναι  $\left(\frac{1.200}{1.500}\right)$  ή 0,8 φορές της αντίστοιχης τιμής στις 1.500 ΣΑΛ.



Σχ. 5.5κδ

Τα δεδομένα των τιμών ( $I_f, E_a$ ) για την χάραξη της στατικής χαρακτηριστικής (καμπύλη II), της γεννήτριας ΣΡ, όταν αυτή περιστρέφεται με 1.200 ΣΑΛ, δίδονται στον ακόλουθο πίνακα:

$I_f[A]$	0	0,4	0,8	1,2	1,6	2	2,4	2,8	3
$E_a[V]$	4,8	48	96	138	162	176,8	184,8	189,6	192

### Άσκηση 3.

Τα δεδομένα της στατικής χαρακτηριστικής μιας γεννήτριας ΣΡ με παράλληλη διέγερση, όταν αυτή περιστρέφεται με 1.000 ΣΑΛ, δίδονται στον ακόλουθο πίνακα:

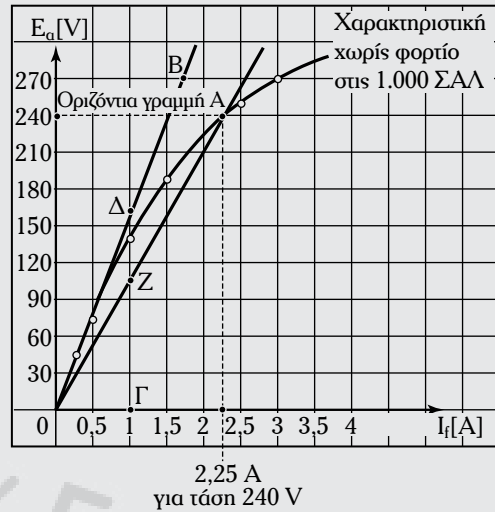
$I_f[A]$	0,25	0,5	1	1,5	2	2,5	3
$E_a[V]$	36	72	138	188	225	250	270

Να υπολογίσετε:

- Την τιμή της αντιστάσεως του τυλίγματος διεγέρσεως όταν η τάση χωρίς φορτίο είναι 240 V.
- Τον κρίσιμο αριθμό στροφών  $n_c$ , της γεννήτριας ΣΡ με παράλληλη διέγερση.

**Λύση.**

Από τα δεδομένα του πίνακα των τιμών ( $I_f, E_a$ )



Σχ. 5.5κε

κατασκευάζομε την στατική χαρακτηριστική της γεννήτριας με παράλληλη διέγερση (σχ. 5.5κε).

1) Η τάση χωρίς φορτίο είναι:  $E_a = 240 \text{ V}$ . Φέρομε την οριζόντια γραμμή από την τιμή της τάσεως 240 V, η οποία κόβει στο σημείο A την στατική χαρακτηριστική. Σε αυτό το σημείο τομής αντιστοιχεί το ρεύμα διεγέρσεως 2,25 A. Η κλίση της χαρακτηριστικής ευθείας OA, αντιστοιχεί στην τιμή της αντιστάσεως διεγέρσεως. Οπότε είναι:

$$R_f = \frac{240}{2,25} = 106,67 \Omega.$$

2) Χαράσσομε την εφαπτομένη OB στη στατική χαρακτηριστική όταν η ταχύτητα περιστροφής της γεννήτριας ΣΡ με παράλληλη διέγερση είναι  $n_1 = 1.000 \text{ ΣΑΛ}$ . Επιλέγομε το ρεύμα διεγέρσεως 1 A (σημείο Γ). Φέρομε την κάθετο στο σημείο Γ η οποία κόβει την εφαπτομένη OB στο σημείο Δ και την χαρακτηριστική ευθεία OA στο σημείο Z. Η κρίσιμη τιμή  $n_c$ , προσδιορίζεται ως εξής:

$$\frac{\Gamma Z}{\Gamma \Delta} = \frac{n_c}{n_1} \quad \text{και} \quad n_c = \frac{\Gamma Z}{\Gamma \Delta} n_1 = \frac{105}{159} 1.000 \cong 660 \text{ ΣΑΛ}.$$

Οπότε, ο κρίσιμος αριθμός στροφών της γεννήτριας ΣΡ με παράλληλη διέγερση είναι 660 ΣΑΛ.

### Άσκηση 4.

Η αντίσταση του τυλίγματος τυμπάνου μιας γεννήτριας ανεξάρτητης διεγέρσεως, 50 kW, 250 V είναι  $0,025 \Omega$ .

Η γεννήτρια παρέχει το **ονομαστικό ρεύμα**<sup>6</sup> με την **ονομαστική τάση**<sup>7</sup>. Να υπολογίσετε το ρεύμα τυμπάνου και την τάση χωρίς φορτίο στο **ονομαστικό φορτίο**<sup>8</sup>. Αν η τερματική τάση διατηρείται στα 250 V και η ισχύς εξόδου μειώνεται στα 40 kW, να υπολογίσετε την τάση χωρίς φορτίο σ' αυτήν την κατάσταση λειτουργίας.

### Λύση.

Η ισχύς εξόδου της γεννήτριας είναι:

$$P_{\text{out}} = V_t I_a.$$

Το ονομαστικό ρεύμα τυμπάνου είναι:

$$I_a = 50 \cdot 10^3 / 250 = 200 \text{ A.}$$

Είναι:  $E_a = V_t + I_a R_a = 250 + 200 \cdot (0,025) = 255 \text{ V.}$

Όταν η ισχύς εξόδου είναι 40 kW, τότε:

$$I_a = 40 \cdot 10^3 / 250 = 160 \text{ A.}$$

Τότε:  $E_a = 250 + 160 \cdot (0,025) = 254 \text{ V.}$

### Άσκηση 5.

Η γεννήτρια της ασκήσεως 4 παρέχει 40 kW όταν η τάση χωρίς φορτίο είναι 255 V. Να υπολογίσετε την τερματική τάση  $V_t$  και το αντίστοιχο ρεύμα τυμπάνου  $I_a$  όταν η τερματική τάση διατηρείται στα 253 V και η τάση χωρίς φορτίο είναι 257 V. Να υπολογίσετε την ισχύ εξόδου της γεννήτριας.

### Λύση.

Είναι:  $I_a = 40 \cdot 10^3 / V_t,$

Ισχύει  $V_t = E_a - I_a R_a$

$$V_t = 255 - \frac{40.000}{V_t} \cdot 0,025,$$

$$V_t^2 - 255 \cdot V_t + 1.000 = 0$$

ή  $V_t = 251 \text{ V.}$

Το ρεύμα τυμπάνου είναι:

$$I_a = \frac{40.000}{251} \approx 159 \text{ A.}$$

Όταν η τάση χωρίς φορτίο είναι 257 V και η τερματική τάση είναι 253 V, το ρεύμα τυμπάνου είναι:

$$I_a = \frac{E_a - V_t}{R_a} = \frac{257 - 253}{0,025} = 160 \text{ A.}$$

Η ισχύς εξόδου της γεννήτριας είναι:

$$P_{\text{out}} = V_t I_a = 253 \cdot 160 = 40.480 \text{ W.}$$

### Άσκηση 6.

Δίδεται γεννήτρια ΣΡ με διέγερση σειράς με τα εξής χαρακτηριστικά:

$$P_{\text{out}} = 10 \text{ kW}, \quad V_t = 125 \text{ V}, \quad R_s = 0,05 \Omega$$

1) Όταν η τάση χωρίς φορτίο είναι 137 V να υπολογίσετε την αντίσταση του τυλίγματος τυμπάνου.

2) Για φορτίο ίσο με 75% του ονομαστικού να υπολογίσετε την τάση χωρίς φορτίο.

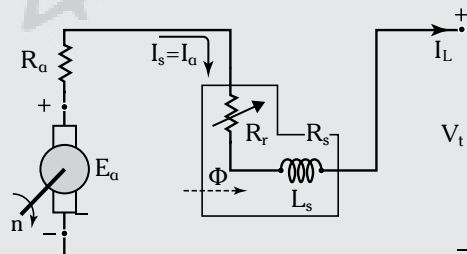
3) Όταν η  $E_a$  είναι 136 V και η ισχύς στην έξοδο της γεννήτριας είναι 8 kW να υπολογίσετε την τερματική τάση της γεννήτριας.

### Λύση.

Το ισοδύναμο πλεκτρικό κύκλωμα της γεννήτριας είναι δίδεται στο σχήμα 5.5κστ.

1) Η ισχύς εξόδου της γεννήτριας δίδεται:

$$P_{\text{out}} = V_t I_a.$$



Σχ. 5.5κστ

<sup>6</sup> Ονομαστικό ρεύμα ονομάζεται το μεγαλύτερο δυνατό ρεύμα, το οποίο δίδει η γεννήτρια όταν παρέχει τάση 250 V και ισχύ στην έξοδο της 50 kW.

<sup>7</sup> Ονομαστική τάση ονομάζεται η μεγαλύτερη δυνατή τάση (250 V), για την οποία είναι κατασκευασμένη η γεννήτρια.

<sup>8</sup> Το ονομαστικό φορτίο αντιστοιχεί στη λειτουργία της γεννήτριας όταν αυτή παρέχει 50 kW με τάση 250 V.

$$\text{Ισχύει: } I_a = \frac{P_{\text{out}}}{V_t} = \frac{10.000 \text{ W}}{125 \text{ V}} = 80 \text{ A.}$$

Εφαρμόζοντας τον Δεύτερο Κανόνα του Kirchhoff στο κύκλωμα έχουμε:

$$E_a - I_a(R_a + R_s) - V_t = 0$$

$$\text{και } 137 - 80(0,05 + R_a) - 125 = 0$$

$$\text{και } R_a = 0,1 \Omega$$

όπου  $R_s$  η συνολική αντίσταση του τυλίγματος σειράς της γεννήτριας.

2) Για φορτίο 75% του ονομαστικού:

$$P_{\text{out}} = 0,75 \cdot 10.000 = 7.500 \text{ W.}$$

$$\text{Είναι: } I_a = I_f = I_L = \frac{7.500}{125} \left[ \frac{\text{W}}{\text{V}} \right] = 60 \text{ A.}$$

Εφαρμόζοντας τον Δεύτερο Κανόνα του Kirchhoff στο ισοδύναμο κύκλωμα έχουμε:

$$E_a - I_a(R_a + R_s) - V_t = 0$$

$$\text{ή } E_a - 60(0,1 + 0,05) - 125 = 0$$

$$\text{και } E_a = 134 \text{ V.}$$

3) Εφαρμόζομε τον Δεύτερο Κανόνα του Kirchhoff στο κύκλωμα, οπότε προκύπτει η εξίσωση:

$$E_a - I_a(0,1 + 0,05) - V_t = 0. \quad (1)$$

Από την ισχύ εξόδου  $P_{\text{out}}$  της γεννήτριας, έχουμε:

$$P_{\text{out}} = V_t I_a \Rightarrow I_a = 8.000 / V_t. \quad (2)$$

Η εξίσωση 1 με βάση την εξίσωση 2 γίνεται:

$$136 - 8.000 \cdot (0,15) / V_t - V_t = 0.$$

Προκύπτει η ακόλουθη δευτεροβάθμια εξίσωση:

$$V_t^2 - 136 V_t + 1.200 = 0. \quad (3)$$

Οι ρίζες της εξίσωσης 3 είναι  $V_t^{(1)} = 126,51 \text{ V}$  και  $V_t^{(2)} = 9,48 \text{ V}$ . Η ζητούμενη τιμή της τερματικής τάσεως είναι:

$$V_t^{(1)} \equiv V_t = 126,51 \text{ V.}$$

### Άσκηση 7.

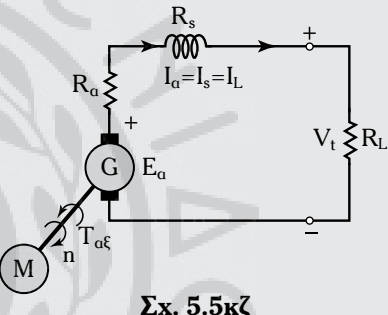
Γεννήτρια ΣΡ διεγέρσεως σειράς 220 V, 20 kW έχει αντίσταση τυμπάνου  $0,3 \Omega$  και αντίσταση τυλίγματος διεγέρσεως σειράς  $0,025 \Omega$ .

Η γεννήτρια λειτουργεί με ονομαστική τάση και τροφοδοτεί φορτίο ίσο με 70% του ονομαστικού. Άν η μηχανική ισχύς εισόδου της γεννήτριας είναι 24 HP να υπολογίσετε:

- 1) Την τάση τυμπάνου.
- 2) Την απόδοση της γεννήτριας.

### Λύση.

1) Το ισοδύναμο κύκλωμα της γεννήτριας είναι αυτό του σχήματος 5.5κζ.



Σχ. 5.5κζ

Εφαρμόζοντας τον Δεύτερο Κανόνα του Kirchhoff, προκύπτει:

$$E_a = V_t + I_a(R_a + R_s) = \\ = 220 + 90,91 \cdot (0,3 + 0,025) = 249,54 \text{ V,}$$

$$\text{γιατί: } I_a = \frac{P_{\text{out}}}{V_t} \left[ \frac{\text{W}}{\text{V}} \right] = \frac{20.000}{220} = 90,90 \text{ A.}$$

Όταν η γεννήτρια τροφοδοτεί φορτίο ίσο με 70% του ονομαστικού, τότε η ισχύς εξόδου της γεννήτριας είναι:

$$P_{\text{out}} = 0,70 \cdot 20.000 = 14.000 \text{ W.}$$

Σ' αυτήν την περίπτωση το ρεύμα τυμπάνου  $I_a$  είναι:

$$I_a = \frac{P_{\text{out}}}{V_t} \left[ \frac{\text{W}}{\text{V}} \right] = \frac{14.000}{220} = 63,63 \text{ A.}$$

$$\text{Είναι: } E_a = 220 + 63,63 \cdot (0,3 + 0,025) = 240,68 \text{ V.}$$

2) Η ισχύς εισόδου της γεννήτριας είναι:

$$P_{in} = 24 \cdot 746 = 17.904 \text{ W}, \text{ είναι } 1 \text{ HP} = 746 \text{ W.}$$

Η απόδοση της γεννήτριας είναι:

$$\eta = \frac{P_{out}}{P_{in}} \cdot 100 = \frac{14.000}{17.904} \cdot 100 = 78,19\%.$$

### Άσκηση 8.

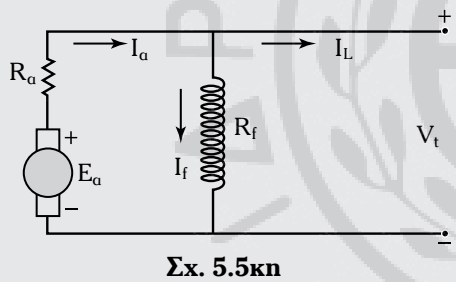
Γεννήτρια ΣΡ με παράλληλη διέγερση, 120V, 12kW λειτουργεί με την ονομαστική της τάση. Έχει αντίσταση επαγωγικού τυμπάνου  $0,2 \Omega$  και αντίσταση τυλίγματος διεγέρσεως  $60 \Omega$ . Η γεννήτρια στρέφεται με  $n = 800 \text{ ΣΑΛ}$ , ενώ η αισκούμενη ροπή στον άξονα της είναι  $T_{ax} = 132 \text{ N-m}$ . Οι μηχανικές απώλειες (ή απώλειες λόγω τριβών και ανεμισμού) είναι 430W.

Να υπολογίσετε:

Την μηχανική ισχύ, η οποία μετατρέπεται σε ηλεκτρική.

### Λύση.

Το ισοδύναμο κύκλωμα της γεννήτριας απεικονίζεται στο σχήμα 5.5κη:



Η ισχύς εισόδου της γεννήτριας είναι:

$$P_{in} = T_{ax} \omega$$

$$\omega = 2\pi \frac{n}{60}$$

$$P_{in} = 132 \cdot 2\pi \cdot \frac{800}{60} = 11.052,8 \text{ W.}$$

Η τάση τυμπάνου της γεννήτριας είναι:

$$E_a = V_t + I_a R_a. \quad (1)$$

Η ισχύς εξόδου της γεννήτριας είναι:

$$P_{out} = V_t I_L.$$

Το ρεύμα φορτίου της γεννήτριας είναι:

$$I_L = \frac{P_{out}}{V_t} \left[ \frac{W}{V} \right] = \frac{12.000}{120} = 100 \text{ A.}$$

Από το ισοδύναμο κύκλωμα το ρεύμα τυμπάνου

$$I_a \text{ είναι: } I_a = I_L + I_f = I_L + \frac{V_t}{R_f} = 100 + \frac{120}{60} = 102 \text{ A.}$$

Από την εξίσωση 1 έχουμε:

$$E_a = 120 + 102 \cdot 0,2 = 140,4 \text{ V.}$$

Η μηχανική ισχύς, που μετατρέπεται σε ηλεκτρική ( $P_{em}$ ) είναι:

$$P_{em} = E_a I_a = 140,4 \cdot 102 = 14.320,8 \text{ W.}$$

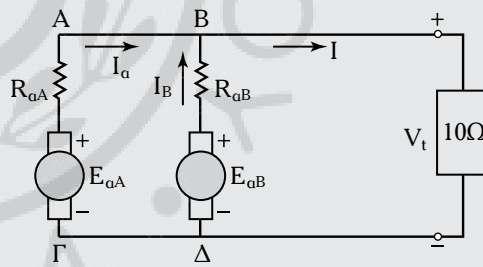
### Άσκηση 9.

Δύο γεννήτριες Α και Β συνδέονται παράλληλα και τροφοδοτούν ένα φορτίο.

Οι τάσεις χωρίς φορτίο των γεννητριών είναι 205V και 200V αντίστοιχα, ενώ οι αντιστάσεις των επαγωγικών τυμπάνων των γεννητριών είναι  $0,5 \Omega$  και  $0,3 \Omega$  αντίστοιχα. Να υπολογίσετε τα ρεύματα φορτίων των γεννητριών και την κοινή τους τερματική τάση, αν το φορτίο το οποίο τροφοδοτούν είναι  $10 \Omega$ .

### Λύση.

Στο σχήμα 5.5κθ δίδεται η συνδεσμολογία των γεννητριών Α και Β όταν λειτουργούν παράλληλα.



Εφαρμόζοντας την εξίσωση των τάσεων στους κλάδους ΑΓ και ΒΔ, προκύπτουν οι εξισώσεις 1 και 2:

$$V_t = 205 - 0,5 I_A \quad (1)$$

$$V_t = 200 - 0,3 I_B. \quad (2)$$

Εφαρμόζοντας τον Νόμο του Ωμ στο φορτίο των  $10 \Omega$ , έχουμε:

$$V_t = I \cdot 10 = (I_A + I_B) \cdot 10 \text{ V.} \quad (3)$$

Επλύνομε το σύστημα ως εξής: Η εξίσωση 1 με βάση την εξίσωση 3 γίνεται:

$$(I_A + I_B) \cdot 10 = 205 - 0,5 I_A$$

$$\text{ή} \quad 205 = 10,5 I_A + 10 I_B \quad (4)$$

Η εξίσωση 2 με βάση την εξίσωση 3 γίνεται:

$$(I_A + I_B) \cdot 10 = 200 - I_B \cdot 0,3$$

$$\text{ή} \quad 200 = 10 I_A + 10,3 I_B \quad (5)$$

Επιλύομε το σύστημα εξισώσεων 4 και 5 με την μέθοδο Cramer ή οριζουσών. Είναι:

$$\Delta = \begin{vmatrix} 10,5 & 10 \\ 10 & 10,3 \end{vmatrix} = 10,5 \times 10,3 - 10 \times 10 = 8,15$$

$$\Delta_A = \begin{vmatrix} 205 & 10 \\ 200 & 10,3 \end{vmatrix} = 205 \times 10,3 - 200 \times 10 = 111,5$$

και  $I_A = \frac{111,5}{8,15} = 13,68 \text{ A.}$

Είναι:  $\Delta_B = \begin{vmatrix} 10,5 & 205 \\ 10 & 200 \end{vmatrix} = 10,5 \times 200 - 10 \times 205 = 50$

και  $I_B = \frac{50}{0,15} = 6,13 \text{ A.}$

Το ρεύμα φορτίου,  $I$ , είναι:

$$I = I_A + I_B = 13,68 + 6,13 = 19,81 \text{ A.}$$

Η κοινή τερματική τάση,  $V_t$ , είναι:

$$V_t = I \cdot 10 = 19,81 \cdot 10 = 198,1 \text{ V.}$$

Από το σύστημα των τριών εξισώσεων 1, 2, 3 προκύπτει:

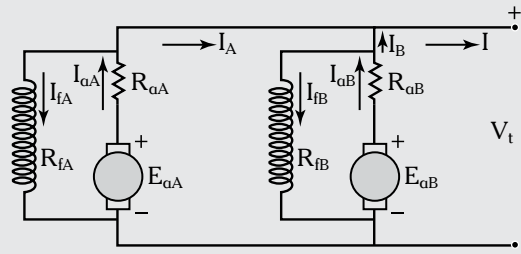
$$I_A = 13,68 \text{ A}, \quad I_B = 6,13 \text{ A} \quad \text{και} \quad V_t = 198,1 \text{ V.}$$

### Άσκηση 10.

Δύο γεννήτριες Α και Β, με παράλληλη διέγερση συνδέονται παράλληλα και παρέχουν συνολικό ρεύμα 2.000 A. Η γεννήτρια Α έχει  $R_f^{(A)} = 55 \Omega$ ,  $R_a^{(A)} = 0,025 \Omega$ ,  $E_a^{(A)} = 260 \text{ V}$ . Η γεννήτρια Β έχει  $R_f^{(B)} = 60 \Omega$ ,  $R_a^{(B)} = 0,03 \Omega$ ,  $E_a^{(B)} = 250 \text{ V}$ . Να υπολογίσετε την κοινή τερματική τάση των γεννητριών και τα ρεύματα που παρέχουν σε κάποιο φορτίο. Ποιο είναι το συνολικό ρεύμα φορτίου το οποίο δίδουν οι γεννήτριες, όταν η κοινή τερματική τους τάση είναι 220 V;

### Λύση.

Στο σχήμα 5.5λ δίδεται η συνδεσμολογία των γεννητριών Α και Β όταν λειτουργούν παράλληλα.



Σχ. 5.5λ

Έστω  $I_A$  και  $I_B$  τα ρεύματα φορτίου των γεννητριών Α και Β αντίστοιχα.

$$\text{Ισχύει: } I = I_A + I_B = 2.000 \text{ A} \quad (1)$$

$$I_f^{(A)} = V_t / R_f^{(A)} = V_t / 55 \text{ A} \quad (2)$$

$$I_f^{(B)} = V_t / R_f^{(B)} = V_t / 60 \text{ A.} \quad (3)$$

Η τάση τυμπάνου της γεννήτριας Α είναι:

$$E_a^{(A)} = V_t + I_a^{(A)} R_a^{(A)}$$

$$\text{ή} \quad 260 = V_t + (I_f^{(A)} + I_A) R_a^{(A)} = V_t + (V_t / 55 + I_A) \cdot 0,025. \quad (4)$$

Η τάση τυμπάνου της γεννήτριας Β είναι:

$$E_a^{(B)} = V_t + I_a^{(B)} R_a^{(B)}$$

$$\text{ή} \quad 250 = V_t + (V_t / 60 + I_B) \cdot 0,03. \quad (5)$$

Από τις εξισώσεις 1, 2, 3, 4, 5 προκύπτει:  $V_t = 228 \text{ V}$ ,  $I_A = 1.266 \text{ A}$  και  $I_B = 734 \text{ A}$ .

Όταν η κοινή τερματική τάση των γεννητριών Α και Β είναι 220 V τότε,  $I_a^{(A)}$  και  $I_a^{(B)}$  είναι τα ρεύματα τυμπάνου των αντιστοίχων γεννητριών Α και Β.

$$\text{Είναι: } 260 - 0,025 \cdot I_a^{(A)} = 220 \Rightarrow I_a^{(A)} = 1.600 \text{ A.}$$

Αν  $I_A$  το ρεύμα φορτίου της Α γεννήτριας τότε:

$$I_a^{(A)} = I_A + V_t / R_f^{(A)}.$$

Όταν  $V_t = 220 \text{ V}$  τότε:

$$I_A = I_a^{(A)} - V_t / R_f^{(A)} = 1.600 - 220 / 55 = 1.596 \text{ A.}$$

Αντίστοιχα για την γεννήτρια Β έχουμε:

$$205 - 0,03 \cdot I_a^{(B)} = 200$$

και

$$I_a^{(B)} = 1.000 \text{ A.}$$

Αν  $I_B$  το ρεύμα φορτιού της Β γεννήτριας τότε:

$$I_B = 1.000 - 220 / 60 = 996,34 \text{ A.}$$

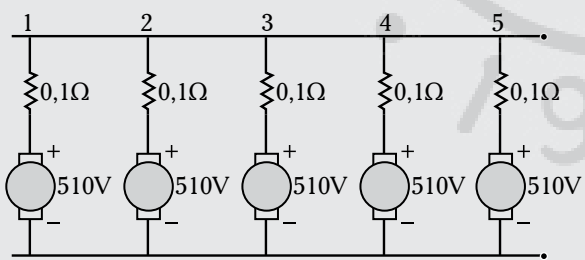
Το συνολικό ρεύμα φορτιού των γεννητριών είναι:  $I = I_A + I_B = 1.596 + 996,34 = 2.592,34 \text{ A.}$

### Άσκηση 11.

Πέντε γεννήτριες με παράλληλη διέγερση λειτουργούν παράλληλα, περιστρέφονται με την ίδια ταχύτητα περιστροφής, έχουν αντίσταση τωμπάνου  $0,1 \Omega$  και αναπτύσσουν την ίδια εσωτερική τάση. Κάθε γεννήτρια παρέχει ίδια  $\text{kW} \sigma'$  ένα φορτίο  $250 \text{ kW}$  σταθερής ωμικής αντιστάσεως με τερματική τάση  $500 \text{ V}$ . Αν το ρεύμα διεγέρσεως μιας γεννήτριας αυξηθεί κατά 4% ως προς το αντίστοιχο ρεύμα διεγέρσεως των υπολοίπων γεννητριών, το οποίο παραμένει αμετάβλητο, να υπολογίσετε την ισχύ, την οποία παρέχει κάθε γεννήτρια και την κοινή τερματική τους τάση ( $V$ ). Θεωρήστε την ταχύτητα περιστροφής σταθερή και τη μαγνητική ροή ανάλογη του ρεύματος διεγέρσεως.

#### Λύση.

Ισχύει το ισοδύναμο πλεκτρικό κύκλωμα της παράλληλης συνδεσμολογίας των γεννητριών (σχ. 5.5λα), σύμφωνα με τα δεδομένα της ασκήσεως:



Σχ. 5.5λα

Η ισχύς κάθε γεννήτριας είναι  $250 / 5 = 50 \text{ kW}$ .

Το ρεύμα φορτίου κάθε γεννήτριας είναι  $50.000 / 500 = 100 \text{ A}$ .

Η πτώση τάσεως στο επαγωγικό τύμπανο για κάθε γεννήτρια είναι  $0,1 \cdot 100 = 10 \text{ V}$ .

Η τερματική τάση κάθε γεννήτριας είναι  $500 \text{ V}$ .

Η αναπτυσσόμενη ΗΕΔ κάθε γεννήτριας είναι  $510 \text{ V}$ .

Όταν το ρεύμα διεγέρσεως της πρώτης γεννή-

τριας αυξάνεται κατά 4%, τότε αυξάνεται η μαγνητική ροή, οπότε αυξάνεται και η εσωτερική τάση της 1<sup>ης</sup> γεννήτριας.

Είναι:  $510 \text{ V} + 20,4 \text{ V} = 530,4 \text{ V}$ .

Έστω ότι  $I_1$  είναι το ρεύμα το οποίο παρέχει η πρώτη γεννήτρια μετά την αύξηση του ρεύματος διεγέρσεως και  $I_2$  το ρεύμα, το οποίο παρέχει κάθε γεννήτρια από τις υπόλοιπες 4.

Έστω  $V$  η νέα τερματική τάση των γεννητριών.

Είναι:  $530 - 0,1 \cdot I_1 = V$  (1)

$$510 - 0,1 \cdot I_2 = V. \quad (2)$$

Η αντίσταση του φορτίου είναι:

$$500 / 500 = 1 \Omega. \quad (3)$$

Το συνολικό ρεύμα είναι  $I_1 + 4 I_2$ , οπότε έχουμε:

$$1 (I_1 + 4 I_2) = V \quad \text{ή} \quad I_1 + 4 I_2 = V. \quad (4)$$

Αφαιρώντας την εξίσωση 2 από την εξίσωση 1 προκύπτει:

$$I_1 - I_2 = 200 \text{ A.} \quad (5)$$

Αφαιρώντας την εξίσωση 4 από την εξίσωση 2 προκύπτει:

$$I_1 + 4 \cdot 1 \cdot I_2 = 510. \quad (6)$$

Από τις εξισώσεις 5 και 6 προκύπτει:

$$I_2 = \frac{310}{5,1} \approx 61 \text{ A.}$$

Από την εξίσωση 5 έχουμε:

$$I_1 = 200 + 61 = 261 \text{ A.}$$

Από την εξίσωση 4 προκύπτει η ζητούμενη κοινή τερματική τάση:  $V = 261 + 244 = 505$ .

Η ισχύς της 1<sup>ης</sup> γεννήτριας είναι:

$$505 \times 261 \approx 132 \text{ kW.}$$

Η ισχύς εξόδου κάθε γεννήτριας από τις υπόλοιπες είναι:  $505 \times 61 \approx 31 \text{ kW}$ .

### Άσκηση 12.

Δύο γεννήτριες ΣΡ Α και Β, με παράλληλη διέγερση και μια πηγή ΣΡ λειτουργούν παράλληλα. Αν κάθε γεννήτρια παρέχει το ίδιο ρεύμα φορτίου, ενώ το σύστημα (γεννητριες και πηγή ΣΡ) παρέ-

χει συνολικό ρεύμα φορτίου  $40\text{ A}$ , να υπολογίσετε την ΗΕΔ της πηγής ΣΡ ( $E_b$ ), αν η εσωτερική της αντίσταση είναι  $0,172\Omega$ .

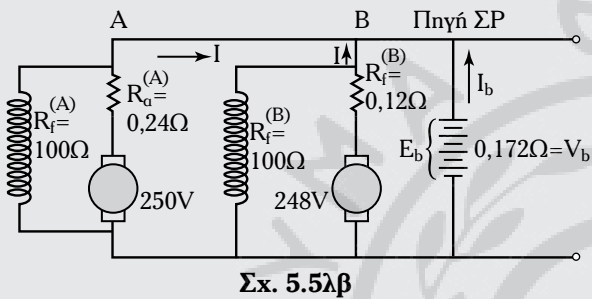
$$\text{Δίδεται: } E_a^{(A)} = 250\text{ V} \text{ και } E_a^{(B)} = 248\text{ V.}$$

$$R_a^{(A)} = 0,24\Omega \text{ και } R_f^{(A)} = 100\Omega.$$

$$R_a^{(B)} = 0,12\Omega \text{ και } R_f^{(B)} = 100\Omega.$$

### Λύση.

Ισχύει το ακόλουθο ισοδύναμο κύκλωμα της συνδεσμολογίας (σχ. 5.5λβ):



$$\text{Είναι: } 250 = V_t + (I + V_t/100) \cdot 0,24 \quad (1)$$

$$248 = V_t + (I + V_t/100) \cdot 0,12 \quad (2)$$

$$I + I + I_b = 40 \text{ A} \quad (3)$$

$$2I + I_b = 40 \text{ A.} \quad (4)$$

Αφαιρώντας την εξίσωση 2 απ' την 1 προκύπτει:

$$(I + V_t/100) \cdot 0,12 = 2. \quad (5)$$

Η εξίσωση 2 με βάση την εξίσωση 5 γίνεται:

$$V_t = 246 \text{ V.} \quad (6)$$

Η εξίσωση 5 με βάση την εξίσωση 6 γίνεται:

$$(I + 246/100) \cdot 0,12 = 2$$

$$\text{και } I = 50/3 - (2 \cdot 46) \Rightarrow I = 14,2 \text{ A.}$$

Από την εξίσωση (4) προκύπτει:

$$I_b = 40 - (2 \cdot 14,2) = 11,6 \text{ A.}$$

Η εσωτερική πτώση τάσεως της πηγής ΣΡ είναι:  $11,6 \cdot 0,172 \approx 2 \text{ V}$  και  $E_b = 246 + 2 = 248 \text{ A.}$

### 5.6 Προτεινόμενες ασκήσεις.

#### Άσκηση 1.

Δίδεται πίνακας τιμών της συναρτήσεως  $E_a = f(I_f)$  της χαρακτηριστικής χωρίς φορτίο μιας γεννήτριας με παράλληλη διέγερση για σταθερές στροφές:

$E_a[\text{V}]$	120	240	334	400	444	470
$I_f[\text{A}]$	0,5	1	1,5	2	2,5	3

Να υπολογίσετε την τάση χωρίς φορτίο, όταν η αντίσταση του κυκλώματος διεγέρσεως είναι  $160\Omega$  και την κρίσιμη τιμή της αντιστάσεως του κυκλώματος διεγέρσεως.

#### Άσκηση 2.

Δίδεται πίνακας τιμών της συναρτήσεως  $E_a = f(I_f)$  της χαρακτηριστικής χωρίς φορτίο μιας γεννήτριας ΣΡ στις  $400 \text{ ΣΑΛ}$ :

$E_a[\text{V}]$	110	155	186	212	230	246	260	271
$I_f[\text{A}]$	2	3	4	5	6	7	8	9

1) Να υπολογίσετε την τάση χωρίς φορτίο, όταν η μηχανή λειτουργεί σαν γεννήτρια με παράλληλη διέγερση στις  $400 \text{ ΣΑΛ}$  και η αντίσταση του κυκλώματος διεγέρσεως είναι  $34\Omega$ .

2) Να υπολογίσετε την αντίσταση του κυκλώματος διεγέρσεως, η οποία μειώνει την τάση χωρίς φορτίο στα  $220 \text{ V}$ .

3) Να υπολογίσετε την κρίσιμη τιμή της αντιστάσεως του κυκλώματος διεγέρσεως.

4) Να υπολογίσετε την κρίσιμη τιμή της ταχύτητας περιστροφής, όταν η αντίσταση του κυκλώματος διεγέρσεως είναι  $34 \Omega$ .

#### Άσκηση 3.

Γεννήτρια ΣΡ ξένη διέγερσεως,  $10 \text{ kW}$ ,  $125 \text{ V}$ , περιστρέφεται με  $1.000 \text{ ΣΑΛ}$ . Το ρεύμα διεγέρσεως είναι  $2 \text{ A}$  όταν η γεννήτρια παρέχει το ονομαστικό ρεύμα τυμπάνου. Να υπολογίσετε:

1) Την τάση τυμπάνου στο πλήρες φορτίο.

2) Το ρεύμα διεγέρσεως αν το ρεύμα τυμπάνου είναι  $75\%$  της ονομαστικής τιμής και η ταχύτητα περιστροφής αμετάβλητη.

Η αντίσταση τυμπάνου είναι  $0,15 \Omega$ .

#### Άσκηση 4.

Γεννήτρια ΣΡ με ξένη διέγερση,  $30 \text{ kW}$ ,  $250 \text{ V}$ ,

έχει αντίσταση τυμπάνου  $0,125\Omega$ . Να υπολογίσετε το ρεύμα του τυμπάνου για την ονομαστική τερματική τάση και όταν η τάση τυμπάνου είναι  $265V$ .

### Άσκηση 5.

Γεννήτρια ΣΡ διεγέρσεως σειράς έχει συνολική αντίσταση τυμπάνου και τυλίγματος σειράς  $0,16\Omega$ . Τα ονομαστικά στοιχεία της γεννήτριας είναι  $8kW$  και  $125V$  (η τερματική τάση).

1) Να υπολογίσετε την τάση τυμπάνου αν το ρεύμα τυμπάνου είναι  $40A$  και η τερματική τάση διαπρέπεται στην ονομαστική της τιμή.

2) Η γεννήτρια παρέχει  $6kW$  όταν η τάση τυμπάνου είναι  $132V$ . Να υπολογίσετε την αντίστοιχη τερματική τάση.

3) Να υπολογίσετε την ισχύ φορτίου όταν η εσωτερική τάση είναι  $127V$  και η τερματική τάση  $124,5V$ .

### Άσκηση 6.

Η ισχύς στην έξοδο μιας γεννήτριας ΣΡ διεγέρσεως σειράς είναι  $27kW$ , ενώ η ισχύς στην έξοδο είναι  $25kW$  όταν η τερματική τάση είναι  $250V$ . Να υπολογίσετε την τάση τυμπάνου και την απόδοση της γεννήτριας, όταν η μηχανή παρέχει την ονομαστική ισχύ.

### Άσκηση 7.

Δίδεται γεννήτρια ΣΡ παράλληλης διεγέρσεως  $30kW$ ,  $250V$  με αντίσταση τυμπάνου  $0,124\Omega$  και αντίσταση τυλίγματος διεγέρσεως  $180\Omega$  αντίστοιχα. Να υπολογίσετε την τάση τυμπάνου και την απόδοση της γεννήτριας όταν η μηχανή παρέχει την ονομαστική ισχύ.

### Άσκηση 8.

Η γεννήτρια της ασκήσεως 7 λειτουργεί με απόδοση  $92\%$  με τερματική τάση  $250V$ . Να υπολογίσετε το ρεύμα τυμπάνου, την ισχύ στην είσοδο και στην έξοδο της μηχανής.

### Άσκηση 9.

Γεννήτρια ΣΡ με παράλληλη διέγερση  $50kW$ ,  $250V$  παρέχει το ονομαστικό φορτίο υπό ονομαστική τάση, όταν η τάση επαγωγικού τυμπάνου είναι  $255,1V$ . Θεωρήστε ότι η αντίσταση τυμπάνου είναι  $0,025\Omega$ . Να υπολογίσετε:

1) Την αντίσταση του τυλίγματος διεγέρσεως.

2) Την τάση του επαγωγικού τυμπάνου όταν η γεννήτρια λειτουργεί στο μισό του ονομαστικού φορτίου υπό ονομαστική τάση.

## 5.7 Κινητήρες ΣΡ – Εισαγωγή.

Ένας κινητήρας ΣΡ συμπεριφέρεται σαν μετατροπέας τάσεως-ροπής. Μετατρέπει ένα πλεκτρικό μέγεθος σε ένα αντίστοιχο μηχανικό, δημιουργώντας κίνηση. Ο κινητήρας ΣΡ αποτελείται από ένα σταθερό μέρος (στάτης), στο οποίο τοποθετούνται οι μαγνητικοί πόλοι και από ένα περιστρεφόμενο μέρος (δρομέας), στο οποίο τοποθετούνται τα τυλίγματα (κυκλώματα) του επαγωγικού τυμπάνου. Στο περιστρεφόμενο μέρος του κινητήρα τοποθετείται ο συλλέκτης.

### 5.7.1 Αρχή λειτουργίας ενός στοιχειώδους κινητήρα ΣΡ.

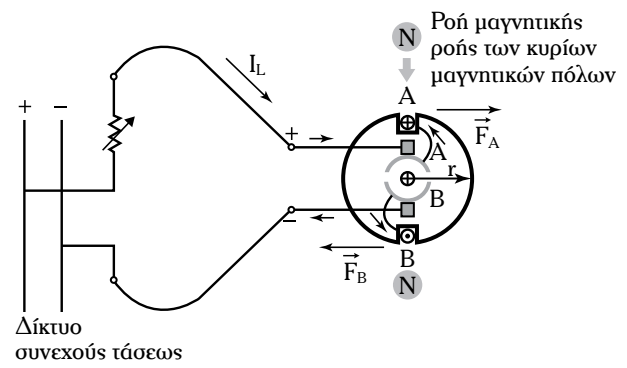
Στο σχήμα 5.7a, παρουσιάζεται ένας στοιχειώδης διπολικός κινητήρας ΣΡ.

Το επαγωγικό τύμπανο αποτελείται από μια σπείρα με βήμα όσο και το πολικό βήμα του κινητήρα. Ο αγωγός A διαρρέεται από ρεύμα με φορά από τον αναγνώστη προς τη σελίδα, ενώ ο αγωγός B διαρρέεται από ρεύμα με φορά από τη σελίδα προς τον αναγνώστη. Όταν ο αγωγός A βρίσκεται στον βόρειο πόλο (N) τότε δέχεται δύναμη Laplace, το μέτρο της οποίας είναι:

$$F_A = BI'_A \ell_A \quad (5.60)$$

όπου:  $B$  η μαγνητική επαγωγή του μαγνητικού πεδίου,  $I'_A$  η ένταση του ρεύματος του αγωγού A και  $\ell_A$  το ενεργό μήκος του αγωγού A.

Η δύναμη  $\dot{F}_A$  τείνει να περιστρέψει τον αγωγό στη φορά των δεικτών του ρολογιού. Αντίστοιχα, η δύναμη Laplace  $\dot{F}_B$  η οποία ασκείται στον αγωγό B όταν αυτός βρεθεί στον νότιο πόλο (S) τείνει να περιστρέψει τον αγωγό στη φορά των δεικτών του ρολογιού. Το ζευγάρι των δυνάμεων ( $\dot{F}_A$ ,  $\dot{F}_B$ ) ασκεί



**Σχ. 5.7a**  
Στοιχειώδης διπολικός κινητήρας ΣΡ.

ροπή στην οπείρα, την οποία περιστρέφει στην φορά των δεικτών του ρολογιού.

Όταν οι αγωγοί Α και Β βρεθούν στον ουδέτερο άξονα της μηχανής δεν δέχονται καμία δύναμη. Όταν περιστραφούν κατά 180° οι αγωγοί θα αλλάξουν θέση: ο αγωγός Α βρίσκεται στον νότιο πόλο, ενώ ο αγωγός Β στον βόρειο πόλο. Η φορά της ροπής στην οπείρα θα είναι εκείνη των δεικτών του ρολογιού, γιατί η παρουσία του συλλέκτη αλλάζει τόσο την φορά του μαγνητικού πεδίου όσο και την φορά του ρεύματος.

Ο συλλέκτης στους κινητήρες ΣΡ εξασφαλίζει μια ροπή στρέψεως σταθερής φοράς. Προκειμένου να αλλάξει η φορά περιστροφής των κινητήρων ΣΡ αρκεί να αλλάξει η φορά του ρεύματος στους αγωγούς του επαγωγικού τυμπάνου ή στο ρεύμα διεγέρσεως της μηχανής.

### 5.7.2 Ροπή στρέψεως των κινητήρων ΣΡ.

**Ροπή στρέψεως** ονομάζεται η ροπή, η οποία εξασφαλίζει την περιστροφική κίνηση του κινητήρα και δημιουργεί μηχανικό έργο.

Στον αγωγό Α (σχ. 5.7a), ασκείται δύναμη  $F_L = B_\mu I'_a \ell_A$ , ενώ η ροπή αυτής της δυνάμεως είναι:

$$T_A = F_A r \quad (5.61)$$

όπου:  $B_\mu$  η μέση τιμή της μαγνητικής επαγωγής του μαγνητικού πεδίου,  $I'_A$  η ένταση του ρεύματος του αγωγού Α,  $\ell_A$  το ενεργό μήκος του αγωγού Α και  $r$  η ακτίνα της περιφέρειας του δρομέα.

Αν  $B_\mu = \frac{\Phi}{\tau_p f_A}$ , όπου  $\tau_p = \frac{2\pi r}{P}$  το πολικό βήμα της μηχανής, τότε η ροπή στον αγωγό Α είναι:

$$T_A = \frac{P}{2\pi} \Phi I'_A \quad (5.62)$$

όπου  $P$  ο αριθμός των μαγνητικών πόλων.

Αν 2α είναι ο αριθμός των παραλλήλων κλάδων της μηχανής,  $I_a$  το ρεύμα του επαγωγικού τυμπάνου του κινητήρα είναι:  $I_a = \frac{I'_A}{2a}$

$$\text{και } T_A = \frac{P}{2a\pi} \Phi I_a \quad (5.63)$$

είναι η ροπή στρέψεως στον αγωγό Α.

Αν  $Z$  είναι ο συνολικός αριθμός των αγωγών του επαγωγικού τυμπάνου, η ροπή στρέψεως δύλων των αγωγών καθορίζει τη συνολική ροπή στρέψεως, η οποία ονομάζεται ροπή στρέψεως του κινητήρα ( $T$ ).

Είναι:  $T = ZI_a$  και τελικά:

$$T = K\Phi I_a \quad (5.64)$$

$$\text{με } K = \frac{P}{2a} \frac{Z}{2\pi}$$

μια σταθερή ροπή, η οποία είναι χαρακτηριστική για κάθε κινητήρα. Η ωφέλιμη (κύρια) μαγνητική ροή ανά πόλο είναι συνάρτηση του ρεύματος διεγέρσεως και του ρεύματος τυμπάνου του κινητήρα. Οπότε, η ροπή στρέψεως του κινητήρα ΣΡ είναι αποτέλεσμα της αλληλεπιδράσεως της μαγνητικής ροής  $\Phi$  και του ρεύματος τυμπάνου.

### 5.7.3 Μηχανική ισχύς κινητήρα ΣΡ.

Η μηχανική ισχύς του κινητήρα ΣΡ δίδεται από την ακόλουθη εξίσωση:

$$P_{out} = T_{a\xi} \omega \quad (5.65)$$

όπου:  $P_{out}$  η ισχύς εξόδου του κινητήρα,  $T_{a\xi}$  η ροπή στον άξονα του κινητήρα και  $\omega$  η γωνιακή ταχύτητα περιστροφής του κινητήρα.

**Απόδειξη:** Από το σχήμα 5.7a, προκύπτει ότι η στοιχειώδης ενέργεια  $dw$ , κατά την στοιχειώδη μετακίνηση  $dx$ , του αγωγού Α στην κατεύθυνση της δυνάμεως  $F_A$  είναι  $dw = F_A dx$ .

Σε αυτήν τη στοιχειώδη ενέργεια αντιστοιχεί η στοιχειώδης ισχύς:

$$P^* = F_A \frac{dx}{dt} = F_A v$$

όπου  $v$  η γραμμική ταχύτητα του αγωγού Α.

Στην περίπτωση της περιστροφικής κινήσεως ισχύει  $v = \omega r$ , οπότε  $P^* = P_{out} = F_A \omega r$ :

$$\text{όπου: } P^* = T_{a\xi} \omega \quad (5.66)$$

$$\text{και: } \omega = \frac{2\pi n}{60} \text{ rad/s.}$$

Η μηχανική ισχύς στην έξοδο του κινητήρα είναι:

$$P_{out} = T_{a\xi} \frac{2\pi n}{60} \text{ σε HP.} \quad (5.67)$$

### 5.7.4 Αντιπλεκτρεγερτική δύναμη κινητήρα ΣΡ (αντι-ΗΕΔ, $E_a$ ).

Οι αγωγοί Α και Β, που παρουσιάζονται στο σχήμα 5.7a μετακινούνται στη φορά των δεικτών του ρολογιού. Σε αυτούς τους αγωγούς αναπτύσσονται

τάσεις από επαγωγή, οι οποίες αντιτίθενται στις αιτίες που τις προκαλούν. Οι τάσεις αυτές είναι οι αντί-ΗΕΔ δυνάμεις, που αντιτίθενται στην κίνηση των αγωγών και έχουν ως προορισμό την ελάττωση του ρεύματος που δημιουργεί την κίνηση της μπχανής.

$$\text{Ισχύει: } E_a = K \Phi n \quad (5.68)$$

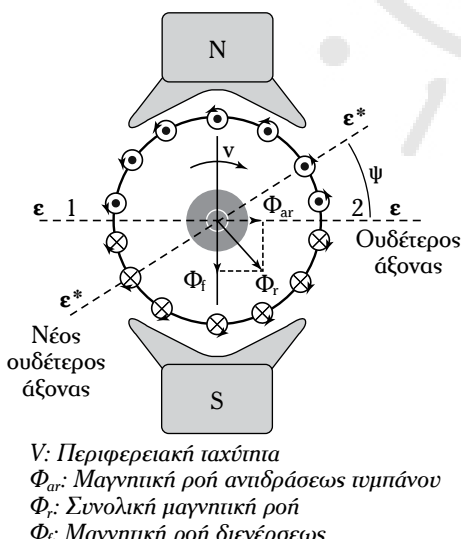
όπου  $K$  η σταθερά του κινητήρα,  $n$  οι στροφές ανά λεπτό (RPM ή ΣΑΛ) του κινητήρα και  $\Phi$  η κύρια μαγνητική ροή ανά πόλο.

Η αντί-ΗΕΔ, δημιουργεί μια ροπή αντιστάσεως ή πεδήσεως. Η ροπή αυτή εξουδετερώνεται από τον κινητήρα, ο οποίος αναπτύσσει μια ίση και αντίθετη ροπή στρέψεως. Η αντί-ΗΕΔ ενός κινητήρα αποτελεί 85–95% της τάσεως τροφοδοσίας του κινητήρα.

### 5.7.5 Αντίδραση τυμπάνου των κινητήρων ΣΡ.

Η επίδραση του μαγνητικού πεδίου του επαγωγικού τυμπάνου στο μαγνητικό πεδίο του στάπι δημιουργεί το φαινόμενο αντιδράσεως τυμπάνου (σχ. 5.7β).

Στους κινητήρες ΣΡ ενισχύονται μαγνητικά τα άκρα εισόδου των πεδίων των μαγνητικών πόλων και απομαγνητίζονται τα αντίστοιχα άκρα εξόδου. Ο ουδέτερος άξονας, ε-ε, μετατοπίζεται αντίθετα,  $\epsilon^* - \epsilon^*$ , προς τη φορά περιστροφής του κινητήρα. Οι κύριες επιπτώσεις του φαινομένου αντιδράσεως τυμπάνου είναι ο κορεσμός των μαγνητικών πόλων, οι απώλειες ισχύος, οι σπινθηρισμοί και η φθορά του συλλέκτη.



Σχ. 5.7β

Σχηματική παράσταση του φαινομένου αντιδράσεως τυμπάνου σε στοιχειώδη κινητήρα ΣΡ.

Στη λειτουργία χωρίς φορτίο η αντίδραση του επαγωγικού τυμπάνου είναι ελάχιστη. Στη λειτουργία με φορτίο, όταν το ρεύμα τυμπάνου αυξάνεται, τότε αυξάνεται και η γωνία μετατοπίσεως,  $\psi$ , του ουδέτερου άξονα, με αποτέλεσμα να δημιουργούνται οι προαναφερόμενες δυσμενείς επιπτώσεις στον κινητήρα.

Η αντιμετώπιση του φαινομένου αντιδράσεως τυμπάνου πραγματοποιείται με την τοποθέτηση βοηθητικών πόλων. Προορισμός των βοηθητικών μαγνητικών πόλων είναι να εξουδετερώθει η μαγνητική ροή  $\Phi_{ar}$ , του επαγωγικού τυμπάνου (σχ. 5.7β). Στη θέση 2 του ουδέτερου άξονα ε-ε, τοποθετείται ένας βόρειος βοηθητικός πόλος, ενώ στη θέση 1 του ουδέτερου άξονα, ε-ε, τοποθετείται ένας νότιος βοηθητικός πόλος.

Κατά την περιστροφή του κινητήρα, μετά από έναν βόρειο κύριο μαγνητικό πόλο ακολουθεί ένας βόρειος βοηθητικός και μετά από έναν νότιο κύριο μαγνητικό πόλο ακολουθεί ένας νότιος βοηθητικός. Τα πανία των βοηθητικών πόλων συνδέονται σε σειρά με το τύλιγμα τυμπάνου του κινητήρα και διαρρέονται από το ίδιο ρεύμα. Για κινητήρες μεγάλης ισχύος τα αποτελέσματα της αντιδράσεως τυμπάνου εξουδετερώνονται τοποθετώντας τυλίγματα αντισταθμίσεως στα πλέγματα των κυρίων μαγνητικών πόλων.

### 5.8 Είδη κινητήρων ΣΡ – Εισαγωγή.

Τα κυκλωματικά στοιχεία ενός κινητήρα ΣΡ δεν διαφέρουν απ' τα αντίστοιχα των γεννητριών ΣΡ, γιατί πρόκειται για την ίδια περιστροφική μπχανή ΣΡ.

Ανάλογα με τον τρόπο συνδέσεως των τυλιγμάτων διεγέρσεως του κινητήρα με το ισοδύναμο κύκλωμα του επαγωγικού του τυμπάνου διακρίνονται τα ακόλουθα είδη των κινητήρων ΣΡ.

1) Κινητήρες ΣΡ με **ανεξάρτητη διέγερση**, όταν το ισοδύναμο πλεκτρικό κύκλωμα διεγέρσεως δεν συνδέεται με το αντίστοιχο του επαγωγικού τυμπάνου.

2) Κινητήρες ΣΡ με **παράλληλη διέγερση**, όταν το ισοδύναμο πλεκτρικό κύκλωμα διεγέρσεως συνδέεται παράλληλα με το αντίστοιχο του επαγωγικού τυμπάνου.

3) Κινητήρες ΣΡ με **διέγερση σειράς**, όταν το ισοδύναμο πλεκτρικό κύκλωμα διεγέρσεως συνδέεται σε σειρά με το επαγωγικό τύμπανο.

4) Κινητήρες ΣΡ με **σύνθετη διέγερση**, όταν ένα μέρος του τυλίγματος διεγέρσεως συνδέεται σε σειρά με το επαγωγικό τύμπανο και το υπόλοιπο παράλληλα.

Στη μελέτη των κινητήρων ΣΡ παρουσιάζουν ενδιαφέρονταν οι χαρακτηριστικές καμπύλες οι οποίες

εκφράζουν την σχέση της ροπής στον άξονα του κινητήρα και της ταχύτητας περιστροφής του σε συνάρτηση με τα πλεκτρικά μεγέθη τα οποία υπάρχουν στο ισοδύναμο κύκλωμα του κινητήρα ΣΡ.

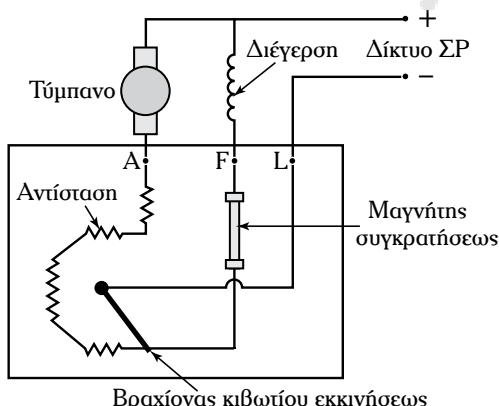
Δύο σημαντικά μεγέθη χαρακτηρίζουν τη λειτουργία των κινητήρων ΣΡ, η ταχύτητα, και η ροπή στον άξονά του  $T_{af}$ .

Η εφαρμογές στην βιομηχανία απαιτούν σταθερή ροπή για διάφορες τιμές της ταχύτητας περιστροφής των κινητήρων ΣΡ. Υπάρχουν, όμως, εφαρμογές στις οποίες απαιτείται σταθερή μηχανική ισχύς όταν μεταβάλλεται η ταχύτητα περιστροφής.

Ακολουθεί η ανάλυση λειτουργίας των κινητήρων ΣΡ οι οποίοι χρησιμοποιούνται, συνήθως, σε βιομηχανικές εφαρμογές.

### 5.8.1 Εκκίνηση των κινητήρων ΣΡ.

Την χρονική σπιγμή της εκκίνησης ο κινητήρας ΣΡ απορροφά ρεύμα, η τιμή του οποίου είναι 30 φορές μεγαλύτερη του ονομαστικού ρεύματος λειτουργίας του κινητήρα. Η αναπτυσσόμενη ροπή του κινητήρα λαμβάνει μεγάλες τιμές, με αποτέλεσμα να επιταχύνεται επικίνδυνα. Στον άξονά του δημιουργούνται ισχυρές φυγοκεντρικές δυνάμεις με καταστροφικές συνέπειες για τον κινητήρα. Η τιμή του ρεύματος εκκίνησης μειώνεται συνδέοντας σε σειρά έναν εκκινητή με το επαγωγικό τύμπανο (σύστημα αντιστάσεων χειροκίνητης εκκίνησης) (σχ. 5.8a). Η αντίσταση εκκίνησης μειώνεται βαθμιά, καθώς ο βραχίονας του κιβωτίου στρέφεται προς τα δεξιά. Τέλος, κρατείται στη θέση λειτουργίας από τον μαγνήτη συγκρατήσεως. Ο μαγνήτης συγκρατήσεως τροφοδοτείται από το ρεύμα του κυκλώματος διεγέρσεως και ενεργεί σαν διακόπτης στην περίπτωση



**Sx. 5.8a**

Σύστημα αντιστάσεως χειροκίνητης εκκίνησης (εκκινητής).

κατά την οποία μπορείται το ρεύμα διεγέρσεως.

Αν το κύκλωμα διεγέρσεως διακοπεί, ο μαγνήτης συγκρατήσεως απελευθερώνει τον βραχίονα, ο οποίος επιστρέφει στη θέση εκκίνησης. Με αυτόν τον τρόπο προστατεύεται ο κινητήρας γιατί όταν διακοπεί το κύκλωμα διεγέρσεως αναπτύσσεται υπερβολικός αριθμός στροφών με καταστρεπτικά αποτελέσματα για τον κινητήρα.

### 5.8.2 Κινητήρες ΣΡ με παράλληλη διέγερση.

Στο σχήμα 5.8β παρουσιάζεται το ισοδύναμο πλεκτρικό κύκλωμα ενός κινητήρα ΣΡ με παράλληλη διέγερση.

Σε αυτό το ισοδύναμο κύκλωμα αντιστοιχούν οι ακόλουθες εξισώσεις λειτουργίας του κινητήρα ΣΡ με παράλληλη διέγερση:

$$E_a = KΦn \quad (5.69)$$

$$V_t = E_a + I_a R_a \quad (5.70)$$

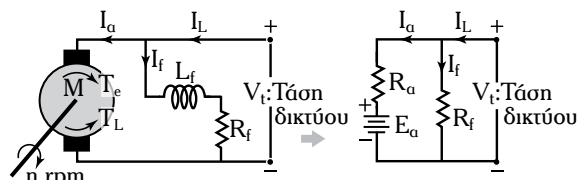
$$I_L = I_a + I_f \quad (5.71)$$

$$T \equiv T_e = K_1 (\equiv K) \Phi I_a \quad (5.72)$$

$$\Phi = \lambda I_f \quad (5.73)$$

όπου:  $E_a$  η αντί-ΗΕΔ του κινητήρα,  $K$  η κατασκευαστική σταθερή του κινητήρα,  $\Phi$  η ωφέλιμη ροή ανά πόλο,  $n$  η ταχύτητα περιστροφής του κινητήρα,  $V_t$  η τάση τροφοδοσίας του κινητήρα,  $I_a$  η ρεύμα τυμπάνου του κινητήρα,  $R_a$  η ωμική αντίσταση των τυλιγμάτων,  $I_L$  η ρεύμα γραμμής,  $I_f$  η ρεύμα διεγέρσεως,  $T$  η αναπτυσσόμενη ροπή του κινητήρα,  $K_1 \equiv K$  σταθερή και  $T_e$  η πλεκτρομαγνητική ροπή του κινητήρα.

Ισχύει  $\Phi = \lambda I_f$  όταν ο κινητήρας λειτουργεί στο γραμμικό τμήμα της μαγνητικής χαρακτηριστικής του, εκεί όπου η μαγνητική ροή είναι ευθέως ανάλογη του ρεύματος διεγέρσεως. Το  $\lambda$  είναι ένας συντελεστής αναλογίας.



**Sx. 5.8β**

Ισοδύναμο κύκλωμα κινητήρα με παράλληλη διέγερση.

Η συμπεριφορά του κινητήρα σε παράλληλη διέγερση αναλύεται μελετώντας τις ακόλουθες χαρακτηριστικές καμπύλες.

### 1) Χαρακτηριστική καμπύλη ροπής-ρεύματος τυμπάνου:

$$T = f(I_a) \quad (5.74)$$

όπου:  $V_t$  = σταθ. και  $I_f$  = σταθ..

Από τις εξισώσεις 5.72 και 5.73 προκύπτει:

$$T = K(\equiv K_1) \Phi I_a. \quad (5.75)$$

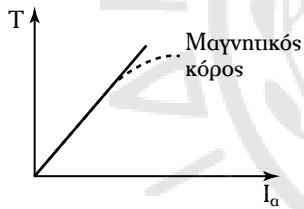
Αν ληφθούν υπόψη οι περιοριστικές συνθήκες  $V_t$  = σταθ. και  $I_f$  = σταθ. η εξίσωση 5.75, γράφεται ως εξής:

$$T = \mu I_a \quad (5.76)$$

όπου  $\mu = K\lambda I_f$  = σταθ..

Η γραφική παράσταση της εξισώσεως 5.76 είναι μια ευθεία γραμμή, η οποία διέρχεται από την αρχή των αξόνων (σχ. 5.8γ).

Για μεγάλες τιμές του  $I_a$  η ευθεία εκφυλίζεται σε καμπύλη (διακεκομένες γραμμές) γιατί ενεργοποιείται ο κορεσμός του σιδηρομαγνητικού υλικού του δρομέα.



**Σχ. 5.8γ**

Γραφική παράσταση της συναρτήσεως  $T = f(I_a)$ , όπου:  $V_t$  = σταθ. και  $I_f$  = σταθ..

### 2) Χαρακτηριστική καμπύλη ροπής-ταχύτητας περιστροφής:

$$T = f(n)$$

όπου:  $V_t$  = σταθ. και  $I_f$  = σταθ..

Από τις εξισώσεις 5.69, 5.70 και την 5.73 προκύπτει:

$$I_a = \frac{V_t - E_a}{R_a} = \frac{V_t - K\Phi n}{R_a} = \frac{V_t - K\lambda I_f n}{R_a}. \quad (5.77)$$

Η εξίσωση 5.72 με βάση τις εξισώσεις 5.73 και 5.77 με  $K = K_1$  γίνεται:

$$T = K\lambda I_f \left( \frac{V_t - K\lambda I_f n}{R_a} \right)$$

$$\text{ή} \quad T = \frac{K\lambda I_f V_t}{R_a} - \frac{K^2 \lambda^2 I_f^2}{R_a} n. \quad (5.78)$$

Η εξίσωση 5.78 είναι μία ευθεία γραμμή:

$$T = \beta - \alpha n \quad \text{με} \quad \beta \equiv T_o = \frac{K\lambda I_f V_t}{R_a}$$

$$\alpha = \frac{K^2 \lambda^2 I_f^2}{R_a}. \quad (5.79)$$

Στο σχήμα 5.8δ, παρουσιάζεται η γραφική παράσταση της συναρτήσεως

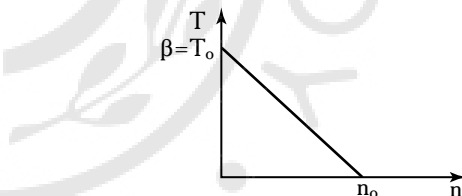
$$T = f(n)$$

όπου:  $V_t$  = σταθ. και  $I_f$  = σταθ..

Στην περίπτωση κατά την οποία η ροπή  $T = 0$  (λειτουργία χωρίς φορτίο) από την εξίσωση 5.78 προκύπτει η ταχύτητα περιστροφής κατά τη λειτουργία του κινητήρα χωρίς φορτίο:

$$n_o = \frac{V_t}{K\lambda I_f}. \quad (5.80)$$

Η ταχύτητα περιστροφής του κινητήρα όταν λειτουργεί χωρίς φορτίο είναι ευθέως ανάλογη της τάσεως τροφοδοσίας του και αντιστρόφως ανάλογη του ρεύματος διεγέρσεως (μαγνητική ροή).



**Σχ. 5.8δ**

Γραφική παράσταση της  $T = f(n)$  με  $V_t$  = σταθ. και  $I_f$  = σταθ..

### 3) Χαρακτηριστική καμπύλη ταχύτητας περιστροφής ρεύματος τυμπάνου:

$$n = f(I_a)$$

όπου:  $V_t$  = σταθ. και  $I_f$  = σταθ..

Από τις εξισώσεις 5.69, 5.70 και 5.73 προκύπτει:

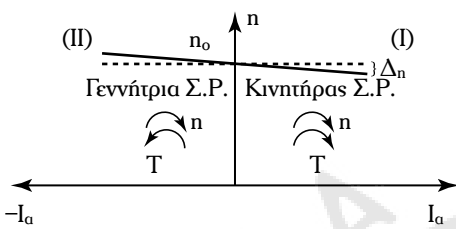
$$n = \frac{E_a}{K\Phi} = \frac{E_a}{K\lambda I_f} = \frac{V_t - I_a R_a}{K\lambda I_f} \quad (5.81)$$

$$\text{ή} \quad n = \frac{V_t}{K\lambda I_f} - \frac{R_a}{K\lambda I_f} I_a. \quad (5.82)$$

Η γραφική παράσταση της εξισώσεως 5.82, είναι μια ευθεία γραμμή με αρνητική κλίση (σχ. 5.8ε).

Επειδή ο παράγοντας  $\frac{R_a}{K\lambda I_f}$  είναι πολύ μικρός, ο κινητήρας ΣΡ με παράλληλη διέγερση θεωρείται στην πράξη κινητήρα σταθερών στροφών.

Η χαρακτηριστική καμπύλη της εξισώσεως 5.82, συνεχίζεται στο II τεταρτημόριο και εκφράζει την σχέση της ταχύτητας περιστροφής και ρεύματος τυμπάνου στην περίπτωση της γεννήτριας ΣΡ.



Σχ. 5.8ε

Γραφική παράσταση (πρώτο τεταρτημόριο) της συναρτήσεως  $n = f(I_a)$  όπου:  $V_t = \text{σταθ.}$  και  $I_f = \text{σταθ.}$

### - Ενστάθεια λειτουργίας του κινητήρα ΣΡ με παράλληλη διέγερση.

Έστω ότι ο κινητήρας λειτουργεί σε κάποιο φορτίο, στην κανονική ταχύτητα περιστροφής του. Σε κάποια χρονική στιγμή το φορτίο στον άξονα της μηχανής αυξάνεται (αυξάνεται  $n T_{ae}$ ).

Ο κινητήρας παρουσιάζει ένα έλλειμμα ροπής στρέψεως  $T_e$ , σε σχέση με την **ανθιστάμενη ροπή**<sup>9</sup>  $T_r$ , του φορτίου:  $T_e < T_r$  και  $T_e - T_r < 0$ . Οπότε, η ταχύτητα περιστροφής γίνεται μικρότερη της ονομαστικής του τιμής. Αποτέλεσμα αυτού είναι η μείωση της αντί-ΗΕΔ, η οποία εξαρτάται από τον αριθμό στροφών της μηχανής. Στη συνέχεια αυξάνεται το ρεύμα τυμπάνου και αυξάνεται η ροπή στρέψεως  $T_e$ . Η ισορροπία αποκαθίσταται όταν  $T_e = T_r$ , ενώ αυξάνονται λίγο οι στροφές του κινητήρα. Αντίστροφη αντίδραση παρουσιάζει ο κινητήρας όταν μειωθεί το φορτίο στον άξονά του.

Ο κινητήρας απορροφά από το δίκτυο μικρότερη ισχύ έτσι, ώστε να πραγματοποιείται, πάλι, η ισορροπία ροπών. Όταν στον άξονα του κινητήρα δεν συνδέεται φορτίο (λειτουργία χωρίς φορτίο) ο κινητήρας απορροφά από το δίκτυο μια ισχύ για να εξισορροπίσει τις απώλειες πυρήνα και τις απώλειες λόγω τριβών και ανεμισμού, ενώ η ταχύτητα περιστροφής του είναι μεγαλύτερη απ' την ονομαστική της τιμή.

### 5.8.3 Κινητήρας ΣΡ με διέγερση σειράς.

Στο σχήμα 5.8στ, παρουσιάζεται το ισοδύναμο κύκλωμα ενός κινητήρα ΣΡ με διέγερση σειράς.

Οι εξισώσεις λειτουργίας του κινητήρα είναι:

$$E_a = K\Phi n \quad (5.83)$$

$$V_t = E_a + I_a (R_a + R_s) \quad (5.84)$$

$$I_L = I_a = I_s \quad (5.85)$$

$$T = K(\equiv K_1) \Phi I_a \quad (5.86)$$

$$\Phi = \lambda I_a (\equiv I_s \equiv I_L). \quad (5.87)$$

Ο κινητήρας λειτουργεί στο γραμμικό τμήμα της μαγνητικής χαρακτηριστικής του.

Η συμπεριφορά του κινητήρα ΣΡ με διέγερση σειράς αναλύεται μελετώντας τις ακόλουθες χαρακτηριστικές καμπύλες.

### 1) Χαρακτηριστική καμπύλη ρεύματος τυμπάνου-στροφών:

$$I_a = f(n)$$

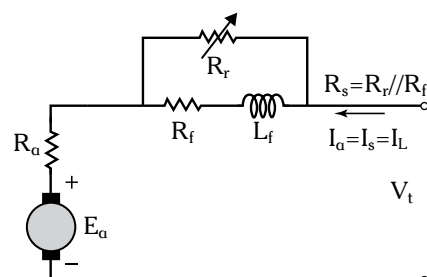
όπου:  $V_t = \text{σταθ.}$  και  $I_f = \text{σταθ..}$

Η εξίσωση 5.84 με βάση τις εξίσωσεις 5.83 και 5.87 γίνεται:

$$V_t = K\Phi n + I_a (R_a + R_s) = K\lambda I_a + I_a (R_a + R_s) \quad (5.88)$$

Από την εξίσωση 5.88, προκύπτει:

$$I_a = \frac{V_t}{K\lambda n + (R_a + R_s)}. \quad (5.89)$$



Σχ. 5.8στ

Κινητήρας ΣΡ με διέγερση σειράς.

<sup>9</sup>  $T_r$  είναι η ανθιστάμενη ροπή, η οποία αναπτύσσεται από το φορτίο στον άξονα του κινητήρα.

### - Διερεύνηση της εξισώσεως 5.89.

Τη σπιγμή της εκκινήσεως του κινητήρα με  $V_t = \text{σταθ.}$ ,  $R_s = \text{σταθ.}$  και αμελητέα πτώση τάσεως από το φαινόμενο της αντιδράσεως τυμπάνου, η ταχύτητα περιστροφής του  $n$ , και η αντί-ΗΕΔ  $E_a$ , είναι μηδενική αντίστοιχα.

Σε αυτήν την κατάσταση λειτουργίας (λειτουργία χωρίς φορτίο), από την εξίσωση 5.89 για  $n = 0$ , ο κινητήρας απορροφά από το δίκτυο μεγάλο ρεύμα (ρεύμα εκκινήσεως  $I_{\text{αεκ}}$ ) το οποίο είναι:

$$I_a = \frac{V_t}{(R_a + R_s)}. \quad (5.90)$$

Από τις εξισώσεις 5.90 και 5.86, όταν το ρεύμα εκκινήσεως  $I_{\text{αεκ}}$ , είναι μεγάλο, είναι μεγάλη και η ροπή  $T$ .

Όταν, όμως, ολοκληρωθεί η διαδικασία εκκινήσεως του κινητήρα, η ταχύτητα αυξάνεται, η αντί-ΗΕΔ αυξάνεται και το ρεύμα το οποίο απορροφά από το δίκτυο μειώνεται. Η μείωση του ρεύματος προκαλεί μείωση της μαγνητικής ροής  $\Phi$ , οπότε μειώνεται και η ροπή μέχρι να μηδενιστεί (λειτουργία χωρίς φορτίο). Τότε έχουμε:

$$\left. \begin{aligned} T &= K\Phi I_a \\ T &= K\Phi \left( \frac{V_t - K\Phi n}{R_a + R_s} \right) \\ T &= 0 \end{aligned} \right\} \Rightarrow n_{x,\Phi} = \frac{V_t}{K\Phi}$$

και  $E_a(n_{x,\Phi}) = V_t$

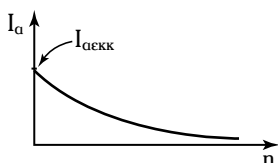
και  $I_a = 0 \text{ A}, I_s = 0 \text{ A}, \Phi = 0 \text{ Wb}$

και  $n_{x,\Phi} = \infty. \quad (5.91)$

όπου  $n_{x,\Phi}$  η ταχύτητα περιστροφής χωρίς φορτίο.

Αυτός είναι ο λόγος, για τον οποίο ο κινητήρας με διέγερση σειράς πρέπει να εκκινείται, πάντοτε, με το φορτίο συνδεμένο στους ακροδέκτες του.

Στο σχήμα 5.8ζ, παρουσιάζεται η γραφική παρά-



**Σχ. 5.8ζ**

Γραφική παράσταση της χαρακτηριστικής ρεύματος τυμπάνου-στροφών ενός κινητήρα ΣΡ με διέγερση σειράς.

στασης της συναρτήσεως:  $I_a = f(n)$ .

Στην κατάσταση χωρίς φορτίο και όταν  $I_a = 0 \text{ A}$ , στο εσωτερικό του κινητήρα, πρακτικά, υπάρχει η μαγνητική ροή, η οποία οφείλεται στην παραμένουσα μαγνητική.

### 2) Χαρακτηριστική καμπύλη ροπής-ταχύτητας περιστροφής:

$$T = f(n)$$

όπου:  $V_t = \text{σταθ..}$

Η εξίσωση 5.86 με βάση την εξίσωση 5.87, γίνεται:

$$T = K\lambda I_a^2$$

$$\text{και } I_a = \sqrt{\frac{T}{K\lambda}}. \quad (5.92)$$

Η εξίσωση 5.84 με βάση τις εξισώσεις 5.83, 5.86, 5.87 και 5.92, γίνεται:

$$\begin{aligned} V_t &= E_a + I_a(R_a + R_s) = \\ &= K\Phi n + \sqrt{\frac{T}{K\lambda}}(R_a + R_s) \end{aligned}$$

η οποία με κατάλληλη μαθηματική επεξεργασία δίδει:

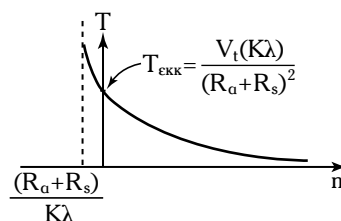
$$V_t = K\sqrt{\frac{\lambda}{K}}\sqrt{T} \cdot n + \sqrt{\frac{T}{K\lambda}} \cdot (R_a + R_s). \quad (5.93)$$

Λύνοντας την εξίσωση 5.93, ως προς  $n$ , έχουμε:

$$n = \frac{V_t}{\sqrt{K\lambda} \cdot \sqrt{T}} - \frac{1}{K\lambda} \cdot (R_a + R_s). \quad (5.94)$$

Η ταχύτητα περιστροφής του κινητήρα είναι αντιστρόφως ανάλογη της τετραγωνικής ρίζας της ροπής. Στο σχήμα 5.8η, δίδεται η γραφική παράσταση της σχέσεως ροπής-ταχύτητας περιστροφής του κινητήρα.

Από την εξίσωση 5.94, όταν  $T \rightarrow 0$  τότε  $n \rightarrow \infty$ .



**Σχ. 5.8η**

Γραφική παράσταση της σχέσεως ροπής-ταχύτητας ενός κινητήρα ΣΡ με διέγερση σειράς.

#### 5.8.4 Κινητήρας ΣΡ με σύνθετη διέγερση.

Στο σχήμα 5.8θ, παρουσιάζονται τα ισοδύναμα κυκλώματα κινητήρων ΣΡ με σύνθετη διέγερση μακρινής διακλαδώσεως και βραχείας διακλαδώσεως αντίστοιχα.

Εφαρμόζοντας του Kavóves του Kirchhoff για τον κινητήρα ΣΡ με σύνθετη διέγερση γενικά προκύπτει:

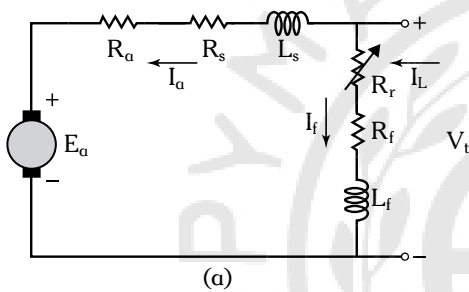
$$V_t = E_a + I_a(R_a + R_s). \quad (5.95)$$

και

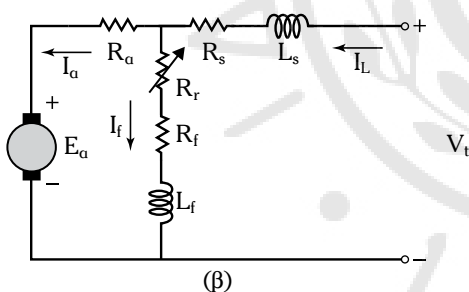
$$I_a = I_L - I_f. \quad (5.96)$$

Για το κύκλωμα διεγέρσεως ισχύει ο Νόμος του Ohm.

$$I_f = \frac{V_t}{R_c + R_f}. \quad (5.97)$$



(a)



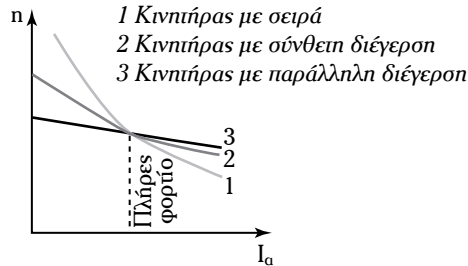
Σχ. 5.8θ

Ισοδύναμο κύκλωμα κινητήρα με σύνθετη διέγερση  
(a) μακρινής και (b) βραχείας διακλαδώσεως.

Στο σχήμα 5.8ι δίδεται η χαρακτηριστική  $n = f(I_a)$  του κινητήρα ΣΡ με σύνθετη διέγερση.

Η επιβαλλόμενη τάση  $V_t$  είναι σταθερή, όπως είναι σταθερό και το ρεύμα διεγέρσεως  $I_f$ . Το ρεύμα στο τύλιγμα σειράς αυξάνεται με το φορτίο, ώστε η ροή ανά πόλο αυξάνεται με το φορτίο, αλλά όχι τόσο γρήγορα όσο στον κινητήρα σειράς.

Στο σχήμα 5.8ι περιλαμβάνονται οι καμπύλες ενός κινητήρα σειράς κι ενός με παράλληλη διέγερση με την ίδια ροπή και στροφές ανά λεπτό στο πλήρες



Σχ. 5.8ι

Χαρακτηριστική  $n = f(I_a)$  του κινητήρα με σύνθετη διέγερση.

φορτίο, οι οποίες συγκρίνονται με την αντίστοιχη χαρακτηριστική του κινητήρα με σύνθετη διέγερση.

Σε πολλές περιπτώσεις η μαγνητική ροή της παράλληλης διεγέρσεως είναι αρκετή για να εξασφαλίσει έναν ανεκτό αριθμό στροφών στη λειτουργία χωρίς φορτίο.

#### 5.8.5 Κατανομή ισχύος στους κινητήρες ΣΡ.

Οι κινητήρες ΣΡ απορροφούν πλεκτρική ισχύ  $P_{in}$ , από το δίκτυο:

$$P_{in} = V_t I_L [W] \quad (5.98)$$

όπου:  $V_t$  η τάση τροφοδοσίας σε [V] και  $I_L$  το ρεύμα γραμμής σε [A].

Η  $P_{in}$  κατανέμεται σε τρία μέρη:

1) Στις σταθερές απώλειες  $P_c$ , οι οποίες είναι οι απώλειες λόγω τριβών και ανεμισμού και οι απώλειες πυρίνα.

2) Στις μεταβλητές απώλειες, οι οποίες είναι οι απώλειες χαλκού  $P_{cu}$ .

3) Στην ωφέλιμη ισχύ  $P_{out}$  η οποία είναι η ισχύς εξόδου  $P_{out}$ , του κινητήρα.

Γενικά, η πλεκτρική ισχύς την οποία απορροφά από το δίκτυο ένας κινητήρα ΣΡ με παράλληλη διέγερση είναι:

$$V_t I_L = V_t I_f + I_a^2 R_a + E_a I_a. \quad (5.99)$$

Η εξίσωση δίδει τη διαδικασία μετατροπής της πλεκτρικής ισχύος σε μηχανική. Η πλεκτρική ισχύς, την οποία απορροφά ο κινητήρας  $V_t I_L$  κατανέμεται ως εξής:

1) Ένα μέρος της καλύπτει τις απώλειες στο τύλιγμα διεγέρσεως  $P_{cu} = V_t I_f$  κι ένα μέρος τις απώλειες χαλκού του επαγωγικού τυμπάνου του δρομέα  $P_{cua} = I_a^2 R_a$ .

2) Το υπόλοιπο μέρος μεταφέρεται πλεκτρομαγνητικά στο επαγωγικό τύμπανο:

$$P_e = E_a I_a \quad (5.100)$$

όπου:  $P_e$  η μετατροπή της πλεκτρικής ισχύος σε μηχανική.

$$\text{Είναι: } P_e = P_\ell + P_{\text{out}}. \quad (5.101)$$

Η απόδοση του κινητήρα ΣΡ με παράλληλη διέγερση είναι:

$$\eta = \frac{P_{\text{out}}}{P_{\text{in}}} \cdot 100$$

$$\text{ή } \eta = \frac{P_{\text{out}}}{P_{\text{in}}} = \frac{P_{\text{out}}}{P_{\text{out}} + P_i + \sum P_{cu}} \quad (5.102)$$

όπου  $\sum P_{cu}$  οι συνολικές πλεκτρικές απώλειες.

### 5.9 Ρύθμιση ταχύτητας περιστροφής των κινητήρων ΣΡ – Εισαγωγή.

Η συμπεριφορά των κινητήρων ΣΡ χαρακτηρίζεται από δύο θεμελιώδη χαρακτηριστικά μεγέθη, την ταχύτητα και την ροπή στρέψεως. Στις βιομηχανικές εφαρμογές απαιτείται σταθερή ροπή για διάφορες ταχύτητες περιστροφής όπως και σε άλλες εφαρμογές απαιτείται η ισχύς να διατηρείται σταθερή όταν μεταβάλλεται η ταχύτητα περιστροφής των κινητήρων.

Στη συνέχεια, δίδονται οι βασικές μέθοδοι ρυθμίσεως της ταχύτητας περιστροφής, κυρίως των κινητήρων ΣΡ με παράλληλη διέγερση.

#### 5.9.1 Τρόποι ρυθμίσεως της ταχύτητας περιστροφής των κινητήρων ΣΡ.

Απ' τον συνδυασμό των εξισώσεων 5.69 και 5.70 προκύπτουν οι ακόλουθοι τέσσερεις τρόποι ρυθμίσεως της ταχύτητας περιστροφής των κινητήρων ΣΡ:

##### 1) Ρύθμιση της τάσεως $V_a$ στα άκρα του επαγωγικού τυμπάνου.

Σε αυτόν τον τρόπο ρυθμίσεως της ταχύτητας περιστροφής του κινητήρα μεταβάλλεται η τάση  $V_a$ , ενώ οι τιμές της αντιστάσεως τυμπάνου και του ρεύματος διεγέρσεως διατηρούνται σταθερές. Το ρεύμα διεγέρσεως διατηρείται σταθερό στην ονομαστική του τιμή, ώστε να αναπύσσεται η μεγαλύτερη τιμή της ροπής.

Στο σχήμα 5.9α, παρουσιάζεται η διαδικασία μεταβολής της τάσεως τυμπάνου μέσω ενός πλεκτρικού μετατροπέα, ο οποίος μετασχηματίζει την ισχύ συνεχούς ρεύματος με σταθερή τάση σε ισχύ συνεχούς ρεύματος με μεταβαλλόμενη τάση.

Αυτή η μέθοδος μεταβολής της τάσεως τυμπάνου,

ισχύει για κινητήρες ΣΡ με ανεξάρτητη ή παράλληλη διέγερση.

Όταν η τάση  $V_a$  αυξάνεται, τότε αυξάνεται και το ρεύμα  $I_a$  του επαγωγικού τυμπάνου:

$$I_a \uparrow = \frac{V_a \uparrow - E_a}{R_a}. \quad (5.103)$$

Στη συνέχεια αυξάνεται η ροπή  $T$ :

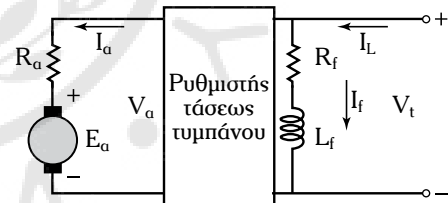
$$T \uparrow = K \Phi I_a \uparrow. \quad (5.104)$$

Οπότε ισχύει  $T > T_r$  (ανθιστάμενη ροπή του κινητήρα) και ο κινητήρας επιταχύνεται. Αντίστοιχα, προκαλείται αύξηση της αντι-ΗΕΔ,  $E_a : E_a \uparrow = K \Phi n \uparrow$ , η οποία προκαλεί μείωση του ρεύματος τυμπάνου με αποτέλεσμα να μειωθεί η ροπή  $T$  και να γίνει ίση με την ροπή  $T_r$  σε μια ταχύτητα περιστροφής,  $n$ , μεγαλύτερη από την αρχική (σχ. 5.9β).

Τα βήματα της διαδικασίας ρυθμίσεως στροφών ενός κινητήρα ΣΡ με παράλληλη (ή ανεξάρτητη) διέγερση, ρυθμίζοντας την τάση στα άκρα του επαγωγικού τυμπάνου, είναι τα ακόλουθα:

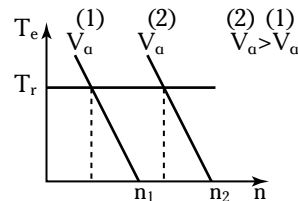
**Βήμα 1°:** Αυξάνεται η τάση  $V_a$ , οπότε προκαλείται αύξηση του ρεύματος  $I_a$ :

$$I_a \uparrow = \frac{V_a \uparrow - E_a}{R_a}.$$



Σχ. 5.9α

Έλεγχος της τάσεως τυμπάνου για κινητήρα με ανεξάρτητη ή παράλληλη διέγερση.



Σχ. 5.9β

Έλεγχος στροφών κινητήρα ΣΡ με παράλληλη ανεξάρτητη διέγερση, μεταβάλλοντας την τάση στα άκρα του επαγωγικού τυμπάνου.

**Βήμα 2°:** Όταν το  $I_a$  αυξάνεται, τότε αυξάνεται η ροπή  $T: T \uparrow = K\Phi I_a \uparrow$

**Βήμα 3°:** Ισχύει  $T > T_r$ , οπότε ο κινητήρας επιταχύνεται.

**Βήμα 4°:** Προκαλέται αύξηση των στροφών  $n$  και αύξηση της αντί-ΗΕΔ  $E_a: E_a \uparrow = K\Phi n \uparrow$ .

**Βήμα 5°:** Η αύξηση της  $E_a$  προκαλεί μείωση του  $I_a$ :

$$I_a \downarrow = \frac{V_a - E_a \uparrow}{R_a}.$$

**Βήμα 6°:** Προκαλείται μείωση της ροπής  $T$  μέχρι να ισχύει  $T = T_r$  σε ταχύτητα μεγαλύτερη της αρχικής.

## 2) Ρύθμιση της μαγνητικής ροής $\Phi$ .

Η ρύθμιση της μαγνητικής ροής  $\Phi$  επιτυγχάνεται με ρύθμιση του ρεύματος διεγέρσεως, ειδικά στους κινητήρες ΣΡ με παράλληλη διέγερση.

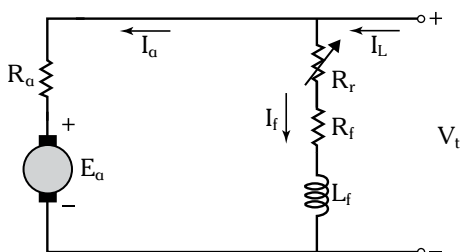
Η μέθοδος ρυθμίσεως της ταχύτητας του κινητήρα (ρυθμίζοντας τη μαγνητική ροή  $\Phi$ ) απαιτεί την σταθερότητα της τιμής της αντιστάσεως τυμπάνου  $R_a$  και της τάσεως τροφοδοσίας  $V_t$ . Η ταχύτητα περιστροφής του κινητήρα μεταβάλλεται με κατάλληλη ρύθμιση του ρεύματος διεγέρσεως (σχ. 5.9γ).

Από τις εξισώσεις 5.69, 5.70 και 5.72 προκύπτει ότι η σχέση μεταξύ ταχύτητας περιστροφής του κινητήρα ΣΡ με παράλληλη διέγερση και της ροπής  $T$  είναι:

$$n = \frac{V_t}{K\Phi} - \frac{R_a}{K^2\Phi^2} T. \quad (5.105)$$

Αυξάνοντας την τιμή της αντιστάσεως διεγέρσεως  $R_f$ , μειώνεται το ρεύμα διεγέρσεως  $I_f \left( I_f \downarrow = \frac{V_t}{R_f} \uparrow \right)$ , οπότε μειώνεται η μαγνητική ροή  $\Phi$ .

Στη συνέχεια, μειώνεται στιγμιαία η  $E_a$  ( $E_a \downarrow = K\Phi \downarrow n$ ) με αποτέλεσμα να αυξηθεί η τιμή του ρεύματος τυμπάνου  $I_a$ :  $\left( I_a \uparrow = \frac{V_a - E_a \downarrow}{R_a} \right)$ .



Σχ. 5.9γ

Ρύθμιση του ρεύματος διεγέρσεως.

Καθώς αυξάνεται το  $I_a$  αυξάνεται η ροπή  $T (T \uparrow = K\Phi I_a \uparrow)$  γιατί το ποσοστό αυξήσεως του ρεύματος τυμπάνου είναι μεγαλύτερο από το ποσοστό μειώσεως της μαγνητικής ροής. Όταν αυξάνεται η ροπή  $T$  τότε ισχύει  $T > T_r$  και η ταχύτητα περιστροφής αυξάνεται.

Τελικά, από την εξισώση 5.105, όσο μειώνεται η μαγνητική ροή  $\Phi$  τόσο αυξάνεται το σημίτος των καμπυλών με παράμετρο την μαγνητική ροή  $\Phi$ .

Οι ευθείες στο σχήμα 5.9δ, δεν είναι παράλληλες γιατί στο δεύτερο μέλος της εξισώσεως 5.105, ο παρονομαστής περιλαμβάνει το τετράγωνο της μαγνητικής ροής.

Τα βήματα της διαδικασίας ρυθμίσεως της ταχύτητας περιστροφής ενός κινητήρα ΣΡ με παράλληλη διέγερση, παρεμβαίνοντας στο κύκλωμα διεγέρσεως της μηχανής, είναι:

**Βήμα 1°:** Αύξηση της  $R_f$  προκαλεί μείωση της εντάσεως του ρεύματος διεγέρσεως  $I_f$ .

**Βήμα 2°:** Μείωση του  $I_f$  προκαλεί μείωση της μαγνητικής ροής  $\Phi$ .

**Βήμα 3°:** Μείωση της μαγνητικής ροής  $\Phi$  σημαίνει μικρότερη τιμή της αντί-ΗΕΔ,  $E_a$ .

**Βήμα 4°:** Μείωση της αντί-ΗΕΔ, προκαλεί αύξηση του ρεύματος τυμπάνου.

**Βήμα 5°:** Αύξηση του  $I_a$  προκαλεί αύξηση της ροπής  $T$ .

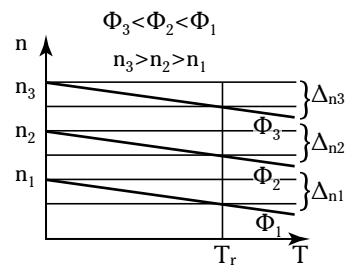
**Βήμα 6°:** Αύξηση της ροπής  $T (T > T_r)$  αυξάνει την ταχύτητα περιστροφής, οπότε ο κινητήρας επιταχύνεται.

**Βήμα 7°:** Επιτάχυνοντας την κινητήρα προκαλεί αύξηση της αντί-ΗΕΔ,  $E_a$ .

**Βήμα 8°:** Το ρεύμα  $I_a$  μειώνεται.

**Βήμα 9°:** Από το βήμα 8 η ροπή  $T$  μειώνεται μέχρι να συμβεί  $T = T_r$ , αλλά τώρα έχουμε μεγαλύτερη ταχύτητα περιστροφής από την αρχική.

Αυτή η μέθοδος ρυθμίσεως στροφών ισχύει για μεταβολή στροφών σε περιοχή μεγαλύτερη των αντιστοίχων ονομαστικών. Το διάστημα ρυθμίσεως είναι



Σχ. 5.9δ

Ρύθμιση της μαγνητικής ροής  $\Phi$ .

1:3 ή 1:4. Για πολύ μεγάλο αριθμό στροφών αναπτύσσονται, μεγάλης τιμής, φυγοκεντρικές δυνάμεις με έντονη παρουσία του φαινομένου αντιδράσεως τυμπάνου.

### 3) Ρύθμιση της αντιστάσεως του τυλίγματος τυμπάνου $R_L$ .

Σε αυτήν την μέθοδο ρυθμίσεως της ταχύτητας περιστροφής, κυρίως, των κινητήρων ΣΡ με παράλληλη διεγέρση, η τάση τροφοδοσίας τους και το ρεύμα διεγέρσεώς τους διατηρούνται σταθερά στις ονομαστικές τους τιμές. Η ταχύτητα περιστροφής ρυθμίζεται συνδέοντας σε σειρά με το επαγωγικό μια κατάλληλη αντίσταση  $R_L$  (σχ. 5.9e).

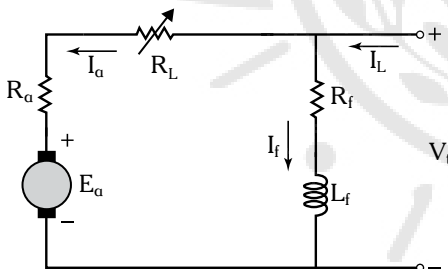
Η εξίσωση 5.72, με βάση τις εξισώσεις 5.69 και 5.70, γίνεται:

$$T = \frac{K\Phi V_t}{R_a + R_L} - \frac{K^2 \Phi^2}{R_a + R_L} n. \quad (5.106)$$

Αν  $\Phi$  και  $V_t$  είναι σταθερά μεγέθη, τότε η εξίσωση 5.106 γίνεται:

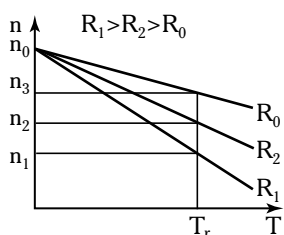
$$T = \frac{K}{R_a + R_L} - \frac{K\Phi}{R_a + R_L} n. \quad (5.107)$$

Μεταβάλλοντας την τιμή της αντιστάσεως  $R_L$ , μεταβάλλεται απότομα η κλίση της χαρακτηριστικής καμπύλης  $n = f(T)$  (σχ. 5.9στ).



Σχ. 5.9ε

Ρύθμιση ταχύτητας περιστροφής κινητήρα ΣΡ μεταβάλλοντας την αντίσταση τυμπάνου.



Σχ. 5.9στ

Χαρακτηριστικές καμπύλες  $n = f(T)$ , όταν μεταβάλλεται η τιμή της αντιστάσεως  $R_L$ .

Η ρύθμιση της ταχύτητας περιστροφής του κινητήρα ΣΡ με παράλληλη διεγέρση, μεταβάλλοντας την τιμή της  $R_L$ , είναι απλή, αλλά δεν είναι αποτελεσματική γιατί δημιουργούνται μεγάλες απώλειες Joule.

### 4) Συνδυασμός της μεθόδου ρυθμίσεως της τάσεως στα άκρα του επαγωγικού τυμπάνου με τη μέθοδο ρυθμίσεως της ροής διεγέρσεως $\Phi$ .

Όταν ένας κινητήρας ΣΡ λειτουργεί στα ονομαστικά του μεγέθη, τότε θα περιστρέφεται με την ονομαστική του ταχύτητα.

Στην μέθοδο ρυθμίσεως της ταχύτητας περιστροφής μεταβάλλοντας την ροή διεγέρσεως  $\Phi$ , όσο μικρότερον είναι η τιμή του ρεύματος διεγέρσεως, τόσο μεγαλύτερον είναι η ταχύτητα περιστροφής και αντίστροφα. Επειδή η αύξηση της τιμής του ρεύματος διεγέρσεως προκαλεί μείωση της ταχύτητας περιστροφής, υπάρχει ένα ελάχιστο όριο της ταχύτητας περιστροφής, η οποία αντιστοιχεί στην μέγιστη τιμή του ρεύματος διεγέρσεως, το οποίο δίδεται στις τεχνικές προδιαγραφές του κινητήρα.

Στη μέθοδο ρυθμίσεως της ταχύτητας περιστροφής με αύξηση της τάσεως στα άκρα του επαγωγικού τυμπάνου προκαλείται αύξηση της ταχύτητας περιστροφής, οπότε υπάρχει ένα μέγιστο όριο της τιμής της ταχύτητας περιστροφής, η οποία αντιστοιχεί στην ονομαστική τιμή της τάσεως στα άκρα του επαγωγικού τυμπάνου.

Η ρύθμιση της ταχύτητας περιστροφής μεταβάλλοντας το ρεύμα διεγέρσεως χρησιμοποιείται για την επίτευξη τιμών της ταχύτητας μεγαλυτέρων της αντίστοιχης ονομαστικής, αλλά όχι για ταχύτητα μικρότερη της ονομαστικής γιατί σ' αυτήν την περίπτωση η τιμή του ρεύματος διεγέρσεως ξεπερνά την αντίστοιχη μέγιστη τιμή της.

Η ρύθμιση της ταχύτητας περιστροφής, μεταβάλλοντας την τάση στα άκρα του επαγωγικού τυμπάνου χρησιμοποιείται για τιμές της ταχύτητας μικρότερες της αντίστοιχης ονομαστικής, αλλά όχι για τιμές μεγαλύτερες της ονομαστικής, γιατί τότε απαιτείται τάση στα άκρα του τυμπάνου μεγαλύτερη από την αντίστοιχη ονομαστική.

Οι δύο μέθοδοι ρυθμίσεως της ταχύτητας περιστροφής λειτουργούν συμπληρωματικά:

1) Η μεταβολή της τιμής της τάσεως στα άκρα του επαγωγικού τυμπάνου πραγματοποιείται για τιμές της ταχύτητας περιστροφής μικρότερες της αντίστοιχης ονομαστικής, και

2) η μεταβολή του ρεύματος διεγέρσεως πραγ-

ματοποιείται για τιμές της ταχύτητας μεγαλύτερες της αντίστοιχης ονομαστικής.

Έχει ενδιαφέρον να μελετήσουμε τις γραφικές παραστάσεις των συναρτήσεων  $T_{\max} = f(n)$  και  $P_{\text{out}}^{(\max)} = f(n)$  όταν το ρεύμα του επαγωγικού τυμπάνου έχει μέγιστη τιμή  $I_a^{(\max)}$ . Αναφερόμαστε, κυρίως, στην περίπτωση ενός κινητήρα ΣΡ παράλληλης ή ανεξάρτητης διεγέρσεως.

Όταν μεταβάλλεται η τάση στα άκρα του επαγωγικού τυμπάνου, η μαγνητική ροή στο εσωτερικό του κινητήρα είναι σταθερή, ενώ η μέγιστη ροπή του κινητήρα δίδεται ως εξής:

$$T_{\alpha\xi}^{(\max)} = K\Phi I_a^{(\max)}. \quad (5.108)$$

Αυτή η μέγιστη ροπή είναι σταθερή, ανεξάρτητα από την ταχύτητα περιστροφής του κινητήρα. Η ισχύς στον άξονα του κινητήρα είναι  $P_{\text{out}} = T_{\alpha\xi}\omega$ , οπότε η μέγιστη ισχύς του κινητήρα, για τιμές της ταχύτητας μικρότερες της αντίστοιχης ονομαστικής, είναι:

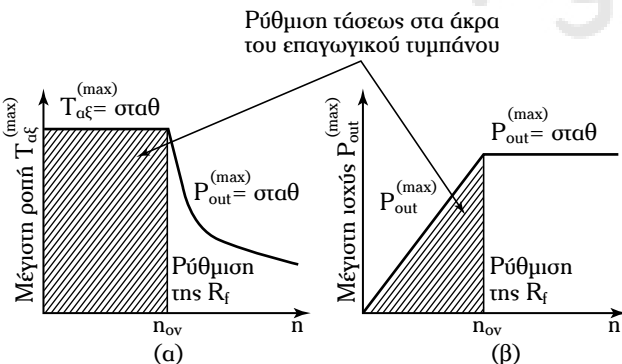
$$P_{\text{out}}^{(\max)} = T_{\alpha\xi}^{(\max)}\omega \quad (5.109)$$

με  $\omega = 2\pi \frac{n}{60} \text{ rad/s.}$

Η  $P_{\text{out}}^{(\max)}$  είναι ευθέως ανάλογη της ταχύτητας περιστροφής του κινητήρα.

Μεταβάλλοντας την τάση στα άκρα του επαγωγικού τυμπάνου ο κινητήρας λειτουργεί στη μέγιστη ροπή, ενώ η μέγιστη ισχύς μεταβάλλεται γραμμικά.

Μεταβάλλοντας το ρεύμα διεγέρσεως έχουμε αύξηση της ταχύτητας περιστροφής όταν μειώνεται η μαγνητική ροή, ενώ η τάση στα άκρα του επαγωγικού τυμπάνου είναι σταθερή στην ονομαστική της τιμή (σχ. 5.9ζ).



Σχ. 5.9ζ

Μελέτη (a) της μέγιστης ισχύος και (b) της μέγιστης ροπής σε συνάρτηση με την ταχύτητα περιστροφής ενός κινητήρα ΣΡ με παράλληλη διέγερση.

Θεωρώντας μέγιστη την τιμή του ρεύματος τυμπάνου έχουμε:

$$\Phi = \frac{V_a - R_a I_a^{(\max)}}{Kn} \prec \frac{1}{n}. \quad (5.110)$$

Η εξίσωση 5.110, εκφράζει τον τρόπο μειώσεως της ροής διεγέρσεως  $\Phi$  για τιμές της ταχύτητας περιστροφής μεγαλύτερες της αντίστοιχης ονομαστικής.

Από τις εξισώσεις λειτουργίας του κινητήρα ΣΡ με παράλληλη διέγερση προκύπτει ότι:

$$T_{\alpha\xi}^{(\max)} \prec \frac{1}{n} \quad (5.111)$$

όταν το ρεύμα τυμπάνου θεωρείται ότι έχει τη μέγιστη τιμή.

Με αυτόν τον τρόπο ο κινητήρας, για τιμές της ταχύτητας περιστροφής μεγαλύτερες της αντίστοιχης ονομαστικής, λειτουργεί με σταθερή μέγιστη ισχύ στον άξονά του:  $P_{\text{out}}^{(\max)} = T_{\alpha\xi}^{(\max)}\omega$ .

Τελικά, όταν μεταβάλλεται το ρεύμα διεγέρσεως η μέγιστη αποδιδομένη ισχύς του κινητήρα είναι σταθερή, ενώ η μέγιστη ροπή είναι αντιστρόφως ανάλογη της ταχύτητας περιστροφής.

### 5.9.2 Σύστημα Ward-Leonard.

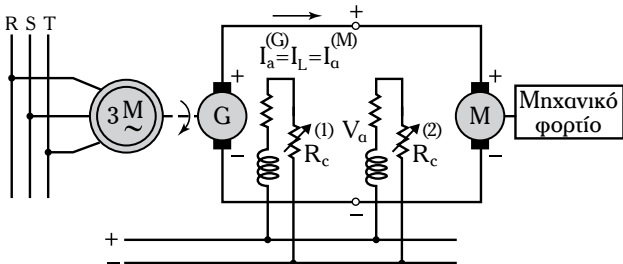
Η ταχύτητα περιστροφής των κινητήρων ΣΡ με ανεξάρτητη διέγερση, με παράλληλη διέγερση και με σύνθετη διέγερση ρυθμίζεται με τις ακόλουθες μεθόδους:

- 1) Τη μέθοδο ρυθμίσεως της τάσεως στα άκρα του επαγωγικού τυμπάνου του κινητήρα.
- 2) Τη μέθοδο ρυθμίσεως του ρεύματος διεγέρσεως του κινητήρα ΣΡ.
- 3) Τη μέθοδο ρυθμίσεως της ωμικής αντιστάσεως του επαγωγικού τυμπάνου.

Η αποτελεσματικότερη μέθοδος ρυθμίσεως της ταχύτητας περιστροφής του κινητήρα είναι η μέθοδος ρυθμίσεως της τάσεως στα άκρα του επαγωγικού τυμπάνου, για μεγάλο διάστημα τιμών της ταχύτητας, χωρίς να επηρεάζεται η μέγιστη ροπή.

Πριν την ανακάλυψη και εφαρμογή των πλεκτρονικών ισχύος, η ρύθμιση της ταχύτητας περιστροφής ενός κινητήρα ΣΡ πραγματοποιούταν με το σύστημα Ward-Leonard (σχ. 5.9η).

Το σύστημα αυτό είναι μια μέθοδος ρυθμίσεως της ταχύτητας περιστροφής του κινητήρα ΣΡ ρυθμίζοντας την τάση στα άκρα του επαγωγικού τυμπάνου. Το σύστημα Ward-Leonard αποτελείται από έναν τριφασικό ασύγχρονο κινητήρα, μία γεννήτρια



**Σχ. 5.9n**  
Σύστημα Ward-Leonard.

ΣΡ με ανεξάρτητη διέγερση κι έναν κινητήρα ΣΡ ανεξάρτητης διεγέρσεως. Ο ασύγχρονος κινητήρας περιστρέφει την γεννήτρια ΣΡ που οποία τροφοδοτεί με συνεχή τάση τον κινητήρα ΣΡ.

Τα τυλίγματα διεγέρσεως των μηχανών ΣΡ τροφοδοτούνται από ένα δίκτυο συνεχούς τάσεως. Η τάση στους ακροδέκτες του επαγωγικού τυμπάνου του κινητήρα ΣΡ μεταβάλλεται ρυθμίζοντας το ρεύμα διεγέρσεως της γεννήτριας ΣΡ. Μεταβάλλοντας την τάση στους ακροδέκτες του επαγωγικού τυμπάνου του κινητήρα ΣΡ επιτυγχάνονται μεταβολές της ταχύτητας του από πολύ μικρές τημέσι μέχρι την ονομαστική του τιμή. Για τημέσι μεγαλύτερες της ονομαστικής ταχύτητας, η ταχύτητα του κινητήρα ΣΡ ρυθμίζεται με μείωση της τιμής του ρεύματος διεγέρσεως του (σχ. 5.9θ).

Αντιστρέφοντας τη φορά του ρεύματος διεγέρσεως της γεννήτριας, αντιστρέφεται η πολικότητα της τάσεως στους ακροδέκτες του τυμπάνου του κινητήρα. Αν το ρεύμα διεγέρσεως του κινητήρα δεν αλλάξει φορά, τότε αντιστρέφεται τόσο η φορά περιστροφής του, όσο και η φορά της ροπής του.

Η ταχύτητα και η ροπή στον άξονα θεωρούνται θετικές ποσότητες αν έχουν φορά εκείνης των δεικτών του ρολογιού ( $n > 0$ ,  $T_{a\xi} > 0$ ) και αρνητικές

ποσότητες αν έχουν αντίθετη φορά ( $n < 0$ ,  $T_{a\xi} < 0$ ). Εαν η  $n$  και η  $T_{a\xi}$  έχουν την ίδια φορά, τότε, γενικά, η μηχανή ΣΡ λειτουργεί σαν κινητήρας ΣΡ, ενώ αν έχουν αντίθετη φορά λειτουργεί σαν γεννήτρια ή πέδη.

Τα **πλεονεκτήματα** του συστήματος Ward-Leonard είναι ότι:

1) Επιτυγχάνεται μεγάλο διάστημα ρυθμίσεως των τιμών της ταχύτητας και προς τις δύο κατευθύνσεις, και ότι

2) επανακτάται ενέργεια. Στην περίπτωση, κατά την οποία ο κινητήρας ανυψώνει ένα μεγάλο φορτίο και στην συνέχεια το κατεβάζει, τότε λειτουργεί σαν γεννήτρια οπότε προσφέρει ισχύ στο σύστημα. Αυτό σημαίνει ότι ένα μέρος της ενέργειας, η οποία καταναλώθηκε στη διαδικασία ενεργοποίησεως ενός φορτίου μπορεί να αναπαραχθεί. Με αυτόν τον τρόπο έχουμε μείωση του κόστους λειτουργίας της μηχανής.

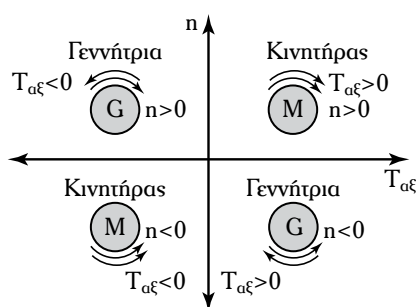
Τα **μειονεκτήματα** του συστήματος Ward-Leonard είναι:

1) Ο χαμπλός βαθμός αποδόσεως του συστήματος λόγω των απωλειών των τριών μηχανών του συστήματος και

2) Η περιορισμένη ταχύτητα ελέγχου λόγω της μεγάλης αυτεπαγώγησης των κυκλωμάτων διεγέρσεως.

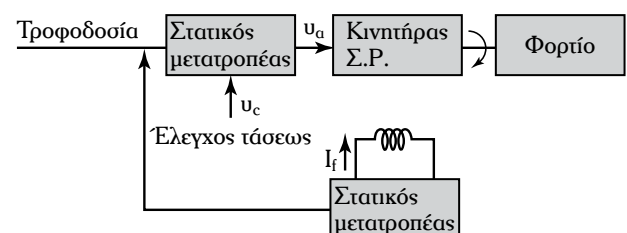
### 5.9.3 Έλεγχος ταχύτητας κινητήρων ΣΡ μέσω στατών μετατροπέων<sup>10</sup>.

Η ταχεία ανάπτυξη και εφαρμογή των πλεκτρονικών ισχύος συντέλεσε καθοριστικά, στο να ξεπεραστεί ο έλεγχος ταχύτητας των κινητήρων ΣΡ με την μέθοδο Ward-Leonard. Στο σχήμα 5.9ι παρουσιάζεται το διάγραμμα βαθμίδων ενός συστήματος, το οποίο χρησιμοποιεί στατούς μετατροπείς. Οι μετατροπείς είναι ελεγχόμενες ανορθωτικές διατάξεις και **ψαλιδιστές** (τεμαχιστές) (choppers).



**Σχ. 5.9θ**

Περιοχές λειτουργίας του συστήματος Ward-Leonard.



**Σχ. 5.9ι**

Διάγραμμα βαθμίδων για την έλεγχο της ταχύτητας κινητήρων ΣΡ.

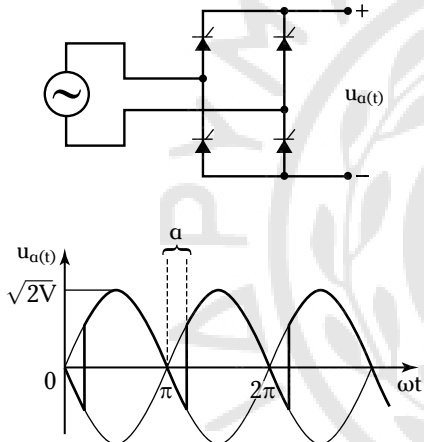
<sup>10</sup> Η παράγραφος αυτή αποτελεί μία εισαγωγή στον έλεγχο της ταχύτητας των κινητήρων ΣΡ μέσω στατών μετατροπέων.

### 1) Ελεγχόμενες ανορθωτικές διατάξεις.

Αν τροφοδοτήσουμε το σύστημα με ανορθωτική διάταξη μετατρέπει την εναλλασσόμενη τάση πλάτους και συνχρόνης σταθερής σε μια μεταβλητή συνεχή τάση. Αν η ανορθωτική διάταξη αποτελείται από θυρίστορς, τότε η διάταξη είναι πλήρως ελεγχόμενη. Αν κάποιες συνιστώσες είναι δίδοι η ανορθωτική διάταξη είναι ημιελεγχόμενη.

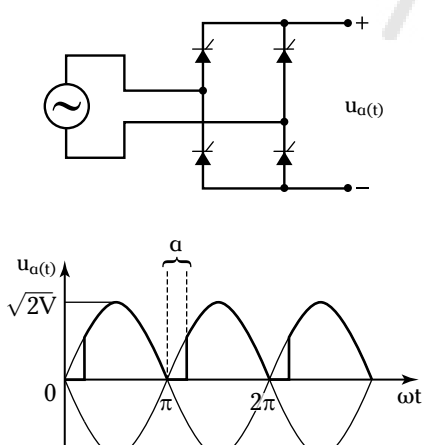
Η γωνία εναύσεως ( $\alpha$ ) των θυρίστορ καθορίζει τη μέση τιμή  $\bar{V}_a$  της τάσεως εξόδου  $u_a(t)$  (σχ. 5.9ια). Η τάση  $u_a$  (σχ. 5.9ι) καθορίζει την γωνία  $\alpha$ , οπότε και την τάση  $\bar{V}_a$ . Με την υπόθεση ότι  $i_a$  είναι πάντα διαφορετική του μπδενός (συνεχής αγωγή), οι σχέσεις μεταξύ της μέσης της τάσεως εξόδου  $\bar{V}_a$  και της γωνίας εναύσεως α δίδονται ως εξής:

Πλήρως ελεγχόμενη μονοφασική γέφυρα:



**Σχ. 5.9ια**

Πλήρως ελεγχόμενη μονοφασική γέφυρα.



**Σχ. 5.9ιβ**

Μονοφασική ημιελεγχόμενη γέφυρα.

$$\bar{V}_a = \frac{2\sqrt{2}V}{\pi} \text{συνα} = \frac{2\hat{V}_f}{\pi} \text{συνα} \quad (5.112)$$

Μονοφασική ημιελεγχόμενη γέφυρα (σχ. 5.9ιβ):

$$\bar{V}_a = \frac{\sqrt{2}V}{\pi} (1 + \text{συνα}) = \frac{\hat{V}_f}{\pi} (1 + \text{συνα}) \quad (5.113)$$

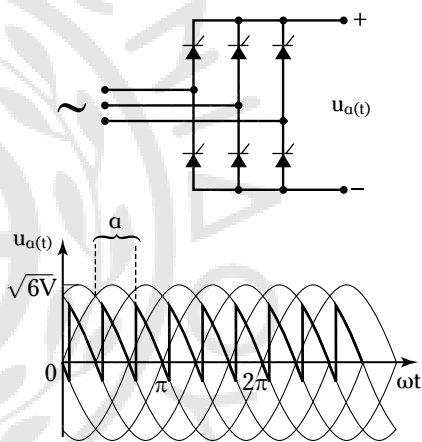
Πλήρως ελεγχόμενη τριφασική γέφυρα (σχ. 5.9ιγ):

$$\bar{V}_a = \frac{3\sqrt{6}V}{\pi} \text{συνα} = \frac{3\hat{V}_l}{\pi} \text{συνα} \quad (5.114)$$

Τριφασική ημιελεγχόμενη γέφυρα (σχ. 5.9ιδ):

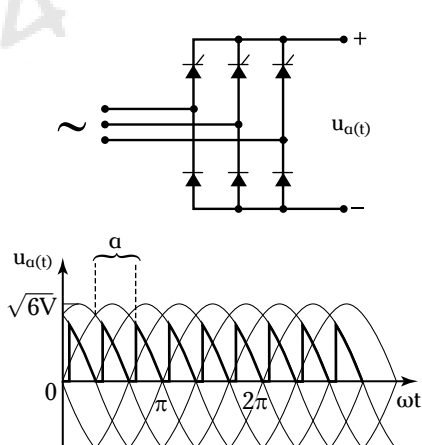
$$\bar{V}_a = \frac{3\sqrt{6}V}{2\pi} [1 + \text{συνα}] = \frac{3\hat{V}_l}{2\pi} [1 + \text{συνα}] \quad (5.115)$$

όπου  $V$  είναι η ενεργός τιμή της φασικής τάσεως τρο-



**Σχ. 5.9ιγ**

Πλήρως ελεγχόμενη τριφασική γέφυρα.



**Σχ. 5.9ιδ**

Τριφασική ημιελεγχόμενη γέφυρα.

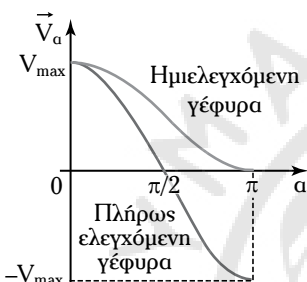
φοδοσίας,  $\hat{V}_f$  και  $\hat{V}_l$  είναι οι μέγιστες τιμές τάσεων στο μονοφασικό και στο τριφασικό, αντίστοιχα, σύστημα τάσεων.

Η μεταβολή της τάσεως  $\bar{V}_a$  σε συνάρτηση με την γωνία εναύσεως  $a$ , δίνεται στο σχήμα 5.9ιε, για γέφυρα πλήρως ελεγχόμενη και πημελεγχόμενη αντίστοιχα. Οι στιγμιαίες τιμές της τάσης τυμπάνου,  $v_a(t)$  και του ρεύματος τυμπάνου,  $i_a(t)$  μεταβάλλονται στον χρόνο.

Για μέσες τιμές ισχύουν οι ακόλουθες εξισώσεις:

$$\bar{V}_a = E_a + R_a \bar{I}_a, \quad E_a = K\Phi n, \quad T = K\Phi \bar{I}_a \quad (5.116)$$

Αν αμεληθεύει η πτώση τάσεως  $R_a \bar{I}_a$ , τότε η τάση τροφοδοσίας ισούται με την αντί-ΗΕΔ ( $\bar{V}_a \approx E_a$ ).

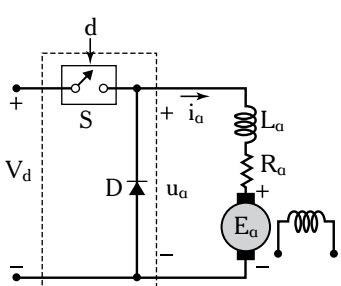


**Σχ. 5.9ιε**  
Μεταβολή της  $\bar{V}_a$   
σε συνάρτηση με τη γωνία εναύσεως  $a$ .

## 2) Ψαλιδιστής (τεμαχιστής) (chopper).

Ο τεμαχιστής είναι μετατροπέας συνεχούς τάσεως σε συνεχή μεταβαλλόμενη τάση (ακολουθία θετικών παλμών). Ο τεμαχιστής είναι ένας διακόπτης μέσω του οποίου η μετάβαση του ρεύματος γίνεται σε υψηλή συχνότητα (σχ. 5.9ιστ).

Ο ημιαγωγικός διακόπτης  $S$ , είτε λειτουργεί στην περιοχή κορεσμού είτε στην περιοχή αποκοπής, υλοποιείται με MOSFET, τρανζιστορ ισχύος, θυρίστορ,



**Σχ. 5.9ιστ**  
Έλεγχος τάσεως μέσω τεμαχιστή.

GTO ή IGBT ανάλογα με τις απαιτήσεις ισχύος του κινητήρα  $\Sigma P$ .

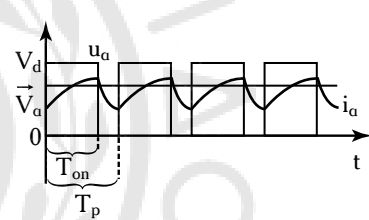
Όταν η διάταξη άγει (on)  $u_a = V_d$ , το ρεύμα του κινητήρα αυξάνεται. Όταν η διάταξη δεν άγει (off), ο διακόπτης  $S$  είναι ανοιχτός, το ρεύμα  $i_a$  περνά στην δίοδο ελεύθερης ροής  $D$ . Στο σχήμα 5.9ιζ δίδονται οι κυματομορφές τάσεως-ρεύματος τυμπάνου.

Η μέση τάση στην οποία είναι ανάλογη η ταχύτητα του κινητήρα, είναι:

$$\bar{V}_a = \frac{T_{on}}{T} V_d = \rho V_d \quad (5.117)$$

όπου:  $T_{on}$  η περίοδος αγωγής του τεμαχιστή,  $T_p$  η περίοδος chopping,  $\rho = \frac{T_{on}}{T}$  ο λόγος χρονιμοποιήσεως (duty cycle) του τεμαχιστή.

Από την εξίσωση 5.117 προκύπτει ότι η μέση τάση στους ακροδέκτες του επαγωγικού τυμπάνου του κινητήρα είναι ευθέως ανάλογη του λόγου χρονιμοποιήσεως.



**Σχ. 5.9ιζ**  
Κυματομορφή της τάσεως και του ρεύματος τυμπάνου, αντίστοιχα.

## 5.10 Κινητήρες $\Sigma P$ με μόνιμους μαγνήτες.

Οι μόνιμοι μαγνήτες κατασκευάζονται από μαγνητικά κράματα, που αποτελούνται από μη μαγνητικά μέταλλα ή έλαφρως μαγνητικά που παρουσιάζουν μαγνητικές ιδιότητες.

Ένα πολύ σημαντικό μαγνητικό κράμα είναι το λεγόμενο «Άλνικο» (Alnico), όνομα το οποίο προέρχεται από τα αρχικά των στοιχείων: αλουμίνιο (Al), νικέλιο (Ni) και κοβάλτιο (Co). Οι μαγνήτες που αποτελούνται από τα κημικά στοιχεία σαμάριο (Sm) και κοβάλτιο (Co) είναι ισχυρότεροι από τους μαγνήτες από κράμα Alnico.

Οι μόνιμοι μαγνήτες δημιουργούν μαγνητικό πεδίο χωρίς να καταναλωθεί ενέργεια.

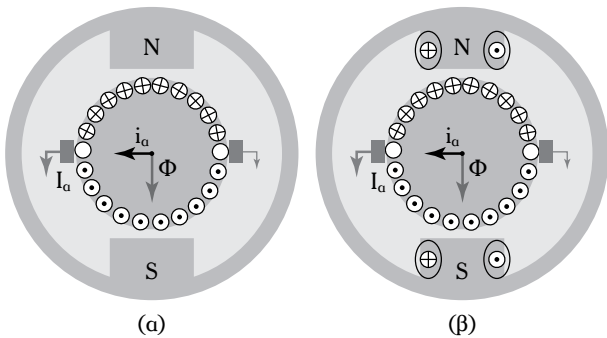
Στους κινητήρες  $\Sigma P$  με μόνιμους μαγνήτες [σχ. 5.10(a)], το μαγνητικό πεδίο δημιουργείται από τους μαγνητικούς πόλους οι οποίοι είναι μόνιμοι μαγνήτες. Στους συμβατικούς κινητήρες  $\Sigma P$ , το μαγνητικό

πεδίο δημιουργείται από το τύλιγμα διεγέρσεως, το οποίο είναι τοποθετημένο στους μαγνητικούς πόλους [σχ. 5.10(β)].

Οι κινητήρες ΣΡ με μόνιμους μαγνήτες αναπτύσσουν μεγάλη ροπή, ενώ η σχέση ροπής-ταχύτητας είναι γραμμική.

### 5.11 Βλάβες, αιτίες και επισκευές των μηχανών ΣΡ.

Στον πίνακα 5.11 παρουσιάζονται οι βλάβες, οι αιτίες και οι τρόποι επισκευής τους.



**Σχ. 5.10**  
Κινητήρας ΣΡ (a) με μόνιμους μαγνήτες και (b) με τύλιγμα διεγέρσεως στους μαγνητικούς πόλους.

**Πίνακας 5.11**  
**Βλάβες, πιθανές αιτίες και τρόποι επισκευής μηχανών ΣΡ.**

A/A	Βλάβη	Πιθανή αιτία	Επισκευή (ή τι πρέπει να κάνουμε)
1.	Η γεννήτρια ΣΡ δεν δίνει τάση.	α) Βλάβη στο μαγνητικό πεδίο.	Έλεγχος αντιστάσεως κυκλώματος διεγέρσεως.
		β) Λάθος σύνδεσης των τυλιγμάτων διεγέρσεως.	Σωστή σύνδεση των ακροδεκτών των πινίων διεγέρσεως.
		γ) Ανίστροφη φορά περιστροφής.	Αλλαγή φοράς περιστροφής (συνήθως δεν γίνεται). Αλλαγή της πολικότητας του μαγνητικού πεδίου ή του δρομέα μόνον.
		δ) Ο παραμένων μαγνητισμός είναι ασθενικός.	Ενίσχυση του παραμένοντος μαγνητισμού με τροφοδότηση του τυλίγματος διεγέρσεως από εσωτερική πηγή. (βλ. όμως και 1γ).
		ε) Βραχυκύκλωμα στην κατανάλωση.	Απομόνωση της γεννήτριας, ώστε να δώσει τάση. Έλεγχος των φορτίων.
		στ) Το τύλιγμα του δρομέα έχει διακοπεί ή έχει γίνει βραχυκύκλωμα στο εσωτερικό της μηχανής.	Έλεγχος του τυλίγματος. Επισκευή της γεννήτριας σε ειδικό συνεργείο για νέα περιέλιξη.
2.	Η γεννήτρια έχει μεγάλη πτώση τάσεως όταν φορτισθεί.	α) Μεγάλη πτώση αριθμού στροφών της κινητήριας μηχανής.	Ρύθμιση της κινητήριας μηχανής στην ονομαστική ταχύτητα.
		β) Λάθος σύνδεσης της σύνθετης διεγέρσεως.	Σωστή σύνδεση των δύο τυλιγμάτων διεγέρσεως.
		γ) Λάθος θέσης ψηκτρών.	Διόρθωση (μετάθεση) των ψηκτρών. (βλ. όμως και 3β).
3.	Σπινθηρισμός των ψηκτρών κατά τη φόρτιση.	α) Ρύπανση ή ανωμαλίες στην επιφάνεια του συλλέκτη.	Καθαρισμός ή λείανση.
		β) Λάθος θέσης ψηκτρών.	Διόρθωση (μετάθεση) των ψηκτρών, (βλ. και 2γ).

A/A	Bλάβη	Πιθανή αιτία	Επισκευή (ή τι πρέπει να κάνουμε)	
3.	Σπινθηρισμός των ψηκτρών κατά τη φόρτιση.	γ) Μεγάλη εκκεντρότητα στον συλλέκτη.	Τορνάρισμα.	
		δ) Η μίκα είναι ψηλά ( $<0,8$ mm) ή προεξέχει.	Τοποθέτηση της μίκας σε βάθος περίπου 0,8 mm κάτω από την επιφάνεια του συλλέκτη.	
		ε) Μικρή πίεση ψηκτρών.	Αύξηση της πιέσεως (στα 180–220 p/cm <sup>2</sup> ). Ερώτηση στον κατασκευαστή. Ελατήρια.	
		στ) Φθορά ψηκτρών.	Αντικατάσταση με νέες (ίδιο υλικό).	
		ζ) Ακατάλληλη ποιότητα ψηκτρών.	Ερώτηση στον κατασκευαστή για αλλαγή ποιότητας.	
		η) Κραδασμοί των ψηκτρών (μη ομαλή περιστροφή).	Έλεγχος κεντραρίσματος δρομέα. Ευθυγράμμιση με κόμπλερ. Ζυγοστάθμιση δρομέα.	
		θ) Βραχυκύλωμα στο ππνίο του βοηθητικού ή αντισταθμιστικού πόδου.	Επισκευή ή αλλαγή ππνίου.	
		ι) Υπερφόρτιση.	Ελάττωση φορτίου, έλεγχος φορτίων.	
		ια) Υπέρβαση του ορίου ταχύτητας.	Έλεγχος αριθμού στροφών.	
		ιβ) Χαλασμένο ρουλεμάν.	Αλλαγή ρουλεμάν.	
4.	Υπερθέρμανση μπχανής.	ιγ) Βραχυκύλωμα τομέων ή ππνίου τυλίγματος.	Επισκευή σε ειδικό συνεργείο.	
		ιδ) Αποσύνδεση ή σπάσιμη της συνδέσεως.	Επισκευή από ειδικό (απαιτείται εμπειρία).	
		α) Υπερφόρτιση για μεγαλύτερο χρονικό διάστημα.	Έλεγχος μεταβολής φορτίου, εν ανάγκη μετατόπιση φορτίων σε άλλες ώρες ή μείωση φορτίου.	
		β) Ανεπάρκεια ψύξεως.	Έλεγχος κυκλώματος ψύξεως, θέσεως μπχανής.	
5.	Υπερθέρμανση εδράνων.	γ) Εσωτερικό βραχυκύλωμα τυλίγματος.	Έλεγχος τυλίγματος και τομέων συλλέκτη. Έλεγχος ππνίων μαγνητικού πεδίου.	
		δ) Ρύπανση.	Καθάρισμα.	
		α) Υπερβολική τριβή (διάφορες κακώσεις).	Ακουστικός έλεγχος κατά το σταμάτημα της μπχανής.	
6.	Ο κινητήρας δεν ξεκινά (ούτε χωρίς φορτίο).	β) Κακή λίπανση.	Πρόσθεση πολύ ή λίγου γράσου στα ρουλεμάν.	
		γ) Μεγάλη αξονική καταπόνηση.	Ελάττωση της συσφίγξεως.	
		α) Το κύκλωμα τροφοδοσίας έχει διακοπεί.	Έλεγχος γραμμών συνδέσεων (βίδες, συγκολλήσεις διακοπών, γεννήτριας-δίκτυο ασφαλειών, θερμικών, ρελέ υπερεντάσεως κ.λπ.).	
		β) Ο εκκινητής δεν λειτουργεί.	Έλεγχος για διακοπή ή για λανθασμένη σύνδεση. Έλεγχος επαφών-συνδέσεων εκκινητή.	
		γ) Οι ψήκτρες δεν κάνουν επαφή.	Έλεγχος ψηκτρών.	

(συνεχίζεται)

A/A	Bλάβη	Πιθανή αιτία	Επισκευή (ή τι πρέπει να κάνομε)
6.	Ο κινητήρας δεν ξεκινά (ούτε χωρίς φορτίο).	δ) Διακοπή στο κύκλωμα.	Έλεγχος τυλιγμάτων διεγέρσεως και ρυθμιστικής αντιστάσεως.
		ε) Διακοπή ή βραχυκύκλωμα δρομέα.	Έλεγχος, επισκευή από ειδικό.
		στ) Μπλοκάρισμα δρομέα.	Έλεγχος κεντραρίσματος, εδράνων κινητήρα ή φορτίων.
		ζ) Χαμηλή τάση δικτύου.	Μέτρηση τάσεως και ρύθμιση.
7.	Ο κινητήρας ξεκινά δύσκολα.	α) Το ρεύμα διεγέρσεως είναι μικρό.	Μέτρηση και ρύθμιση ρεύματος διεγέρσεως: έλεγχος της ρυθμιστικής αντιστάσεως η οποία τοποθετείται σε σειρά με το τύλιγμα διεγέρσεως.
		β) Το τύλιγμα διεγέρσεως συνδέθηκε λάθος.	Έλεγχος της πολικότητας συνδέσεως του τύλιγματος διεγέρσεως.
8.	Ο κινητήρας ξεκινά απότομα.	γ) Διακοπή τημάτων της αντιστάσεως εκκινήσεως.	Μέτρηση της αντιστάσεως, αποκατάσταση της βλάβης.
		δ) Η αντίσταση εκκινήσεως υπολογίστηκε μικρή.	Αύξηση της αντιστάσεως εκκινήσεως κατόπιν συννοούσεως με τον κατασκευαστή.
		ε) Λάθος στη σύνδεση της αντιστάσεως εκκινήσεως.	Σωστή σύνδεση σύμφωνα με το σχέδιο.
		στ) Βραχυκύκλωμα στο τύλιγμα δρομέα.	Μέτρηση αντιστάσεως τυλίγματος. Επισκευή από ειδικό.
		ζ) Βραχυκύκλωμα τομέων συλλέκτη.	Έλεγχος συλλέκτη, αποκατάσταση βραχυκύκλωμάτος.
9.	Ο κινητήρας στρέφεται με χαμηλή ταχύτητα.	α) Υπερφρότωση.	Έλεγχος εδράνων φορτίου (γενικά όλων των τριβών).
		β) Χαμηλή τάση.	Μέτρηση τάσεως.
		γ) Παρέμεινε «εντός» (σε σειρά με το τύλιγμα τυμπάνου) ένα μέρος του εκκινητή.	Έλεγχος στο κύκλωμα αυτοματισμού της αντιστάσεως εκκινήσεως.
		δ) Οι ψήκτρες δεν είναι στην ουδέτερη ζώνη.	Έλεγχος, μετατόπιση ψηκτρών.

### - Λυμένες ασκήσεις.

#### Άσκηση 1.

Δίδεται κινητήρας ΣΡ με παράλληλη διέγερση, 230V, ο οποίος έχει αντίσταση τυμπάνου  $0,21\Omega$ . Ο κινητήρας τροφοδοτείται με  $40A$  και περιστρέφεται με  $760\text{ΣΑΛ}$ . Αν η μαγνητική ροή μειωθεί κατά 15%, ποια είναι η ταχύτητα περιστροφής του κινητήρα; Θεωρήστε ότι η ροπή στον δρομέα διατηρείται σταθερή.

**Λύση.**

Διακρίνομε δύο καταστάσεις λειτουργίας για

τον κινητήρα:

1) Πριν τη μείωση της μαγνητικής ροής: Δίδοται:

$$V_t = 230V, I_a^{(1)} = 40A, R_a = 0,21\Omega, n_1 = 760 \text{ ΣΑΛ}$$

$$T_1 = K_1 \Phi_1 I_a^{(1)}.$$

Η αντ-ΗΕΔ είναι:

$$E_a^{(1)} = V_t - I_a^{(1)} R_a = 230 - 40 \cdot 0,21 = 221,6V.$$

2) Μετά τη μείωση της μαγνητικής ροής έχουμε:

$$V_t = 230 \text{ V}, \Phi_2 = 0,85 \Phi_1$$

Υπολογισμός του  $I_a^{(2)}$ :

$$\text{Ισχύει: } T_2 = K_1 \Phi_2 I_a^{(2)}.$$

$$\text{Είναι } T_1 = T_2$$

$$\text{και } K_1 \Phi_1 I_a^{(1)} = K_1 \Phi_2 I_a^{(2)}$$

$$\text{ή } I_a^{(1)} = 0,85 I_a^{(2)}$$

$$\text{και } I_a^{(2)} = \frac{I_a^{(1)}}{0,85}.$$

Είναι  $I_a^{(1)} = 40 \text{ A}$ , οπότε ισχύει:

$$I_a^{(2)} = \frac{40}{0,85} \approx 47 \text{ A}.$$

Η αντι-ΗΕΔ είναι:

$$E_a^{(2)} = V_t - I_a^{(2)} R_a = 230 - 47 \cdot 0,21 \approx 220 \text{ V}.$$

Η ταχύτητα περιστροφής του κινητήρα πριν τη μείωση της μαγνητικής ροής είναι:

$$n_1 = \frac{E_a^{(1)}}{K\Phi_1}. \quad (1)$$

Η ταχύτητα περιστροφής του κινητήρα μετά τη μείωση της ροής είναι:

$$n_2 = \frac{E_a^{(2)}}{K\Phi_2} = \frac{E_a^{(2)}}{K \cdot 0,85 \Phi_1}. \quad (2)$$

Διαιρούμε κατά μέλη την εξίσωση 1 και την εξίσωση 2, οπότε έχομε:

$$\frac{n_1}{n_2} = \frac{\frac{E_a^{(1)}}{K\Phi_1}}{\frac{E_a^{(2)}}{K \cdot 0,85 \Phi_1}} = \frac{0,85 E_a^{(1)}}{E_a^{(2)}}$$

$$\text{ή } \frac{760}{n_2} = \frac{0,85 E_a^{(1)}}{E_a^{(2)}} = \frac{0,85 \cdot 221 \cdot 6}{220}$$

$$\text{και } n_2 \approx 888 \text{ ΣΑΛ.}$$

### Άσκηση 2.

Κινητήρας ΣΡ αναπτύσσει ροπή 30 N·m. Να υπολογίσετε τη ροπή του κινητήρα όταν το ρεύμα τυμπάνου αυξηθεί κατά 50% και η μαγνητική ροή μειωθεί κατά 10%.

### Λύση.

Έστω  $T_1$  και  $\Phi_1$  η τιμή της ροπής και της μαγνητικής ροής πριν την αύξηση του ρεύματος τυμπάνου και τη μείωση της μαγνητικής ροής αντίστοιχα.  $T_2$  και  $\Phi_2$  είναι οι τιμές της ροπής και της μαγνητικής ροής μετά την αύξηση του ρεύματος τυμπάνου και της αντίστοιχης μειώσεως της μαγνητικής ροής.

Έχομε:

$$T_1 = K\Phi_1 I_a^{(1)} \quad (1)$$

$$T_2 = K\Phi_2 I_a^{(2)}. \quad (2)$$

Διαιρούμε κατά μέλη τις εξισώσεις 1 και 2:

$$\frac{T_1}{T_2} = \frac{\Phi_1}{\Phi_2} \cdot \frac{I_a^{(1)}}{I_a^{(2)}}.$$

Προκύπτει λοιπόν:  $I_a^{(2)} = 1,5 I_a^{(1)}$  και  $\Phi_2 = 0,9 \Phi_1$ .

$$\text{οπότε: } \frac{T_1}{T_2} = \frac{\Phi_1}{0,9 \Phi_1} \cdot \frac{I_a^{(1)}}{1,5 I_a^{(1)}}$$

$$\text{και } T_2 = 30 \cdot 0,9 \cdot 1,5 = 40,5 \text{ N·m.}$$

### Άσκηση 3.

Δίδεται κινητήρας ΣΡ με παράλληλη διέγερση 25 kW (ισχύς εισόδου), 250 V ο οποίος έχει:

$$R_a = 0,25 \Omega \text{ και } R_f = 125 \Omega.$$

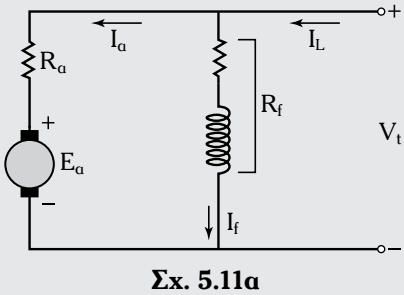
Όταν τροφοδοτείται με την ονομαστική του τάση, απορροφά ρεύμα 12 A και περιστρέφεται με 1.000 ΣΑΛ. Να υπολογίσετε:

1) Την αντι-ΗΕΔ.

2) Την ταχύτητα περιστροφής, τη ρύθμιση της ταχύτητας και τη ροπή στη λειτουργία πλήρους φορτίου.

### Λύση.

Το ισοδύναμο κύκλωμα του κινητήρα ΣΡ με παράλληλη διέγερση δίδεται στο σχήμα 5.11a.



Ioxúei:

$$E_a = K\Phi n$$

$$V_t = E_a + I_a R_a$$

$$I_L = I_f + I_a$$

$$T = K\Phi I_a$$

$$\Phi = \lambda I_f.$$

1) Η αντι-ΗΕΔ είναι:  $E_a = V_t - I_a R_a$ . Ioxúei:

$$\begin{aligned} I_a &= I_L - I_f = I_L - \frac{V_t}{R_f} = \\ &= 12 - \frac{250}{125} = 12 - 2 = 10 \text{ A}. \end{aligned}$$

Οπότε:  $E_a = 250 - 10 \cdot 0,25 = 247,5 \text{ V}$ .

2) Στο πλήρες φορτίο ο κινητήρας απορροφά από το δίκτυο ρεύμα:

$$I'_L = \frac{25.000}{250} = 100 \text{ A}.$$

Το ρεύμα τυμπάνου είναι:  $I'_a = 100 - 2 = 98 \text{ A}$ .  
Η αντι-ΗΕΔ είναι:

$$E'_a = V_t - I'_a R_a = 250 - 98 \cdot 0,25 = 225,5 \text{ V}.$$

Ioxúei:

$$E_a = K\Phi n. \quad (1)$$

Στη λειτουργία πλήρους φορτίου είναι:

$$E'_a = K\Phi n'. \quad (2)$$

Διαιρούμε κατά μέλη την εξισώση 1 και την

εξισώση 2 για να υπολογίσουμε την ταχύτητα περιστροφής στη λειτουργία πλήρους φορτίου:

$$\frac{E_a}{E'_a} = \frac{K\Phi n}{K\Phi n'}$$

$$\text{ή } n' = \frac{E'_a n}{E_a} = \frac{225,5 \cdot 1.000}{247,5} \approx 911 \text{ ΣΑΛ}.$$

$$\text{Ρύθμιση ταχύτητας} = \frac{1.000 - 911}{911} \cdot 100 \approx 9,77\%.$$

Η ροπή στο πλήρες φορτίο είναι:

$$E'_a I'_a = T_e \omega$$

$$\text{με } \omega = 2\pi \frac{911}{60} = 95,35 \text{ rad / s.}$$

Είναι:

$$T \equiv T_e \equiv \frac{E'_a I'_a}{\omega} = \frac{225,5 \cdot 98}{95,35} = 231,76 \text{ N-m}.$$

#### Άσκηση 4.

Δίδεται κινητήρας ΣΡ διεγέρσεως σειράς 460 V, ο οποίος περιστρέφεται με 1.100 ΣΑΛ, ενώ απορροφά ρεύμα 40 A. Η συνολική αντίσταση του επαγωγικού τυμπάνου και τυλίγματος διεγέρσεως σειράς είναι 0,9 Ω. Να υπολογίσετε την τιμή της ωμικής αντιστάσεως, η οποία συνδέεται σε σειρά με το επαγωγικό τύμπανο, ώστε η ταχύτητα περιστροφής να είναι 550 ΣΑΛ, αν η πλεκτρομαγνητική ροπή,  $T_e$ , είναι:

1) Σταθερή.

2) Ανάλογη της ταχύτητας περιστροφής ( $\propto n$ )<sup>11</sup> και

3) ανάλογη της τρίτης δυνάμεως της ταχύτητας ( $\propto n^3$ )<sup>12</sup>.

Ο κινητήρας λειτουργεί στη γραμμικό τμήμα της μαγνητικής του χαρακτηριστικής.

#### Λύση.

1) Για τον κινητήρα ΣΡ διεγέρσεως σειράς ιoxúei:

$$T_e = K\Phi I_a$$

<sup>11</sup> Το σύμβολο  $\propto n$  σημαίνει ανάλογη της ταχύτητας περιστροφής n.

<sup>12</sup> Το σύμβολο  $\propto n^3$  σημαίνει ανάλογη της τρίτης δυνάμεως της ταχύτητας περιστροφής n.

$$\Phi = \lambda I_f$$

$$I_f = I_a.$$

Οπότε έχομε:  $T_e = K\lambda I_a^2$ . (1)

Αν  $T_e$  είναι σταθερή, πρέπει να είναι σταθερό το  $I_a$  και η μαγνητική ροή  $\Phi$ .

Η αντ-ΗΕΔ πριν τη σύνδεση της αντιστάσεως είναι:

$$E_a^{(1)} = V_t - I_a^{(1)} R_a = 460 - 40 \cdot 0,9 = 424 \text{ V.}$$

Ισχύει:  $E_a^{(1)} = K\Phi_1 n_1$  (2)

και  $\Phi_1 = \lambda I_f^{(1)}$

$$I_f^{(1)} = I_a^{(1)}.$$

Τελικά έχομε:  $E_a^{(1)} = K\lambda I_a^{(1)} n_1$ . (3)

Η αντ-ΗΕΔ όταν η ταχύτητα περιστροφής είναι 550 ΣΑΛ δίδεται ως εξής:

$$E_a^{(2)} = K\lambda I_a^{(1)} n_2. \quad (4)$$

Διαιρώντας τις εξισώσεις 3 και 4 κατά μέλη, έχομε:

$$\frac{E_a^{(1)}}{E_a^{(2)}} = \frac{n_1}{n_2} \quad (5)$$

γιατί η ροπή  $T_e$  είναι σταθερή, οπότε σταθερό θα είναι το ρεύμα τυμπάνου.

Από την εξισωση 5, έχομε:

$$E_a^{(2)} = E_a^{(1)} \frac{n_2}{n_1}$$

ή  $E_a^{(2)} = 424 \cdot \frac{550}{1.100} = 212 \text{ V.}$

Όταν ο κινητήρας περιστρέφεται με 550 ΣΑΛ τότε:

$$I_a^{(2)} R_a = V_t - E_a^{(2)} = 460 - 212 = 248 \text{ V.}$$

Η αντίσταση  $R_a$  είναι:

$$R_a = \frac{248}{40} = 6,2 \Omega.$$

Η τιμή της αντιστάσεως  $R'$ , η οποία συνδέεται

σε σειρά με το επαγωγικό τύμπανο είναι:

$$R' = 6,2 - 0,9 = 5,3 \Omega.$$

2) Σε αυτήν την περίπτωση ( $T_e \propto n$ ), η ροπή  $T_e$ , είναι ανάλογη της ταχύτητας περιστροφής ( $T_e \propto n$ ), όταν η ταχύτητα είναι  $\frac{1}{2}$  της αρχικής, οπότε και η ροπή είναι  $\frac{1}{2}$  της αρχικής. Είναι:

$$I_a^2 = \frac{1}{2} \cdot 40^2$$

$$I_a = \sqrt{800} = 28,28 \text{ A.}$$

Η αντ-ΗΕΔ  $E_a$  είναι ανάλογη του γινομένου  $\Phi n$ , οπότε:

$$E_a = 424 \cdot \frac{550}{1.100} \cdot \frac{28,28}{40} = 149,88 \text{ V.}$$

Είναι:  $I_a R_a = V_t - E_a = 460 - 149,88 = 310,12 \text{ V}$

ή  $R_a = \frac{310,12}{28,28} = 10,96 \Omega.$

Η αντίσταση  $R'$ , η οποία συνδέεται σε σειρά με το επαγωγικό τύμπανο, είναι:

$$R' = 10,96 - 0,9 = 10,06 \Omega.$$

3) Όταν η ροπή  $T_e$  είναι ανάλογη της τρίτης δυνάμεως της ταχύτητας περιστροφής ( $T_e \propto n^3$ ) του κινητήρα, τότε η ταχύτητα είναι  $\frac{1}{2}$  της αρχικής, ενώ η ροπή είναι το  $\frac{1}{8}$  της αρχικής (πριν τη σύνδεση της αντιστάσεως):

$$I_a^2 = \frac{1}{8} \cdot 40^2$$

ή  $I_a = \frac{40}{\sqrt{8}} = 14,14 \text{ A.}$

Η αντ-ΗΕΔ,  $E_a$ , σε αυτήν την περίπτωση είναι:

$$E_a = 424 \cdot \frac{550}{1.100} \cdot \frac{14,14}{40} = 74,94 \text{ V}$$

και  $I_a R_a = V_t - E_a = 460 - 74,94 = 385,06 \text{ V}$

ή  $R_a = \frac{385,06}{14,14} = 27,23 \Omega.$

Η αντίσταση  $R'$  είναι:  $R' = 27,23 - 0,9 = 26,33 \Omega$ .

### Άσκηση 5.

Δίδεται κινητήρας  $\Sigma P$  με παράλληλη διέγερση 460 V, ο οποίος περιστρέφεται με 650 ΣΑΛ και απορροφά ρεύμα 50 A από δίκτυο συνεχούς ρεύματος. Ο κινητήρας έχει:  $R_a = 0,5 \Omega$  και  $R_f = 220 \Omega$ . Να υπολογίσετε:

1) Την ταχύτητα περιστροφής του κινητήρα στη λειτουργία χωρίς φορτίο, όταν το συνολικό ρεύμα το οποίο απορροφά σε αυτήν τη λειτουργική κατάσταση είναι 5 A.

2) Την τιμή της αντιστάσεως  $R'$ , την οποία πρέπει να συνδέσουμε σε σειρά με το επαγωγικό τύμπανο, ώστε η ταχύτητα περιστροφής του κινητήρα να είναι 500 ΣΑΛ με συνολικό ρεύμα 45 A.

3) Την επί τοις εκατό μείωσην της μαγνητικής ροής, ώστε η ταχύτητα του κινητήρα να είναι 800 ΣΑΛ. Το ρεύμα τυμπάνου είναι 30 A χωρίς τη σύνδεση της αντιστάσεως σε σειρά με το επαγωγικό τύμπανο.

### Λύση.

1) Το ρεύμα διεγέρσεως του κινητήρα  $\Sigma P$  με παράλληλη διέγερση είναι:

$$I_f^{(1)} = \frac{460}{220} = 2,09 \text{ A.}$$

Το ρεύμα τυμπάνου,  $I_a^{(1)}$ , είναι:

$$I_a^{(1)} = I_L^{(1)} - I_f^{(1)} = 50 - 2,09 = 47,91 \text{ A}$$

Όταν ο κινητήρας λειτουργεί χωρίς φορτίο απορροφά ρεύμα 5 A. Το ρεύμα τυμπάνου στη λειτουργία χωρίς φορτίο είναι:  $I_a^{(2)} = 5 - 2,09 = 2,91 \text{ A}$ .

Η αντι-ΗΕΔ  $E_a^{(1)}$  είναι:

$$E_a^{(1)} = V_t - I_a^{(1)} R_a = 460 - 47,91 \cdot 0,5 = 436,04 \text{ V.}$$

Η αντι-ΗΕΔ  $E_a^{(2)}$ , στη λειτουργία χωρίς φορτίο είναι:  $E_a^{(2)} = V_t - I_a^{(2)} R_a = 460 - 2,91 \cdot 0,5 = 458,54 \text{ V.}$

Διαιρώντας τις εξισώσεις της αντι-ΗΕΔ με φορτίο και της αντι-ΗΕΔ χωρίς φορτίο έχομε:

$$\frac{E_a^{(1)}}{E_a^{(2)}} = \frac{K \lambda I_f^{(1)} n_1}{K \lambda I_f^{(2)} n_2}$$

και  $\frac{436,04}{458,54} = \frac{2,09 \cdot 650}{5 n_2}$ .

Η ταχύτητα περιστροφής του κινητήρα στη λειτουργία χωρίς φορτίο είναι  $n_2 \approx 286 \text{ ΣΑΛ}$ .

2) Η αντι-ΗΕΔ  $E_a^*$ , όταν συνδέομε σε σειρά με το επαγωγικό τύμπανο την αντίσταση  $R'$  είναι:

$$E_a^* = K \Phi n_2.$$

Διαιρούμε με αυτήν την εξίσωση την εξίσωση της αντι-ΗΕΔ  $E_a^{(1)} = K \Phi n_1$ , οπότε προκύπτει:

$$\frac{E_a^{(1)}}{E_a^*} = \frac{n_1}{n_2}.$$

Λύνοντας ως προς  $E_a^*$ , έχομε:  $E_a^* = E_a^{(1)} \frac{n_2}{n_1}$ .

ή  $E_a^* = 436,04 \cdot \frac{500}{650} = 335,41 \text{ V.}$

Είναι:  $I_a^{(1)} R_a = 460 - 335,41 = 124,59 \text{ V}$

και  $R_a = \frac{124,59}{I_a^{(1)}} = \frac{124,59}{47,91} = 2,60 \Omega$ .

Η αντίσταση  $R'$ , η οποία συνδέεται σε σειρά με το επαγωγικό τύμπανο είναι:

$$R' = 2,60 - 0,5 = 2,1 \Omega.$$

3) Έστω  $I_a^{(3)}$  το ρεύμα τυμπάνου ίσο με 30 A.

Έχομε:  $E_a^{(1)} = V_t - I_a^{(3)} R_a = 460 - 30 \cdot 0,5 = 445 \text{ V}$

Έστω  $\Phi_1$  η μαγνητική ροή όταν ο κινητήρας περιστρέφεται στις 650 ΣΑΛ, και  $\Phi_2$  είναι η μαγνητική ροή όταν ο κινητήρας περιστρέφεται στις 800 ΣΑΛ.

Ισχύει:  $E_a^{(1)} = K \Phi_1 n_1$  (1)

Η αντι-ΗΕΔ όταν ο κινητήρας απορροφά 50 A.

$$E_a^{(3)} = K \Phi_2 n_2$$
 (2)

η αντι-ΗΕΔ όταν το ρεύμα τυμπάνου είναι 30 A.

Διαιρώντας κατά μέλη τις εξισώσεις 1 και 2 έχομε:

$$\frac{E_a^{(1)}}{E_a^{(3)}} = \frac{K \Phi_1 n_1}{K \Phi_2 n_2}$$

$$E_a^{(1)} \Phi_2 n_2 = E_a^{(3)} \Phi_1 n_1$$

$$\frac{\Phi_2}{\Phi_1} = \frac{E_a^{(3)} n_1}{E_a^{(1)} n_2} = \frac{445 \cdot 650}{436,04 \cdot 800} = 0,829.$$

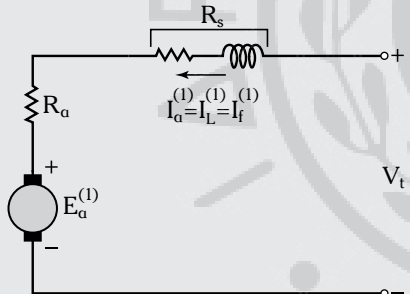
Η επί τοις εκατό μείωση της μαγνητικής ροής είναι:  $(1 - 0,829) \cdot 100 = 17,1\%$ .

### Άσκηση 6.

Δίδεται κινητήρας ΣΡ διεγέρσεως σειράς (σχ. 5.11β), ο οποίος περιστρέφεται με 550 ΣΑΛ. Ο κινητήρας τροφοδοτείται με τάση 230 V και απορροφά 45 A. Η αντίσταση του επαγωγικού τυμπάνου είναι 0,1 Ω και η αντίσταση του τυλίγματος διεγέρσεως είναι 0,01 Ω. Να υπολογίσετε την ταχύτητα περιστροφής του κινητήρα αν συνδεθεί παράλληλα στο τύλιγμα διεγέρσεως αντίσταση 0,12 Ω. Θεωρήστε ότι η ροπή στον δρομέα διατηρείται σταθερή, ενώ ο κινητήρας λειτουργεί στο γραμμικό τμήμα της μαγνητικής χαρακτηριστικής του.

### Λύση.

Το ισοδύναμο κύκλωμα του κινητήρα πριν τη σύνδεση της αντιστάσεως των 0,12 Ω, παράλληλα προς την αντίσταση του τυλίγματος διεγέρσεως είναι:



Σχ. 5.11β

Οι εξισώσεις λειτουργίας είναι:

$$E_a^{(1)} = K\Phi_1 n_1 \quad (1)$$

$$V_t = E_a^{(1)} + I_a^{(1)} (R_a + R_s) \quad (2)$$

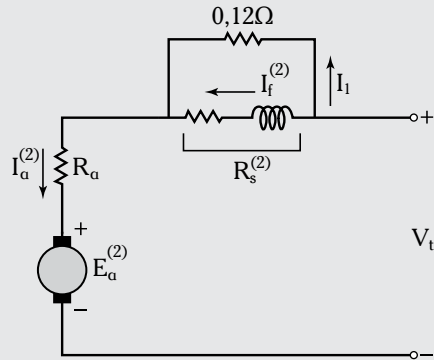
$$I_L^{(1)} = I_f^{(1)} = I_a^{(1)} \quad (3)$$

$$T_1 = K\Phi_2 I_a^{(2)} \quad (4)$$

$$\Phi_1 = \lambda I_f^{(1)}. \quad (5)$$

Μετά τη σύνδεση της αντιστάσεως των 0,12 Ω παράλληλα προς την  $R_s$ , το ισοδύναμο κύκλωμα

του κινητήρα δίδεται στο σχήμα 5.11γ.



Σχ. 5.11γ

Οι εξισώσεις λειτουργίας είναι:

$$E_a^{(2)} = K\Phi_2 n_2 \quad (6)$$

$$V_t = E_a^{(2)} + I_a^{(2)} R_a + I_f^{(2)} R_s \quad (7)$$

$$I_1 + I_f^{(2)} = I_a^{(2)} \quad (8)$$

$$T_2 = K\Phi_2 I_a^{(2)} \quad (9)$$

$$\Phi_2 = \lambda I_f^{(2)}. \quad (10)$$

Διαιρούμε κατά μέλη την εξίσωση 1 και την εξίσωση 6. Λαμβάνοντας υπόψη τις εξισώσεις 5 και 10, αντίστοιχα, έχουμε:

$$\frac{E_a^{(1)}}{E_a^{(2)}} = \frac{K\lambda I_f^{(1)} n_1}{K\lambda I_f^{(2)} n_2}$$

$$\frac{E_a^{(1)}}{E_a^{(2)}} = \frac{I_a^{(1)} n_1}{I_a^{(2)} n_2}. \quad (11)$$

Είναι:

$$I_f^{(1)} = I_a^{(1)} = 45 \text{ A}$$

$$\text{και } E_a^{(1)} = V_t - I_a^{(1)} (R_a + R_s) = \\ = 230 - 45 \cdot (0,1 + 0,01) = 225,05 \text{ V.}$$

$$\text{Η } E_a^{(2)} \text{ δίδεται: } E_a^{(2)} = V_t - (I_a^{(2)} \cdot 0,1 + I_f^{(2)} \cdot 0,01).$$

Από το ισοδύναμο κύκλωμα, με την αντίσταση 0,12 Ω συνδεμένη παράλληλα στο τύλιγμα διεγέρσεως, προκύπτει ότι η τάση στα άκρα της παράλληλης συνδέσεως των αντιστάσεων 0,12 Ω και 0,01 Ω είναι ίδια. Αν  $I_1$  είναι το ρεύμα, το οποίο διαρρέει την αντίσταση 0,12 Ω και  $I_f^{(2)}$  την αντίστα-

σε  $0,01 \Omega$ , ισχύει:

$$I_f^{(2)} \cdot 0,01 = I_a \cdot 0,12$$

και

$$I_a = \frac{0,01}{0,12} I_f^{(2)}. \quad (12)$$

Η εξίσωση 8 με βάση την εξίσωση 12 γίνεται:

ή

$$\frac{0,01}{0,12} I_f^{(2)} + I_f^{(2)} = I_a^{(2)}$$

$$I_f^{(2)} \left( \frac{0,01}{0,12} + 1 \right) = I_a^{(2)}$$

ή

$$I_f^{(2)} \frac{0,13}{0,12} = I_a^{(2)}$$

και

$$I_f^{(2)} = \frac{0,12 I_a^{(2)}}{0,13}. \quad (13)$$

Η ροπή στο δρομέα διατηρείται σταθερή.

Πριν τη σύνδεση της αντιστάσεως των  $0,12 \Omega$  έχουμε:

$$T_1 = K\lambda I_f^{(1)} I_a^{(1)} \text{ με } I_f^{(1)} = I_a^{(1)} \Rightarrow T_1 = K\lambda (I_a^{(1)})^2. \quad (14)$$

Μετά τη σύνδεση της αντιστάσεως των  $0,12 \Omega$  έχουμε:  $T_2 = K\lambda I_f^{(2)} I_a^{(2)}$

ή

$$T_2 = K\lambda \frac{0,12}{0,13} I_a^{(2)} I_a^{(2)} \quad (15)$$

$$T_2 = K\lambda \frac{0,12}{0,13} (I_a^{(2)})^2.$$

Από τις εξισώσεις 14 και 15 έχουμε:

$$T_1 = T_2$$

ή

$$K\lambda (I_a^{(1)})^2 = K\lambda \frac{0,12}{0,13} (I_a^{(1)})^2$$

ή

$$45^2 = \frac{0,12}{0,13} (I_a^{(1)})^2$$

ή

$$2.193,75 = (I_a^{(1)})^2$$

και

$$I_a^{(2)} = \sqrt{2.193,75} = 46,83 \text{ A.} \quad (16)$$

Η εξίσωση 13 με βάση την εξίσωση 16 γίνεται:

$$I_f^{(2)} = \frac{0,12}{0,13} \cdot 46,83 = 43,22 \text{ A.} \quad (17)$$

Η εξίσωση 7 με βάση την εξίσωση 17 γίνεται:

$$E_a^{(2)} = V_t - I_a^{(2)} R_a + I_f^{(2)} R_S$$

$$\text{ή} \quad E_a^{(2)} = 230 - (46,83 \cdot 0,1 + 43,22 \cdot 0,01) =$$

$$= 230 - 5,11 = 224,89 \text{ V.}$$

Τελικά, η εξίσωση 11 γίνεται:

$$\frac{225,05}{224,89} = \frac{45 \cdot 550}{43,22 \cdot n_2}$$

και

$$n_2 = 572 \Sigma \text{ΑΛ.}$$

### Άσκηση 7.

Δίδεται εξαπολικός κινητήρας ΣΡ, ο οποίος τροφοδοτείται με τάση  $240 \text{ V}$ , ενώ απορροφά από το δίκτυο  $45 \text{ A}$ . Η αντίσταση του επαγωγικού τυμπάνου είναι  $0,24 \Omega$ . Ο κινητήρας περιστρέφεται με  $610 \Sigma \text{ΑΛ}$ . Να υπολογίσετε την πλεκτρομαγνητική ροπή,  $T_e$ , του κινητήρα.

### Λύση.

Θα υπολογίσουμε την εσωτερική αναπτυσσόμενη πλεκτρομαγνητική ροπή  $T_e$ . Ισχύει:

$$P_e = E_a I_a = T_e \omega$$

και

$$T_e = \frac{E_a I_a}{\omega}.$$

Είναι:  $E_a = V_t - I_a R_a = 240 - 45 \cdot 0,24 = 229,2 \text{ V.}$

Είναι:  $\omega = 2\pi \frac{n}{60} = \frac{6,28 \cdot 610}{60} = 63,84 \text{ rad/s.}$

Η ροπή  $T_e$  είναι:  $T_e = \frac{229,2 \cdot 45}{63,84} = 162 \text{ N-m.}$

### Άσκηση 8.

Δίδεται κινητήρας ΣΡ με παράλληλη διέγερση, ο οποίος απορροφά  $25 \text{ A}$  από το δίκτυο, όταν τροφοδοτείται με τάση  $220 \text{ V}$ . Οι απώλειες λόγω τριβών και ανεμισμού είναι  $450 \text{ W}$ . Η αντίσταση του επαγωγικού τυμπάνου είναι  $0,25 \Omega$  και η αντίσταση του τυλίγματος διεγέρσεως  $110 \Omega$ . Να υπολογίσετε την απόδοση του κινητήρα.

### Λύση.

Το ρεύμα διεγέρσεως είναι:

$$I_f = \frac{V_t}{R_f} = \frac{220}{110} = 2 \text{ A.}$$

Οι πλεκτρικές απώλειες στο τύλιγμα διεγέρσεως είναι:  $I_f^2 R_f = 2^2 \cdot 110 = 440 \text{ W.}$

Οι πλεκτρικές απώλειες στο τύλιγμα του επαγγωγικού τυμπάνου είναι:  $I_a^2 R_a = I_a^2 \cdot 0,25.$

Έχομε:  $I_a = I_L - I_f = 25 - 2 = 23 \text{ A}$

και  $I_a^2 R_a = 23^2 \cdot 0,25 = 132,25 \text{ W}$

Οι συνολικές απώλειες  $\Sigma P_{\text{απ}}$  είναι:

$$\Sigma P_{\text{απ}} = 440 + 132,25 + 450 = 1.022,25 \text{ W.}$$

Η ισχύς εξόδου  $P_{\text{out}}$  είναι:

$$P_{\text{out}} = P_{\text{in}} - \Sigma P_{\text{απ}} = 220 \cdot 25 - 1.022,25 = 4.477,75 \text{ W.}$$

Η ισχύς εισόδου του κινητήρα είναι:

$$P_{\text{in}} = V_t I_L = 220 \cdot 25 = 5.500 \text{ W.}$$

Η απόδοση του κινητήρα είναι:

$$\eta = \frac{P_{\text{out}}}{P_{\text{in}}} \cdot 100 = \frac{4.477,75}{5.500} \cdot 100 = 81,41\%$$

### Άσκηση 9.

Δίδεται κινητήρας ΣΡ με παράλληλη διέγερση, ο οποίος απορροφά ρεύμα 30 A από το δίκτυο ΣΡ, όταν τροφοδοτείται με 220 V. Η ταχύτητα περιστροφής του είναι 1.100 ΣΑΛ. Η αντίσταση επαγγωγικού τυμπάνου και η αντίσταση του τυλίγματος διεγέρσεως είναι 0,24 Ω και 120 Ω αντίστοιχα. Οι απώλειες λόγω τριβής και ανεμισμού είναι 250 W. Να υπολογίσετε:

1) Την εσωτερική αναπτυσσόμενη πλεκτρομαγνητική ροπή  $T_e$ .

2) Την ροπή στον άξονα του κινητήρα.

3) Την απόδοση του κινητήρα.

### Λύση.

1) Η εσωτερική αναπτυσσόμενη πλεκτρομαγνητική ροπή  $T_e$  δίδεται στην ακόλουθη εξίσωση:

$$E_a I_a = T_e \omega \quad (1)$$

$$\text{όπου} \quad \omega = 2\pi \frac{n}{60} \quad (2)$$

είναι η ταχύτητα περιστροφής του κινητήρα σε rad/s.

Η εξίσωση 1 με βάση την εξίσωση 2 γίνεται:

$$T_e = \frac{E_a I_a}{2\pi \frac{n}{60}}. \quad (3)$$

Η αντί-ΗΕΔ  $E_a$  δίδεται:  $E_a = V_t - I_a R_a$ .

Το ρεύμα το οποίο απορροφά ο κινητήρας από το δίκτυο είναι:

$$I_L = I_a + I_f = I_a + \frac{V_t}{R_f}. \quad (4)$$

Από τα δεδομένα, η εξίσωση 4 γίνεται:

$$30 = I_a + \frac{220}{120}.$$

Λύνοντας ως προς  $I_a$  έχομε:  $I_a = 28,16 \text{ A.}$

Η αντί-ΗΕΔ δίδεται:

$$E_a = 220 - 28,16 \cdot 0,24 = 213,24 \text{ V.}$$

Η εξίσωση 3 γίνεται:

$$T_e = \frac{213,24 \cdot 28,16}{6,28 \cdot 1.100} = 52,15 \text{ N-m.}$$

2) Η ισχύς στην έξοδο του κινητήρα,  $P_{\text{out}}$ , είναι:

$$P_{\text{out}} = T_{\alpha\xi} \omega$$

$$\text{ή } P_{\text{out}} = P_e - P_\ell = 213,24 \cdot 28,16 - 250 = 5.755 \text{ W}$$

όπου  $P_\ell$  οι απώλειες λόγω τριβών και ανεμισμού.

Η ροπή στον άξονα,  $T_{\alpha\xi}$ , είναι:

$$T_{\alpha\xi} = \frac{P_{\text{out}}}{\omega} = \frac{5.755}{2\pi \cdot \frac{1.100}{60}} = 50 \text{ N-m.}$$

3) Η απόδοση  $\eta$  του κινητήρα είναι:

$$\eta = \frac{P_{\text{out}}}{P_{\text{in}}} = \frac{P_{\text{in}} - \Sigma P_{\text{απ}}}{P_{\text{in}}} = 1 - \frac{\Sigma P_{\text{απ}}}{P_{\text{in}}}$$

$$\begin{aligned} \Sigma P_{\text{απ}} &= I_a^2 R_a + I_f^2 R_f + P_\ell = \\ &= 190,32 + 402 + 250 = 842,32 \text{ W.} \end{aligned}$$

Ισχύει ότι  $I_a = 28,16 \text{ A}$  και  $R_a = 0,24 \Omega$ . Οπότε

$$I_a^2 R_2 = (28,16)^2 \cdot 0,24 = 190,32 \text{ W.}$$

Το ρεύμα διεγέρσεως  $I_f$  είναι:

$$I_f = \frac{V_t}{R_f} = \frac{220}{120} = 1,83 \text{ A,}$$

$$\text{οπότε } I_f^2 R_f = (1,83)^2 \cdot 120 \approx 402 \text{ W.}$$

$$\text{Είναι: } \eta = 1 - \frac{842,32}{220 \cdot 30} = 1 - \frac{842,32}{6.600} = 0,87.$$

Η ισχύς εξόδου  $P_{in}$ , είναι:

$$P_{in} = V_t I_L = 220 \cdot 30 = 6.600 \text{ W.}$$

### Άσκηση 10.

Κινητήρας ΣΡ περιστρέφεται με 800 ΣΑΛ και τροφοδοτείται με τάση 230 V. Να υπολογιστεί η ταχύτητα του κινητήρα όταν τροφοδοτείται με τάση 200 V. Θεωρήστε ότι η μαγνητική ροή είναι 65% της αρχικής, ενώ αμελούνται οι πτώσεις τάσεως στα κυκλώματα του επαγωγικού τυμπάνου.

#### Λύση.

Έστω  $\Phi_1$  η αρχική μαγνητική ροή. Η νέα μαγνητική ροή είναι  $\Phi_2 = 0,65 \Phi_1$ . Διακρίνομε δύο καταστάσεις λειτουργίας του κινητήρα:

1) Όταν η τάση τροφοδοσίας είναι 230 V, η αντι-ΗΕΔ σε αυτήν την κατάσταση είναι:

$$E_a^{(1)} = K \Phi_1 n_1. \quad (1)$$

2) Όταν η τάση τροφοδοσίας είναι 200 V, η αντι-ΗΕΔ σε αυτήν την κατάσταση είναι:

$$E_a^{(2)} = K \Phi_2 n_2. \quad (2)$$

Είναι  $I_a \cdot R_a = 0$  οπότε ισχύει:

$$V_t^{(1)} \equiv E_a^{(1)}, \quad V_t^{(2)} \equiv E_a^{(2)}.$$

Διαιρώντας κατά μέλη την εξίσωση 1 με την εξίσωση 2:

$$\frac{V_t^{(1)}}{V_t^{(2)}} \equiv \frac{K \Phi_1 n_1}{K 0,65 \Phi_1 n_2}$$

$$\frac{230}{200} = \frac{800}{0,65 \cdot n_2}$$

$$n_2 = 1.070 \text{ ΣΑΛ.}$$

### 5.12 Ερωτήσεις – Εργασίες.

#### 5.12.1 Μνημένες ΣΡ.

- 1) Ποια είναι η αρχή λειτουργίας μιας μπχανής ΣΡ;
- 2) Ποιος είναι ο ρόλος των κυρίων μαγνητικών πόλων μιας μπχανής ΣΡ;
- 3) Τι εννοούμε με τον όρο επαγωγικό τύμπανο σε μια μπχανή ΣΡ;
- 4) Σε ποιο μέρος μιας μπχανής ΣΡ τοποθετείται ο ουλλέκτης και σε πι χρησιμεύει στις μπχανές ΣΡ;
- 5) Ποια είναι η διαφορά των βροχοτυλιγμάτων από τα κυματοιώλιγματα;
- 6) Περιγράψτε το φαινόμενο αντιδράσεως τυμπάνου. Πώς επηρεάζει τη συμπεριφορά της μπχανής ΣΡ;
- 7) Τι είναι η μεταγωγή;
- 8) Τι είναι οι βοηθητικοί πόλοι, σε ποιο μέρος μιας μπχανής ΣΡ τοποθετούνται και ποια είναι η προέλευση του ρεύματος τροφοδοσίας τους;
- 9) Τι είναι τα τιλίγματα αντισταθμίσεως και σε ποιο μέρος της μπχανής ΣΡ τοποθετούνται;
- 10) Για ποιον λόγο ο πυρήνας του δρομέα, μιας μπχανής ΣΡ, ελασματοποιείται;

#### 5.12.2 Γεννήτριες ΣΡ.

- 1) Σε ποιες κατηγορίες κατατάσσονται οι γεννήτριες ΣΡ, ανάλογα με την προέλευση του ρεύματος διεγέρσεως;
- 2) Σχεδιάστε το ισοδύναμο πλεκτρικό κύκλωμα μιας γεννήτριας ΣΡ με ανεξάρτητη διέγερση. Ποιες είναι οι εξισώσεις λειτουργίας του;
- 3) Τι εκφράζει η στατική χαρακτηριστική μιας γεννήτριας ΣΡ;
- 4) Σχεδιάστε την εξωτερική χαρακτηριστική μιας γεννήτριας ΣΡ με ανεξάρτητη διέγερση. Τι συμπεράσματα βγάζετε;
- 5) Σχεδιάστε το ισοδύναμο πλεκτρικό κύκλωμα μιας γεννήτριας ΣΡ με παράλληλη διέγερση και τι αντίστοιχες εξισώσεις λειτουργίας.
- 6) Περιγράψτε την μπχανιομό αυτοδιεγέρσεως μιας γεννήτριας ΣΡ με παράλληλη διέγερση.
- 7) Με ποιους τρόπους χάνεται ο παραμένων μαγνητισμός σε μια γεννήτρια ΣΡ με παράλληλη διέγερση;
- 8) Σχεδιάστε την εξωτερική χαρακτηριστική μιας γεννήτριας ΣΡ με παράλληλη διέγερση και να τη συγκρίνετε με την αντίστοιχη χαρακτηριστική της γεννήτριας με ανεξάρτητη διέγερση. Τι συμπεράσματα βγάζετε;
- 9) Μια γεννήτρια ΣΡ με διέγερση σειράς μπορεί

να λειτουργήσει χωρίς φορτίο;

10) Να σχεδιαστούν και να επεξηγηθούν τα ισοδύναμα κυκλώματα των γεννητηριών με σύνθετη διέγερση.

11) Ποιες είναι οι συνθήκες παραλληλισμού των γεννητηριών  $\Sigma P$ ; Μπορεί να παραλληλιστεί μια γεννητηρία  $\Sigma P$  με παράλληλη διέγερση με μια γεννητηρία  $\Sigma P$  με διέγερση σειράς;

12) Σχεδιάστε και επιξηγήστε το διάγραμμα ροής ισχύος των γεννητηριών  $\Sigma P$ . Ποια είναι η συνθήκη μέγιστης αποδόσεως μιας γεννητηρίας  $\Sigma P$ ;

### 5.12.3 Κινητήρες $\Sigma P$ .

1) Ποιο είναι το πρόβλημα των κινητήρων  $\Sigma P$  κατά την εκκίνησή τους;

2) Σχεδιάστε το ισοδύναμο κύκλωμα ενός κινητήρα  $\Sigma P$  με παράλληλη διέγερση και τις αντίστοιχες εξισώσεις λειτουργίας.

3) Να σχεδιάστε τη χαρακτηριστική  $n = f(T)$  για  $V_t = \text{σταθ.}$  και  $R_a = \text{σταθ.}$ , ενός κινητήρα  $\Sigma P$  με παράλληλη διέγερση. Τι συμπεράσματα βγάζει;

4) Να σχεδιάστε και να επεξηγήστε τη χαρακτηριστική  $n = f(T)$  για  $V_t = \text{σταθ.}$

5) Να σχεδιάστε και να επεξηγήστε τη χαρακτηριστική  $n = f(I_a)$  για  $V_t = \text{σταθ.}$  μιας γεννητηρίας  $\Sigma P$  με διέγερση σειράς.

6) Να σχεδιάστε και να επεξηγήστε τη χαρακτηριστική  $n = f(I_a)$  για  $V_t = \text{σταθ.}$  και  $R_a = \text{σταθ.}$  μιας γεννητηρίας  $\Sigma P$  με παράλληλη διέγερση.

7) Να σχεδιάστε και να επεξηγήστε το διάγραμμα ροής ισχύος ενός κινητήρα  $\Sigma P$ .

8) Πώς συμπεριφέρεται ένας κινητήρας  $\Sigma P$  με παράλληλη διέγερση όταν κατά την εκκίνησή του διακοπεί το ίδιγμα διεγέρσεως;

9) Ποιοι είναι οι τρόποι ρυθμίσεως της ταχύτητας περιστροφής ενός κινητήρα  $\Sigma P$  με παράλληλη διέγερση;

10) Ποια είναι τα πλεονεκτήματα και τα μειονεκτήματα των κινητήρων  $\Sigma P$  με μόνιμους μαγνήτες σε σύγκριση με τους συμβατικούς κινητήρες  $\Sigma P$ ;

### 5.13 Προτεινόμενες ασκήσεις.

#### Άσκηση 1.

Κινητήρας  $\Sigma P$  με παράλληλη διέγερση τροφοδοτείται με τάση 20V, περιστρέφεται με 850 ΣΑΛ, ενώ το ρεύμα τυμπάνου είναι 50 A. Αν το φορτίο αυξηθεί με αποτέλεσμα την αύξηση της αναπτυσσόμενης ροπής κατά 25% και της μαγνητικής κατά 15%, να

υπολογίσετε την ταχύτητα περιστροφής στην οποία θα λειτουργεί ο κινητήρας. Δίδεται:  $R_a = 0,025 \Omega$ .

#### Άσκηση 2.

Κινητήρας  $\Sigma P$  λειτουργεί στις 750 ΣΑΛ με ρεύμα γραμμής 80 A και τάση τροφοδοσίας 230 V. Η αντίσταση τυμπάνου είναι 0,14 Ω και η αντίσταση τυλίγματος διεγέρσεως είναι 0,11 Ω. Υποθέστε ότι η ροή, η οποία αντιστοιχεί σε ρεύμα 20 A είναι 40% αυτής που αντιστοιχεί σε ρεύμα 80 A.

Να υπολογίσετε την ταχύτητα του κινητήρα για ρεύμα γραμμής 20 A.

#### Άσκηση 3.

Δίδεται κινητήρας  $\Sigma P$  με παράλληλη διέγερση, 230 V, ο οποίος απορροφά ρεύμα 40 A. Ο κινητήρας αναπτύσσει ισχύ 7 kW όταν περιστρέφεται με 6.500 ΣΑΛ. Αν η αντίσταση τυμπάνου είναι 0,4 Ω, να υπολογίσετε:

- 1) Τη ροπή στον άξονα του κινητήρα.
- 2) Τις πλεκτρικές απώλειες στο επαγωγικό τύμπανο.
- 3) Την ονομαστική απόδοση του κινητήρα και
- 4) τη σταθερά της ροπής.

#### Άσκηση 4.

Δίδεται κινητήρας  $\Sigma P$  με ανεξάρτητη διέγερση, 90 V, ο οποίος έχει  $R_a = 31 \Omega$ . Όταν η μαγνητική ροή  $\Phi$  είναι η μεγαλύτερη δύναμη, στη λειτουργία χωρίς φορτίο περιστρέφεται με 3.822 ΣΑΛ. Ο κινητήρας πρέπει να συνδεθεί σε φορτίο, το οποίο ασκεί ροπή  $T_L = 2,5 \text{ N}\cdot\text{m}$  στην ταχύτητα 3.822 ΣΑΛ.

Να καθορίσετε:

- 1) Τις συνθήκες λειτουργίας του κινητήρα ώστε να λειτουργεί κανονικά με αυτό το φορτίο συνδεμένο στον άξονά του.
- 2) Το ρεύμα τυμπάνου στο σημείο λειτουργίας του κινητήρα, και
- 3) την ισχύ εισόδου και τις πλεκτρικές απώλειες στο επαγωγικό τύμπανο.

#### Άσκηση 5.

Δίδεται κινητήρας  $\Sigma P$  διεγέρσεως σειράς, ο οποίος περιστρέφεται με 500 ΣΑΛ όταν τροφοδοτείται με τάση 200 V και απορροφά ρεύμα 25 A. Ο κινητήρας έχει:  $R_a = 0,2 \Omega$  και  $R_s = 0,6 \Omega$ . Σε ποια ταχύτητα περιστροφής θα λειτουργήσει ο κινητήρας αν αναπτύσσει την ίδια ροπή όταν συνδεθεί παράλληλα προς το επαγωγικό τύμπανο αντιστάσεως  $10 \Omega$ .

### Άσκηση 6.

Δίδεται διπολικός κινητήρας ΣΡ, ο οποίος όταν λειτουργεί στο πλήρες φορτίο τροφοδοτείται με τάση 500 V, περιστρέφεται με 600 ΣΑΛ και απορροφά 10 A από δίκτυο συνεχούς. Αν το επαγωγικό τύμπανο αποτελείται από 500 αγωγούς και η μαγνητική ροή ανά πόλο εκφράζεται από τη σχέση  $\Phi = 0,03\sqrt{I_a}$  Weber, όπου  $I_a$  το ρεύμα του κινητήρα, να υπολογίσετε την ταχύτητα του κινητήρα όταν η τάση τροφοδοσίας και η ροπή φορτίου ισούται με  $\frac{1}{2}$  της αρχικής τημάντας τους.

### Άσκηση 7.

Κινητήρας ΣΡ με παράλληλη διέγερση τροφοδοτείται με τάση 220 V και περιστρέφεται με 850 ΣΑΛ, ενώ το ρεύμα τυμπάνου είναι 50 A. Αν το φορτίο αυξηθεί με αποτέλεσμα την αύξηση της εσωτερικής αναπτυσσόμενης ροπής κατά 25% και της μαγνητικής ροπής κατά 15%.

Να υπολογίσετε την ταχύτητα περιστροφής του κινητήρα. Είναι  $R_a = 0,25 \Omega$ .

### Άσκηση 8.

Κινητήρας ΣΡ με διέγερση σειράς 500 V περιστρέφεται με 870 ΣΑΛ όταν απορροφά ρεύμα 25 A. Η συνολική αντίσταση του τυλίγματος τυμπάνου και του τυλίγματος διεγέρσεως είναι  $0,9 \Omega$ . Ποια είναι η τιμή της ωμικής αντιστάσεως,  $R_x$ , η οποία πρέπει να συνδεθεί σε σειρά με το επαγωγικό τύμπανο, ώστε η ταχύτητα του κινητήρα να μειωθεί στις 500 ΣΑΛ, όταν η ροπή:

- 1) Διατηρείται σταθερή.
- 2) Είναι ανάλογη της ταχύτητας περιστροφής.
- 3) Είναι ανάλογη του κύβου της ταχύτητας περιστροφής.

### Άσκηση 9.

Η τάση τυμπάνου ενός κινητήρα ΣΡ με ανεξάρτητη διέγερση μεταβάλλεται από 0 μέχρι και 600 V. Στην

ονομαστική τάση τυμπάνου η ταχύτητα του κινητήρα είναι 1.600 ΣΑΛ. Αμελώντας όλες τις απώλειες:

1) Ποια είναι η τιμή του ρεύματος τυμπάνου όταν η ροπή στον άξονα του κινητήρα είναι 420 N·m (με σταθερή τάση τυμπάνου 600 V);

2) Αν η τάση τυμπάνου διατηρείται σταθερή και το ρεύμα διεγέρσεως μειώνεται μέχρι η ταχύτητα του κινητήρα να πάρει την τιμή 4.000 ΣΑΛ, ποια είναι η τιμή της ροπής στον άξονά του;

### Άσκηση 10.

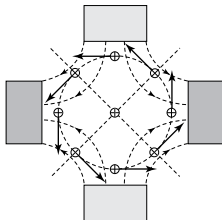
Ένας κινητήρας ΣΡ τροφοδοτείται με την ονομαστική του τάση 250 V, και απορροφά 6% της ισχύος την οποία απορροφά στις συνθήκες πλήρους φορτίου (15 kW). Υποθέτοντας ότι η μαγνητική ροή διατηρείται σταθερή, όταν ο κινητήρας περνάει από τη λειτουργία χωρίς φορτίο στη λειτουργία με φορτίο, ενώ οι απώλειες λόγω τριβών και ανεμισμού είναι το 1% της ισχύος, την οποία απορροφά από το δίκτυο, να υπολογίσετε:

- 1) Το ρεύμα τυμπάνου.
- 2) Την ταχύτητα στη λειτουργία χωρίς φορτίο.
- 3) Την ταχύτητα στη λειτουργία με πλήρες φορτίο.
- 4) Την απόδοση του κινητήρα στη λειτουργία με πλήρες φορτίο.
- 5) Τη ροπή στον άξονα στη λειτουργία με πλήρες φορτίο.
- 6) Τη ροπή στον άξονα στη λειτουργία χωρίς φορτίο.

### Άσκηση 11.

Η τάση τροφοδοσίας ενός κινητήρα ΣΡ με παράλληλη διέγερση είναι 400 V. Η αντίσταση τυμπάνου είναι  $1,2 \Omega$  και η αντίσταση του τυλίγματος διεγέρσεως είναι  $300 \Omega$ . Όταν περιστρέφεται με ροπή 70 N·m απορροφά ρεύμα 20 A.

Να υπολογίσετε την ταχύτητα του κινητήρα θεωρώντας ότι η πλεκτρική ισχύς μετατρέπεται 100% σε μηχανική.



## ΚΕΦΑΛΑΙΟ ΕΚΤΟ ΣΥΓΧΡΟΝΕΣ ΓΕΝΝΗΤΡΙΕΣ

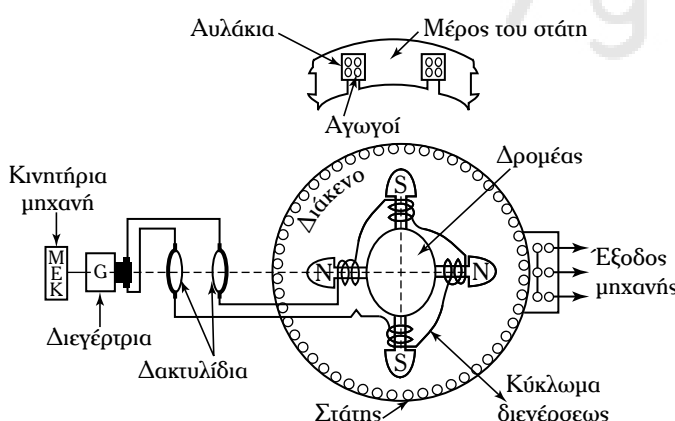
### 6.1 Εισαγωγή.

Ηλεκτρομηχανική μετατροπή ενέργειας έχουμε όταν η πεπλεγμένη μαγνητική ροή (βλ. παράγρ. 4.2) συνδέεται με μηχανική κίνηση. Τάση σε ένα κύκλωμα δημιουργείται, όταν υπάρχει σχετική κίνηση μεταξύ κυκλώματος και μαγνητικού πεδίου. Όταν η πεπλεγμένη ροή μεταβάλλεται περιοδικά, τότε παράγεται πλεκτρεγερτική δύναμη (ΗΕΔ).

Στις σύγχρονες γεννήτριες οι πηγές παραγωγής μαγνητικής ροής είναι τα τυλίγματα διεγέρσεως, τα οποία τοποθετούνται στο περιστρεφόμενο μέρος τους που ονομάζεται **δρομέας**. Το σύνολο των πλεκτρικών κυκλώματων, μέσα στα οποία δημιουργούνται εναλλασσόμενες ημιτονοειδείς τάσεις, ονομάζεται **επαγωγικό τύμπανο**. Αυτό τοποθετείται στο ακίνητο μέρος της γεννήτριας που ονομάζεται **στάτης**.

Βασική προϋπόθεση για να λειτουργεί μια περιστρεφόμενη μηχανή ως σύγχρονη, είναι τα τυλίγματα διεγέρσεως να διαρρέονται από συνεχές ρεύμα. Στο σχήμα 6.1, παρουσιάζεται μια τυπική σύγχρονη γεννήτρια.

Με τον όρο **σύγχρονη γεννήτρια** εννοούμε, γενικά τη μηχανή της οποίας η ταχύτητα του περιστρε-



**Σχ. 6.1**

Σχηματική παράσταση σύγχρονης γεννήτριας, με προεξόντες μαγνητικούς πόλους.

φόμενου μαγνητικού πεδίου είναι ίση με την ταχύτητα περιστροφής του δρομέα.

Η **διεγέρτρια** (σχ. 6.1) είναι μια γεννήτρια ΣΡ με παράλληλη διέγερση, η οποία τροφοδοτεί μέσω ενός ζευγαριού χαλκίνων δακτυλιδίων, τα τυλίγματα διεγέρσεως με συνεχές ρεύμα. Το παραγόμενο μαγνητικό πεδίο περιστρέφεται με την ίδια ταχύτητα με εκείνη του δρομέα, επάγοντας ένα σύστημα τάσεων και ρευμάτων στο επαγωγικό τύμπανο.

### 6.2 Κατηγορίες συγχρόνων γεννητριών.

Ανάλογα με την κατασκευή του δρομέα έχουμε δύο κατηγορίες συγχρόνων γεννητριών:

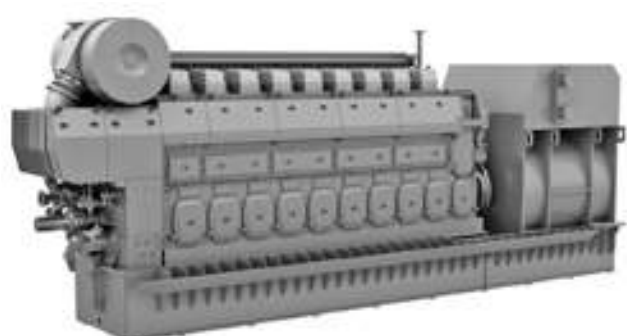
1) Τις **σύγχρονες γεννήτριες με εκτύπους** (προεξόντες) **μαγνητικούς πόλους** (σχ. 6.1). Οι αντίστοιχες γεννήτριες συνδέονται με κινητήριες μηχανές ντίζελ ή υδροστρόβιλο (σχ. 6.2α), και

2) τις **σύγχρονες γεννήτριες με κυλινδρικό δρομέα** (σχ. 6.2β). Οι αντίστοιχες γεννήτριες συνδέονται με στροβιλοκινητήρες (σχ. 6.2γ).

Στις ακόλουθες παραγράφους μελετάται η σύγχρονη μηχανή με κυλινδρικό δρομέα.

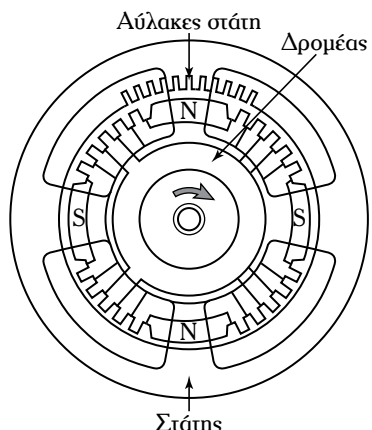
### 6.3 Συστήματα διεγέρσεως συγχρόνων γεννητριών.

Τα κυκλώματα διεγέρσεως του δρομέα τροφοδο-



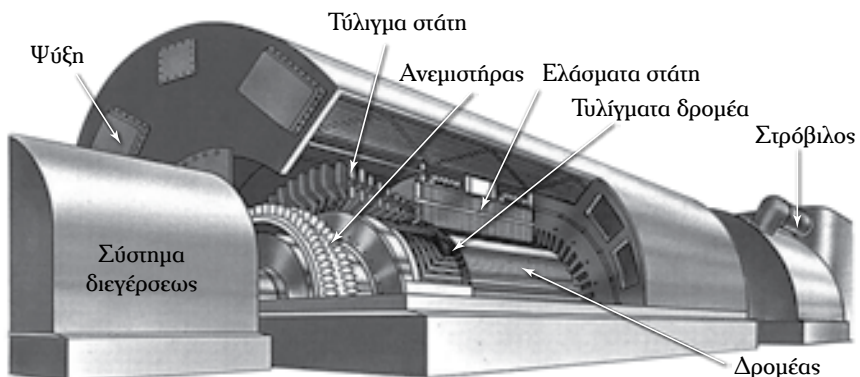
**Σχ. 6.2α**

Ντίζελογεννήτρια.



### **Sx. 6.2β**

*Δρομέας και στάιν γεννήσιας  
με κυλινδρικό δρομέα.*



## **Σx. 6.2γ**

τούνται με συνεχές ρεύμα από:

- 1) Τη διεγέρτρια (σχ. 6.1 και παράγρ. 5.5.2).
  - 2) Το σπατό σύστημα διεγέρσεως (σχ. 6.3α).
  - 3) Το περιστρεφόμενο σύστημα διεγέρσεως άνευ ψηκτιρών (brushless) (σχ. 6.3β).

### **6.3.1 Στατό σύστημα διεγέρσεως.**

Το ρεύμα διεγέρσεως παράγεται τροφοδοτώντας τα τυλίγματα διεγέρσεως της γεννήτριας με ένα σύστημα συνεχούς τάσεως, την οποία παίρνουμε από μία ανορθωτική διάταξη (γέφυρα Graetz ή από γέφυρα θυρίστορ). Το συνεχές ρεύμα στην έξοδο της γέφυρας διέρχεται ένα ζευγάρι ψηκτρών-δακτυλιδιών και στη συνέχεια κυκλοφορεί στο κύκλωμα διεγέρσεως της γεννήτριας (σχ. 6.3a).

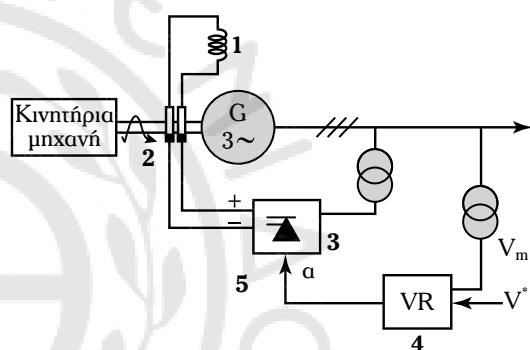
Το στατό σύστημα διεγέρσεως (σχ. 6.3a) περιλαμβάνει:

- Το κύκλωμα διεγέρσεως της γεννήτριας (1).
  - Το σύστημα ψηκτρών-δακτυλιδιών (2).
  - Την γέφυρα θυρίστορ (3).
  - Τον ρυθμιστή τάσεως (4) και
  - την νομίνια οικισμένης του θυρίστορο (5).

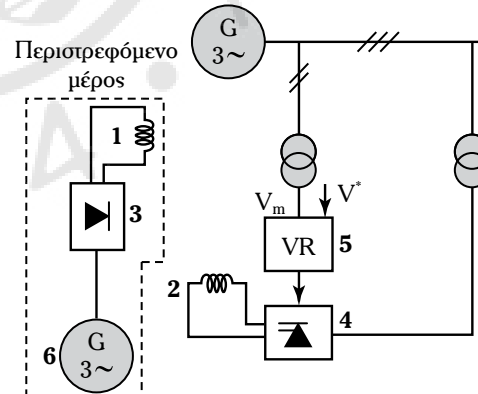
Με τον όρο στατό σύστημα διεγέρσεως εννοούμε ότι το ρεύμα διεγέρσεως παράγεται από κυκλωματικά στοιχεία και διατάξεις, οι οποίες δεν είναι περιστρεφόμενες.

Ο ρυθμιστής τάσεως (VR) συγκρίνει την πραγματική παραγόμενη τάση της γεννήτριας και τη συγκρίνει με μία τάση αναφοράς  $V^*$ .

Το σφάλμα που προκύπτει απ' την παραπάνω σύγκριση προσδιορίζει την γωνία εναύσεως α, των θυρίστορ για να παραχθεί η κατάλληλη τάση διενέργειας.



### **Σx. 6.3α**



### **Σx. 6.3β**

Ένα μειονέκτημα του στατού συστήματος διεγέρσεως είναι η παρουσία των ψηκτρών και των δακτυλιδιών που περιορίζουν την ποσότητα ρεύματος και αυξάνουν το κόστος συντοποίσεως.

Στην περίπτωση βραχυκυκλώματος στους ακρο-

δέκτες της γεννήτριας, η διέγερση μπορεί να γίνεται. Προκειμένου να εξασφαλιστεί κατάλληλη διέγερση, στη σύγχρονη γεννήτρια, στη διάρκεια του βραχικυκλώματος επιλέγεται μία κατάλληλη διάταξη, η οποία τροφοδοτεί τη γέφυρα των θυρίστορ έτσι, ώστε να παράγεται το ονομαστικό ρεύμα διεγέρσεως ακόμα και όταν η παραγόμενη τάση της γεννήτριας είναι μειωμένη (50% της ονομαστικής τάσεως).

### 6.3.2 Σύστημα διεγέρσεως άνευ ψηκτρών (brushless).

Τα μειονεκτήματα της παρουσίας των ψηκτρών και δακτυλιδιών, μέσω των οποίων το ρεύμα διεγέρσεως τροφοδοτεί το κύκλωμα διεγέρσεως της γεννήτριας εξαλείφονται όταν χρονιμοποιείται το περιστρεφόμενο σύστημα διεγέρσεως (σχ. 6.3β).

Ένα περιστρεφόμενο σύστημα διεγέρσεως περιλαμβάνει:

- Το κύριο τύλιγμα διεγέρσεως (1).
- Το βοηθητικό τύλιγμα διεγέρσεως (2).
- Το σύστημα περιστρεφομένων διόδων (3).
- Την γέφυρα θυρίστορ (4).
- Τον ρυθμιστή τάσεως (5).
- Την βοηθητική γεννήτρια (6).

Ένα πλεκτρικό σύμμα ανάλογα με το επιθυμητό ρεύμα διεγέρσεως στέλνεται στο βοηθητικό τύλιγμα διεγέρσεως της βοηθητικής γεννήτριας, με αποτέλεσμα να παράγεται ένα τριφασικό σύστημα τάσεων αναλόγων του ρεύματος διεγέρσεως. Το σύστημα των τριφασικών τάσεων ανορθώνεται από ένα σύστημα διόδων, και η παραγόμενη συνεχής τάση τροφοδοτεί τα κυκλώματα διεγέρσεως της σύγχρονης γεννήτριας.

### 6.4 Αρχή λειτουργίας της στοιχειώδους σύγχρονης γεννήτριας.

Το φαινόμενο της πλεκτρομαγνητικής επαγωγής (βλ. παράγρ. 1.7) είναι η βασική αρχή λειτουργίας των συγχρόνων γεννητριών. Όταν υπάρχει σχετική κίνηση ενός αγωγού και μαγνητικού πεδίου, τότε επάγεται στον αγωγό μια ΗΕΔ. Η ίδια αρχή λειτουργία ισχύει για τις γεννήτριες ΣΡ. Η διαφορά μεταξύ της σύγχρονης γεννήτριας και της γεννήτριας ΣΡ είναι ότι ο αγωγός τοποθετείται στο ακίνητο μέρος της μηχανής, ενώ το μαγνητικό πεδίο είναι περιστρεφόμενο.

Στο σχήμα 6.4α(α), θεωρούμε την σχετική κίνηση ενός αγωγού ως προς το μαγνητικό πεδίο, το οποίο προέρχεται από ένα ζευγάρι μαγνητικών πόλων.

Ο αγωγός, αρχικά, τοποθετείται στη θέση 1. Αυ-

τίνη τη χρονική στιγμή η ταχύτητα ν είναι παράλληλη στις μαγνητικές δυναμικές γραμμές, και ο ρυθμός μεταβολής της μαγνητικής ροής ισούται με μηδέν:

$$\frac{d\Phi}{dt} = 0.$$

Στη θέση 2 η ταχύτητα ν είναι κάθετη στις μαγνητικές δυναμικές γραμμές, οπότε επάγεται τάση στον αγωγό. Στη θέση 3 η ταχύτητα ν είναι παράλληλη στις μαγνητικές δυναμικές γραμμές και ισχύει:

$$\frac{d\Phi}{dt} = 0.$$

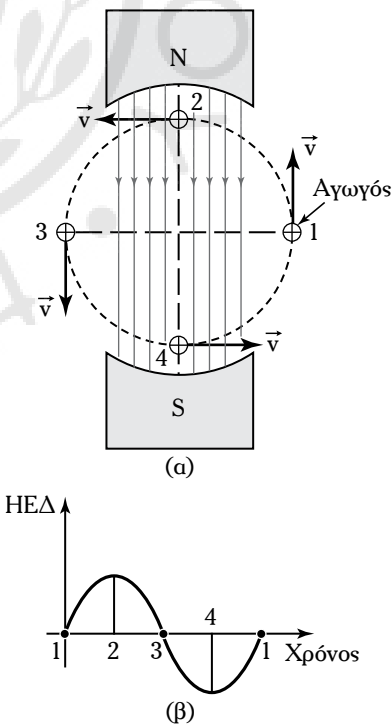
Στη θέση 4 η ταχύτητα ν είναι κάθετη στις μαγνητικές δυναμικές γραμμές και επάγεται τάση στον αγωγό.

Όταν ο αγωγός περιστρέφεται κατά 360 πλεκτρικές μοίρες, η ΗΕΔ [σχ. 6.4α(β)] μεταβάλλεται με εναλλασσόμενο πριτονοειδή νόμο.

#### 6.4.1 Μηχανικές και πλεκτρικές μοίρες.

**Μηχανικές μοίρες** ονομάζονται οι μοίρες, τις οποίες συμπληρώνει ο δρομέας, γενικά, μιας περιστρεφόμενης πλεκτρικής μηχανής.

**Πλεκτρικές μοίρες** ονομάζονται οι μοίρες τις



**Σχ. 6.4α**

- (α) Στοιχειώδης γεννήτρια.  
(β) Εναλλασσόμενη πριτονοειδής τάση.

οποίες συμπληρώνουν τα διανύσματα των παραγόμενων τάσεων και ρευμάτων σε μια περιστρεφόμενη πλεκτρική μηχανή. Στο σχήμα 6.4β, δίδεται μια 4-πολική γεννήτρια.

Η επαγόμενη τάση στον αγωγό για τις αντίστοιχες θέσεις δίδεται στο σχήμα 6.4γ.

Για την 4-πολική γεννήτρια ισχύει:

$$360 \text{ μπχανικές μοίρες} = 720 \text{ πλεκτρικές μοίρες.}$$

Γενικά, αν  $P$  είναι ο αριθμός των μαγνητικών πόλων μιας γεννήτριας ισχύει:

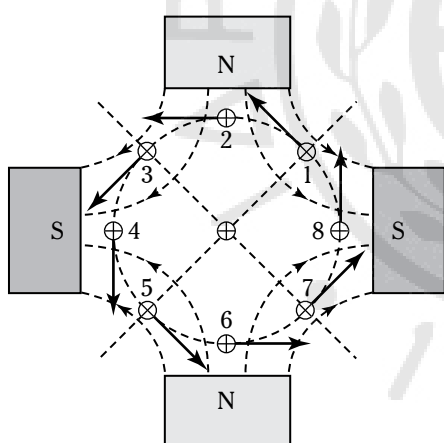
$$360 \text{ μπχανικές μοίρες} = 360 \frac{P}{2} \text{ πλεκτρικές μοίρες.}$$

Αν  $\theta_e$  είναι οι πλεκτρικές μοίρες,  $\theta_m$  οι μπχανικές μοίρες και  $P$  ο αριθμός των μαγνητικών πόλων, τότε ισχύει:

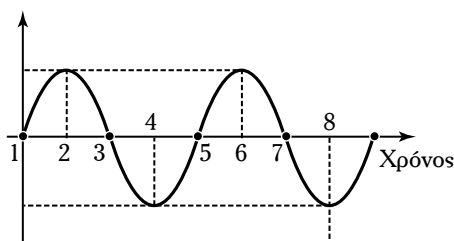
$$\theta_e = \left( \frac{P}{2} \right) \theta_m.$$

#### 6.4.2 Συχνότητα της επαγόμενης τάσεως.

Αν  $P$  ο αριθμός των μαγνητικών πόλων,  $n$  η ταχύ-



**Σχ. 6.4β**  
4-πολική γεννήτρια.



**Σχ. 6.4γ**  
Εναλλασσόμενη πρώτονοείδης τάση για την 4-πολική γεννήτρια.

τιτα περιστροφής του δρομέα σε ΣΑΛ και  $f$  η συχνότητα της επαγόμενης τάσεως (ΗΕΔ), τότε ισχύει:

$$f = \frac{Pn}{120} \text{ Hz.}$$

Πράγματι, μια πλήρης μηχανική περιστροφή του δρομέα αντιστοιχεί σε  $\frac{P}{2}$  πλεκτρικές περιόδους της ΗΕΔ. Αν  $n$  η ταχύτητα περιστροφής του δρομέα ανά λεπτό, τότε ο δρομέας συμπληρώνει  $\frac{n}{60}$  πλήρεις περιστροφές. Άλλα ισχύουν τα εξής:

Αν περίοδος / s = συχνότητα =  $f$ , τότε:

Συχνότητα  $f = (\text{αριθμός περιόδων ανά πλήρη περιστροφή}) \cdot (\text{αριθμός περιστροφών ανά δευτερόλεπτο})$

$$f = \frac{P}{2} \cdot \frac{n}{60} \quad \text{ή} \quad f = \frac{Pn}{120} \text{ Hz.}$$

Υπάρχει μια σταθερή σχέση μεταξύ του αριθμού των μαγνητικών πόλων, της ταχύτητας περιστροφής του δρομέα και της συχνότητας των επαγόμενων τάσεων (ΗΕΔ).

#### 6.4.3 Σύγχρονη ταχύτητα ( $n_s$ ).

Σε μία σύγχρονη γεννήτρια η ταχύτητα περιστροφής του περιστρεφόμενου μαγνητικού πεδίου ισούται με την ταχύτητα περιστροφής του δρομέα, καλείται σύγχρονη ταχύτητα  $n_s$ , και είναι:  $n_s = \frac{120f}{P}$ .

Στον πίνακα 6.4, δίδεται η σχέση μεταξύ των αριθμών των μαγνητικών πόλων και της σύγχρονης

**Πίνακας 6.4**  
Σχέση μεταξύ αριθμού μαγνητικών πόλων και σύγχρονης ταχύτητας για  $f=50\text{Hz}$  και  $60\text{Hz}$ .

Αριθμός μαγνητικών πόλων	2	4	8	12	24
Σύγχρονη ταχύτητα $n_s$ σε ΣΑΛ για $50\text{Hz}$	3.000	1.500	750	500	250
Σύγχρονη ταχύτητα $n_s$ σε ΣΑΛ για $60\text{Hz}$	3.600	1.800	900	600	300

ταχύτητας μιας σύγχρονης γεννήτριας για συχνότητα 50 Hz και 60 Hz.

## 6.5 Επαγωγικό τύμπανο σύγχρονης γεννήτριας.

Το επαγωγικό τύμπανο των συγχρόνων γεννητριών τοποθετείται στο στάτη και διαφέρει από το αντίστοιχο των μηχανών ΣΡ. Το πλεκτρικό κύκλωμα μέσα στο οποίο δημιουργούνται τάσεις και ρεύματα αποτελείται από τρεις φάσεις, κάθε μια από τις οποίες αποτελείται από ένα σύνολο πνίων συνδεμένων σε σειρά. Οι άξονες των τριών φάσεων σχηματίζουν μεταξύ τους γωνία 120°. Στις μηχανές ΣΡ υπάρχουν δύο τερματικοί ακροδέκτες, ενώ στις τριφασικές σύγχρονες γεννήτριες έχουμε έξι ακροδέκτες των φάσεων, οι οποίες συνδέονται σε αστέρα ή τρίγωνο. Όταν το περιστρεφόμενο μαγνητικό πεδίο της σύγχρονης γεννήτριας «σαρώνει» τις τρεις φάσεις του επαγωγικού τυμπάνου, τότε σε κάθε φάση αναπτύσσεται μια ΗΕΔ  $E_f$ .

### 6.5.1 Χαρακτηριστικά των τυλίγματων τυμπάνου.

Το μαγνητικό πεδίο του επαγωγικού τυμπάνου μιας σύγχρονης γεννήτριας παράγεται από τυλίγματα κατάλληλα διατεταγμένα, τα οποία διαρρέονται από εναλλασσόμενο ρεύμα. Στη συνέχεια μελετώνται τα τυλίγματα τυμπάνου των συγχρόνων γεννητριών και τα βασικά τους χαρακτηριστικά στοιχεία με βάση τη φυσική τους και πλεκτρολογική τους διάταξη.

Ένα στοιχειώδες τύλιγμα αποτελείται από ενεργούς αγωγούς, σπείρες, πνία και στοιχεία.

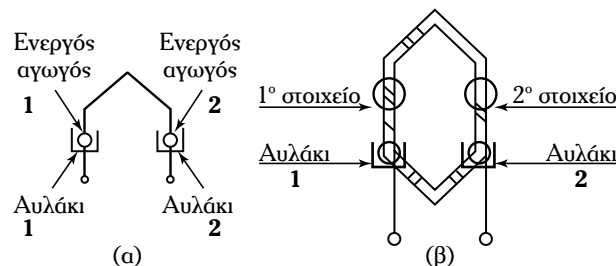
1) **Ενεργός αγωγός** είναι το μέρος του αγωγού, το οποίο όταν βρίσκεται υπό την επίδραση του μαγνητικού πεδίου ενός πόλου δημιουργείται ΗΕΔ. Οι ενεργοί αγωγοί τοποθετούνται σε αύλακες (σχ. 6.2β), που διαμορφώνονται κατάλληλα στον στάτη.

2) Η **σπείρα** σχηματίζεται όταν ένας ενεργός αγωγός σε αύλακα συνδέεται με έναν άλλο ενεργό αγωγό σε έναν άλλον αύλακα [σχ. 6.5α(α)].

3) **Ομάδα τυλίγματος (πνίο)** έχουμε όταν πολλοί ενεργοί αγωγοί συνδέονται σε σειρά [σχ. 6.5α(β)].

4) **Στοιχεία** ονομάζονται οι ενεργές πλευρές μίας ομάδας τυλίγματος, ενός πνίου [σχ. 6.5α(β)].

4) **Πολικό βήμα<sup>1</sup>** είναι η απόσταση μεταξύ των αξόνων συμμετρίας δύο διαδοχικών μαγνητικών πόλων. Για μια πλήρη περιστροφή του δρομέα, δύο



**Σχ. 6.5α**  
(a) Σπείρα, (β) ομάδα τυλίγματος (πνίο).

μαγνητικοί πόλοι είναι υπεύθυνοι για τη δημιουργία ΗΕΔ 360 πλεκτρικών μοιρών, τέσσερεις μαγνητικοί πόλοι δημιουργούν ΗΕΔ 720 πλεκτρικών μοιρών κ.ο.κ.. Ένας μαγνητικός πόλος συμβάλλει στη δημιουργία μίας επαγόμενης ΗΕΔ 180 πλεκτρικών μοιρών.

### Άσκηση.

Πόσα αυλάκια μπορούν να τοποθετούν υπό την επίδραση ενός μαγνητικού πόλου, ο οποίος συμβάλλει στη δημιουργία 180 πλεκτρικών μοιρών;

### Λύση.

Θεωρούμε μια 2-πολική μηχανή, η οποία αποτελείται από δώδεκα αυλάκια επαγωγικού τυμπάνου. Σε έναν πόλο αντιστοιχούν  $\frac{12}{2} = 6$  αυλάκια.

Ένα πολικό βήμα αντιστοιχεί σε έξι αυλάκια.

Έστω  $m$  ο αριθμός των αυλακιών ανά πόλο:

$$\text{Πολικό βήμα} = 180 \text{ πλεκτρικές μοίρες} = \\ = \text{αυλάκια ανά πόλο} (\text{αριθμός αυλακιών}/P) = m.$$

Ορίζουμε την γωνία  $\gamma$ , μεταξύ διαδοχικών αυλακιών ως εξής:  $\gamma = \frac{180^\circ}{m}$ .

$$\text{Av } m = \frac{12}{2} = 6 \text{ τότε } \gamma = \frac{180^\circ}{6} = 30^\circ.$$

### 6.5.2 Είδη τυλίγματων τυμπάνου.

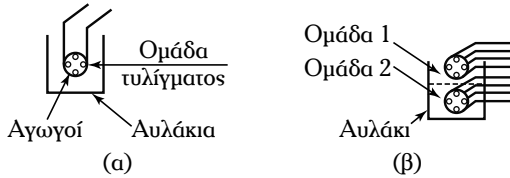
Τα τυλίγματα τυμπάνου μιας σύγχρονης γεννητριας είναι τα εξής τρία:

#### 1) Τυλίγματα απλής και διπλής στρώσεως.

Όταν σε ένα αυλάκι τοποθετείται μόνο μια ομάδα τυλίγματος, τότε το τύλιγμα ονομάζεται απλής στρώσεως [σχ. 6.5β(α)].

<sup>1</sup> Το πολικό βήμα μετρείται σε μηχανικές μοίρες ή ακτίνια για γεννήτριες με εκτύπους πόλους ή σε αυλάκια για διανεμημένα τυλίγματα.

Όταν ένα αυλάκι περιλαμβάνει δύο ομάδες τυλιγμάτων (διώροφο τύλιγμα) [σχ. 6.5β(β)] τότε έχουμε τύλιγμα διπλής στρώσεως.



Σχ. 6.5β

- (a) Τύλιγμα απλής στρώσεως και  
(β) τύλιγμα διπλής στρώσεως.

## 2) Τυλίγματα πλήρους και κλασματικού πολικού βήματος.

Όταν το βήμα κάθε ομάδας ισούται με το πολικό βήμα (180 πλεκτρικές μοίρες) τότε έχουμε **τυλίγματα πλήρους βήματος** [σχ. 6.5γ(α)].

Όταν η ομάδα τυλιγμάτων του στάπι εκτείνεται σε τόξο μικρότερο από ένα πολικό βήμα, τότε το τύλιγμα ονομάζεται **κλασματικό βήματος** [σχ. 6.5γ(β)]. Το κλασματικό βήμα εκφράζεται πολλές φορές, με το ποσοστό του πολικού βήματος, το οποίο καλύπτει. Δίδεται σε πλεκτρικές μοίρες.

Το τύλιγμα κλασματικού βήματος έχει τα ακόλουθα πλεονεκτήματα:

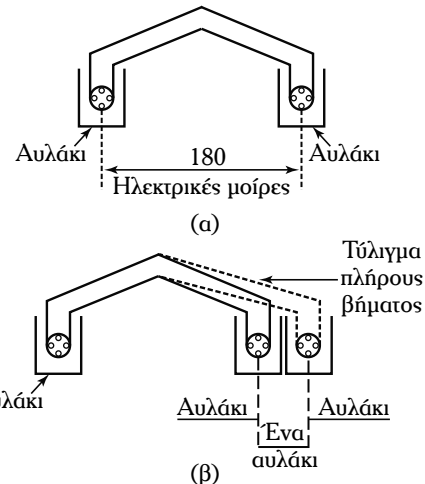
1) Το μήκος των αγωγών, οι οποίοι συνδέουν τα τέλη των ομάδων τυλιγμάτων είναι μικρότερο από το ανίστοιχο πλήρους βήματος. Οπότε, απαιτείται λιγότερος χαλκός.

1) Με την χρήση τυλιγμάτων κλασματικού βήματος είναι δυνατή η καταστολή της αρμονικής παραμορφώσεως της κυματομορφής του **μαγνητικού πεδίου στο διάκενο της μπχανής**<sup>2</sup>. Αυτό συνεπάγεται μείωση της αρμονικής παραμορφώσεως και των επαγομένων τάσεων και ρευμάτων.

## 3) Συγκεντρωμένα και διανεμημένα τυλίγματα.

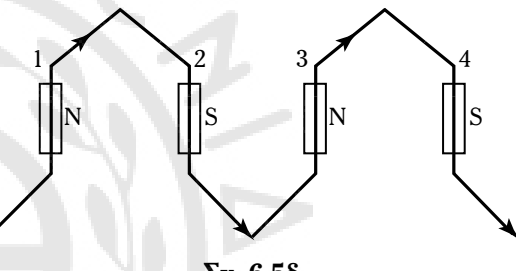
Τα τυλίγματα, ανεξάρτητα αν τοποθετούνται στο περιστρεφόμενο μέρος ή στο ακίντο μέρος μιας σύγχρονης γεννήτριας, διακρίνονται σε **συγκεντρωμένα** και **διανεμημένα**.

Συγκεντρωμένα τυλίγματα έχουμε εκεί όπου ο αριθμός των αυλακιών του επαγωγικού τυμπάνου είναι ίσος με τον αριθμό των μαγνητικών πόλων. Στο



Σχ. 6.5γ

- (a) Τύλιγμα πλήρους και (β) κλασματικού βήματος.



Σχ. 6.5δ

Ανάπτυγμα ενός απλού μονοφασικού συγκεντρωμένου τυλίγματος.

σχήμα 6.5δ δίδεται το ανάπτυγμα ενός απλού μονοφασικού συγκεντρωμένου τυλίγματος.

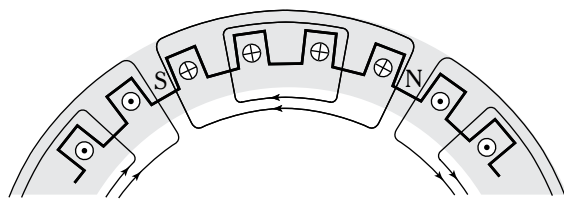
Μία πλευρά ενός πνίου τοποθετείται σε ένα αυλάκι, το οποίο βρίσκεται υπό την επίδραση ενός πόλου, ενώ η άλλη πλευρά του πνίου στο άλλο αυλάκι, το οποίο βρίσκεται υπό την επίδραση του επόμενου πόλου.

Σε μια σύγχρονη γεννήτρια, όταν το τύλιγμα τυμπάνου είναι συγκεντρωμένο, η τάση στους ακροδέκτες της είναι η μεγαλύτερη δυνατή, αλλά όχι ακριβώς πιπτονοειδής.

Τα διανεμημένα τυλίγματα διανέμονται σε περισσότερα αυλάκια ανά φάση και πόλο (σχ. 6.5ε).

Η διανομή των τυλιγμάτων γίνεται για να επιτευχθεί μορφή τάσεως ακροδεκτών της γεννήτριας, η οποία πρέπει να πλησιάζει στην ημιτονοειδή κύμανση.

<sup>2</sup>Όταν το μαγνητικό πεδίο στο διάκενο της γεννήτριας είναι μία εναλασσόμενη κυματομορφή, αυτή περιλαμβάνει μία εναλασσόμενη ημιτονοειδή κυματομορφή (βασική) και ένα πλήθος αρμονικών πολλαπλάσιας συχνότητας. Αυτές οι αρμονικές προκαλούν απώλειες πυρήνα, απώλειες λόγω δινορρευμάτων κ.λπ..



Σχ. 6.5ε

Διανεμημένα τωλίγματα σε ανλάκια.

### 6.5.3 Τρόποι συνδεσμολογίας των φάσεων μιας γεννήτριας πλοίου.

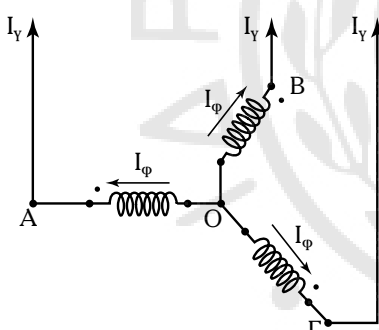
Η σύνδεση των φάσεων μιας γεννήτριας πλοίου γίνεται σε αστέρα ή τρίγωνο.

#### 1) Σύνδεση φάσεων σε αστέρα.

Οι τρεις φάσεις της γεννήτριας τοποθετούνται έτσι, ώστε οι μαγνητικοί τους άξονες να σχηματίζουν μεταξύ τους γωνία  $120^\circ$  (σχ. 6.5στ) και έναν συμμετρικό αστέρα.

Το σημείο Ο ονομάζεται **ουδέτερος κόμβος** της συνδεσμολογίας.

Γενικά, σε μία τριφασική συνδεσμολογία διακρίνομε φασικά και πολικά μεγέθη τάσεων και ρευμάτων.



Σχ. 6.5στ

Συνδεσμολογία φάσεων σε αστέρα.

#### - Ρεύματα.

**Φασικό ρεύμα**,  $I_\phi$ , ονομάζομε το ρεύμα το οποίο ρέει σε κάθε φάση.

**Πολικό ρεύμα** ή **ρεύμα γραμμής**,  $I_y$ , ονομάζομε το ρεύμα το οποίο ρέει στους αγωγούς μεταφοράς. Στη συνδεσμολογία σε αστέρα το ρεύμα γραμμής ισούται με το ρεύμα φάσεως:  $I_y = I_\phi$

#### - Τάσεις.

Στη συνδεσμολογία σε αστέρα διακρίνομε δύο τύπους τάσεων:

1) Την **πολική τάση** ( $V_p$ ), η οποία εμφανίζεται στους ακροδέκτες των φάσεων και την

2) Την **φασική τάση** ( $V_\phi$ ), η οποία εμφανίζεται μεταξύ ενός ακροδέκτη φάσεως και του ουδέτερου κόμβου.

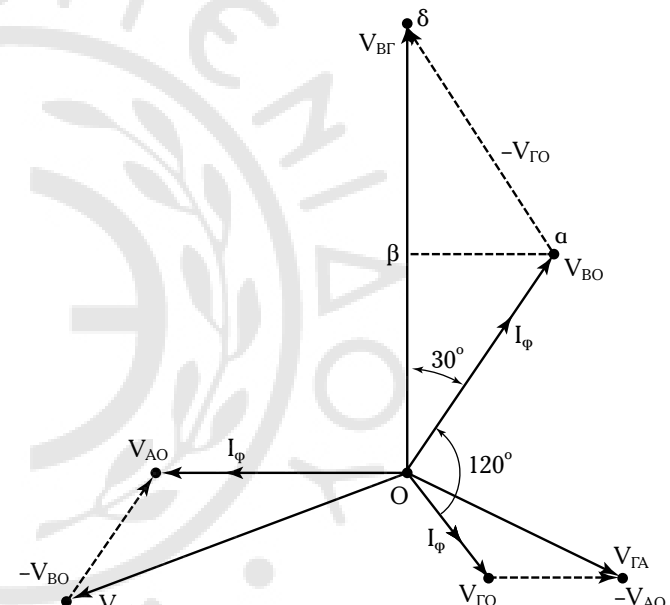
Η σχέση της πολικής και φασικής τάσεως προκύπτει από το διανυσματικό διάγραμμα τάσεων-ρευμάτων, της συνδεσμολογίας αστέρα (σχ. 6.5ζ).

Έστω όπι  $\alpha$  είναι η κάθετος στο διάνυσμα  $V_{BG}$  οπότε διαμορφώνονται τα εξής δύο ίσα ορθογώνια τρίγωνα Οβα και βαδ.

Η πολική τάση  $V_{BG}$  έχει μέτρο:

$$V_{BG} = O\delta = O\beta + \beta\delta = 2(Oa) \sin 30^\circ = \sqrt{3} (Oa) = \sqrt{3} V_{\phi O}.$$

Οπότε  $V_{\text{πολική}} = \sqrt{3} V_{\text{φασική}}$ .



Σχ. 6.5ζ

Διανυσματικό διάγραμμα τάσεων-ρευμάτων συνδεσμολογίας αστέρα.

#### 2) Σύνδεση φάσεων σε τρίγωνο.

Στο σχήμα 6.5η, δίδεται η συνδεσμολογία φάσεων σε τρίγωνο. Σε αυτήν τη συνδεσμολογία η πολική τάση είναι ίση με τη φασική:

$$V_{\text{πολική}} = V_{\text{φασική}}.$$

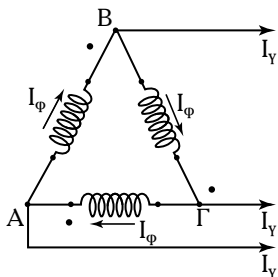
Στη συνδεσμολογία σε τρίγωνο υπάρχουν δύο διαφορετικοί τύποι ρευμάτων: το φασικό ρεύμα ( $I_\phi$ ) και το ρεύμα γραμμής ( $I_y$ ).

Η σχέση μεταξύ φασικού και ρεύματος γραμμής προκύπτει από την ακόλουθη διανυσματική κατα-

σκευή τάσεων-ρευμάτων, όπως παρουσιάζεται στο σχήμα 6.5θ.

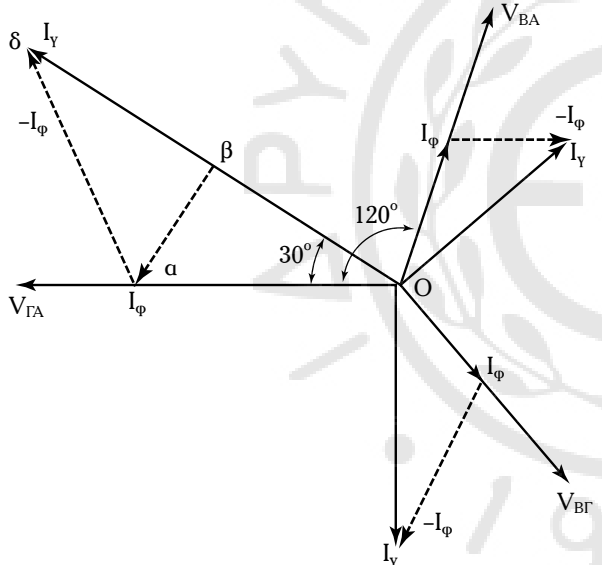
$$\text{Είναι: } I_y = O\delta = O\beta + \beta\delta = 2(Oa) \sin 30^\circ = \sqrt{3} I_\phi.$$

$$\text{Οπότε ισχύει: } I_y = \sqrt{3} I_\phi.$$



Σχ. 6.5η

Συνδεομολογία φάσεων σε τρίγωνο.



Σχ. 6.5θ

Διανυματικό διάγραμμα τάσεων-ρευμάτων συνδεομολογίας τριγώνου.

## 6.6 Ανάπτυξη τάσεως σε μια σύγχρονη γεννήτρια.

Ακολουθούν διάφοροι τρόποι υπολογισμού της αναπτύξεως της τάσεως σε μια σύγχρονη γεννήτρια.

### 6.6.1 Τρόπος 1<sup>ος</sup>.

Έστω ότι  $\Phi$  είναι η μαγνητική ροή ανά πόλο σε Wb,  $P$  ο αριθμός μαγνητικών πόλων,  $n_s$  ο σύγχρονος αριθμός στροφών σε ΣΑΛ,  $f$  η συχνότητα επαγ-

μένων ΗΕΔ σε Hz,  $Z$  ο συνολικός αριθμός αγωγών και  $Z_{ph}$  ο αριθμός αγωγών ανά φάση συνδεμένων σε σειρά.

$$\text{Είναι: } Z_{ph} = \frac{Z}{3} \text{ αριθμός φάσεων} = 3.$$

Έστω αγωγός ο οποίος τοποθετείται σε αυλάκι. Η μέση τιμή της επαγόμενης ΗΕΔ είναι:  $e_{av} = \frac{d\Phi}{dt}$ .

Για μια πλήρη περιστροφή του αγωγού έχουμε:

$$e_{av} = \frac{\text{Μαγνητική ροή σε μια πλήρη περιστροφή του δρομέα}}{\text{χρόνος}}.$$

Για μια πλήρη περιστροφή του δρομέα η συνολική μαγνητική ροή είναι  $\Phi P$ .

Ο χρόνος για μια πλήρη περιστροφή είναι  $\frac{60}{n_s}$  s.

$$\text{Έχουμε: } e_{av}/\text{αγωγό} = \frac{\Phi P}{(60/n_s)} = \Phi \frac{P n_s}{60}. \quad (6.1)$$

$$\text{Αλλά, είναι: } f = \frac{P n_s}{120} \text{ και } \frac{P n_s}{60} = 2f. \quad (6.2)$$

Η εξίσωση 6.1 με βάση την εξίσωση 6.2 γίνεται:

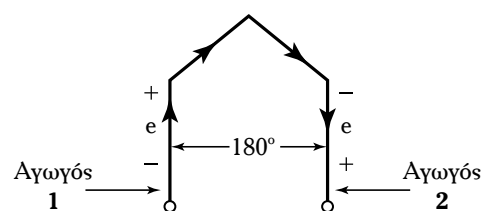
$$e_{av}/\text{αγωγό} = 2f\Phi V. \quad (6.3)$$

Θεωρούμε ένα τύλιγμα πλήρους βήματος. Ένας αγωγός συνδέεται με έναν άλλο σε «απόσταση» 180 πλεκτρικών μοιρών (σχ. 6.6α). Σε κάθε αγωγό αναπτύσσονται ρεύματα, τα οποία έχουν την ίδια διεύθυνση. Οι αγωγοί αποτελούν μία σπείρα, οπότε:

$$\begin{aligned} \text{ΗΕΔ/σπείρα} &= 2(\text{ΗΕΔ/αγωγό}) \\ &= 2(2f\Phi) = 4f\Phi V. \end{aligned} \quad (6.4)$$

Έστω ότι  $T_{ph}$  είναι ο συνολικός αριθμός σπειρών ανά φάση, συνδεμένες σε σειρά. Η συνολική ΗΕΔ ανά φάση θα είναι το αλγεβρικό άθροισμα των ΗΕΔ ανά σπείρα:

$$1) \text{ Μέση τιμή } E_{ph} = T_{ph} \text{ (μέση τιμή ΗΕΔ/σπείρα).}$$



Σχ. 6.6α  
Σπείρα πλήρους βήματος.

$$2) \text{ Μέσον τιμή } E_{ph} = T_{ph} 4f\Phi. \quad (6.5)$$

Στο εναλλασσόμενο ρεύμα χρησιμοποιείται η ενεργός τιμή του ρεύματος και της αντίστοιχης τάσεως. Ισχύει:

$$\text{Ενεργός τιμή } E_{ph} = K_f \cdot \text{μέσον τιμή } E_{ph}.$$

Ο συντελεστής κυματομορφής  $K_f$ , είναι:

$$K_f = \frac{\text{Ενεργός τιμή}}{\text{Μέσον τιμή}} = \frac{\pi}{2\sqrt{2}} = 1,11.$$

Ισχύει: Ενεργός τιμή της  $E_{ph} = 1,11 \cdot 4 f\Phi T_{ph}$  και τελικά η τάση που επάγεται σε μία φάση είναι:

$$E_{ph} = 4,44 f\Phi T_{ph} V. \quad (6.6)$$

#### - Συντελεστής βήματος $K_p$ .

Στην πράξη επιλέγονται τα τυλίγματα κλασματικού βήματος. Μια πλευρά μιας ομάδας τυλίγματος (πνίγιο) συνδέεται με την πλευρά μιας άλλης πλευράς ομάδας τυλίγματος σε απόσταση μικρότερη του πλήρους πολικού βήματος ή μικρότερη. Το πλήρες πολικό βήμα αντιστοιχεί σε 180 πλεκτρικές μοίρες.

Θεωρούμε ένα πνίγιο του οποίου τα στοιχεία απέχουν ένα βήμα ( $180^\circ - a$ ) μικρότερο από το πολικό βήμα  $180^\circ$ . Η πλεκτρική γωνία  $a$ , μεταθέσεως των δύο στοιχείων ονομάζεται **γωνία κλασματικού βήματος** (σχ. 6.6β).

Έστω ότι οι ομάδες τυλίγματος κλασματικού βήματος αντιστοιχούν σε αριθμό αυλακιών. Αν γ είναι η γωνία μεταξύ δύο αυλακιών, τότε η γωνία κλασματικού βήματος α είναι ένα πολλαπλάσιο της γωνίας γ.

Η πλεκτρική γωνία α είναι:

$$a = 180^\circ - \text{πραγματική απόσταση ομάδων τυλίγματων.}$$

Έστω μία ομάδα τυλίγματος πλήρους βήματος με  $E$  της αναπτυσσόμενες ΗΕΔ (σχ. 6.6γ).

$$\text{Ισχύει: } E_{ol.} = E + E = 2E$$

όπου  $E_{ol.}$  η συνολική ΗΕΔ της ομάδας τυλίγματος πλήρους βήματος. Θεωρούμε τώρα ένα πνίγιο με γωνία κλασματικού βήματος  $a$ .

Στο σχήμα 6.6δ δίδεται το διανυσματικό διάγραμμα των επαγμένων τάσεων ( $E$ ) στα δύο στοιχεία ενός πνίγιου κλασματικού βήματος χωριστά και σε όλο το πνίγιο ( $E_{ol.}$ ). Από το σχήμα 6.6δ προκύπτει ότι  $\overline{AG} \perp \overline{OB}$ , οπότε:

$$\overline{OG} = \overline{GB} = \frac{E_{ol.}}{2} \quad \text{και} \quad \angle BO\Delta = \frac{a}{2}$$

$$\text{ή} \quad \text{συν} \left( \frac{a}{2} \right) = \frac{\overline{OG}}{\overline{OA}} = \frac{E_{ol.}}{2E}.$$

Για τα τυλίγματα κλασματικού βήματος ισχύει:

$$E_{ol.} = 2E \text{ συν} \left( \frac{a}{2} \right). \quad (6.7)$$

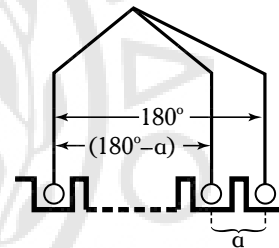
Η εξίσωση 6.7 εκφράζει τη συνολική ΗΕΔ στην περίπτωση τυλίγματων κλασματικού βήματος, που εξαρτάται απ' τη γωνία κλασματικού βήματος  $a$ .

Ο συντελεστής βήματος  $K_p$  είναι ο λόγος των επαγμένων ΗΕΔ όταν το τύλιγμα είναι κλασματικού βήματος και των επαγμένων ΗΕΔ όταν το τύλιγμα είναι πλήρους βήματος:

$$K_p = \frac{E_{ol.} \text{ για κλασματικό βήμα}}{E_{ol.} \text{ για πλήρες βήμα}} = \frac{2E \text{ συν} \left( \frac{a}{2} \right)}{2E}$$

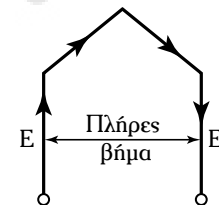
$$\text{ή} \quad K_p = \text{συν} \left( \frac{a}{2} \right) \quad (6.8)$$

όπου  $a$  η γωνία κλασματικού βήματος.



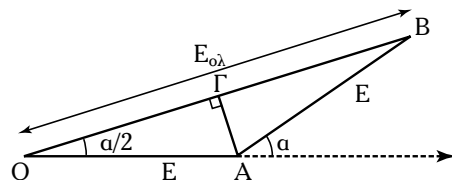
**Σχ. 6.6β**

Γωνία κλασματικού βήματος.



**Σχ. 6.6γ**

Ομάδα τυλίγματος πλήρους βήματος.



**Σχ. 6.6δ**

Διανυσματικό άθροισμα δύο ΗΕΔ.

### - Συντελεστής κατανομής Kd.

Τα τυλίγματα πλήρους βήματος και τα συγκεντρωμένα αντίστοιχα τυλίγματα σπάνια χρησιμοποιούνται στην πράξη.

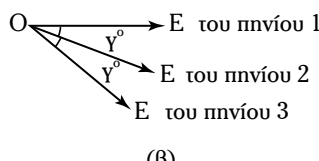
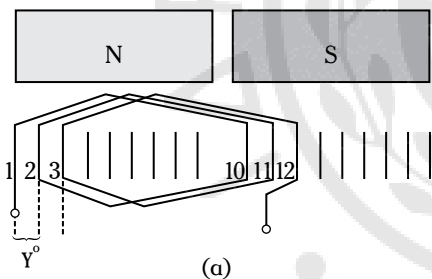
Θεωρούμε 18 αυλάκια μιας 2-πολικής σύγχρονης γεννήτριας. Τα αυλάκια ανά πόλο είναι  $n = \frac{18}{2} = 9$ .

Έστω ότι  $m$ , είναι τα αυλάκια ανά πόλο ανά φάση. Κάθε φάση περιλαμβάνει τρία (3) πνία.

$$\text{Οπότε ισχύει: } \gamma = \frac{180^\circ}{2} = 90^\circ.$$

Έστω ότι  $E$  είναι η επαγόμενη ΗΕΔ ανά πνία, όταν κάθε φάση περιλαμβάνει τρία πνία. Έστω ότι όλες οι πλευρές των πνίων είναι συγκεντρωμένες σε ένα αυλάκι, το οποίο βρίσκεται υπό την επίδραση ενός πόλου. Στα πνία επάγονται ΗΕΔ. Η συνολική ΗΕΔ είναι το αλγεβρικό άθροισμα όλων των ΗΕΔ, οι οποίες επάγονται στα πνία της φάσεως.

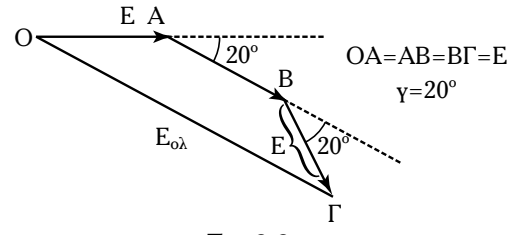
Θεωρούμε ένα διανεμημένο τύλιγμα (σχ. 6.6ε), με τρεις ομάδες τυλίγματος, κάθε πλευρά της οποίας τοποθετείται σε τρία αυλάκια ανά φάση και υπό την επίδραση ενός πόλου.



**Σχ. 6.6ε**

- (a) Διανεμημένο τύλιγμα και  
(β) διαφορά φάσεως των επαγομένων ΗΕΔ.

Στο σχήμα 6.6στ δίδεται το διανυσματικό διάγραμμα των επαγομένων ΗΕΔ και η συνολική ΗΕΔ στο διανεμημένο τύλιγμα. Από το σχήμα αυτό προκύπτει ότι η συνολική ΗΕΔ σε διανεμημένα τυλίγματα μειώνεται. Ο συντελεστής, ο οποίος εκφράζει τη μείωση της συνολικής ΗΕΔ σε διανεμημένα τυλίγματα, ονομάζεται **συντελεστής κατανομής Kd**.

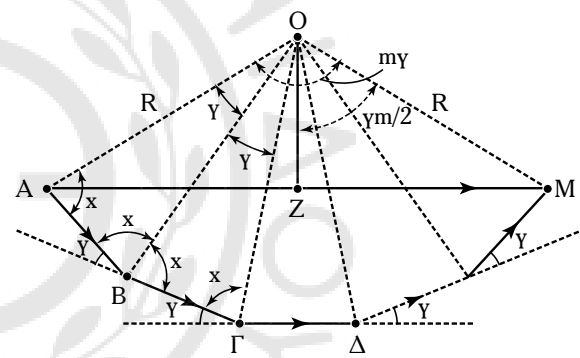


**Σχ. 6.6στ**

Διανυσματικό διάγραμμα ΗΕΔ σε διανεμημένο τύλιγμα.

### Πρόταση.

Έστω, η αυλάκια ανά πόλο και η αυλάκια ανά πόλο ανά φάση. Έστω,  $m$  διανεμημένα πνία υπό την επίδραση ενός πόλου ανά φάση, συνδεμένα σε σειρά. Θεωρούμε  $E$  την επαγόμενη ΗΕΔ ανά πνία. Τότε όλες οι  $m$ ΗΕΔ, οι οποίες επάγονται στα πνία έχουν διαφορά φάσεως  $\gamma = \frac{180^\circ}{m}$ . Να υπολογίσετε τη συνολική ΗΕΔ,  $E_{\text{ολ}}$ , στα άκρα  $AM$  (σχ. 6.6ζ).



**Σχ. 6.6ζ**

Διανυσματικό άθροισμα των  $m$ ΗΕΔ.

### Απόδειξη.

Όλα τα τρίγωνα:  $OAB$ ,  $OBΓ$ , ... είναι όμοια και ισοσκελή. Είναι  $AB = BG = ΓΔ = \dots = E$  και  $E_{\text{ολ}} = AM$ .

Έστω  $x$  η γωνία της βάσεως των τριγώνων,

είναι:  $\angle OAB = \angle OBA = \angle OBΓ = \dots = x$

και  $\angle AOB = \angle BOΓ = \dots = y$ .

Για το τρίγωνο  $OAB$  ισχύει:  $2x + y = 180^\circ$ .

Είναι:  $\angle OBA + \angle OBΓ + \angle γ = 180^\circ$ . (6.9)

Ισχύει:  $2x + γ = 180^\circ$ . (6.10)

Από τις εξισώσεις 6.9 και 6.10 προκύπτει:  $y = γ$ . Οπότε, έχουμε:

$\angle AOB = \angle BOΓ = \angle ΓOΔ = \dots = γ$ .

Av M είναι το τελευταίο σημείο του πολυγώνου των διανυσμάτων, τότε:

$$\angle AOM = m\gamma \text{ και } AM = E_{\text{o}\lambda}.$$

Θεωρούμε το τρίγωνο AOB (σχ. 6.6n):

Έστω ΟΣ η κάθετος (και διχοτόμος) στην πλευρά AB.

$$\text{Είναι: } \ell(AB) = E, \ell(A\Sigma) = \frac{E}{2} \text{ και } \ell(OA) = R.$$

$$\text{Ισχύει: } n\mu\left(\frac{\gamma}{2}\right) = \frac{A\Sigma}{OA} = \frac{E}{R}$$

$$\text{και: } E = 2Rn\mu\left(\frac{\gamma}{2}\right). \quad (6.11)$$

Θεωρούμε το τρίγωνο OAM (σχ. 6.6ζ), όπου η ΟΖ είναι κάθετος στην AM. Τότε έχουμε:

$$\angle AOE = \angle ZOM = \frac{m\gamma}{2}$$

$$\ell(AM) = E_{\text{o}\lambda}$$

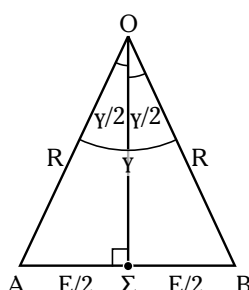
$$\ell(AZ) = \frac{E_{\text{o}\lambda}}{2}$$

$$n\mu\left(\frac{m\gamma}{2}\right) = \frac{AZ}{OA} = \frac{E_{\text{o}\lambda}}{R}$$

$$E_{\text{o}\lambda} = 2Rn\mu\left(\frac{m\gamma}{2}\right). \quad (6.12)$$

Η εξίσωση 6.12, δίδει τη συνολική επαγόμενη ΗΕΔ, όταν τα πνύα είναι διανεμημένα. Όταν όλα τα m πνύα αποτελούν ένα συγκεντρωμένο τύλιγμα, τότε:  $E_{\text{o}\lambda} = mE$ . Οπότε λαμβάνοντας υπόψη την εξίσωση 6.11 έχουμε:

$$E_{\text{o}\lambda} = 2mRn\mu\left(\frac{\gamma}{2}\right). \quad (6.13)$$



**Σχ. 6.6n**  
Τρίγωνο OAB.

Αυτή είναι η συνολική επαγόμενη τάση σε συγκεντρωμένο τύλιγμα.

Ο συντελεστής κατανομής  $K_d$ , είναι ο λόγος της συνολικής ΗΕΔ όταν τα πνύα είναι διανεμημένα και της συνολικής ΗΕΔ όταν τα πνύα είναι συγκεντρωμένα:

$$K_d = \frac{E_{\text{o}\lambda}, \text{ όταν τα πνύα είναι διανεμημένα}}{E_{\text{o}\lambda}, \text{ όταν τα πνύα είναι συγκεντρωμένα}} = \\ = \frac{2Rn\mu\left(\frac{m\gamma}{2}\right)}{2mRn\mu\left(\frac{\gamma}{2}\right)}$$

$$\text{ή } K_d = \frac{n\mu\left(\frac{m\gamma}{2}\right)}{m\mu\left(\frac{\gamma}{2}\right)} \quad (6.14)$$

όπου: m τα αυλάκια ανά πόλο και ανά φάση, γ η γωνία αυλακιού =  $\frac{180^\circ}{n}$  και n τα αυλάκια ανά πόλο.

Η επαγόμενη ΗΕΔ ανά φάση στην περίπτωση των συγκεντρωμένων τυλιγμάτων πλήρους βήματος είναι:  $E_{\text{ph}} = 4,44 f \Phi T_{\text{ph}} V$ .

Στην περίπτωση των διανεμημένων τυλιγμάτων κλασματικού βήματος έχουμε:

$$E_{\text{ph}} = 4,44 K_p K_d f \Phi T_{\text{ph}} V. \quad (6.15)$$

Για τύλιγμα πλήρους βήματος:  $K_p = 1$ .

Για συγκεντρωμένο τύλιγμα:  $K_d = 1$ .

### - Λυμένες ασκήσεις.

#### Άσκηση 1.

Το επαγωγικό τύμπανο μιας τριφασικής σύγχρονης γεννήτριας έχει 120 αυλάκια. Η γεννήτρια είναι 8-πολική. Να υπολογίσετε τον συντελεστή κατανομής  $K_d$ .

#### Λύση.

$$\text{Έχουμε } n = \frac{\text{αυλάκια}}{\text{πόλοι}} = \frac{120}{8} = 15$$

$$m = \text{αυλάκια/πόλοι/φάση} = \frac{n}{3} = \frac{15}{3} = 5$$

$$\gamma = \frac{180^\circ}{n} = \frac{180^\circ}{15} = 12^\circ$$

και  $K_d = \frac{n\mu\left(\frac{m\gamma}{2}\right)}{m\eta\mu\left(\frac{\gamma}{2}\right)} = \frac{n\mu\left(5\frac{12}{2}\right)}{5n\mu\left(\frac{12}{2}\right)} = 0,957.$

### Άσκηση 2.

Δίδεται τριφασική 4-πολική σύγχρονη γεννήτρια, η οποία έχει 36 αυλάκια στο επαγωγικό τύμπανο. Η γεννήτρια χρησιμοποιεί τυλίγματα κλασματικού βήματος με διαφορά ένα αυλάκι από εκείνα του πλήρους βήματος. Να υπολογίσετε τον συντελεστή  $K_p$ .

**Λύση.**

Είναι:  $n = \frac{\text{αυλάκια}}{\text{πόλοι}} = \frac{36}{4} = 9$

$$\gamma = \frac{180^\circ}{9} = 20^\circ.$$

Αν  $\alpha = 20^\circ$  τότε:

$\alpha = \text{γωνία κλασματικού βήματος} = 20^\circ$

$$K_p = \sigma_{uv}\left(\frac{\alpha}{2}\right) = \sigma_{uv}(10^\circ) = 0,9848.$$

### 6.6.2 Τρόπος 2<sup>os</sup>: Ανάπτυξη τάσεως σε συγκεντρωμένο τύλιγμα.

Για τον υπολογισμό της επαγόμενης τάσεως στα συγκεντρωμένα τυλίγματα μιας σύγχρονης γεννήτριας γίνονται οι ακόλουθες παραδοχές.

1) Θεωρούμε τη στοιχειώδη σύγχρονη γεννήτρια με κυλινδρικό δρομέα. Πράγματι, θεωρούμε μηχανές με μικρό μήκος διάκενου και σταθερό σε σχέση με την διάμετρο του δρομέα, οπότε η πυκνότητα μαγνητικής ροής είναι σταθερή κατά μήκος του διάκενου.

2) Θεωρούμε το συγκεντρωμένο τύλιγμα με πλευρές ( $a, a'$ ) (σχ. 6.60), οι οποίες απέχουν μεταξύ τους  $180^\circ$  πλεκτικές μοίρες.

3) Το μαγνητικό πεδίο υφίσταται αποκλειστικά στον διάκενο χώρο της μηχανής.

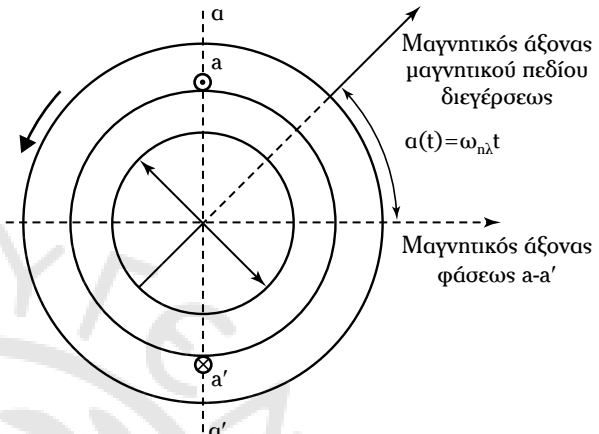
4) Η μαγνητική ροή στο διάκενο χώρο είναι ακτινική.

Η πυκνότητα μαγνητικής ροής  $B$ , θεωρείται ημιτο-

νοειδής (σχ. 6.61), στον διάκενο χώρο της μηχανής.

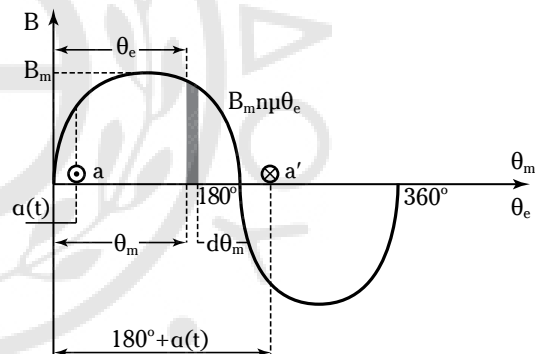
### - Υπολογισμός της μαγνητικής ροής $\Phi(t)$ .

Η μαγνητική ροή εμπλέκει το τύλιγμα  $a-a'$  τη χρονική στιγμή την οποία η πλευρά α βρίσκεται στη θέση  $a(t)$  (σχ. 6.61a).



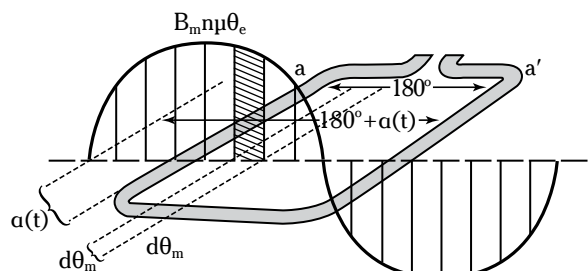
Σχ. 6.60

Στοιχειώδης σύγχρονη γεννήτρια.



Σχ. 6.61

Πυκνότητα μαγνητικής ροής  $B$ , η οποία σαρώνει το τύλιγμα  $a-a'$  του επαγωγικού τυμπάνου.



Σχ. 6.61a

Θέση των τυλίγματος  $a-a'$  την χρονική στιγμή  $t$  ως προς την πυκνότητα μαγνητικής ροής  $B$ .

Η στοιχειώδης μαγνητική ροή  $d\Phi$  στην περιοχή της θέσεως  $\theta_m$  είναι:

$$d\Phi = B(\theta_m) dA. \quad (6.16)$$

Eίναι:  $dA = \frac{1}{2} l D d\theta_m \quad (6.17)$

όπου:  $l$  το αξονικό μήκος του στάτη (οι ενεργές πλευρές του τυλίγματος α-α'),  $D$  ο διάμετρος της μηχανής και  $\theta_m$  οι μηχανικές μοίρες, τις οποίες διαγράφει ο δρομέας της μηχανής.

Iσχύει:  $d\theta_m = \frac{2}{P} d\theta_e. \quad (6.18)$

Η εξίσωση 6.16, με βάση τις εξισώσεις 6.17 και 6.18, γίνεται:

$$d\Phi = B(\theta_e) \frac{1}{2} l D d\theta_e. \quad (6.19)$$

Η πυκνότητα μαγνητικής ροής  $B$  είναι ημιτονοειδής:

$$B = B(\theta_e) = B_m \eta \mu \theta_e. \quad (6.20)$$

Η εξίσωση 6.19, με βάση την εξίσωση 6.20 γίνεται:

$$d\Phi = B_m \eta \mu \theta_e \frac{1}{2} l D \frac{2}{P} d\theta_e \quad (6.21)$$

όπου  $B_m$  η μέγιστη τιμή της πυκνότητας μαγνητικής ροής  $B$ .

Από την εξίσωση 6.21, προκύπτει:

$$\begin{aligned} \Phi &= \frac{B_m l D}{P} \int_a^{a+180^\circ} \eta \mu \theta_e d\theta_e = \frac{B_m l D}{P} (-\sin \theta_e) \Big|_a^{a+180^\circ} = \\ &= \frac{B_m l D}{P} \{-[\sin(a + 180^\circ) - \sin a]\} = \frac{B_m l D}{P} 2 \sin a. \end{aligned} \quad (6.22)$$

Η πυκνότητα μαγνητικής ροής  $B$  είναι μια ημιτονοειδής κύμανση, η οποία περιστρέφεται με την σύγχρονη ταχύτητα  $\omega_s$ . Είναι  $a = \omega_s t$ , οπότε η εξίσωση 6.22 γίνεται:

$$\Phi(t) = \frac{2B_m l D}{P} \sin \omega_s t$$

ή  $\Phi(t) = \Phi \sin \omega_s t \quad (6.23)$

όπου  $\Phi = \frac{2B_m l D}{P}$  η συνολική μαγνητική ροή ανά πόλο.

**- Υπολογισμός της επαγόμενης τάσεως στα άκρα του τυλίγματος α-α'.**

Σύμφωνα με τον Νόμο του Faraday, η επαγόμενη

τάση στα άκρα του τυλίγματος α-α' Ν σπειρών είναι:

$$e(t) = -\frac{Nd\Phi(t)}{dt}. \quad (6.24)$$

Η εξίσωση 6.24, με βάση την εξίσωση 6.23, γίνεται:

$$e(t) = N \omega_s \Phi \eta \mu \omega_s. \quad (6.25)$$

Η μέγιστη τιμή  $E_m$  της  $e(t)$  είναι:

$$E_m = N \omega_s \Phi. \quad (6.26)$$

Η ενεργός τιμή της  $e(t)$  είναι:

$$E_{ev} = \frac{E_m}{\sqrt{2}} = 4,44 N \Phi f. \quad (6.27)$$

Eίναι:  $\omega_s = 2\pi f$  rad/s.

## 6.7 Αντίδραση τυμπάνου σύγχρονης γεννήτριας.

Το φαινόμενο αντιδράσεως τυμπάνου στις μηχανές ΣΡ μπορεί να εξουδετερωθεί τελείως ή κατά το μεγαλύτερο μέρος.

Στις σύγχρονες γεννήτριες το φαινόμενο αντιδράσεως τυμπάνου δημιουργεί αντιδράσεις που δεν μπορούν να αμεληθούν.

Η αντίδραση τυμπάνου στις σύγχρονες γεννήτριες εξαρτάται από τη φύση του φορτίου που τροφοδοτούν.

Η αντίδραση τυμπάνου περιγράφεται με την εισαγωγή μιας ΗΕΔ  $\dot{E}_{ar}$ , που προστίθεται διανυσματικά στην ΗΕΔ  $\dot{E}_f$  του κυκλώματος διεγέρσεως του δρομέα.

Αν  $\dot{\Phi}_{ar}$  η μαγνητική ροή αντιδράσεως τυμπάνου και  $\dot{\Phi}_f$  η μαγνητική ροή του κυκλώματος διεγέρσεως της γεννήτριας, τότε η συνολική μαγνητική ροή  $\dot{\Phi}$  είναι:

$$\dot{\Phi} = \dot{\Phi}_f + \dot{\Phi}_{ar}.$$

Τελικά, επειδή το μαγνητικό πεδίο αντιδράσεως τυμπάνου είναι ανάλογο του ρεύματος τυμπάνου  $I_a$ , και το επαγωγικό τύμπανο έχει πινία μπορούμε να υποθέσουμε ότι η ΗΕΔ  $\dot{E}_{ar}$  προέρχεται από επαγωγή από ένα ππνίο με υποθετική αντίδραση  $X_{ar} = \omega L_{ar}$ , όπου  $L_{ar}$  ο συντελεστής αυτεπαγωγής του υποθετικού ππνίου.

Η συνολική ΗΕΔ  $\dot{E}$ , η οποία αναπτύσσεται στο εσωτερικό της σύγχρονης γεννήτριας όταν λειτουργεί με φορτίο είναι:

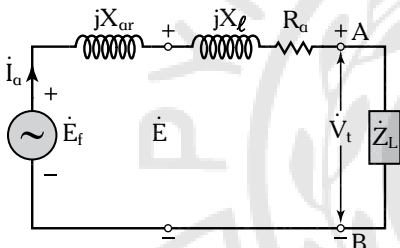
$$\dot{E} = \dot{E}_f + \dot{E}_{ar}$$

## 6.8 Ισοδύναμο κύκλωμα της σύγχρονης γεννήτριας.

Στο σχήμα 6.8α δίδεται το πλήρες ανά φάσην ισοδύναμο πλεκτρικό κύκλωμα μιας τριφασικής σύγχρονης γεννήτριας. Σε αυτό το κύκλωμα εκπροσωπούνται όλα τα πλεκτρομαγνητικά φαινόμενα τα οποία αναπτύσσονται σε μια σύγχρονη γεννήτρια όταν αυτή λειτουργεί με φορτίο.

Τα πλεκτρομαγνητικά μεγέθη του κυκλώματος του σχήματος 6.8α είναι τα ακόλουθα:

$E_f$  ή τάση διεγέρσεως η οποία παράγεται από τα κυκλώματα διεγέρσεως, των περιστρεφόμενων μαγνητικών πόλων του δρομέα,  $X_{ar}$  ή αντίδραση τυμπάνου,  $\dot{E}$  ή ολική ΗΕΔ της γεννήτριας,  $X_t$  ή αντίδραση σκεδάσεως του επαγωγικού τυμπάνου που οφείλεται στο φαινόμενο της ροής σκεδάσεως του στάπι,  $R_a$  ή ωμική αντίσταση των τυλιγμάτων του επαγωγικού τυμπάνου,  $I_a$  ή το ρεύμα τυμπάνου και  $V_t$  ή τερματική τάση στους ακροδέκτες Α και Β της γεννήτριας.



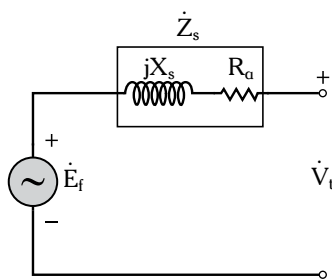
Σχ. 6.8α

Πλήρες ανά φάσην ισοδύναμο κύκλωμα σύγχρονης γεννήτριας.

Από το κύκλωμα του σχήματος 6.8α προκύπτει το απλοποιημένο, ανά φάσην, ισοδύναμο κύκλωμα της σύγχρονης γεννήτριας (σχ. 6.8β).

Με το σύμβολο  $Z_s$  (**σύγχρονη αντίδραση**) παριστάνομε το άθροισμα των αντιδράσεων  $X_{ar}$  και  $X_t$ .

Είναι  $Z_s = R_a + jX_s$  ή **σύγχρονη σύνθετη** αντίσταση της σύγχρονης γεννήτριας.



Σχ. 6.8β

Απλοποιημένο ανά φάσην ισοδύναμο κύκλωμα σύγχρονης γεννήτριας.

## 6.9 Ισοζύγιο ισχύων και απόδοση της σύγχρονης γεννήτριας.

Η ισχύς εισόδου  $P_{in}$ , μιας σύγχρονης γεννήτριας είναι μηχανική, ενώ η ισχύς εξόδου  $P_{out}$ , είναι πλεκτρική.

Η διαφορά αυτών των ισχύων είναι οι απώλειες  $P_a$ :

$$P_a = P_{in} - P_{out}. \quad (6.28)$$

Οι απώλειες  $P_a$ , άθροισμα των ακολούθων τύπων απωλειών:

1) **Μηχανικές απώλειες ή απώλειες λόγω τριβών** και **ανεμισμού** ( $P_m$ ), οι οποίες είναι σταθερές γιατί εξαρτώνται από την ταχύτητα περιστροφής της γεννήτριας που είναι σταθερή.

2) **Απώλειες πυράνα** ( $P_c$ ), οι οποίες παράγονται, σχεδόν αποκλειστικά, στον στάπι.

3) **Κατανεμημένες απώλειες** ( $P_{stray}$ ), που είναι πρόσθετες απώλειες, οι οποίες οφείλονται στην αύξηση των ροών σκεδάσεως σε συνάρτηση με το φορτίο και τις μεγάλες τιμές της συχνότητας. Αυτές οι απώλειες προσδιορίζονται δύσκολα και λαμβάνονται, συνήθως, ίσες με το 1% του ονομαστικού φορτίου της γεννήτριας.

Στο σχήμα 6.9 που δίδεται το τυπικό **διάγραμμα ροής ισχύος μιας σύγχρονης γεννήτριας** παρουσιάζονται οι απώλειες χαλκού του στάπι  $P_{cust.}$ , οι οποίες αναπτύσσονται στα τυλίγματα του στάπι:

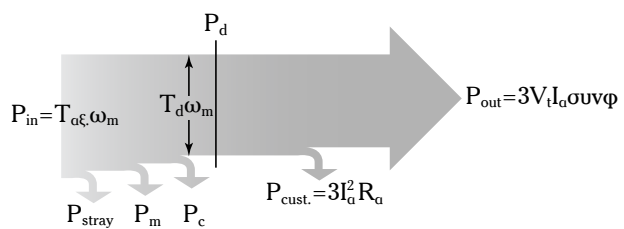
$$P_{cust.} = 3I_a^2 R_a$$

όπου:  $I_a$  ή το ρεύμα τυμπάνου ανά φάση και  $R_a$  ή ωμική αντίσταση των τυλιγμάτων ανά φάση της γεννήτριας.

$P_d$  είναι η εσωτερική αναπτυσσόμενη πλεκτρομαγνητική ισχύς.

Η ισχύς εξόδου της γεννήτριας  $P_{out}$ , δίδεται σε συνάρτηση των φασικών μεγεθών των τάσεων και ρευμάτων, ως εξής:

$$P_{out} = 3V_t I_a \sin \varphi. \quad (6.29)$$



Σχ. 6.9

Διάγραμμα ροής ισχύος μιας σύγχρονης γεννήτριας.

Οι κατανεμημένες απώλειες, οι μηχανικές απώλειες και οι απώλειες πυρήνα θεωρούνται σταθερές απώλειες, ενώ οι απώλειες χαλκού του στάπι είναι μεταβλητές απώλειες και οφείλονται στο φαινόμενο Joule, το οποίο αναπτύσσεται στις φάσεις της γεννήτριας όταν διαρρέονται από το ρεύμα τυμπάνου.

Η ισχύς εξόδου της γεννήτριας σε συνάρτηση με τα πολικά μεγέθη των τάσεων και των ρευμάτων είναι:

$$P_{\text{out}} = \sqrt{3}V_{\Pi}I_{\gamma}\sin\varphi \quad (6.30)$$

όπου:  $V_{\Pi}$  η πολική τάση και  $I_{\gamma}$  το ρεύμα γραμμής.

Η απόδοση της γεννήτριας επί τοις εκατό δίδεται ως εξής:

$$\eta = \frac{P_{\text{out}}}{P_{\text{in}}} \cdot 100 \quad (6.31)$$

$$\text{ή } \eta = \frac{P_{\text{out}}}{P_{\text{in}}} = \frac{\sqrt{3}V_{\Pi}I_{\gamma}\sin\varphi}{\sqrt{3}V_{\Pi}I_{\gamma}\sin\varphi + \sum P_a} \quad (6.32)$$

όπου  $\sum P_a$  οι συνολικές απώλειες της σύγχρονης γεννήτριας.

## 6.10 Εσωτερική αναπτυσσόμενη πλεκτρομαγνητική ισχύς και ροπή σε σύγχρονη γεννήτρια.

Η μηχανική ισχύς (σχ. 6.9), η οποία μετατρέπεται σε πλεκτρική (εσωτερική αναπτυσσόμενη πλεκτρομαγνητική ισχύς,  $P_d$ ) δίδεται ως εξής:

$$P_d = T_d\omega_m = 3E_f I_a \sin\psi \quad (6.33)$$

όπου:  $\psi$  η γωνία μεταξύ των διανυσμάτων  $E_f$  και  $I_a$  και  $T_d$  είναι η πλεκτρομαγνητική ροπή.

### Πρόταση.

Δίδεται τριφασική σύγχρονη γεννήτρια, για την οποία αμελείται η ωμική αντίσταση ανά φάση, που τροφοδοτεί ωμικο-επαγωγικό φορτίο.

Να αποδειχθεί ότι:

$$P_d = \frac{3V_t E_f}{X_s} \eta \mu \delta. \quad (6.34)$$

### Απόδειξη.

Στο σχήμα 6.10a(a), δίδεται το απλοποιημένο, προσεγγιστικό κύκλωμα (αμελείται η ωμική αντίσταση  $R_a$ ) ανά φάση της σύγχρονης γεννήτριας.

$$\text{Ισχύει: } \dot{E}_f = \dot{V}_t + \dot{I}_a j X_s, \quad (6.35)$$

Το διανυσματικό διάγραμμα που αντιστοιχεί στην

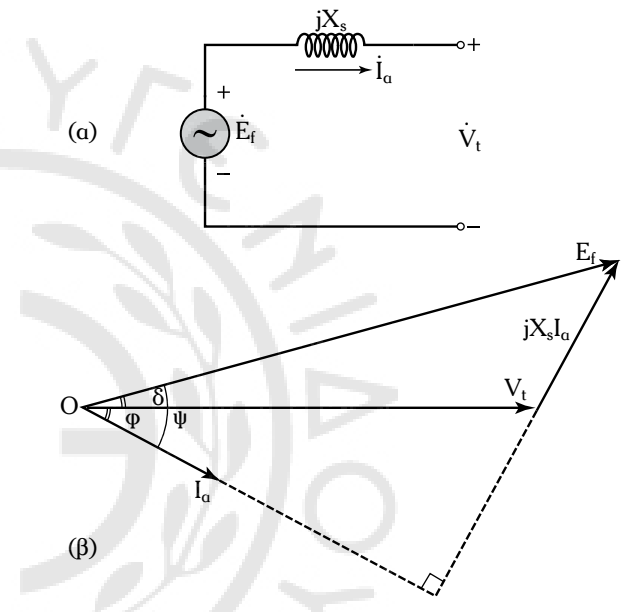
εξίσωση 6.35, παρουσιάζεται στο σχήμα 6.10a(β).

Η ισχύς εξόδου της γεννήτριας (όταν  $R_a = 0 \Omega$ ) είναι:

$$P_{\text{out}} \equiv P_d = 3V_t I_a \sin\varphi. \quad (6.36)$$

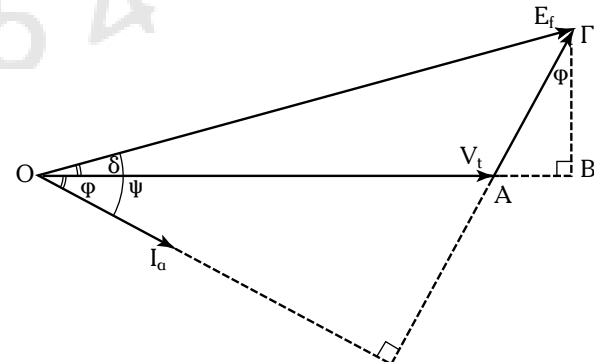
Αν προεκτείνουμε το διάνυσμα της τερματικής τάσης,  $V_t$ , και προβάλλομε στην προέκταση το διάνυσμα της τάσεως διεγέρσεως,  $E_f$ , προκύπτει το διάγραμμα του σχήματος 6.10β.

Στο διάγραμμα του σχήματος αυτού, έχουμε δύο ορθογώνια τρίγωνα: το ΟΒΓ και το ΑΒΓ, τα οποία έχουν την πλευρά ΒΓ κοινή.



Σχ. 6.10α

(a) Απλοποιημένο, προσεγγιστικό κύκλωμα ανά φάση της σύγχρονης γεννήτριας και (β) το διανυσματικό διάγραμμα τάσεων-ρευμάτων του.



Σχ. 6.10β

Διανυσματικό διάγραμμα τάσεων-ρευμάτων του απλοποιημένου προσεγγιστικού ισοδύναμου κυκλώματος, ανά φάση, της σύγχρονης γεννήτριας, στο οποίο προεκτείνουμε το διάνυσμα  $V_t$  και προβάλλομε το διάνυσμα  $E_f$ .

Ισχύει ότι:

$$\text{Τρίγωνο ΟΒΓ: } \Gamma B = E_f n\mu\delta. \quad (6.37)$$

$$\text{Τρίγωνο ΑΒΓ: } \Gamma B = X_s I_a \sin\varphi. \quad (6.38)$$

Από τις εξισώσεις 6.37 και 6.38, προκύπτει:

$$E_f n\mu\delta = X_s I_a \sin\varphi \quad \text{ή} \quad I_a \sin\varphi = \frac{E_f n\mu\delta}{X_s}. \quad (6.39)$$

Η εξίσωση 6.36 με βάση την εξίσωση 6.39, γίνεται:

$$P_d = \frac{3V_t E_f}{X_s} n\mu\delta. \quad (6.40)$$

Η γωνία δ ονομάζεται **γωνία ισχύος** ή **γωνία ροής** η οποία εξαρτάται από τον ρυθμό εγκύσεως του καυσίμου στην κινητήρια μηχανή. Η γραφική παράσταση της εξισώσεως 6.40, δίδεται στο σχήμα 6.10γ.

Αν  $\delta = 90^\circ$  τότε  $n\mu\delta = 1$ , οπότε η εξίσωση 6.40, γίνεται:

$$P_{dmax} = \frac{3V_t E_f}{X_s}. \quad (6.41)$$

Η εξίσωση 6.41, προσδιορίζει το δριο ευστάθειας της γεννήτριας. Η γωνία ισχύος στην κατάσταση πλήρους φορτίου των πρακτικών μηχανών είναι  $15^\circ$  με  $20^\circ$ .

Από τις εξισώσεις 6.33 και 6.40, προκύπτει:

$$T_d = \frac{3V_t E_f}{\omega_m X_s} n\mu\delta. \quad (6.42)$$

Η εξίσωση 6.42, εκφράζει την εσωτερική αναπυσσόμενη πλεκτρομαγνητική ροπή σε συνάρτηση με τα πλεκτρικά μεγέθη της μηχανής.

## 6.11 Ρύθμιση της πραγματικής και αέργου ισχύος μιας σύγχρονης γεννήτριας.

Όταν μία σύγχρονη γεννήτρια φορτίζεται επαγωγικά (αμελείται η ωμική αντίσταση  $R_a$ , ανά φάση), τότε δημιουργείται ένα διάγραμμα τάσεων-ρευμάτων όπως αυτό που δίδεται στο σχήμα 6.11α.

Η **πραγματική ισχύς**  $P$  και η **άεργος ισχύς**  $Q$  σε φασικά μεγέθη τάσεων-ρευμάτων δίδονται ως εξής:

$$P = 3 V_t I_a \sin\varphi, \quad Q = 3 V_t I_a n\mu\delta.$$

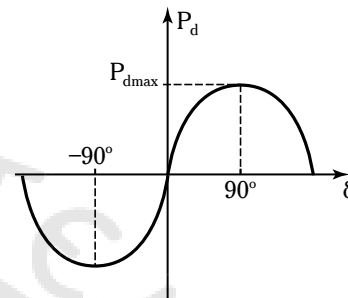
Στο σχήμα 6.11α, δίδονται δυο ευθύγραμμα τμήματα: το τμήμα  $\overline{B\Gamma}$ , που είναι ανάλογο της πραγματικής ισχύος  $P$ , ( $I_a \sin\varphi$ ) και το τμήμα  $\overline{A\Gamma}$ , που είναι ανάλογο της αέργου ισχύος  $Q$  ( $I_a n\mu\delta$ ).

Για την ρύθμιση της αέργου ισχύος  $Q$ , με την προ-

ϋπόθεση ότι η πραγματική ισχύς  $P$ , παραμένει σταθερή, πρέπει να μεταβληθεί το ρεύμα διεγέρσεως, οπότε και το μέτρο της  $E_f$  αντίστοιχα.

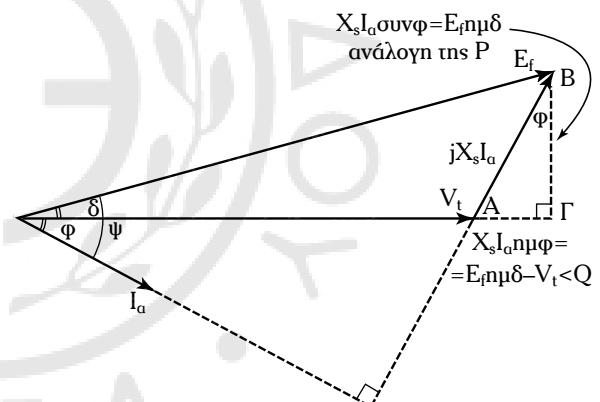
Στο σχήμα 6.11β, δίδεται το διανυσματικό διάγραμμα τάσεων-ρευμάτων της γεννήτριας, για αύξοντας της αέργου ισχύος ( $Q^l > Q$ ).

Για τη ρύθμιση της πραγματικής ισχύος  $P$ , την οποία παρέχει η σύγχρονη γεννήτρια, διατηρώντας σταθερό το ρεύμα διεγέρσεως, πρέπει να μεταβλη-



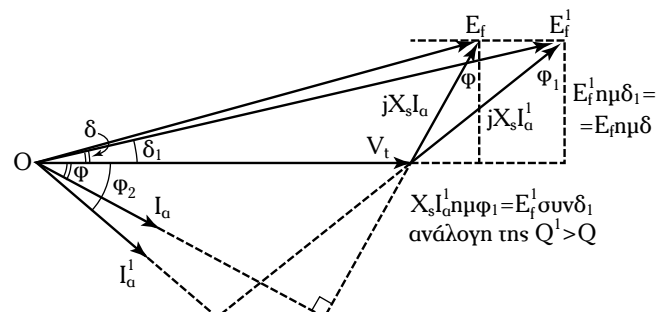
**Σχ. 6.10γ**

Γραφική παράσταση της εσωτερικής αναπυσσόμενης πλεκτρομαγνητικής ισχύος σε συνάρτηση με τη γωνία ισχύος.



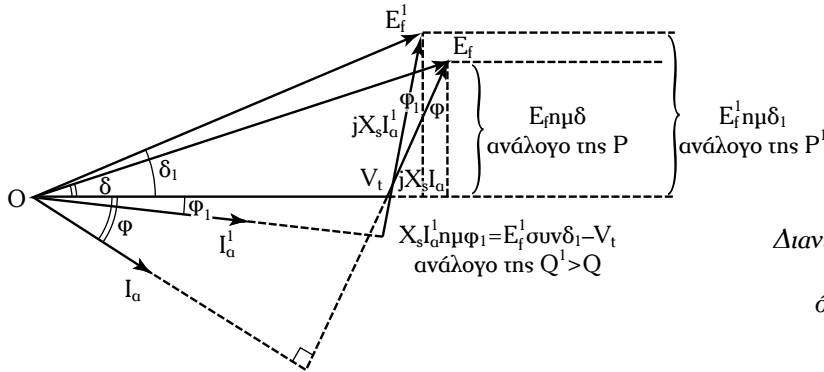
**Σχ. 6.11α**

Διανυσματικό διάγραμμα τάσεων-ρευμάτων σύγχρονης γεννήτριας για επαγωγική φόρτωση.



**Σχ. 6.11β**

Διάγραμμα τάσεων-ρευμάτων σύγχρονης γεννήτριας όταν  $Q^l > Q$ .



θεί το μήκος του ευθύγραμμου τμήματος  $E_f$  ημδ (σχ. 6.11β), οπότε πρέπει να μεταβληθεί η πλεκτρομαγνητική ροπή  $T_d = \frac{3V_t I_a}{\omega_s X_s} \eta\mu\delta$ .

Διατηρώντας σταθερό το ρεύμα διεγέρσεως  $I_f$ , δεν μεταβάλλεται το μέτρο του διανύσματος  $E_f$ .

Στο σχήμα 6.11γ, παρουσιάζεται το διανυσματικό διάγραμμα τάσεων-ρευμάτων μίας σύγχρονης γεννήτριας στην περίπτωση αυξήσεως της πραγματικής ισχύος ( $P^1 > P$ ). Όταν η πραγματική ισχύς αυξάνεται,  $P^1 > P$ , το διάνυσμα  $E_f$  περιστρέφεται στην αντίθετη φορά των δεικτών του ρολογιού κατά την γωνία ισχύος  $\delta$ .

Η αύξηση της πλεκτρομαγνητικής ροπής  $T_d$ , οπότε και της πραγματικής ισχύος, αντίστοιχα, συνοδεύονται από μείωση της αέργου ισχύος  $Q^1 < Q$  (σχ. 6.11γ).

## 6.12 Πειραματικός προσδιορισμός των κυκλωματικών στοιχείων του απλοποιημένου ισοδυνάμου, ανά φάση, πλεκτρικού κυκλώματος σύγχρονης γεννήτριας.

Για τον πειραματικό προσδιορισμό των κυκλωματικών στοιχείων  $R_a$  και  $Z_s$ , μίας σύγχρονης γεννήτριας, πραγματοποιείται **δοκιμή συνεχούς ρεύματος** ( $\Sigma P$ ), για τον προσδιορισμό της ωμικής αντιστάσεως των φάσεων, **δοκιμή χωρίς φορτίο** για να προσδιοριστεί η στατική χαρακτηριστική της σύγχρονης γεννήτριας και **δοκιμή σε βραχυκύκλωμα** για τον προσδιορισμό της χαρακτηριστικής βραχυκύκλωσης. Οι δοκιμές χωρίς φορτίο και σε βραχυκύκλωμα προσδιορίζουν το κυκλωματικό στοιχείο  $Z_s$  της γεννήτριας.

### 6.12.1 Δοκιμή συνεχούς ρεύματος ( $\Sigma P$ ).

Η δοκιμή αυτή πραγματοποιείται για τον προσδιορισμό της  $R_a$ . Στο σχήμα 6.12α, δίδεται η συνδεσμολογία για τη δοκιμή  $\Sigma P$ .

**Σχ. 6.11γ**  
Διανυσματικό διάγραμμα τάσεων-ρευμάτων  
μίας σύγχρονης γεννήτριας,  
όταν η πραγματική ισχύς αυξάνεται.

Η ένταση πλεκτρικού ρεύματος (ένδειξη του αμπερομέτρου) στο κύκλωμα πρέπει να είναι ίση με την ονομαστική τιμή του ρεύματος της γεννήτριας.

Η αντίσταση  $\Sigma P$ ,  $R_{DC}$ , των δύο φάσεων σε σειρά (σχ. 6.12α) είναι:

$$R_{DC} = \frac{V_{DC}}{I}.$$

Η αντίσταση  $R_{DC}$ , κάθε φάσεως είναι:

$$R_{DC} = \frac{V_{DC}}{2I}.$$

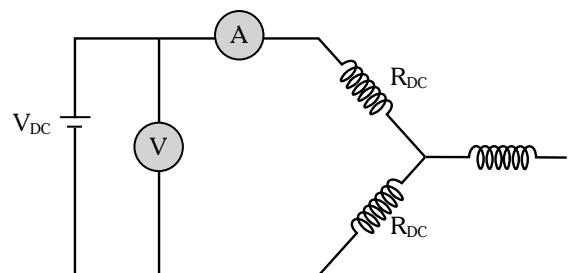
Η αντίσταση  $R_a$  της κάθε φάσεως στο εναλλασσόμενο ρεύμα (AC)  $R_{AC}$  είναι από 1,2 μέχρι 1,8 της τιμής της  $R_{DC}$ :

$$R_{AC} = (1,2 \text{ έως } 1,8) R_{DC}. \quad (6.43)$$

Η τιμή του διαστήματος [1,2 έως 1,8] εξαρτάται από τη **συχνότητα της παραγόμενης τάσεως** της γεννήτριας, τη **μόνωση των τυλιγμάτων** του επαγγελματικού τύμπανου, το **μέγεθος της γεννήτριας**, αλλά και από άλλες κατασκευαστικές παραμέτρους.

Για συχνότητα 50 Hz και για γεννήτριες μεσαίου μεγέθους ισχύει:

$$R_a = 1,5 R_{DC} = \frac{1,5 V_{DC}}{2I} = 0,75 \frac{V_{DC}}{I}.$$



**Σχ. 6.12α**  
Συνδεσμολογία δοκιμής  $\Sigma P$ .

### 6.12.2 Δοκιμή χωρίς φορτίο.

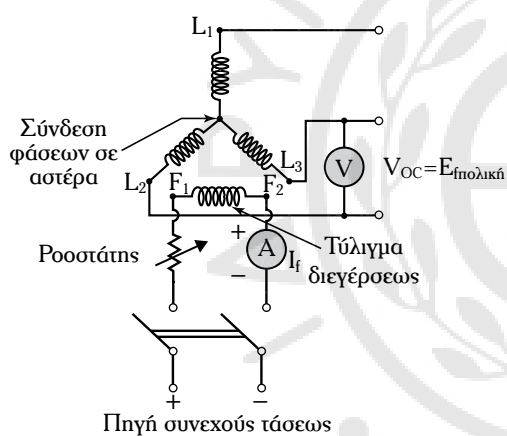
Η δοκιμή χωρίς φορτίο, όπως και η δοκιμή σε βραχυκύκλωμα, πραγματοποιούνται για να προσδιοριστεί πειραματικά το κυκλωματικό στοιχείο  $Z_s$  της σύγχρονης γεννήτριας. Στο σχήμα 6.12β, δίδεται η σχηματική παράσταση της συνδεομολογίας της δοκιμής χωρίς φορτίο της σύγχρονης γεννήτριας.

Για διάφορες τιμές του ρεύματος διεγέρσεως  $I_f$ , το βολτόμετρο δίδει την πολική τάση ανοικτού κυκλώματος (λειτουργία χωρίς φορτίο)  $V_{OC} = \sqrt{3}E_f$ . Τελικά, η **χαρακτηριστική χωρίς φορτίο**,  $V_{OC} = f(I_f)$  δίδεται στο σχήμα 6.12γ.

Η χαρακτηριστική χωρίς φορτίο ακολουθεί τη μαγνητική χαρακτηριστική της γεννήτριας.

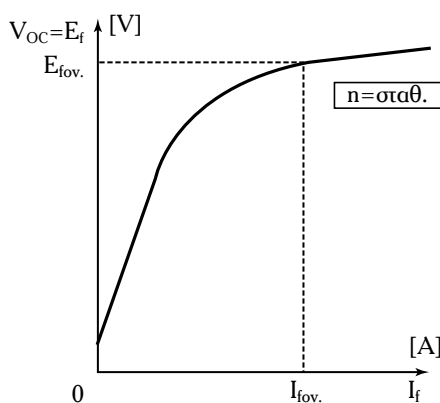
### 6.12.3 Δοκιμή σε βραχυκύκλωμα.

Στο σχήμα 6.12δ, δίδεται η σχηματική παράσταση της συνδεομολογίας της δοκιμής σε βραχυκύκλωμα της γεννήτριας.



**Σχ. 6.12β**

Συνδεομολογία δοκιμής χωρίς φορτίο.



**Σχ. 6.12γ**

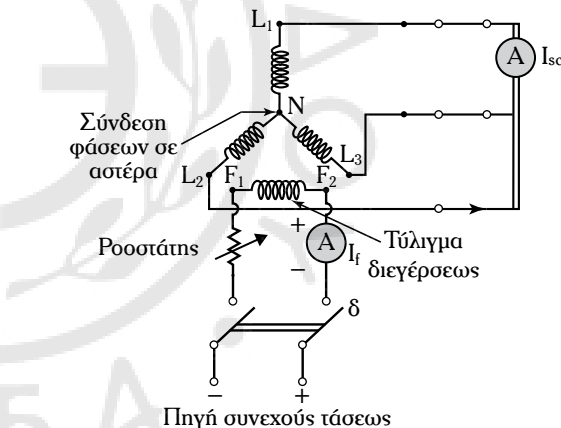
Χαρακτηριστική χωρίς φορτίο σύγχρονης γεννήτριας.

Εκκινούμε την γεννήτρια δίδοντας τις ονομαστικές στροφές, αλλά με μηδενικό ρεύμα διεγέρσεως,  $I_f$ , (διακόπτης δ ανοικτός στο σχ. 6.12δ). Στη συνέχεια κλείνομε τον διακόπτη δ και αυξάνομε σταδιακά το ρεύμα διεγέρσεως,  $I_f$  μέχρι να πάρομε το ονομαστικό ρεύμα στο επαγωγικό τύμπανο της γεννήτριας. Το ονομαστικό ρεύμα το δηλώνουμε με το σύμβολο  $I_{sc}$  (ρεύμα στην κατάσταση βραχυκύκλωσης της γεννήτριας). Στη δοκιμή σε βραχυκύκλωση δεν ξεπερνάμε το ονομαστικό ρεύμα διεγέρσεως  $I_{fov}$ .

Υπάρχει, λοιπόν, περίπτωση να χρησιμοποιήσουμε ρεύμα διεγέρσεως  $I_f$ , μικρότερο από εκείνο το οποίο αντιστοιχεί στο ονομαστικό ρεύμα φορτίου της γεννήτριας. Πάροντας μια σειρά αντιστοίχων τημών ρεύματος διεγέρσεως  $I_f$  και ρεύματος βραχυκύκλωσης  $I_{sc}$ . Η **χαρακτηριστική βραχυκύκλωσης** παρουσιάζεται στο σχήμα 6.12ε.

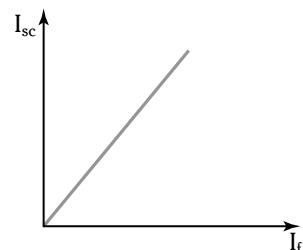
Αν τα αποτέλεσματα των παραπάνω μετρήσεων τα τοποθετήσουμε σε δύο άξονες, παίρνομε την καμπύλη  $I_{sc} = f(I_f)$  (σχ. 6.12στ).

Παρατηρούμε ότι η καμπύλη  $I_{sc} = f(I_f)$  είναι ευθεία γραμμή. Η εξήγηση είναι απλή.



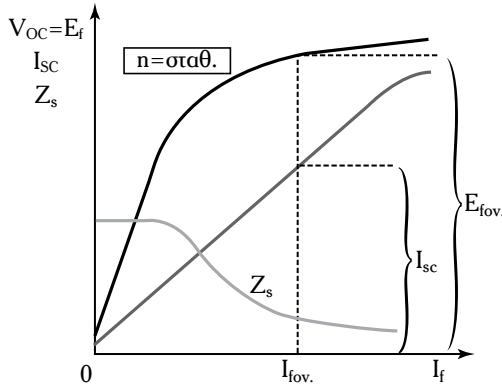
**Σχ. 6.12δ**

Συνδεομολογία δοκιμής σε βραχυκύκλωση στη σύγχρονη γεννήτρια.



**Σχ. 6.12ε**

Χαρακτηριστική βραχυκύκλωσης της σύγχρονης γεννήτριας.

**Σχ. 6.12στ**

*Χαρακτηριστική χωρίς φορτίο και σε βραχυκύκλωμα της σύγχρονης γεννήτριας.*

Στη δοκιμή σε βραχυκύκλωση το ρεύμα διεγέρσεως δεν είναι μεγάλο και το ρεύμα  $I_{sc}$  στο επαγγελματικό τύμπανο δημιουργεί ένα ισχυρό απομαγνητιστικό αποτέλεσμα, ώστε η γεννήτρια να λειτουργεί στο γραμμικό τμήμα της μαγνητικής χαρακτηριστικής της, εκεί όπου η σχέση μεταξύ του  $I_{sc}$  και του  $I_f$  είναι γραμμική.

Συνδέοντας τα διαγράμματα των σχημάτων 6.12γ και 6.12ε προκύπτει η σύνθετη αντίσταση τυλίγματος ανά φάση γραφική παράσταση (σχ. 6.12στ), η οποία δίδει την μεταβολή της  $Z_s$ .

Στην περίπτωση κατά την οποία  $R_a = 0 \Omega/\text{φάση}$  ισχύει:

$$X_s = \frac{E_{fov.}}{I_{sc}}. \quad (6.44)$$

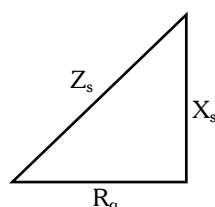
Αν  $R_a \neq 0 \Omega/\text{φάση}$ , τότε:

$$Z_s = \frac{E_{fov.}}{I_{sc}}. \quad (6.45)$$

Όταν είναι γνωστή η τιμή της  $R_a/\text{φάση}$  και της  $Z_s/\text{φάση}$ , τότε η τιμή της  $X_s$  δίδεται εφαρμόζοντας το Πυθαγόρειο Θεώρημα στο χαρακτηριστικό **τρίγωνο αντιστάσεων** (σχ. 6.12ζ).

Πράγματι, ισχύει:

$$X_s = \sqrt{Z_s^2 - R_a^2}. \quad (6.46)$$

**Σχ. 6.12ζ**

*Χαρακτηριστικό τρίγωνο αντιστάσεων.*

### 6.13 Ρύθμιση και έλεγχος τάσεως στις σύγχρονες γεννήτριες. Αυτόματος Ρυθμιστής Τάσεως.

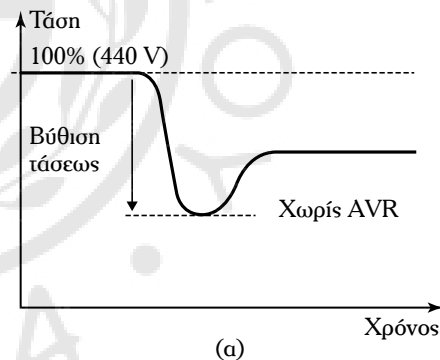
Όταν εκκινούνται ισχυρά επαγγελματικά φορτία, προκαλούνται μεταβολές της τάσεως εξόδου στις σύγχρονες γεννήτριες. Αυτό οφείλεται στην πτώση τάσεως, η οποία δημιουργείται στα κυκλώματα τυμπάνου των γεννητριών, ενώ το φαινόμενο ονομάζεται **βύθιση τάσεως**.

Εξάλλου όταν αποσυνδέονται φορτία απ' τον κύριο πίνακα, τότε εμφανίζονται υπερτάσεις στους ζυγούς του πίνακα.

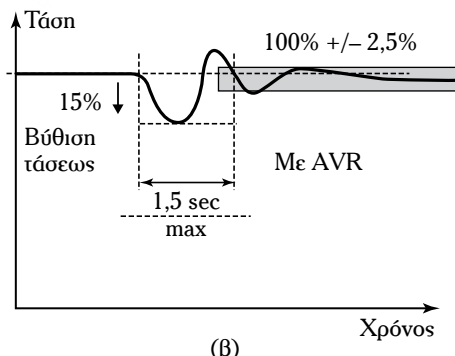
Όταν το πλοίο βρίσκεται εν πλω είναι απαραίτητη η ρύθμιση και ο έλεγχος της τάσεως εξόδου των συγχρόνων γεννητριών, ώστε αυτή να διατηρείται σταθερή. Οπότε, είναι αναγκαία η παρουσία του **Αυτόματου Ρυθμιστή Τάσεως** (Automatic Voltage Regulator – AVR).

Στο σχήμα 6.13α, δίδεται η μεταβολή της τάσεως εξόδου μιας σύγχρονης γεννήτριας, ονομαστικής τάσεως 440 V, όταν μεταβάλλεται το φορτίο χωρίς την παρουσία του AVR.

Ο AVR ελέγχει την τάση των γεννητριών όταν



(a)



(b)

**Σχ. 6.13α**

*Μεταβολή της τάσεως εξόδου μιας σύγχρονης γεννήτριας (a) χωρίς AVR και (b) με AVR.*

αυτή υπερβαίνει το  $\pm 2,5\%$  της ονομαστικής τους τάσεως. Ο AVR περιορίζει μια παροδική βύθιση τάσεως στο 15% [σχ. 6.13a(β)], ενώ η ανάκτηση της ονομαστικής τάσεως της μηχανής γίνεται σε 1,5 s.

Στο σχήμα 6.13β δίδεται το διάγραμμα ενός AVR για μια τριφασική σύγχρονη γεννήτρια 440 V, 60 Hz.

Το σύστημα καταγραφής τάσεως περιλαμβάνει όλες τις απαραίτητες διατάξεις για τον υποβιβασμό, την ανόρθωση και την εξομάλυνση της τάσεως εξόδου της σύγχρονης γεννήτριας. Οπότε, παράγεται ένα σήμα χαμηλής συνεχούς τάσεως ανάλογο της παραγόμενης εναλλασσόμενης ημιτονοειδούς τάσεως. Το σήμα συνεχούς τάσεως, συγκρίνεται με μια τάση αναφοράς συνεχούς π οποία παράγεται από ένα κύκλωμα που περιλαμβάνει διόδους Zener και ωμικές αντιστάσεις. Ένα σήμα-οσφάλμα στην έξοδο του συγκριτή ενισχύεται και ενεργοποιεί την πύλη ενός θυρίστορ. Το θυρίστορ ανορθώνει και ρυθμίζει το ρεύμα διεγέρσεως της σύγχρονης γεννήτριας, με σκοπό να σταθεροποιηθεί η τάση εξόδου της μηχανής.

## 6.14 Ψύξη, βλάβες, λίπανση και συντήρηση των συγχρόνων γεννητριών.

Οι απώλειες ισχύος σε μία σύγχρονη γεννήτρια παράγουν θερμότητα, π οποία δεν πρέπει να εγκλωβίζεται στο εσωτερικό της μηχανής γιατί κινδυνεύουν οι μονώσεις. Η θερμότητα πρέπει να απάγεται στον εξωτερικό περιβάλλοντα χώρο της γεννήτριας. Αυτό γίνεται με την μεσολάβηση συστημάτων ψύξεως.

Σήμερα κατασκευάζονται πολύ καλά συστήματα ψύξεως γιατί υπάρχει ανάγκη κατασκευής γεννητριών όλο και πιο μεγάλης ισχύος με μεγάλο βαθμό

αποδόσεως και με μικρότερες διαστάσεις.

Τα συστήματα ψύξεως, τα οποία χρησιμοποιούνται είναι με αέρα, ενώ στα κέντρα παραγωγής πλεκτρικής ενέργειας στην Εηρά, ο δρομέας στα συστήματα στροβιλογεννητριών, μέχρι 200 MW, ψύχεται μέσω της κυλινδρικής επιφάνειας με υδρογόνο, χωρίς ειδικά κανάλια.

### 6.14.2 Βλάβες συγχρόνων γεννητριών.

Στον πίνακα 6.14 δίδονται οι βασικές αιτίες βλάβών και οι αντίστοιχες επισκευές για μία σύγχρονη γεννήτρια.

### 6.14.3 Λίπανση των συγχρόνων γεννητριών.

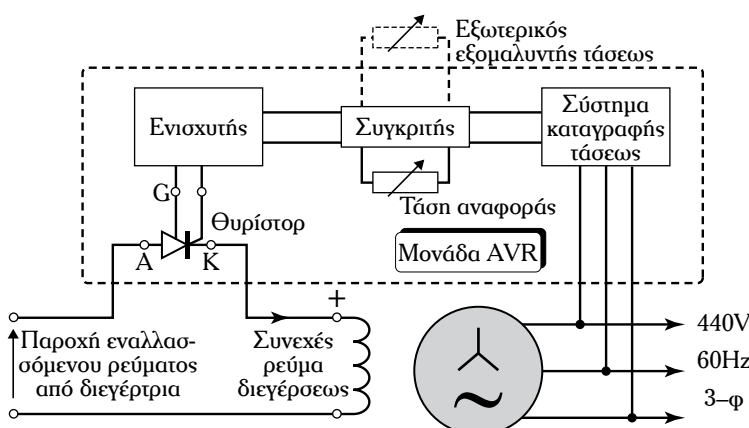
Τα μέρη που απαιτούν λίπανση, στις σύγχρονες γεννήτριες είναι κυρίως τα έδρανα, μέσα στα οποία περιστρέφεται ο άξονας της μηχανής. Υπάρχουν δύο ειδών έδρανα:

1) Τα **έδρανα τριβής** (κουζινέτα) με δακτυλίδια ελαίου. Κατά τη λειτουργία της μηχανής τα δακτυλίδια πρέπει να περιστρέφονται και να παρασύρουν το λιπαντικό έλαιο. Το λιπαντικό έλαιο πρέπει να φθάνει μέσα στην προβλεπόμενη δεξαμενή του εδράνου μέχρι την κανονική στάθμη, οπότε το  $1/3$  του δακτυλίδιου βρίσκεται μέσα στο έλαιο. Το έλαιο λιπάνσεως πρέπει να αντικαθίσταται σε τακτά χρονικά διαστήματα ανάλογα με τη χρήση της μηχανής, γιατί δημιουργούνται αλλοιώσεις κατά τη λειτουργία της. Για να αντικαθαστούμε το έλαιο, αφαιρούμε, πρώτα, όλο το παλαιό και καθαρίζομε τη δεξαμενή του εδράνου.

2) Τα **έδρανα με ένσφαιρους τριβείς** (ρουλέμαν). Αυτά τα έδρανα λιπαίνονται με γράσο.

### 6.14.4 Συντήρηση.

Ο προληπτικός έλεγχος και η συντήρηση αυξάνουν τη διάρκεια ζωής και περιορίζουν τις βλάβες



**Σχ. 6.13β**  
Διάγραμμα ενός Αυτόματου Ρυθμιστή Τάσεως (AVR).

των συγχρόνων γεννητριών. Συνήθως, η κατασκευαστική εταιρεία καθορίζει και το πρόγραμμα ελέγχων και συντηρήσεως αυτών, που περιλαμβάνει:

1) Την εξωτερική καθαριότητα των διόδων αερισμού και του ανεμιστήρα, καθώς και τον καθαρισμό

των εδράνων, του συλλέκτη και των ψηκτρών και των δακτυλιδιών, όπου υπάρχουν.

- 2) Τη λίπανση των εδράνων.
- 3) Τη συντήρηση των βιοθητικών συσκευών (π.χ. των διακοπών).

### **Πίνακας 6.14**

#### **Βασικές αιτίες βλαβών μίας σύγχρονης γεννήτριας και οι αντίστοιχες θεραπείες.**

<b>Βλάβη</b>	<b>Πιθανή αιτία</b>	<b>Επισκευή</b>
Ανωμαλίες στην τάση της σύγχρονης γεννήτριας	<p>1) Αν πρόκειται για συμβατή σύγχρονη γεννήτρια με διεγέρτρια, έστω ότι η διεγέρτρια δεν δίδει τάση για τους εξής λόγους:</p> <ul style="list-style-type: none"> <li>α) Εξασθένηση του παραμένοντος μαγνητισμού.</li> <li>β) Διακοπή του κυκλώματος διεγέρσεως (τυλίγματα πόλων).</li> <li>γ) Διακοπή του ροοστάτη διεγέρσεως.</li> <li>δ) Κακή επαφή των αγωγών με τους ακροδέκτες.</li> <li>ε) Η μαγνητική ροή των πόλων είναι αντίθετη από τον παραμένοντα μαγνητισμό.</li> <li>σ) Αντίστροφη φορά της εντάσεως σε έναν πόλο.</li> <li>ζ) Κακή επαφή των ψηκτρών.</li> <li>η) Ακάθαρτος συλλέκτης.</li> </ul> <p>2) Διακοπή στο τύλιγμα του στάτη.</p> <p>3) Μη συμμετρική φόρτιση.</p> <p>4) Δυσλειτουργία του ρυθμιστή στροφών.</p>	<p>α) Τροφοδότηση με συνεχές ρεύμα των τυλιγμάτων των πόλων.</p> <p>β) Εντόπιση και επισκευή της βλάβης.</p> <p>γ) Εντόπιση και επισκευή της βλάβης.</p> <p>δ) Σύσφιγξη των κοχλιών.</p> <p>ε) Αντιστροφή της τροφοδοτήσεως των πόλων.</p> <p>σ) Η βλάβη εμφανίζεται μετά την επισκευή του τυλίγματος ενός πόλου. Γίνεται ορθή σύνδεση.</p> <p>ζ) Ρύθμιση της τάσεως των ελατηρίων και αντικατάσταση των ψηκτρών, αν είναι φθαρμένες.</p> <p>η) Σε ένα μικρό κομμάτι ξύλου τοποθετούμε ένα πολύ λεπτό γυαλόχαρτο, το πέζομε ελαφρά στο συλλέκτη, ενώ η μηχανή περιστρέφεται. Μπορεί στο συλλέκτη να υπάρχει συσσωρευμένη σκόνη. Την αφαιρούμε με ένα κομμάτι υφάσματος ή χρησιμοποιούμε πεπιεσμένο αέρα, στον οποίο δεν υπάρχει υγρασία. Για τον καθαρισμό του συλλέκτη δεν χρησιμοποιούμε ποτέ σμιγριδόπανο, λιπαντικό λάδι, βενζίνη ή άλλο αναφλέξιμο υγρό.</p> <p>Αποκατάσταση της διακοπής ή μερική αντικατάσταση του τυλιγμάτου.</p> <p>Φόρτιση περίπου συμμετρική.</p> <p>Επισκευή ή αντικατάσταση του ρυθμιστή στροφών.</p>

### - Λυμένες ασκήσεις.

#### Άσκηση 1.

Δίδεται τριφασική σύγχρονη γεννήτρια  $490\text{ V}$ ,  $180\text{ kVA}$ ,  $60\text{ Hz}$ , συντελεστής ισχύος  $0,8$  επαγ. με σύνδεση φάσεων σε αστέρα ή όποια έχει:  $X_s = 1,2\Omega/\text{φάση}$  και  $R_a = 0,02\Omega/\text{φάση}$ . Στη γεννήτρια έγινε δοκιμή χωρίς φορτίο και οι ενδείξεις των οργάνων είναι οι ακόλουθες:

$E_f[\text{V}]$	120	240	360	450	490	540	550
$I_f[\text{A}]$	1	2	3	4	5	6	7

Οι απώλειες λόγω τριβών και ανεμισμού είναι  $5\text{ kW}$  και οι απώλειες πυρήνα είναι  $3\text{ kW}$ . Να υπολογίσετε:

1) Την τιμή του ρεύματος διεγέρσεως, ώστε η τερματική τάση της γεννήτριας να είναι ίση με  $490\text{ V}$ , στη λειτουργία χωρίς φορτίο.

2) Την τιμή της τάσεως διεγέρσεως ανά φάση όταν η γεννήτρια λειτουργεί στα ονομαστικά της στοιχεία.

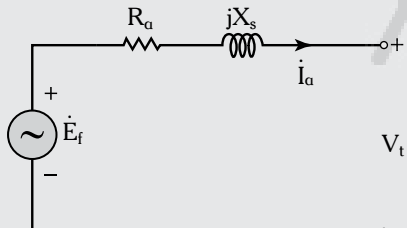
3) Την τιμή του ρεύματος διεγέρσεως, ώστε η τερματική τάση να είναι  $490\text{ V}$  όταν η γεννήτρια λειτουργεί στα ονομαστικά της στοιχεία.

4) Την τιμή της ισχύος εισόδου της γεννήτριας.

#### Λύση.

1) Από τις πιέσεις ( $E_f$ ,  $I_f$ ) του πίνακα, το ρεύμα διεγέρσεως πρέπει να είναι  $5\text{ A}$ .

2) Το ισοδύναμο κύκλωμα της σύγχρονης γεννήτριας ανά φάση δίδεται στο σχήμα 6.14α:



Sx. 6.14α

Είναι:  $\dot{E}_f = \dot{V}_t + \dot{I}_a R_a + j X_s \dot{I}_a$ .

Το ονομαστικό ρεύμα είναι:

$$I_a = \frac{180 \cdot 10^3}{\sqrt{3} \cdot 490} \cong 212\text{ A.}$$

Η ανά φάση τάση είναι:

$$V_t = \frac{490}{\sqrt{3}} \cong 283\text{ V/φάση.}$$

Η τιμή της τάσεως διεγέρσεως είναι:

$$\begin{aligned} \dot{E}_f &= 283 + 212 \angle -36,87^\circ (0,02 + j1,2) = \\ &= 514 \angle 17,23^\circ \text{ V/φάση.} \end{aligned}$$

3) Για  $|\dot{E}_f| = 514\text{ V}$ , απ' τον πίνακα τιμών ( $E_f$ ,  $I_f$ ) έχουμε:

$$I_f \cong 5,3\text{ A.}$$

4) Η ισχύς εξόδου της γεννήτριας είναι:

$$P_{out} = \text{kVA} \cdot \text{συνφ} \quad \text{ή} \quad P_{out} = 180 \cdot 0,8 = 144\text{ kW.}$$

Οι απώλειες του χαλκού του στάπι  $P_{cust}$ , είναι:

$$P_{cust} = 3 I_a^2 R_a = 3 (212)^2 \cdot 0,02 \cong 2,697\text{ kW.}$$

Οι μηχανικές απώλειες ή οι απώλειες λόγω τριβών και ανεμισμού είναι:  $P_\ell = 5\text{ kW}$ .

Οι απώλειες πυρήνα είναι:  $P_c = 3\text{ kW}$ .

Η ισχύς εισόδου της γεννήτριας είναι:

$$\begin{aligned} P_{in} &= P_{out} + P_{cust} + P_\ell + P_c = \\ &= 144 + 2,697 + 5 + 3 = 2,849\text{ kW.} \end{aligned}$$

#### Άσκηση 2.

Δίδεται τριφασική σύγχρονη γεννήτρια  $1.000\text{ kVA}$ , με σύνδεση φάσεων σε αστέρα. Στην δοκιμή σε βραχυκύκλωση ένα ρεύμα διεγέρσεως  $50\text{ A}$  δίδει το ονομαστικό ρεύμα της γεννήτριας. Η τάση διεγέρσεως στην δοκιμή χωρίς φορτίο είναι  $1.750\text{ V/φάση}$  για το ίδιο ρεύμα διεγέρσεως. Αν η ωμική αντίσταση ανά φάση της γεννήτριας είναι  $1,4\Omega$ , να υπολογίσετε την διακύμανση τάσεως (συντελεστής ρυθμίσεως τάσεως)<sup>3</sup> της γεννήτριας όταν ο συντελεστής ισχύος είναι  $0,8$  επαγ..

<sup>3</sup> Η διακύμανση τάσεως επί τοις εκατό (ε%) ή συντελεστής ρυθμίσεως τάσεως επί τοις εκατό (VR%, Voltage Regulation) είναι:

$\epsilon\% \text{ ή } VR\% = \frac{\text{ονομαστική τάση χωρίς φορτίο} - \text{ονομαστική τάση στο πλήρες φορτίο}}{\text{ονομαστική τάση στο πλήρες φορτίο}} \cdot 100 \quad \text{ή} \quad \epsilon\% \text{ ή } VR\% = \frac{E_{fov} - V_{tov}}{V_{tov}} \cdot 100.$

### Λύση.

Η ονομαστική τερματική τάση της γεννήτριας είναι:  $V_t = 1.750 \text{ V/φάση}$ .

Το ονομαστικό ρεύμα της γεννήτριας είναι:

$$I_a = \frac{1.000 \cdot 10^3}{3 \cdot 1.750} = 190,47 \text{ A.}$$

Η σύγχρονη σύνθετη αντίσταση  $Z_s$  είναι:

$$Z_s = \frac{\text{τάση/φάση στη δοκιμή}}{\text{ρεύμα/φάση στη δοκιμή}} \Omega$$

χωρίς φορτίο  
σε βραχυκύκλωση

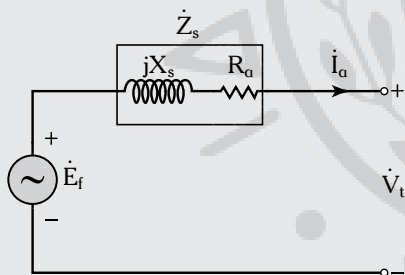
για το ίδιο ρεύμα διεγέρσεως.

$$Z_s = \frac{1.750}{190,47} = 9,187 \Omega$$

Από το τρίγωνο των αντιστάσεων έχουμε:

$$\begin{aligned} X_s &= \sqrt{(Z_s)^2 - (R_a)^2} = \\ &= \sqrt{(9,187)^2 - (1,4)^2} = 9,079 \Omega. \end{aligned}$$

Το ανά φάση ισοδύναμο κύκλωμα της σύγχρονης γεννήτριας είναι αυτό του σχήματος 6.14β.



**Σχ. 6.14β**

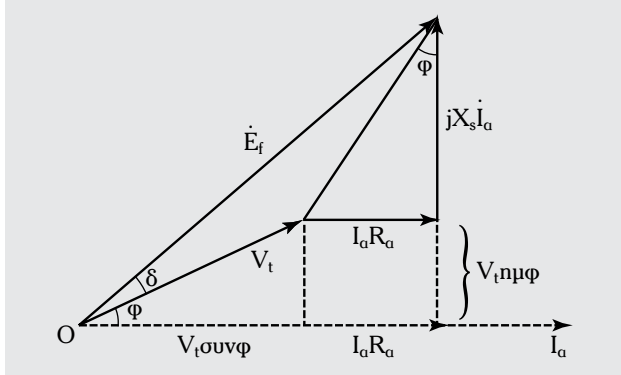
Ισχύει:  $V_t = E_f - I_a Z_s$ .

Το διανυσματικό διάγραμμα τάσεων-ρευμάτων της γεννήτριας όταν πάρομε σαν διάνυσμα αναφοράς το ανά φάση ρεύμα τυμπάνου  $I_a$ , απεικονίζεται στο σχήμα 6.14γ.

Από το διανυσματικό διάγραμμα προκύπτει:

$$E_f = \sqrt{(V_t \sin \varphi + I_a R_a)^2 + (V_t \cos \varphi + I_a X_s)^2} \text{ ή}$$

$$E_f = \sqrt{(1.750 \cdot 0.8 + 1,4 \cdot 190,47)^2 + (1.750 \cdot 0.6 + 190,47 \cdot 9,079)^2} = 3.240,70 \text{ V.}$$



**Σχ. 6.14γ**

Η διακύμανση τάσεως είναι:

$$\begin{aligned} \epsilon \% &= \frac{E_f - V_t}{V_t} \cdot 100 = \\ &= \frac{3.240,70 - 1.750}{1.750} \cdot 100 = 85,18\%. \end{aligned}$$

Όταν η γεννήτρια λειτουργεί με επαγωγικό φορτίο, η διακύμανση τάσεως έχει αρκετά μεγάλη θετική τιμή. Όταν λειτουργεί με ωμικό φορτίο, η γεννήτρια εμφανίζει μια μικρή και θετική τιμή διακυμάνσεως τάσεως, ενώ όταν λειτουργεί με χωροπικό φορτίο η διακύμανση τάσεως είναι αρνητική.

### Άσκηση 3.

Η σχέση μεταξύ τερματικής τάσεως και ρεύματος φορτίου, μιας τριφασικής σύγχρονης γεννήτριας, με σύνδεση φάσεων σε αστέρα, είναι ευθεία γραμμή με αρνητική κλίση. Η τάση στους ακροδέκτες της γεννήτριας, στην λειτουργία χωρίς φορτίο είναι 3.500 V, ενώ στην λειτουργία με πλήρες φορτίο είναι 3.300 V και παρέχει ρεύμα σε φορτίο 2.280 kW. Να υπολογίσετε την τερματική τάση της γεννήτριας όταν συνδέεται σε φορτίο, με σύνδεση σε αστέρα, με ανά φάση σύνθετη αντίσταση:  $\dot{Z}_L = 8 + j6 \Omega$ .

Θεωρήστε σταθερή την ταχύτητα περιστροφής της γεννήτριας και σταθερό το ρεύμα διεγέρσεως.

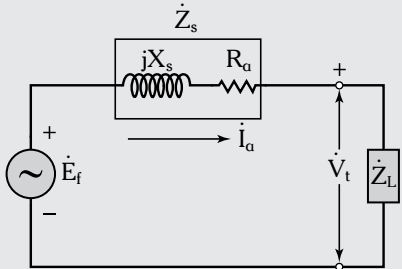
### Λύση.

Το ισοδύναμο ανά φάση κύκλωμα της σύγχρονης γεννήτριας δίδεται στο σχήμα 6.14δ.

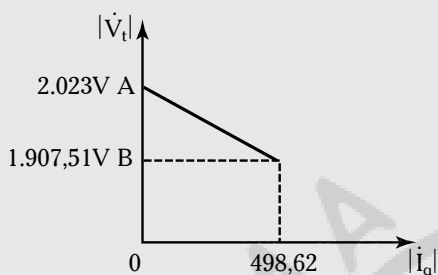
Η σχέση τερματικής τάσεως και ρεύματος φορτίου δίδεται στο σχήμα 6.14ε.

Ο συντελεστής ισχύος του φορτίου, όπως είναι γνωστό, υπολογίζεται ως εξής:

$$\epsilon_{φφ} = \frac{6}{8} = 0,75 \text{ και } \varphi = 36,87^\circ \text{ και}$$



Σx. 6.14δ



Σx. 6.14ε

$$\sigma_{\text{υφ}} = \sigma_{\text{υν}}(36,87^\circ) = 0,8.$$

Η ανά φάση τερματική τάση της γεννήτριας χωρίς φορτίο είναι:  $\frac{3.500}{\sqrt{3}} = 2.023 \text{ V}.$

Η ανά φάση τάση στη λειτουργία με πλήρες φορτίο είναι:  $\frac{3.300}{\sqrt{3}} = 1.907,51 \text{ V}.$

Το ρεύμα το οποίο παρέχει η γεννήτρια στο πλήρες φορτίο είναι:  $\sqrt{3} V_{\Pi} I_a \sigma_{\text{υφ}} = 2.280 \cdot 1.000 \text{ W}$

$$\text{ή } I_a = \frac{2.280 \cdot 1.000}{\sqrt{3} \cdot 3.300 \cdot 0,8} = 498,62 \text{ A.}$$

Η πτώση τάσεως, ανά φάση, στη σύγχρονη γεννήτρια είναι:  $A_B = 2.023 - 1.907,51 = 115,49 \text{ V.}$

Έστω xA το ρεύμα που παρέχει η γεννήτρια στο φορτίο  $Z_L = 8 + j6 \Omega/\text{φάση}$  με συντελεστή ιοχύος:

$$\sigma_{\text{υφ}} = \frac{R_L}{|Z_L|} = \frac{8}{\sqrt{8^2 + 6^2}} = 0,8.$$

Η πτώση τάσεως ανά φάση της γεννήτριας στα 498,62 A είναι 115,49 V.

Όταν η γεννήτρια παρέχει xA, η πτώση τάσεως ανά φάση είναι:

$$\frac{115,49 x}{498,62} = 0,231 x.$$

Η τάση τροφοδοσίας σε κάθε φάση του φορτίου είναι  $10x$ . Ισχύει:  $10x = 2.023 - 0,231 x$

$$\text{ή } x = \frac{2.023}{(10,231)} = 197,73 \text{ A.}$$

Οπότε η τερματική τάση, ανά φάση, είναι:

$$|V_t| = (2.023 - 0,231 \cdot 197,73) = 1.977,32 \text{ V.}$$

Η τάση ακροδεκτών της γεννήτριας είναι:

$$1.977,32 \cdot \sqrt{3} \cong 3.421 \text{ V.}$$

#### Άσκηση 4.

Όταν το ρεύμα διεγέρσεως μίας σύγχρονης γεννήτριας, στη λειτουργία χωρίς φορτίο, είναι  $100 \text{ A}$  τότε στους ακροδέκτες της μετράμε την ονομαστική της τάση.

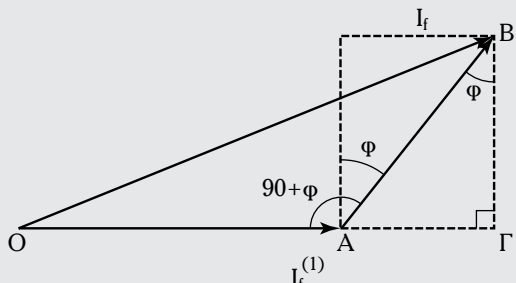
Στη δοκιμή σε βραχυκύλωση, το ονομαστικό ρεύμα κυκλοφορεί όταν το ρεύμα διεγέρσεως είναι  $80 \text{ A}$ . Να υπολογίσετε το ρεύμα διεγέρσεως όταν η γεννήτρια λειτουργεί στο πλήρες φορτίο με συντελεστή ιοχύος  $0,8$  επαγγελματικής τάσης.

#### Λύση.

Το ρεύμα διεγέρσεως  $I_f^{(1)}$ , για την ονομαστική τάση στη λειτουργία χωρίς φορτίο είναι:  $I_f^{(1)} = 100 \text{ A.}$

Το ρεύμα διεγέρσεως  $I_f^{(2)}$ , το οποίο απαιτείται για την κυκλοφορία του ονομαστικού ρεύματος στη δοκιμή σε βραχυκύλωμα είναι:  $I_f^{(2)} = 80 \text{ A.}$

Για να υπολογίσουμε το ρεύμα διεγέρσεως, το οποίο απαιτείται για να δώσει η γεννήτρια το ονομαστικό ρεύμα, με ονομαστική τάση και συντελεστή  $0,8$  επαγγ., δημιουργούμε την διανυσματική κατασκευή του σχήματος 6.14στ.



Σx. 6.14στ

Έστω  $\overrightarrow{OA}$  το διάνυσμα, το οποίο αντιστοιχεί στο  $I_f^{(1)}$  μέτρου  $100 \text{ A.}$

Είναι  $\overline{OB}$  το διάνυσμα, το οποίο αντιστοιχεί στο  $I_f^{(2)}$  μέτρου  $80\text{ A}$ , με γωνία  $90^\circ + \varphi$  ως προς το διάνυσμα  $I_f^{(1)}$ .

Προεκτείνομε το διάνυσμα  $\overline{OA}$  και προβάλλομε το σημείο  $B$  του διανύσματος  $\overline{OB}$  στην πρόκταση του διανύσματος  $\overline{OA}$ . Προσδιορίζομε το σημείο  $\Gamma$ .

Έχομε το ορθογώνιο τρίγωνο  $O\Gamma B$ , στο οποίο εφαρμόζομε το Πυθαγόρειο Θεώρημα:

$$\begin{aligned} OB &= \sqrt{(OA + AG)^2 + (GB)^2} = \\ &= \sqrt{(OA + AB\mu\varphi)^2 + (AB\sin\varphi)^2} = \\ &= \sqrt{(100 + 80 \cdot 0,6)^2 + (80 \cdot 0,8)^2} = 161,2\text{ A}. \end{aligned}$$

#### Άσκηση 5.

Τριφασική σύγχρονη γεννήτρια με σύνδεση φάσεων σε αστέρα έχει πολική τάση, στη λειτουργία χωρίς φορτίο,  $3.000\text{ V}$ . Όταν λειτουργεί με φορτίο τριφοδοτεί μία εγκατάσταση με  $403\text{ A}$  με συντελεστή ισχύος  $0,8$  επαγ., ενώ η τάση μειώνεται στα  $40\%$ . Να υπολογίσετε την σύγχρονη αντίδραση ανά φάση της γεννήτριας αμελώντας την ωμική αντίσταση των τυλιγμάτων.

#### Λύση.

Η διακύμανση της τάσεως  $\epsilon\%$  της γεννήτριας δίδεται:  $\epsilon\% = 100 \cdot \frac{E_t - V_t}{V_t}$ .

Λύνοντας ως προς  $V_t$ , έχομε:

$$V_t = \frac{100 \cdot E_t}{100 + \epsilon\%} = \frac{100 \cdot \frac{3.000}{\sqrt{3}}}{100 + 40} = 1.235\text{ V}.$$

Από το ανά φάση ισοδύναμο πλεκτρικό κύκλωμα (σχ. 6.8a) προκύπτει η εξίσωση τάσεων-ρευμάτων:

$$\dot{V}_t = \dot{E}_f - I_a j X_s. \quad (1)$$

Το διανυσματικό διάγραμμα της εξισώσεως 1 είναι αυτό που παρουσιάζεται στο σχήμα 6.8a.

Από το διάγραμμα αυτό έχομε:

$$E_f^2 = (V_t + X_s I_a \mu\varphi)^2 + (X_s I_a \sin\varphi)^2.$$

Τελικά είναι:

$$162,4 \cdot 103 X_s^2 + 598 \cdot 103 X_s - 1.470 \cdot 103 = 0.$$

Λύνοντας την δευτεροβάθμια εξίσωση παίρνομε:

$$X_s = 1,665\Omega/\text{φάση}.$$

#### Άσκηση 6.

Δίδεται τριφασική σύγχρονη γεννήτρια,  $6\text{ kVA}$ ,  $220\text{ V}$ , 6-πολική,  $60\text{ Hz}$  με σύνδεση φάσεων σε αστέρα, η οποία συνδέεται με κύριο πίνακα πλοϊού, 3-φ,  $220\text{ V}$ ,  $60\text{ Hz}$ . Η γεννήτρια έχει:  $X_s = 7\Omega/\text{φάση}$ .

1) Να υπολογίσετε την τάση διεγέρσεως όταν η γεννήτρια παρέχει τα ονομαστικά  $\text{kVA}$  με ονομαστική τάση σε φορτία με συνφ =  $0,8$  επαγ..

2) Αυξάνομε το ρεύμα διεγέρσεως κατά  $21\%$ , ενώ η ισχύς εισόδου της γεννήτριας διατηρείται σταθερή, να υπολογίσετε το ρεύμα επαγωγικού τυμπάνου, τον συντελεστή ισχύος και την άερο για της γεννήτριας.

3) Όταν το ρεύμα διεγέρσεως διατηρείται σταθερό όπως στο ερώτημα (1), να υπολογίσετε την ισχύ, την οποία παρέχει η γεννήτρια στο **όριο ευστάθειας**<sup>4</sup>, το αντίστοιχο ρεύμα και τον συντελεστή ισχύος της γεννήτριας.

#### Λύση.

1) Από το ισοδύναμο, ανά φάση, κύκλωμα της γεννήτριας (σχ. 6.8a) έχομε:

$$\dot{V}_t = \dot{E}_f - I_a j X_s.$$

$$\text{Είναι: } \dot{V}_t = |\dot{V}_t| = \frac{220}{\sqrt{3}} = 127\text{ V/φάση}.$$

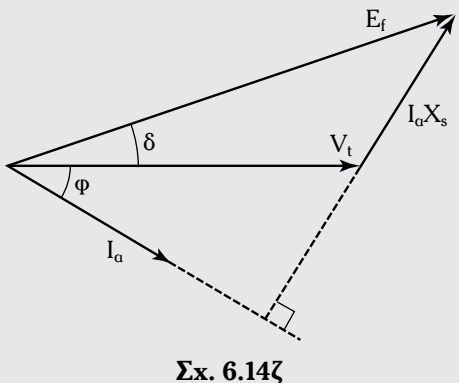
Το ρεύμα το οποίο παρέχει η γεννήτρια προκύπτει από την εξίσωση της φαινομένης ισχύος:

$$P_\Phi = \sqrt{3} V_n I_\gamma (\equiv I_a).$$

$$\text{Οπότε έχομε: } I_a = \frac{P_\Phi}{\sqrt{3} V_n} = \frac{6.000}{\sqrt{3} \cdot 220} \cong 16\text{ A}.$$

Το διάγραμμα τάσεων-ρευμάτων της γεννήτριας είναι αυτό του σχήματος 6.14ζ.

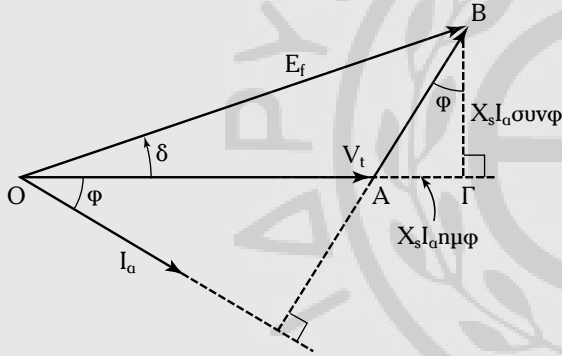
<sup>4</sup> Το όριο ευστάθειας της γεννήτριας προσδιορίζεται όταν η γωνία ισχύος διασύνται με  $90^\circ$ .



### Υπολογισμός της $E_f$ :

Τροποποιούμε το διανυσματικό διάγραμμα τάσεων-ρευμάτων της γεννήτριας ως εξής:

Προεκτείνουμε το διάνυσμα της τερματικής τάσεως  $V_t$  και προβάλλομε το σημείο  $B$  του διανύσματος της τάσεως διεγέρσεως,  $E_f$ , σε αυτήν την προέκταση. Προσδιορίζουμε το σημείο  $\Gamma$  (σχ. 6.14n).



Η γωνία  $\phi$  είναι:  $\operatorname{συν}^{-1} 0,8 = 36,87^\circ$ .

Εφαρμόζουμε το Πυθαγόρειο Θεώρημα στο τροποποιημένο διανυσματικό διάγραμμα τάσεων-ρευμάτων:

$$E_f^2 = (V_t + X_s I_a \eta \mu \phi)^2 + (X_s I_a \operatorname{συν} \phi)^2$$

$$\text{ή } E_f = \sqrt{(127 + 7 \cdot 16 \cdot 0,6)^2 + (7 \cdot 16 \cdot 0,8)^2}$$

$$\text{ή } E_f \approx 214 \text{ V.}$$

Η γωνία ισχύος  $\delta$  είναι:

$$\delta \equiv \epsilon \phi^{-1} \frac{X_s I_a \operatorname{συν} \phi}{V_t + X_s I_a \eta \mu \phi} = \epsilon \phi^{-1} \frac{89,6}{194} = \epsilon \phi^{-1} 0,46$$

$$\delta \approx 25^\circ.$$

2) Αυξάνοντας το ρεύμα διεγέρσεως κατά 21% αυξάνεται αντίστοιχα η τάση διεγέρσεως κατά 21%. Έχουμε:  $E'_f = 1,21 \cdot 214 \approx 259 \text{ V.}$

Η νέα γωνία ισχύος  $\delta'$ , π οποία αντιστοιχεί στην  $E'_f$  βρίσκεται ως εξής:

Η εσωτερική αναπτυσσόμενη πλεκτρομαγνητική ισχύς, πριν την αύξηση του ρεύματος διεγέρσεως είναι:

$$P_d = \frac{3E_f V_t}{X_s} \eta \mu \delta. \quad (1)$$

Η εσωτερική αναπτυσσόμενη πλεκτρομαγνητική ισχύς μετά την αύξηση του ρεύματος διεγέρσεως είναι:

$$P_d = \frac{3E'_f V_t}{X_s} \eta \mu \delta'. \quad (2)$$

Από τις εξισώσεις 1 και 2 έχουμε:

$$\eta \mu \delta' = \frac{E'_f}{E_f} \eta \mu \delta = \frac{214}{259} \eta \mu 25^\circ = 0,35$$

$$\delta' = \eta \mu^{-1} 0,35 = 20,48^\circ.$$

Το διάγραμμα τάσεων-ρευμάτων πριν και μετά την αύξηση του ρεύματος διεγέρσεως παρουσιάζεται στο σχήμα 6.14θ.

Από το τρίγωνο OAB έχουμε:

$$X_s I'_a \operatorname{συν} \phi' = E'_f \eta \mu \delta'$$

$$\text{ή } I'_a \operatorname{συν} \phi' = \frac{E'_f \eta \mu \delta'}{X_s} = \frac{259 \eta \mu 20,48^\circ}{7} = 12,94 \quad (3)$$

Από το διανυσματικό διάγραμμα προκύπτει:

$$V_t + X_s I'_a \operatorname{συν} \phi' = E'_f \operatorname{συν} \delta'. \quad (4)$$

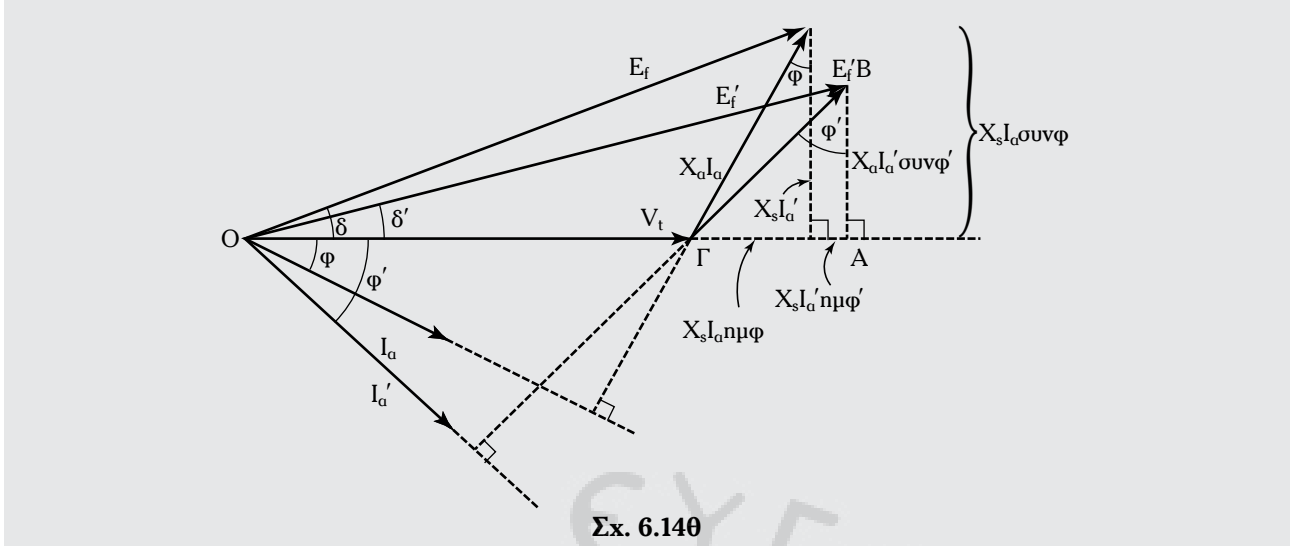
$$\text{Από τις 3 και 4 έχουμε: } I'_a \operatorname{συν} \phi' = 12,94 \quad (5)$$

$$\text{και } X_s I'_a \operatorname{συν} \phi' = E'_f \operatorname{συν} \delta' - V_t.$$

$$\text{ή } \operatorname{συν} \phi' = \frac{243 - 127}{7} = \frac{116}{7} = 16,51. \quad (6)$$

Διαιρώντας κατά μέλη τις 5 και 6 έχουμε:

$$\frac{I'_a \operatorname{συν} \phi'}{I'_a \eta \mu \phi} = \frac{12,94}{16,51}$$



$$\text{ή } \frac{\sigma_{uv\varphi'}}{n\mu\varphi'} = \frac{12,94}{16,51} \text{ ή } \sigma\varphi\varphi' = 0,78.$$

$$\text{Είναι: } \sigma\varphi\varphi' = \frac{1}{\epsilon\varphi\varphi} = 0,78 \text{ ή } \epsilon\varphi\varphi' = \frac{1}{0,78} = 1,28$$

$$\epsilon\varphi^{-1} 1,28 = 52^\circ \equiv \varphi'.$$

Το ρεύμα  $I'_a$  απ' την εξίσωση 5 είναι:

$$I'_a \sigma_{uv\varphi'} = 12,94 \text{ ή } I'_a = \frac{12,94}{\sigma_{uv} 52^\circ} = 21,21 \text{ A.}$$

Η άρεγος ισχύς είναι:

$$Q = 3V_t I'_a n\mu\varphi' = \\ = 3 \cdot 127 \cdot 21,21 \cdot 0,78 = 6,368 \text{ kVar}$$

Ο συντελεστής ισχύος  $\sigma_{uv\varphi'}$  είναι:

$$\sigma_{uv} 52^\circ = 0,61 \text{ επαγ..}$$

3) Το όριο ευστάθειας της γεννήτριας είναι  $\delta = 90^\circ$ . Η ισχύς στο όριο ευστάθειας είναι:

$$P_{dmax} = \frac{3V_t E_f}{X_s} n\mu 90^\circ = \frac{3 \cdot 127 \cdot 214 \cdot 1}{7} = 11,648 \text{ kW.}$$

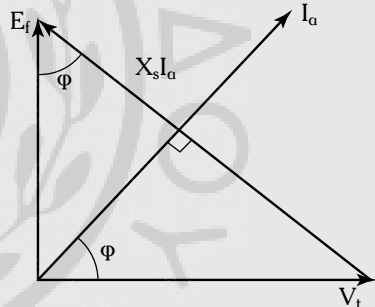
Στο όριο ευστάθειας ισχύει το ακόλουθο διανυσματικό διάγραμμα τάσεων-ρευμάτων της γεννήτριας (σχ. 6.14i):

Οπότε:

$$I_a = \frac{\sqrt{E_f^2 + V_t^2}}{X_s} = \frac{\sqrt{(214)^2 + (127)^2}}{7} = 35,55 \text{ A}$$

$$\epsilon\varphi\varphi = \frac{V_t}{E_f} = 0,59 \text{ xωρ. ή } \epsilon\varphi^{-1} 0,59 = \varphi = 30,54^\circ$$

$$\text{και } \sigma_{uv\varphi} = \sigma_{uv} 30,54 = 0,86 \text{ xωρ..}$$



**Σχ. 6.14i**

### Άσκηση 7.

Δίδεται τριφασική σύγχρονη γεννήτρια, 1.000 kVA, 3.300 V, με σύνδεση φάσεων σε αστέρα. Η ανά φάσης ωμική αντίσταση τυμπάνου και η ανά φάσης σύγχρονη αντίδραση είναι  $0,2 \Omega$  και  $5 \Omega$  αντίστοιχα. Η γεννήτρια παρέχει τα ονομαστικά kVA με ονομαστική τάση σε φορτία με συντελεστή ισχύος 0,8 επαγ..

Να υπολογίσετε την τερματική τάση, ανά φάση, της γεννήτριας όταν παρέχει τα ονομαστικά της στοιχεία, με το ίδιο ρεύμα διεγέρσεως σε φορτία με συντελεστή ισχύος 0,8 xωρ..

### Λύση.

Το ονομαστικό ρεύμα της γεννήτριας είναι:

$$I_a = \frac{P_q}{\sqrt{3}V_n} = \frac{1.000 \cdot 10^3}{\sqrt{3} \cdot 3.300} \cong 175 \text{ A.}$$

Το ισοδύναμο πλεκτρικό κύκλωμα της γεννήτριας, ανά φάση, είναι αυτό που παρουσιάζεται στο σχήμα 6.14a.

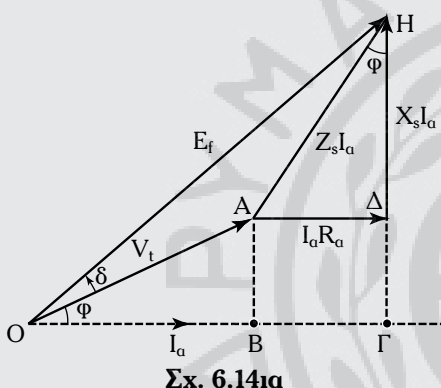
Η εξίσωση τάσεων-ρευμάτων του κυκλώματος είναι:

$$\dot{V}_t = \dot{E}_f - I_a(R_a + jX_s). \quad (1)$$

Η ανά φάση τερματική τάση της γεννήτριας είναι:

$$V_t = \frac{3.300}{\sqrt{3}} = 1.907,51 \text{ V.}$$

Στην εξίσωση 1 αντιστοιχεί το διανυσματικό διάγραμμα τάσεων-ρευμάτων του σχήματος 6.14ia.



Εφαρμόζομε το Πυθαγόρειο Θεώρημα στο τρίγωνο OHГ:

$$(\overline{OH})^2 = (\overline{OG})^2 + (\overline{HГ})^2. \quad (2)$$

$$\text{Είναι: } \overline{OH} = E_f \quad (3)$$

$$\overline{OG} = OB + BГ = V_t \sin \varphi + I_a R_a \quad (4)$$

$$\overline{HГ} = H\Delta + \Delta Г = X_s I_a + V_t \cos \varphi. \quad (5)$$

Η εξίσωση 2, με βάση τις εξισώσεις 3, 4 και 5 γίνεται:

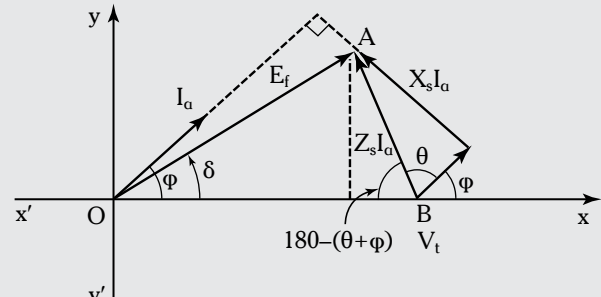
$$E_f^2 = (V_t \sin \varphi + I_a R_a)^2 + (X_s I_a + V_t \cos \varphi)^2$$

$$\text{ή } E_f = \sqrt{(1.907,51 \cdot 0,8 + 175 \cdot 0,2)^2 + (5 \cdot 175 + 1907,51 \cdot 0,60)^2}$$

$$\text{ή } E_f = 2.552 \text{ V.}$$

Στην περίπτωση κατά την οποία η γεννήτρια παρέχει τα ονομαστικά της στοιχεία, με το ίδιο

ρεύμα διεγέρσεως, σε φορτία με συντελεστή ισχύος 0,8 χωρ., το διανυσματικό διάγραμμα τάσεων-ρευμάτων είναι αυτό του σχήματος 6.14ib.



**Σx. 6.14ib**

$$\text{Είναι: } \theta = \epsilon \varphi^{-1} \frac{X_s}{R_a} = \epsilon \varphi^{-1} \frac{5}{0,2} = 87,70^\circ$$

$$\varphi = \sigma u v^{-1} 0,8 = 36,87^\circ$$

$$\text{είναι: } \dot{Z}_s = 0,2 + j5\Omega$$

$$\text{και } |\dot{Z}_s| = \sqrt{(0,2)^2 + (5)^2} \cong 5 \Omega.$$

Από το τρίγωνο OAB έχουμε:

$$E_f^2 = V_t^2 + (Z_s I_a)^2 - 2V_t Z_s I_a \sigma u v [180^\circ - (\theta + \varphi)]$$

$$6.512.704 = V_t^2 + 765.625 - 993 V_t$$

$$\text{ή } V_t^2 - 993 V_t - 5.747.079 = 0$$

$$\text{Η δεκτή ρίζα είναι: } V_t = 1.951,5 \text{ V.}$$

## 6.15 Ερωτήσεις.

1) Τι εννοούμε με τον όρο σύγχρονη μηχανή;

2) Ποια είναι η αρχή λειπουργίας της σύγχρονης γεννήτριας;

3) Σχεδιάστε τον πρακτικό και θεωρητικό αστέρα και δώστε τη σχέση μεταξύ τάσεων και ρευμάτων. Κάντε το ίδιο για την συνδεσμολογία των φάσεων σε τρίγωνο. Πώς πρέπει να συνδεθούν οι φάσεις μιας γεννήτριας πλοίου, ώστε η γεννήτρια να παράγει περισσότερη πραγματική ισχύ;

4) Πόσων ειδών σύγχρονες γεννήτριες έχουμε ανάλογα με την κατασκευή του δρομέα;

5) Τι εννοούμε με τον όρο αντίδραση υμπάνον; Από τη εξαρτίαται και πώς αντιμετωπίζεται σε μια σύγχρονη γεννήτρια;

6) Σχεδιάστε και εξηγήστε το πλήρες, ανά φάση, ισοδύναμο πλεκτρικό κύκλωμα μιας σύγχρονης γεννήτριας. Με ποιον τρόπο παρουσιάζεται στο ισοδύναμο κύκλωμα το φανόμενο αντιδράσεως τωμπάνου;

7) Σχεδιάστε το απλοποιημένο, ανά φάση, ισοδύναμο πλεκτρικό κύκλωμα και γράψτε την εξίσωση τάσεων και ρευμάτων, για μια σύγχρονη γεννήτρια. Ποια είναι η χρησιμότητα του απλοποιημένου ανά φάση ισοδύναμου κυκλώματος;

8) Χαράξτε τις χαρακτηριστικές φορτίσεως μιας σύγχρονης γεννήτριας:

α) Τι συμπεράσματα προκύπτουν;

β) Σχεδιάστε και εξηγήστε το διάγραμμα ροής ισχύος μιας σύγχρονης γεννήτριας.

γ) Τι είναι η γωνία ισχύος και πώς ελέγχεται;

δ) Τι εννοούμε με τον όρο όριο ευστάθειας μιας σύγχρονης γεννήτριας;

ε) Ποια είναι η σχέση αναπνοσόδμενης πλεκτρομαγνητικής ισχύος και γωνίας ισχύος;

9) Να αποδείξετε ότι για μία σύγχρονη γεννήτρια, στην οποία αμελούμε την ωμική αντίσταση των φάσεων, ισχύει:

$$P_d = \frac{3V_t E_f}{X_s} \cdot \eta \mu \delta$$

Για μια ωμική, επαγγελματική και χωροπική φόρτωση, από την οποία εξαρτάται η εσωτερική αναπνοσόδμενη πλεκτρομαγνητική ισχύς ( $P_d$ );

10) Πώς προσδιορίζονται πειραματικά τα κυκλωματικά στοιχεία του απλοποιημένου, ανά φάση, ισοδύναμου κυκλώματος μιας σύγχρονης γεννήτριας;

## 6.16 Προτεινόμενες ασκήσεις.

### Άσκηση 1.

Μια τριφασική, σύγχρονη γεννήτρια 50 Hz περιστρέφεται με 1.750 ΣΑΔ. Να υπολογίσετε τον αριθμό των μαγνητικών πόλων της μηχανής.

### Άσκηση 2.

Να υπολογίσετε τη σύγχρονη ταχύτητα μιας σύγχρονης γεννήτριας, με τα ακόλουθα δεδομένα:

- 1) 50 Hz, 4-πολική,
- 2) 50 Hz, 6-πολική,
- 3) 25 Hz, 4-πολική.

### Άσκηση 3.

Δίδεται τριφασική σύγχρονη γεννήτρια, 11 kV με σύνδεση φάσεων σε αστέρα, το οποίο τροφοδοτεί φορτίο 10 mW με συντελεστή ισχύος 0,85 επαγγελματικό.

Αν η ωμική αντίσταση ανά φάση είναι 0,01 Ω και η σύγχρονη αντίδραση ανά φάση είναι 1,2 Ω, να υπολογίσετε την πολική τάση διεγέρσεως.

### Άσκηση 4.

Δίδεται τριφασική σύγχρονη γεννήτρια, 700 kVA, 6,6 kV με σύνδεση φάσεων σε αστέρα, το οποίο έχει ωμική αντίσταση ανά φάση 1,2 Ω και σύγχρονη αντίδραση ανά φάση 22 Ω. Να υπολογίσετε την επί τοις εκατό (%) ρύθμιση τάσεως, όταν τροφοδοτεί φορτίο 500 kW με συντελεστή ισχύος 0,75 χωρ..

### Άσκηση 5.

Δίδεται τριφασική σύγχρονη γεννήτρια, 10 kVA, 3,3 kV με σύνδεση φάσεων σε αστέρα, το οποίο έχει ωμική αντίσταση 0,2 Ω και σύγχρονη αντίδραση ανά φάση 5,5 Ω. Η γεννήτρια παρέχει τα ονομαστικά kVA με την ονομαστική τάση σε φορτίο με συντελεστή ισχύος 0,8 επαγγ.. Να υπολογίσετε την τερματική τάση της γεννήτριας όταν το ρεύμα διεγέρσεως και το ρεύμα φορτίου είναι το ίδιο, ενώ το φορτίο έχει συντελεστή ισχύος 0,8 χωρ..

### Άσκηση 6.

Δίδεται μονοφασική σύγχρονη γεννήτρια, 500 V, 50 kVA, το οποίο έχει ωμική αντίσταση 0,20 Ω. Ένα ρεύμα διεγέρσεως 7 A, παράγει ρεύμα 120 A στα κυκλώματα του δρομέα στην κατάσταση βραχυκυκλώσεως και 320 V στη λειτουργία χωρίς φορτίο. Να υπολογίσετε τη σύγχρονη σύνθετη αντίσταση και τη σύγχρονη αντίδραση, αντίστοιχα της μηχανής.

### Άσκηση 7.

Σύγχρονη γεννήτρια με σύνδεση φάσεων σε αστέρα, παράγει πολική τάση στη λειτουργία χωρίς φορτίο 3.300 V. Η γεννήτρια παρέχει ρεύμα 150 A, σε φορτίο με συντελεστή ισχύος 0,75 επαγγ., ενώ η πιώση τάσεως επί τοις εκατό (%) από τη λειτουργία χωρίς φορτίο στη λειτουργία με πλήρες φορτίο είναι 18%. Να υπολογίσετε τη σύγχρονη αντίδραση ανά φάση της γεννήτριας.

### Άσκηση 8.

Σε μια σύγχρονη γεννήτρια με ρεύμα διεγέρσεως 5 A, προκαλούμε την κυκλοφορία 100 A στα κυκλώματα διεγέρσεως, ενώ η φασική τάση διεγέρσεως είναι 220 V στη λειτουργία χωρίς φορτίο. Η γεννήτρια συνδέεται με ένα τριφασικό σύστημα αντιστάσεων 0,35 Ω/φάση, συνδεμένο σε αστέρα, το οποίο τροφοδοτείται με 300 kW. Η σύνδεση της γεννήτριας με το φορτίο γίνεται με ένα τριφασικό καλώδιο, το οποίο

έχει ωμική αντίσταση και επαγωγική αντίσταση ανά φάση  $0,75 \Omega$  και  $1 \Omega$  αντίστοιχα. Να υπολογίσετε την πολική τάση διεγέρσεως της γεννήτριας.

#### **Άσκηση 9.**

Δίδεται τριφασική σύγχρονη γεννήτρια,  $10 \text{ kVA}$ ,  $3,3 \text{ kV}$  με σύνδεση φάσεων σε αστέρα, η οποία τροφοδοτεί φορτίο με συντελεστή ισχύος  $0,85$  επαγ.. Η γεννήτρια έχει ωμική αντίσταση και σύγχρονη αντίδραση ανά φάση  $0,21 \Omega$  και  $3 \Omega$  αντίστοιχα. Οι μηχανικές απώλειες και οι απώλειες πυρήνα είναι  $11 \text{ kW}$  και  $28 \text{ kW}$  αντίστοιχα. Να υπολογίσετε την απόδοση της γεννήτριας στο πλήρες φορτίο.

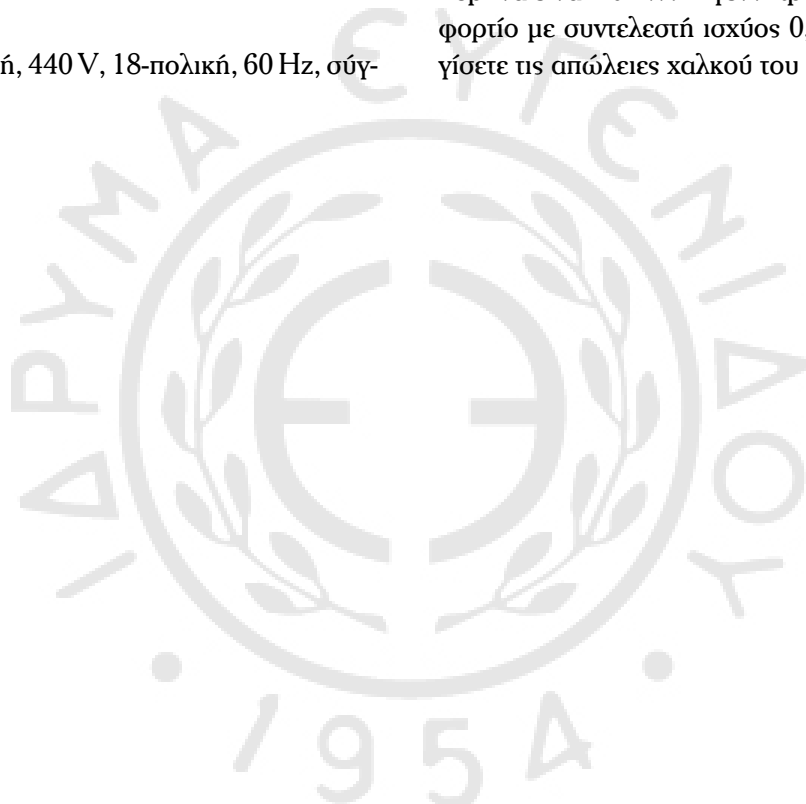
#### **Άσκηση 10.**

Δίδεται τριφασική,  $440 \text{ V}$ , 18-πολική,  $60 \text{ Hz}$ , σύγ-

χρονη γεννήτρια η οποία έχει ωμική αντίσταση  $0,02 \Omega$  και σύγχρονη αντίδραση ανά φάση  $3 \Omega$ . Η γεννήτρια παρέχει  $150 \text{ kW}$  σε φορτίο με συντελεστή ισχύος  $0,85$  επαγ.. Οι μηχανικές απώλειες είναι  $15 \text{ kW}$ . Να υπολογίσετε τη ροπή στον άξονα της γεννήτριας.

#### **Άσκηση 11.**

Δίδεται τριφασική σύγχρονη γεννήτρια,  $440 \text{ V}$ ,  $60 \text{ Hz}$ , η οποία έχει ωμική αντίσταση  $0,1 \Omega$  και σύγχρονη αντίδραση ανά φάση  $0,66 \Omega$ . Η γεννήτρια συνδέεται σε κινητήρια μηχανή  $6.000 \text{ HP}$ . Οι απώλειες πυρήνα είναι  $40 \text{ kW}$ . Η γεννήτρια παρέχει  $250 \text{ kW}$  σε φορτίο με συντελεστή ισχύος  $0,85$  επαγ.. Να υπολογίσετε τις απώλειες χαλκού του στάτη της μηχανής.



## ΠΙΝΑΚΑΣ ΣΥΜΒΟΛΩΝ

<b>Αγγλικά σύμβολα</b>		<b>Ελληνικά σύμβολα</b>	
A :	Amphere μονάδα μετρήσεως εντάσεως ηλεκτρικού ρεύματος, εμβαδόν διατομής μαγνητικού κυκλώματος, ακροδέκτης τυλίγματος, εμβαδόν επιφάνειας.	n <sub>s</sub> :	Σύγχρονη ταχύτητα.
a :	Ακροδέκτης τυλίγματος.	P :	Αριθμός πόλων, είσοδος, έξοδος, ισχύς, απώλειες.
A <sub>c</sub> :	Επιφάνεια επαφής της ψήκτρας και του τομέα συλλέκτη.	q :	Ηλεκτρικό φορτίο.
B :	Μαγνητική επαγωγή ή πυκνότητα μαγνητικής ροής, ακροδέκτης τυλίγματος.	R :	Αντίσταση.
B <sub>max</sub> :	Μέγιστη τιμή μαγνητικής επαγωγής.	R', R'' :	Ισοδύναμες αντιστάσεις.
b :	Ακροδέκτης τυλίγματος.	R <sub>m</sub> :	Μαγνητική αντίσταση.
C, c :	Ακροδέκτες τυλίματος.	r :	Ακτίνα.
D :	Διάμετρος.	S :	Φαινομένη ισχύ, Νότιος πόλος.
E :	Ηλεκτρεγερτική δύναμη, ένταση ηλεκτρικού πεδίου.	T :	Περίοδος χρόνου, Ροπή.
e :	Στιγμιαία τιμή της ηλεκτρεγερτικής δυνάμεως.	t :	Χρόνος.
F :	Μαγνητεγερτική δύναμη.	U :	Τάση, Όγκος.
F <sub>L</sub> :	Δύναμη Laplace.	V :	Τάση.
f :	Συχνότητα.	⋮ :	Διάνυσμα τάσεως.
G :	Βάρος.	v :	Ταχύτητα.
H :	Μαγνητική διέγερση.	W :	Ηλεκτρομαγνητική ενέργεια.
I :	Ένταση ρεύματος.	Z :	Σύνθετη αντίσταση.
İ :	Διάνυσμα ρεύματος.		
i :	Στιγμιαία τιμή του ρεύματος.		
J :	Πυκνότητα ρεύματος.		
K :	Λόγος μετασχηματισμού.		
K <sub>e</sub> :	Σταθερή χαρακτηριστική υλικού.		
K <sub>d</sub> :	Συντελεστής κατανομής.		
K <sub>f</sub> :	Συντελεστής κυματομορφής.		
K <sub>p</sub> :	Συντελεστής βήματος.		
k :	Χιλιάδες.		
L :	Αυτεπαγωγή.		
l :	Μήκος.		
m :	Μάζα, αυλάκια ανά φάση ανά πόλο.		
N :	Βόρειος πόλος.		
n :	Αριθμός σπειρών, ταχύτητα περιστροφής δρομέα, αυλάκια ανά πόλο.		

## ΕΥΡΕΤΗΡΙΟ

### **A**

- Αγωγός 2  
Αεργός ισχύς 168  
Αμφίδρομη δίοδος σκανδαλισμού 75  
Αμφίδρομη τρίοδος σκανδαλισμού 75  
Ανάπτυξη τάσεως σε μια γεννήτρια ΣΡ 101  
Ανάπτυξη τάσεως σε μια σύγχρονη γεννήτρια 160  
Αναπτυσσόμενη πλεκτρομαγνητική ισχύς 167  
Ανορθωτές ισχύος 73  
Αντίδραση τυμπάνου 102  
Απόδοση  
    Μ/Σ 40  
        γεννήτριας ΣΡ 116  
        κινητήρα ΣΡ 149  
        σύγχρονης γεννήτριας 166  
Απώλειες  
    πραγματικών Μ/Σ 39  
    γεννητηριών ΣΡ 115  
    συγχρόνων γεννητηριών 166  
Αρμονικές Μ/Σ 30  
Αυτεπαγωγή 9  
Αυτοδιέγερση 109  
Αυτόματος ρυθμιστής τάσεως 171  
Αυτομετασχηματιστής 64

### **B**

- Βασικές αρχές λειτουργίας γραμμικής μηχανής ΣΡ 9  
Βλάβες μηχανών ΣΡ 140  
Βλάβες συγχρόνων γεννητηριών 172  
Βοηθητικοί μαγνητικοί πόλοι 104  
Βρόχος υστερήσεως 39

### **G**

- Γεννήτρια ΣΡ ξένης διεγέρσεως 107  
    με παράλληλη διέγερση 109  
    με διέγερση σειράς 111  
    σύνθετης διεγέρσεως 112  
Γωνία ισχύος 168

### **D**

- Δευτερεύον 33  
Διάγραμμα ροής ισχύος σύγχρονης γεννήτριας 166  
Διάκενο 17  
Διακύμανση τάσεως 38  
Διανυσματικά διαγράμματα 32, 36, 159-162, 167-168

Διεγέρτρια 153

Δίοδος 73

Δοκιμή συνέχους ρεύματος 169

Δοκίμη σε βραχύκλωμα 170

Δοκιμή χωρίς φορτίο 170

Δρομέας 96

Δύναμη Laplace 1

### **E**

- Ελάσματα 140  
Ελεγχόμενος ανορθωτής πυριτίου 74  
Εμπρόσθια μετωπική σύνδεση 97  
Επαγωγικό ρεύμα 8  
Επαγωγικό τύμπανο 153

### **Z**

Ζυγώματα 26

### **H**

- Ηλεκτρεγερτική δύναμη 7  
Ηλεκτρικές απώλειες 115  
Ηλεκτρικές μοίρες 155

### **Θ**

- Θερμική απόκλιση 77  
Θερμική καταβόθρα 78  
Θεωρία του μαγνητικού πεδίου 1

### **I**

- Ιδανικός Μ/Σ 27  
Ισοδύναμα κυκλώματα γεννητηριών ΣΡ 107, 109, 111-113  
Ισοδύναμα κυκλώματα Μ/Σ 31-32, 34-35, 37  
Ισοδύναμο κύκλωμα σύγχρονης γεννήτριας 166

### **K**

- Κανόνας του Lenz 8  
Κατανομή της πραγματικής ισχύος  
    στις γεννήτριες ΣΡ 116  
Κινητήρας ΣΡ 125

Κρίσιμη αντίσταση 110

Κυλινδρικός δρομέας 153

### **Λ**

- Λόγος μετασχηματισμού 27

**M**

Μαγνητικές απώλειες 115  
 Μαγνητεγερτική δύναμη 16  
 Μαγνητική αντίσταση 17  
 Μαγνητική διαπερατότητα 3  
   διέγερση 3  
   ροή 2  
   τάση 5

Μαγνητικό κύκλωμα 16

Μαγνητικό πεδίο 1

Μεταγωγή 105

Μετασχηματιστής 25

Μηχανικές απώλειες 115, 166

Μηχανικές μοίρες 155

**N**

Νόμος της αυτεπαγωγής 9  
 Νόμος του διαφρεύματος (Ampere) 4  
 Νόμος του Faraday 7

**O**

Ονομαστικό ρεύμα φορτίου 113  
 Οπίσθια μετωπική σύνδεση 97

**P**

Παραμένων μαγνητισμός 109  
 Πειραματικός προσδιορισμός του κυκλώματος μιας σύγχρονης γεννήτριας 169  
 Πειραματικός προσδιορισμός των παραμέτρων του ισοδυνάμου κυκλώματος του πραγματικού M/S 36  
 Πέλμα 96  
 Περίβλημα 78  
 Πεπλεγμένη ροή 29  
 Πολιτική τάση 159  
 Πολικό βήμα 98  
 Πολικό ρεύμα 159

**S**

Σιδηρομαγνητικά υλικά 17, 39, 96  
 Σκέλη 26  
 Στάτης 95, 153  
 Σύγχρονη αντίδραση 166

Σύγχρονη γεννήτρια 153  
 Συλλέκτης 96  
 Συνενέργεια 85  
 Συντελεστής βήματος 161  
 Συντελεστής κατανομής 162  
 Συντελεστής κυματομορφής 161  
 Σύστημα Ward-Leonard 136  
 Σχετική μαγνητική διαπερατότητα 3

**T**

Τομείς 96  
 Τρίγωνο αντιστάσεων 171  
 Τυλίγματα μηχανών ΣΡ 97  
 Τυλίγματα τυμπάνου συγχρόνων γεννητριών 157  
 Τύπου μανδύα M/S 25  
 Τύπου πυρήνα M/S 25

**Y**

Υπερσύνθετη διέγερση 113  
 Υστέρηση 28, 39

**Φ**

Φαινομένη ισχύς 64  
 Φασικό ρεύμα 159  
 Φασική τάση 159

**X**

Χαρακτηριστική τάσεως-ρεύματος διόδου 73  
   του DIAC 75  
   του TRIAC 75  
   του τρανζιστορ ισχύος 75  
 Χαρακτηριστική κινητήρα ΣΡ με σύνθετη διέγερση 132  
 Χαρακτηριστική χωρίς φορτίο και σε βραχυκύλωμα σύγχρονης γεννήτριας 170  
 Χαρακτηριστική χωρίς φορτίο σύγχρονης γεννήτριας 170

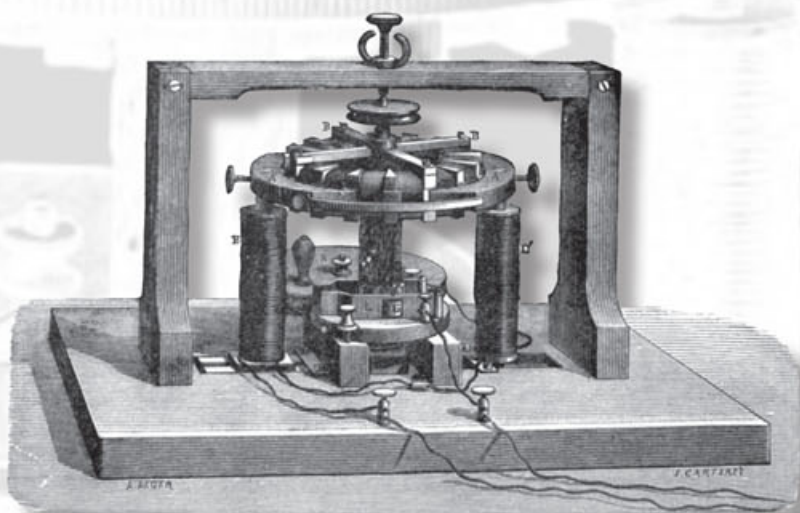
**Ψ**

Ψαλιδιστής 139  
 Ψήκτρες 97

**Ω**

Ωφέλιμη ισχύς 116





Στοιχειώδης ηλεκτρική μηχανή του Pacinotti (1860).